



الفيزياء / ٤

السنة: الأولى

القسم: العلوم الأساسية

الاختصاص: جميع الأقسام



منشورات جامعة دمشق

كلية الهندسة الميكانيكية والكهربائية

الفيفيزياء / ٢

الدكتور

بسام المغربي

أستاذ في قسم العلوم الأساسية

الدكتور

محمد جود

مدرس في قسم العلوم الأساسية

الدكتور

عماد أسد

مدرس في قسم العلوم الأساسية

جامعة دمشق



الفهرس

١٧	<u>الباب الأول : القيززاء الخففة</u>
١٩	الفصل الأول : النسية
٢٢	١-١ نسبية نيوتن
٢٢	١-٢ تجربة مايكلاسون ومورلي
٢٦	١-٣ مسلمتنا أينشتاين
٢٦	١-٤ تحويل لورنتز
٣٥	١-٥ ظاهرة دوبيلر
٣٧	١-٦ تحويل السرعة
٣٩	١-٧ الاندفاع النسبي
٤١	١-٨ الطاقة النسبية
٤٥	١-٩ النسبية العامة
٥١	تمارين مسائل
٥٧	الفصل الثاني : التكبير
٦٠	٢-١ مصدر ثابت التكبير (إشعاع الجسم الأسود)
٦٢	٢-٢ المفعول الكهرومغناطيسي
٦٨	٢-٣ الأشعة السينية
٧٠	٢-٤ تيشر كومبتون
٧٢	٢-٥ تكبير طاقات الليرة (فوذج بور)
٧٨	٢-٦ مسلمة دوبروي
٨٢	٢-٧ رزم الأمواج
٨٤	٢-٨ علاقات هايزنبرغ في الارتباط

٨٦	٩-٤ معادلة شرودينغر
٨٨	١٠-٤ أسلوب حل المسائل الفيزيائية
٩٠	١١-٢ تطبيقات
٩٨	١٢-٢ الأعداد الكهومية
١٠٣	ćمارين مسائل
١٠٩	الفصل الثالث : الفيزياء التوروية والنشاط الإشعاعي
١١١	١-٣ بنية النواة
١١٢	٤-٣ القوة التوروية الشديدة واستقرار النواة
١١٤	٥-٣ طاقة الارتباط التوروي
١١٧	٦-٣ النشاط الإشعاعي
١٢٤	٧-٣ التربينو
١٢٥	٨-٣ قانون التفكك الإشعاعي
١٢٨	٩-٣ التاريخ بالنشاط الإشعاعي
١٣١	١٠-٣ سلسل التفكك الإشعاعي
١٣١	١١-٣ كواشف الإشعاع
١٣٥	١٢-٣ التأثير البيولوجي للأذى المزينة
١٤١	١٣-٣ التفاعلات التوروية
١٤٣	١٤-٣ الانشطار التوروي
١٤٩	١٥-٣ المفاعلات التوروية
١٥٠	١٦-٣ الاندماج التوروي
١٥٠	ćمارين ومسائل
١٦١	<u>باب الثاني : الكهرباء المساكنة</u>

١٦٣	الفصل الأول: الشحنات الكهربائية و القوى الكهربائية
١٦٥	١ - ١ الشحنة الكهربائية
١٦٨	٢ - ٢ التركيب الذري للمادة
١٦٩	٣ - ٣ التوافل و المعاوز
١٧٠	٤ - ٤ طرق التكهرب أو الشحن
١٧١	٥ - ٥ تجارب فارادي في الكهرباء الساكنة
١٧١	٦ - ٦ قانون كولون
١٧٩	تمارين وسائل
١٨١	الفصل الثاني: الحقل الكهربائي
١٨٣	١ - ١ تعريف الحقل الكهربائي
١٨٥	٢ - ٢ حساب شدة الحقل الكهربائي
١٨٧	٣ - ٣ تطبيقات على حساب شدة الحقل الكهربائي
١٩٦	٤ - ٤ خطوط الحقل الكهربائي
١٩٨	٥ - ٥ ثنائي الأقطاب الكهربائي
٢٠٥	تمارين وسائل
٢١٩	الفصل الثالث: قانون غauss
٢٢٩	١ - ١ التدفق الكهربائي
٢٣٩	٢ - ٢ تعميم التدفق الكهربائي
٢٤٩	٣ - ٣ قانون غauss
٢٥١	٤ - ٤ تطبيقات على قانون غauss
٢٥١	تمارين وسائل
٢٥٣	الفصل الرابع: الكهرباء والكون

٢٣٣	٤ - ١ الطاقة الكهربائية الكامنة في حقل كهربائي منتظم
٢٣٤	٤ - ٢ الطاقة الكهربائية الكامنة لشحنتين نقطتين
٢٣٧	٤ - ٣ الطاقة الكهربائية الكامنة لعدة شحنات نقطية
٢٣٧	٤ - ٤ الكمون الكهربائي
٢٣٩	٤ - ٥ فرق الكمون
٢٤٥	٤ - ٦ تطبيقات على حساب الكمون الكهربائي
٢٤٨	٤ - ٧ سطوح تساوي الكمون
٢٥٠	٤ - ٨ تدرج الكمون
٢٥١	٤ - ٩ تطبيقات على إيجاد الحقل من الكمون
٢٥٣	تمارين ومسائل
٢٥٩	الفصل الخامس: السعة والعوازل
٢٦١	٥ - ١ السعة الكهربائية لناقل
٢٦٢	٥ - ٢ السعة والمكثفات
٢٦٤	٥ - ٣ حساب سعة المكثفات في الخلاء
٢٦٩	٥ - ٤ وصل المكثفات
٢٧٢	٥ - ٥ السعة المكافحة
٢٧٤	٥ - ٦ الطاقة المخزنة في المكثفات
٢٧٥	٥ - ٧ طاقة الحقل الكهربائي
٢٧٩	٥ - ٨ العوازل
٢٨٩	تمارين ومسائل

الباب الثالث : أنصاف التوافق والليزر وتطبيقاته

٢٩٩	الفصل الأول : أنصاف التوافق
٣٠١	١-١ - المعادن والعوازل وأنصاف التوافق
٣٠٤	٢ - البنية البلورية والترابط في أنصاف التوافق
٣٠٦	٣ - البنية البسيطة لعصابات الطاقة
٣٠٧	٤ - الانتقالات المباشرة وغير المباشرة في أنصاف التوافق
٣١٠	٥ - تركيز حوامل الشحنات في نصف النايل المذاب
٣١٢	٦ - أنصاف التوافق المشورة
٣١٥	٧ - ١ سوية فرمي في أنصاف التوافق المشورة
٣١٨	٨ - ١ زمن حياة الحامل في أنصاف التوافق
٣٢٠	٩ - الوصلة $P-n$
٣٢١	١٠ - ١ ديدود زير
٣٢٣	١١ - ١ الثنائي أو الديود النقفي
٣٢٥	١٢ - ١ الخلية الشمسية
٣٢٩	ثالياً" : الليزر وتطبيقاته
٣٤١	مقدمة
٣٤٣	الفصل الأول : طبيعة أشعة الليزر وخصائصها
٣٤٥	I - ١ - ما هو الليزر؟
٣٤٦	I - ٢ - اكتشاف أشعة الليزر
٣٤٧	I - ٣ - خصائص شعاع الليزر
٣٤٩	I - ٤ - المكونات الأساسية بليهار الليزر

٣٥٠	I - ٥- نظرية توليد أشعة الليزر
٣٥٧	I - ٦- تعداد اللرات في حالة التوازن الحراري
٣٥٨	I - ٧- معاملات اينشتاين
٣٦٤	I - ٨- عرض الخطط الطيفي
٣٧١	I - ٩- امتصاص الاشعاع الكهرومغناطيسي
٣٧٢	I - ١٠- معامل الربح الأصغرى
٣٧٩	I - ١١ - التغذية العكسية الضوئية
٣٨٦	I - ١٢ - أنماط الليزر
٣٩٣	الفصل الثاني: الليزر وتطبيقاتها أنظمة
٣٩٥	١. ليزر المواد الصلبة
٣٩٥	٢ . ليزر أنصاف النواقل
٣٩٧	٣. الليزر الغازي
٣٩٩	٤. ليزر "الاكترايمير"
٤٠١	<u>الوقاية من أشعة الليزر</u>
٤٠٢	تطبيقات الليزر
٤٠٢	أولاً: في مجال الطب

٤٠٧	١. المجهر الضوئي
٤٠٨	٢. المنظار الضوئي ذو الألياف البصرية
٤١٠	٣. الجراحة العامة
٤١١	٤. علاج العيون
٤١٢	٥. علاج الجلد
٤١٣	٦. علاج الأسنان
٤١٩	٧. علاج الجهاز الهضمي
٤٢٠	ثانياً: في مجال الاتصالات
٤٢٤	<u>١- مكونات الليف البصري</u>
٤٢٦	<u>٢-٣ - كيف تعمل الألياف البصرية وكيف توصل الضوء</u>
٤٢٩	<u>مميزات الألياف البصرية</u>
٤٣٥	ثالثاً: الأقراص البصرية
٤٣٧	رابعاً: الطباعة
٤٣٨	خامساً: المولوغرافي
٤٤٠	سادساً: قحض السطوح
٤٤١	سابعاً: تشغيل المواد

- ٤٤٤ ثامناً: في أعمال المساحة والخرائط
- ٤٤٥ تاسعاً: في مجال البيئة
- ٤٤٦ عاشراً: في مجال الفضاء
- ٤٤٧ حادى عشر: قياس سرعة الريح
- ٤٤٨ ثالى عشر: الاستخدامات العسكرية للبيز
- ٤٥٠ اتجاهات التطور المستقبلية لتقنيات وتطبيقات الليزر
- ٤٦٧ -المراجع العلمية

مقدمة

بعد علم الفيزياء ، كما ذكرنا في مقدمة كتاب الفيزياء (١) أحد فروع العلوم الأساسية الذي تبني عليه كافة العلوم الأخرى ، كالعلوم الطبية والهندسية والإلكترونية وغيرها ، وقد ساهم علم الفيزياء في تفسير كثير من الظواهر التي صادفت الإنسان منذ خلقه حتى يومنا الحاضر ، وقد أعد كتاب الفيزياء (٢) ليتمم كتاب الفيزياء (١) ويكون كتاباً جامعياً في الفيزياء العامة لطلاب السنوات الأولى في كلية الهندسة الميكانيكية والكهربائية بجامعة دمشق في الفصل الثاني من العام الدراسي ، وحاولنا من خلال هذا الكتاب ، تلبية حاجات طلابنا الأعزاء من علم الفيزياء ، بما يتناسب مع الاختصاصات الموجودة في كلية الهندسة الميكانيكية والكهربائية بجامعة دمشق ، وإبراز المفاهيم الفيزيائية التي تحكم الظواهر الفيزيائية المحيطة بنا والإنطلاق مما إلى النموذج النظري المناسب وإعطاء التطبيقات العملية عليها .

و كانت الأهداف الأساسية وراء إنجاز هذا الكتاب هي :

- ١ - تقديم مدخل متوازن، لبعض الظواهر والمبادئ المهمة في الفيزياء العامة بطريقة تعكس جمال مادة الفيزياء وإنارة من خلال تطبيقها العملية والتي ترتبط بحياتنا اليومية ، وكذلك تقديم الأساس الصلب الذي يساعد الطالب في متابعة دراسته .
- ٢ - عرض مقرر الفيزياء بأسلوب منطقي ومترابط يثير اهتمام الطالب ويتمتع بسهولة التناول والمتابعة .
- ٣ - مساعدة الطالب في بناء ثقتهم الذاتية في فهم مادة الفيزياء وتحسين مهاراتهم في حل المسائل .

٤ - تحرير الطلاب وتحثهم على الإبداع من خلال إطلاعهم على بعض التطبيقات الفيزيائية وتطورها واستعمالاتها في حياتنا اليومية والتكنولوجيا المعاصرة .

ويتألف هذا الكتاب من ثلاثة أبواب رئيسية ، ففي الباب الأول وهو في الفيزياء الحديثة وقام بتأليفه الأستاذ الدكتور سامي المغربي ، يجده دراسة للنظرية النسبية الخاصة وتعرضاً بإيجاز للنظرية النسبية العامة ، تعالج بعدها النظرية الكمية مسلطتين الضوء على الأفكار الأساسية في تكثيم الطاقة . ثم تتبع دراسة بعض المفاصص العامة لقوى الذرات ، وكذلك الإشارة إلى مظاهر النشاط الإشعاعي ، ومعالجة بعض التفاعلات النووية مروراً بتفاعل الانشطار والاندماج وتفاعل الجسيمات النوية مع المادة . وتعرف في الباب الثاني وهو في الكهرباء الساكنة وقام بتأليفه الدكتور محمد جمود ، على المقل الكهربائي فتتناول المفاصص العامة للحقول الكهربائية الساكنة وكيفية حساب المقل ، وتدرس سلوك الشحنات النقطية وثنيات الأقطاب ضمن الحقول الكهربائية ، تستغل بعدها نظرية غاوص ثم دراسة النواقل والطاقة الكهربائية الساكنة وفكرة الكمون الكهربائي تمهيداً لاستعمالها في تعريف المكثفات وحساب ساعتها والطاقة الكهربائية المحترنة فيها . وفي الباب الثالث وهو في الليزر وقام بتأليفه الدكتور عمار أسماعيل ، يجده فصيلاً عن توليد أشعة الليزر ونظرياتها وخصائصها وأجهزتها وبعض من تطبيقاتها هدف اطلاع الطلاب على هذا العلم بغية الأخذ به ومواكبة تقدمه وتطوره .

تمت مقاربة الفهم الفيزيائي وتحسين مهارة حل المسائل بالاستعمال المكتف والمتكامل للأمثلة موضعين أن الفيزياء ليست علاقات رياضية بجمدة وإنما تستعمل الرياضيات من أجل تهبيب التالع والتصورات وترجمتها إلى قوانين وعلاقات تقتضي بالجانب الكمي وتتوفر إمكان استقراء تالع أكثر وتفسيرات أعمق .
نتمنى أن تكون قد وفقنا في تقديم هذا الكتاب لطلابنا الأعزاء في السنوات الأولى من كلية الهندسة الميكانيكية والكهربائية ، كما نرجو أن يجد القارئ المنفعة

العلمية فيه وأن يكون معيناً له في دراسته الجامعية ، أملين أن تكون قد ساهمنا في إغناء
جامعةنا ومكتبتنا العربية بكتاب علمي جديد .

وأخيراً ، نتوجه بالإمتنان والشكر الجزيل إلى زملائنا الأكاديميين وطلابنا الأعزاء والقارئين
لهذا الكتاب ، إذا أبدوا لنا ملاحظاتهم وأرائهم حول أي موضوع فنصرنا في معالجته أو
أصلنا في عرضه لكي تلافق في المستقبل ما يمكن أن تكون قد وقعننا فيه من هفوات .

المؤلفون : د. عماد أسعد د. محمد حمود أ. د. يسام المغربي



البابا يوحنا الأول

المهندسون العرب

Modern Physics



اعتقد كثير من الفيزيائين ، مع نهاية القرن التاسع عشر ، أن جميع القوانين المهمة في الفيزياء قد اكتشفت وباقي القليل مما يجب عليهم فعله في إنجاز التفاصيل المتبقية . فقوانين نيوتن قادرة على وصف كل الحركات المعروفة على الأرض والكون الكواكب والأجرام السماوية الأخرى . كما تعطي معادلات ماكسويل في الكهرباء والمغناطيسية وصفاً كاملاً للظواهر الكهرومغناطيسية . وحتى مع بده ظهور أدلة العالم الجاهري للجزيئات والذرات فقد افترض إمكان وصف هذه الظواهر الجديدة بمتغيريات نيوتن وماكسويل . ومع ذلك فإن اكتشاف الشاط الإشعاعي من قبل بيكرينل عام 1896 ومقالات بلانك النظرية عام 1897 ونظرية أينشتاين عام 1905 وعمل كل من زروفورد وميليكان وبور ودوربي وشروعنبرغ وهائزنبرغ وغيرهم في مطلع القرن العشرين قاد إلى نظريتين جديدين هما النظرية النسبية وmekanik الكم . وقد أحدثت هاتان النظريتان ثورة علمية وأصبحتا أساساً للتقنيات الجديدة التي غيرت وجه الحضارة .

سندرس في هذا الفصل النظرية النسبية ، وهي تألف من نظريتين مختلفتين هما النسبية الخاصة والنسبية العامة . فالنظرية النسبية الخاصة التي طورها أينشتاين وغيره عام 1905 ، تتم عقارنة القياسات المتنفسة في إطار عطالية مرجعية مختلفة تتحرك بالنسبة لبعضها البعض بسرعة ثابتة . وتطبيق التتابع المترتبة على هذه النظرية ، والتي يمكن الوصول إليها باستعمال علاقات رياضية بسيطة ، على حالات كثيرة مختلفة ترد في علوم الفيزياء والهندسة . بينما تختتم النظرية النسبية العامة التي طورها أينشتاين وآخرون عام 1917 ، بالأطر العطالية المرجعية المتسارعة و بالثقالة . ويتطلب الفهم الكامل للنسبية العامة رياضيات متقدمة مثل التحليل التisserوي ، كما أن تطبيقات هذه النظرية محصورة تقريباً في التحاذب الكثلي لذلك يحدوها مهمة جداً في علم الفلك وبناء على ما تقدم سيكون اهتماماً منصباً على النسبية الخاصة وستعرض بإيجاز إلى النسبية العامة في الفقرة الأخيرة من هذا الفصل .

١-١ نسبية نيوتن

لا يميز قانون نيوتن الأول بين الجسم الساكن والجسم الذي يتحرك بسرعة ثابتة . فإذا لم تؤثر أية قوة خارجية على الجسم فإنه يبقى على حالته الابتدائية – إما ساكناً أو متاحراً كأى سرعة الابتدائية نفسها . فإذا نظرت إلى جسم ساكن بالنسبة إليه لا تؤثر عليه أية قوة خارجية . فاستناداً إلى قانون نيوتن الأول سيقى هذا الجسم ساكناً . أما إذا نظر إلى الجسم نفسه شخصاً يتحرك بالنسبة إليه بسرعة ثابتة (موجود في إطار عطالي مرجعي آخر) فسيرى أنك والجسم تتحركان بالنسبة إليه بسرعة ثابتة . فقانون نيوتن الأول يصبح أيضاً بالنسبة إليه . (إذا كان الشخص الآخر متشارعاً بالنسبة إليه فسيرى الجسم متشارعاً بالنسبة إليه بدون أن تؤثر عليه أية قوة خارجية . أي أن قانون نيوتن الأول لا يتطبق عليه) . فقانون نيوتن الأول يصبح في الأطر العطالية المرجعية وهي الأطر التي تتحرك بالنسبة لبعضها البعض بسرعة ثابتة . فكرات البليارد تسلك السلوك نفسه في حالة وجودها على اليابسة أو على باحرة تتحرك بسرعة ثابتة بالنسبة للبابسة ، ولا يوجد تجربة ميكانيكية ممكنة تستطيع إخبارنا أي من الإطارات ساكن وأيضاً متاحراً ، أو أيهما متحرك ، أو أيهما متغير ثابتين مختلفتين وتعرف هذه النتيجة بمبدأ نسبية نيوتن ومفادها هو عدم إمكان الكشف عن الحركة المطلقة ، فهل هناك تجربة غير ميكانيكية (كهربائية ، مغناطيسية ، ضوئية ، حرارية ،) . تستطيع من خلالها الكشف عن الحركة المطلقة ؟

١-٢ تجربة مايكلسون وموري

نحن نعلم من خلال دراستنا للحركة الموجية ، أن جميع الأمواج الميكانيكية تتطلب وسلاً يؤمن انتشارها ، وترتبط سرعة انتشار مثل هذه الأمواج بخواص الوسط فقط . فسرعة الصوت في الهواء الساكن مثلاً ترتبط بدرجة حرارة الهواء . أي إننا

نستطيع بالفعل الكشف عن (معرفة) الحركة بالنسبة للهواء الساكن فإذا تحركت بالنسبة للهواء الساكن ستشعر بالنسبي . وكان طبيعياً افتراض وجود وسط ما يؤمن انتشار الضوء والأمواج الكهرومغناطيسية . تم اقتراح هذا الوسط في القرن التاسع عشر ودعى بالأثير وأعطي لهذا الوسط خواصاً غير عادية ، إذ يجب أن يكون صلباً جداً فهو يحمل أمواجاً سريعة جداً ، دون أن يؤثر على حركة الكواكب والنجوم التي تخضع إلى قانون التجاذب الكتلي فقط . وبذل التفكير في إيجاد طريقة لقياس السرعة النسبية للأرض بالنسبة للأثير . فأشار ماكسويل ، من خلال قياسه لسرعة الضوء باستعمال الدوبلاب المسنن وفقاً لطريقة فيزو ، أن سرعة الأرض بالنسبة للأثير V تظهر من المرتبة الثانية للنسبة V/C واعتبر هذا الأثر صغيراً وغير قابل للمقياس . ولقد حدد في هذه القياسات الزمن اللازم لومضة ضوئية في رحلتي الذهاب والعودة إلى المرأة . وبين الشكل (١-١) مثلاً ضوئيًّا ومرأة تبعد عنه مسافة L . فإذا افترضنا أن المنبع والمرأة يتحركان بسرعة V خلال الأثير عندها تكون سرعة الضوء عندما يسير نحو المرأة متساوية $C-V$ وسرعة الضوء في رحلة العودة متساوية $C+V$ وفقاً للمفاهيم التقليدية في جمع السرعة ، ويكون الزمن اللازم لرحلتي الذهاب والعودة متساوياً

$$(1-1) \quad t_1 = \frac{L}{c-v} + \frac{L}{c+v} = 2C \frac{L}{c^2 - v^2} = \frac{2L}{c} \left(1 - \frac{v^2}{c^2}\right)^{-1}$$

إذاً كانت السرعة V أصغر بكثير من C تستطيع نشر هذه النتيجة باستعمال نظر ثانية المدحى

$$(2-1) \quad (1+x)^n = 1 + nx + n(n-1)\frac{x^2}{2} + \dots \approx 1 + nx$$

حيث x أصغر بكثير من 1 . ومنه نجد

$$(3-1) \quad t_1 = \frac{2L}{c} \left(1 + \frac{v^2}{c^2}\right)^{-1}$$

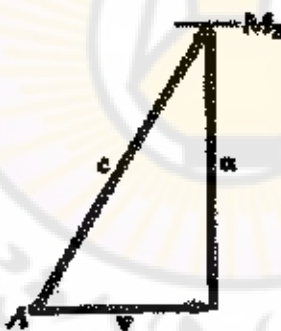


الشكل (١-١) مربع ومرأة يسران بسرعة v بالنسبة للأثير.

فإذا أخذنا سرعة دوران الأرض حول الشمس كقيمة تقريرية لسرعة الأثير أي

$$v = 3 \times 10^4 \text{ m/s} \quad \text{فتقون النسبة } \frac{v^2}{c^2} = \frac{10^{-8}}{2} \quad \text{وهو مقدار صغير فعلاً. وبرغم صغر}$$

هذا المقدار وعدم إمكان قياسه بطريقة مباشرة إلا أن مايكلسون فكر في طريقة غير مباشرة لقياسه . فاستعمل مقياس التداخل حيث تنقسم الحزمة الضوئية إلى حزمتين تسير إحداها في الاتجاه المفترض لحركة الأرض ضمن الأثير لتهلكس على المرأة وتعود خلال زمن يعطي بالعلاقة (١-٣) . بينما تسير الثانية باتجاه متعمد مع سرعة الأرض بسرعة تساوي $\sqrt{c^2 - v^2}$ كما هو مبين في الشكل (٢-١)



الشكل (٢-١) حزمة ضوئية تتحمّل من قاسم الحزمة A نحو المرأة M_2 في مقياس مايكلسون
إن الزمن اللازم لرحلتي الذهب والعودة في هذه الحالة هو

$$(4-1) \quad t_2 = \frac{2L}{\sqrt{c^2 - \frac{v^2}{2}}} \approx \frac{2L}{c} \left(1 + \frac{v^2}{2c^2}\right)^{-\frac{1}{2}}$$

حيث استعمل نشر ثانوي المخد . ويكون الفرق بين الزمانين متساوياً

$$\Delta t = t_1 - t_2 = \frac{v^2 L}{c^2} \quad (5-1)$$

ويكشف عن هذا الفرق ملاحظة تداخل حزمي الضوء . ويسبب صعوبة تأمين مسارات متساوين في الطول بالدقة المطلوبة ، يشاهد نموذج التداخل الناتج من الحزمتين ثم يدار الجهاز بكامله بمقدار 90° . يؤدي هذا الدوران إلى فارق زمني معطى بالعلاقة (5-1) لكل حزمة ويكون الفرق الكلي متسارياً $2\Delta t$ ويقابل فرقاً في المسير مقداره $2c\Delta t$ أي يجب أن توازن أهداب التداخل المشاهدة وفق التوجه الأول بمقدار عدد من الأهداب ΔN يعطى بالعلاقة

$$\Delta N = \frac{2c\Delta t}{\lambda} = \frac{2cL^2}{\lambda c^2} \quad (5-1)$$

حيث λ هو طول موجة الضوء المستعمل . استعمل مايكلسون في محاولته الأولى عام 1881 بعدها بين المراة القاسية والمرأة العاكسة مقداره $L = 1.2 \text{ m}$ وضوء طول موجته $\lambda = 590 \text{ nm}$ ، فإذا عوضنا هذه القيم في العلاقة (6-1) نجد $\Delta N \approx 0.04$ من المدبب . وبالطبع لم يستطع ملاحظة هذا الانزياح فاعتبر ذلك دليلاً على عدم تحرك الأرض بالنسبة للأثير . وفي عام 1887 أعاد العالم موريلي مع مايكلسون هذه التجربةحسناً أداء جهازه ، فزاد المسافة L لتصبح $L = 11 \text{ m}$ متوقفاً انزياحاً للأهداب مقداره 0.4 من المدبب وهو مقدار يزيد ٢٠ إلى ٤٠ مرة على أصغر انزياح يستطيع الجهاز كشفه . ومرة أخرى لم يلاحظ أي انزياح في الأهداب . أعيدت هذه التجربة بعد ذلك مراراً وتكراراً ضمن شروط مختلفة من قبل عدة علماء دون أن يلاحظوا أي انزياح .

وفي عام 1905 نشر ألبرت أينشتاين مقالاً للتحريك الكثيف يأتي للأجسام المتحركة . افترض فيه عدم إمكان الكشف عن الحركة المطلقة ، وهذا يفسر نتيجة تجربة مايكلسون فإذا اعتبرنا كاملاً الجهاز والأرض في حالة سكون تكون جميع الاتجاهات متكافئة . وبالتالي لا يتوقع أن توازن الأهداب نتيجة تدوير الجهاز بزاوية مقدارها 90° .

وبحسب الإشارة هنا إلى أن أينشتاين لم يضع مسلتميه لتفسير نتيجة مايكلسون ، فقد برزت نظرية نتيجة دراسة للنظرية الكهرومغناطيسية والتواء الأمواج الكهرومغناطيسية غير العادية كانتشارها في الخلاء .

١-٣ مسلتماً أينشتاين

نستطيع التوصل إلى النظرية النسبية الخاصة انطلاقاً من مسلتمين افترضهما أينشتاين وهما :

- ١- لا يمكن الكشف عن الحركة المتحاسنة المطلقة .
- ٢- لا ترتبط سرعة الضوء بحركة المائع الذي يصدره .

فالمسلمة الأولى تشكل تعديلاً لما نيوتن في النسبة ليشمل جميع أنواع القياسات الفيزيائية وليس الميكانيكية فقط . بينما تصف المسلمة الثانية خاصة عامة لكل الأمواج سرعة الأمواج الصوتية في الهواء مثلاً لا ترتبط بحركة المائع الصوتي (فهي ترتبط بدرجة حرارة الهواء فقط) ، كما يقيس جميع الملاحظين القيمة نفسها C لسرعة الضوء . وبرغم المظهر العقول لكل من هاتين المسلمين إلا أن استعمالهما معاً يؤدي إلى نتائج مدهشة تماماً إذ تتعارض مع الأفكار المألوفة .

٤ تحويل لورنتز

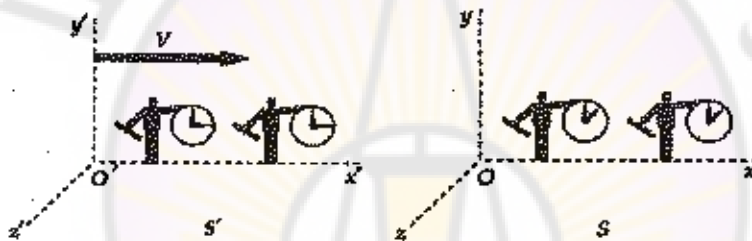
إن المسلمي أينشتاين تبعات مهمة على قياس الفترات الزمنية والمسافات وكذلك السرعة النسبية . وستقارن في هذه الفقرة مواضع وأزمنة الحوادث المقابلة من قبل ملاحظين يتحركون بالنسبة بعضهما البعض . وسنستعمل جملة الإحداثيات الديكارتية xyz ومبدأ الإحداثيات O وندعوها بالإطار المرجعي S ، وكذلك جملة الإحداثيات الديكارتية $x'y'z'$ والمبدأ O' وندعوها بالإطار المرجعي S' ، حيث يتحرك الإطار S' بالنسبة للإطار S بسرعة ثابتة v ، أو أن الإطار S يتحرك بالنسبة للإطار S' بالسرعة $-v$. وسنفترض للتبسيط أن الإطار S' يتحرك وفق الاتجاه الموجب للمحور x بالنسبة

لإطار S . سنفترض وجود عدد من الملاحظين في كل إطار حسب الحاجة وقد جهزوا بأدوات قياس كالساعات والمساطر المتماثلة عند مقارنتها وهي معاكنة ، الشكل (١-٣) .
لتنظر الآن إلى العلاقة العامة بين الإحداثيات x, y, z والزمن t للحدث كما تشاهد من قبل ملاحظ موجود في الإطار S ، وبين الإحداثيات x', y', z' والزمن t' للحدث نفسه كما تشاهد في الإطار S' الذي يتحرك بسرعة ثابتة v بالنسبة للإطار S
إن العلاقة التقليدية والتي تدعى بتحويل غاليليه تأخذ الصيغة

$$x = x' + vt , \quad y = y' , \quad z = z' \quad (7-1)$$

وهي التحويل المعاكس

$$x' = x - vt , \quad y' = y , \quad z' = z \quad (8-1)$$



الشكل (١-٣) إطارات مرجعين S و S' الذي يتحرك بسرعة v بالنسبة للإطار S . يوجد في كل إطار عدد من الملاحظين المجهزين بمساطر وساعات متماثلة عند مقارنتها وهي معاكنة .

لا تتفاوت نتائج تحويل غاليليه مع الواقع التجاري طالما بقيت السرعة v صغيرة جداً بالمقارنة مع c . ونعود إلى قانون جمع السرعة المأثور . فإذا كان للجسم سرعة مقدارها $\frac{dx}{dt}$ في الإطار S ، تكون سرعته في الإطار S' متساوية

$$\frac{dx'}{dt} = \frac{dx}{dt} = \frac{dx'}{dt'} = \frac{dx}{dt} - v \quad (9-1)$$

فإذا استقمنا هذه العلاقة مرة أخرى نجد أن تسارع الجسم لا يتغير من إطار إلى آخر

$$a_{x'} = \frac{d^2x'}{dt^2} = \frac{d^2x}{dt'^2} = a_x$$

وهي نتيجة تناقض مع مسلمة أينشتاين في النسبية الخاصة . فإذا سار الضوء وفق اتجاه المحوRx بسرعة C فإن العلاقة (٩-١) تؤدي إلى سرعة للضوء مقاسه في الإطار Sتساوي $v = c - \frac{v}{\gamma}$ عوضاً عن $c = \frac{v}{\gamma}$ ، وهذا يتناقض مع مسلمة أينشتاين الثانية وكذلك مع النتائج التجريبية . أي يجب تعديل معدلات التحويل التقليدية بشكل لا تناقض فيه مع مسلمة أينشتاين ، كما يجب أن ترد إلى المعادلات التقليدية في حالة سرع صغيرة v بالمقارنة مع C . ولسوف نورد طريقة بسيطة للحصول على التحويلات النسبية والتي تدعى بتحويل لورنتز . سنفترض أن معادلة الإحداثي x تأخذ الصيغة

$$x = \gamma(x' + vt') \quad (10-1)$$

حيث γ ثابت يرتبط بكل من v و C ولكنه غير مرتبط بالإحداثيات . ولكن ترد هذه العلاقة إلى العلاقة التقليدية يجب على الثابت γ أن يأخذ قيمة الواحد عندما تكون v صغيرة جداً بالمقارنة مع C ويجب أن يأخذ التحويل المعاكس الصيغة نفسها باستثناء الإشارة ، وفقاً لمسلمة أينشتاين الأولى ، فـي تعديل بحريه في إطار عطلي يجب أن يجريه في الإطار الآخر أي

$$x' = \gamma(x - vt) \quad (11-1)$$

لنفترض الآن أن نبضة ضوئية صدرت في اللحظة $t=0$ وهي لحظة انطلاق مبدأي الإحداثيات في الإطارات S و S' ، فتكون معادلة صدر الموجة في الإطار S من الشكل $x=ct$ ، وفي الإطار S' من الشكل $x'=ct'$. وذلك وفق مسلمة أينشتاين الثانية التي تفترض سرعة واحدة للضوء في الإطارات . بالتعريض في معادلتي التحويل نجد

$$ct = \gamma(ct' + vt') = \gamma(c + v)t' \quad (12-1)$$

وكذلك

$$ct' = \gamma(ct - vt) = \gamma(c - v)t \quad (12-1)$$

نستطيع حل方程 t أو t' من المعادلين وإيجاد الثابت γ فنجد

$$\gamma^2 = \left(1 - \frac{v^2}{c^2}\right)^{-1}$$

ومنه

$$\gamma = \frac{1}{\sqrt{1 - \frac{v^2}{c^2}}} \quad (14-1)$$

كما نستطيع الحصول على صيغة لكل من x' و t' باستعمال الصيغة (10-1) والتحويل المعاكس له (11-1) فبتعميرض $x = \gamma(x' + vt')$ في الصيغة (11) نجد

$$x' = \gamma[x - vt] \quad (10-1)$$

والتي يمكن حلها للحصول على t' ثم x' و t' ويعطى التحويل النسبي بكامله بالعلاقات

$$x = \gamma(x' + vt') , \quad y = y' , \quad z = z' \quad (16-1)$$

$$t = \gamma(t' + \frac{vy'}{c^2}) \quad (17-1)$$

كما يعطى التحويل المعاكس له بالعلاقات

$$x' = \gamma(x - vt) , \quad y' = y , \quad z' = z \quad (18-1)$$

$$t' = \gamma(t - \frac{vx}{c^2}) \quad (19-1)$$

تدعى التحويلات الموصوفة بالمعادلات الأربع السابقة بتحويل لورنتز. وهي تربط إحداثيات الموضع والزمن لحدث ما مقاسه في الإطار S بإحداثيات الموضع والزمن للحدث نفسه مقاسه في الإطار S' الذي يتحرك وفق المحوت X بسرعة ثابتة v بالنسبة للإطار S . وسننظر الآن إلى بعض تطبيقات تحويل لورنتز.

نحدد الزمن: من أهم النتائج المترتبة على مسلمي أينشتاين وتحويلات لورنتز هي أن الفترة الزئنية ، بين حدثان وقعا في المكان نفسه في إطار عطالي مرجعي ما ، أصغر دوماً

من الفترة الزمنية بين الحدين نفسها و المقادسة في إطار عطالي مرجعي آخر بحيث يقع فيه الحدين في مكائن مختلفين . لنتظر إلى حدين وقعا في الموضع x_0 في اللحظتين t'_1 و t'_2 في الإطار S . نستطيع إيجاد اللحظتين t_1 و t_2 لهذين الحدين مقاستين في الإطار S فمن المعادلة (١٧-١) يجد

$$\text{ومنه} \quad t_1 = \gamma \left(t'_1 + \frac{vx_0}{c^2} \right) , \quad t_2 = \gamma \left(t'_2 + \frac{vx_0}{c^2} \right)$$

$$t_2 - t_1 = \gamma (t'_2 - t'_1)$$

تدعى الفترة الزمنية بين حدين وقعا في المكان نفسه في إطار عطالي مرجعي ، بالزمن الصحيح t_p . وفي الحالة التي ثبت دراستها تكون الفترة الصحيحة $t'_2 - t'_1 = \Delta t_p$ وهي المقادسة في الإطار S . وتكون الفترة المقادسة في أي إطار مرجعي آخر أكبر دوماً من الزمن الصحيح . ويدعى هذا التمدد بتمدد الزمن وتكتب بالشكل

$$\Delta t = \gamma \Delta t_p \quad (٢٠-١)$$

مثال ٤-١

يقع حدين في الموضع نفسه x_0 وفي اللحظتين t'_1 و t'_2 في الإطار S ، الذي يسافر بسرعة v بالنسبة للإطار S . ما هي المسافة بين موضعى الحدين مقاسة في الإطار S من المعادلة (١٦-١) لدينا $(x_2 - x_1) = \gamma(x'_2 - vt'_1) = \gamma v(t'_2 - t'_1)$ وكذلك

$(x_2 - x_1) = \gamma(x'_2 - vt'_1) = \gamma(v(t'_2 - t'_1)) = \gamma v(t_2 - t_1)$ وهي المسافة التي تقطعها نقطة من الإطار S مثل المنقلة \overline{AB} خلال الفترة الزمنية بين الحدين و المقادسة في S .

نستطيع فهم التمدد الزمني انتلاقاً من مسلمتي أينشتاين ودون استعمال تحويل لورنتز . فإذا نظرنا إلى ملاحظ ساكن A ضمن سفينة فضائية S ، وكان يبعد مسافة D عن المرأة كما في الشكل (١-٤-a) . أطلق ومضة ضوئية نحو المرأة وقام

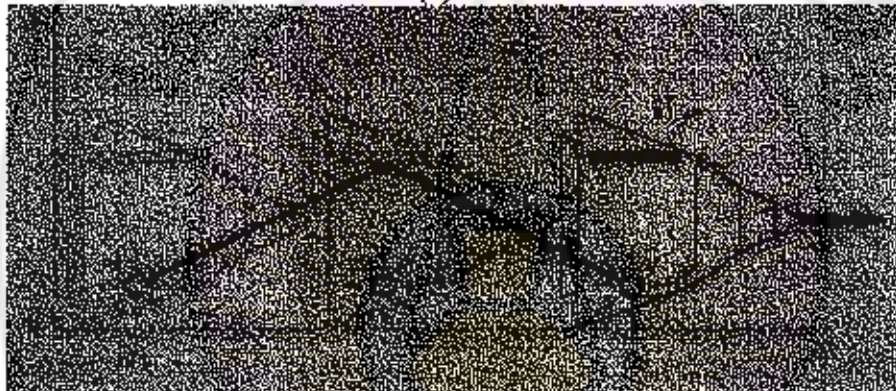
الفترة الزمنية $\Delta t'$ بين إطلاق الرؤوس واستلامها بعد انعكاسها على المرأة . وعما أن

$$\Delta t' = \frac{2d}{c}$$

فإن هذه الفترة تساوي



(a)



(b)

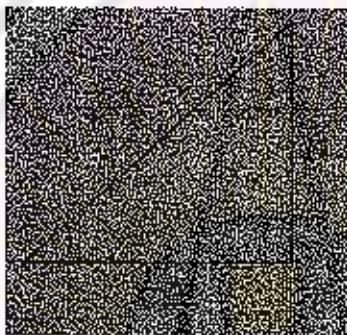
الشكل (٤-١) . (a) الملاحظ A' والمرأة في حالة سكون ضمن السفينة الفضائية S' . (b) السفينة تتحرك نحو اليمين بسرعة V بالنسبة للأرض S .

لنتظر الآن إلى الحدين نفسها (إطلاق الرؤوس واستلامها) كما تشاهد من قبل ملاحظ على الأرض S حيث يتحرك الملاحظ A' والمرأة ، بالنسبة إليه ، نحو اليمين بسرعة V . يقع الحدين في مكائن مختلفتين X_1 و X_2 في الإطار S لأن الملاحظ A' يحرك مسافة مقدارها $v\Delta t$ حيث Δt هي الفترة الزمنية بين الحدين مقاسة في الإطار S . يبين الشكل (٤-١-b) المسار الذي يسلكه الضوء وهو أطول في الإطار S مما هو

عليه في الإطار S' . ولكن الضوء وفقاً لسلسلة أينشتاين الثانية ، ينتشر بالسرعة نفسها في الإطارات S و S' وبما أن الضوء يقطع مسافة أكبر في الإطار S فإنه يستغرق فترة أطول مما يستغرق في الإطار S' ، ونستطيع حساب $\Delta t'$ بدالة Δt بدلالة γ .
فبالنظر إلى الشكل (١-٥) نجد :

$$\Delta t = \frac{2D}{c} = \frac{2D}{c\sqrt{1-\frac{v^2}{c^2}}} = \frac{2D}{c} \cdot \frac{1}{\sqrt{1-\frac{v^2}{c^2}}} \quad \text{ومنه} \quad \left(\frac{\Delta t'}{2}\right)^2 = D^2 + \left(\frac{v\Delta t}{2}\right)^2$$

$$\Delta t' = \frac{\Delta t}{\sqrt{1-\frac{v^2}{c^2}}} = \gamma \Delta t \quad \text{وباستعمال العلاقة} \quad \frac{2D}{c} = \gamma \Delta t \quad \text{نجد :}$$



الشكل (١-٥) مثلث قائم لحساب الفترة $\Delta t'$ في الإطار S .

مثال ٤-٩

ينام رواد الفضاء في سفينة تبتعد عن الأرض بسرعة $v=0.6c$ ، مدة ساعة واحدة فما هي هذه الفترة مقاسه من قبل المراقبين في المركز الأرضي ؟
يعاً أن الرواد ينامون ويستيقظون في المكان نفسه في إطارهم المرجعي (السفينة) تكون فترة نومهم صحيحة . وفي الإطار المرجعي الآخر (الأرض) يقطع الرواد مسافة كبيرة خلال نومهم أي أن النوم والاستيقاظ يقعان في مكائن مختلفتين . فتكون الفترة المقابلة على الأرض أكبر بعامل مقداره γ أي

$$\Delta t = \gamma \Delta t_p = \frac{1}{\sqrt{1-\frac{v^2}{c^2}}} \times 1 = \frac{1}{\sqrt{1-0.36}} = 1.25$$

تقلص الطول: ترتبط ظاهرة تقلص الطول بتمدد الزمن ، ويدعى الطول المقاس ضمن الإطار الذي يكون فيه الجسم ساكناً بالطول الصحيح L_p ، ويكون الطول المقاس في إطار عطالي مرجعي يكون الجسم فيه متاحراً أقصر من الطول الصحيح . لتنظر إلى قضيب ساكن في الإطار S بحيث تقع إحدى نهاياته في الموضع x_2' والنهاية الأخرى في الموضع x_1' . يكون طول القضيب في هذا الإطار هو الطول الصحيح $L_p = x_2' - x_1'$ ، يكون القضيب متاحراً نحو اليمين في الإطار S بسرعة v وهي سرعة الإطار S . ويكون طول القضيب في الإطار S مساوياً $x_2 - x_1 = L = x_2' - x_1'$ حيث x_2 هو موضع إحدى النهايتين في اللحظة t_1 ، و x_1 هو موضع النهاية الثانية في اللحظة $t_2 = t_1 + \Delta t$ مقاسه في الإطار S . وتكون المعادلة (١٨) ملائمة لحساب $x_2 - x_1$ أي

$$x_2' = \gamma(x_2 + vt_1) \quad \text{و} \quad x_1' = \gamma(x_1 + vt_1) \quad \text{وعما أن} \quad t_2 = t_1 + \Delta t \quad (\text{مقياس في اللحظة نفسها})$$

$$\text{نجد: } x_2' - x_1' = \gamma(x_2 - x_1) \quad \text{أو}$$

$$L = \frac{\gamma}{\gamma - 1} L_p \quad (٢١-١)$$

مثال ٤-٦

مسطرة قياس طولها الصحيح متر واحد تتحرك وفق اتجاه مواز لطولها بسرعة v بالنسبة إلىك . فإذا كان طولها المقاس من قبلك مساوياً 0.914 cm ، فما هي السرعة v ؟

يرتبط الطول المقاس بالطول الصحيح وفق العلاقة (٢١-١) أي $L = \frac{\gamma}{\gamma - 1} L_p$ ومنه

$$\gamma = \frac{L_p}{L} = \frac{1}{0.914} = \frac{1}{\sqrt{1 - \frac{v^2}{c^2}}} = 1.094$$

$$\sqrt{1 - \frac{v^2}{c^2}} = 0.914$$

$$\tau = 0.406c$$

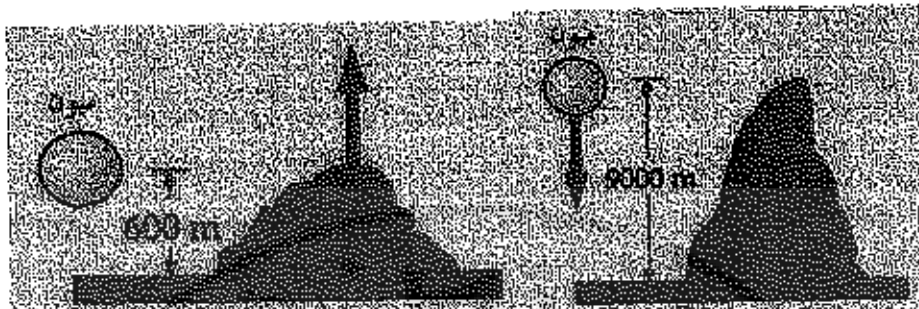
ويعد ظهور الميونات على وجه الأرض مثلاً مهماً لظاهري مدد الزمن أو تقلص العطول . إذ تفكك الميونات وفق القانون الإحصائي للتفكك الإشعاعي وهو

$$N(t) = N_0 e^{-t/\tau} \quad (23-1)$$

حيث N_0 هو عدد الميونات في اللحظة $t=0$ ، و $N(t)$ هو العدد في اللحظة t و τ هو متوسط عمر الميون وهو ساكن ويساوي $2\mu s$. تنتع الميونات من تفكك الميونات في أعلى الجو الأرضي أي عند مسافات تبعد عدةآلاف الأمتار عن سطح البحر ويصل قليل منها إلى سطح البحر . يقطع الميون الذي يسير بسرعة $0.998c$ مسافة $600 m$ فقط خلال الزمن $2\mu s$ ولكن عمر الميون مقاساً من قبل ملاحظ على الأرض يزيد بمقدار $(15 = \frac{1}{\sqrt{1-v^2/c^2}})$ مرة ، أي أن عمر الميون مقاساً من قبل ملاحظ على الأرض يساوي $30\mu s$ ويقطع مسافة $9000 m$ خلال هذه الفترة فمن وجهة نظر الميون نفسه فهو يعيش فترة $2\mu s$ وتختفي المسافة التي يقطعها إلى $600 m$. ويبين الشكل (١-٦) الإطارين المختلفين .

ومن السهل التمييز بين ما تقبلا به النظريتان التقليدية و النسبية . فإذا افترضنا وجود 10^8 ميون عند ارتفاع $9000 m$ من سطح البحر خلال فترة زمنية معينة ، فما هو عدد الميونات التي ستجدها عند سطح البحر خلال الفترة نفسها ؟ بتعويض $\tau = t = 15\mu s$ و $N_0 = 10^8$ في العلاقة (23-1) نجد

$$N = 10^8 e^{-15} = 30.6$$



الشكل (٦-١) يكون عمر الميون في الإطار المرتبط بالأرض متساوياً $30\mu s$ ويقطع مسافة 9000 m خلال هذا الزمن (الشكل الأيسر) . بينما يكون عمر الميون في الإطار المرتبط به متساوياً $2\mu s$ ويقطع مسافة 600 m فقط (الشكل الأيمن).

وبذلك تتوقع نفسك جميع المائة مليون ميون باستثناء ٣٠ مليون قبل وصولها إلى الأرض . أما النظرية النسبية فتشير إلى أن الأرض تقطع مسافة 600 m فقط بالنسبة لجملة الميونات الساكنة وهذا يتطلب زمناً قدره $2\mu s$ ويكون العدد المتوقع عند سطح البحر

$$= 3.68 \times 10^7 N = 10^8 e^{-1}$$

أي أن النظرية النسبية تنبأ بوجود أكثر من ثلاثين مليون ميون خلال الفترة الزمنية نفسها ولقد أكدت التجارب صحة التنبؤ النسبي .

٦-٩ ظاهرة دوبلر

عندما درسنا ظاهرة دوبلر في الفصل الأول من العام الدراسي وجدنا أن التغير في تواتر الصوت يرتبط بسرعة الراصد والتابع ، ويمكن التمييز بين الحالات المختلفة بسبب وجود وسط مرجعي ، وهو الهواء ، تحسب السرعات المختلفة بالنسبة إليه . لذلك لا يكون مستغرباً تمييز حركة التابع والراصد بالنسبة للهواء الساكن . ولكن مثل هذا التمييز بين حركة التابع والراصد غير ممكن في حالة الضوء أو أي من الأمواج الكهرومغناطيسية الأخرى في المخلاء . لذلك لا تصح الصيغة التي توصلنا إليها والتي تصف ظاهرة دوبلر في الصوت مع الضوء والأمواج الكهرومغناطيسية . ولذلك نقوم الآن اشتقاق الصيغة الصحيحة لظاهرة دوبلر النسبية والملازمة للضوء .

ستنظر إلى حالة متبع ضوئي متوجه نحو الراصد بسرعة مقدارها v وستعمل ضمن إطار الراصد . فإذا افترضنا أن المتبع يصدر عدداً من الأمواج مقداره N فستقطع الموجة الأولى مسافة $c\Delta t_R$ ، بينما يقطع المتبع المسافة $v\Delta t_R$ خلال الفترة $\lambda' = \frac{c\Delta t_R - v\Delta t_R}{N}$ المقابلة في إطار الراصد . فيكون طول الموجة متساوياً $f' = \frac{c}{\lambda'}$ ويكون التواتر الذي يسجله الراصد

$$f' = \frac{c}{\lambda'} = \frac{c}{c-v} \frac{N}{\Delta t_R} = \frac{1}{1-\frac{v}{c}} \frac{N}{\Delta t_R}$$

إن تواتر المتبع يساوي f_0 وهو يصدر $N = f_0 \Delta t_R$ موجة خلال الفترة Δt_R مقابله في إطار المتبع . وهي الفترة الصحيحة لأن جميع الأمواج صدرت من المكان نفسه في إطار المتبع . ترتبط النتائج Δt_R و Δt_s وفق علاقة تعدد الزمن (٢٠-١) أي $\Delta t_R = \gamma \Delta t_s$. وعندما يتحرك المتبع والراصد نحو بعضهما بحد

$$f' = \frac{1}{1-\frac{v}{c}} \frac{f_0 \Delta t_s}{\Delta t_R} = \frac{f_0}{1-\frac{v}{c}} \frac{1}{\gamma}$$

$$f' = \sqrt{\frac{1-\frac{v^2}{c^2}}{1-\frac{v}{c}}} f_0 = \sqrt{\frac{1+\frac{v}{c}}{1-\frac{v}{c}}} f_0 \quad (24-1)$$

$$f' = \sqrt{\frac{1-\frac{v^2}{c^2}}{1+\frac{v}{c}}} f_0 = \sqrt{\frac{1-\frac{v}{c}}{1+\frac{v}{c}}} f_0 \quad (25-1)$$

مثال ٤-١

إن أكبر طول موجة للضوء الصادر عن ذرة المدروجين في سلسلة بالير يساوي $\lambda_0 = 656 \text{ nm}$. وعند قياسه في الضوء الوارد من مجرة بعيدة وجد أنه يساوي $\lambda' = 1458 \text{ nm}$. فهل تبعد هذه المجرة أو تقترب من الأرض ، وما هي سرعتها؟

$$\sqrt{\frac{1-\frac{v}{c}}{1+\frac{v}{c}}} = \frac{f'}{f_0} = \frac{c}{\lambda'} = \frac{\lambda_0}{\lambda'} \quad \text{إذا عوضينا في العلاقة (٢٥-١) بحد}$$

نبسط هذه العلاقة بوضع $\frac{v}{c} = \beta$ ثم نربع الطرفين ونحل بالنسبة للوسيل β فنجد

$$\frac{1+\beta}{1-\beta} = \left(\frac{\lambda'}{\lambda_0}\right)^2 = \left(\frac{1458}{656}\right)^2 = 4.94$$

$$1 + \beta = 4.94 - 4.94\beta \rightarrow \beta = \frac{4.94 - 1}{4.94 + 1} = 0.663 = \frac{v}{c}$$

فالجسيمة تبتعد عن الأرض بسرعة تساوي $v = 0.663c$ ويدعى الانزياح نحو الطول الموجي الأكبر للضوء الوارد من الجسيمة المبتعدة بالانزياح نحو الأحمر.

٦-١ تحويل السرعة

نستطيع إيجاد تحولات السرعة من إطار مرجعي إلى آخر باستقاق معادلات تحويل لورنتز . فإذا امتلك جسم ما سرعة تساوي $u'_x = \frac{dx'}{dt'}$ في الإطار S' الذي يتحرك نحو اليمين

بسرعة مقدارها v بالنسبة للإطار S ، فإن سرعته في الإطار S هي $u_x = \frac{dx}{dt}$. بأخذ

تفاضل العلاقتين (١٦-١) و (١٧-١) نجد

$$dx = \gamma(dx' + vdt') , dt = \gamma(dt' + \frac{vdx'}{c^2})$$

وتكون السرعة في الإطار S متساوية

$$u_x = \frac{dx}{dt} = \frac{\gamma(dx' + vdt')}{\gamma(dt' + \frac{vdx'}{c^2})} = \frac{\frac{dx'}{dt'} + v}{1 + \frac{v}{c^2} \frac{dx'}{dt'}} = \frac{u'_x + v}{1 + \frac{vu'_x}{c^2}}$$

فإذا امتلك الجسم مركبات للسرعة وفق المحاورين X و y ، فإننا نستطيع استعمال العلاقة بين dt و dt' نفسها مع العلاقتين $dy = dy'$ و $dz = dz'$ للحصول على

$$u_y = \frac{dy}{dt} = \frac{dy'}{dt'} = \frac{\frac{dy'}{dt'}}{\gamma(1 + \frac{vu'_x}{c^2})} = \frac{u'_y}{\gamma(1 + \frac{vu'_x}{c^2})}$$

$$u_z = \frac{dz}{dt} = \frac{dz'}{dt'} = \frac{\frac{dz'}{dt'}}{\gamma(1 + \frac{vu'_x}{c^2})}$$

وكلذلك

ويأخذ التحويل النسبي الكامل للسرعة الصيغة التالية

$$(26-1) \quad u_x' = \frac{u_x}{\sqrt{1 + \frac{u_y^2}{c^2}}} = \frac{u_x}{\sqrt{1 + \frac{u_y^2}{c^2}}}, \quad u_y' = \frac{u_y + c}{\sqrt{1 + \frac{u_y^2}{c^2}}}$$

كما يأخذ التحويل النسبي المعاكس للسرعة الصيغة التالية

$$(27-1) \quad u_x' = \frac{u_x - c}{\sqrt{1 - \frac{u_y^2}{c^2}}}, \quad u_y' = \frac{u_y}{\sqrt{1 - \frac{u_y^2}{c^2}}}$$

وتحتفي هذه النتائج عن العلاقات التقليدية لأن المقامات فيها لا تساوي الواحد ، وتحول إلى العلاقات التقليدية في حالة تحقق المترافق $c \ll v$.

مثال ٦-١

تطير طائرة مقاتلة بسرعة 100 m/s بالنسبة لمراقب على الأرض وفق المحور X . وتطير طائرة أخرى بسرعة تساوي 500 m/s بالنسبة للطائرة الأولى وفق المحور X أيضاً.

فما هي سرعة الطائرة الثانية بالنسبة للمراقب على الأرض ؟

تكون سرعة الطائرة الثانية بالنسبة للمراقب على الأرض وفقاً للمفاهيم التقليدية متساوية

$$u_x' = u_x + v = 500 + 1000 = 1500 \text{ m/s}$$

ولحساب السرعة وفق المفاهيم النسبية لابد من حساب عامل التصحيح النسبي للسرعة وهو المد

$$(26-12) \quad 5 \times 10^{-12} = \frac{\frac{u_x}{c}}{\sqrt{1 - \frac{u_x^2}{c^2}}} = \frac{1000 \times 500}{(3 \times 10^8)^2}$$

جداً وبالتالي تكون النتائج التقليدية في هذه الحالة متساوية للنتائج التقليدية .

مثال ٧-٩

$$\text{أرد المثال السابق في حالة السرعتين } 0.8c \text{ و } c \text{ .}$$

يكون عامل التصحيح في هذه الحالة متساوياً $0.64 = \frac{0.8c \times 0.8c}{c^2} = \frac{0.64c^2}{c^2}$ و تكون

$$\text{سرعة الطائرة الثانية بالنسبة للمراقب الأرضي متساوية } u_x' = \frac{0.8c + 0.8c}{1 + 0.64} = 0.98c$$

وهي نسبة مختلفة تماماً عن نتيجة جمع السرعتين وفق المفاهيم التقليدية وهي $1.6c$.

١- الاندفاع النسبي

يعرف اندفاع الجسيم في الميكانيك التقليدي بأنه جداء كتلة الجسيم بسرعته $p=mv$ في حالة جملة معزولة من الجسيمات، غير خاضعة لمحصلة قوة خارجية، يبقى الاندفاع الكلي للجملة ثابتاً.

سنرى في هذه الفقرة من خلال تجربة ذهنية أن الصيغة التقليدية للاندفاع هي صيغة تقريرية، فهي مقدار غير مصان في الجملة المعزولة. لنتنظر إلى المراقبين A في الإطار المرجعي S و B في الإطار المرجعي S'، يملك كل منها كرة كتلتها m. وهما متماثلان عند مقارنتهما في حالة السكون. ينادف كل من المراقبين كرتاه بصورة شاقولية بسرعة u_0 بحيث تقطع المسافة L وتصطدم اصطداماً مرئياً بالكرة الأخرى، ثم تعود. في الشكل (١-٧) تصادم الكرتين كما يرى في كل من الإطارات. فوفقاً للميكانيك التقليدي يملك كل من الكرتين اندفاعاً شاقولياً مقداره mu_0 . وبما أن الاندفاعةين متساوين ومتعاكسين تكون المركبة الشاقولية للاندفاع الكلي معدومة قبل التصادم. يعكس اندفاع كل كرة نتيجة للتصادم وتكون المركبة الشاقولية للاندفاع الكلي بعد التصادم معدومة وتصل الكرتان إلى كل من A و B بالسرعة u_0 نفسها.

أما في النظرية النسبية فتكون مركبة السرعة الشاقوليتين كما تشاهد في كل من الإطارات غير متساويتين. فعند انعكاسهما نتيجة التصادم لا يبقى الاندفاع التقليدي مصانًا. يكون الاندفاع الخطي مصانًا في الميكانيك التقليدي لأن $\mathbb{C} = \mathbb{C}$ من أجل C. وسنعرف الاندفاع النسبي p للجسيم بأنه يملك الخصائص التاليتين

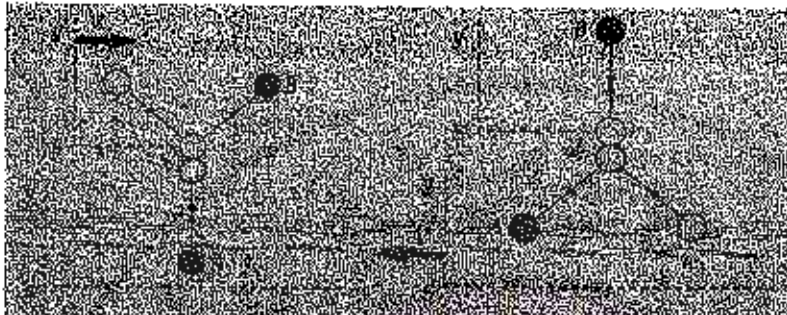
١. يكون الاندفاع p مصانًا في التصادم

٢. عندما تقترب النسبة u/C من الصفر يقترب الاندفاع p من القيمة mu

سنبرهن الآن أن المقدار

$$p = \sqrt{\frac{mu^2}{1 - \frac{u^2}{c^2}}} \quad (28-1)$$

مchan في التصادم المرن المبين بالشكل (١-٧) . وبما أن هذه الصيغة تقترب من القيمة mu عندما تقترب النسبة v/c من الصفر فستستعملها كتعريف للاندفاع النسي .



الشكل (١-٧) (a) تصادم مرن بين كرتين متماثلين مشاهد في الإطار S . إن المركبة الشاقولية لسرعة كرة B تساوي v/c في الإطار S إذا كانت تساوي u_0/c في الإطار S وفقاً للعلاقة (١-٢٦) . (b) في الإطار S . تكون المركبة الشاقولية لاندفاع كرة A متساوية v/c . ستحسب المركبة y للاندفاع النسي لكل جسم في الإطار S ونرهن أن إن المركبة y للاندفاع النسي الكلي تساوي الصفر . إن سرعة كرة A في S تساوي u_0 فتكون المركبة y لاندفاعها النسي متساوية v/c . كما أن سرعة كرة B في S مركبتان ، الأولى وفق X وتساوي v والثانية وفق Y وتساوي $-u_0/c$ ، ومنه

$$u_B^2 = u_{Bx}^2 + u_{By}^2 = v^2 + (-u_0 \sqrt{1 - v^2/c^2})^2 = v^2 + u_0^2 - \frac{v^2 u_0^2}{c^2}$$

وباستعمال هذه النتيجة لحساب $\sqrt{1 - u_0^2/c^2}$

$$1 - \frac{u_0^2}{c^2} = 1 - \frac{v^2}{c^2} - \frac{u_0^2}{c^2} + \frac{u_0^2 v^2}{c^4} = \left(1 - \frac{v^2}{c^2}\right) \left(1 - \frac{u_0^2}{c^2}\right)$$

ومنه

$$\sqrt{1 - \frac{u_0^2}{c^2}} = \sqrt{\left(1 - \frac{v^2}{c^2}\right)} \sqrt{\left(1 - \frac{u_0^2}{c^2}\right)} = \frac{1}{v} \sqrt{\left(1 - \frac{u_0^2}{c^2}\right)}$$

ف تكون المركبة y للاندفاع النسبي لكررة B في الإطار S متساوية

$$p_{By} = \frac{mu_{By}}{\sqrt{1 - \frac{u_B^2}{c^2}}} = \frac{-mu_0/\gamma}{(1/\gamma)\sqrt{1 - u_0^2/c^2}} = \frac{-mu_0}{\sqrt{1 - \frac{u_0^2}{c^2}}}$$

وعاً أن $p_{By} = -p_{Ay}$ فالمركبة y للاندفاع الكلي للكررتين تساوي الصفر . فإذا عكست سرعة كل من الكررتين بالتصادم فسيقى الاندفاع الكلي معدوماً وبالتالي يكون الاندفاع مصاناً .

بعد ازدياد كثة الحسيم تفسيراً معقولاً للعلاقة (٢٨-١) . وتدعي الصيغة $m/\sqrt{1 - u^2/c^2}$ بالكتلة النسبية للحسيم . عندما يكون الحسيم ساكناً في أحد الأطرا المرجعية تدعى كتلته بالكتلة السكونية ويرمز لها بالرمز m_0 . أي أن الكتلة تزداد من القيمة m_0 في حالة السكون إلى القيمة $m = m_0/\sqrt{1 - u^2/c^2}$ في حالة الحركة بسرعة u . وتكون الكتلة السكونية للحسيم نفسها في جميع الأطرا العطالية المرجعية . وباستعمال الرموز السابقة يعطى الاندفاع النسبي بالعلاقة

$$\mathbf{p} = \frac{m_0 u}{\sqrt{1 - \frac{u^2}{c^2}}} \quad (29-1)$$

٩-٨ الطاقة النسبية

سنعرف الطاقة الحركية بأنما العمل المنجز بواسطة قوة خارجية في تسريع الحسيم من حالة السكون إلى سرعة معينة . وفي حالة بعد الواحد لدينا

$$K = \int_{u=0}^u \sum F ds = \int_0^u \frac{du}{dt} ds = \int_0^u u dp = \int_0^u u d \left(\frac{m_0 u}{\sqrt{1 - \frac{u^2}{c^2}}} \right) \quad (30-1)$$

حيث استعملنا $\mathbf{u} = ds/dt$ ، وترك للطالب إثبات أن

$$d \left(\frac{m_0 u}{\sqrt{1 - \frac{u^2}{c^2}}} \right) = m_0 \left(1 - \frac{u^2}{c^2} \right)^{-3/2} du$$

فإذا عرضنا هذه الصيغة في التكامل (٣٠-١) نجد

$$K = \int_0^u m_0 \left(1 - \frac{u^2}{c^2}\right)^{-3/2} u du = m_0 c^2 \left(\frac{1}{\sqrt{1-u^2/c^2}} - 1 \right)$$

$$K = \frac{m_0 c^2}{\sqrt{1-u^2/c^2}} - m_0 c^2 \quad (31-1)$$

تألف صيغة الطاقة الحركية من حددين ، يرتبط الأول بسرعة الجسم ويكون الثاني ثابتاً يدعى الحد الثاني $m_0 c^2$ بالطاقة السكونية للجسم E_0 . وتعرف الطاقة النسبية E بما يليه مجموع الطاقة الحركية والطاقة السكونية

$$E = K + m_0 c^2 = \frac{m_0 c^2 u}{\sqrt{1-u^2/c^2}} = m_r c^2 \quad (32-1)$$

نستطيع الحصول على سرعة الجسم بضرب العلاقة (٢٩-١) الممثلة للاندفاع النسبي بربع سرعة الضوء ومقارنته الناتجة مع العلاقة (٣٢-١) الممثلة للطاقة النسبية فنجد

$$\text{ومنه } pc^2 = \frac{m_0 c^2 u}{\sqrt{1-u^2/c^2}} = Eu$$

$$\frac{u}{c} = \frac{pc}{E} \quad (33-1)$$

مثال ٩-١

يتحرك إلكترون طاقته السكونية 0.511 MeV بسرعة تساوي c . أوجد طاقته الكلية وطاقته الحركية واندفاعه .

$$\text{نحسب أولاً عامل التصحيح النسبي } \gamma = \frac{1}{\sqrt{1-u^2/c^2}} = \gamma \quad \text{نجد}$$

$$\frac{1}{\sqrt{1-u^2/c^2}} = \frac{1}{\sqrt{1-0.64}} = 1.67$$

ف تكون الطاقة الكلية متساوية: $E = \gamma m_0 c^2 = 1.67 \times 0.511 = 0.853 \text{ MeV}$ والطاقة الحركية هي الفرق بين الطاقتين الكلية و السكونية أي :

$$K = E - m_0 c^2 = 0.853 - 0.342 = 0.342 \text{ MeV}$$

و تكون قيمة الاندفاعة مساوية

$$p = \gamma m_0 u = \frac{\gamma m_0 c^2 u}{c^2} = 1.67 \times 0.511 \text{ MeV} \times \frac{0.8c}{c^2} = 0.680 \text{ MeV}/c$$

يمكن دمج علاقات الاندفاعة النسبي و الطاقة النسبية وحذف السرعة v فنصل إلى علاقة تربط بين الطاقة والاندفاعة هي

$$(34-1) \quad E^2 = p^2 c^2 + (m_0 c^2)^2$$

إذا كانت طاقة الجسيم أكبر بكثير من كتلته السكونية ، يهمل الحد الثاني في الطرف الأيمن من العلاقة (34-1) وتصبح العلاقة من الشكل

$$(35-1) \quad E \approx pc$$

تكون المساواة (35-1) بين طاقة الجسيم واندفاعة محققة عندما تكون الكتلة السكونية لهذا الجسيم معروفة كما في حالتي الفوتون و التريتون . إن النظر إلى الحد $m_0 c^2$ كطاقة سكونية ليس بسبب الملاعنة فقط ، فتحول الطاقة السكونية إلى طاقة حركية مع ما يقابلها من خسارة في الكتلة السكونية أمر شائع الحدوث في التفكك بين التفاعلات النووية و خاصة تفاعلي الانشطار والاندماج . ولسوف نورد مثالاً على ذلك في هذه الفقرة . لقد اعتبر أينشتاين أن العلاقة (32-1) التي تربط طاقة الجسم بكتلته من أهم نتائج النظرية النسبية الخاصة . فالطاقة و العطالة ، اللتان كانتا في ذكرهن منفصلتين ، ترتبطان من خلال هذه المعادلة الشهيرة .

وللوضوح العلاقة بين الكتلة السكونية و الطاقة ستنظر إلى تصادم غير من بين جسيمين . فوقأ للنظرية التقليدية هناك خسارة في الطاقة الحرارية في مثل هذا التصادم ففي إطار الاندفاعة المعلوم يتحرك الجسيمان نحو بعضهما باندفاعين متساوين ومتراكبين ويكونان في حالة سكون بعد التصادم . أي أن الطاقة الحرارية في هذا الإطار تلاشت . بينما يتحرك الجسيمان بعد التصادم بسرعة مرکز الكتلة في أي إطار

مرجعي آخر مع بقى المخسارة نفسها في الطاقة الحركية . فإذا افترضنا أن الطاقة النسبية مصانة تكون المخسارة في الطاقة الحركية متساوية لزيادة الكتلة السكونية لجملة الجسيمين . لنظر إلى جسم كتلته السكونية m_{10} يتحرك بسرعة ابتدائية U_1 ويصطدم بجسم كتلته السكونية m_{20} يتحرك بسرعة ابتدائية U_2 . فيلتجم الجسمان ويشكلان جسمًا كتلته السكونية M_0 ويتحرك بسرعة U_f كما في الشكل (٨-١) . سفترض أن E_1 هي الطاقة الكلية الابتدائية و K_1 هي الطاقة الحركية الابتدائية للجسم الأول ، و E_2 و K_2 هما الطاقة الكلية والطاقة الحركية الابتدائية للجسيم الثاني . فتكون الطاقة الكلية الابتدائية للجسيمين معاً $E_i = E_1 + E_2$ ، والطاقة الحركية الابتدائية لها

$$K_i = K_1 + K_2 = (E_1 - m_{10}c^2) + (E_2 - m_{20}c^2)$$

وبعد التصادم يكون للجسم الناتج كتلة سكونية هي M_0 وطاقة كلية E_f وطاقة حركية تساوي $K_f = E_f - M_0c^2$. وتكون المخسارة في الطاقة الحركية للجسيمين

$$K_i - K_f = (E_1 + E_2 - m_{10}c^2 - m_{20}c^2) - (E_f - M_0c^2) \quad (٣٦-١)$$

إذا افترضنا أن الطاقة الكلية مصانة ، يكون $E_f = E_i = E_1 + E_2$ وبالتعويض في العلاقة (٣٦-١) وترتيب العلاقة نجد

$$K_i - K_f = (M_0 - m_{10} - m_{20})c^2 = (\Delta m_0)c^2 \quad (٣٧-١)$$

حيث $\Delta m_0 = M_0 - (m_{10} + m_{20})$ هي الزيادة في الكتلة السكونية لجملة الجسيمين .



الشكل (٨-١) تصادم غير مرن بين جسيمين

يعبر عن الطاقة عادة في الفيزياء الذرية والتزوية بوحدة الإلكترون فولت (eV) أو ميغا إلكترون فولت (MeV) : $1 \text{ eV} = 1.6 \times 10^{-19} \text{ J}$

مثال ٩-١

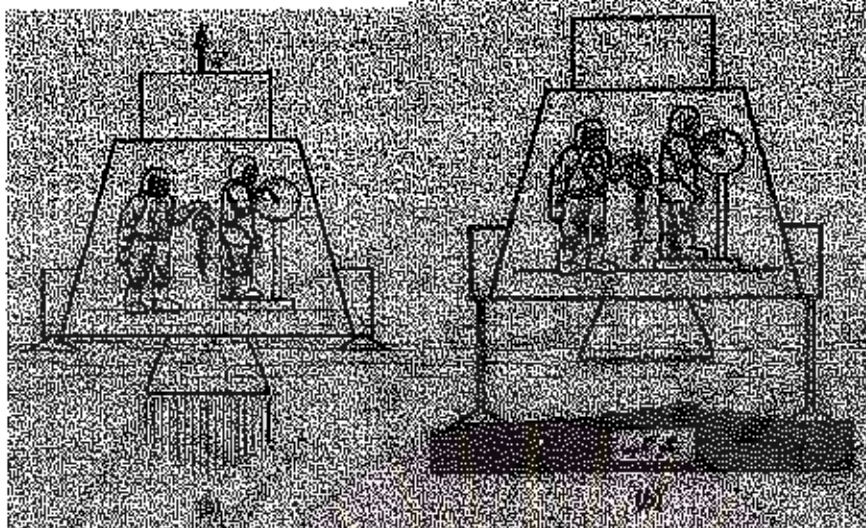
يتالف الديوترون من بروتون ونيترون مرتقبين بعضهما . وهي نواة ذرة الديوترون أحد نظائر المدروجين والذي يدعى بالمدروجين الثقيل ويأخذ الرمز H^2 . ما هي الطاقة اللازمة لفصل البروتون عن النيترون في الديوترون ؟

إن طاقة الديوترون السكونية تساوي 1875.63MeV ، والطاقة السكونية للبروتون تساوي 938.28MeV ، والطاقة السكونية للنيترون تساوي 939.57MeV فيكون جموع الطاقة السكونية للبروتون والطاقة السكونية للنيترون متساوية 1877.85MeV وهي أكبر من طاقة الديوترون السكونية بمقدار 2.22MeV . تدعى الطاقة اللازمة لتفريق النواة إلى مكوناتها بطاقة ارتباط النواة . أي أن طاقة ارتباط الديوترون تساوي 2.22MeV . وهي الطاقة التي يجب أن تضيفها إلى الديوترون لتفريقه إلى بروتون ونيترون . ويمكن فعل ذلك بترجم الديوترون بجسيمات ذات طاقة عالية أو أشعة كهرومغناطيسية طاقتها تساوي 2.22MeV على الأقل .

يوضح هذا المثال حاصلة مهمة للذرات والنوى . فما يحي حجم مركب مستقر مثل الديوترون والهليوم ، والمكون من جسيمات أخرى ، يملك طاقة سكونية تقل عن جموع الطاقات السكونية لمكوناته . ويشكل الفرق ما يدعى بطاقة الارتباط لذلك الجسيم .

٩-١ النسبة العامة

يعرف تعريف النسبة على الأطر المرجعية غير العuelle بالنسبيّة العامة ، ويوجد عدد ضئيل من الحالات لاختبار صحتها . تطلق النسبة العامة من مبدأ التكافؤ الذي ينص على أن حقل الثقالة الأرضي المتجانس يكافئ إيلاراً مرجعيًا متزامناً بانتظام . ينشأ هذا المبدأ بسبب المظاهر المشتركة للثقالة والكتلة العuelle . إذ تسقط جميع الأجسام الخاضعة لحقل الثقالة المنتظم بالتتسارع نفسه مهما كانت كتلها ، بسبب تناسب قوة الثقالة (الوزن) مع الكتلة ، وتناسب التسارع عكساً مع الكتلة . لتنظر مثلاً إلى غرفة في القصباء بعيدة عن أية مادة وتتخضّع إلى تسارع منتظم كـ كما في الشكل (١-٩-١)



الشكل (٩-١) لا يمكن تمييز التسارع

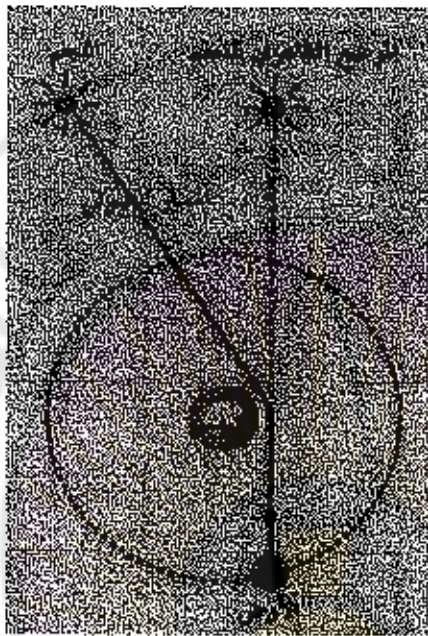
فإذا سقط جسم ضمن الغرفة فإنه يسقط نحو أرض الغرفة بتسارع يساوي $-a = g$. وإذا وقف شخص على ميزان ذي نابض فإنه يقرأ وزناً يساوي ma . ولا يوجد تجربة ميكانيكية يمكن تنفيذها ضمن الغرفة تشير إلى حالة الغرفة في الفضاء (متتسارعة ، أم ساكنة ، أو تسير بسرعة ثابتة بوجود حقل الثقالة المنتظم $-a = g$) . افترض أينشتاين صحة مبدأ التكافؤ في كل الفيزياء وليس في الميكانيك فقط ، فاكد بعدم وجود تجربة من أي نوع نستطيع من خلالها تمييز الحركة المتتسارعة بانتظام عن حقل الثقالة . ولسوف نناقش بصورة وصفية بعض نتائج هذه الفرضية . فنناقش أولاً مسألة انحراف الحزمة الضوئية في حقل الثقالة الأرضية نتيجة لمبدأ التكافؤ . وهي مسألة يجب اختبارها تجريبياً .

يبين الشكل (١٠ - ٤) حزمة ضوئية تدخل غرفة متتسارعة ، ويظهر الشكل الأوضاع المتالية للغرفة في حالة فترات زمنية متساوية . ويسبب التسارع تزداد المسافة التي تقطعها الحزمة في كل فترة عن سابقتها ويكون مسار الحزمة الضوئية كما يشاهد



الشكل (١٠-١) مسار الحرارة الضوئية وقد نظر إليها من إطارين مرحبيين مختلفين . وذلك يشبه كرة قذفت بسرعة ابتدائية أفقية ضمن الغرفة على شكل قطع مكافئ . ولكن مبدأ التكافؤ لا يسمح بوجود طريقة للتمييز بين غرفة متتسارعة وأخرى تسير بسرعة ثابتة ضمن حقل الثقالة المنتظم . ونستنتج أن حرارة الضوء ، مثل جميع الأجسام ذات الكتل ، تتتسارع في حقل الثقالة فقرب سطح الأرض سيسقط الضوء بتتسارع يساوي 9.81 m/s^2 . وهو أمر لا يلاحظ بسبب سرعة الضوء المائلة . فمن أجل مسافة مقدارها 3000 km يستغرق الضوء مدة 0.05 s لاحتيازها و سيسقط الحرارة الضوئية مسافة 0.5mm . لقد أشار آينشتاين إلى أنها نستطيع ملاحظة انحراف مسار الأشعة الضوئية في حقل الثقالة عندما يمر الوارد من يعلم بعيد بالقرب من الشمس كما في الشكل (١١-١) . وبسبب

سطوع الشمس لا نستطيع مشاهدته مثل هذا النجم . ولقد شوهد هذا الانحراف لأول مرة عام ١٩١٩ خلال كسوف الشمس ، وأدت هذه المشاهدة إلى شهرة أينشتاين في ذلك الوقت .



الشكل (١١-١) انحراف المخرمة الضوئية نتيجة جذب الشمس

والتيتو الثاني للنسبية العامة هو ازدياد تردد مدار الكوكب ميركوري . وهي حقيقة معروفة ولم يعرف لها سبب . وبذلك أتى الدليل الثاني على صحة النسبية العامة وما تزال هناك بعض الصعوبات في مقارنة الشائج التجريبي مع القيم المحسوبة بسبب وجود عوامل أخرى مثل الاضطرابات التي تسببها الكواكب الأخرى وعدم كروية الشمس وغيرها .

أما المتيتو الثالث للنسبية العامة فنذكر الثقوب السوداء التي تبعاً بما العالم أوين هاينر عام ١٩٣٩ . فاستناداً للنسبية العامة تكون الثقالة الكونية لنجم كثافته المادية كبيرة جداً ، هائلة بحيث لا يخرج أي شيء بما فيها الضوء أو أي أمواج كهرومغناطيسية

أخرى . وما يميز مثل هذا النجم هو عدم خروج أي معلومات عما يحدث منه إلى خارج النجم . وكما يحدث غالباً في الفيزياء تعطي الحسابات البسيطة غير الصحيحة نتائج صحيحة للعلاقة بين كثافة ونصف قطر الثقب الأسود . ففي ميكانيك نيوتن تحسب سرعة النجاة بحسب من على سطح نجم أو كوكب يجعل طاقته

$$\text{الحركية} = \frac{-GMm}{r^2} \left(\frac{1}{2} m v^2 \right) \quad \text{مساوية قيمة الطاقة الكامنة}$$

$$v = \sqrt{\frac{2GM}{r}} \quad \text{فإذا جعلنا سرعة النجاة هذه متساوية لسرعة الضوء } c \quad \text{نحصل على}$$

نصف القطر الخارج الذي يدعى بنصف قطر شوارزشایلد

$$R_G = \frac{2GM}{c^2} \quad (37-1)$$

فلنكي يصبح جسم له كثافة ثقيلة ثقباً أسوداً يجب أن يكون له قطر يساوي 3km وبسبب عدم صدور أي إشعاع من الثقب الأسود تتوقع أن يكون صغير النجم وصعب الاكتشاف . وأكثر الفرص احتمالاً لكشفه عندما يكون مرفقاً لنجم عادي في حملة ثنائية . عندها تستطيع بقياس انزياح دوبلر للضوء الصادر عن النجم العادي تقدير كثافة المرافق غير المرئي وبالتالي معرفة حجمه ليصبح ثقباً أسود . وكمثال آخر على تنبؤات النسبية العامة ما يتعلق بتغير الفترات الزمانية وتغير توافر الضوء ضمن حقل النجاة . فإذا كانت Δt_2 هي الفترة الزمانية المقاسة حيث كمون الثقالة Φ_1 و Δt_1 هي الفترة الزمانية المقاسة حيث كمون الثقالة Φ_2 فنتيجة النسبية العامة بأن الفرق النسبي يساوي تقريرياً

$$\frac{\Delta t_2 - \Delta t_1}{\Delta t} = \frac{1}{c^2} (\Phi_2 - \Phi_1) \quad (38-1)$$

ويعاً أن هذا الانزياح صغير جداً فلا فرق إن قسمنا على Δt_1 أو Δt_2 في الطرف الأيسر من المعادلة . أي أن المساعدة الموجودة عند كمون ثقالي منخفض تكون أبطأ من تلك الموجودة عند الكمون المرتفع . وبما أنها نستطيع النظر إلى الذرة المهززة كجهاز

توقيت فيكون تواتر الاهتزاز عند الكمون المتخفض (بالقرب من الشمس مثلاً حيث يكون كمون النقالة سالباً GM/r) أقل من تواتر الاهتزاز للنرة نفسها بجوار الأرض . يدعى هذا الانزياح نحو التواتر المتخفض أي نحو طول الموجة الأكبر بالانزياح الشعالي الأحمر .



ćمارين مسائل

١ - استعمل مايكلسون في إحدى تجاربه مساراً طوله $L = 35.4 \text{ km}$ ما هو الزمن الذي يستغرقه الضوء ليقطع رحلة الذهاب والعودة موازياً لحركة الأرض؟ وما هو التصحيح الذي يجب إدخاله على القيمة التقليدية مفترضاً أن سرعة الأرض

$$v = 3 \times 10^4 \text{ m/s} \quad c = 3 \times 10^8 \text{ m/s}$$

$$\text{الجواب: } 2.36 \times 10^{-4} \text{ s}, \quad 2.62 \times 10^{-13} \text{ s}$$

٢ - تعليم طائرة بسرعة c بالنسبة للهواء الساكن من النقطة A إلى النقطة B ثم تعود إلى النقطة A . قارن الزمن اللازم لرحلة الذهاب والعودة في حالة هبوب رياح متوجهة من A إلى B بسرعة v وكذلك مع حالة رياح عودية على المسار AB بسرعة v

$$\text{الجواب: } \gamma = \frac{\Delta t_{\text{عيدي}}}{\Delta t_{\text{عادي}}} = \frac{\text{مروي}}{\text{معادي}}$$

$$3 - \text{أنتشر كل من } \gamma, \frac{1}{\gamma}, 1 - \gamma \text{ في الحالة } C.$$

٤ - ما هي السرعة التي يجب أن تسير بها مركبة فضائية بالنسبة للأرض كي يختلف قياس فترتها الزمنية عن الأرض بمقدار واحد بالمائة

$$\text{الجواب: } 4.2 \times 10^7 \text{ m/s}$$

٥ - إذا كان متوسط عمر الميون (π) الصحيح مساوياً $s = 2.6 \times 10^{-8}$ وكانت سرعته مقاسه في المختبر مساوية $0.9C$. أوجد متوسط عمره مقاساً في المختبر . ومتوسط المسافة التي يقطعها قبل تفككه . قارن المسافة التي حسبتها مع تلك المحسوبة بإهمال التمدد الزمني .

$$\text{الجواب: } 7.02 \text{ m}, \quad 7.02 \text{ m}, \quad 16.1 \text{ m}$$

٦- ما هي المسافة التي يقطعها المختبر محسوبة في الحملة المرتبطة مع الميلون في المسألة
السابقة ؟ الجواب : 7.02 m

٧- مسطرة قياس طولها وهي ساكنة 1m ، تسير بسرعة $V = 0.6C$ بالنسبة لمراقب .
أوجد طول هذه المسطرة مقاساً من قبل المراقب ، واحسب الزمن الذي تستغرقه
المسطرة لكي تمر من أمام المراقب .

الجواب : $4.44 \times 10^{-9} \text{s}$ ، 0.8 m

٨- تطير طائرة بسرعة $C = 3 \times 10^6 \text{ m/s}$. ما هي نسبة تقلص طولها الذي نشاهده ؟ وما هو
الزمن المقابل لسنة على الأرض مقاسه من قبل راكب في الطائرة ؟
الجواب : $4.5 \times 10^{-4} \text{s}$ ، $1.42 \times 10^{-12} \text{ s}$

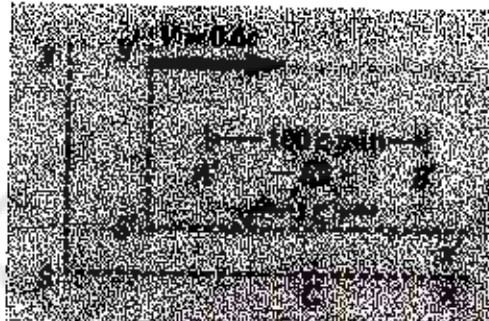
٩- يحدد ملاحظ مسافة قدرها $L' = 100C \cdot \text{min}$ في الحملة $'/\text{s}$ بين النقاطين A' و B' كما في الشكل . ويضع مصباحاً ومضياً في النقطة C منتصف المسافة بين النقاطين A' و B' ويرت الأمر بحيث يصدر المصباح ومضبة ضوئية فيبدأ الزمن في الساعتين عند A' و B' لحظة وصول الضوء إليهما . تسير الحملة S نحو اليمين بسرعة قدرها $0.6C$ بالنسبة للاحظ موجود عند النقطة C في الحملة S الواقعة في منتصف المسافة بين A' و B' لحظة البدء والمطلوب :

أ-) أوجد المسافة بين A' و B' مقاسة من قبل سلاحف موجود في الحملة S . ب)
عندما تسير الومضة نحو A' بسرعة C تسير النقطة A' نحو النقطة C بسرعة $0.6C$.
أثبت أن الساعة الموجودة عند النقطة C تشير إلى زمن قدره 25min عندما تصل
الومضة إلى A' . ج) أثبت أن الساعة الموجودة عند C تشير إلى زمن قدره 100min
عندما تصل الومضة إلى B' التي تبعد عن C بسرعة $0.6C$. د-) إذا كان الفارق
الزمني مقاساً في الحملة S بين لحظتي وصول الومضة الضوئية إلى كل من A' و B' هو

، فما هو الزمن المقابل لهذه الفترة مقاساً في ساعة A' 75min

$$\frac{L_0 V}{C^2}$$

المحسوبة في الطلب (د) مع تلك الناتجة من استعمال العلاقة



الجواب : 60 min , 60 min , 100 min , 25 min , 58c.min

- ١٠- يقع حدثان في النقطة X_0 نفسها في الحملة s' في المحظتين t'_1, t'_2 . أثبت مستعملاً تحويلات لورنتز أن الفرق الزمني مقاساً في الحملة s أكبر من الفرق $t'_2 - t'_1$ بقدر γ .

١١- أوجد علاقة تقلص الطول انطلاقاً من تحويلات لورنتز

- ١٢- تقارب سفيتثان فضائيان من بعضهما ، فإذا كانت سرعة كل منها بالنسبة للأرض متساوية $0.92c$ فما هي سرعة إحداهما بالنسبة للأخر؟ أعد الحساب من أجل $V=30000m/s$

الجواب : $6 \times 10^4 m/s$ ، $0.9965c$

- ١٣- يملك إلكترون كتلته السكونية $0.511 MeV/c^2$ طاقة كافية لدرها $5 MeV$ أو جد الاندفاع الخطى لهذا الإلكترون وكذلك سرعته .

الجواب : $0.995c$ ، $4.97 MeV/c$

- ٤- أوجد الطاقة اللازمة لتسريع جسم كتلته m_0 من السكون إلى السرعة النهاية $0.5c, 0.9c, 0.99c$

الجواب : $6.09m_0c^2$ ، $1.294m_0c^2$ ، $0.115m_0c^2$

١٥-أوجد الاندفاع الخطى لبروتون كتلته السكورية $938\text{MeV}/c^2$ وطاقةه الحركية 938MeV ، ما هي سرعته ؟

الجواب : $0.969c$ ، $1624.628\text{MeV}/c$

١٦-ما هي الطاقة اللازمة لtreu أحد نيترونات الтриترون H^3 والحصول على الديوترون -6.257MeV ؟ الجواب :

١٧-إذا كانت الكتلة السكورية للهليوم He^3 مساوية $3.0144u$ فما هي طاقته السكورية ؟ وما هي الطاقة اللازمة لtreu أحد البروتونات منه والحصول على الديوترون -6.00MeV . الجواب :

١٨-تدمج نوافتاً ديتريوم H^2 في تفاعل نووي لتشكيل نواة الهليوم He^4 . أحسب الخسارة في الكتلة السكورية والطاقة المطلقة في هذا التفاعل ، بما هو عدد التفاعلات التي يجب أن تحدث خلال ثانية واحدة لإنتاج استطلاعه قدرها واحد ؟

الجواب : 2.6×10^{11}

١٩-ما هي المدة التي يجب أن تطيرها طائرة بسرعة 2000km/s حتى يصبح الفرق بين الساعة التي يداخلها وال الساعة على الأرض ثانية واحدة ؟

الجواب : 18493 سنة

٢٠-اثبتت أن العلاقة بين سرعة الجسم u وكتلته m وطاقةه الكلية E هي:

$$\frac{u}{c} = \left(1 - \left(\frac{mc^2}{E} \right)^2 \right)^{\frac{1}{2}}$$

الجواب : $0.9988c$

٢١-ما هو الخطأ النسبي المرتکب عند استعمال الصيغة التقليدية $\frac{1}{2}m_0v^2$ للطاقة

الحركية في حالة إلكترون سرعته $0.9C$ ؟ الجواب : 0.69

٢٢- مسطرة قياس طولها الصحيح L وتحتاج زاوية θ مع المحور X في الجملة S . أثبت أن الزاوية مع المحور X' في الجملة S' التي تتحرك وفق اتجاه المحور X بسرعة v تعطى

$$\tan \theta' = \gamma \tan \theta \quad \text{بالعلاقة وأن طول المسطرة في الجملة } S' \text{ يساوي :}$$

$$L' = L \left(\frac{\cos^2 \theta}{\gamma^2} + \sin^2 \theta \right)^{\frac{1}{2}}$$

٢٣- سفينتان فضائيتان طول كل منها $100m$ في حالة السكون ، تتحركان مفترقيتين من بعضهما بسرعتين متساويتين $0.8C$ بالنسبة للأرض . ما هو طول كل منها مقاساً من قبل ملاحظ على الأرض ؟ وما هي السرعة التي تسيرها كل منها بالنسبة للأخرى ؟ وما هو طول كل منها مقاساً من قبل الأخرى ؟

الجواب : $22 m$ ، $60 m$ ، $0.9756c$

٤- في تجربة لاختبار التمدد الزمني استعمل ملاحظان ساعتين متماثلين ، فركب أحدهما الجملة S التي تتحرك بسرعة $0.6C$ بالنسبة للآخر الموجود في الجملة S' ، وبدأ قياس الزمن في اللحظة التي انطبق فيها مبدأ الإحداثيات في الجملتين . واتفقا أن يرسل كل منها إشارة ضوئية بعد مرور 60 ثانية ثم إشارة ثانية لحظة استلام كل منها للإشارة الأولى . من يسلم الملاحظ في الجملة S' الإشارة الأولى التي يرسلها الملاحظ في الجملة S ؟ ومن يسلم الإشارة الثانية ؟

الجواب : $240 s$ ، $120 s$

٥- تدور طاولة أفقية بسرعة زاوية قدرها ω . يوجد ساعة عند مركز الطاولة وساعة أخرى على بعد r من المركز أي أن الساعة الموجودة عند البعد r تسير بسرعة خطية قدرها $v = \omega r$. أثبت أن العلاقة بين الفترة الزمنية التي تقيسها الساعة الموجودة عند المركز Δt_0 والفترة التي تقيسها الساعة الموجودة عند المسافة r هي :

$$r\omega \ll c : \quad \frac{\Delta t_r - \Delta t_0}{\Delta t_0} = \frac{r^2 \omega^2}{2c^2}$$

٢٦- ينطر جسم ساكن كتلته السكونية M_0 إلى جسمين متصلين كتلة كل منها السكونية $0.4M_0$. أوجد الطاقة الكلية لكل منهما ، الاندفاع الخطى ، وسرعة كل منها . الجواب : $0.6c$ ، $0.3M_0c^2$ ، $0.5M_0c^2$

الفصل الثاني

التمكيم

Quantization



وبحدنا في الفصل الأول أن قوانين نيوتن يجب أن تعدل عندما تطبق على أحجام تتحرك بسرعة فريدة من سرعة الضوء . كما أوضح العديد من التجارب والأفكار النظرية خلال العشرين سنة الأخيرة من القرن التاسع عشر والثلاثين سنة الأولى من القرن العشرين ، إثبات القوانين التقليدية عند تطبيقها على الجمل المهرية مثل الجسيمات ضمن الذرة . وهو فشل كبير يمثل لفشل الميكانيك التقليدي عدد السرع العالية . ويمكن وصف داخل الذرة باستعمال النظرية الكمية فقط (وهو ما يدعى بالميكانيك الكمومي أو بالميكانيك الوجي) التي تتطلب تعديلاً بعض الأفكار الأساسية حول العلاقة بين النظرية الفيزيائية والعالم الفيزيائي .

يمتاز تطور النظرية الكمومية بشكل كبير عن تطور النظرية النسبية . فالنظرية النسبية الخاصة وضعها بشكل كامل ألبرت أينشتاين عام ١٩٠٥ ، كما وضع النسبية العامة عام ١٩١٦ . بينما تطورت النظرية الكمومية عبر فترة طويلة وساهم في تطويرها عدد كبير من العلماء . فلم تكن الاكتشافات في البدء مرتبطة كما لم تظهر قبل عام ١٩٢٠ أي نظرية متسقة . وتعد هذه النظرية الكمومية الآن أساساً لفهم العالم المهربي . فهي ناجحة جداً رغم وجود حدل كبير حول تفسيرها الفلسفية . وكما هو الحال في النظرية النسبية فإن النظرية الكمومية ترد إلى النظرية التقليدية عندما تطبق على الجمل المهرية أي على الأحجام المألفة في حياتنا اليومية .

لم تكن بداية النظرية الكمومية ، رغم غرابة الأمر ، في اكتشاف النشاط الإشعاعي أو الأشعة السينية أو الطيف الناري ، ولكن في الترموديناميكي (التحريك الحراري) . فلقد وجد ماكس بلاتك في أثناء دراسته لإشعاع الجسم الأسود أنه يستطيع تحقيق المطابق بين النتائج التجريبية والحسابات النظرية بافتراض أن تبادل الطاقة (امتصاص و إصدار) لا يتم بشكل مستمر بل على شكل كمات . وكان أينشتاين أول من لاحظ أن تكميم الطاقة ليس أدلة رياضية ولكنها صيغة عامة للإشعاع . طبع بور بعد ذلك أفكار أينشتاين في تكميم الطاقة ، على طلاقة الذرة واقتصر بدوره على ناحيـة الذرة

المهروجين أعطى فيما صحيحة للأطوال الموجية للأشعة الصادرة عن المهروجين ستنظر في هذا الفصل بصورة وصفية إلى منشأ فكرة تكميم الطاقة ثم ننظر إلى بعض خواص الأمواج الإلكترونية وكيف تقود معادلة شرودنجر إلى تكميم الطاقة .

١-٢ مصدر ثابت التكميم (إشعاع الجسم الأسود)

كان التوزع الطبيعي لإشعاع الجسم الأسود من أكثر الظواهر الحيرة التي درست مع نهاية القرن التاسع عشر . فالجسم الأسود هو جملة مثالية تستطيع امتصاص جميع الإشعاعات التي ترد عليها . ويمكن تقريرها بفجوة لها فتحة صغيرة كما في الشكل (١) .



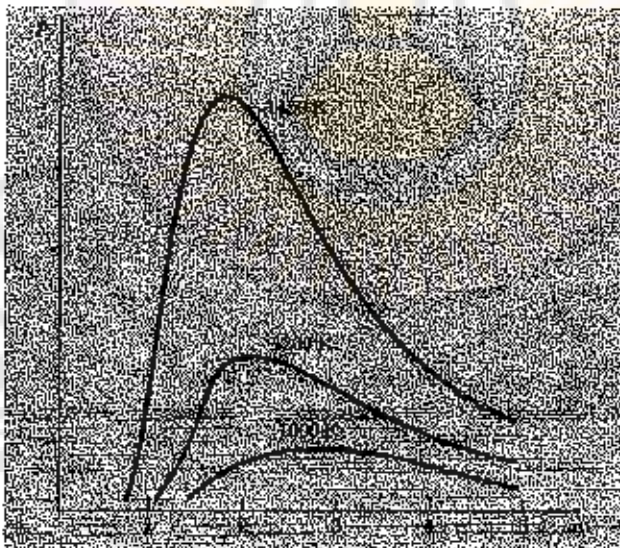
الشكل (١-٢) تقرير الفجوة للجسم الأسود على الأشعة الداخلة فرصة ضعيفة في الخروج وترتبط مميزات الإشعاع في هذه الفجوة بدرجة حرارة جدرانها فقط . ففي درجات العادية ، أقل من 600°C ، لا يكون الإشعاع الصادر عن الجسم الأسود ملحوظاً بسبب ترکيز الطاقة في مجال الأشعة تحت الحمراء للطيف الكهرومطيسي . ومع تسخين الجسم تزداد كمية الطاقة المشعة (وفقاً لقانون ستيفان - بولتزمان في الإشعاع) ويتحرك ترکيز الطاقة نحو الأطوال الموجية القصيرة . وبين الدرجتين $600^{\circ}\text{C}-700^{\circ}\text{C}$ تتوارد كمية كافية من الطاقة ضمن الطيف المرئي فيبدو الجسم أحمر باهت . وعند درجات حرارة أعلى يصبح أحمر ساطع وحتى أبيض متوج .

يبين الشكل (٢-٣) الاستطاعة التي يشعها الجسم الأسود كتابع لطول الموجة من أجل ثلاث درجات حرارة مختلفة . وتعرف هذه التسخينيات بمنحنيات التوزع الطيفي

. فالمقدار p على الشكل يمثل الامplitude المشعة في واحدة الطول الموجي . وهو تابع لطول الموجة λ ولدرجة الحرارة T ، ويدعى تابع التوزع الطيفي . يملك هذا التابع $p(\lambda, T)$ نهاية عظمى عند الطول الموجي λ_{max} الذي يتاسب عكساً مع درجة الحرارة وفقاً لقانون انتراخ فين أي $\lambda_{max} = \frac{2.898 \text{ mm.K}}{T}$. يمكن حساب تابع التوزع الطيفي $p(\lambda, T)$ من الترموديناميك التقليدي بطريقة مباشرة و المقارنة مع النتائج التجريبية الممثلة بالشكل (٢-١) . وتعرف نتائج الحسابات التقليدية بقانون رايلى - جيرز

$$p(\lambda, T) = 8\pi k T \lambda^{-4} \quad (1-1)$$

حيث k هو ثابت بولتزمان . تتوافق هذه النتائج مع مع النتائج التجريبية في مجال الأطوال الطويلة ولا تتوافق أبداً عند الأطوال القصيرة . فعندما تقترب λ من الصفر تشير النتائج التجريبية لاقرابة $p(\lambda, T)$ من الصفر بينما تشير القيم المحسوبة إلى اقترابه من اللامبة لأنها يتاسب مع λ^{-4} . وهكذا فاستناداً إلى الحسابات التقليدية يشع الجسم الأسود كمية لا مائية من الطاقة مرکزة عند طول موجي قصير . ودعينا هذه النتيجة بالمعصبة فرق البنفسجية .



الشكل (٢-٢) التوزع الطيفي لإشعاع الجسم الأسود من أجل ثلاثة درجات حرارة مختلفة

وفي عام ١٩٠٠ أعلن العالم ماكس بلانك أنه استطاع بتعديل غريب في الفيزياء التقليدية أن يصل إلى تابع $p(\lambda, T)$ على وفق مع المعطيات التجريبية من أجل جميع الأطوال الموجية . ويظهر الشكل (٢-٢) تتابع بلانك مع المعطيات التجريبية وقانون رايلي - جيتز . بحث بلانك أولاً عن تابع رياضي يمثل المعطيات التجريبية ، ثم بحث عن طريقة لتعديل الحسابات . فوجد أنه يستطيع الوصول إلى التابع الممثل للتتابع التجريبية إذا فرض أن الطاقة المتصلة من قبل للجسم الأسود أو الصادرة عنه ليست مستمرة بل يتم امتصاصها أو إصدارها على شكل كمات ، ووجد أن مقدار طاقة الكمة الواحدة يتناسب مع توافر الإشعاع :

$$E = hf \quad (2-2)$$

حيث h هو ثابت التناسب ويعرف بثابت بلانك . حدد بلانك قيمة الثابت h بملائمة تابعه مع المعطيات التجريبية ، وبأخذ هذا الثابت الآن القيمة

$$h = 6.626 \times 10^{-34} \text{ J.s} = 4.136 \times 10^{-15} \text{ eV.s} \quad (2-3)$$

لم يستطع بلانك إيجاد تفسير للثابت h ضمن إطار الفيزياء التقليدية . ولم تكن فرضيته لتكثيم الطاقة مقبولة إلى أن طبق آينشتاين أفكاراً عما ثلثة لتفسير المفعول الكهرومغناطيسي واقتصر أن التكميم هي خاصية أساسية من خواص الإشعاع الكهرومغناطيسي .



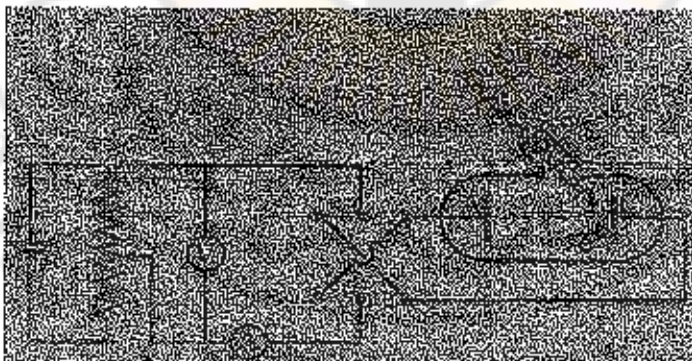
الشكل (٢-٣) التوزع الطيفي للجسم الأسود -تابع لطول الموجة عند درجة $T=1600 \text{ K}$

٤-٢ المفعول الكهرومغناطيسي

استعمل أينشتاين عام ١٩٠٥ فكرة بذلك حول تكميم الطاقة لتفسير المفعول الكهرومغناطيسي . وبذلك أشار عمل أينشتاين هذا إلى بداية النظرية الكمومية ، ولقد منحه المجتمع العلمي جائزة نوبل في الفيزياء تقديرًا له على هذا العمل . نظر بذلك إلى عملية تكميم الطاقة في نظريته حول إشعاع الجسم الأسود كأداة حساب توصله إلى الوفاق مع النتائج التجريبية ، بينما جعل أينشتاين فكرة التكميم خاصة أساسية للطاقة الكهرومغناطيسية . وبعد ثلاثة سنوات طبق أينشتاين فكرة تكميم الطاقة على الطاقات المغناطيسية لتفسير أحججية أخرى في الفيزياء وهي التناقض بين الحرارة النوعية المحسوبة وفق الفيزياء التقليدية وتلك المقاومة تجريبياً عند درجات حرارة منخفضة . ثم قام ناز بور بعد ذلك باستعمال فكرة تكميم الطاقة على الطاقات الذرية في أول تفسير للطيف الذري .

اكتشف المفعول الكهرومغناطيسي من قبل العالم هرتز عام ١٨٨٧ وتمت دراسته من قبل العالم لينارد عام ١٩٠٠ . يبين الشكل (٤-٢) رسم تخطيطي للمجهاز الأساسي .

فعندما يرد الضوء على سطح المعدن النظيف للمجهر C ، يصدر المجهز إلكترونات . فإذا وصل بعض هذه الإلكترونات إلى المصعد A ، يمر تيار في الدارة الخارجية . ويمكن زيادة أو تقليل عدد الإلكترونات الصادرة والتي تصل إلى المصعد بجعل المصعد موجباً أو سالباً بالنسبة للمجهر .



الشكل (٤-٢) رسم تخطيطي لمجهاز دراسة المفعول الكهرومغناطيسي

للمفترض أن فرق الكمون بين المصعد والمهبط يساوي V . يظهر الشكل (٥-٢) التيار كتابع لفرق الكمون من أجل شدين مختلفين للضوء الوارد على المهبط . فعندما يكون المصعد موجباً يجدب الإلكترونات إليه . وعند قيمة عالية لدرجة كافية للكمون V يصل إلى المصعد جميع الإلكترونات الصادرة عن المهبط ، وتكون قيمة التيار عظمى . ولا تؤثر أية زيادة أخرى في فرق الكمون V على التيار . لاحظ لينارد أن قيمة التيار العظمى تتاسب مع شدة الضوء . وعندما يكون V سالباً ، يدفع المصعد الإلكترونات ، وتصل إلى المصعد الإلكترونات التي تزيد طاقتها الحركية الابتدائية $\frac{1}{2}mv^2$ عن الطاقة الكهربائية $|eV|$. وبين الشكل (٥-٢) أن الإلكترونات لتصل إلى المصعد إذا كانت قيمة V أصغر من القيمة V_0 . يدعى المقدار $-V_0$ بكمون الإيقاف ويرتبط بالطاقة الحركية العظمى للإلكترونات الصادرة عن المهبط بالعلاقة $(\frac{1}{2}mv^2)_{max} = eV_0$.

تشير النتائج التجريبية إلى عدم ارتباط V_0 بشدة الضوء الوارد ، وهو أمر غير متوقع . فوفقاً للفيزياء التقليدية تزداد الطاقة التي يمتلكها الإلكترونون بزيادة معدل الطاقة الضوئية المساقطة على المهبط وبالتالي تزداد الطاقة الحركية العظمى للإلكترونات الصادرة . وهذا لا يحدث فعلاً .



الشكل (٥-٢) تيار المفعول الكهربائي كتابع لفرق الكمون V من أجل قيمتين لشدة الضوء أوضح آينشتاين عام ١٩٠٥ إمكان تفسير النتائج التجريبية إذا نظرنا إلى الطاقة الضوئية على أنها مكتملة على شكل حبات من الطاقة تدعى بالفوتونات ، عوضاً عن النظر إليها كتوزيع مستمر في الفضاء . تكون طاقة الفوتون الواحد متساوية hf ، حيث f هو تواتر

الضوء و Φ هو ثابت بلانك . يأخذ الإلكترون الصادر من سطح المعدن المعرض للضوء الطاقة من فوتون واحد . وعند زيادة شدة ضوء ذي تواتر معين يزداد عدد الفوتونات التي تسقط على سطح المعدن خلال واحدة الزمن وبالتالي يزداد عدد الإلكترونات الصادرة من سطح المعدن دون أي تغير في الطاقة التي يمتلكها كل الإلكترون . فإذا كانت Φ هي الطاقة اللازمة لزع الإلكترون من المعدن ، تكون الطاقة الحركية العظمى للإلكترون الصادر متساوية

$$\left(\frac{1}{2}mv^2\right)_{\max} = eV_0 = hf - \Phi \quad (4-2)$$

يدعى المقدار Φ بتتابع العمل ، ويتميز المعدن المستعمل . سيكون بعض الإلكترونات طاقة حرارية تقل عن $hf - \Phi$ بسبب ضياع الطاقة نتيجة المرور بالمعدن . تعرف المعادلة (4-4) بمعادلة أينشتاين للمفعول الكهرومغناطيسي . ومنها نرى أن ميل منحنى V_0 كتابع للتواتر f يساوي h/e .

شكلت معادلة أينشتاين تبيئاً معروفاً ، ففي الوقت الذي قدمت فيه لم يكن هناك أي دليل على وجود أي تطبيق لثابت بلانك خارج إشعاع الجسم الأسود ، ولم تتوفر أية معلومات تجريبية لكمون الإلياقاف V_0 كتابع للتواتر f . فلقد كان التتحقق التجريبي من نظرية أينشتاين صعباً جداً . فقد ميليكان تجربة دقيقة عام 1914 ونشرها بالتفصيل عام 1916 أظهر فيها صحة معادلة أينشتاين ، وكان قياس ثابت بلانك على وفاق مع القيمة التي وجدتها بلانك . يبين الشكل (4-2) عملياً لمعطيات ميليكان .



الشكل (٦-٢) معطيات ميلikan لكتون الإيقاف V_0 كتابع للتواتر f للمفعول الكهربائي
إذا كان تواتر الفوتونات أقل من تواتر عتبة الإصدار f_0 ، فلا تملك طاقة كافية
لتزع إلكترون من المعدن المعين . ويمكن ربط تواتر العتبة بتابع العمل بجعل الطاقة الحرارية
العظمى للإلكترون متساوية للصفر في العلاقة (٤-٤) فنجد

$$\Phi = hf_t = \frac{hc}{\lambda_t} \quad (٥-٢)$$

يكون تابع العمل للمعادن من مرتبة الإلكترون فولط (eV) . وبما أن طول الموجة
يعطى عادة بالنانو متر ، والطاقة بالإلكترون فولط ، فمن المفيد التعبير عن
 $hc = 4.14 \times 10^{-15} \times 3 \times 10^8 = 1.24 \times 10^{-18} \text{ eV.m}$
ومنه

$$hc = 1240 \text{ eV.nm} \quad (٦-٢)$$

مثال ١-٤

أحسب طاقة الفوتون البنفسجي $\lambda_R = 700 \text{ nm} = 400 \text{ nm} = \lambda_v$ والأحمر
باستعمال العلاقة (٤-٤) نجد

$$E_v = hf = \frac{hc}{\lambda} = \frac{1240}{400} = 3.1 \text{ eV}$$

وبإعادة الحساب من أجل الضوء الأحمر نجد

$$E_R = hf = \frac{hc}{\lambda} = \frac{1240}{700} = 1.77 \text{ eV}$$

مثال ٢-٤

إذا كانت شدة ضوء الشمس عند سطح الأرض متساوية 1400 W/m^2 ، احسب مفترضاً أن متوسط طاقة الفوتون تساوي 2 eV ، عدد الفوتونات التي تضرب مساحة مقدارها 1 cm^2 خلال ثانية واحدة .

الطاقة الساقطة على سنتيمتر مربع واحد خلال ثانية واحدة هي : $\frac{1400}{10^4} = 0.14 \text{ J/cm}^2$
فيكون عدد الفوتون متساوياً : $N = \frac{0.14}{2 \times 1.6 \times 10^{-19}} = 4.38 \times 10^{27}$

وهو عدد كبير جداً ، بحيث أن زيادة بعض الفوتونات أو نقصانها لا يؤثر ، مهذا يعني أن التكبير غير قابل للمشاهدة في عالم اليومي .

مثال ٣-٢

إذا كان طول موجة عتبة الإصدار للبوتاسيوم متساوياً 654 nm . فما هو تابع العمل للبوتاسيوم ؟ وما هو كمون الإيقاف في حالة ورود ضوء طول موجته 400 nm على البوتاسيوم ؟

$$\phi = hf_e = \frac{hc}{\lambda_e} = \frac{1240}{654} = 2.20 \text{ eV}$$

من المعادلة (٢-٥) لدينا
و الطاقة الحرارية العظمى $E_{max} = hf - \phi = 3.1 - 2.2 = 0.9 \text{ eV}$
وبالتالي يكون كمون الإيقاف متساوياً 0.9 V .

من المظاهر المهمة أيضاً للفعل الكهربائي هو غياب الفارق الزمئي بين وصول الضوء إلى سطح المعدن وخروج الإلكترون منه . ويعنى حساب الفارق الزمئي هذا إذا علمت شدة الضوء وفقاً للفيزياء التقليدية . ومع ذلك وحتى في حالة ضوء ضعيف جداً يكون فيه الفارق الزمئي وفقاً للفيزياء التقليدية من مرتبة الساعات لا يلاحظ تجريبياً أي فارق زمئي . وتفسير هذه النتيجة بسيط جداً فعندما تكون الشدة منخفضة

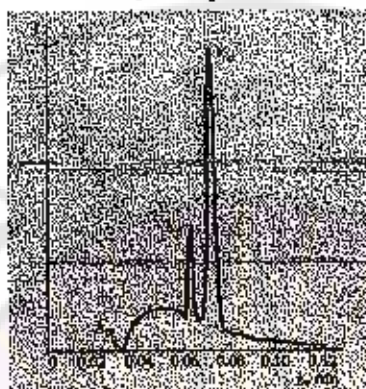
جداً يكون عدد الفوتونات التي تضرب المعدن خلال واحدة الزمن صغير جداً ، ولكن كل فوتون منها يملك طاقة كافية لtreu الإلكتروني . وهناك فرصة كبيرة لامتصاص أحد الفوتونات فور وصولها . وتعطى المسابات التقليدية القيمة المتوسطة لعدد الإلكترونات الصادرة خلال واحدة الزمن .

٣-٢ الأشعة السينية

اكتشف رونتجن في أثناء عمله على أنبوب الأشعة المهبطية عام ١٨٩٥ أن أشعة من الأنبوب تستطيع المرور من مواد عائمة بالنسبة للضوء و تحرض شاشة من الفلوريسنت أو فيلماً فوتوفغرافيًّا . تصدر هذه الأشعة من نقطة من هدف داخل الأنبوب أو من زجاج الأنبوب نفسه ، حيث تضرب إلكترونات الأنبوب . لم يستطع رونتجن الكشف عن هذه الأشعة ضمن حقل مغناطيسي ، كما هو متوقع في حالة كونها جسيمات مشحونة . وكذلك لم يستطع مشاهدة الانبعاث أو التداخل ، كما هو متوقع في حالة كونها أمواجاً . لذلك أطلق عليها إسم الأشعة السينية أي المجهولة . درس رونتجن هذه الأشعة بعمق ووجد أن جميع المواد تكون شفافة إلى حد ما بالنسبة لهذة الأشعة ، وأن درجة الشفافية تتناقص مع ازدياد كثافة المادة . وأدت هذه الخاصية إلى إل استعمال هذه الأشعة للأغراض الطبية خلال شهر واحد من ظهوره مقالة رونتجن الأولى . وهكذا كان رونتجن أول الحاصلين على جائزة نوبل في الفيزياء عام ١٩٠١ .

وكان من الطبيعي الافتراض بأن الأشعة السينية هي أمواج كهرومغناطيسية تتحجع عند كبح الإلكترونات وتبطئها قبل إيقافها بواسطة مادة ما . وذلك استناداً للنظرية التقليدية في الإشعاع والتي تنص على أن الشحنات المتسارعة أو المتباطئة تصدر طاقة على شكل أمواج كهرومغناطيسية بمعدل يتناسب مع مربع تسارعها وتوافر يساوي تواتر حركة الشحنات المولدة لها . وبعد عدة سنوات لوحظ توسيع طيف لجزء الأشعة السينية بعد مرورها عبر شق ضيق عرضه من مرتبة الواحدة بالألف من المليمتر . وعزى ذلك إلى

الانبعاث وقدر طول موجة الأشعة السينية بأنه يساوي واحد والعشرة من النانومتر . يبين الشكل (٧-٢) رسمياً بيانياً لشدة الطيف الصادر عن أنبوب أشعة سينية حيث يقذف المدف (وهو في هذه الحالة من الموليبيديوم) بالإلكترونات كتابع لطول الموجة . يتآلف الطيف من سلسلة من الخطوط الحادة والتي تدعى بالطيف المميز ،



الشكل (٧-٢) طيف الأشعة السينية المنضر الموليبيديوم . غير النهايات الحادة مادة المدف . ويكون طول موجة القطع λ_0 مستقلاً عن مادة المدف ويرتبط بفرق الكمون غير الأنبوب وتكون متراصة فوق طيف مستمر يدعى بطيف الكبح . يغير الخطط الطيفي مادة المدف ويختلف من عنصر إلى آخر . فهو عائل للطيف الضوئي المميز للعناصر المختلفة باستثناء كون الأشعة السينية صادرة عن إنتقالات لإلكترونات الذرة الداخلية بينما يتبع الطيف الضوئي عن إنتقالات لإلكترونات الذرة الخارجية . ويتبع طيف الكبح المستمر من تباين الإلكترونات السريع عندما تصطدم بالمدف . فإذا كان فرق الكمون غير أنبوب الأشعة السينية متساوياً V تكون الطاقة الحر كية العظمى للإلكترون متساوية eV لحظة اصطدامه بالمدف . ويصدر عادة عدة فوتونات نتيجة تباين الإلكترون . ومع ذلك يصدر أحياناً فوتوناً واحداً بطاقة عظمى تساوي eV . وما أن طول موجة الفوتون تتناسب عكساً مع طاقته ($\lambda = \frac{hc}{E}$) ، فيقابل أصغر طول موجة

في طيف الكبح فوتوناً طاقته عظمى eV . يدعى أصغر الأطوال الموجية هذا بطول موجة القطع . ويرمز له بالرمز λ_m ويساوي

$$\lambda_m = \frac{hc}{E} \quad (7-2)$$

مثال ٢-٤

ما هو أصغر طول موجة للأشعة السينية الصادرة عن أنبوب شاشة تلفزيون جهده $2000V$

إن الطاقة العظمى للإلكترون تساوى $eV 2000$ وهي الطاقة العظمى للفوتون في طيف الأشعة السينية . وأصغر الأطوال الموجية هو طول موجة القطع أي

$$\lambda_m = \frac{hc}{eV} = \frac{3.240}{2000} = 0.62 \text{ nm}$$

٤-٤ تبعثر كومبيتون

قلم كومبيتون دليلاً آخر على صحة فكرة الفوتون ، فدرس تبعثر الأشعة السينية على الإلكترونات الحرة . فوفقاً للنظرية التقليدية ، عندما ترد أمواج كهرطيسية تواترها f_i على مادة تحتوي شحنات كهربائية ، تغير الشحنات بالتوازي نفسه وتتشعّب أمواجاً كهرطيسية لها تواتر نفسه . وأشار كومبيتون بأنه إذا وصف هذا التفاعل المتبادل كعملية تبعثر تتضمن اصطداماً بين الفوتون والإلكترون فسيترد الإلكترون متضالباً بعض الطاقة . وسيمتلك الفوتون المتبعثر طاقة أقل من الفوتون الوارد وبالتالي يكون تواتره أقل من تواتر المفتوتون الوارد .

فوفقاً للنظريات التقليدية ترتبط طاقة الأمواج الكهرطيسية باندفاعها وفق

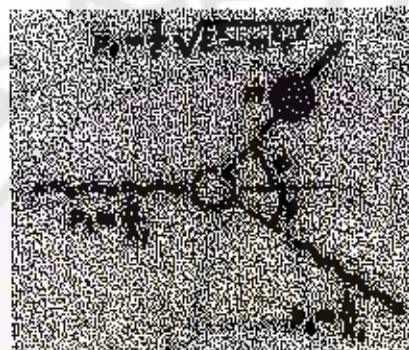
العلاقة

$$E = pc \quad (8-2)$$

وهي علاقة منسجمة مع الصيغة النسبية التي تربط طاقة الجسيم باندفاعه في حالة الفوتون . يبين الشكل (٨-٩) هندسة التصادم بين فوتون طول موجته λ_m والإلكترون ساكن

قبل التصادم . ربط كومبتون بين زاوية التبعثر θ وطولي موجة الفوتون الوارد λ_1 والفوتوны المتبادر λ_2 بالنظر إلى عملية التبعثر كمسألة في الميكانيك النسبي يكون فيها كل من الطاقة الكلية والاندفاع الكلي مصانًا . فإذا كان اندفاع الفوتون الوارد مساوياً p_1 واندفاع الفوتون المتبادر p_2 واندفاع الإلكترون المرتد p_e ، فيعطي المحافظة على الاندفاع المعادلة

$$p_1 = p_2 + p_e \quad (9-2)$$



الشكل (8-2) تبعثر الأشعة السينية على إلكترون حر (بعبر كومبتون)
أو $p_e = p_1 - p_2$ فإذا ضربنا كل طرف من هذه المساواة بنفسه ضرباً داخلياً
لجد $p_e^2 = p_1^2 + p_2^2 - 2p_1 \cdot p_2$ أو

$$p_e^2 = p_1^2 + p_2^2 - 2p_1 p_2 \cos\theta \quad (10-2)$$

إن الطاقة قبل التصادم تساوي $p_1 c + mc^2$ حيث mc^2 هي الطاقة السكرانية للإلكترون وبعد التصادم تكون طاقة الإلكترون مساوية $\sqrt{p_e^2 c^2 + (mc^2)^2}$ ويعطي المحافظة الطاقة

$$p_1 c + mc^2 = p_2 c + \sqrt{p_e^2 c^2 + (mc^2)^2} \quad (11-2)$$

حذف كومبتون إنداخ الإلكترون p_e من المعادلين (10-2) و(11-2) وغير عن اندفاعي الفوتونين بدلالة طولي الموجتين ووصل إلى علاقة تربط بين طولي الموجتين وزاوية التبعثر وهي

$$\lambda_2 - \lambda_1 = \frac{\hbar}{mc} (1 - \cos\theta) \quad (12-2)$$

فلا يرتبط تغير طول الموجة بطول الموجة الأصلي . فالمقدار $\frac{h}{mc}$ يرتبط بكتلة الإلكترون فقط وله أبعاد المسافة ويدعى بطول موجة كومبتون ، ويأخذ القيمة

$$\lambda_0 = \frac{h}{mc} = \frac{\frac{6.626 \times 10^{-34}}{9.11 \times 10^{-31}}} = 2.43 \text{ pm} \quad (12-2)$$

استعمل كومبتون أشعة سينية طول موجتها 71.1 pm وتقابل طاقة للفوتون مقدارها 17.4 keV وهي أكبر بكثير من طاقة ارتباط الإلكترون في الذرة (من مرتبة عدد الإلكترون فولط) لذلك يمكن اعتبارها حرة نسبياً . كانت نتائج كومبتون التجريبية على وافق مع الحساب المنبغي على العلاقة (12-2) ، وبذلك أكذ كومبتون على صحة فكرة الفوتون .

مثال ٥-٢

أحسب التغير النسبي المشاهد في تجربة كومبتون عند تغير زورتون طاقته 20 keV وفق الزاوية 60° .

تعطى العلاقة (12-2) مقدار تغير طول الموجة عند زاوية تغير مقدارها 60° فنجد

$$\Delta\lambda = \lambda_2 - \lambda_1 = \lambda_0(1 - \cos\theta) = 2.43 \times 0.5 = 1.22 \text{ pm}$$

$$\lambda_1 = \frac{h\sigma}{E} = \frac{1240}{20} = 62 \text{ pm}$$

و طول موجة الفوتون الوارد يساوي

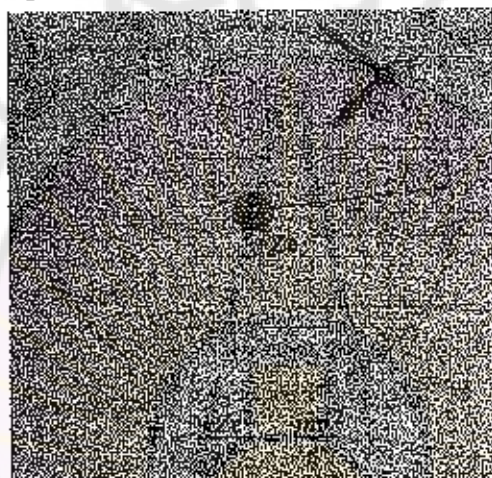
$$\frac{\Delta\lambda}{\lambda_1} = \frac{1.22}{62} \times 100 = 1.79\%$$

٥-٣ تكميم طاقات الذرة (غودج بور)

كان أشهر تطبيق لتمكيم الطاقة على الجمل البهيرية ما قام به العالم ناز بور ، حيث اقترح عام ١٩١٣ غودج لذرة المدروجين يمحى بشكل باهر في حساب الأطوال الموجية للخطوط الطيفية المعروفة في المدروجين ، وتبأ خطوط جديدة في مجال الأشعة

تحت الحمراء والأشعة فوق البنفسجية ، التي وجدت لاحقاً بصورة تجريبية ، وكانت على وفاق مع حسابات بور .

افتراض بور أن الإلكترون في ذرة المدروجين يدور حول النواة تحت تأثير قوة التجاذب الكهربائي بينه وبين النواة الموجبة وفقاً لقوانين الميكانيك التقليدي ، التي تتبعاً بعدها دائرية أو قطعية يكون مركز القوة في أحد محارقها ، كما هو الحال في حركة الكواكب حول الشمس . وستختار للتيسير مداراً دائرياً كما في الشكل (٩-٢) .



الشكل (٩-٢) إلكترون شحنته $-e$ يسرى على مدار دائري نصف قطره r حول نواة شحنتها $+Ze$. تومن القوة الكهربائية الجاذبة kZe^2/r^2 القوة المعاكسة التي تبني الإلكترون في المدار . وعلى الرغم من تحقيق التوازن الميكانيكي ، لأن القوة الكولونية الجاذبة تومن القوة المركبة المطلوبة للبقاء الإلكتروني في المدار ، فإن مثل هذه الذرة لا تكون مستقرة كهربائياً وفقاً للنظرية التقليدية في الإشعاع ، وذلك بسبب التسارع المركزي للإلكترون وبالتالي إصداره طاقة على شكل أمواج كهرومغناطيسية بهواتر يسمى تواتر حركته . فوفقاً للنظرية التقليدية في الإشعاع ستفقد مثل هذه الذرة طاقتها ويسلك الإلكترون مساراً حلزونياً يسقط في نهايته على النواة .

يمكن بدور من حل هذه الصعوبة بتعديل القوانين التقليدية ، افتراض أولاً أن الإلكترون يدور على مدارات معينة فقط لا يشع في أثناء الدوران عليها . وأطلق على هذه المدارات اسم المدارات المستقرة . وافتراض ثالثاً أن الذرة تشع عندما يقوم الإلكترون بانتقال من مدار مستقر إلى مدار مستقر آخر . ولا يكون توافر الإشعاع متساوياً لتوافر حركة الإلكترون في مداره المستقر ، بل يرتبط بطبيعة المدار الذي انتقل منه والمدار الذي انتقل إليه وفق العلاقة

$$f = \frac{E_2 - E_1}{h} \quad (13-2)$$

حيث h هو ثابت بلانك و E_2 ، E_1 هما الطاقتين الكليتين للمدارين الابتدائي والنهائي على الترتيب . إن هذا الافتراض ، الذي يكافئ افتراض الحفاظ الطاقة بإصدار الفوتون ، هو المفتاح الأول في نظرية بور لأنّه يبتعد عن النظرية التقليدية ، التي تتطلب أن يكون توافر الإشعاع متساوياً لتوافر حركة الجسيم المشحون .

إذا كانت شحنة النواة $+Ze$ وكانت الذرة تحوي إلكتروناً واحداً شحنته $-e$ ، تكون الطاقة الكامنة متساوية

$$u = \frac{kZe^2}{r^2}$$

حيث K هو ثابت كولون . وتكون الطاقة الكلية للإلكترون في دورانه على مدار دالري حول النواة بسرعة v متساوية

$$E = \frac{1}{2}mv^2 + u = \frac{1}{2}mv^2 - \frac{kZe^2}{r^2}$$

يمكن الحصول على الطاقة الحركية كتابع لنصف القطر r باستعمال قانون نيوتن الثاني $F = ma$. فبحسب قوة التجاذب الكهربائي متساوية لجذاء الكتلة بالتسارع المركزي نجد

$$\frac{kze^2}{r^2} = m \frac{v^2}{r}$$

ومنه

$$\frac{1}{2}mv^2 = \frac{kze^2}{2r^2} \quad (14-2)$$

ففي حالة المدارات الدايرية تكون الطاقة الحركية متساوية إلى نصف القيمة المطلقة للطاقة الكامنة . وتكون الطاقة الكلية متساوية

$$E = \frac{kze^2}{2r^2} - \frac{kze^2}{r^2} = -\frac{kze^2}{2r^2} \quad (15-2)$$

وباستعمال العلاقة (13-2) لحساب تواتر الإشعاع الصادر نتيجة انتقال الإلكترون من مدار أول نصف قطره r_1 إلى مدار ثانٍ نصف قطره r_2 نجد

$$f = \frac{E_1 - E_2}{h} = \frac{1}{2} \frac{kze^2}{\hbar} \left(\frac{1}{r_2} - \frac{1}{r_1} \right) \quad (16-2)$$

وللحصول على صيغة ريد برغ - ريتز ، الممثلة للمشاهدات التجريبية في طيف المدروجين وهي $f = cR \left(\frac{1}{n_2^2} - \frac{1}{n_1^2} \right)$ ، من الواضح أن أنصاف أقطار المدارات المستقرة يجب أن تتناسب عكساً مع مربعات أعداد صحيحه . بحث بور عن شرط كمومي لأنصاف أقطار المدارات المستقرة يؤدي إلى هذه التبيحة . وبعد محاولات عديدة ، وجد أنه يستطيع الوصول إلى غايته بافتراض أن الاندفاع الزاوي للإلكترون في دورانه على المدارات المستقرة يساوي جداء عدد صحيح ثابت بلانك مقسوماً على العدد 2π . وعما أن الاندفاع الزاوي للإلكترون في المدار الدايري يساوي mvr نستطيع أن نعبر عن فرضية بور الثالثة بالعلاقة

$$mvr = \frac{nh}{2\pi} = n\hbar \quad (17-2)$$

$$\hbar = \frac{\hbar}{2\pi} = 1.05 \times 10^{-34} \text{ J.s}$$

حيث

لستطيع تعريف τ بمدف السرعة v من المعادلين (14-2) و (17-2) فنجد ،

$$v^2 = n^2 \frac{\hbar^2}{m^2 r^2} = \frac{kze^2}{mr}$$

$r = n^2 \frac{\hbar^2}{mkze^2} = n^2 \frac{s_0}{z}$

حيث

$$(18-2)$$

$$a_0 = \frac{R^2}{mk\sigma^2} = 0.0529 \text{ nm} \quad (19-2)$$

ويدعى بنصف قطر بور . ويدمج المعادلين (18-2) و (16-2) نجد

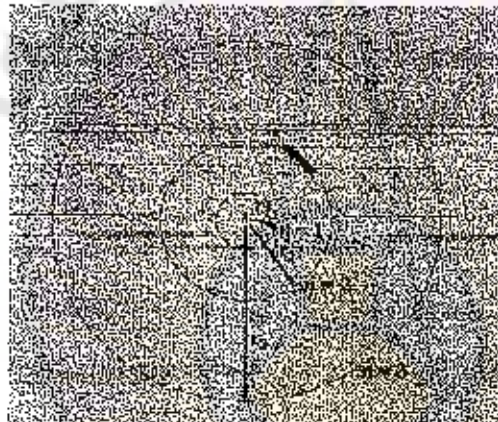
$$f = Z^2 \frac{mk^2 \sigma^4}{4\pi R^2} \left(\frac{1}{n_1^2} - \frac{1}{n_2^2} \right) \quad (20-2)$$

وبالمقارنة مع علاقة ريدبرغ – ريتز نحصل على ثابت ريدبرغ

$$R = \frac{mk^2 \sigma^4}{4\pi h^3} \quad (21-2)$$

وهي على وافق مع القيمة التقديرية ضمن حدود الارتباط في الثوابت . ويوضح الشكل

(10-2) نموذج بور لذرة المدروجين .



الشكل (10-2) المدارات المستقرة في نموذج بور لذرة المدروجين

إن القيم الممكنة لطاقة ذرة المدروجين التي تنبأ بها نموذج بور والمعطاة بالعلاقة

(15-2) حيث يعطى T بالعلاقة (18-2) هي

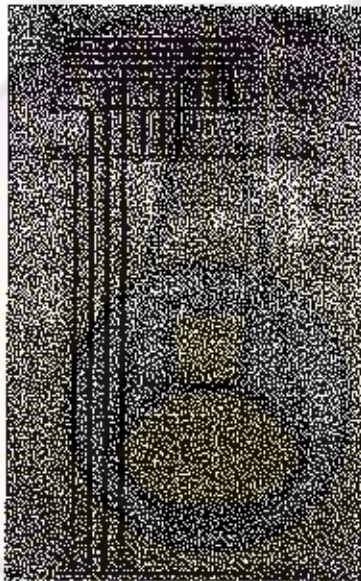
$$E_n = -\frac{mk^2 \sigma^4 R^2}{2\pi^2 n^2} = -Z^2 \frac{R_0}{n^2} \quad (22-2)$$

$$E_0 = \frac{mk^2 \sigma^4}{2R^2} = 13.6 \text{ eV} \quad (23-2)$$

من الملام أحياناً تمثيل هذه الطاقات على شكل خطوط طاقة لسوية الطاقة ، كما في الشكل (11-2) ، تدعى أخفض سوية طاقة بالسوية الأرضية أو الحالة الأرضية ، وتتساوي في حالة ذرة المدروجين القيمة -13.6 eV . أما السوية الطاقية العظمى

فنصل إليها بجعل $\infty \rightarrow n$ أو $n \rightarrow \infty$ وتدعى عملية إزالة الإلكترون من الذرة بالتأين أو التشريد .

يبين الشكل (١١-٢) سلاسل مختلفة من الانتقالات المشعة ثبت الإشارة إليها بأن لهم شاقولية بين سويات الطاقة ويكون تواتر الضوء الصادر في الانتقال مساوياً فرق الطاقة بين السويتين مقسوماً على ثابت بلانك h . وفي الوقت الذي نشر بور فيه مقالته عام ٩١٣ كانت سلسلتنا بالمر وباشن معروفة وأدت حسابات بور بقيم موافقة للقيم المعروفة .



الشكل (١١-٢) خطط سويات الطاقة لذرة المدروجين وفيه نرى بعض الانتقالات في سلسلة ليمان وبالمر وباشن .

مثال ٤-٢

أوجد طاقة وطول موجة الخط المقابل لأطول موجة في سلسلة ليمان .

من الشكل (١١-٢) نجد أن سلسلة ليمان تقابل انتقالات تنتهي بالحالة الأرضية ذات العلاقة $E = 13.6 \text{ eV}$ - وبما أن طول الموجة يتناسب عكساً مع الطاقة فإن أطول موجة في سلسلة ليمان تقابل انتقالاً من السوية $n = 2$ وتكون طاقة الفوتون المنطلق

$$E = W_2 - W_1 = -3.4 - 13.6 = 10.2 \text{ eV}$$

$$\lambda = \frac{hc}{E} = \frac{1240 \text{ nm}}{10.2 \text{ eV}} = 121.6 \text{ nm}$$

وهو فوتون يقع ضمن الأشعة فوق البنفسجية .

٦-٢ مسلمة دوبروي

يتميز التقدم في الفيزياء بفترات طويلة من العمل التجاري والنظري تخللها بين الحين والأخر ومضات تسبب تغيرات جذرية في طريقة النظر إلى الكون . وتعد مسلمة العالم الفرنسي لوبي دوبروي واحدة من هذه الرمضات .

لقد اختار دوبروي في أطروحته لنيل شهادة الدكتوراه طول المائدة الجسمية - الموجية كمسلمة حقيقة ويسقطة . فاقتصر دون أي دليل تجاري يدعم مسلمه اقتراح موجة طولها λ مع أي جسم مادي متحرك باندفاع عطلي مداره P حيث يرتبط الاندفاع بطول الموجة وفق العلاقة :

$$\lambda = \frac{h}{p} \quad (24-2)$$

يدعى طول الموجة المحسوب وفق العلاقة (٢٤-٢) بطول موجة دوبروي .

مثال ٧-٢ :

أحسب طول موجة دوبروي في كل من الحالات التالية : آ) إلكترون طاقته السكينة 0.511 MeV وطاقته الحركية 10 eV . ب) إلكترون طاقته الكلية تساوي ثلاثة أمثال طاقته السكينة . ج) إلكترون طاقته الكلية 50 GeV .

$$E_k = \frac{P^2}{2m} = \frac{h^2}{2m\lambda^2} \Rightarrow \lambda = \frac{h}{\sqrt{2mkE_k}} = \frac{hc}{\sqrt{2mc^2E_k}} \quad (3)$$

$$= \frac{1240}{\sqrt{2 \times 0.511 \times 10^6 \times 10}} = 0.388 \text{ nm}$$

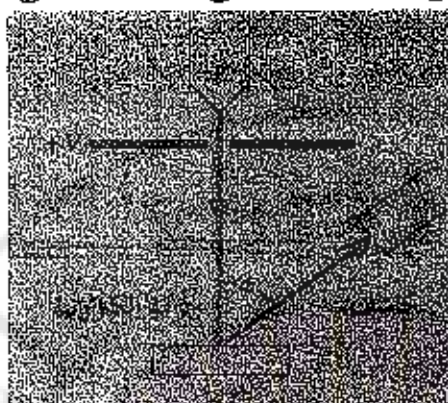
$$\begin{aligned} pc &= \sqrt{E^2 - m_0^2 c^4} = \sqrt{8m_0 c^2} = \frac{hc}{\lambda} \Rightarrow \lambda = \frac{hc}{\sqrt{8m_0 c^2}} \\ &= \frac{1240}{\sqrt{8 \times 0.511 \times 10^6}} = 0.858 \times 10^{-3} \text{ nm} \end{aligned} \quad (b)$$

$$E = pc = \frac{hc}{\lambda} \Rightarrow \lambda = \frac{hc}{E} = \frac{1240}{50 \times 10^9} = 2.48 \times 10^{-5} \text{ nm} \quad (c)$$

وهنا يبرز سؤال هو ما نوع الأمواج التي تُحسب أطوالها وفق علاقة دوبروي ومتى حل الإجابة عليه . وسنفترض وجود موجة توأكب كل جسم متتحرك تظهر نفسها عند تنفيذ تجرب ذات طبيعة موجية ، مثل الانبعاث ، على هذا الجسم . ترتبطنتائج هذا النوع من التجارب بطول الموجة المسماة وفق علاقة دوبروي . وتستخدم هذه الطبيعة الموجية هذه الأيام بصورة منتظمة كأدلة قياس في الفيزياء الذرية وكذلك عند دراسة خواص النوى والأجسام الصلبة والكيمياء الفيزيائية وكل علوم المواد في أثناء دراسة خواص المواد وفي العلوم الحيوية عند دراسة الحياة الميكروية باستعمال المعاشر الإلكترونية كما يستعملها الفلكيون المذكورون على دراسة الكون .

أتى التأكيد التجاري الأول للطبيعة الموجية للإلكترونات عام ١٩٢٦ في أثناء دراسة انعكاس حزم الإلكترونات على سطح بلورات النيكل . وبين الشكل (٢ - ١٢) تخطيطاً للأجهزة المستعملة . توحد حزمة إلكترونية صادرة عن سلك ساخن وتسرع بواسطة الكهون V وتمرر من خلال فتحة صغيرة لضرب بلورة أحادية من النيكل . تتبع حزم الإلكترونات في جميع الاتجاهات بواسطه ذرات البلورة ليسقط بعضها على كاشف متحرك يصنع الزاوية Φ مع اتجاه الحزمة الواردة فيعطي هذا الكاشف فياساً لكثافة الحزمة الإلكترونية المتباشرة وفق هذه الزاوية . فإذا افترضنا

أن كل ذرة من ذرات البلورة تعمل كموجات ، فيمكن للأمواج الإلكترونية المنعرجة أن تتفاعل ، ونحصل على نوع من شبكة الانعراج البلوري للأمواج الإلكترونية .



الشكل (١٤-٢) الأدوات المستعملة في تجربة ديفسون - جيرجر لدراسة الانعراج الإلكتروني . تغادر الإلكترونات المplate F وتسرع بواسطة الكمون V . تضرب البلورة وتبعد فلائطها الكاشف عند الزاوية Φ .

يكون للمستوي الذري في البلورة مسافات منتظمة بين مراكز الانعراج تستطيع أن تتحقق تموذجاً تداخلاً . وبين الشكل (٢ - ١٣) إنعراجاً على أحد هذه المستويات وتكون زاوية الانعراج المعرفة سابقاً متساوية $(90^\circ - \frac{\Phi}{2})$.

يشاهد شعاع مععكس كثيف عند الزاوية Φ عندما يتحقق شرط التداخل $2d \sin\theta = n\lambda$ وترتبط المسافة بين الذرات a بالمسافة بين المستويات الذرية d بالعلاقة :

$$d = a \sin\left(\frac{\Phi}{2}\right) \quad (٢٥-٢)$$

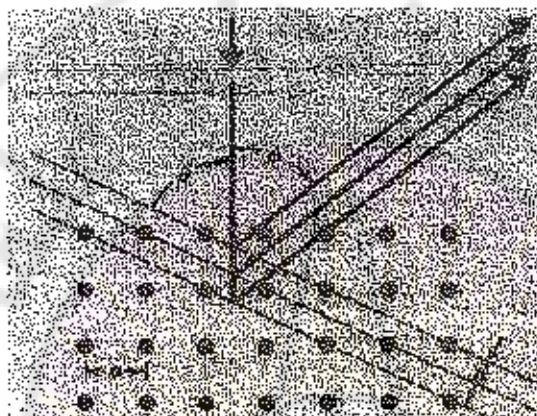
ويبين الشكل (١٤-٢) المعلمات التجريبية المسجلة من قبل ديفسون وجيرجر وهي تظهر كثافة الحزمة المعكسبة كتابع للزاوية Φ ضمن الحال بين $90^\circ - 0^\circ$ وتشاهد الحزمة المعكسبة الكثيفة عند الزاوية $50^\circ = \Phi$ من أجل كمون مقداره $V = 54V$. تعطي المعادلة (٢٥-٢) مع شرط التداخل البناء قيمة طول موجة

الإلكترون المعرج وفق المراوية 50° ، وبما أن المسافة بين الثرات في بلورة النيكل تساوي

$$0.215\text{ nm}$$

$$\text{فنجد: } d = a \sin 25^\circ = 0.0909 \text{ nm} \quad \text{ومنه}$$

$$\lambda = 2d \sin \theta = 0.165 \text{ nm}$$



الشكل (١٣-٢) البصر على المستويات البلورية . تبتعد الثرات عن بعضها مسافة d و تكون المسافات بين المستويات الأذرية في حالة تباعد برابع متساوية d ويحدث التداخل البصري عندما يتحقق شرط برابع .

نستطيع مقارنة هذه القيمة المقاسة مع القيمة المتوقعة وفق مسلمة دوبروي ، فالإلكترون المسرع يكملون مقداره $54V$ بملوك طاقة حرارية مقدارها $54eV$ واندفعاً خطأً مقداره

$$P = \sqrt{2mK} = \frac{e}{c} \sqrt{mc^2 K} = 7430 \text{ eV/c}$$

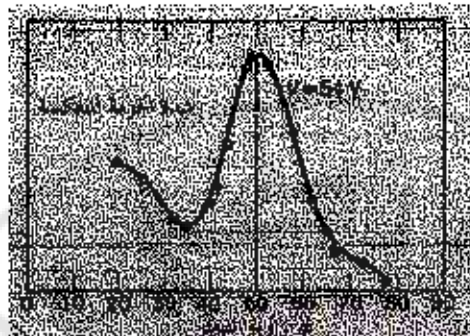
ويكون طول موجة دوبروي متساوياً

$$\lambda = \frac{k}{P} = \frac{hc}{eP} = \frac{1240}{7430} = 0.167 \text{ nm}$$

وهو على وفاق ممتاز مع القيمة المقاسة ويعطي دليلاً قوياً يدعم نظرية دوبروي . ولقد منح كل من ديفسون وجيرمر جائزة نوبل عام ١٩٣٧ لقاء هذا العمل التجريبي .

وفي عام ١٩٦١ تمكّن العالم كلاوس جونسون من تسريع حزمة إلكترونية مستعملًا فرقاً في الكمون مقداره $50000V$ ومرر الحزمة من شقين عرض

كل منها $0.5 \mu\text{m}$ وتفصلهما مسافة $2 \mu\text{m}$ ، وقام بتصوير نموذج التداخل فكان مثلاً للنموذج الذي تحصل عليه في حالة الضوء المار من شقين .



الشكل (٢-١٤) نتائج ديفسون - جورن . يُؤدي التداخل للبناء إلى عملية عظمى لشدة المزمرة المتحركة عند الزاوية $V = 54^\circ$ في حالة الكترون

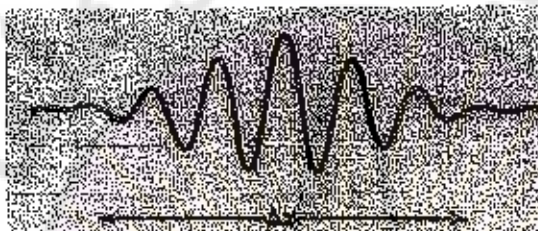
وهكذا أتي دليل قوي آخر على الطبيعة الموجية للإلكترونات . أي أن الإلكترون يسلك سلوك الجسم أو الموجة ولا يمكننا مشاهدة السلوكيين معاً في آن واحد . وهذه هي قاعدة مبدأ الت تمام الذي ينص على أن الوصف الكامل للبنية الفيزيائية مثل الفوتون أو الإلكترون لا يكمل باستعمال الأمواج أو الأحجام بصورة منفردة ولا بد من استعمالهما معاً . وأن السلوك المشاهد مرتبط بنوع التجربة .

٧-٢ رزم الأمواج

لتكون الموجة التوافقية البسيطة متوضعة ، فهي تتد من -50 وحتى $+50$ بينما يكون الجسم التقليدي متوضعاً بشكل محدد . يخرج الوصف الكمومي الأمواج مع الجسيمات . فالجسيمات متوضعة بمكان تقريبي . فيكون موضع الإلكترون مثلاً المرتبط بلورة معينة محدد بارتياح من مرتبة أبعاد الذرة m^{-10} . تدعى الطريقة المستعملة في الفيزياء لوصف مثل هذه الحالة بالرزمة الموجية . يمكن عد الرزمة الموجية كثراً كثب لعدد كبير من الأمواج التوافقية التي تتدخل تداخلاً بناءً بجوار الجسم فتعطي للموجة الخاصة

سعة كبيرة ، بينما تداخل تداخلاً هاماً في الموضع البعيدة عن الجسم فتعطى للموجة الساقطة هناك سعة صغيرة حيث لا تتوقع أن يجد الجسم .

يتمثل الشكل (١٥-٢) رسمة موجية مثالية ، فسعتها صغيرة ومهملة في كل مكان باستثناء مجال صغير من الفضاء طوله Δx ، ويقابل مجال من الاندفاعات مقداره Δp_x . وبما أن كل اندفاع يواكب موجة محددة الطول فإن مجال الاندفاعات يقابل مجالاً من الأطوال الموجية $\Delta \lambda$. لذلك تتوقع أن يكون الوصف الرياضي للرسمة الموجية ممروناً بتراث عدد من الأمواج ذات الأطوال الموجية المختلفة .



الشكل (١٥-٢) ناتج جمع عدد من الأمواج التوافقية ذات الأطوال الموجية المختلفة .

فيوصف الجسم البالغ على الحركة ضمن مجال معين من الفضاء يرسم موجة يتحرك مغلقها بسرعة تدعى سرعة المجموعة وتساوي سرعة الجسم وتعطى بالعلاقة :

$$V_{\text{group}} = \frac{\omega}{k} \quad (٢٦-٢)$$

حيث $\omega = 2\pi f = \frac{2\pi}{T}$ هو التواتر الزاوي ، $k = \frac{2\pi}{\lambda}$ هو العدد الموجي . بينما

تنشر الموجة ضمن المغلق بسرعة تدعى سرعة الطور وتعطى بالعلاقة :

$$V_{\text{phase}} = \frac{\omega}{k} \quad (٢٧-٢)$$

مثال ٤

أُوجد العلاقة بين سرعة الطور وسرعة المجموعة في حالة جسم حر سرعته $V << c$ ، وفي حالة جسم حر سرعته $c \sim V$.

في الحالة الأولى تكون الطاقة الكلية للإلكترون طاقة حركية إذ يكون تغير الكتلة مهملًا

ومنه :

$$E = \frac{p^2}{2m} = \frac{\hbar^2 k^2}{2m} = \hbar\omega \implies \omega = \frac{\hbar k^2}{2m}$$

$$V_{\text{group}} = \frac{d\omega}{dk} = \frac{\hbar k}{m},$$

$$V_{\text{phase}} = \frac{\omega}{k} = \frac{\hbar k}{2m} \implies V_{\text{group}} = 2V_{\text{phase}}$$

وفي الحالة الثانية يجبأخذ تغير الكتلة في الحسبان أي استعمال قانون التحريرات النسبي

ومنه :

$$E^2 = p^2 c^2 + m_0^2 c^4 = (\hbar k c)^2 + m_0^2 c^4 = (\hbar\omega)^2$$

$$\omega = \sqrt{(kc)^2 + \frac{m_0^2 c^4}{\hbar^2}} \implies V_{\text{group}} = \frac{d\omega}{dk} = \frac{\hbar c^2}{\omega} = \frac{c^2}{V_{\text{phase}}},$$

$$\implies V_{\text{group}} \times V_{\text{phase}} = c^2$$

مثال ٩-٢

تنتشر موجة بحريّة بسرعة طور تساوي $V_{\text{phase}} = \sqrt{\frac{g\lambda}{2\pi}}$ حيث g هو تسارع القالمة الأرضية أو جد سرعة المجموعة هذه الأمواج بدلاًلة سرعة الظور .

$$\omega = \sqrt{gk} \quad \text{ومنه} \quad V_{\text{phase}} = \sqrt{\frac{g}{k}} = \frac{\omega}{k} \quad k = \frac{2\pi}{\lambda}$$

$$V_{\text{group}} = \frac{d\omega}{dk} = \frac{g}{2\sqrt{gk}} = \frac{1}{2} V_{\text{phase}} \quad \text{وبالتالي نجد}$$

٨-٢ علاقات هايزنبرغ في الارتباط

افتراض بور في نموذجه لذرة المدروجين ومثيلاتها أن الاندفاع الزاوي للإلكترون في دورانه حول النواة مكمم . ولاحتاج إلى هذا الشرط إذا قبلنا بعملية دوبروي فهو تحصيل حاصل ، إذ يجب أن يكون طول المسار الدائري متساوياً لعدد صحيح من طول الموجة المعاكبة للإلكترون وإلا حدث تداخل هدام بين أمواج دوبروي أي :

$$2\pi r = n\lambda = n \frac{h}{p} = n \frac{h}{mv} \Rightarrow mv = nh$$

وفي حالة قياس الاندفاعة الزاوي يكون الخطأ المطلق المركب في القياس مساوياً نصف أصغر وحدة قابلة للقياس أي $\frac{h}{2}$. فإذا كان الارتباط في موضع حسم متحرك مساوياً Δx والارتباط في اندفاعة الخططي وفق ذلك الاتجاه هو Δp_x يكون جداء الارتباطين مساوياً :

$$\Delta x \Delta p_x \geq h/2 \quad (28-2)$$

وقد وضع الدليل X في رمز الاندفاعة للتذكير بأن العلاقة (28-2) تطبق على حركة باتجاه واحد وترتبط بين الارتباط في الموضع والارتباط في الاندفاعة وفق ذلك الاتجاه . ونستطيع تطبيق علاقتين مستقلتين على البعدتين الآخرين عند الضرورة ، وبما أن جداء العلاقة بالزمن يقاس بواحدة مماثلة لواحدة الاندفاعة الزاوي (J.S) فإن جداء الارتباط في الطاقة ΔE بالارتباط في الزمن Δt يتحقق العلاقة :

$$\Delta E \Delta t \geq h/2 \quad (29-2)$$

تدعى العلاقات (28-2) و (29-2) بعلاقتي هايزنبرغ وتشكلان التمثيل الرياضي لمبدأ هايزنبرغ في الارتباط . وتصنان على عدم إمكان إجراء تجربة بارتباط أقل من المخلدين الذين تفرضهما العلاقات (28-2) و (29-2) .

مثال ١٠-٢

أوجد الطاقة الحرارية الصغرى للكترون حر ضمن مكعب معدني طول ضلعه 1 cm.

$$\begin{aligned} \Delta E &= \frac{(\Delta p)^2}{2m} = \frac{(\Delta p_x)^2 + (\Delta p_y)^2 + (\Delta p_z)^2}{2m} = \frac{2(\Delta p_x)^2}{2m} = \frac{3h^2}{2m(\Delta x)^2} \\ &= \frac{3(hc)^2}{8 \times \pi^2 \times m c^2 (\Delta x)^2} = \frac{3 \times (1240)^2}{8 \times 0.511 \times 10^{-30} \times \pi^2 \times 10^{24}} \end{aligned}$$

$$= 1.14 \times 10^{-15} \text{ eV}$$

مثال ١١-٢

يملك الميزون المشحون π كتلة سكونية مقدارها $140 \text{ MeV}/c^2$ ومتوسط عمر مقداره 26 ns . أوجد الارتفاع النسبي في كتلته السكونية.

$$\frac{\Delta E}{E} \geq \frac{\hbar}{2\Delta t E} = \frac{6.58 \times 10^{-26}}{2 \times 26 \times 10^{-9} \times 140 \times 10^6} = 9 \times 10^{-17}$$

٩-٢ معادلة شرودينغر

تشخيص المسائل في الميكانيك التقليدي بوجود قوة معينة F فنكتب قانون نيوتن الثاني ثم نلقي العجلة الرياضية فتحصل على موضع الجسم وسرعته . وكذلك تشخيص المسائل الكهرومغناطيسية بمجموعة من الشحنات أو التيارات فنكتب معادلات ماكسويل للتوزع المدروس ونلقي العجلة الرياضية فتحصل على الحقل الكهربائي والحقل المغناطيسي . أما في المسألة الكومومية فلدينا حالة مميزة بكمون معين ، نكتب معادلة شرودينغر لهذا الكمون ونبحث عن حل صالح للحالة المدروسة إذ تتطلب الحالات المختلفة حلولاً مختلفة لمعادلات ملائمة .

لا يمكن اشتلاق قوانين نيوتن أو معادلات ماكسويل أو معادلة شرودينغر إنطلاقاً من المبادئ الأساسية . فهي معادلات رياضية تعطي نتائج متوافقة مع النتائج التجريبية . ويمكن إيجاد الحل الدقيق لمعادلة شرودينغر من أجل بعض الكموميات ، وأبسطها هو الكمون الثابت وكemon الهزاز التوافقى ، وتصبح كمرشد لأسلوب الحل رغم عدم كونها حالات فيزيائية بمعنى الكلمة ، فلا يجد في الطبيعة حسومات عالقة ضمن صندوق وحيد البعض أو هزاز تواافقى مثالي .

بحث شرودينغر عن معادلة تفاضلية تؤدي إلى حل ملائم لمسائل الفيزياء الكمية فكتب المخواص المتوقعة من المعادلة وفحص أنواع الحلول التي تلي هذه المخواص.

١- يجب أن تكون الطاقة مصادنة ، فرغم رغبتنا في التضحية بجزء كبير من الأطر التقليدية إلا أن مبدأ الحفاظ على الطاقة يبقى محققاً لذلك نكتب :

$$K + V = E \quad (30-2)$$

فالطاقة الكلية E تساوي مجموع الطاقتين الحركية K والمكانية V .

٢- يجب ألا تتناقض المعادلة مهما كان شكلها مع مسلمة دوبروي ، فإذا انتلقنا

$\lambda = h/p$ فيجب أن نصل إلى حل لوجة طولها

$$K = \frac{p^2}{2m} = \frac{\hbar^2 k^2}{2m}$$

وكذلك تكون الطاقة الحركية بحسيم حر متساوية λ - يجب أن تكون المعادلة منسجمة ذاتياً بالمعنى الرياضي . إذ توقع أن يزودنا الحل بعض القيم عن احتمال وجود الجسم ، كما يجب أن يكون الحل وحيد القيمة ، وأن يكون خطياً يومن تراكم الأمواج .

سنبدأ من حل للمعادلة التي نبحث عنها . فالصيغة الرياضية للموجة المنتشرة الممثلة للجسيم الحر تأخذ الشكل $\Psi(x, t) = A \sin(kx - \omega t)$

مقداره $\lambda = \frac{2\pi}{k}$ وتوتر مقداره $v = \omega/2\pi$. سهل الارتباط الزمني وتعامل مع وصف لحظي للموجة عند زمن معين ولتكن $t=0$ أي أنها نعرف التابع $\Psi(x)$ عند اللحظة $t=0$ بالعلاقة :

$$\Psi(x) = A \sin(kx) \quad (31-2)$$

يمكن للمعادلة التفاضلية التي يشكل التابع $\Psi(x, t)$ حلّاً لها أن تقوى عدداً غير محدود من مشتقات $\Psi(x, t)$ بالنسبة للموضع أو الزمن . ولكننا نريد معادلة مرتبطة بالتابع $\Psi(x, t)$ ومشتقاته من الدرجة الأولى وهذا يعني من افتراض خطية المعادلة

ووحدانية قيمها . كما يجب على المعادلة أن تتضمن الكمون فإذا ظهر الكمون بالدرجة الأولى فيجب على العلاقة الحركية أن تظهر بالدرجة الأولى أيضاً لكي تنسجم معادلة الحفاظ الطاقة . ولقد وجدنا أن $K = \frac{k^2 k^2}{2m}$ ، والطريقة الوحيدة للحصول على حدود بدالة k^2 هي أخذ المشتق الثاني للتابع $\Psi(x) = A \sin(kx)$ بالنسبة لتحول x فنجد :

$$\text{أو } \frac{d^2\Psi}{dx^2} = -k^2\Psi = -\frac{2m}{\hbar^2}K\Psi = -\frac{2m}{\hbar^2}(E - V)\Psi \\ -\frac{\hbar^2}{2m} \frac{d^2\Psi}{dx^2} + V\Psi = E\Psi \quad (36-2)$$

ويجب أن نؤكد هنا أننا لم نقم بعملية استئناف أو استنتاج بل بناء معادلة تفاضلية تتحقق الخواص التالية :

١- انسجام مع الحفاظ الطاقة . ٢- خطية ووحيدة القيمة . ٣- تعطي حلّاً للمحسم الحر منسجماً مع مسلمة دوبروي . ويوجد معادلات أخرى تتمتع بهذه الخواص الثلاث ، ولكن المعادلة (36-2) هي الوحيدة التي تختار اختبار توافق تائجها مع التابع التجريبي في حالات فيزيائية مختلفة . تدعى المعادلة (36-2) بمعادلة شرودينغر المستقلة عن الزمن وهي وحيدة البعد .

١٠-٤ أسلوب حل المسائل الفيزيائية

إن أسلوب حل المعادلة (36-2) هو أسلوب عام لا يرتبط بشكل الكمون لذلك يمكن وضع سلسلة من الخطوات توصلنا إلى الحلول :

- ١- نبدأ بكتابة المعادلة (36-2) مع الكمون . وقد نضطر إلى كتابة معادلات مختلفة للمحالات المختلفة من القضايا .
- ٢- نبحث عن حل للمعادلة التفاضلية باستعمال أسلوب رياضي ملائم .
- ٣- نطبق الشروط الحدية وختار الحلول الملائمة مع تحديد ثوابتها وغالباً ما تحدد هذه الشروط القيم الذاتية للطاقة .

٤- تطبيق شروط الاستمرار للتابع $\Psi(x)$ ومشتقه $\frac{d\Psi}{dx}$ عند حدود المناطق المختلفة.

٥- نحسب جميع الثوابت المتشقة باستعمال شرط التخلص والذي يؤكد على وجود الجسم أي يجعل احتمال تواجده ضمن الفضاء مساوياً للواحد .

ترتبط الخطوات المتبقية بالتفسير الفيزيائي لحل المعادلة التفاضلية . إذ تعطى العلاقة $P(x) = |\Psi|^2 dx$ احتمال وجود الجسم ضمن المجال الضيق dx بحوار الموضع x ، ولا يكفي التمييز بين إيجاد الجسم عند النقطة X وإيجاده ضمن المجال dX بحوار النقطة X مهماً في المسائل وحيدة البعد ولكن عندما نتعامل مع مسائل ذات بعدين أو ثلاثة أبعاد يظهر الفرق واضحاً . فإذا عرفنا التابع $(P(x)$ بأنه كثافة الاحتمال عندها يكون تفسير التابع $\Psi(x)$ وفقاً لأسلوب شرودينغر كما يلي :

$$P(x)dx = |\Psi|^2 dx \quad (33-2)$$

بعد أن أعطينا التابع $\Psi(x)$ تفسيراً مرتبطاً بالاحتمال سننهي أسلوب حل المسائل الفيزيائية ونوضح كيفية استعمال التابع الموجي في حساب المقادير التي نستطيع قياسها في المختبر .

٦- يعطى احتمال وجود الجسم ضمن المجال $b \leq x \leq a$ بالعلاقة :

$$P = \int_b^a |\Psi|^2 dx \quad (34-2)$$

وكمuumum هذه القاعدة يجب أن يكون احتمال وجود الجسم في مكان ما ضمن كل الفضاء مساوياً للواحد أي :

$$\int_{-\infty}^{\infty} |\Psi|^2 dx = 1 \quad (35-2)$$

تلدّى هذه العلاقة بشرط التخلص ولساعدنا في إيجاد الثابت المثبّti المذكور في الخطوة ٥ .

٧- يجب أن يهمل كل حل لمعادلة شرودنجر يكون فيه $\Psi^2 \geq 0$ لأن قيمة الاحتمال لا تتجاوز الواحد .

٨- تعطى القيمة المتوسطة لأي مقدار فيزيائي (x) $F(x)$ تابع للمتحول x بالعلاقة :

$$\langle F(x) \rangle = \int_{-\infty}^{\infty} |\Psi|^2 F(x) dx \quad (36-2)$$

كما تدعى أحياناً القيمة الحسوبية بالعلاقة $(2-40)$ بالقيمة المترقبة .

١١-٢ تطبيقات

أ) جسم ضمن صندوق وحيد البعد :

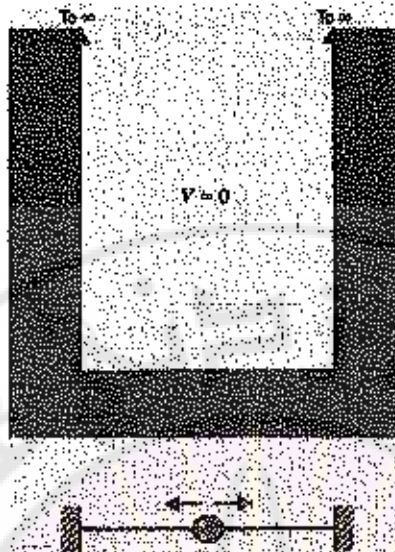
مندرس في هذه الحالة جسيماً كتلته m يتحرك بحرية ضمن صندوق وحيد البعد طوله L ، فالجسم محصور كلياً ضمن الصندوق (مثل خرزة تزلق دون احتكاك على سلك مشدود بين جدارين صلبين صانعة معهما اصطدامات مرنة) . يمكننا التعبير عن هذا الكمون كما يلي :

$$0 \leq x \leq L \quad V(x) = 0 \quad (37-2)$$

$$x > L \quad V(x) = \infty$$

يبين الشكل $(16-2)$ هذا الكمون الذي يدعى أحياناً بالغير التربيعية اللامائية . وبالطبع نستطيع اختيار أية قيمة ثابتة للكمون ضمن الحال $0 \leq x \leq L$ لذلك سنختار القيمة الصفر .

سنطبق الآن أسلوب الخل على المجالين داخل الصندوق وخارجه بشكل منفصل ، ففي الحال خارج الصندوق يكون احتمال وجود الجسم معلوماً وبالتالي يجب أن يكون $\Psi = 0$ خارج الصندوق .



الشكل (٤٦-٢) جسم يتحرك ضمن مجال واحد البعد .

أما داخل الصندوق فتكون معادلة شرودينغر من الشكل $\frac{\hbar^2}{2m} \frac{d^2\Psi}{dx^2} = E\Psi$ التي تكتب على الشكل $\Psi'' + \frac{2mE}{\hbar^2} \Psi = 0$ ويكون حلها من الشكل :

$$\frac{\hbar^2}{k^2} = \frac{2mE}{\hbar^2} \quad \Psi(x) = A \sin kx + B \cos kx \quad (٣٨-٢)$$

ويجب تعين الثابتين A و B وكذلك تحديد قيمة الطاقة الممكنة E ، ولذلك نفعل ذلك نطبق شرط استمرار التابع $\Psi(x)$ على الحدود أي يجب أن يتساوى الحالان في المجالين $x < 0$ و $x > L$ عند النقطة $x=0$ ، وبالمثل يجب أن يتساوى الحالان في المجالين $x < L$ و $x > L$ عند النقطة $x=L$.

فمن أجل $x=0$ ، لدينا $\Psi = 0$ ضمن المجال $x < 0$ والعلاقة (٤٢-٢) ضمن المجال $x > L$ ، فنكتب :

$$\Psi(0) = A \sin 0 + B \cos 0 = 0 \Rightarrow B = 0 \quad (٣٩-٢)$$

وأعند النقطة $x=L$ لدينا $\Psi = 0$ في المجال $x > L$ والحل (٤٢-٢) في المجال $x < L$ ، فنكتب :

$$\Psi(L) = A \sin(kL) + B \cos(kL) = 0 \quad (40-2)$$

نوعاً أن $B = 0$ فيجب أن يكون $A \sin(kL) = 0$ مساوياً للصفر . فلما $A = 0$ وهو مفروض لأن يجعل التابع $\Psi(x)$ مساوياً للصفر في كل مكان ، أو :

$$\sin(kL) = 0 \quad (41-2)$$

ويصبح هذا من أجل :

$$n = 1, 2, 3, \dots \quad \text{حيث} \quad kL = n\pi \quad (42-2)$$

و بما أن $k = \frac{2\pi}{\lambda}$ يكون $\lambda = \frac{2L}{n}$ وهي نتيجة مماثلة لما بحده في حالة الأمواج المستقرة على وتر مشدود ثابت من الطرفين طوله L . أي أن حل معادلة شرودينغر للجسم المقصور ضمن مجال عالي طوله L هو مجموعة من أمواج دويري المستقرة تتحدد أطوالها بالعلاقة (42-2) .

وباستعمال العلاقات (2-38) و (2-42) التي تحديد قيمة k المسموحة نصل إلى قيم الطاقة الممكنة :

$$\frac{\hbar^2 n^2}{2mL^2} n^2 = E = \frac{\hbar^2 k^2}{2m} \quad (43-2)$$

أي أن الطاقة في هذه الحالة مكتملة . سفترض للتبسيط أن $E_0 = \frac{\hbar^2 k^2}{2mL^2}$ هي سوية الطاقة وتتحدد بكلة الجسم وطول المجال فتكون $E_n = n^2 E_0$ ويمكن للجسم أن يتواجد ببطاقات تساوي $16E_0, 9E_0, 4E_0, E_0$ وهكذا . وبما أن الطاقة في هذه الحالة هي طاقة حرارية فإن هذه النتيجة تعني قياماً معينة للسرعة . وهذا أمر مختلف كلباً عما اعتدنا عليه في الفيزياء التقليدية حيث تستطيع المخرزة أن تزول بدون احتكاك على طول السلك وتصطدم بصطدامات مرنة بالجدارين مهما كانت السرعة الابتدائية التي تعطيها للمخرزة ، وتبقى متخرزة إلى الأبد حية وذهاباً بالسرعة الابتدائية نفسها . وهذا غير ممكن في الفيزياء الكلاسيكية إذ توجد سرعات ابتدائية معينة تتسع حالات مستقرة .

لم يكتمل الحل بعد إذ بقى علينا تعين قيمة الثابت A ويتم ذلك باستعمال شرط

$$\text{التنظيم : } 0 \leq x \leq L \quad \Psi = 0 \quad \text{خارج المجال}$$

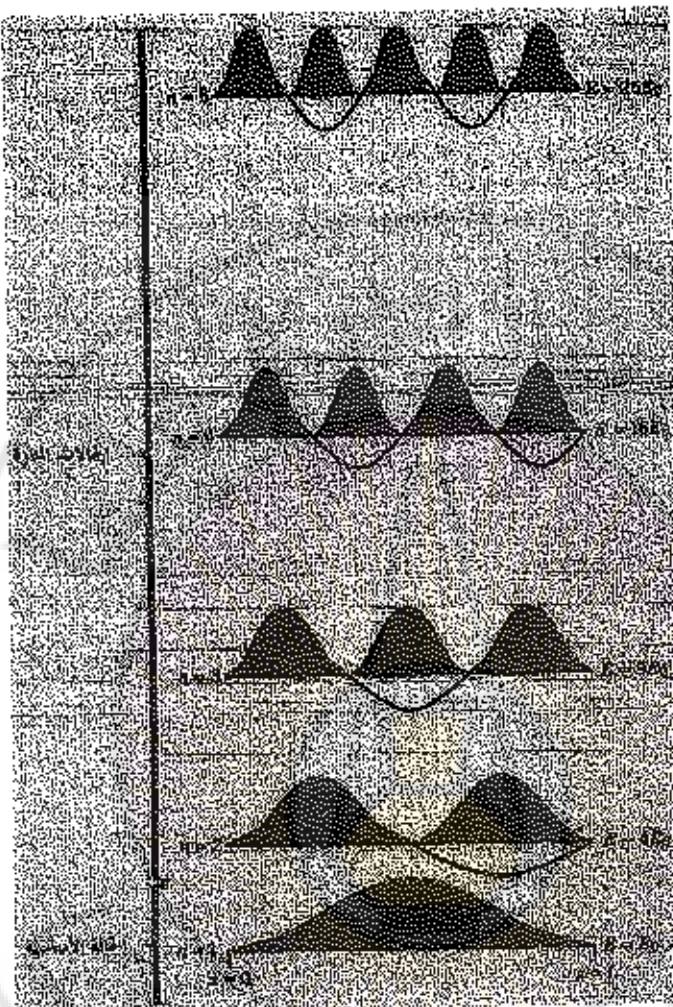
يؤلاشى التكامل خارج المجال ويقى لدinya :

$$\int_0^L A^2 \sin^2\left(\frac{n\pi}{L}x\right) dx = 1 \quad (44-2)$$

بتتنفيذ هذا التكامل نجد $A = \sqrt{\frac{2}{L}}$ ويكون الحل الكامل ضمن المجال المطلوب من الشكل :

$$\left(\frac{n\pi}{L}x\right) \sin\Psi(x) = \sqrt{\frac{2}{L}} \quad (45-2)$$

بظاهر الشكل (٤٧-٢) سويات العلاقة المسموحة والتوابع الموجية $\Psi(x)$ وكتافة الاحتمال $|\Psi(x)|^2$ من أجل بعض الحالات . تدعى أحفاض حالة ، وتقابل $n=1$ ، بالحالة الأساسية وتدعى الحالات الأخرى بالحالات المثارة .



الشكل (١٧-٢) سويات المطقة المسوحة لجسم محصور في بفرزية لاغائية وحيدة البعد ، والتوابع الموجية وكثافة الاحتمال .

سنوضح الآن في المثال التالي كيفية حساب الاحتمال والقيم المتوسطة .

مثال ٤-٢

حصر إلكترون ضمن مجال وحيد البعد طوله $L = 0.1\text{nm}$ ، أو جد :

أ) الطاقة التي يجب أن تقدمها لإثارة الإلكترون من الحالة الأساسية إلى الحالة المثارة الأولى .

ب) احتمال وجود الإلكترون ضمن المجال $0 \leq x \leq L/4$ وهو في حالته المثارة الأولى .

ت) متوسط بعد الإلكترون عن أحد طرفي المجال .

$$E_0 = \frac{h^2 \pi^2}{2mL^2} = \frac{h^2 c^2}{8\pi^2 \epsilon_0 c^2 L^2} \approx 37 \text{ eV}$$

ف تكون طاقة الحالة المثارة الأولى متساوية $E_2 = 4E_0$ لذلك يجب تقديم طاقة تساوي $E_2 - E_1 = 3E_0 = 111 \text{ eV}$ لنقله إلى الحالة المثارة الأولى .

حساب احتمال تواجد الإلكترون ضمن المجال المطلوب في الحالة المثارة الأولى نطبق العلاقة (٢٤) فنجد :

$$P = \int_0^{\frac{L}{4}} |\Psi|^2 dx = \int_0^{\frac{L}{4}} \frac{1}{4} \sin^2 \left(\frac{2\pi}{L} x \right) dx = \left[\frac{x}{L} - \frac{1}{4\pi} \sin \frac{4\pi}{L} x \right]_0^{\frac{L}{4}} = 0.25$$

حساب متوسط بعد الإلكترون عن أحد طرفي المجال نطبق العلاقة (٤٠-٢) فنجد :

$$\langle x \rangle = \int_0^L |\Psi|^2 x dx = \frac{2}{L} \int_0^L x \sin^2 \frac{2\pi}{L} x dx = \frac{L}{2} = 0.05 \text{ nm}$$

ب) اختراق الحواجز والانعكاس على العيوب :

لننظر إلى الحاجز المبين في الشكل (١٨-٢) حيث ترد عليه جسيمات طاقتها E أقل من ارتفاع الحاجز $\frac{h}{e}$. نتوقع أن نحصل على حلول لمعادلات شرودينغر في الحالات الثلاثة مماثلة للحلول الموضحة في الشكل ، أي تابع جيبي ضمن المجال $0 < x < a$ (موجة قادمة وأخرى منعكسة) ، تابع أسي متافق ضمن المجال $0 < x < a$ حيث a هو عرض الحاجز ، وتابع جيبي في المجال $x > a$ (موجة عابرة) .



الشكل (١٨-٢) التابع الموجي بجسم طاقته $E < V_0$ إن سعة الموجة بعد الحاجز أقل مما كانت عليه قبل الحاجز .
لأنه يمكن مشاهدة الجسم ضمن الحاجز لأن الطاقة المترددة هناك سالبة ، ولكن يمكن مشاهدة الجسم خلف الحاجز .
بحسب شدة الموجة العابرة بتطبيق شروط الاستمرار الملائمة وترتبط بطاقة الجسم
وبارتفاع الحاجز وعرضه . فمن وجهة نظر تقليدية لا يمكن أن يظهر الجسم خلف
الحاجز لعدم امتلاكه طاقة كافية للتغلب على الحاجز . وتدعى هذه الظاهرة في ميكانيك
الكم بالمفهول النفقي ، فلا يمكن مشاهدة الجسم ضمن المجال المحظوظ تقليدياً $0 < x < a$
ولكنه يستطيع أن يخترق هذا المجال ويشاهد في المجال $a < x$. ويوجد أمثلة كثيرة على
المفهول النفقي مثل إصدار أشعة ألفا من النوع الثقيل ، والانقلاب الشادرى ، والدينون
النفقي ، وبجه المسمى النفقي .

مثال ٤٣-٢

أوجد احتمال احتراق إلكترون طاقته الحركية $V = 10\text{eV}$ في الحاجز كمومي ارتفاعه 12eV
وعرضه 0.05nm

إن معادلة شرودينغر داخل الحاجز هي $\frac{\hbar^2}{2m} \frac{d^2\psi}{dx^2} + V_0 \Psi = E\Psi$ والتي
تكتب على الشكل $\Psi'' - k^2 \Psi = 0$ ويكون حلها من الشكل :

$$k^2 = \frac{2m(V_0 - E)}{\hbar^2} \quad \Psi(x) = Ae^{kx} + Be^{-kx} \quad (46-2)$$

ولكي يكون هذا الحل منسجماً مع الوضع داخل الحاجز نضع $A = 0$ فتحصل على متلهم
موجي متافق . إن احتمال وجود الإلكترون بمدار الجانب الأيسر داخل الحاجز
يساوي $\Psi^2(x)dx = (B^2 e^{-2kx})dx$ واحتمال وجوده بمدار الجانب الأيمن
داخل الحاجز يساوي $\Psi^2(x+a)dx = (B^2 e^{-2k(x+a)})dx$ فيكون

احتمال اختراق الماخز مساوياً نسبة احتمال وجود الإلكترون عند الطرف الأيمن داخل الماخز إلى احتمال وجوده عند الطرف الأيسر داخل الماخز أي :

$$T = \frac{\int_{-\infty}^{x=0} e^{-2k(x+a)} dx}{\int_{-\infty}^{\infty} e^{-2kx} dx} = e^{-2ka} \quad (47-2)$$

$$k = \sqrt{\frac{2m}{h^2} (V_0 - E)} = 7.24 \text{ nm}^{-1}$$

$$T = e^{-2ka} = 0.484$$

لتنظر الآن إلى العتبة المبينة بالشكل (19-2) فإذا كانت الطاقة الكلية E أكبر من V_0 تكون معادلة شرودينغر في المجال الأول $-\frac{\hbar^2}{2m} \frac{d^2\Psi}{dx^2} = E\Psi$ و تكتب بالشكل

$$\Psi'' + k_0^2\Psi = 0 \quad \text{ويعطى حلها بالعلاقة :}$$

$$x < 0 \quad k_0 = \sqrt{\frac{2mE}{h^2}} \quad \Psi_0 = Ae^{ik_0x} + Be^{-ik_0x} \quad \text{حيث } A \text{ و } B \text{ ضمن المجال } x < 0$$

حيث تمثل الحد الأول Ae^{ik_0x} موجة واردة سعتها A والحد الثاني Be^{-ik_0x} موجة معكسة سعتها B . وفي المجال الثاني $-\frac{\hbar^2}{2m} \frac{d^2\Psi}{dx^2} + V_0\Psi = E\Psi$ والتي تكتب بالشكل $\Psi'' + k_1^2\Psi = 0$ ويعطى حلها بالعلاقة :

$$x > 0 \quad k_1 = \sqrt{\frac{2m(E-V_0)}{h^2}} \quad \Psi_1 = Ce^{ik_1x} \quad \text{حيث } C \text{ ضمن المجال } x > 0$$

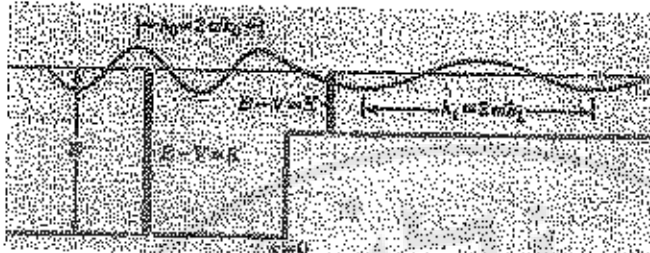
وهي تمثل موجة عابرة متوجهة نحو اليمين سعتها C . ويمكن إيجاد العلاقة بين الثوابت A و B و C بتطبيق شرط الاستمرار على كل من $\Psi(x)$ ومشتقه $\frac{d\Psi}{dx}$ عند الحدود . فعند $x = 0$ نجد :

$$\Psi_0(0) = \Psi_1(0) \Rightarrow A + B = C$$

$$\Psi'_0(0) = \Psi'_1(0) \Rightarrow A - B = \frac{k_1}{k_0}C$$

$$C = \frac{k_0 - k_1}{2k_0}C, \quad B = A = \frac{k_0 + k_1}{2k_0}C$$

إن تطبيق شرطي الاستمرار يضمن انتقالاً ناعماً عند الحدود.



الشكل (١٦-٢) التابع الموجي بسم علامة E يختار عبة ارتفاعها V_0 حيث $V_0 > R$.

مثال ٤-٤

أوجد معامل الانعكاس للكثرون طاقته الحرارية $100V$ بحيث كثافة كهرومagnetica ارتفاعها $100\mu m$.

نعرف معامل الانعكاس بأنه نسبة الطاقة الممكسة إلى الطاقة الواردة ، وعما أن طاقة الموجة تناسب مع مربع سعتها يكون معامل الانعكاس مساوياً :

$$R = \frac{B^2}{A^2} = \left(\frac{k_0 - k_s}{k_0 + k_s} \right)^2 \quad (48-٢)$$

$$k_s = \sqrt{\frac{2\pi}{\lambda}} (E - V_0) = 7.24 \text{ nm}^{-1}, k_0 = \sqrt{\frac{2\pi g}{\lambda^2}} = 11.45 \text{ nm}^{-1}$$

$$R = 0.05 \quad \text{ومنه :}$$

٤-٣ الأعداد الكهرومائية

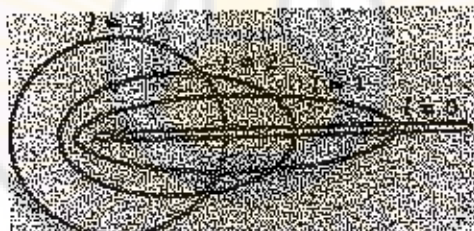
تطلب المسائل ثلاثة الأبعاد ثلاثة أعداد كهرومائية تحدد المحلول ، أي لا بد من ثلاثة أعداد كهرومائية لوصف التابع الموجي المثل لنهرة الماء وحيث في الإحداثيات، القطبية المكرورية ، يرتبط العدد الكهرومائي الأول (الرئيس) بحل المعادلة المرتبطة بالوضع ٢ وهو الجهد ϕ نفسه بينما لسوبراتس، الطاقة في خوذج بور . ويعطي حل المعادلة المرتبطة بالزاوية θ العدد الكهرومائي الثاني (المداري) ψ . أما معادلة الزاوية ψ فتؤدي إلى العدد الكهرومائي الثالث (المقطعي) $\psi_{\text{قط}}$. أما تفسير الوثيقة الدقيقة فيتم بإذن حال خاصة جنابية للكثرون تدعى السين الداخلي .

(n) : يدعى العدد الكمومي n بالعدد الرئيس ويأخذ القيم الصحيحة ... 1,2,3,4,... . فعند تحديد العدد n تعين طاقة محددة كما في نموذج بور ، وبكل معادلة شرودينغر تحدد سويات مكتملة للطاقة على وافق كامل مع نموذج بور .

$$E_n = -\frac{me^4}{32\pi^2\epsilon_0^2R^2} \cdot \frac{1}{n^2} = -\frac{13.6 \text{ eV}}{n^2} \quad (53-2)$$

ونلاحظ ارتباط الطاقة بالعدد الرئيس فقط وليس بأي من m أو R . وتحدد قيمة العدد n في نموذج بور نصف قطر مدار الألكترون فكلما كانت قيمة العدد n أكبر نصف قطر المدار .

(*) : يأخذ العدد الكمومي المداري ℓ القيم من 0 وحتى $n-1$ بخطوة تساوي الواحد ، فمن أصل القيمة $n=1$ مثلاً يأخذ ℓ ثلاثة قيم هي 0,1,2 . وتحدد العدد ℓ شكل المدار من حيث كونه قطعاً ناقصاً أو دائرة ويوضح الشكل (٢٠-٢) المدارات الأساسية المقابلة لقيمة ℓ المختلفة في الحالة $n=4$.



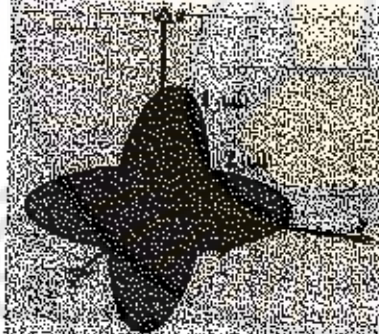
الشكل (٢٠-٢) مدارات الألكترون المقابلة للعدد $n=4$. ونلاحظ أن القيمة المتوسطة لشعاع الموضع r واحدة في جميع المدارات وإن الألكترون في المدار المقابل لقيمة ℓ الصغيرة يقتضي معظم وقته إما قريباً من النواة أو بعيداً عنها وتحدد من خلال هذا التفسير للعدد ℓ ارتباطه بالاندفاع الزاوي للألكترون فالمدار المقابل لأكبر قيمة للعدد ℓ أي $\ell=n-1=3$ يملك أكبر اندفاع زاوي حول النواة لذلك يكون دائرياً . وتقابل القيمة الأصغر للعدد ℓ مدارات قطعية ناقصية . أما أصغر قيمة (0) فتعطي مسطحة يمر بالنواة . وتعطي المسابقات الدقيقة المستندة إلى

حل معادلة شرودينغر علاقة بين طول شعاع الاندفاعة الزاوي المداري $|L|$ والعدد المداري ℓ هي:

$$|L| = \sqrt{\ell(\ell+1)\hbar} \quad (20-2)$$

ولقد اصطلح بعطاء قيمة العدد ℓ رموزاً حرفية هي
ن مقابل القيم
Sharp , Principle , Diffused , Fundamental ، وهي :
ثم المتابعة وفق الترتيب الأيجيدي للأحرف الإنجليزية .

III: يعطي العدد الكمومي **III** توجيه مستوى المدار بالنسبة للمستوى **XY** .
ويبين الشكل (21-2) توجيهين ممكثرين لمدار الإلكترون . يكون هذه التوجهات التي أوردهنها معنى ضمن الصورة التي يعطيها نموذج بور ، ويجب ألا تتوحد بشكل جدي لأن المدار المحدد يتعارض مع مبدأ الارتباط .



الشكل (21-2) توجهان مختلفان لمدار الإلكترون ، الأول يقع في المستوى **XY** ويقابل $m_1 = 0$ والثاني يقع في المستوى **XY** ويقابل $m_2 = 1$.

هناك خواص المدارات ، وخاصة سلوكها ضمن المقول المغناطيسية ، يمكن فهمها بسهولة عند استعمال نموذج يجعل فيه الاندفاعة الزاوي يسلك سلوك شعاع عادي . ففي كل مدار يمكن للإلكترون يبقى الاندفاعة الزاوي ثابتاً على طول المدار .
سنمثل الاندفاعة الزاوي بالشعاع \rightarrow فهو بالمعنى التقليدي شعاع غير بالثوابة

ويعامد مستوى مدار الإلكتروني ويمكن أن يمتلك مركبات وفق أي محور في الفضاء .

تعطى مركبة شعاع الاندفاع الزاوي وفق المخور Z والتي نرمز لها بالرمز ℓ_z بالعلاقة :

$$(51-2) \quad \ell_z = m_e \hbar$$

حيث m_e هو العدد الكمومي المغناطيسي ، يأخذ القيم $0, \pm 1, \pm 2, \dots, \pm \ell$ ،

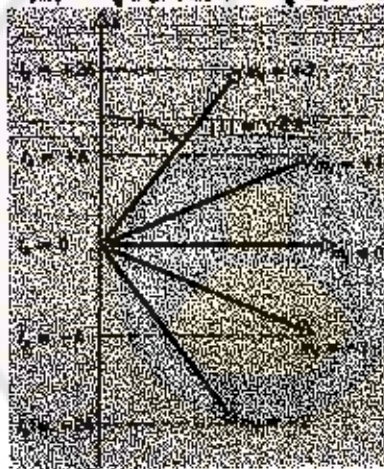
ويوضح الشكل (22-2) مركبات شعاع الاندفاع الزاوي في الحالة $2 = \ell = 2$ ويقابل

كل توجيه للاندفاع الزاوي في الفضاء قيمة مختلفة للعدد m_e ، وتعطى الزاوية التي

يصنعها الاندفاع الزاوي مع المخور Z انطلاقاً من الشكل المبين ، حيث

$$\ell_z = |L| \cos \theta$$

$$(52-2) \quad \cos \theta = \frac{\ell_z}{|L|} = \frac{m_e \hbar}{\sqrt{2(\ell+1)} \hbar} = \frac{m_e}{\sqrt{2(\ell+1)}}$$



الشكل (22-2) للتوجهات في الفضاء ومركبات الشعاع وفق المخور Z للحالة $2 = \ell = 2$.

تمثل هذا السلوك فكرة جديدة في الفيزياء الكمومية تدعى تكميم الفراغ وهذا يعني أن هناك اتجاهات معينة مسموحة لأشعة الاندفاعات الزاوية . ويعطى عدد هذه الاتجاهات

بالعلاقة $(2\ell + 1)$ أي بعدد قيم m_e الممكنة .

أما قيم مركبات شعاع الاندفاع الزاوي المتالية فتشتت عن بعضها بمقدار \hbar

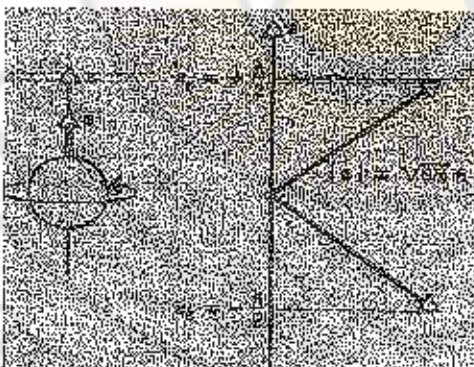
ـ ففي ميكانيك الكم يمكن للشعاع الممثل للحالة $1 = \ell = 1$ أن يكون له ثلاثة مركبات

نقطة هي $(\hbar, 0, -\hbar)$ والمدهش هنا أنها لمحصل على هذه النتيجة مهما كان اتجاه المحوร

$\cdot Z$

(s) : يكون للإلكترون عزم زاوي مداري \mathbf{L} وهو يرتبط بحركة الإلكترون حول النواة ، وعزم زاوي داخلي \mathbf{S} ، كما لو أن الإلكترون يدور حول محوره الخاص . لذلك يدعى \mathbf{S} عادة بالسبين المداري ، وبعد إدخال فكرة دوران الإلكترون حول نفسه عام ١٩٢٥ أظهر ديراك أن الوصف التسيي للإلكترون في النظرية الكمومية يعطي سبين الإلكترون كعدد كمومي رابع .

يتصرف السبين المداري كالعزم الزاوي المداري ، أي أن هناك عددًا كمومياً S (يمكن عدّه دليلاً ناجحاً من الحل الرياضي) يقترن به عزم مغناطيسي ، وله طول يساوي $s_z = m_s \hbar$ أي عدد كمومي m_s يأخذ القيمتين $\frac{1}{2} \pm \frac{1}{2}$ وبين الشكل (٢٣-٢) بيّن السين S أي أن وصف الحالة في الذرة يتطلب أربعة أعداد كمومية هي (n, ℓ, m_ℓ, m_s)



(٢٣-٢) سين الإلكترون وتجهيه في الفضاء .

مسائل وتمارين

١ - أوجد طاقة الفوتون مقدمة بالجouل وبالإلكترون فولط في حالة موجة كهرطيسية فواترها 900kHz . الجواب $0.37 \times 10^{-8}\text{eV}$

٢ - ما هو تواتر فوتون ملائمه 1MeV ؟ الجواب $0.24 \times 10^{21}\text{Hz}$

٣ - ما هي طاقة فوتون طول موجته 650nm ؟ الجواب 1.908eV

٤ - إذا كان تابع العمل للتنفسين مساوياً $eV = 4.58$ ، أوجد تواتر عتبة الاصدال وطول الموجة . ثم أوجد كمون الاصدال في حالة ورود فوتون طول موجته 250nm على التنفسين .

الجواب $1.106 \times 10^{15}\text{Hz}$ 0.38eV 270.74nm

٥ - عندما يزداد ضوء طول موجته 300nm على البوتاسيوم يكون لإلكترون المتعطل طاقة حرارية عظمى تساوى 2.03 eV . أوجد طاقة الفوتون البارد ، وتابع العمل لليوتاسيوم .

الجواب 4.13eV 2.10eV

٦ - حرارة ضئوية طول موجتها 400nm وشدة 100W/m^2 . أوجد طاقة الفوتون البارد في هذه الحرارة . وتقدير العلاقة التي تسقط خلال ثانية واحدة على 1cm^2 من سطح ينبع الضوء . ما هو عدد الفوتونات التي تصطرب بهذه المساحة في الثانية الواحدة ؟

الجواب 3.10eV $0.01J$ $2 \times 10^{16}\text{ photons}$

٧ - يستعمل فرق في الكمون قدره 460kV لغليد حرمة من الأنسجة السنية ، ما هو أبعد طول موجة في الطيف المستمر المسادر من الأجهزة ؟ وما هو فرق الكمون الذي يجب تطبيقه كي يكون أصفر طول موجة في الطيف المستمر مساوياً 90.134 nm ؟ الجواب 9.254kV 2.7 pm

-⁸ أوجد انزياح الطول الموجي $\Delta\lambda$ لفوتون يبعثر على الكترون ساكن وفق زاوية قدرها 60° الجواب 1.2×10^{-3} nm

٩- إذا كان الانزياح في الطول المرجح للفوتونات المتبعثرة مساوياً 0.33 pm فما هي زاوية التبعثر؟ الجواب 30.23°

١-إذا كان التغير النسبي لطفل الموجة مساوياً 1.5% من أصل زاوية تيغثر قدرها 90° فما هو طول موجة الفوتون الوارد على الإلكترون الحر؟

الخطاب 161.77 nm

١١- استعمل كومبتون فوتونات طول موجتها 0.071 nm . أوجد طاقة كل من هذه الفوتونات ، وطول موجة الفوتونات المتبعنة وفق الزاوية 180° ، وطاقتها ، والاندفاع الخططي لكل من الفوتون الوارد والمبعثر ، والاندفاع الخططي للإلكترون المرتد وطاقته الحركية .

1.1159 KeV 16.33 KeV 0.0/60 nm 17.44 KeV ایجاد

١٢- أو جد مجال الأطوال الموجية لكل من سلسلي ليمان وبالمر .

$$656.09\text{nm} \leq \lambda < 364.71\text{nm} \quad \text{و} \quad 121.57\text{nm} \leq \lambda < 91.18\text{nm}$$

١٣- ذرة هيدروجين مشاركة إلى الحالة $n=1$ وفقاً لنموذج بور أوجد نصف قطر المدار، والاندفاع الزاوي للإلكترون ، وسرعته ، وطاقة الكلية، وطاقة الحركة ، وطاقة الكامنة ، واندفاعه الخطى الجواب $1.99 \times 10^5 m/s$ $11.6 \times 10^{-34} J.s$ $6.4 nm$

- 0.11 eV

$$18.13 \times 10^{-26} \text{ Kg.m/s} \quad -0.22 \text{ eV} \quad 0.11 \text{ eV}$$

٤) - أو جهد طول موجة دوبيزو، لا يكثرون طاقته الحرارية . 2.5KeV

الخطاب 2,45 pm

١٥-أُوجد الاندفاع الحطي والطاقة الحركية للكترون طول موجته 200 nm .

$$\text{الجواب } 37.61 \times 10^{-6} \text{ eV} \quad \frac{6.2 \text{ eV}}{c}$$

١٦-أُوجد فرق الكمون اللازم لتسريع الكترون كي يصبح طول الموجة المراكبة له متساوية 0.01 nm . الجواب $V_A = 15045 \text{ V}$

١٧-تبغث فوتونات أشعة سينية على إلكترونات حرة ، وتلقط عند زاوية تبلغ قدرها 100° بطول موجة قدره 0.2 nm . ما هي الطاقة الابتدائية لفوتونات الأشعة السينية ؟

$$\text{الجواب } 6289.59 \text{ eV}$$

١٨-أُوجد طول الموجة المراكبة للكترون طاقته 200 MeV .

$$\text{الجواب } 6.2 \text{ fm}$$

١٩-أثبتت أن سرعة الإلكترون في الدار N لذرة الهيدروجين وفق نموذج بور يعطي

$$\text{بالعلاقة } v_n = \frac{e^2}{2\epsilon_0 \hbar n}$$

٢٠-يشع مصباح استطاعته W 90 بشكل متباين في جميع الاتجاهات بطول موجة قدره 650 nm . أُوجد شدة الضوء عند مسافة تبعد 1.5 m عن المصباح . ما هو عدد الفوتونات في الثانية الواحدة التي تصطرب سطحًا ممادًا لأشعة الضوء مساحتها 1 cm^2 عند تلك المسافة ؟

$$\text{الجواب } \approx 10^{19} \text{ photons} \quad 3.183 \text{ W/m}^2$$

٢١-ما هي طاقة الارتباط في شاردة الهليوم He^+ (حالة إلكترون واحد يدور حول نواة الهليوم) .

$$\text{الجواب } -54.4 \text{ eV}$$

٤- حسب قوافل حركة إلكترون يدور في مدار بور الماقيدي عشر لمرة المدروجين وقارنه مع تواتر الاشعاع الصادر نتيجة انتقال الإلكترون من المدار الماقيدي عشر إلى المدار العاشر .

$$\text{الجواب} \approx 6 \times 10^{12} \text{ Hz} \quad \approx 5 \times 10^{12} \text{ Hz}$$

٥- يتحرك إلكترون وبيوزيترون متوجهين نحو بعضهما بسرعتين متساويتين $v = 3 \times 10^6 \text{ m/s}$ فيجي أحدهما الآخر ويخرج من ذلك فوتونين بطاقةين متساوين . ما هو طول الموجة المواكبة لكل من الإلكترون والبيوزيترون ؟ وما هو طول موجة كل من الفوتونين ؟

$$\text{الجواب} \approx 1.2 \times 10^{-3} \text{ nm} \quad \approx 0.24 \text{ nm}$$

٦- أوجد سرعة الطور وسرعة المجموعة وطول موجة إلكترون طاقته الحركية 2 KeV
الجواب $= 0.027 \text{ nm} \quad \approx 2.7 \times 10^7 \text{ m/s}$

٧- ما هو احتمال احتراق الإلكترون طاقته الحركية 10 eV 12 eV لاجر ارتفاعه
وعرضه 0.05 nm ؟ الجواب 0.48

٨- ما هي طاقة الحاله الأساسية لـ إلكترون مصوّر حسّن صندوق وحيد البعد طوله
الجواب $L = 0.1 \text{ nm} \quad 37.6 \text{ eV}$

٩- أوجد احتمال تواجد جسم مصوّر حسّن صندوق وحيد البعد في الحال $x < 0$
الجواب $0.091 < L/4$

١٠- أوجد طول موجة دوبروي لجزيئ آزوت درجة حرارتها $300K$ ، ولبرتون طاقته
الحركية 5 MeV ، والإلكترون سرعته 10^6 m/s .

١١- نريد دراسة جسيمات قطرها من المرتبة $0.10 \mu\text{m}$ مستعملين مجرأً إلكترونياً.
أوجد طول موجة دوبروي المواكبة للإلكترون ، واحسب الكمون الذي يجب تطبيقه
لتسريع إلكترونات الجهر .

٣٠- يتحرك الإلكترون حيث وذهبياً بين جدارين المسافة بينهما 0.5 mm . أوجد أطوال أمواج دوبيروي الممكنة لتشكيل أمواج مستقرة بين الجدارين ، ثم أوجد الطاقة الحزكية لهذا الإلكترون .

٣١- إذا كان كثoron التسريع في تجربة ديفيسون - جيرمن مساوياً 105 V فما هي الزاوية التي سيبدأ عندها الانعكاس الأول في الظهور ؟

٣٢- إذا قيست سرعة الإلكترون بارتباط مطلق يساوي $2 \times 10^4 \text{ m/s}$ فما هو طول المجال الذي ينحصر فيه الإلكترون ؟

٣٣- أثبتت أن سرعة الطور ترتبط بسرعة المجموعة وفق العلاقة :

$v_p = v_g - \lambda \frac{dv_p}{d\lambda}$ وعندما يجتاز الضوء الأبيض مادة شفافة ترتبط سرعة الطور لكل موجة بطول الموجة نفسها . ما هي علاقة v_g بطول الموجة λ ؟ هل تكون قيمة

$\frac{dv_p}{d\lambda}$ موجبة أم سالبة ؟ أي هل تكون سرعة الطور أكبر من سرعة المجموعة ؟

٣٤- تتحرك بعض الأمواج السطحية في السوائل بسرعة طور تساوي $b/\sqrt{\lambda}$ حيث b ثابت . أوجد سرعة المجموعة لرزمة الأمواج السطحية بدلالة سرعة الطور .

٣٥- حصر الإلكترون ضمن مجال وحيد البعد بطاقة صغرى تساوي 10 eV . ما هو طول المجال ؟ وما هي الطاقة اللازمة لنقل هذا الإلكترون إلى الحالة المثارة الأولى ؟ وإذا أصدر الإلكترون فوتوناً طاقته 240 eV نتيجة انتقاله من الحالة n إلى الحالة الأساسية فما هو العدد n ؟

٣٦- حصر حسيم ضمن مجال وحيد البعد طوله L . أثبت أن احتمال وجوده ضمن المجال $\frac{L}{n} \leq x \leq 0$ وهو في حالة المثارة n يساوي $1/n$.

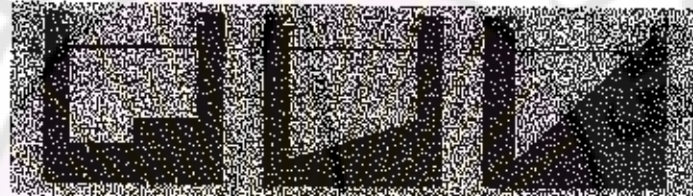
٣٧- يرد حسيم طاقته $V_0 < E$ معاملًا لقيمة ارتفاعها V كما في الشكل المجاور .



أوجد مسافة الاختراق التي يصبح عندها احتمال وجود الجسيم مساوياً $1/e$. ثم
احسب مسافة الاختراق من أجل :

$$. E = 8 \text{ eV} , V_0 = 10 \text{ eV} , m = 0.511 \text{ MeV}/c^2$$

٣٨- أرسم حلول معادلة شرودينغر لكل من الكمونات المبينة أدناه :



٣٩- احسب طول أشعة الاندفاع الزاوي الممثل لحركة الإلكترون في الحالات :

$$\ell = 1, 2, 3$$

٤٠- ما هو عدد القيم المختلفة لمركبات مركبات الاندفاع الزاوي المداري في الحالة

$$\ell = 3 \text{ وفق الحور } Z.$$

٤١- ما هي الزوايا التي يصنعها شعاع الاندفاع الزاوي المداري مع الحور Z في الحالة

$$\ell = 2$$

الفصل الثالث

الفيزياء النووية والنشاط

الإشعاعي

**Nuclear Physics &
Radioactivity**



تشكلون الذرة من إلكترونات، تدور حول النواة . وتكون مدارات الإلكترون ذات طبيعة كمومية وتحتاج بمميزات مهمة ثمت دراستها في الفصل الثاني من هذا الباب وستناقش في هذا الفصل نواة الذرة ببعض التفصيل .

تتألف نواة الذرة من ترونات وبروتونات يدعى كل منها بالكليون . تم اكتشاف الترون من قبل تشادويك عام ١٩٣٢ وهو جسيم متعدي كهربائياً وتربيد كتلته قليلاً عن كتلة البروتون .

يكون عدد البروتونات مختلفة في نوى العناصر المختلفة ويدعى هذا العدد بالعدد الذري ويرمز له بالرمز Z . ويكون عدد البروتونات في الذرة مساوياً لعدد الإلكترونات التي تدور حول النواة . ويرمز لعدد الترونات في نواة الذرة بالرمز N . يدعى مجموع عددي البروتونات والترونات بالعدد الكتلي ورمز له بالرمز A . أي

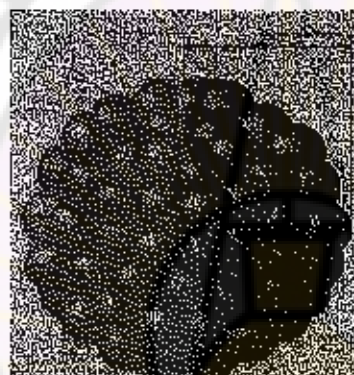
$$A = Z + N \quad (1-3)$$

وهناك رمز مختصر للنواة يربط بين العدد الكتلي A والعدد الذري Z والرمز الكيميائي للعنصر . ففي نوى جميع ذرات عنصر الألミニوم الموجود في الطبيعة يكون $A=27$ و $Z=13$ ويكون الرمز المختصر لهذا العنصر Al^{27}_{13} . ويكون عدد الترونات في نواة ذرة الألミニوم مساوياً $N=A-Z=14$. وبصورة عامة ، إذا كان الرمز الكيميائي لعنصر ما هو X يكون الرمز المختصر لنواهه X^{27}_{13} فرمز البروتون هو H^1 لأن البروتون هو نواة ذرة الهيدروجين . ويرمز للترون بالرمز e^{-} . وفي حالة الإلكترون لستعمل الرمز e^{-} وقد وضع في هذا الرمز A=0 لأن كتلة الإلكترون صغيرة جداً بالمقارنة مع كتلة البروتون والترون . وكذلك Z=-1 لأن الإلكترون يحمل شحنة سالبة . تدعى العناصر التي لها العدد الذري نفسه ، أي عدد البروتونات نفسه ، بالنظائر . فمعظم نوى الكربون الموجودة في الطبيعة هي من النظائر C^{12} وتشكل (98.90%) بينما الجزء المتبقى النظائر الأخرى مثل C^{13} و C^{14} . إن الكتل الذرية الموجودة في الجدول

الدوري للعناصر هي الكتل الذرية المتوسطة وقد أخذ فيها بالحسبان وفرة النظائر المختلفة . تتجتمع البروتونات والترونات في النواة على شكل عناقيد يكون لها شكل كروي تقريباً كما في الشكل (٢-١) . وتشير التجارب إلى نصف قطر $r = 1.24^{1/3} fm$ للنواة يرتبط بالعدد الكتلي وفق العلاقة

$$r = 1.24^{1/3} fm \quad (2-3)$$

حيث $10^{-15} m = 1 fm$ ، فنصف قطر نواة الألミニوم هو $1.24^{1/3} \times 27^{1/3} = 3.6 fm$ وتفود العلاقة (٢-٣) إلى نتيجة مهمة حول الكثافة النووية للذرات المختلفة وهي أن للكثافة النووية قيمة واحدة تقريباً في الذرات المختلفة .



الشكل (٢-٣) يكون للنواة شكل كروي تقريباً وهي تحوي بروتونات وترونات

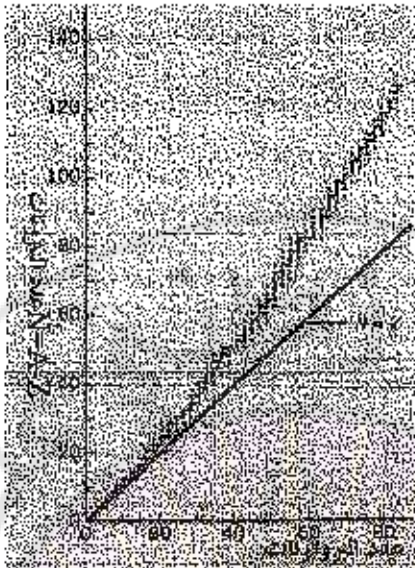
٢-٣ القوة النووية الشديدة واستقرار النواة

تدافع الشحنات الموجبة القريبة من بعضها كما في النواة بقوة كهربائية ساكنة كبيرة . فما هو الذي يمنع أجزاء النواة من التطاير ؟ لا بد من وجود قوة جاذبية تؤمن بثبات النواة . ولذا أن معظم أنواع الذرات الموجدة في الطبيعة تحوي نوى مستقرة ، وأن قوة التجاذب الكتلي بين النكليونات أضعف من أن تتغلب على قوى التدافع الكهربائي ، لذلك ليد من نوع آخر من القوى يبقى على ثبات النواة . هذه القوة هي

القوة النووية الشديدة وهي واحدة من ثلاث قوى أساسية تعرفها اليوم ، أساسية يمعنى إمكان تفسير أي قوة في الطبيعة بدلالة هذه القوى الثلاث.

أصبح الكثير من مظاهر القوة النووية معروفاً جداً . فهي غير مرتبطة بالشحنة الكهربائية ، فمن أهل مسافة فصل معينة تكون قوة التجاذب تترون متساوية لقوة التجاذب بروتونين ومساوية لقوة التجاذب بين البروتون والترون . ويكون مجال تأثيرها قصيراً جداً ، فهي قوية جداً عندما تكون المسافة بين النكليونين من مرتبة 10^{-15} m وتعدّم في حالة مسافة أكبر . وتخالف عن القوة الكهربائية الساكنة التي تتناقض تدريجياً متزايدة عكساً مع مربع المسافة وبالتالي يكون مجال تأثيرها كبيراً نسبياً .

يلعب قصر مجال تأثير القوة النووية الشديدة دوراً مهمـاً في استقرار النواة . فلكي تكون النواة مستقرة يجب أن تتوافق قوة التدافع الكهربائي بين البروتونات مع قوة التجاذب النووية الشديدة . ولكن كل بروتون يتدافع مع جميع البروتونات الموجودة في النواة بسبب طول مجال تأثير القوة الكهربائية الساكنة . بينما يتأثر كل نيكليون بالنيكليونات المجاورة له فقط بسبب صغر مجال تأثير القوة النووية الشديدة . ومع زيادة عدد البروتونات ضمن النواة فإن عدد النترونات يجب أن يزداد أكثر لتأمين استقرار النواة . يظهر الشكل (٢-٢) رسماً بيانياً لعدد النترونات كتابع لعدد البروتونات في العناصر الطبيعية ذات النوى المستقرة . ويعضم الشكل أيضاً الخط المستقيم الممثل للشرط $N=Z$. فمع بعض الاستثناءات تقع النقاط الممثلة للنوى المستقرة فوق هذا الخط المرجعي وهذا يعكس حقيقة كون عدد النترونات أكبر من عدد البروتونات مع ازيد من العدد الذري :



الشكل (٢-٣) إن عدد التترونات في النواة المستقرة أكبر من عدد البروتونات فيها .

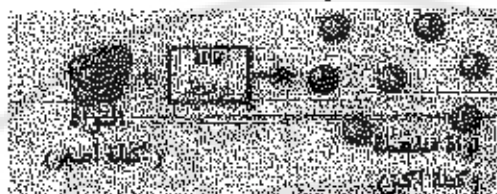
ومع ازدياد عدد البروتونات في النواة سنصل إلى حالة يصعب معها الحصول على التوازن بين قوة التدافع الكهربائي وقوة التجاذب النووي عن طريق زيادة عدد التترونات ، لأن الحال الصغير المحدود لتأثير القوة النووية الشديدة يمنع التترونات الإضافية من موازنة قوة التدافع الكهربائي طوولة المدى للبروتونات الإضافية .

إن أكبر عدد للبروتونات في النواة المستقرة هو $Z=83$ وبقابل عنصر البرومات

$^{209}_{83}\text{Br}$ وتكون جميع العناصر الأقل من البرومات ، مثل البوراتيوم $^{238}_{92}\text{U}$ وغيره ، غير مستقرة وتصدر تلقائياً أشعة نوية ، معدية بذلك ترتيبها الداخلي مع مرور الزمن . تدعى عملية التفكك التلقائي هذه بالنشاط الإشعاعي . وتم اكتشافها من قبل بيكرل عام ١٨٩٦ ولسوف ندرس الشاط النشاط الإشعاعي بعض التفصيل في الفقرة ٤-٣ .

٣-٣ طاقة الارتباط النووي

تكون النكليونات في النواة المستقرة متصلة بسبب القوة النووية الشديدة . لذلك يتطلب فصل النواة المستقرة إلى مكوناتها من البروتونات والنيترونات طاقة تدعى طاقة الارتباط النووي كما هو موضح في الشكل (٣-٢) .



الشكل (٣-٢) يجب تقسيم طاقة نسبية تساوي طاقة الارتباط لفصل النواة إلى مكوناتها .

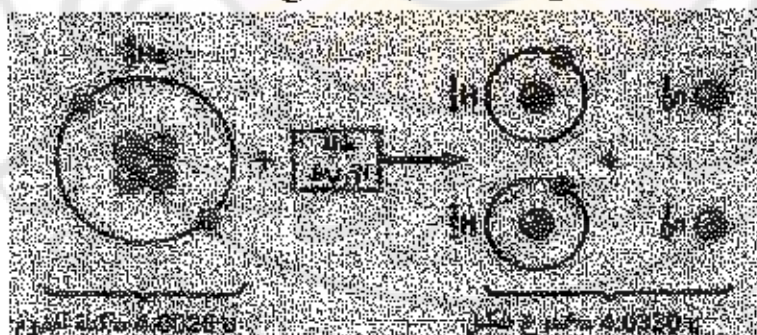
ويمكن حساب طاقة ارتباط النواة من مقدار تغير الكتلة وفق العلاقة

$$\text{طاقة الارتباط} = c^2(\Delta m) \quad (٣-٣)$$

مثال ٤-٣

يعد الهليلوم $^{4}_{2}\text{He}$ من أكثر نظائر الهليلوم وفرة في الطبيعة فكتلته تساوي $6.6447 \times 10^{-27} \text{ kg} = 4.0026u$ حيث u هي واحدة الكتلة الذرية وتساوي $1/12$ من كتلة ذرة الكربون $^{12}_{6}\text{C}$ أي تساوي $931.5 \text{ MeV} = 1.6605 \times 10^{-27} \text{ kg} = u$ أو جد طاقة ارتباط نواة الهليلوم .

لحساب تغير الكتلة يجب طرح كتلة الهليلوم من مجموع كتل النكليونات الموجودة فيها.



الشكل (٤-٤) يجب أخذ كتلة الالكترون المداري في الحساب عند حساب طاقة الارتباط .

الجدول (٤-١) أثقل الذرية بعض الماكس

المادة	الوزن	Z	M_u	$M_u - M_{u0}$
المهروجين	1H	1	1.007825	
	2H	1	2.014102	
	3H	1	3.014390	
اليهود	1H	1	1.007825	
	2H	2	2.014102	
	3H	2	4.032603	
التيتانيوم	4Ti	22	49.915690	
البورون	10B	5	10.010900	
الإلكترون	0e	0	0.000000	
الكربون	12C	6	12.000000	
	13C	6	14.006242	
الأوكسجين	16O	8	15.994915	
المورديوم	198Mo	11	22.969771	
اليورانيوم	235U	92	232.969710	
الجديدي	207Rb	87	89.989495	
النيون	20Ne	10	21.990032	
الفلز	113Ag	47	108.916094	
الذهب	197Au	79	208.936640	
الرصاص	209Pb	82	207.976600	
البوريوم	239Pu	94	231.999699	
الرادون	222Rn	86	222.017031	
الراديوم	196Ra	89	226.015580	
البروتاتون	2H_2	92	232.016908	
البلوتونيوم	239Pu	96	242.035700	

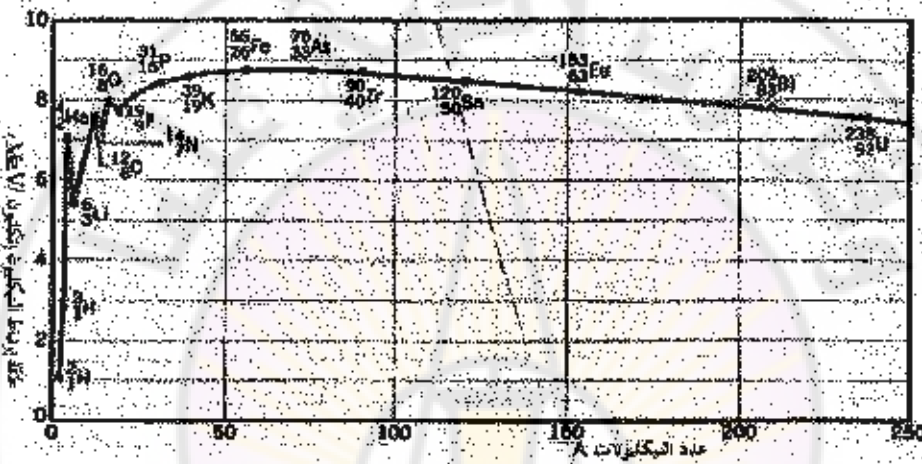
ويبين الشكل (٤-٢) أن كتلة الإلكترون ستؤخذ في الحساب عند استعمال كتلة ذرة الهيدروجين عوضاً عن كتلة البروتون . يكون جموع كتل البروتونات والنيترونات

$$2(1.0087u) + 2(1.0078u) = 4.0330u \quad \text{مساوياً}$$

$$\Delta m = 4.0330u - 4.0026u = 0.0304u = 28.3\text{MeV}$$

وهي تساوي طاقة ارتباط نواة الھليوم . ولمعرفة تغير طاقة الارتباط من نواة إلى أخرى لابد من حساب طاقة ارتباط النكليون الواحد في النواة . ونجده في الشكل (٥-٣)

منحنيناً بيانياً لطاقة الارتباط مقسومة على العدد الكتلي A كتابع للعدد الكتلي A . وتشير النهاية العظمى الحادة المقابلة للهليوم إلى استقرار عاكس لنواة ذلك العنصر . تزداد طاقة ارتباط النكليون بسرعة في النوى ذوات الكتل الصغيرة إلى أن تبلغ القيمة 8.7 MeV تقريباً عند عدد كتلي يساوي 60 ثم تتافق مع ازدياد العدد الكتلي بصورة تدريجية .

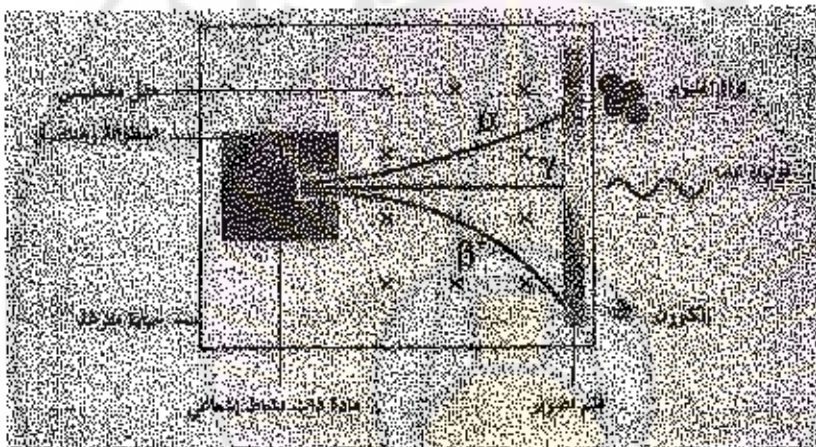


الشكل (٥-٣) طاقة ارتباط النكليون كتابع للعدد الكتلي

٤-٤ البساط الإشعاعي

عندما تفكك نواة مشعة أو غير مستقرة بصورة تلقائية ، فإنها تصدر أنواعاً معينة من الجسيمات وفوتونات عالية الطاقة . تدعى هذه الجسيمات والفوتونات بالأشعة التروبية . تصنف الأشعة التروبية وفقاً لمقدارها على احتراق المادة وتأينتها ، في ثلاثة أنواع هي : أشعة ألفا α وهي الأقل احتراقاً ، إذ تستطيع شريحة رقيقة من الرصاص سماكتها 0.01 mm أن توقفها ، والأكثر تأيناً . وأشعة بيتا β وهي تستطيع احتراق صفيحة رصاصية سماكتها 1 mm ، ولها تأين متعدل . وأشعة غاما γ وهي الأكثر احتراقاً ، إذ تصل إلى مسافة 100 mm ضمن الرصاص ، والأقل تأيناً .

يمكن مشاهدة النشاط الإشعاعي الطبيعي في تجربة بسيطة نسبياً ، تتوضع عينة من مادة مشعة في قعر ثقب ضيق ضمن اسطوانة رصاصية موجودة ضمن حجرة مفرغة من الهواء ، كما في الشكل (٦-٢) . ويطبق حقل مغناطيسي يعamide مستوى الورقة ، أي يعamide مسار الأشعة التي تسقط على فيلم تصوير يوضع إلى يمين الثقب . يظهر تحيض الفيلم ثلاثة يقع مرتبطة بالنشاط الإشعاعي لنواة المادة . وما أن الحقل المغناطيسي يحرف الجسيمات المشحونة المتحركة ، فإن مكان البقع يفصح عن شحنة الجسيمات ، فأشعة ألفا موجبة وأشعة بينا سالبة وأشعة غاما مختلفة .



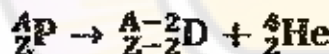
الشكل (٦-٢) تأثير الحقل المغناطيسي على الأشعة التوبية .

الشكل (٦-٣): عندما تفكك نواة ما وتتخرج أشعة ألفا نقول أن النواة قامت بالتفكك وتشير النتائج التجريبية أن أشعة α هي جسيمات مشحونة بشحنة موجبة بل هي نواة عنصر ال HELIUM $^{4}_{2}\text{He}$. أي أن جسيم α شحنة تساوي $+2e$ وعدد من النوكليونات يساوي $A=4$. وما أن اجتمع بروتونين وتروتونين في نواة ال HELIUM مستقر بشكل خاص فليس مستغرباً إطلاق جسيم α كدفعة واحدة من نواة كبيرة غير مستقرة .



الشكل (٧-٣) يحدث التفكك أللغا عندما تصدر نوأة مشعة الحسيم ألفا متحولة إلى نوأة مختلفة .
يبين الشكل (٧-٣) مثلاً على عملية التفكك α ، ويطلق على النوأة الأصلية
اسم النوأة الوالدة وعلى النوأة الناتجة بعد التفكك بالنواة البنت . فتحول نوأة اليورانيوم
 $^{238}_{92}\text{U}$ الوالدة بعد التفكك α إلى نوأة التوريوم $^{234}_{90}\text{Th}$ البنت . و بما أن الوالدة
والبنت نوأنان مختلفان ، فهذا يعني أن التفكك α يحول العنصر إلى عنصر آخر بعملية
تدعى بالتحويل .

تكون الشحنة مصانة خلال التفكك α إذ يبقى عدد البروتونات بعد التفكك
مساوية لعدد البروتونات قبل التفكك . كما يكون عدد النكليونات مصانة أيضاً .
وبالانسجام مع المفاهيم كل من الشحنة وعدد النكليونات يكون الشكل العام للتفكك
 α على النحو التالي :



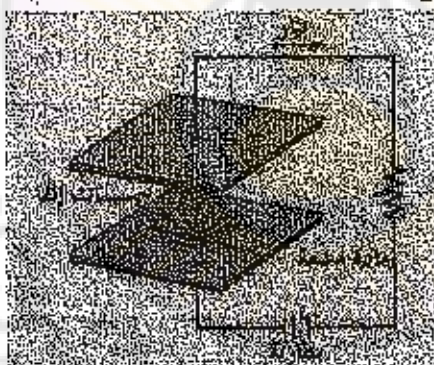
عندما تطلق النوأة حسيم α تطلق معه أيضاً مقداراً من الطاقة . وتكون الطاقة
التي تطلقها التفتككات المشعة مسؤولة جزئياً عن الحفاظ على الحرارة في جوف الأرض
وإبقاء بعض المناطق فيه منصهرة . وبين الحال التالي أسلوب تحديد كمية الطاقة المتحررة
باستعمال مبدأ الحفاظ على الطاقة متذكرين من النظرية النسبية الخاصة أن الكتلة
مكافئة للطاقة بل إنها قياس لما يحويه الجسم من طاقة .

مثال ٤-٣

أو بحد الطاقة المتحررة نتيجة تحول اليورانيوم $^{238}_{92}\text{U}$ إلى التوريوم $^{234}_{90}\text{Th}$ على أن الكتل الذرية لكل من اليورانيوم والتوريوم وجسيم ألفا هي $238.0508u$ و $234.0436u$ و $4.0026u$ على الترتيب.
إن جموع كتلتي التوريوم وجسيم ألفا يساوي

$$234.0436 + 4.0026 = 238.462u$$

وهو أصغر من كتلة اليورانيوم ، ويكون الفرق بينهما متساوياً $0.0046u$
وتكون الطاقة المتحررة متساوية $4.3 \text{ MeV} / 0.0046u \times 931.5 =$
ونظهر هذه الطاقة على شكل طاقة حرارية يشارك فيها التوريوم وجسيم ألفا ، ويكون
جسيم ألفا الجزء الأكبر بسبب صغر كتلته بالمقارنة مع كتلة التوريوم .
ومن التطبيقات المألوفة في حياتنا اليومية للفلكلوك (١) هو استعماله في كاشفات
الدخان في المنازل والمصانع . وبين الشكل (٤-٣) مبدأ عمل كاشف الدخان .



الشكل (٤-٣) كاشف الدخان

فهو مولف من صفيحتين معدنيتين مستويتين ومتوازيتين تفصلهما مسافة ستتمتر واحد تقريباً ، وكمية صغيرة من مادة مشعة تصدر أشعة (١) توضع عند مركز إحدى الصفيحتين . تصطدم جسيمات (١) بجزيئات الهواء خلفيتها ، وتتوصل الصفيحةتان إلى قطبي بطارية ، فتصبح إحداهما موجبة والأخرى سالبة ، فتحدث كل منهما الأيونات

المخالفة لها بالإشارة . ونتيجة لذلك غير تيار في المذكرة المريبوطة بالصفيفتين . إن توافق جزيئات الدخان بين الصفيحتين يقلل من قيمة التيار بسبب تعديل الأيونات المصطدمة بجزيئات الدخان وبالتالي عدم اخراجها إلى الصفيحتين . يستعمل المختبر قيمه التيار في قدر جهاز الأنداز .

التفكك β^- : تحرق أشعة β^- تحت تأثير المغناطيسي باتجاه معاكس لاتجاه المغناطيس α الموجبة كما هو مبين بالشكل (٩-٣) ، وبالتالي تتألف أشعة β^- هذه ، وهي الأكثر توافداً ، من جسيمات مشحونة سلباً ، أو هي β^- ، وتشير التجارب إلى أن جسيمات β^- ماهي إلا إلكترونات . ولإيضاح التفكك β^- ننظر إلى نواة التوريوم $^{234}_{90}\text{Th}$ التي تتفكك مصدرة β^- كما في الشكل (٩-٤)



الشكل (٩-٤) عندما يتحول أحد التترتونات إلى بروتون في نواة غير مستقرة يصدر إلكترون على شكل أشعة β^- .

يكون التفكك β^- مثل التفكك α ، بسبب تحول العنصر إلى عنصر آخر ففي المثال المذكور يتتحول التوريوم $^{234}_{90}\text{Th}$ إلى البراكتينيوم $^{234}_{91}\text{Pa}$. ويكون كل من الشحنة وعد التكليبات متسانين . ويكون الشكل العام للتفكك β^- على النحو التالي



لا تكون الإلكترونات الصادرة في التفكك β^- موجودة أصلأ في النواة الوالدة ، وليس أحد الإلكترونات المدارية . بل يولد الإلكترونون نتيجة تفكك التترون إلى بروتون وإلكترون ، وعندما يحدث ذلك يزداد عدد البروتونات في النواة بمقدار واحد

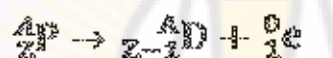
دون أن يغير عدد النكليونات . يكون الإلكترون المولد سريع الحركة ويهرب من الذرة تاركاً خلاه ذرة موجبة الشحنة .

ووضع المثال (٣-٣) كيفية حساب العلاقة المتحررة نتيجة التفكك $\text{^{234}Ra} \rightarrow \text{^{234m}Ra} + \text{e}^-$ وذلك بتطبيق مبدأ المحافظة الطلاقة .

مثال ٣-٣

أوجد الطلاقة المتحررة نتيجة تحول البروريوم $\text{^{238}U} \rightarrow \text{^{234m}Ra}$ على أن الكتلة الذرية لكلي متهمها تساوي ٢٣٨.١١ و ٢٣٤.٠٤٣٣٠ و ٢٣٤.٠٤٣٥٩ على الترتيب . إن الفرق بين الكتلين يساوي ٠.٠٠٠٢٩٥ وهو يقابل طلاقة متحررة مقدارها ٠.٢٧ MeV وهي أكبر طلاقة حرارية يمكن أن يملكها الإلكترون المطلق .

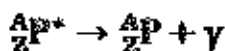
يرجع نوع آخر من التفكك $\text{^{238}U} \rightarrow \text{^{234m}Ra} + \text{e}^- + \text{Q}$ بطلاق علامة من النواة يحمل شحنة موجبة تساوي 2.5×10^{-10} ويدعى بالبوزيترون أو $\text{^{+}e}$ وله كتلة الإلكترون نفسها . وتكون عملية التفكك في هذه الحالة على النحو التالي



لابكون البوزيترون المصادر موجوداً في النواة لكنه يتولى عذمه يتحول أحد البروتونات الموجودة ضمن النواة إلى فوتون ويحتاج مثل هذا التحول إلى طلاقة عالية لذا لا يجد ث إلا ضمن النواة حيث القوة النووية الجديدة . فيتحقق بذلك عدد البروتونات يقدر واحد ، بينما يبقى عدد النكليونات دون تغيير ، وبذلك قانون المحافظة الشحنة والشحاظ على عدد النكليونات محققاً ، وكذلك يتم تحول عذمه إلى آخر .

التفكير $\text{^{238}U} \rightarrow \text{^{234m}Ra}$ تتواءم النواة في حالات أوسويات من الطلاقة المنقصلة ، وعذمه تنتقل النواة من حالة مشاركة إلى حالة أقل إثارة ، يسمى فرق الطلاقة بين الحالتين على شكل فوتون ، والتشبه بهذه العملية ، عملية إصدار الفوتون التي فسرت بالطريق العد التنازلي للبروتونين . ويكون للفوتونات المصادرة عن النواة طلاقة من مرتبة المليون

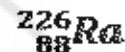
إلكترون فولت وتدعى باشعة غاما . ويمكن التعبير عن عملية التفكك α كما يلي



لا يسبب التفكك α تهولاً من عنصر إلى آخر ، وسنحسب في المثال التالي طول موجة فوتون أشعة γ .

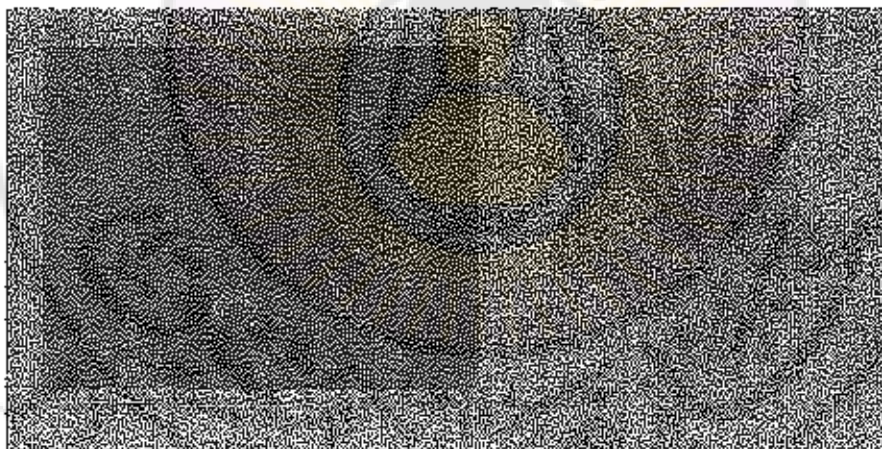
مثال ٣-٣

أوجد طول موجة فوتون أشعة γ ذي الطاقة 0.186MeV الصادر من نواة الراديوم



$$\lambda = \frac{hc}{AE} = \frac{1240}{186000} = 6.67 \times 10^{-8}\text{nm}$$

ويعد مشرط غاما للجراحة الإشعاعية أسلوباً طيباً واعداً جداً في معالجة مشاكل معينة في الدماغ مثل الأورام السرطانية والتشكلات المشوهة للأوعية الدموية وغيرها . يستعمل في هذا الأسلوب ، الذي لا يتضمن مشرط على الأطلاق ، حزمة عالية التوجيه من أشعة غاما الصادرة من منبع الكوبالت ، توجه نحو الورم أو التشكيل .



الشكل (٣-١٠)(a) توضع على رأس المريض في الجراحة بشرط خاماً بحودة معدنية واقية تحوبي ٢١٠ ثقباً صغيراً . (b) توجه التقويب أشعة غاما نحو هدف معيّن ضمن الدماغ .

ويعين الشكل (٣-١٠)(a) جريضاً يرتدي بحودة معدنية واقية تحوبي ٢١٠ ثقباً صغيراً

وفي (b) نجد خططًا يمثل توجيه التقويب لأشعة غاما نحو هدف صغير واحد ضمن الدماغ . وهكذا يصل إلى خلايا الهدف جرعة عالية التركيز من الإشعاع فتدميرها ، بينما تبقى الخلايا المحيطة بالهدف دون أي تخريب . إن الجراحة باستعمال مشرط غالباً دقيقة وغير مولدة أو مسببة للترف وغالباً ما تجري في مستشفيات محلية ، وتقل فترةبقاء المريض في المستشفى بقدر 90-70% عن فترة بقائه في حالة الجراحة التقليدية ، وغالباً ما يعود المريض إلى ممارسة عمله الاعتيادي خلال عدة أيام .

٣-٥ الترتيب

عندما يصدر الجسيم β من نواة مشعة ، فإن مقداراً من الطاقة يتحرر في اللحظة نفسها ، كما هو موضح في المثال (٣-٣) . ولقد وجد تجريبياً أن معظم جسيمات β لا تملك طاقة حرارية تكفي الطاقة المتحررة . فإذا أخذ جسيم β جزءاً من الطاقة ، فما يذهب الجزء المتبقى ؟ ولقد حير هذا السؤال الفيزيائيين حتى عام ١٩٣٠ ، عندما اقترح باولي أن الجزء المتبقى من الطاقة يأخذه جسيم آخر يصدر من النواة مع الجسيم β . يدعى هذا الجسيم الأضافي بالتربيو ، وتم التتحقق من وجوده عام ١٩٥٦ ، ورمز له بالحرف اليوناني γ (غاما) . وتكتب معادلة التفكك $\beta^- \rightarrow AP_{Z+1} + ^{A-1}e + \gamma$ وقد وضع الخط فوق γ لأن التربيو الصادر في هذا التفكك المعين هو التربيو المضاد ، يصدر التربيو العادي (γ بدون خط) عندما يحدث

يكون التترنيتو معدلاً كهربائياً ويصعب كشفه بسبب ضعف تفاعله المتبادل مع المادة . ويستطيع التترنيتو أن يخترق مسافة سنة ضوئية $(9.5 \times 10^{15} m)$ ضمن المراصض دون أي تفاعل متبادل . غير رغم مرور بلايين التترنيتوات في كل ثانية من خلال أجسامنا فإنها لا تؤثر علينا .

وتعود مسألة تحديد كثافة التريبو من أهم الأسئلة العلمية في أيامنا هذه ، وتأتي أهميتها بسبب تواجد الترنيوات بغزارة في الكون وبالتالي أثرها الكبير في تشكيل المجرات . وقد أتى الدليل الأول غير المباشر على كثافة التريبو عام ١٩٩٨ وهي تساوي جزءاً ضعيفاً من كثافة الإلكترون . وهذا يعني أن الترنيوات تسير بسرعة تقل عن سرعة الضوء.

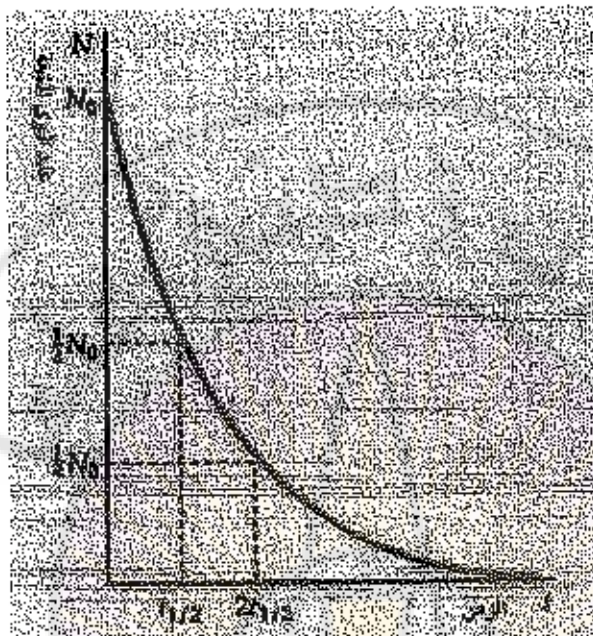
إن إصدار التريبو مع أشعة β يتطلب وجود قوة نووية ضعيفة وهي أضعف بكثير من القوة النووية الشديدة . ونعرف الآن أن القوة النووية الضعيفة والقوة الكهرطيسية هما مظاهران مختلفان لقوة أساسية واحدة هي القوة الكهروضعيفة . ولقد طور هذه النظرية كل من غالاشوا ، وعبد السلام ، وينرغ ، الذين اشتراكوا في جائزة نوبل عام ١٠٧٩ التي منحت تقديرأ لهم على هذا الإنجاز .

٦-٣ قانون التفكك الإشعاعي

تحدث تفككت النوى بصورة عشوائية على المستوى الفردي . ومع مرور الوقت يتناقص عدد النوى الوالدة N ، كما هو مبين في الشكل (١١-٣) . مثل هذا المنحني ، العدد N كتابع للزمن ، وهو يتناقص بصورة ناعمة ينتهي فيها إلى الصفر بعد فترة طويلة جداً من الزمن . ومن المفيد في وصف هذا المنحني أن نعرف نصف العمر $T_{1/2}$ للنظير المشع بأنه الزمن اللازم لتفكك نصف النوى الموجودة . فللراديوم $^{226}_{88}Ra$ مثلاً نصف عمر يساوي ١٦٠٠ سنة ، أي يتطلب مثل هذا الزمن كي يتفكك نصف كمية موجودة من هذا النظير المشع . وكذلك يتطلب ١٦٠٠ سنة أخرى ليتفكك نصف المتبقى من الكمية أي ربع الكمية الأصلية .

ونرى في الشكل (١١-٣) أن عدد النوى في اللحظة $t=0$ هو $N=N_0$ بينما يكون مساوياً $N=N_0/2$ في اللحظة $t=T_{1/2}$ وكذلك $N=N_0/4$ في اللحظة $t=2T_{1/2}$ ،

وهكذا . ترتبط قيمة نصف العمر (ويسمى أحياناً بدور العنصر المشع) بطبيعة النواة المشعة . وتتراوح بين أجزاء الثانية وبلايين السنين .



الشكل(١١-٣) نصف العمر هو الزمن اللازم لتفكيك نصف النوى المشعة ،

غاز الرادون $\frac{222}{86}\text{Rn}$ هو غاز طبيعي مشع ينتجه تفكيك Ra للراadioium $\frac{226}{88}\text{Ra}$. وهناك اهتمام واسع حول الرادون كغاز مشع خطير على الصحة العامة لأن الرادون غاز موجود في التربة ويستطيع الدخول إلى أقنية المنازل من خلال شقوف الأساسات . وبعد دخوله المنزل يزداد تركيزه بشكل يرتبط بنوع البناء وبتركيز غاز الرادون في التربة . يتضمن تفكيك غاز الرادون إلى نواة مشعة تفكيك هي أيضاً إلى نواة مشعة ويمكن للنوى المشعة أن تلتصق بجزيئات الغبار والدخان التي يستنشقها الإنسان ، وتبثني في الرئتين مصدراً لإشعاعات غزيرة للخلايا . ويمكن أن يؤدي التعرض الطويل لمستويات عالية من الرادون إلى سرطان الرئة . إن قياس تركيز الرادون عملية سهلة وغير مكلفة لذلك ينصح بأن يتم اختبار تركيز الرادون في جميع أقنية المنازل .

نعرف النشاط الإشعاعي لعينة مشعة بأنه القيمة المطلقة لمعدل التفكك بالنسبة للزمن . أي نسبة عدد النترات المتفككة إلى الفترة الزمنية التي مارست فيها التفكك $\frac{dN}{dt}$ وما أن عملية التفكك هي عملية عشوائية دوماً ، فإن معدل التفكك لأية عينة مشعة يتناسب مع عدد النوى المشعة الموجودة فيها

$$(4-3) \quad \lambda = \frac{dN}{dt} = \frac{N}{t}$$

حيث λ هو ثابت التفكك . وتشير الإشارة المسائية في هذا القانون إلى تناقص عدد النوى نتيجة التفكك .

إن واحدة النشاط الإشعاعي في جملة الوحدات الدولية SI هي البيكول (Bq) فالبيكول الواحد هو تفكك في الثانية الواحدة . كما يقاس النشاط الإشعاعي بواحدة أخرى هي الكوري (Ci) وهو يساوي تقريراً النشاط الإشعاعي لغرام واحد من الراديوم النقفي . أي أن الكوري الواحد يساوي $3.7 \times 10^{10} \text{ Bq}$. فالنشاط الإشعاعي لزريديوم الموجود في الساعة الرقمية الذي يجعلها تتوجه في الغلام يساوي $4 \times 10^9 \text{ Bq}$ تقريراً . والنطاق الإشعاعي المستعمل في معالجة الأمراض السرطانية أكبر بليون مرة أي $4 \times 10^{13} \text{ Bq}$. يمكن الوصول إلى القصيدة الرياضية التالية N كتابع للزمن والبيان بالشكل (٤-١) من العلاقة (٤-٣) مستعيناً بالحساب التفاضلي فنجد

$$(4-4) \quad N = N_0 e^{-\lambda t}$$

في سلطة البدء $t=0$ يكون عدد النوى المشعة N_0 . ونستطيع بدل ثابت التفكك λ بمصف النصف $T_{1/2}$ بجعل $t=T_{1/2}$ و $N=N_0/2$ في العلاقة (٤-٥) فنجد $\frac{1}{2} = e^{-\lambda T_{1/2}}$ وبأخذ اللوغاريتم الطبيعي للطرفين نجد $\ln \frac{1}{2} = -\lambda T_{1/2}$ وهذه

$$(4-5) \quad T_{1/2} = \frac{\ln 2}{\lambda} = \frac{0.693}{\lambda}$$

مثال ٣-٤

إذاً كان عدد ذرات غاز الرادون المتصور في أحد الأقبية في لحظة تخصيص القبو ومنع دخول المزيد من الغاز إليه مساوياً 3×10^7 . أو جد عدد الذرات المتبقية بعد 31 يوماً ، ثم أوجد نشاطها الإشعاعي ، يوماً $T_{1/2} = 3.83$.

ينخفض عدد الذرات المشعة إلى النصف خلال نصف العمر فهو ينخفض بنسبة $\left(\frac{1}{2}\right)^n$ خلال عدد مقداره n من أنصاف العمر . إن مدة 31 يوماً تقابل $8.1 = \frac{31}{3.83}$ من أنصاف العمر ، فيكون عدد الذرات المتبقية مساوياً

$$N = \left(\frac{1}{2}\right)^n N_0 = \left(\frac{1}{2}\right)^{8.1} \times 3 \times 10^7 = 1.09 \times 10^5$$

يمكن الحصول على النشاط الإشعاعي من العلاقة (٣-٤) فنجد

$$A = \left| \frac{\Delta N}{\Delta t} \right| = \lambda N = \frac{\ln 2}{T_{1/2}} N = 0.23 Bq$$

٣-٧ التأريخ بالنشاط الإشعاعي

بعد تحديد عمر المستحاثات والعينات الجيولوجية من التطبيقات الهامة للنشاط الإشعاعي فإذا حوى الجسم نوى مشعة لحظة تشكيله فإن تفكك هذه النوى يحدد مرور الزمن مثل الميقاتية . إذ يتضاعف نصف النوى خلال فترة تساوي نصف العمر فإذا كان نصف العمر ملادة الجسم معروفاً ، فإن قياس عدد النوى المشعة . الوجودة اليوم بالنسبة لعدد النوى المشعة التي كانت موجودة لحظة التشكيل يعطي عمر العينة وعما أن النشاط الإشعاعي يتناسب مع عدد النوى المشعة الوحيدة فنستطيع تحديد العمر بمقارنة النشاط الإشعاعي الحالي مع النشاط الإشعاعي الابتدائي . وبطريقة أكثر دقة يمكن تحديد عدد النوى المشعة الحالية باستعمال مطياف الكتلة .

يمكّنا قياس النشاط الإشعاعي الحالي ، ولكن كيف نتمكن من معرفة النشاط الإشعاعي الأصلي قبلآلاف السنين ؟ يستعمل التأريخ بالنشاط الإشعاعي نظير الكربون

المشع C^{14} الذي يصدر أشعة β بنصف عمر مقداره 5730 سنة . وهو نظير موجود في الغلاف الجوي للأرض بوفرة مقدارها حوالي ذرة واحدة مقابل 8.3×10^{11} ذرة من نظير الكربون C^{12} ، ولقد افترض أن هذه الوفرة ثابتة على مر السنين لأن نظير الكربون C^{14} يتولد نتيجة تفاعل الأشعة الكونية مع الغلاف الجوي العلوي بشكل يوازن خسارته نتيجة التفكك β . وأكثر من ذلك فإن العضويات الحية تؤمن ثبات تركيز الكربون C^{14} عن طريق التنفس والطعام . وتتوقف لحظة موتها عن تأمين بديل للكربون C^{14} التفكك .

مثال ٣

أوجد عدد ذرات نظير الكربون المشع C^{14} الموجودة ضمن غرام واحد من الكربون الطبيعي في العضوية الحية ، ثم حدد ثابت التفكك ، والنشاط الإشعاعي لعينة تحتوي غرام واحد من الكربون الطبيعي .

تحتوي الغرام الواحد من الكربون C^{12} (والذي يساوي $1/12$ من الكتلة المولية التي تحوي عدد أغونادرو من الذرات) العدد $\frac{6.22 \times 10^{23}}{12}$ من الذرات ، ويقابل كل ذرة واحدة من الكربون المشع C^{14} عدد من الذرات يساوي 8.3×10^{11} من الكربون C^{12} فيكون عدد ذرات الكربون C^{14} الموجودة في غرام واحد من الكربون متساوية

$$\text{ذرة} \times \frac{1}{8.3 \times 10^{11}} = 6.0 \times 10^{10} N =$$

ويكون ثابت التفكك متساوياً

$$\lambda = \frac{\ln 2}{T_{1/2}} = 1.21 \times 10^{-6} \text{y}^{-1} = 3.85 \times 10^{-12} \text{s}^{-1}$$

والنشاط الإشعاعي للغرام الواحد من الكربون في العضوية الحية

$$A = \lambda N = 3.85 \times 10^{-12} \times 6.0 \times 10^{10} \approx 0.232 \text{Rq}$$

فالم_USARTية التي تواجدت قبل آلاف السنين كان لها قبل موتها نشاطاً إشعاعياً يساوي

0.23Bq لكل غرام من الكربون فيها ، ويبدأ هذا النشاط بالتناقص فور موتها .
فبقياس النشاط الإشعاعي الحالي للغaram الواحد من الكربون في العينة ومقارنته مع القيمة **0.23Bq** نستطيع معرفة الفترة التي مرت على موت العينة .

مثال ٦-٣

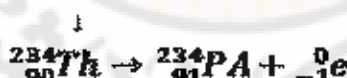
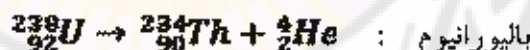
رجل الجليل هو مسافر من العصر الحجري علق مع زلاجته في الجليد . وعند فحص عينة منه وجد أن النشاط الإشعاعي للغaram الواحد من الكربون فيها يساوي 0.121Bq .
حدد زمن وفاة رجل الجليل .

إن ثابت تفكك الكربون C^{14} كما رأينا في المثال السابق يساوي $1.21 \times 10^{-4} \text{y}^{-1}$.
و بما أن $A = 0.121 \text{Bq}$ ، $A_0 = 0.23 \text{Bq}$ فيمكن تحديد الفترة التي مرت على وفاة
رجل الجليل باستعمال قانون التفكك الإشعاعي أي

$$A = A_0 e^{-\lambda t} \rightarrow \ln \frac{A}{A_0} = -\lambda t \rightarrow t = \frac{1}{\lambda} \ln \frac{A_0}{A} = 5300 \text{ سنة}$$

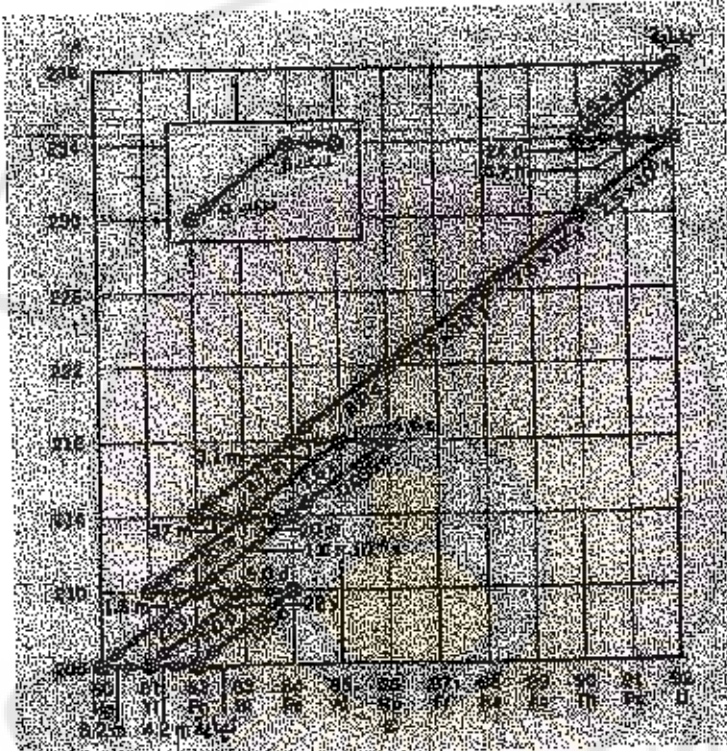
٨-٣ سلاسل التفكك الإشعاعي

عندما تفكك نواة والدة غير المستقرة ، تكون النواة البنت أحياناً غير مستقرة ، وفي هذه الحالة تفكك النواة البنت متنحة نواة بنتاً خاصة بها ويستمر هذا الأمر إلى أن نصل إلى نواة بنتاً مستقرة . وتدعى متالية تفكك نواة بعد أخرى بسلاسل التفكك الإشعاعي . ونجد في المثالين ٢-٣ و ٢-٤ المرحلتين الأولى والثانية من سلسلة تبدا



وفي المثال ٣-٤ نجد تفكك الرادون Rn_{86}^{222} الذي يتشكل ضمن سلسلة تفكك اليورانيوم U_{90}^{238} ويظهر الشكل (١٢-٣) كاملاً السلسلة . ونجد عند بعض النكساط فروعًا يسببها إمكان حدوث تفككبات من أنواع مختلفة للتلوى الوسيطة . وتنتهي السلسلة بعنصر مستقر هو النظير Pb_{82}^{206} للرصاص .

إن سلسلة اليورانيوم $^{238}_{\text{Ra}}\text{ Pb}$ ومشلاها هي المصدر الوحيد لبعض العناصر الطبيعية المشعة ، فللراديوم $^{226}_{\text{Ra}}$ مثلاً نصف عمر مقداره 1600 سنة وهذا يعني أن معظم نوى الراديوم التي تشكلت مع الأرض قبل بلايين السنين قد تفككت ، وتؤمن سلسلة اليورانيوم استمرار توажд الراديوم .

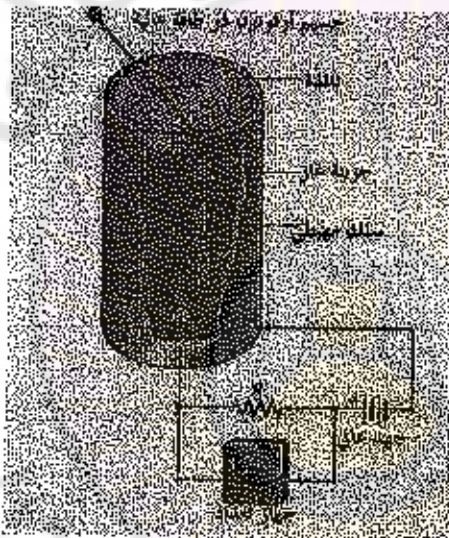


الشكل (١٢-٣) سلسلة اليورانيوم

٩-٤ كواشف الإشعاع

يوجد عدد من الأدوات والأجهزة التي تستعمل في كشف الإشعاع النووي (الجسيمات والفوتوны الصادرة نتيجة تفكك النواة) . تكشف مثل هذه الأجهزة عن التأين الذي يحدثه مرور هذه الجسيمات والفوتوны عبر المادة .

ويعد عداد غاينر أكثرها انتشاراً، ويجد في الشكل (١٣-٣) رسم تخطيطياً لهذا الكاشف . يتكون عداد غاينر من أسطوانة معدنية ممتدة بالغاز . تدخل جسيمات α و β أو أشعة γ إلى الأسطوانة من خلال نافذة رقيقة عند إحدى نهايتيها . كما تستطيع أشعة γ الدخول عبر المعدن . يمرر عبر محور الأسطوانة سلك يربط بكمصون مرتفع موجب بالنسبة لسطح الأسطوانة الخارجى (ما بين $V = 1000$ و $V = 3000$) . فعندما يدخل إلى الأسطوانة جسيم أو فوتون ذو طاقة عالية يسلم ويسير جزيئات الغاز الموجودة فيها .



الشكل (١٣-٣) عداد غاينر

يسارع الإلكترون الناتج من جزءة الغاز نحو السلك الموجب مؤيناً في طريقه جزيئات أخرى ، ومشكلاً إلكترونات إضافية تتدفع جميعها نحو السلك مولدة نبضة تيار عبر المقاومة R . يمكن عد هذه النبضات أو جعلها تولد أصواتاً مسموعة في المساعنة الموصولة بالعداد . ويكون عدد النبضات أو الأصوات مرتبطة بعدد التفتككات المنتجة للجسيمات أو الفوتونات .

ويشكل عداد الوميض كاشفاً مهماً آخرًا للإشعاع . يتكون هذا الجهاز من مولد ومضات مثبت على أنبوب التضاعف ، كما في الشكل (١٤-٣) . يتالف مولد الومضات من بلورة (بيود السيريوم مثلًا) تحتوي على بعض الشوائب (التاليلوم) . ويستعمل بدلاً منها أحياناً ومضات بلاستيكية أو سائلة أو غازية . تصدر الومضات ، استجابة للأشعة المؤينة ، فوتونات تقع أطوالها الموجية ضمن المجال المائي وتضرب المهبط الضوئي لأنبوب التضاعف .

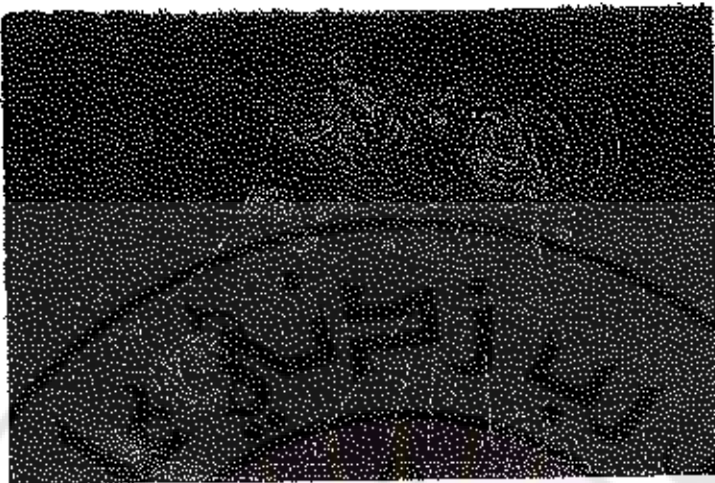


الشكل (١٤-٣) عداد الوميض

يصنع المهبط الضوئي من مواد تصدر إلكترونات وفقاً للمفعول الكهرضوئي . فتحذب هذه الإلكترونات الضوئية نحو مصعد خاص موصول مع كمون موجب يساوي 100 V تقريباً بالنسبة للمهبط الضوئي . يطلبى هنا المصعد بمادة تصدر عدة إلكترونات إضافية مقابل كل إلكtron يضرها . تتحذب هذه الإلكترونات نحو مصعد يماثل للمصعد الأول يكون موصولاً مع كمون موجب يساوي V 200 ، فتولد إلكترونات إضافية أخرى . تحتوى أنابيب التضاعف التجارية على أكثر من خمسة عشر من المصاعد

حيث تشكل الإلكترونيات الناتجة من الومضة الضوئية للوماض شللاً من الإلكترونيات تشكل نبضة تيار واضحة وكما هو الحال في عدد غير يمكن عد هذه النبضات . يمكن كشف الأشعة الموجية أيضاً بوصلات من النوع $n-p$ من أنصاف النواقل حيث تربط العمليات فيها بالإلكترونات والثقوب المتشكلة في الوصلة نتيجة الإشعاع ومن أهم ماهيّز الكواشف لصف الناشف هو مقدارها على التمييز بين الحسيمات التي تختلف طيفها اختلافاً ضعيفاً .

يؤمن عدد من أجهزة الكشف مثيلاً مصورةً لمسار الحسيمات عالية الطاقة بعد صدورها من نواة غير مستقرة . ففي حجيرة الضباب يربّد الغاز إلى درجة التكثف والتحول إلى قطرات ، فعندما يمر جسيم مثل α أو β من خلال الغاز تقوم الأيونات التي تختلفها وراءها بدور وسيط تتشكل عليه قطرات على طول مسار الجسيم . ويعمل جهاز حجيرة الفقاديع بالطريقة نفسها باستثناء أنه يحوي على سائل عند نقطة الغليان . وتتشكل فقاعات صغيرة خلف الجسيم ذي الطاقة العالية والعابر لهذا السائل . وتعطى المسارات في حجري الضباب والقاديع ، والتي يمكن تصويرها ، تسجيلاً دائماً للحدث . ويبيّن الشكل (١٥-٣) صورة للمسارات في حجيرة الفقاديع . ويمكن أيضاً استعمال المستحلب التصويري بصورة مباشرة في تسجيل المسار الذي يسلكه جسيم من الأشعة الموجية . إذا تسبّب الأيونات المتشكلة نتيجة مرور الجسيم على الطاقة في المستحلب ، توسيع الفضية على طول المسار عند تحميص وإظهار المستحلب .



الشكل (١٥-٣) صورة لمسار الجسيمات في جهاز الفعاليج .

٤-١٠ الشائر البيولوجي للأشعة المؤينة

تتألف الأشعة المؤينة من الفوتونات أو الجسيمات المتحركة التي تملك طاقة كافية لإخراج الإلكترون من الذرة أو الجزيء مشكلة بذلك إيوناً . ويقع الفوتون عادة في مجال الأشعة فوق البنفسجية أو الأشعة البنفسجية أو أشعة لـ ، من الطيف الكهرومغناطيسي . بينما تكون الجسيمات المتحركة هي جسيمات α و جسيمات β الصادرة في عملية تفكيك إشعاعي . تقع الطاقة اللازمة لإخراج الإلكترون من الذرة أو الجزيء ضمن المجال (1-35eV) ، بينما تكون طاقة الأشعة المؤينة الصادرة من عملية تفكيك نووي من مرتبة MeV . لذلك يمكن لجسيم واحد أو فوتون واحد أن يؤمن الآلاف الجزيئات . إن الإشعاعات النووية خطيرة جداً على الإنسان ، لأن الأيونات التي تنتجهما تؤثر تأثيراً كبيراً على بنية الجزيئات ضمن الخلية الحية . مما يؤدي إلى موت الخلية أو العضوية نفسها . وبالرغم من هذا الخطر فإن الأشعة المؤينة تستعمل في ميادين الطب للتشخيص والمعالجة . مثل تحديد مواضعكسور العظام ومعالجة السرطانات . ويمكن

تقليل أخطار الأشعة المؤينة إلى الحد الأدنى بفهم أساسيات التعرض للأشعة بما فيها الجرعات والآثار البيولوجية للإشعاع .

التعرض : هو قياس للتأين الناتج في الهواء من الأشعة السينية أو أشعة غاما . ويعرف على النحو التالي : عند إمرار أشعة سينية أو أشعة غاما من خلال كتلة مقدارها m من الهواء الجاف في الشرطين النظاميين ، تتحج هذه الأشعة أيونات موجبة شحنتها الكلية q . نعرف التعرض بأنه نسبة هذه الشحنة إلى الكتلة أي q/m . ففي جملة الوحدات الدولية تكون وحدة التعرض (C/kg) . ومع ذلك فإن وحدة التعرض التي استعملت في البداية هي الروتنجن R وما زالت تستعمل حتى اليوم . ويعطا التعرض مقاساً بالروتنجن كما يلي :

$$\text{التعرض بالروتنجن} = \frac{q}{2.58 \times 10^{-4} m} \quad (7-3)$$

أي أن أشعة سينية أو أشعة غاما تؤدي إلى تعرض مقداره روتنجن واحد ، إذا أنتجه ضمن كيلو غرام واحد من الهواء الجاف في الشرطين النظاميين شحنة مقدارها

$$2.58 \times 10^{-4} C/kg = 1R \quad \text{وبالتالي}$$

بما أن فكرة التعرض قد بنيت على مقدرة الأشعة السينية لو أشعة غاما على التأين في الهواء ، فهي لاتعطي تأثير الإشعاع على الأنسجة الحية . ولأغراض بيولوجية تكون الجرعة المئوية أكثر ملائمة للاستعمال ، لأنها تساوي الطاقة التي تحصلها واحدة الكتلة من المادة المئوية .

$$\frac{\text{طاقة المئوية}}{\text{كتلة المئوية}} = \text{الجرعة المئوية} \quad (8-3)$$

إن وحدة الجرعة المئوية في جملة الوحدات الدولية هي الغرافي (Gy) وتساوي (J/kg) ، وتطبق العلاقة (8-3) على جميع أنواع الأشعة وجميع أنواع المواد . ويوجد واحدة أخرى تستعمل في قياس الجرعة المئوية وهي المراد (rd) وتساوي $0.01 Gy$.

يكون مقدار التعرض البيولوجي الناتج من الأشعة المؤينة مختلفاً في الأنواع المختلفة من الإشعاع . ولقارنة التعرض يستعمل ما يدعى بالتأثير البيولوجي النسبي (*RBE*) . وهو يقارن الجرعة اللازمة من إشعاع معين لإحداث ثأثير بيولوجي مماثل للتأثير البيولوجي الذي تحدثه جرعة أشعة سينية طاقة فوتونها 200 keV .

جرعة من الأشعة السينية ذات الطاقة 200 keV التي تحدث ثأثيراً بيولوجياً مماثلاً = التأثير البيولوجي النسبي

يرتبط التأثير البيولوجي النسبي بطبيعة الأشعة المؤينة وطاقتها وكذلك بنوع الأنسجة المعروضة للإشعاع ، فهي تساوي الواحد لكل من أشعة γ وأشعة β والأشعة السينية ذات الطاقة 200 keV ، وتساوي 10 للتروتونات و $(10-20)$ لأشعة α ، و 2 للنيترونات البطيئة ، و 10 للترونات السريعة . وإن كبر قيمة *RBE* المروتون وجسيم α والترونات السريعة تشير إلى إحداثها تغيراً وضرراً كبيراً بالمقارنة مع الأشعة المؤينة الأخرى . تستعمل *RBE* غالباً مع الجرعة المتصورة لإظهار التعرض الناتج من الإشعاع . فجداء الجرعة المتصورة مقدرة بالرداد بالمقدار *RBE* يعرف بالجرعة البيولوجية المكافحة *rem* .

يمكن تصنيف ثأثير الإشعاع على الإنسان في بجموعتين وفقاً للفترة الزمنية بين التعرض للإشعاع وظهور الأعراض . (1) قصيرة المدى أو آثار حادة تظهر خلال دقائق أو أيام أو أسابيع ، (2) طويلة المدى أو آثار بطيئة تظهر بعد سنين أو عقود أو حتى في الأجيال اللاحقة .

يطبق بصورة عامة على الآثار الحادة للإشعاع بالمرض الإشعاعي . ويعاني الشخص المتعرض للإشعاع ، حسب شدة الجرعة ، من الدوخة والإقياء والسعونة والإسهالات وتساقط الشعر ، وقد ينتهي به الأمر إلى الموت . ترتبط شدة المرض بالجرعة المثلى ، وبقصد بالجرعة البيولوجية المكافحة في ملالي جرعة واحدة للكامل للجسم . فإذا كانت الجرعة البيولوجية المكافحة أقل من 50 rem فإنها لا تسبب آثاراً

قصيرة المدى . أما إذا كانت بين 50 rem و 300 rem فتسبب المرض الإشعاعي ، وتزداد حدة وشدة المرض مع زيادة الجرعة . وتصنف الجرعات الواقعة بين 400 rem و 500 rem كجرعات مميتة بنسبة 50% من مجموع الأشخاص الذين تعرضوا لها . وعندما تتجاوز الجرعة البيولوجية المكافحة قيمة 600 rem فإنها تقضي على جميع المعرضين لها .

تظهر آثار الإشعاع البطيئة أو طويلة المدى نتيجة تعرض قصير المدة لجرعة عالية أو تعرض طويل المدة بجرعة منخفضة . ويعود تساقط الشعر وأحمرار العينين والأنواع المختلفة من السرطان من بعض الأعراض المرضية للتعرض لمثل هذا الإشعاع . وقد تنتقل التشوهات الجينية الناجمة من هذا التعرض من جيل إلى آخر .

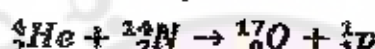
البيانات المطلوبة		البيانات المطلوبة	
البيان	المقدار	البيان	المقدار
النوع	جبل	الارتفاع	١٢٠٠
الارتفاع	١٢٠٠	المسافة	٣٠٠
المسافة	٣٠٠	الارتفاع	٦٠٠
الارتفاع	٦٠٠	النوع	جبل
النوع	جبل	الارتفاع	٦٠٠
الارتفاع	٦٠٠	المسافة	٣٠٠
المسافة	٣٠٠	الارتفاع	١٢٠٠
الارتفاع	١٢٠٠	النوع	جبل

بيانات المنشأة		نوع المؤسسة	الإجمالي
نوع المؤسسة	الإجمالي		
غير ربحية	45		
غير ربحية مدعومة (أموال عامة)	30		
غير ربحية مدعومة (أموال خاصة)	15		
	150		
محلية	10		
محلية مدعومة (أموال عامة)	5		
محلية مدعومة (أموال خاصة)	5		
	10		
غير محلية	30		
غير محلية مدعومة (أموال عامة)	20		
غير محلية مدعومة (أموال خاصة)	10		
	30		
المجموع	200		

بيانات المؤسسة		نوع المؤسسة	الإجمالي
نوع المؤسسة	الإجمالي		
غير ربحية	45		
غير ربحية مدعومة (أموال عامة)	30		
غير ربحية مدعومة (أموال خاصة)	15		
	45		
محلية	10		
محلية مدعومة (أموال عامة)	5		
محلية مدعومة (أموال خاصة)	5		
	10		
غير محلية	30		
غير محلية مدعومة (أموال عامة)	20		
غير محلية مدعومة (أموال خاصة)	10		
	30		
المجموع	200		

١١-٣ التفاعلات النووية

وجدنا في الفقرة (٤-٢) كيف تتفكك النواة الوالدة المشعة بصورة تلقائية إلى نواة البنت . ويمكن أيضاً تحريرض النواة المستقرة على التفكك ببرمجها بنواة أخرى أو جسيم ذري أو جسيم من مكونات الذرة أو فوتون أشعة غاما . يحدث التفاعل النووي عندما تسبب نواة واردة أو جسيم أو فوتون (القذيفة) تغييراً في النواة (المدف). لاحظ رزرفورد عام ١٩١٩ أنه عند رجم نوى الآروت جسيمات α) تنتج نوى الأكسجين وبروتونات . ويكتب هذا التفاعل النووي على الشكل :



وبسبب تحريرض جسيم α نواة الآروت كي تتحول إلى نواة الأكسجين ، يعد هذا التفاعل مثالاً للتحولات النووية المحرضة .

تكتب التفاعلات النووية عادة بصورة مختزلة . فيكتب التفاعل السابق مثلاً على الشكل $^{14}_{7}N(\alpha, p)^{17}_{8}O$. يمثل الرمز الأول النواة الابتدائية ، ويمثل الرمز الأخير النواة النهائية . بينما تمثل الرموز الموجودة بين القوسين جسيم α (على اليسار) والجسيم المصغير الصادر أو البروتون (على اليمين) . نجد فيما يلي بعض التحولات النووية المحرضة مع الرموز المختزلة المقابلة لها .

الرمز المختزل	التفاعل النووي
$^{19}_{5}B(n, \alpha)^{7}_{3}Li$	$^1_0n + ^{10}_{5}B \rightarrow ^{7}_{3}Li + ^{4}_{2}He$
$^{25}_{12}Mg(\gamma, p)^{24}_{11}Na$	$\gamma + ^{25}_{12}Mg \rightarrow ^{24}_{11}Na + ^1_1p$
$^{13}_{6}C(p, \gamma)^{14}_{7}N$	$^1_1p + ^{13}_{6}C \rightarrow ^{14}_{7}N + \gamma$

مثال ٧-٣

ترجم نواة الألミニوم $^{27}_{13}Al$ جسيم α فيتسبع عنصر بجهول مع نترون أو جهد العنصر المجهول مبيناً عدديه الكتلي والذرري .

إن المخاطط الشحنة في هذا التفاعل يعطينا العدد الذري للعنصر المجهول أي

$$\rightarrow Z = 152 + 13 = Z + 0$$

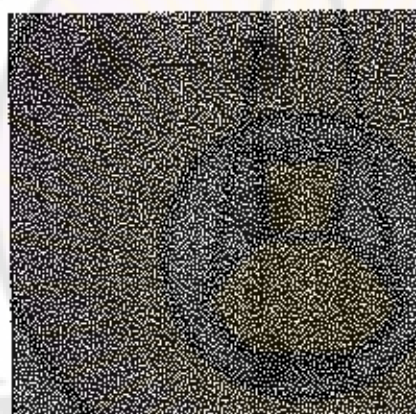
كما أن الحفاظ على عدد النكليونات يعطينا العدد الكتلي أي

$$A + 27 = A + 1 \rightarrow A = 30$$

والعنصر المجهول هو الفوسفور $\frac{30}{15}P$

يمكن استعمال التحولات النووية المخرضة في إنتاج نظائر غير موجودة في الطبيعة . ولقد اقترح فيرمي عام 1943 طريقة لإنتاج عناصر ذات عدد ذري أكبر من العدد الذري لليورانيوم مثل البنتونيوم ($Z=93$) والبلوتونيوم ($Z=94$) والأمرسيوم ($Z=95$) وغيرها ، والتي تعرف بعناصر تحولات اليورانيوم وهي عناصر لا توجد بشكل طبيعي . ويمكن توليدها في تفاعلات نووية بين عنصر مستقر وجسيم صغير وارد مثل النترون أو

جسيم α .



الشكل (١٦-٣) تفاعل نووي يتتحول فيه اليورانيوم إلى البلوتونيوم .

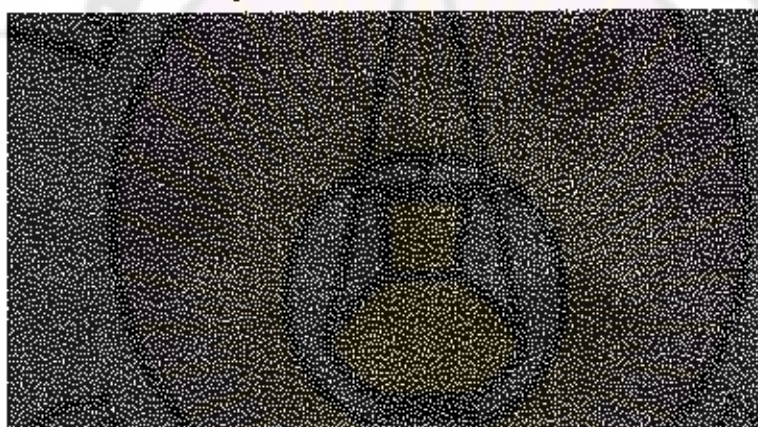
يبين الشكل (١٦-٣) تفاعلاً متاحاً للبلوتونيوم ^{93}Pu من اليورانيوم ^{238}U . حيث تأسر نواة اليورانيوم $^{238}U_{92}$ نشرياً متاحة اليورانيوم ^{238}U وأشعة غاما . يكون اليورانيوم $^{239}U_{92}$ مشعاً ويتفكك متاحلاً إلى البنتونيوم $^{239}Np_{93}$ بنصف عمر يساوي 23.5 min . ويكون البنتونيوم $^{239}Np_{93}$ مشعاً أيضاً ويتتحول إلى البلوتونيوم $^{239}Pu_{94}$ بنصف عمر يساوي 2.4 days . ويكون البلوتونيوم هو الناتج النهائي بنصف عمر

فترة . 24100 years

يمكن للطاقة الحرارية للترون المشارك في هذا التفاعل أن تأخذ مجالاً واسعاً من القيم . وتدعى الترونات ذات الطاقة الحرارية التي تقل عن 0.04 eV بالترونات الحرارية .

١٢-٣ الانشطار النووي

اكتشف العلماء الأربعة أوتو هان ، ولير ميتر ، وفريتز سترافمان ، وأتو فرايتش ، عام ١٩٤٣ اكتشافاً مهمًا أدخل العالم في عصر الذرة . فلقد وجدوا أن نوأة اليورانيوم ت分成 بعد أسرها للترون إلى جزأين كتلة كل منهما أصغر من كتلة النواة الأصلية . وعرفت عملية انقسام نوأة ذات كتلة كبيرة إلى جزأين أقل كتلة بالانشطار النووي .

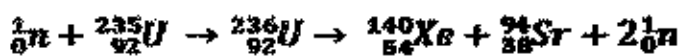


الشكل (١٧-٣) يسب الترون البطيء انشطار نوأة اليورانيوم $^{235}_{92}U$ إلى نوأني الباريوم $^{141}_{56}Ba$ والكريبيتون $^{92}_{36}Kr$ وثلاثة ترونات .

يظهر الشكل (١٧-٣) تفاعل انشطار ت分成 فيه نوأة اليورانيوم $^{235}_{92}U$ إلى نوأني الباريوم $^{141}_{56}Ba$ والكريبيتون $^{92}_{36}Kr$. بينما التفاعل عندما تأسر نوأة اليورانيوم ترونناً بطيئاً لتشكل نوأة مركبة ، تفكك بسرعة إلى نوأني الباريوم والكريبيتون وثلاثة ترونات وفق التفاعل



وهو تفاعل من بين عدد من التفاعلات الأخرى الممكنة نتيجة انشطار اليورانيوم مثل



تنتج بعض التفاعلات عدداً من التترونات قد يصل إلى خمسة تترونات ، ومع ذلك يكون متوسط عدد التترونات في الانشطار الواحد مساوياً 2.5 .

عندما يصطدم التترون ويؤسر من قبل نواة اليورانيوم ، تبدأ نواة اليورانيوم بالاهتزاز وتصبح مشوهه . ويستمر الاهتزاز إلى أن يصبح التشوه كبيراً لاستطاعه معه القوة النووية موازنة قوة التدافع الكهربائي السائبة بين بروتونات النواة . في تلك اللحظة تنقسم النواة إلى أجزاء تحمل معها الطاقة على شكل طاقة حرارية . تكون الطاقة التي تحملها الأجزاء هائلة ، وقد كانت محترنة في النواة الأصلية على شكل طاقة كهربائية كاملة . ويكون متوسط الطاقة المتحررة من انشطار واحد مساوياً 200MeV تقريباً ، وهي أكبر بعشرين مرة من الطاقة المتحررة من مول واحد في أي تفاعل كيميائي مثل احتراق البترول أو الفحم . ويوضح المثال التالي كيفية تقدير الطاقة المتحررة من انشطار النواة .

مثال ٨-٣

قدر قيمة الطاقة المتحررة نتيجة انشطار نواة عددها الكتلي $A=240$.

إن طاقة ارتباط النكليون الواحد في نواة عددها الكتلي $Z=240$ يساوي 7.6 MeV تقريباً ، كما أن طاقة ارتباط النكليون في نواة عددها الكتلي 120 يساوي 8.5 MeV تقريباً وذلك وفقاً للمنحنى المرسوم في الشكل (٥-٣) . أي أن هناك طاقة تحرر نتيجة انشطار هذه النواة مقدارها $8.5 - 7.6 = 0.9 \text{ MeV}$ لكل نكليون . وتكون الطاقة المتحررة نتيجة انشطار نواة عددها الكتلي 240 مساوية

$$\Delta E = 0.9 \times 240 \approx 200 \text{ MeV}$$

يتألف اليورانيوم الطبيعي من نظيرين هما $\frac{238}{92}U$ ووفرته في الفلز تساوي 99.275% واليورانيوم $\frac{235}{92}U$ ووفرته في الفلز تساوي 0.720% وبرغم المتوفرة

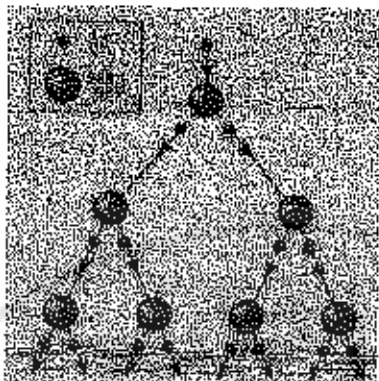
الكبيرة للبيورانيوم $^{238}_{92}\text{U}$ إلا أن احتمال أسره للتترون ثم انشطاره صغير جداً . لذلك لا يعد النظير $^{238}_{92}\text{U}$ اختياراً جيداً لغزو الطاقة النووية . وعلى النقيض نجد أن نواة النظير $^{235}_{92}\text{U}$ جاهزة لأسر تترون حراري ومن ثم الانشطار . ويكون احتمال أسر التترون الحراري أكبر بخمسينات مرة من احتمال أسر التترون ذي الطاقة العالية . كما يمكن استعمال التترونات الحرارية في انشطار نوى آخر مثل البلوتونيوم $^{239}_{94}\text{Pu}$.

مثال ٩-٣

لماذا تستطيع التترون الحراري دخول النواة بينما يحتاج كل من البروتون وجسيم α إلى طاقة حركية كبيرة لدخول النواة نفسها ؟

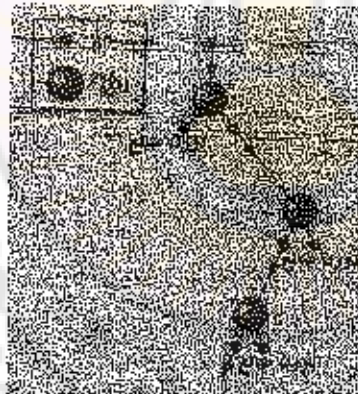
يحتاج كل من البروتون وجسيم α إلى طاقة حركية كبيرة نسبياً للتلغلب على قوة التلاعف الكهربائي بينه وبين النواة بسبب شحنتيهما الموجبةين ، ومن ثم الوصول إلى مجال تأثير القوة النووية الشديدة الجاذبة ، بينما لا يحتاج التترون المعتمد مثل هذه الطاقة الحركية فلا وجود لمانع له من الوصول إلى سطح النواة والخائز بالقوة النووية الجاذبة .

إن تحويل عدد من التترونات في عملية انشطار البيورانيوم يسمح بوجود سلسلة من عمليات الانشطار بصورة ذاتية . ويبين الشكل (١٨-٣) إمكان كل تترون متحرر من بدء انشطار آخر متتحجاً بذلك تترونات أخرى ، يتبعها انشطارات أخرى ، وهكذا . فالتفاعل المتسلسل هو سلسلة من الانشطارات النووية تسبب فيها بعض التترونات الناجمة من كل انشطار ، انشطارات أخرى . فخلال التفاعل المتسلسل غير المتحكم به ، لا يكون مستبعداً أن يزداد عدد الانشطارات بقدر ألف ضعف خلال عدة أجزاء من المليون من الثانية . وبالتالي يمكن لتفاعل المتسلسل أن يحرر كمية هائلة من الطاقة خلال فترة زمنية قصيرة ، كما هو الحال في القنبلة الذرية (وهي في الواقع قنبلة نووية) .



الشكل (١٨-٣) تفاعل متسلل وقد حذفت منه أجزاء الانشطار .

بتتحديد عدد التتروفات في جواز النواة المنشطرة نستطيع الوصول إلى حالة يساهم فيها كل حدث انشطاري بترون واحد فقط يستطيع بدء عملية انشطار نواة أخرى ، كما في الشكل (١٩-٢) . وفي هذه الحالة نستطيع التحكم بالتفاعل المتسلسل وبالتالي معدل إنتاج الطاقة . إن تفاعل الانشطار المتسلسل والمتحكم به هو المبدأ الذي تستند إليه المفاعلات النووية التجارية المولدة للطاقة الكهربائية .



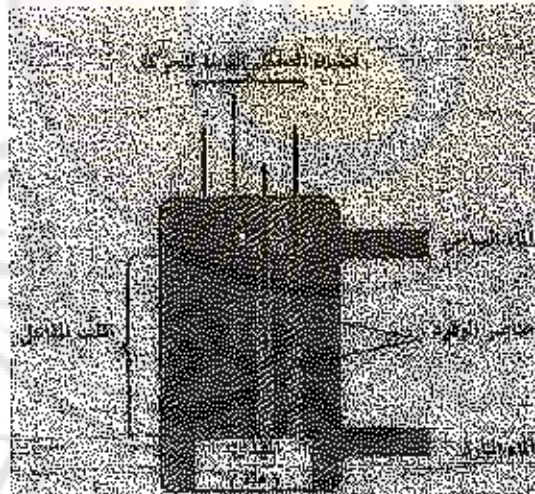
الشكل (١٩-٣) يسمح لترون واحد من نواتج الانشطار بالاسهام في انشطار نواة أخرى وبالتالي تحرير الطاقة بمعدل ثابت .

١٣-٣ المفاعلات النووية

المفاعل النووي هو نوع من الأفران تولى فيه الطاقة بتفاعل الانشطار المتسلسل للتحكم به . بين المفاعل النووي الأول من قبل فورمي عام ١٩٤٢ في جامعة شيكاغو . ويوجد اليوم أنواع وسموم كثيرة من المفاعلات ولكنها جميعاً تختلف من ثلاثة مكونات رئيسية هي : عناصر الوقود النووي ، ومهدئ التترونات ، وقضبان التحكم . ويوضح الشكل (٢٠-٣) هذه المكونات .

تحتوي عناصر الوقود على النوى المشطورة وقد تأخذ شكل قضبان اسطوانية قطرها من مرتبة المستمرة الواحد . وفي المفاعلات عالية الاستطاعة يجد آلافاً من قضبان الوقود التي توضع بالقرب من بعضها ضمن مجال يدعى بقلب المفاعل .

يشكل اليورانيوم $^{235}_{92}$ وقوداً ل معظم المفاعلات النووية وبسبب قلة وفرته ، فهو يشكل ٠.٧% من فلز اليورانيوم ، لابد من محطات إغذاء (تحصيبي) خاصة لرفع نسبة تواجده . و تستعمل معظم المفاعلات النووية اليورانيوم بعد إغذائه وزيادة نسبة اليورانيوم $^{235}_{92}$ إلى القيمة ٣% .



الشكل (٢٠-٣) يتألف المفاعل من عناصر الوقود وقضبان التحكم والمهدئ .

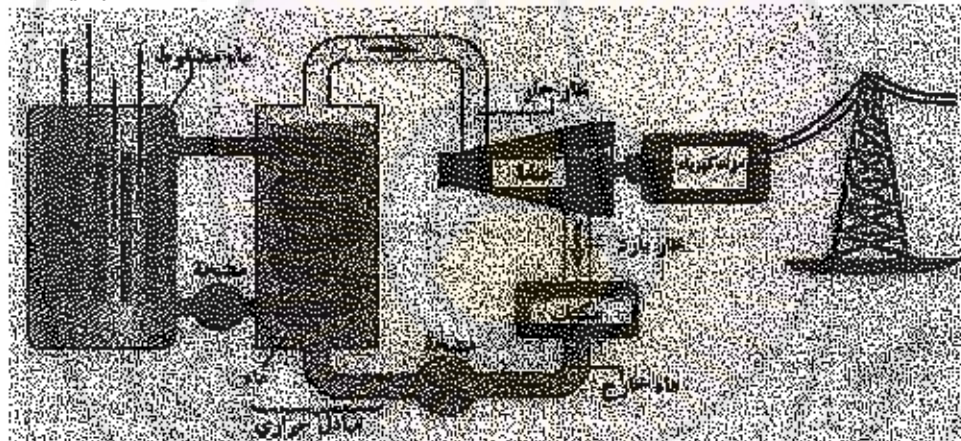
تحتاج عملية انشطار البورانيوم U^{235} إلى تترونات حرارية ، ولكن التترونات الناتجة من الاشطار تكون عالية الطاقة ، لذلك لا بد من تهدتها . يحوي المفاعل نوعاً من المواد التي تهدى من السرعة العالية لهذه التترونات كي تساهم في عملية الاشطار . تدعى المادة التي تخضع سرعة التترونات بالمهدي . وبعد الماء من أكثر المهدئات شيوعاً في المفاعلات . فعندما يغادر الترون السريع عنصر الوقود يدخل في الماء الخيط بعنصر الوقود وبصيغة جزيئات الماء . ومع كل تصادم يخسر الترون جزءاً كبيراً من طاقته وتخفض سرعته . وعندما تصل طاقته إلى طاقة الترون الحراري ، وهي عملية تستغرق عشر الثانية ، يصبح قادراً على بدء عملية انشطار فور دخوله إلى عنصر الوقود . ولذلك تكون استطاعة المفاعل مستقرة يجب أن يساهم ترون واحد فقط ، من التترونات الناتجة عن عملية الاشطار ، في انشطار نواة أخرى ، كما هو ممثل في المشكل (١٩-٣) . وعندما يتبع كل انشطار ، انشطار واحد (لا أقل ولا أكثر)

يكون المفاعل في وضعه الحرج . وتعمل المفاعلات عادة بشكل مثالي في أوضاعها الحرجة . لذلك تولد استطاعة مستقرة . يكون المفاعل في الوضع تحت الحرج عندما يكون متوسط عدد التترونات الناتجة من انشطار واحد والمساهمة في انشطار آخر أقل من الواحد ، وفي هذه الحالة لن يكون التفاعل المتسلسل مستقراً بل يتلاشى مع الزمن . أما عندما يكون متوسط عدد التترونات هذا أكبر من الواحد ، يكون المفاعل في الوضع فوق الحرج وتزداد في هذه الحالة الطاقة المتحررة . وإذا لم تلاحظ هذه الزيادة فستؤدي إلى ارتفاع درجة الحرارة وذوبان جزء من قلب المفاعل ، مع إمكان إطلاق المواد المشعة (السقوط المشع) إلى البيئة الخبيطة بالمحطة النووية .

تحتاج المفاعل إلى آلية تحكم تقيي في وضع التشغيل المثالي أي الوضع الحرج . ويتم هذا الأمر بعدد من قضبان التحكم التي يمكن تحريكها ليدخل جزء منها إلى قلب المفاعل أو يخرج منه ، انظر إلى المشكل (٢٠-٣) . تتألف قضبان التحكم من عناصر متخصصة التترونات بشراهة دون أن تتشطر مثل الكادميوم والبورن . فإذا أصبح المفاعل في الوضع فوق الحرج تتحرك القضبان بصورة آلية فتدخل في قلب المفاعل متخصصة التترونات

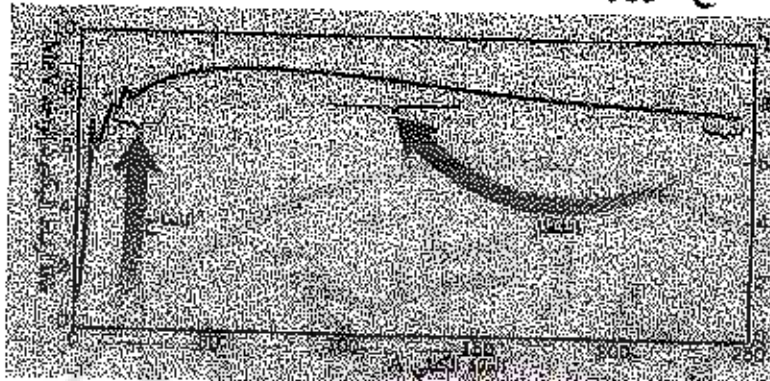
المسية جنوح المفاعل نحو الوضع فوق الحرج ، ومعيدة المفاعل إلى وضع التشغيل المثالي . وعندما يصبح المفاعل في الوضع تحت الحرج تتحرك قضبان التحكم بصورة آلية باتجاه الجنوح من قلب المفاعل مقللة بذلك من عدد الترددات التي تمتصها فتساهم برفع متوسط عدد الترددات المشاركة في الانشطارات معيدة بذلك المفاعل إلى وضع التشغيل المثالي .

يبين الشكل (٢١-٣) مفاعل الماء المضغوط . وفي هذا النوع من المفاعلات يحمل الماء الحبيط بقضبان الوقود الحرارة المتولدة ضمن القضبان . ويسمح للماء بالوصول إلى درجة حرارة مرتفعة (حوالي 300°C) لحمل أكبر كمية ممكنة من الحرارة . ولمنع التبخر الذي يحدث عادة عند الدرجة 100°C في الضغط الجوي النظامي ، يضغط الماء إلى ضغط يزيد على ١٥٠ ضعف من الضغط الجوي النظامي .



الشكل (٢١-٣) مفاعل رمزي بخطوة ثانية تستعمل مفاعل الماء المضغوط . يضغط الماء الساخن عبر مبادل حراري ينقل الحرارة إلى ماء يجري في دارة ثانية مغلقة . تولد الحرارة المتقللة إلى الحملة الثانية بخاراً يحرك العنفة . تربط العنفة مع مولد كهربائي وترسل استطاعته الكهربائية إلى المستهلكين عبر خطوط نقل عالية الجهد . يتم تكيف البخار ، بعد تشغيل العنفة ، إلى ماء يعاد إلى المبادل الحراري .

٤-٦ الاندماج النووي



الشكل (٢٢-٣) يمكن الحصول على الطاقة بالانشطار أو الاندماج .

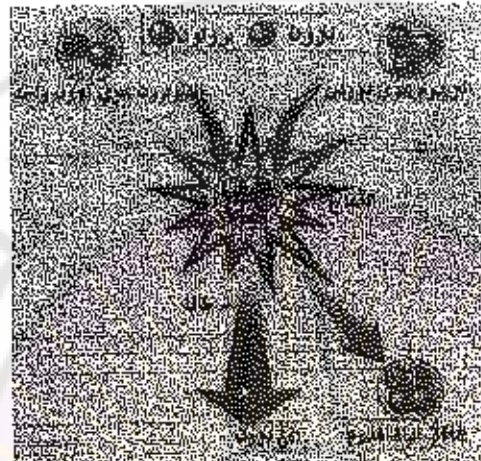
يلخص الشكل (٢٢-٣) ما يحصل في تفاعلي الانشطار والاندماج ، فطاقة ارتباط النكليون عند طرف المنهجي البياني أقل من طاقة ارتباط النكليون في وسط المنهجي . ولقد وجدنا أن الطاقة المتحررة نتيجة الانشطار الواحد تساوي 0.9MeV للنكليون الواحد . وبالمثل يمكن دمج نوافيرتين ملذكان طاقتين ارتباطيتين صغيرتين نسبياً للنكليون الواحد في نواة واحدة ذات كتلة أو طاقة ارتباط أكبر للنكليون الواحد برفقاها تحرر كمية كبيرة من الطاقة . تدعى هذه العملية بالاندماج النووي .

مثال ١٠-٣

يندفع نظيرا المدروجين الديوترون ${}^2\text{H}$ والتربيوم ${}^{90}\text{Y}$ لتشكيل عنصر الهليوم ${}^4\text{He}$ وإطلاق نترون ${}^3\text{n}$. أحسب الطاقة المتحررة في هذا التفاعل .

إن الكتل الابتدائية والنهائية في هذا التفاعل هي (٢.٠١٤ u للديوترون ، و٣. ٠١٦u للتربيوم ، و٤.٠٠٣ u للمهليوم ، و١.٠٠٩ u للنترون) . وتكون الخسارة في الكتلة متساوية $\Delta m = 0.018\text{u} \approx 17\text{ MeV}$ ، وتكون الطاقة المتحررة للنكليون الواحد متساوية $3.4\text{ MeV} \approx 17/5$ وقد قسمنا الطاقة المتحررة على خمسة وهو مجموع

عدد النكليونات في الديوترون والтриتيوم . ويلاحظ أن الطاقة المتحررة للكليلون الواحد في حالة الاندماج أكبر مما هي عليه في حالة الانشطار (0.9MeV) ، أي أنه من أجل كتلة معينة من الوقود النووي ينبع تفاعل الاندماج كمية أكبر من الطاقة مما تنتجه الكتلة نفسها من الوقود النووي في تفاعل الانشطار .



الشكل (٢٣-٣) ينبع الديوترون والтриتيوم لتشكيل الهليوم وتترون وتحرر كمية من الطاقة يحيطى مفاعل الاندماج باهتمام كبير بسبب كبر الطاقة التي تنتجه تفاعلات الاندماج . ومع ذلك فإننا لا نجد أي محطة نووية اندماجية تمارية حتى الآن ، وتأتي صعوبة بناء مفاعل اندماجي بصورة رئيسة من ضرورة تفريغ النواتين صغيري الكتلة من بعضهما مسافة صغيرة جداً ، متغلبين على قوة التدافع الكهربائي المساكنة بينهما كي تصل إلى المدى القصير لتأثير القوة النووية فتجذبها وتحصل الاندماج . لذلك يجب أن تملأ طاقتين حركتين كبيرتين أي درجات حرارة عالية تصل إلى مائة مليون درجة سلزيوس لبدء تفاعل مثل المذكور في المثال (٣-١) .

تدفع التفاعلات التي تتطلب درجة حرارة عالية جداً بالتفاعلات النووية الحرارية ، ويحدث أكثرها في النجوم مثل شمسنا . تأتي الطاقة التي تشعها الشمس من داخلها في عمق قلبها ، حيث تكون الحرارة كافية لبدء تفاعلات الاندماج . ومن بين

التفاعلات التي يظن أنها تحدث في الشمس ما يعرف بدورة البروتون - بروتون ، وهي سلسلة من التفاعلات يندمج فيها ست بروتونات لتشكيل الهليوم مع بوزوتروني وبروتوني ونتروني وشعاعين من أشعة γ . وتكون الطاقة المتحررة من دورة البروتون - بروتون مساوية 25 MeV .

تم تنفيذ تفاعلات الاندماج من قبل الانسان على شكل قبضة نووية دعيت بالقبضة الاهدروجينية . وفيها يتم قذف تفاعل الاندماج بقبضة نووية انشطارية تستعمل البيرانيوم أو البليوتونيوم . وتكون درجة الحرارة الناتجة من القبضة النووية الانشطارية عالية بشكل كاف لبدء التفاعل النووي الحراري . فتندمج نظائر الاهدروجين لتشكيل الهليوم مطلقة طاقة إضافية . ولذلك يكون الاندماج صالحًا كمصدر للطاقة الصناعية ، يجب تحرير الطاقة بشكل مستقر قابل للتحكم وليس كالقبضة . . لم ينجح العلماء بعد في بناء جهاز اندماج يتبع من الطاقة في عملية مستمرة ، أكثر من الطاقة المستهلكة في عملية تشغيل الجهاز . يحتاج جهاز الاندماج درجات حرارة عالية لبدء التفاعل ، وتكون جميع الذرات ضمن هذه الشروط مؤينة تماماً أي على شكل بلازما (غاز مؤلف من جسيمات مشحونة) . وتكمم المشكلة في حصر البلازما الحارة لمدة كافية بحيث تؤدي التصادمات بين الأيونات إلى الاندماج .

تعد طريقة الحصر المغناطيسي للبلازما من الطرق المؤدية للاندماج وفيها يستعمل المغناطيسي في احتواء وضغط الشحنات في البلازما . فالشحنات المتحركة ضمن حقل مغناطيسي تخضع لقوة مغناطيسية ، ومع ازدياد هذه القوة بزداد الضغط وترتفع درجة الحرارة . ويصبح الغاز على شكل بلازما حارقة ذات سخونة فائقة تنتهي بالاندماج عندما يصبح الضغط ودرجة الحرارة عاليين بالقدر الكافي .

وهناك نوع آخر من حصر البلازما يدعى بالحصار العطالي ، وفيه تسقط جسيمات صغيرة من الوقود النووي ضمن حاوية ، وفي اللحظة المناسبة التي يصل فيها الجسيم إلى مركز المخواية تسلط عليه عدة حزم ليزرية عالية الشدة بصورة آنية ، فتسبيب

الحرارة العالية تبخر الجزء المائي للجسيم ، ولكن عطالة النرات المتاخرة تعيقها من التمدد نحو الخارج بسرعة تشكل البخار نفسها . ونتيجة لذلك يزداد الضغط والكتافة ودرجة الحرارة إلى القيمة المطلوبة للاندماج عند مرکز الجسيم .
وهناك طريقة ثالثة واحدة تستعمل فيها الأشعة السينية المركزة عوضاً عن الحزم الليزرية .



تمارين ومسائل

- ١- أذكر نظيرين لكل من العناصر التالية : ^{14}N , ^{56}Fe , ^{118}Sn .
 الجواب: ^{13}N , ^{15}N ^{54}Fe , ^{57}Fe ^{117}Sn , ^{119}Sn
- ٢- أوجد طاقة الارتباط وطاقة ارتباط النكليون الواحد لكل من العناصر التالية:
 ^{12}C , ^{56}Fe , ^{238}U , ^{6}Li , ^{39}K , ^{208}Pb
- | | | | | |
|---------|--------------------|--------------------|---------------------|---------------------|
| الجواب: | 5.33 MeV | 7.58 MeV | 8.716 MeV | 7.68 MeV |
| | | | 7.868 MeV | 8.556 MeV |
- ٣- أوجد صيغة تعطي الكثافة النووية مفترضاً أن كتلة النواة تناسب مع العدد الكتافي وفق العلاقة : $m = cA$ حيث c ثابت . ثم أوجد الكثافة وذلك بإعطاء الثابت قيمة 1 للكيليونات عددها يساوي عدد أفوكادو N_A .
 الجواب: $1.18 \times 10^{14} \text{ g/cm}^3$
- ٤- أوجد الطاقة اللازمة لزع نترون واحد من نواة الهليوم ^{4}He .
 الجواب: 20.58 MeV
- ٥- أحسب نصف قطر نواة كل من العناصر : ^{16}O , ^{56}Fe , ^{197}Au .
 الجواب: 3.78 fm ; 5.74 fm ; 8.73 fm
- ٦- النظير المستقر للصوديوم هو ^{23}Na ما هو نوع الإشعاع الصادر عن كل من النظيرين ^{22}Na و ^{24}Na ?
 الجواب:

$$^{22}_{11}\text{Na} \rightarrow ^{22}_{10}\text{Ne} + \beta + \nu$$

$$^{24}_{11}\text{Na} \rightarrow ^{24}_{12}\text{Mg} + -\beta + \bar{\nu}$$

٧- إذا كان دور الراديوم مساوياً 1620 سنة ، فما هو عدد التفككات خلال الثانية الواحدة والمتاحة من تفكك غرام واحد من الراديوم ؟ أثبت أن معدل التفكك في هذه الحالة يساوي $1Ci$ تقريباً .

$$\text{الجواب: } 3.61 \times 10^{10} Bq \approx 1Ci$$

٨- إذا كان معدل العد لمتبع مشع مساوياً 8000 عددة في الثانية لحظة البدء وأصبح 1000 عددة في الثانية بعد عشر دقائق . ما هو دور العنصر ؟ وما هو ثابت تفككه ؟ وما هو معدل العد بعد عشرين دقيقة ؟

$$\text{الجواب: } R_{20} = 125Bq \quad \lambda = 3.47 \times 10^{-3} s^{-1} \quad T = \frac{10}{3} = 3.33 \text{ min}$$

٩- وضعت قطعة من الفضة المشعة أمام عداد شايفر فشوهد 1000 عددة في الثانية في لحظة البدء . هنا هو معدل العد بعد زمن قدره 2.4 min وكذلك بعد 4.8 min . علماً أن دور الفضة المشعة $T=2.4 \text{ min}$. وإذا كان مردود العداد 20 % فقط . ما هو عدد النوى المشعة لحظة البدء ؟ وما هو الزمن اللازم ليصبح معدل العد مساوياً 30 عددة في الثانية ؟

$$\text{الجواب: } 500, 200, 120, N_0 = 1.039 \times 10^6$$

١٠- أوجد طاقة أشعة ألفا الصادرة عن تفكك كل من Ra^{226} و Pu^{242} .

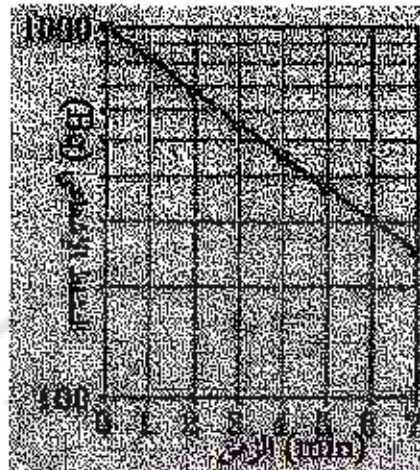
$$\text{الجواب: } 6.949 \text{ MeV} \quad 4.868 \text{ MeV}$$

١١- قيس معدل العد لمتبع مشع كل دقيقة فوجد أن العد في الثانية الواحدة لهذه القياسات هو :

1000	820	673	562	453	371	305	250
0	1	2	3	4	5	6	7

ارسم منحنى معدل العد كتابع للزمن واستنتج من المنحنى دور العنصر .

$$\text{الجواب: } T=3.5 \text{ min}$$



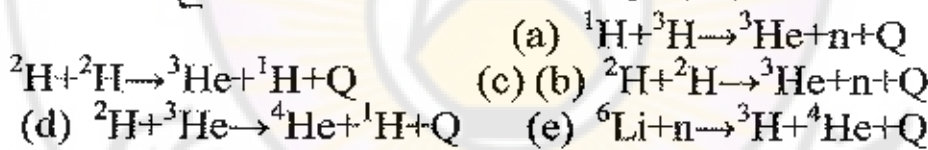
١٢-تحوي عينة محسنة مخضبة 10 g من الكربون وتظهر معدل عدد للكربون C^{14} قدره 100 عدد في اللpicة الواحدة ، ما هو عمر هذه العينة ؟

الجواب: 3351 سنة

١٣-أوجد معدل التفكك لعينة من الكربون كتلتها 10 g وعمرها 10000 سنة .

الجواب: 45 Bq

١٤-أوجد قيمة Q في كل من التفاعلات التالية :



١٥-ما هو عدد الانشطارات بالثانية الواحدة التي تجري في مفاعل استطاعته 500 MW ، علماً أن متوسط الطاقة التي تتبع من انشطار واحد هي 200 MeV .

الجواب: انشطاراً 1.56×10^{49}

١٦-ما هي درجة الحرارة المقابلة لطاقة قدرها 10 KeV ؟

الجواب: $T1.16 \times 10^8 \text{ K}$

١٧-إذا كانت المسافة التي تقطعها البروتونات ذات الطاقة 6 MeV في الهواء متساوية 45 cm تقريباً فما هي المسافة التي تقطعها هذه البروتونات في الماء؟ وفي الرصاص؟

$$\text{الجواب: } 0.00518\text{cm} \quad 0.0581\text{cm}$$

١٨-إذا كان المقطع الفعال الكلي لامتصاص التريليونات في الحديد متساوياً 2.5 بارن فما هي سماكة الحديد التي تخفي شدة الحرارة الشروانية إلى نصف قيمتها علماً أن عدد التريليون في المتر المكعب من الحديد يساوي $n=8.5 \times 10^{28}$

$$\text{الجواب: } 3.26 \times 10^{-2} \text{m}$$

١٩-إذا كان المقطع الفعال الكلي لامتصاص أشعة غاما ذات الطاقة 3.5 MeV الولفردة على الرصاص متساوياً 20 بارن فما هي سماكة الرصاص التي تخفي شدة هذه الأشعة إلى $1/e$ من قيمتها؟ وإلى $1/1000$ من قيمتها؟

$$\text{الجواب: } 10.42 \times 10^{-2} \text{m} \quad 1.5 \times 0^{-2} \text{m}$$

٢٠-أثبتت أن ثابت التفكك ودور العنصر المشع تعطى بالعلاقة:

$$T = \frac{0.693 \times t_1}{\ln\left(\frac{R_0}{R_1}\right)} \quad \text{و} \quad \lambda = \frac{1}{t_1} \ln\left(\frac{R_0}{R_1}\right)$$

٢١-أحسب نصف عمر قطرى نواة الباريوم Ba^{141} والكريبيتون Kr^{92} ، فإذافترضنا أنه بعد انشطار نواة اليورانيوم U^{235} إلى كل من الباريوم والكريبيتون ، اباعدت النواتين مباشرة إلى مسافة d تساوي بمجموع نصف عمر قطرى النواتين أحسب الكهربائي الساكن $U = k \frac{Z_1 e \times Z_2 e}{d}$ لحياتين النواتين وقارن مع الطاقة الناتجة عن الانشطار.

$$\text{الجواب: } U = 199 \text{MeV} \quad R_{Ba} = 7.81 \text{ fm}, \quad R_{Kr} = 6.77 \text{ fm}$$

٢٢-تنخفض شدة حرمة التيرينر بصورة أسيّة مع المسافة تماماً كما هو الحال بالنسبة للتريليونات والغلوتونات . فإذا كانت قيمة المقطع الفعال لامتصاص بالنسبة للتيرينر من

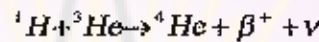
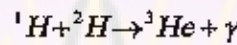
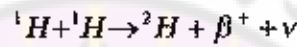
المرتبة 10^{20} بارن ، أو جد سماكة الحديد اللازم لتخفيض شدة حزمة التتربيتو إلى $1/e$ من قيمتها وقارن هذه السماكة مع المسافة بين الشمس والأرض .

الجواب: $1.18 \times 10^{19} \text{ m}$ أكبر بكثير من المسافة بين الأرض والشمس .

٢٣-أوجد ثابت التفكك ودور عنصر مشع كان معدل تفككه 1000 Bq في اللحظة t_0 وأصبح 800 Bq بعد دقيقة واحدة أي في اللحظة $t_1 = 1 \text{ min}$.

$$\lambda = 3.72 \times 10^{-3} \text{ s}^{-1} ; T \approx 3.12 \text{ min}$$

٤-توليد الطاقة في الشمس بتفاعلات اندماج نووية مختلفة منها التفاعل التالي :



أو جد الطاقة الحرارة في هذه الدورة .

الجواب: 24.69 MeV



الباب الثاني

الكهرباء الماكرة

Electrostatics



الفصل الأول

الشحنات الكهربائية و

القوى الكهربائية

Electric Charges and

Electric forces



١-١ الشحنة الكهربائية :Electric charge

الشحنة الكهربائية هي المدخل الأساسي للتعرف على الظواهر الكهربائية سواء ما نلاحظه في الطبيعة أو ما هو من اختراع الإنسان نفسه، تلك الاختراعات تمت من المحرك الكهربائي إلى الترانزستورات وذراته الكهربائية إلى دارات الحاسوب وتطبيقاته المتباينة . والشحنة الكهربائية هي إحدى الخصائص الأساسية لمكونات المادة ولا يمكن فهم طبيعة هذه الشحنة إلا من خلال الظواهر التي ترتبط بها مثل القوى الكهرومغناطيسية المتبادلة بين الجسيمات المشحونة وظهور المجال الكهرومغناطيسي في الجزء الخيط بالشحنة نفسها .

والشحنة الكهربائية كالمادة لا تغير خلال التغيرات الفيزيائية أو الكيميائية وينطبق عليها قانون بقاء الشحنة المماثل لقانون بقاء الطاقة .

ويعود اكتشاف الجذب الكهربائي تاريخياً إلى قدماء اليونان (الإغريق) ، حيث لاحظ العالم اليوناني تاليس، الذي عاش في الفترة (640 - 546) قبل ميلاد السيد المسيح عليه السلام، أن العتيق (الكهربان) إذا ذُلت بالصوف اكتسب خاصية جذب الأجسام الحقيقة، وعندما تتكلم عن هذه الخاصية اليوم، نقول إن العتيق قد تكهرب . أو اكتسب شحنة كهربائية أو أنه مشحون كهربائياً . وهذه التعبير مشتقة من الكلمة اليونانية (ELEKTRON) والتي تعني العتيق الأصفر المسمى بالكهربان (الكهرباء) .

من الممكن أن يحمل أي حجم صلب يكتسب شحنة كهربائية وذلك بذلك بأية مادة ثانية . وهكذا فالسيارة تصبح مشحونة بنتيجة حركتها عبر الهواء، وتولد شحنة كهربائية في طبق الورق الذي حركته داخل الآلة الطابعة، ويكتهرب المشط عند ما يُسرح به الشعر الجاف . وفي الواقع أن ما يلزم لتوليد الشحنة الكهربائية هو إيجاد تماس وثيق بين حسمتين، أما الدليل فإن فالدته تقتصر على إيجاد تماس جيد بين عدد كبير من نقاط السطحين المسلمين، لا أكثر .

في القرن السادس عشر، درس العالم الانكليزي وليم جلبرت (W. Gilbert) الذي عاش في الفترة (1540 - 1603)، ظاهري الكهرباء والمغناطيسية بصورة علمية، حيث أثبت جلبرت وجود عدد كبير من المواد تملك خاصية جذب الأجسام الصغيرة عند دلوكها، غير الكهرومagnetism، كالزجاج والمطاط وكان أول من فهم بوضوح الفرق بين هذا الجذب الكهربائي والجذب المغناطيسي ، وهو الذي أدخل اصطلاحات القوة الكهربائية والجذب الكهربائي والقطب المغناطيسي.

في عام 1734، كان العالم تشارلز فرانكسون ديفوافي (C.F.Dufay)، أول من يرهن تجريبياً وجود نوعين من الكهرباء . فقطعتان صغيرتان من الزجاج إذا دلوكتا بالحرir دفعتا بعضهما بعضاً ويفهر ذلك إذا ما علقتنا بخيطين من الحرير وقربياً من بعضهما وكذلك تفعل قطعتان صغيرتان من الأيونيت إذا دلوكتا بقطعة من الفرو . أما إذا أخذت قطعة من الزجاج المكهرب وأخرى من الأيونيت المكهرب فإنهما تتجاذبان في ذلك الحين، استنتج ديفوافي وجود نوعين من الشحنات لا ثالث لهما . أما الشحنات المشابهة للشحنات التي ظهرت على قطعة الأيونيت فسميت سالبة، إن هذه التسمية مهمة ومفيدة ولكنها اصطلاحية، ووفقاً لذلك فالشحنة التي يحملها الإلكترون عفهومه الحديث هي سالبة، ونستنتج مما سبق النتيجة الأساسية القائلة: إن الشحنات المتماثلة تندفع بينما الشحنات المختلفة تتجاذب .

وقد أثبتت التجارب أنه عند ذلك أي مادة بأخرى مناسبة، تظهر على هاتين المادتين شحنات متعاكسة، مما يوحى لنا، بصورة جلية، أن الشحنات الكهربائية لا تتولد، ولا تخلق، وأن عملية الشحن تنتهي عن انتقال جسيم من إحدى المادتين إلى الأخرى، وقد عُرف هذا الجسيم باسم الإلكترون، نسبة إلى مادة العنصر الأصفر في اللغة اليونانية الذي هو Electron ، وهو وحدة الشحنة الكهربائية السالبة، ولكسي فهو من ظاهرة الشحن فإنّه يلزم معرفة التركيب الذري للمادة و الذي ستوضّحه في الفقرة التالية:

في عام 1897 اكتشف العالم الإنكليزي تومسون (J. J. Tomson) جسيماً حقيقياً في المادة كتلته تساوي $1/1800$ من كتلة ذرة الهيدروجين ، وبيّنت التجارب أنه يحمل كمية صغيرة من الكهرباء والتي سميت فيما بعد بالمسالبة وقد سمى هذا الجسيم بالإلكترون. وأثبتت تومسون أيضاً أنَّ جميع المواد تحتوي جسيمات تملأ النسبة $\frac{e}{m}$ نفسها حيث e هي شحنة الإلكترون و m كتلته، وتعلم الآن أنَّ هذه الجسيمات هي الإلكترونات وهي جزء أساسي في بناء الذرات . وفي عام 1909، اكتشف العالم ميلikan أنَّ الشحنة مكتملة، فيمكن كتابة أي شحنة على الشكل $Q=N.e$ حيث N عدد صحيح و e هي قيمة الوحدة الأساسية للشحنات الكهربائية .

تعرف الشحنة الكهربائية: بأنها المقدار الفيزيائي المميز لفكرة الأجسام أو الجسيمات على المشاركة في التأثيرات الكهربائية والمغناطيسية المتبادلة والذي يحدد قيم القوى والطاقات الدالة في تلك التأثيرات المتبادلة.

من خلال هذه المقدمة التاريخية المختصرة عن الشحنة الكهربائية، نلخص المفاصيل العامة للشحنة الكهربائية على الشكل التالي:

- ١ - الشحنة الكهربائية مصانة وهو ما يعرف حالياً بقانون الحفاظ الشحنة .
- ٢ - الشحنة الكهربائية مكتملة، حيث يمكن كتابة أي شحنة على الشكل $Q=N.e$
- ٣ - إنَّ الشحنة مقدار سلمي، تؤثر في جميع مناطق الفضاء المحيطة بالشكل نفسه . ويسمى هذا الأثر بالحقل الكهربائي، وستعتبر كتقريب من المرتبة الأولى أنَّ الشحنة الكهربائية عبارة عن شحنة نقطية (Point Charge) أبعادها صغيرة جداً .
- ٤ - يوجد نوعان من الشحنات الكهربائية: نطلق اصطلاحاً عن الشحنة من النوع الأول اسم الشحنة الموجبة وعلى الشحنة من النوع الثاني اسم الشحنة المنسالبة .

- ٥- تدافع الشحنة المتماثلة بينما الشحنة المختلفة تتجاذب .
- ٦- تدعى جسيماً أولياً، أصغر جسيم والذي يحمل شحنة كهربائية سالبة بالإلكترون، وأن شحنة الإلكترون تساوي شحنة البروتون بالقيمة المطلقة وتعاكسها بالإشارة .

١ - ٢ التركيب الذري للمادة Structure of matter

الذرة هي أصغر جزء من المادة، تحمل الصفات الطبيعية والكيميائية لها . فمثلًا ذرة الأوكسجين تحمل الصفات الطبيعية والكيميائية لغاز الأوكسجين، وذرة النحاس تحمل الصفات الطبيعية والكيميائية لمادة النحاس، وهكذا .

و تكون الذرة من نواة صغيرة الحجم (Nucleus) قطرها حوالي 10^{-15} m و كبيرة الوزن، إذ أنَّ وزن النواة يعادل وزن الذرة تقريبًا، و النواة موجبة الشحنة و يدور حولها إلكترونات سالبة الشحنة كتلتها صغيرة جدًا . في مدارات دائيرية أو بيضوية قطرها يساوي تقريباً 10^{-10} m .

$$m_e = 9.109 \times 10^{-31} \text{ kg} \quad \text{mass of electron}$$

و تكون النواة من نوعين من الجسيمات:

- البروتون Proton: و هو موجب الشحنة و كتلته تساوي:

$$m_p = 1.673 \times 10^{-27} \text{ kg} \quad \text{mass of proton}$$

أي أنَّ كتلة البروتون أكبر من كتلة الإلكترون بحوالي 1835 مرة ، أما شحنته فتساوي عديديًا شحنة الإلكترون

- النوترون Neutron: و هو متعادل كهربائياً و كتلته تساوي كتلة البروتون

$$m_n = 1.675 \times 10^{-27} \text{ kg} \quad \text{mass of neutron} \quad \text{تقريباً}$$

و في الذرة المتعادلة . يتساوى عدد البروتونات في النواة و عدد الإلكترونات الدائرة حولها . و تدور الإلكترونات حول النواة في مدارات دائيرية أو بيضوية بحيث لا يزيد عددها عن الثنين في المدار الأول و ثمانية في المدار الثاني و ثانية عشر في المدار

الثالث و هكذا . كما أنَّ الإلكترونات في المدارات الداخلية (القريبة من النواة) أكثر ترابطًا بالنواة من الإلكترونات في المدارات الخارجية .

عند انتزاع إلكترون من الذرة فإنَّها تبقى موجبة الشحنة و تسمى أيوناً موجباً Positive Ion و عند إضافة إلكترون إلى الذرة فإنَّها تصبح سالبة الشحنة و تسمى أيوناً سالباً Negative Ion و عملية فقد أو اكتساب الإلكترون تسمى التأين Ionization و هكذا عند ذلك أي مادة بأخرى مناسبة فإنَّ الإلكترونات الأقل ترابطًا تنتقل من إحدى المادتين إلى الأخرى، فتصبح موجبة الشحنة لفقدانها الإلكترونات و الثانية سالبة الشحنة لاكتسابها الإلكترونات .

ويوضح الشكل (1 - 1) ذرة الليتيوم Li في الحالات الثلاث (a - b - c)، المعتدلة والموجبة والسلبية .



الشكل (1 - 1)

1 - 3. التوافل و العوازل Conductors & Insulators

على الرغم من أنَّ المواد تتالف من ذرات و أنَّ كلَّ الذرات تتكون من إلكترونات و نوى إلا أنَّ هذه المواد تنقسم من الناحية الكهربائية إلى قسمين:

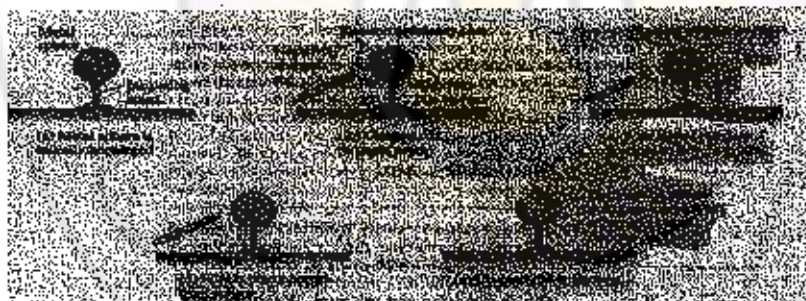
- مواد ناقلة Conductors: هي المواد التي يكون ارتباط الإلكترونات بالذررة ضعيفاً بحيث يسهل الانتقال من ذرة إلى أخرى في داخل المادة . أي أنَّ الشحنات الكهربائية تكون حررة الحركة داخل المادة، و تعتبر المعادن من المواد الناقلة .

B - مواد عازلة Insulators: و فيها تكون الإلكترونات مرتبطة ارتباطاً قويّاً بذراعها، بحيث يصعب عليها الانتقال من ذرة إلى أخرى داخل نفس المادة . و من أمثلة هذه المواد الزجاج و الخشب و المطاط و الورق و الطوباء .

الخ

١ - ٤ طرق التكهرب أو الشحن:

- التكهرب بالاحتكاك Friction: و يتبع بذلك أي مادة بأخرى .
- التكهرب بالتماس Contact: لو أن جسمـاً مشحونـاً لـس جـسـماً آخـر غـير مشـحـونـ فـيـنـ الشـحـنة تـوزـعـ نـفـسـهـاـ عـلـىـ كـلـ مـجـسـمـيـنـ . لو فـصـلـنـاـ الجـسـمـيـنـ عـنـ بـعـضـهـمـاـ فـيـنـ الـجـسـمـ الثـانـيـ تـظـهـرـ عـلـيـهـ شـحـنـاتـ كـهـرـيـاتـيـةـ مـنـ نـفـسـ نـوـعـ شـحـنةـ الـجـسـمـ الـأـوـلـ .
- التكهرب بالتأثير أو بالتحريض Induction: هي طريقة لشحن جسم معدني باستخدام جسم آخر سبق شحنته . لنتظر إلى الشكل (1 - 2) . الذي يبين خطوات شحن كرة معدنية بالتحريض .



الشكل (١ - ٢)

إذا عزلنا كرة معدنية عن الأرض، **الشكل (a - 1 - 2)**، ثم قربنا قصبة مشحونة بالشحنات السالبة مثلاً **الشكل (b - 1 - 2)** . فإن شحنات الكرة توزع نفسها بحيث تظهر شحنات موجبة على طرف الكرة القريب من القصبة . لو وصلنا طرف الكرة بعيد عن القصبة بالأرض **الشكل (c - 1 - 2)**، لتتسرب الشحنات السالبة إلى

الأرض . ولو فصلنا الكرة عن الأرض لبقيت الشحنات الموجبة عليها فقط كما في الشكل (4 - 1 - 2) ، وإذا أبعدنا قضيب الزجاج عن الكرة، فإن الشحنات الموجبة توزع نفسها على الكرة، وتصبح الكرة مشحونة بشحنة موجبة . وبنفس الطريقة يمكن شحن أي جسم معدن بشحنات سالبة إذا ما قربنا منه جسمًا مشحوناً بشحنة إيجابية .

١- ٥ تجربة فارادي في الكهرباء الساكنة:

في عام 1843 أجرى مايكيل فارادي عدة تجارب و منها تجربة "دلسو السلاج"

واستنتج ما يلى:

a- إذا وضع جسم مشحون ضيق وعاء معدني ناقل و متعادل كهربائيًا، يتولد على السطح الداخلي للناقل شحنة متساوية في القيمة و مختلفة في الإشارة لشحنة الجسم، أما على السطح الخارجي للناقل فيتولde شحنة متساوية في القيمة و الإشارة لشحنة الجسم .

b- تكون الشحنة الكلية الموجدة ضمـن الوعاء الناقل الأحـوف مـدـوـمة دـوـمـاً أي شـحـنة السـطـح الدـاخـلـي لـلـوـعـاء + شـحـنة الجـسـم المـشـحـونـ = 0

c- إذا مـسـ الجـسـم المـشـحـونـ السـطـح الدـاخـلـي لـلـوـعـاء المـعـدـنـ الأـحـوفـ . فـسـانـ شـحـنة الجـسـم تـتـقـلـلـ إـلـى السـطـح الـخـارـجـي لـلـوـعـاء المـعـدـنـ للـنـاقـلـ .

١- ٦ قانون كولون **Coulomb's Law**

يعتبر العالم شارل أو جستين دو كولومب (Charles Augustin de coulomb) الذي عاش في الفترة (1736 - 1806)، هو أول من قام بدراسة مفصلة عن القوى الناتجة بين الأجسام المشحونة، واستطاع صياغة القانون الرياضي الذي يعبر عن تدافع الشحنات المتماثلة و تجاذب الشحنات المختلفة والذي سمي بقانون كولون .

في عام 1784 درس العالم كولون التأثير المتبادل بين الأجسام المشحونة، واستعان لقياس القوى بعيزان القتل المشابه في شكله للذي استعمل به كافنديش (Cavendish) بعده بثلاثة عشر عاماً لقياس قوى الثقالة .

ووجد كولون أن قوة التدافع أو التحاذب بين الشحتين نقطتين، أي بين جسمين مشحونين وصفيرين جداً في أبعادها بالنسبة للبعد r الذي يفصل بينهما، تناسب طرداً مع حداء هاتين الشحتين وعكساً مع مربع البعد بينهما.

إن الشحنة الصافية الموجودة في جسم من الأحجام، يمكن أن توصف بأنها مقدار الزيادة العددية للإلكترونات أو البروتونات التي في الجسم، وعلى كل حال، فإن شحنة الجسم تقدر عملياً بوحدة أكبر بكثير من شحنة الإلكترون الواحد أو شحنة البروتون. وستعمل الحرفين q أو Q لترمز لها الشحنة الجسم.

لتكون لدينا الشحتان q_1 و q_2 التي تفصلها المسافة r فإن العبارة الرياضية للقوى المتبادلة بين هاتين الشحتين تعطى بالعلاقة:

$$F = k \cdot \frac{|q_1 \cdot q_2|}{r} \quad (1)$$

حيث k هي ثابتة النسب وتعلق أبعادها بالوحدات التي تقدرها q_1 ، q_2 ، F و r . والمعادلة (1) هي العبارة الرياضية لما يسمى اليوم بقانون كولون. تتوقف القوة F بين الشحتين q_1 ، q_2 على الوسط الخيط هما، فتحدد أن قيمة القوة في حالة وجود وسط ما تكون أقل من مشلاهما في الهواء أو الفراغ. وذلك لأن الشحتات تؤثر على جزيئات الوسط. فت تكون فيها شحتات تأثيرية مختلفة في الإشارة تعمل على إضعاف القوة بين الشحتات الأصلية.

أما قيمة الثابت فتعلق بجملة الوحدات المستخدمة، ففي جملة الوحدات الدولية (I. S) وتسمى أيضاً المكثية (M. K. S)، متر - كيلوغرام - ثانية، تكون قيمة k تساوي:

$$k = \frac{1}{4\pi\epsilon_0} = 9 \times 10^9 \frac{\text{N} \cdot \text{m}^2}{\text{C}^2}$$

حيث ϵ_0 مقدار خاص بالوسط يدعى سعاسية الوسط Permittivity of the medium

$$\epsilon_0 = 8.85 \times 10^{-12} \frac{C^2}{N \cdot m^2}$$

وهو يساوي:

$$F = \frac{1}{4\pi\epsilon_0} \frac{|q_1 q_2|}{r^2} \quad (2)$$

وفي الجملة السعاسية للوحدات (C, G, S)، ستيمتر - غرام - ثانية، وتسمى

أيضاً بالجملة الكهربائية الساكنة (esu). فإن قيمة الثابت k تساوي الواحد ويأخذ قانون كولون الشكل التالي:

$$F = \frac{|q_1 q_2|}{r^2} \quad (3)$$

وتقاس الشحنة عندما بالكولون الساكن والقوة بالدينية حيث أن:

$$(كولون ساكن) 1C \approx (كولون) 9 \times 10^9 stat$$

$$(دينية) 1N \approx 10^3 dyn$$

ويزيد القانون (3) في تعريف وحدة الشحنة الكهربائية (الكولون الساكن)، وهي الشحنة التي تدفع شحنة مماثلة لها في القيمة والإشارة بقوة دينة واحدة عندما تكون المسافة الفاصلة بين الشحتتين ستيمتراً واحداً، بفرض أن هاتين الشحتتين q_1 ، q_2 محمولتان على جسمين صغيري الأبعاد بالنسبة للمسافة الفاصلة بينهما، أي الستيمتر إن الوحدة الطبيعية للشحنة الكهربائية هي الشحنة التي يحملها أصغر جزء من الكهربية السلبية، أي الإلكترون أو البروتون . وإن أدق القياسات التي أجريت لها حتى الآن تعطي هذه الشحنة = القيمة الآتية:

$$1e = 1.6021764 \times 10^{-19} coul$$

في حالة وجود شحنات نقطية q_1, q_2, q_3, \dots موضعها في النقط

في الشحنة النقطية Q الموجودة في النقطة M تساوي المجموع المتجه للقوى التي تؤثر بها كل شحنة فيما لو كانت بمفردها في الشحنة Q ، لرمز $\sum \vec{r}_1, \vec{r}_2, \vec{r}_3, \dots, \vec{r}_n$ لمتجهات الواحدة المحمولة والموجهة باتجاه المتجهات $\overrightarrow{M_1 M}, \overrightarrow{M_2 M}, \dots, \overrightarrow{M_n M}$ على الترتيب فإن قوة كولون تعطى بالعلاقة:

$$\begin{aligned} \vec{F} &= k \frac{q_1 q}{(M_1 M)^2} \vec{r}_1 + k \frac{q_2 q}{(M_2 M)^2} \vec{r}_2 + \dots + k \frac{q_n q}{(M_n M)^2} \vec{r}_n \\ &= k \sum_{i=1}^n \frac{q_i q}{(M_i M)^2} \vec{r}_i \end{aligned}$$

أما في حالة وجود توزع مستمر للشحنة فنميز ثلاثة حالات لحساب قوة كولون:

- توزع خططي للشحنة بكثافة خطية متناظمة λ ؛ نأخذ عنصر الطول $d\ell$ ، تقع النقطة N عليه، فالشحنة التي يحملها هذا العنصر تكون $dq = \lambda d\ell$ ، وتكون قوة كولون التي تؤثر بها في شحنة Q الموجودة في النقطة M تساوي:

$$d\vec{F} = k \cdot \frac{q \cdot \lambda d\ell_N}{(MN)^2} \cdot \vec{r}_{MN}$$

وتكون قوة كولون الكلية الناتجة عن السلك المشحون في الشحنة Q تساوي جمجمة القوى التي تؤثرها الشحنة العنصرية $\lambda d\ell$ الموجودة في عناصر الطول $d\ell$ ؛

$$\vec{F} = \int_L d\vec{F} = k \int_L \frac{q \cdot \lambda d\ell_N}{(MN)^2} \cdot \vec{r}_{MN}$$

- توزع سطحي للشحنة بكثافة سطحية متناظمة σ ؛ نأخذ عنصر سطح قدره dS ، تقع النقطة N فيه، فتكون الشحنة التي يحملها هذا السطح العنصري dS تساوي: $dq_N = \sigma dS$ وتكون قوة كولون الكلية، الناتجة عن السطح المشحون، في الشحنة Q الموضوعة في النقطة M تساوي:

$$\vec{F} = k \int_s \frac{q \cdot \sigma \cdot dS}{(MN)^2} \cdot \vec{r}_{MN}$$

C - توزع حجمي للشحنات بكتافة حجمية متناظمة ρ : تأخذ الشحنة الحجمي قدره dV ، تقع النقطة N في، تكون الشحنة التي يحملها هذا المحم العنصري نتساوي: $dq_N = \rho \cdot dV_N$ ، و تكون قوة كولون الكلية الناتجة عن المحم المشحون في الشحنة N الموضعية في النقطة M نتساوي:

$$\vec{F} = k \int_v \frac{q \cdot \rho \cdot dV}{(MN)^2} \cdot \vec{r}_{MN}$$

مثال 1 - 1 :

احسب القوة الكهربائية المعاكسة (قوة التجاذب) بين الالكترون والبروتون في ذرة الهيدروجين . إذا كانت المسافة بينهما $5,3 \times 10^{-11} \text{ m}$ تقريباً وقارنها مع قوة التجاذب الثقلية القائمة بينهم، علماً أنّ شحنة الالكترون $e = 1,6 \times 10^{-19} \text{ C}$ ، $m_p = 1,67 \times 10^{-27} \text{ kg}$ ، $m_e = 9,1 \times 10^{-31} \text{ kg}$

الحل:

بما أنّ شحنة الالكترون سالبة -e و شحنة البروتون موجبة +e فالقدرة بينهما جاذبة و تعطى بقانون كولون:

$$F = k \frac{|q_1 \cdot q_2|}{r^2} = 9 \cdot 10^9 \frac{|1,6 \times 10^{-19}|^2}{(5,3 \times 10^{-11})^2} = 8,2 \times 10^{-8} \text{ N}$$

إنّ قوة التجاذب الثقلية تعطى بقانون نيوتن المتعلق بالجاذبية العامة:

$$F = G \frac{m_1 \cdot m_2}{r^2} = G \frac{m_e \cdot m_p}{r^2} = 6,67 \times 10^{-11} \frac{9,1 \times 10^{-31} \times 1,67 \times 10^{-27}}{(5,3 \times 10^{-11})^2} = 3,6 \times 10^{-47} \text{ N}$$

لاحظ من هذا المثال أنّ قوة التجاذب الكهربائية أكبر بكثير من قوة التجاذب الثقلية ويمكن القول بأنّ قوة التجاذب الثقلية مهملة تماماً أمام قوة التجاذب الكهربائية المعاكسة.

مثال 1-2

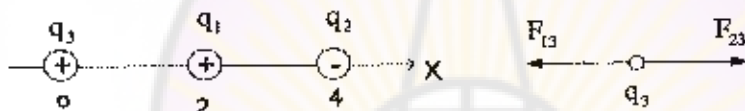
ما هي قوة التدافع بين بروتونين في نواة ذرة الحديد إذا علمت أن المسافة الفاصلية بينهما تساوي $m = 4 \times 10^{-15} \text{ m}$ تقريباً.

$$F = k \frac{|q_1 \cdot q_2|}{r^2} = 9 \times 10^9 \frac{|1,6 \times 10^{-19}|^2}{(4 \times 10^{-15})^2} = 14,4 \text{ N}$$

مثال 1-3

وضعت شحنتان نقطيتان على المحور ox كما هو مبين بالشكل، الأولى $q_1 = 1\text{nC}$ عند النقطة $x_1 = 2\text{cm}$ و الثانية $q_2 = -3\text{nC}$ عند النقطة $x_2 = 4\text{cm}$

أوجد القوة المؤثرة على الشحنة الثالثة $q_3 = 5\text{nC}$ الموجودة عند المبدأ.



الحل:

$$F_{13} = k \frac{|q_1 \cdot q_3|}{r^2} = 9 \times 10^9 \frac{|1 \times 10^{-9} \times 5 \times 10^{-9}|}{4 \times 10^{-4}} = 11,2 \times 10^{-5} \text{ N} = 112 \mu\text{N}$$

$$F_{23} = k \frac{|q_2 \cdot q_3|}{r^2} = 9 \times 10^9 \frac{|3 \times 10^{-9} \times 5 \times 10^{-9}|}{16 \times 10^{-4}} = 8,4 \times 10^{-5} \text{ N} = 84 \mu\text{N}$$

مخلصة القوى تساوي:

$$F_x = F_{23} - F_{13} = -2,8 \times 10^{-5} \text{ N} = -28 \mu\text{N}$$

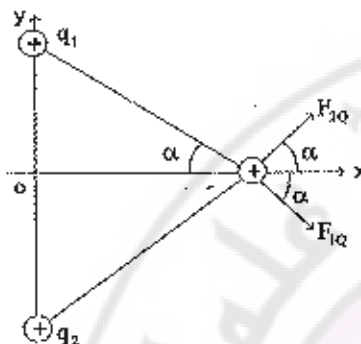
و اتجاهها نحو المسينات السالبة.

مثال 1-4

وضعت شحنتان نقطيتان متتسارتين على المحور oy كـ $q_1 = q_2 = 2\mu\text{C}$

هو مبين في الشكل، الأولى عند النقطة $y_1 = 0,3\text{m}$ و الثانية عند النقطة $y_2 = -0,3\text{m}$ ما هي مخلصة القوى المؤثرة على الشحنة $Q = 4\mu\text{C}$ الموجودة عند النقطة $X = 0,4\text{m}$ و حدد جهتها.

الحل:



بسبب التمازج في توضع الشحنات في المستوى oxy فإن:

$$F_{1Q} = F_{2Q} = 9 \times 10^9 \frac{4 \times 10^{-6} \times 2 \times 10^{-6}}{0,25} = 0,288\text{N}$$

$$F = \sqrt{F_x^2 + F_y^2} = F_x$$

$$F_x = 2F_{1Q} \cos \alpha = 2F_{2Q} \cos \alpha$$

$$F_x = 2 \times 0,288 \times \frac{0,4}{0,5} = 0,46\text{N}$$

إذًا مخلصة القوى المؤثرة في الشحنة Q تساوي $F = F_x = 0,46\text{N}$ و جهتها نحو محور السينات الموجبة.

مثال 5 - 1:

كرتان مشحونتان بالتساوي، كتلة كل منها $0,1\text{g}$ ، و معلقتان من نفس النقطة بجيطين طول كل منها 13 cm . بفعل التدافع الكهربائي بينهما ، استقرت الكرتان بحيث كانت المسافة بينهما تساوي 10cm ، احسب الشحنة Q على كل كرة

الحل:

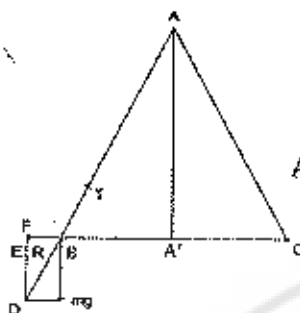
لتفرض الكرتان عند النقطتين C ، B تفصلهما المسافة 10 cm ، إن الكرة الموجدة عند النقطة B في حالة اتزان تحت تأثير ثلاث قوى، و كذلك الكرة الثانية:

- قوة الشد T في الحيط

- قوة المقالة الناتجة عن وزن الكرة mg

- القوة الكهربائية الناتجة عن تناقض الشحنتين F

حيث تكون دوماً قوة الشد T تساوي و تعاكس المخلصة R للقوىن mg و F .



من الشكل نلاحظ: $AA' = \sqrt{(13)^2 - (5)^2} = 12\text{ cm}$
و من تشابه المثلثات $\triangle ABA'$ و $\triangle BDE$ نجد:

$$\frac{F}{mg} = \frac{BA'}{AA'} \quad \frac{F}{0,1 \times 10^{-4} \times 9,8} = \frac{5}{12} \quad F = 4,1 \times 10^{-4} N$$

و هذه القوة حسب قانون كولون، تساوي:

$$4,1 \times 10^{-4} = k \cdot \frac{Q^2}{Bc^2} = 9 \times 10^9 \cdot \frac{Q^2}{100 \times 10^{-4}}$$

و منها نجد الشحنة Q على كل كرة:

$$Q = 2,1 \times 10^{-8} C \approx 0,021 \mu C$$

مسائل

- 1- ما هو عدد الالكترونات الموجودة ضمن شحنة قدرها $41\mu C$ لها و $41PC$
- 2- تكون المسافة بين البروتونين الموجودين ضمن نواة الهيليوم حوالي $10^{-15} m$ احسب قوة تดاعهما.
- 3- شحنة قدرها $4.0\mu C = q_1$ موجودة في مبدأ الاحداثيات. وشحنة أخرى قدرها $6.0\mu C = q_2$ موجودة على المحور X عند النقطة $x = 3 m$. أوجد القوة المؤثرة على الشحنة q_2 .
- 4- ثلات شحنات نقطية موجودة على المحور X في الموضع X في الموضع $x = -3$ عند $q_1 = -6\mu C$ ، m ، $q_2 = 4\mu C$ عند المبدأ ، m عند $q_3 = -6\mu C$. أوجد القوة المؤثرة على q_1 .
- 5- ثلات شحنات موجودة عند زوايا مربع طول ضلعه L. الشحنتان الموجودتان عند المزاوietين المتقابلين موجبتان، والثالثة سالبة، وللشحنات الثلاث القيمة المطلقة q نفسها. أوجد القوة التي تؤثر بها هذه الشحنات الثلاث على شحنة رابعة قدرها $q +$ موجودة في الزاوية الرابعة للمربع.
- 6- شحنة نقطية $q = 4 \times 10^{-7} coul$ متوضعة على محور حلقة مشحونة بشكل متھانس كثافتها الخطية $\lambda = 5 \times 10^{-6} \frac{coul}{m}$ فإذا كانت المسافة بين الشحنة q ومركز الحلقة تساوي إلى $d = 4 \times 10^{-2} m$ ونصف قطر الحلقة $r = 3 \times 10^{-2} m$ فاحسب القوة المؤثرة على الشحنة q .
- 7- ليكن لدينا قضيب طوله a مشحون بانتظام بكثافة خطية λ بشحنة مقدارها Q . لتكون شحنة نقطية q متوضعة في نقطة واقعة على استقامة هذا القضيب وعلى بعد a من إحدى نهايتيه. احسب القوة التي تؤثر بها شحنة القضيب على الشحنة النقطية.

8- ثلاث شحنات كهربائية قيمتها كل منها $q = 10^{-7} \text{ coul}$ متوضعة على رؤوس مثلث متساوي الأضلاع طول ضلعه a ، أوجد قيمة الشحنة السالبة التي يجب وضعها في مركز المثلث حتى تتوافق مجموعة هذه الشحنات.



الفصل الثاني
الحقل
الكهربائي

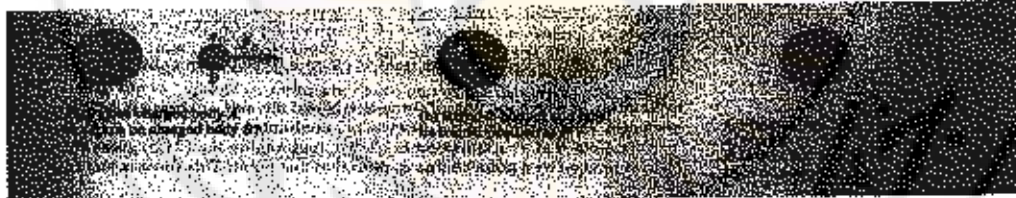
ELECTRIC FIELD



٢ - ١ لتعريف الحقل الكهربائي :Definition of Electric Field

وضعت فكرة الحقل الكهربائي لتسهيل دراسة التفاعلات بين الأجسام المشحونة كهربائياً، حيث تتفاعل هذه الأجسام مع بعضها البعض بدون أن يكون بينهم أي صلة مادية . ولا يدرى أحد سر ذلك . إنما هذا التأثير المتبادل هو واقع تجريبي يدلنا على أن الأجسام المشحونة تتفاعل مع بعضها هذه الكيفية . وعلى كل فإن من المفيد أن نفكر بأن كل جسم مشحون يُحدث تغيراً في أحوال الفضاء المحيط به مختلفاً تماماً مما كانت عليه قبل بحثه هذه الأجسام المشحونة .

لأخذ جسمين مشحونين إيجابياً A و B . فحسب قانون كولون، يوجد بينهما قوة تدفع P الشكل (a - 2 - 1) . تبعد الآن الجسم B عن مكانه ، و لتكن النقطة P هي نقطة الفضاء التي كان يشغلها الجسم B سابقاً . و نقول إن الجسم المشحون A يولد حقلًا كهربائياً في النقطة P الشكل (b - 1 - 1) . و إذا أعيد الجسم المشحون B إلى P نعتبر أن الحقل هو الذي يوتر في B بقوة . أو يطبق على B قوة لا الجسم A مباشرة . و لما كان الجسم B يظل تحت تأثير قوة إذا تقل في جميع نقاط الفضاء المحيطة بالجسم A فإن الفضاء المحيط به A هو أيضاً حقل كهربائي .



الشكل (1 - 2 - 1)

يمكن بنفس الطريقة أن نعتبر الجسم B يولد حقلًا كهربائياً و أن هذا الحقل سيطبق قوة على الجسم A بنفس المبدأ . إن الاختبار التجريبي لوجود حقل الكهربائي في نقطة ما يقتصر على وضع جسم مكهرب، يسمى شحنة الاختبار، في تلك النقطة . فإذا أثرت قوة، ذات أصل كهربائي، في شحنة الاختبار . استنتجنا أنه يوجد حقل كهربائي في تلك النقطة . انظر الشكل (c - 1 - 2)

نقول إنّه يوجد حقل كهربائي في نقطة ما، فيما إذا أثّرت قوة ذات أصل كهربائي، في كل جسم مكهرب نصّبه في تلك النقطة. ولّكى نعرف هل هذه القوة ذات أصل كهربائي أم لا. نقارن بين القوتين المطبقيتين على جسم الاختبار، عندما يكون مشحوناً وعندما يكون غير مشحون فالقوة التي يلاحظ وجودها عندما يكون جسم الاختبار مشحوناً وتحتفي عندما يكون غير مشحون، هي قوة ذات أصل كهربائي .

نعرف شحنة الاختبار بأنّها شحنة كهربائية خيالية موجبة وصغيرة جدّاً بحيث يمكننا إهمال القوة الناشئة عنها في الشحنات المجاورة لها .

لما كانت القوة مقداراً شعاعياً فالحقل الكهربائي هو مقدار شعاعي أيضاً . أي يُمثل بمحجّة، لها نفس الإستقامة . أي أنّ منحى الحقل الكهربائي في نقطة ما من الفضاء وجهته هما منحى وجّهة القوة التي يؤثّر بها الحقل على شحنة موجبة موضوعة في تلك النقطة . و هكذا، نعرف قيمة الحقل أو شدّته E في نقطة ما بمحاصيل قسمة القوة F التي يطبقها الحقل على الجسم الاختباري، على الشحنة q_0 لهذا الجسم الاختباري، أو بعبارة أخرى إنّ قيمة الحقل الكهربائي في نقطة ما تساوي قيمة القوة المطبقة على وحدة الشحنة في تلك النقطة .

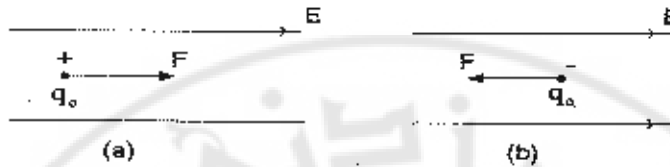
$$\vec{E} = \frac{\vec{F}_0}{q_0} \quad (1)$$

نستعمل عبارة محجّة الحقل الكهربائي في نقطة ما، تعنى شدة الحقل الكهربائي في تلك النقطة أو أحياناً شدة الحقل فقط . وفي الجملة المكتوبة، حيث تقدر القوى بالنيوتن والشحنات بالكولون، تقدر شدة الحقل الكهربائي بالنيوتن على الكولون . يمكن كتابة العلاقة (1) بالشكل الآتي أيضاً:

$$\vec{F}_0 = q_0 \cdot \vec{E} \quad (2)$$

ويعنّاها أنّ القوة التي يطبقها حقل كهربائي شدّته \vec{E} على شحنة قدرها q_0 تساوي شدة الحقل بالشحنة .

يمكن أن تكون الشحنة الاختبارية q_0 موجبة أو سالبة . إذا كانت q_0 موجبة فإن \vec{F} و \vec{E} لها نفس الاتجاه شكل (a - 2 - 2) و إذا كانت q_0 سالبة فإن \vec{F} و \vec{E} معاكسان بالاتجاه، كما هو موضح بالشكل (b - 2 - 2) .



شكل (2 - 2)

لتقارن العلاقة (2)، بقوة الجاذبية الأرضية على الكتلة m_0 والمعطاة بالعلاقة:

$$\vec{F}_g = m_0 \vec{g} \quad (3)$$

حيث \vec{g} تمثل تسارع الجاذبية الأرضية، وبقسمة طرفي العلاقة على m_0 نجد:

$$\vec{g} = \frac{\vec{F}_g}{m_0} \quad (4)$$

يمكن أن ننظر إلى \vec{g} بأنها تمثل قوة الجاذبية الأرضية على واحدة الكتلة، وهي مشابهة للعلاقة (1)، وبالتالي يمكننا القول بأن \vec{g} تمثل حقل الجاذبية الأرضية.

2 - 2 حساب شدة الحقل الكهربائي Electric field Calculation

شرحنا في الفقرة السابقة، طريقة تجريبية لقياس شدة الحقل الكهربائي في نقطة ما، وتعتمد الطريقة على وضع شحنة اختبارية في تلك النقطة وقياس القوة المطبقة عليها . ثم أخذ النسبة بين القوة و الشحنة . هذا ويمكن حساب شدة الحقل الكهربائي في نقطة ما باستخدام قانون كولون . إذا كانت مقادير الشحنات المشتركة في إحداث الحقل معروفة وكل ذلك أوضاعها .

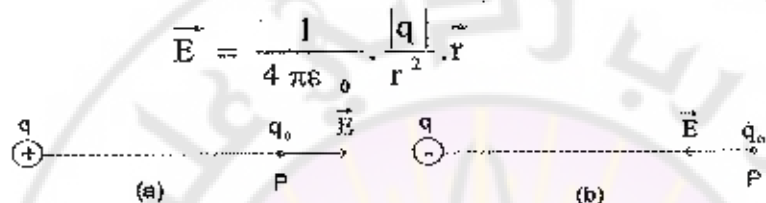
وهكذا، لكي نجد قيمة شدة الحقل في نقطة ما من الفضاء مثل P تبعد مسافة r عن الشحنة q . تصوّر شحنة اختبارية q_0 موضوعة في P ، فقانون كولون يعطينا مقدار القوة المطبقة على الشحنة الاختبارية كالتالي:

$$F_0 = \frac{1}{4\pi\epsilon_0} \frac{|q \cdot q_0|}{r^2} \quad (5)$$

وبحسب العلاقة (1) تكون قيمة المُحَقَّل الكهربائي متساوية:

$$E = \frac{1}{4\pi\epsilon_0} \cdot \frac{|q|}{r^2} \quad (6)$$

وياستخدام شعاع الواحدة cm يمكن كتابة المُحَقَّل الكهربائي بشكل شعاعي:

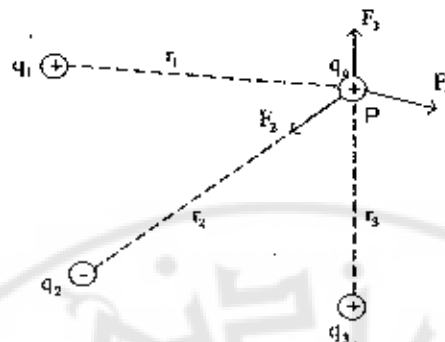


الشكل (3 - 2)

و تكون جهة المُحَقَّل الكهربائي متعدلة عن الشحنة q إذا كانت هذه الشحنة موجبة ومتوجهة نحو q إذا كانت سالبة، كما هو موضح بالشكل (3 - 2).

من أجل حساب شدة المُحَقَّل الكهربائي، الناتج عن شحنات كهربائية في نقطة ما من الفضاء، تُميّز عادةً بين حالتين من الشحنات، الأولى عندما تكون الشحنات متفضلة، أي أن المسافة بين الشحنات كبيرة جداً بالمقارنة مع أبعادها ، و الثانية عندما تكون الشحنات متصلة كثوزع عدد لا يُحصى من الشحنات على مساحة أو سطح أو حجم .

في الحالة الأولى، لنفرض لدينا عدّد من الشحنات النقطية الماثقة صلة q_1, q_2, \dots, q_n واقعة على الأبعاد r_1, r_2, \dots, r_n من النقطة المفروضة P ، الشكل (2 - 4).



الشكل (4 - 2)

فإن كل شحنة تطبق قوة على شحنة الاختبار q_0 الموضوعة في النقطة P . وتكون القوة المحسنة والمطبقة على شحنة الاختبار هي التمجيحة المخالصة من جمجم هذه القوى شعاعياً:

$$\vec{F}_0 = \vec{F}_1 + \vec{F}_2 + \vec{F}_3 + \dots = q_0 \cdot \vec{E}_1 + q_0 \cdot \vec{E}_2 + q_0 \cdot \vec{E}_3 + \dots$$

وأستناداً إلى العلاقة (1) نجد:

$$\vec{E} = \vec{E}_1 + \vec{E}_2 + \vec{E}_3 + \dots = \sum_{i=1}^n \vec{E}_i = k \sum_{i=1}^n \frac{q_i}{r^2} \hat{r} \quad (8)$$

أما في الحالة الثانية، فإننا نقسم الشحنات إلى أجزاء متناهية في الصغر dq . وبصبح عندئذ المجموع الوارد في العلاقة (8) تكاملاً ويكون:

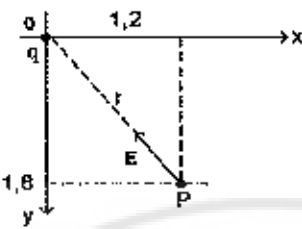
$$\vec{E} = \frac{1}{4\pi\epsilon_0} \int \frac{dq}{r^2} \hat{r} \quad (9)$$

2 - 3 تطبيقات على حساب شدة الحقل الكهربائي Applications

مثال (1 - 2):

وضعت شحنة كهربائية 8 nC في مبدأ الإحداثيات، أوجد المخلل الكهربائي في النقطة $P(1.2 \text{ m}, -1.6 \text{ m})$

المخلل:

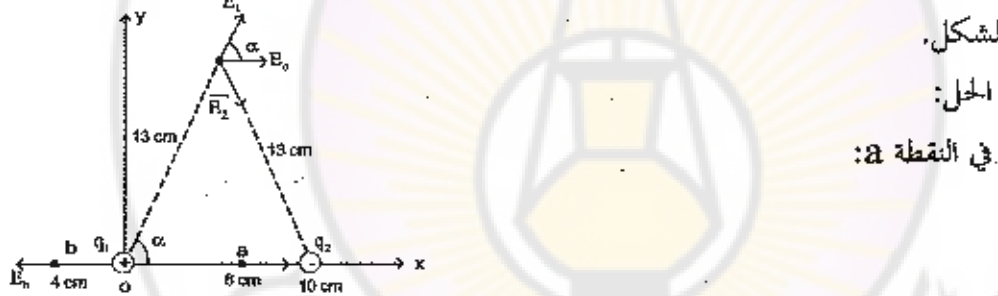


$$r = \sqrt{x^2 + y^2} = \sqrt{(1,2)^2 + (-1,6)^2} = 2\text{m}$$

$$E = k \frac{|q|}{r} = 9 \times 10^9 \times \frac{|-8 \times 10^{-9}|}{4} = 18 \frac{\text{N}}{\text{C}}$$

مثال (2 - 2) :

شحتنات كهربائية متساويةان بالقيمة المطلقة و مختلفةان بالإشارة، المسافة بينهما 10 cm، أوجد المقدار الكهربائي الناتج عندهما، في النقاط a , b , c ، b ، a كما هو موضح في الشكل.



$$E_1 = k \frac{|q_1|}{r_1^2} = 9 \times 10^9 \cdot \frac{12 \times 10^{-9}}{(0,06)^2} \\ = 3 \times 10^4 \text{ N/C}$$

$$E_2 = k \frac{|q_2|}{r_2^2} = 9 \times 10^9 \cdot \frac{12 \times 10^{-9}}{(0,04)^2} \\ = 6,8 \times 10^4 \text{ N/C}$$

$$E_a = E_1 + E_2 = (3 + 6,8) \cdot 10^4 \text{ N/C} \\ = 9,8 \times 10^4 \text{ N/C}$$

وتقع على محور السينات و بالاتجاه الموجب .

في النقطة b:

$$E_1 = k \cdot \frac{|q_1|}{r_1^2} = 9 \times 10^9 \times \frac{12 \times 10^{-9}}{(0,04)^2} = 6,8 \times 10^4 \text{ N/c}$$

$$E_2 = k \cdot \frac{|q_2|}{r_2^2} = 9 \times 10^9 \times \frac{12 \times 10^{-9}}{(0,14)^2} = 0,55 \times 10^4 \text{ N/c}$$

فالمحصلة تكون:

$$E_b = -E_1 + E_2 = (-6,8 + 0,55) \times 10^4 \text{ N/c} = -6,2 \times 10^4 \text{ N/c}$$

فالمحصلة تقع على محور السينات و بالاتجاه السالب .

في النقطة C تكون قيمة الحقولين E_1, E_2 متساوين:

$$E_1 = E_2 = k \cdot \frac{q}{r^2} = 9 \times 10^9 \times \frac{12 \times 10^{-9}}{0,13} = 6,39 \times 10^3 \text{ N/c}$$

$$E_c = \sqrt{E_x^2 + E_y^2} = E_x$$

$$E_{1x} = E_{2x} = E_1 \cos \alpha = 6,39 \times 10^3 \times \frac{5}{13} = 2,46 \times 10^3 \text{ N/c}$$

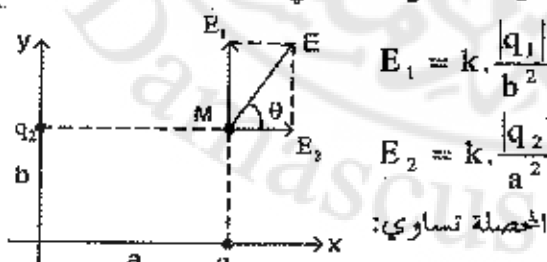
و بالتالي فالمحصلة تساوي:

$$E_c = (E_c)_x = E_{1x} + E_{2x} = 2 \times 2,46 \times 10^3 = 4,9 \times 10^3 \text{ N/c}$$

مثال (3 - 2):

شحتنان نقطيان موجبيان، الأولى q_1 تقع على المقرر ox و فاصلتها a ، والثانية

q_2 تقع على المحور oy و ترتبها b . أوجد الحقل الكهربائي عند النقطة M (a , b)



$$E_1 = k \cdot \frac{|q_1|}{b^2}$$

$$E_2 = k \cdot \frac{|q_2|}{a^2}$$

الحل:

و حسب الشكل الجانبي تكون قيمة المحصلة تساوي:

$$E = \sqrt{E_1^2 + E_2^2} = K \left[\left(\frac{q_1}{b^2} \right)^2 - \left(\frac{q_2}{a^2} \right)^2 \right]^{\frac{1}{2}}$$

و يصنع زاوية θ تعطى بالعلاقة:

$$\tan \theta = \frac{E_1}{E_2} = \frac{q_1}{q_2} \left(\frac{a}{b} \right)^2$$

كانت الأمثلة السابقة تطبيقات على حساب المقل الكهربائي من أجل توزع متضمن للشحنات، وحساب المقل الكهربائي في حال توزع متضمن للشحنات لابد من تعريف كثافة الشحنات الكهربائية:

a - كثافة الشحنات الخطية λ : Linear charge density وهي الشحنة بواحدة الطول و تعطى بالعلاقة :

$$\lambda = \frac{Q}{L} \quad \text{واحدتها } \frac{C}{m}$$

b - كثافة الشحنات السطحية σ : Surface charge density وهي الشحنة في ووحدة السطح و تعطى بالعلاقة :

$$\sigma = \frac{Q}{s} \quad \text{واحدتها } \frac{C}{m^2}$$

c - كثافة الشحنة الحجمية ρ : Volume charge density وهي الشحنة في ووحدة الحجم و تعطى بالعلاقة:

$$\rho = \frac{Q}{V} \quad \text{واحدتها } \frac{C}{m^3}$$

من أجل حساب مقدمة المقل الكهربائي الذي يولده توزع مستمر للشحنات، نقسم الشحنات إلى أجزاء صغيرة و نحسب المقل الذي يولده كل جزء من هذه الأجزاء، ثم نحسب المخصصة الشعاعية للمحلول جميعها وهذا يتطلب إجراء عملية تكامل.

وفي حالة التوزع الخطى للشحنات بكثافة خطية λ ، نأخذ طولاً عصرياً dL من المسار المشحون، فهو يحمل شحنة كهربائية قيمتها $dq = \lambda dL$. فيتولد عن هذه الشحنة حقل كهربائي عصري $d\vec{E}$ في نقطة ما M تبعد مسافة r عن dq قيمته:

$$d\vec{E} = \frac{1}{4\pi\epsilon_0} \cdot \frac{dq}{r^2} \hat{r} = \frac{1}{4\pi\epsilon_0} \cdot \frac{\lambda dL}{r^2} \hat{r}$$

حيث \vec{r} ، متجهة الوحدة على المحور الواصل بين مركز الطول العنصري dL والنقطة M . وبعملية تكامل على طول السلك L نحصل على قيمة الحقل الكهربائي E ، الناشئ عن كامل السلك في النقطة M المراد حساب الحقل فيها:

$$\vec{E} = \int d\vec{E} = \frac{1}{4\pi\epsilon_0} \int \frac{\lambda.dL}{r^2} \hat{r}$$

وفي حالة التوزع السطحي للشحنات: نأخذ سطحياً عنصرياً صغيراً dS ، فهو يحمل شحنة نقطية $dq = \sigma.dS$ ، ونطبق عليه نفس العلاقات السابقة، ثم بعملية تكامل على كامل السطح المشحون، نحصل على الحقل الكهربائي في نقطة ما تبعد مسافة r عن مركز dS ونكتب:

$$\vec{E} = \frac{1}{4\pi\epsilon_0} \int \frac{\sigma.dS}{r^2} \hat{r}$$

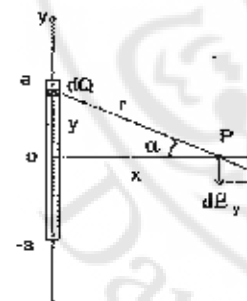
بنفس الطريقة، في حالة التوزع الحجمي، نأخذ حجماً صغيراً dV ، فهو يحوي شحنة عنصيرية $dq = \rho.dV$ ونحصل على العلاقة التالية:

$$\vec{B} = \frac{1}{4\pi\epsilon_0} \int \frac{\rho.dV}{r^2} \hat{r}$$

مثال (4-2):

توزيع شحنة كهربائية موجبة Q بكثافة

خطية متقطمة λ على قطعة مستقيمة طولها $L = 2a$ ، والمطلوب حساب الحقل الكهربائي الناشئ عن هذه الشحنة في نقطة P تقع على محور هذه القطعة وتبعد عنها . كما هو موضح بالشكل الجانبي.



نأخذ، طولاً عنصرياً من القطعة المستقيمة $dL = dy$ ، يحمل الشحنة dQ

ويقع على بعد z من مركز القطعة O وعلى بعد r من النقطة P ، يولد هذا العنصر جقاًًا عنصرياً يعطي بالعلاقة:

$$\frac{dE}{dE} = \frac{1}{4\pi\epsilon_0} \cdot \frac{dQ}{r^2}$$

$$\text{وـما أن } r = (x^2 + y^2)^{\frac{1}{2}} \text{ وـمن الشكل } dQ = \lambda dy \text{ ، } \lambda = \frac{Q}{2a} \text{ نجد:}$$

$$dE = \frac{Q}{4\pi\epsilon_0} \cdot \frac{dy}{2a(x^2 + y^2)}$$

إن كل عنصر مثل dQ من القضيب يولد جقاًًا عنصرياً، ويكون مجموع هذه المقول العنصرية مساوياً إلى المحصلة العامة المطلوبة.

لما أن النقطة P واقعة على محور القطعة المستقيمة $L = 2a$. فإنه يمكن تحديد اتجاه المقل E بسهولة، نلاحظ أنه لو استطعنا جمع المقول العنصرية على محوري الإحداثيات ox ، oy ، لوجدنا أن محصلة المسلط على المحور oy للمقول العنصرية المترافق عن أحد نصفين القطعة المستقيمة تعاكس بالاتجاه وتساوي بالقيمة العددية المحصلة المسلطية المترادفة عن النصف الآخر. أما المسلط على المحور ox فكلاها ذات اتجاه واحد، لذا تجمع و تكون محصلة واحدة هي المحصلة العامة المطلوبة. يعني أن اتجاه المقل في P هو الاتجاه العمودي على القضيب، ولتحسب قيمته العددية، إذا كان مسلط dE على ox هو dE_x فيكون:

$$dE_x = dE \cos\alpha = dE \cdot \frac{x}{r} = dE \cdot \frac{x}{(x^2 + y^2)^{\frac{1}{2}}}$$

وـنلاحظ الشكل وـتعريض dE بقيمته نجد:

$$dE_x = \frac{Q}{4\pi\epsilon_0} \cdot \frac{x \cdot dy}{2a \cdot (x^2 + y^2)^{\frac{3}{2}}}$$

ولإيجاد محصلة المقل علينا أن نكامل العلاقة الأخيرة من $y = -a$ إلى $y = +a$

$$E_x = \frac{1}{4\pi\epsilon_0} \cdot \frac{Qx}{2a} \int_{-a}^a \frac{dy}{(x^2 + y^2)^{\frac{3}{2}}} = \frac{Q}{4\pi\epsilon_0} \cdot \frac{1}{x\sqrt{x^2 + a^2}}$$

وهكذا محصلة الحقل الكهربائي في P تكون:

$$\vec{E} = \frac{1}{4\pi\epsilon_0} \cdot \frac{Q}{x\sqrt{x^2 + a^2}} \hat{i}$$

حالات خاصة:

- إذا كانت $x \gg a$ أي النقطة P بعيدة جداً عن القطعة المستقيمة، يمكن

إهمال a و تصبح قيمة الحقل:

$$\vec{E} = \frac{1}{4\pi\epsilon_0} \cdot \frac{Q}{x^2} \hat{i}$$

- إذا كان طول القطع L = 2a لا متاهياً في الطول، وكان x محدوداً أو صغيراً جداً بالمقارنة مع طول القطعة المستقيمة ($L = 2a \gg x$) وباستخدام

$$\text{العلاقة } \lambda = \frac{Q}{2a} \Rightarrow Q = 2a\lambda$$

$$\vec{E} = \frac{1}{2\pi\epsilon_0} \cdot \frac{\lambda}{x\sqrt{\left(\frac{x}{a}\right)^2 + 1}} \hat{i} \quad \text{نجد:}$$

و بما أن $x \ll L$ فيمكن إهمال المد $\frac{x}{a}$ و تصبح قيمة الحقل:

$$\vec{E} = \frac{\lambda}{2\pi\epsilon_0 x} \hat{i}$$

نلاحظ أن الحقل في هذه الحالة مناسب عكسياً مع بعد النقطة عن القطعة المستقيمة L

مثال (2 - 5):

حلقة دائريّة ناقلة، نصف قطرها a و مشحونة بانتظام بشحنة كليّة موجبة قدرها Q. أوجد الحقل الكهربائي في نقطة P تقع على محور الحلقة و تبعد مسافة x

عن مركبها .

الحل:

نأخذ جزءاً عنصرياً ds من محيط الخلقة، شحنته dQ ، فإنه يولد في النقطة P حقولاً شدته تعطى بالعلاقة:

$$dE = \frac{1}{4\pi\epsilon_0} \cdot \frac{dQ}{r^2} = \frac{1}{4\pi\epsilon_0} \cdot \frac{dQ}{x^2 + a^2}$$



نلاحظ من الشكل أن شعاع الحقل \bar{dE} يقع في المستوى xoy ويصنع زاوية α مع المحور ox ، وعكن أن يُفرق إلى مركبتين على المحاور ox ، oy . وعندما نأخذ جميع أجزاء الخلقة يجد أن محصلة المركبات dE_y على المحور oy تكون معدومة بسبب التباظر، وتكون محصلة الحقل هي مكاملة المركبات على الاستقامة ox .

$$\begin{aligned} dE_x &= dE \cos \alpha = \frac{1}{4\pi\epsilon_0} \cdot \frac{dQ}{x^2 + a^2} \cdot \frac{x}{\sqrt{x^2 + a^2}} \\ &= \frac{1}{4\pi\epsilon_0} \cdot \frac{x \cdot dQ}{(x^2 + a^2)^{\frac{3}{2}}} \end{aligned}$$

لإيجاد محصلة الحقل على المحور ox ، نكامل العلاقة الأخيرة:

$$E_x = \int \frac{1}{4\pi\epsilon_0} \cdot \frac{x \cdot dQ}{(x^2 + a^2)^{\frac{3}{2}}}$$

إن كلية المقادير تحت إشارة التكامل هي ثابتة، ما عدا المقدار dQ . حيث تكامله هو الشحنة الكلية Q . فتكون محصلة الحقل تساوي:

$$\vec{E} = E_x \hat{i} = \frac{1}{4\pi\epsilon_0} \cdot \frac{Qx}{(x^2 + a^2)^{\frac{3}{2}}} \hat{i}$$

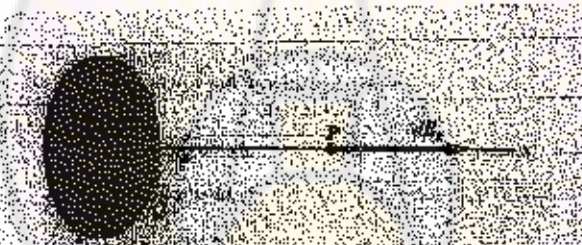
وفي الحالة الخاصة، عندما تكون P بعيدة جداً أي $x \gg a$ فيمكن إهمال a ، وتصبح قيمة المقل متساوية:

$$\vec{E} = \frac{1}{4\pi\epsilon_0} \cdot \frac{Q}{x^2} \hat{i}$$

العبارة الأخيرة، تعني بأنّ شحنة الحلقة أصبحت كشحنة نقطية.

مثال (2 - 6):

قرص دائري نصف قطره R ، مشحون بانتظام بشحنة كثافة قدرها σ وبكافية سطحية، أوجد المقل الكهربائي الناتج عن هذا القرص في النقطة P تقع على محوره وتبعد مسافة x عن مركزه.



في هذه الحالة، نستطيع حساب المقل الكهربائي بمعاملة القرص على أنه بمجموعة من الحلقات المشحونة المتمرّكة وبالتالي نستخدم النتيجة في المثال السابق (2 - 5). لذلك، ننظر إلى حلقة نصف قطرها r وعرضها dr ، كما هو مبين بالشكل العلوي، إنّ مساحة هذه الحلقة هي $2\pi r dr$ وتحمل شحنة قدرها $dQ = 2\pi r dr \sigma$ والمقل الناتج عنها يعطى بالعلاقة:

$$dE_x = \frac{1}{4\pi\epsilon_0} \cdot \frac{(2\pi r dr) \sigma}{(x^2 + r^2)^{\frac{3}{2}}}$$

فيكون المقل الكلي الناتج عن كامل القرص هو عبارة متكاملة من $0 = r$ إلى

$$\therefore r = R$$

$$E_x = \int_0^R \frac{1}{4\pi\epsilon_0} \cdot \frac{(2\pi\sigma r dr) x}{(x^2 + r^2)^{\frac{3}{2}}} = \frac{\sigma x}{2\epsilon_0} \int_0^R \frac{r dr}{(x^2 + r^2)^{\frac{3}{2}}}$$

من أجل نقطة معينة مثل P تكون x ثابتة، ونفرض $Z = x^2 + r^2$ نجد قيمة المقل:

$$\begin{aligned} E = E_x &= \frac{\sigma \cdot x}{2\epsilon_0} \left[-\frac{1}{\sqrt{x^2 + R^2}} + \frac{1}{x} \right] \\ &= \frac{\sigma}{2\epsilon_0} \left[1 - \frac{1}{(R^2/x^2) + 1} \right] \end{aligned}$$

وفي الحالة الخاصة، عندما $\rightarrow \infty$ أي القرص يصبح مستوياً لا هائياً فإن قيمة المقل الكهربائي تعطى بالعلاقة:

$$E = \frac{\sigma \cdot x}{2\epsilon_0} = 2\pi k \sigma$$

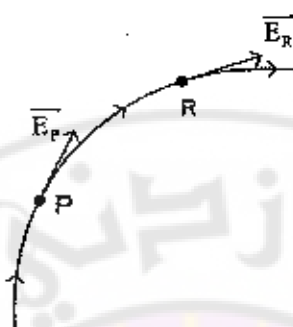
4 - خطوط الحقل الكهربائي Electric Field Lines

إن أول من أدخل مفهوم خطوط الحقل (Lines of force) هو العالم الانكليزي ميخائيل فارادي Michael Faraday (1791 - 1867). وغايته من ذلك تسهيل دراسة المقول الكهربائية، ولكن بفضل استخدام مفهوم خطوط الحقل بدلاً من مفهوم خطوط القوة.

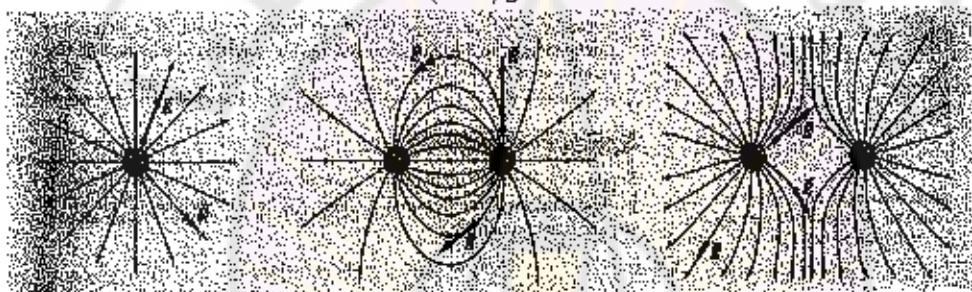
إن خط الحقل الكهربائي هو خط أو منحني وهي، يرسم في منطقة من الفراغ ويتمثل الحقل الكهربائي في كل نقطة بشاعر تكون استقامته منطبق على استقامة المناس لخطوط الحقل في تلك النقطة. وجهاهه هي جهة الحقل كما هو موضح بالشكل - (2).

يبين الشكل (2 - 6) بعضًا من خطوط الحقل الكهربائي الناتج عن شحنة كهربائية مفردة موجبة (a). وعن شحنتين متساويتين، إحداهما موجبة والأخرى

سالبة (b) وعن شحتتين موجبتين متساويتين (c).



الشكل (5 - 2)



الشكل (6 - 2)

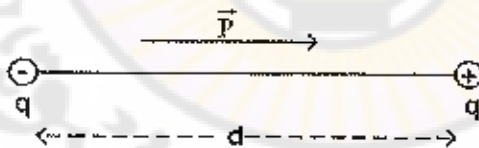
إن كل خط من خطوط الحقل الكهربائي هو خط متواصل ينتهي في أحد طرفيه بشحنة موجبة وفي طرفه الآخر شحنة سالبة. وإذا تكلمنا في بعض الأحيان بقصد التبسيط، عن شحنة معزولة ورسمنا حقلها، كما في الشكل (6 - 2 - a). فذلك يعني أن الشحنات التي تؤدي إليها خطوط الحقل هي في مكان بعيد عن هذه الشحنة المعزولة. فإذا كان الجسم المشحون الذي في الشكل (6 - 2 - a) هو مثلاً كررة صغيرة معلقة بخيط في سقف مختبر، فإن الشحنات السالبة التي تنتهي بها خطوط الحقل الخارجية من الكررة هي على جدران المختبر وأرضيه وسقفه أو على أشياء أخرى موجودة في المختبر.

في كل نقطة من نقاط الحقل الكهربائي، لا يمكن أن يكون للحقل إلا منحي

واحد. ويتبين عن ذلك أن كل نقطة من نقاط الحقل لا يمكن أن يمر منها سوى خط حقل واحد، أو بمعنى آخر إن خطوط الحقل لا تتقاطع أبداً Field lines never intersect. ويمكن طبعاً رسم خطوط الحقل المار من كل نقطة من نقاط الحقل، ولكن إذا رسمنا جميع هذه الخطوط، لأصبح الفضاء كله وكذلك سطح الشكل كله مملوء بالخطوط، ولا يمكن تغيير خط عن آخر. فإذا حدثنا عدد خطوط الحقل تجديداً مناسباً، يمكن استعمال هذه الخطوط لإظهار شدّة الحقل و شدته. ويكون ذلك بالمياعدة بين الخطوط بحيث يكون عددها الذي يختلف وحدة السطح العمودية على الخطوط، في جهة الحقل، وفي كل نقطة من الحقل متناسبًا مع شدة هذا الحقل، بحيث يكون الحقل شديداً، كما في النقطة الواقعة بين الشحنة الموجبة والشحنة السالبة الشكل (b - 2 - 6)، تكون خطوط الحقل متقاربة جداً. وأما في المناطق التي تكون فيها الشدة ضعيفة، كما هو الحال بين شحتين موجبين، الشكل (c - 2 - 6)، تكون القوة متباعدة عن بعضها.

2 - 5 ثانوي الأقطاب الكهربائي Electric Dipoles:

يُعرف ثانوي الأقطاب الكهربائي بأنه كسل شحتين كهربائيتين نقطتين متساويتين بالقيمة المطلقة ومختلفتين بالإشارة و مفصولتين عن بعضهما بالمسافة d كما هو مبين بالشكل (2 - 7).



شكل (2 - 7)

وُتعرّف العزم الكهربائي لثانوي الأقطاب electric dipole moment، ويرمز له بـ \vec{P} ، على أنه شعاع شدّة d . $P = q$ ، محمول على الخط الواصل بين الشحتين وموحد من الشحنة السالبة إلى الشحنة الموجبة .

عند وضع ثانوي الأقطاب في حقل كهربائي شدّة E ، ويصنع عزمه \vec{P}

زاوية Φ مع المfeld \vec{E} شكل (2 - 8) فإنه ينبع إلى قوتين متساوين بالقيمة و مختلفتين بالاتجاه:

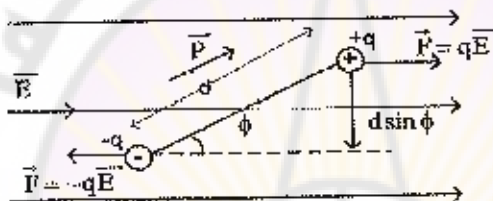
$$\vec{F}_1 = q \cdot \vec{E} \quad , \quad \vec{F}_2 = -q \cdot \vec{E}$$

فتكون محصلة القوى المؤثرة على الثنائي معدومة، ولكن هاتان القوتان ستولفان مزدوجة، تقوم بتدوير ثنائي الأقطاب، عزمها τ يعطي بالعلاقة:

$$\tau = F \cdot d \cos \Phi = q \cdot E \cdot d \sin \Phi = P \cdot E \cdot \sin \Phi$$

باستخدام الجداء الشعاعي، يمكن كتابة هذا العزم بالشكل:

$$\tau = \vec{P} \wedge \vec{E} \quad (10)$$



الشكل (2 - 8)

وبحسب قاعدة اليد اليمنى، يحول سبابة اليد اليمنى باتجاه شعاع المfeld \vec{E} وإنماها في جهة عزم ثنائي الأقطاب \vec{P} ، فتمثل الإصبع الوسطى العمودية على مستوى الإبهام والسبابة جهة عزم المزدوجة لثنائي الأقطاب. في هذه الحالة تكون جهة ز عمودية باتجاه داخل الورقة.

وهكذا، فإن ثنائي الأقطاب سوف ينبع إلى عزم قيمته معطاة بالعلاقة (10) $P E \sin \Phi$ ، يحاول تدويره إلى وضع التوازن المقابل للزاوية $\Phi = 0$. فإذا كان ثنائي الأقطاب حراً، فسيحرره العزم على الدوران وبهتز الشعاع \vec{P} حول وضع التوازن $\Phi = 0$ حتى تنتهي طاقته.

نستطيع حساب العلاقة الكامنة لثنائي الأقطاب، الموجود ضمن محقّل كهربائي منتظم، بحساب العمل اللازم لكي يচعن شعاع العزم \vec{P} زاوية Φ مع المfeld الكهربائي

. فإذا طبقنا عزماً قدره $\tau = -PE \sin \Phi$ (الإشارة السالبة تدل على العزم المعاكس) لتدوير ثانوي الأقطاب زاوية قدرها $d\Phi$ فإن العمل الذي تقوم به يساوي:

$$dw = \tau d\Phi = -PE \sin \Phi d\Phi$$

ويمكن العمل اللازم لتدوير ثانوي الأقطاب من الزاوية Φ_1 إلى الزاوية Φ_2 هو:

$$w = \int_{\Phi_1}^{\Phi_2} -PE \sin \Phi d\Phi$$

$$w = PE \cos \Phi_2 - PE \cos \Phi_1$$

إن هذا العمل يمثل تغير الطاقة الكامنة لثانوي الأقطاب من U_1 إلى U_2 أي:

$$w = U_1 - U_2$$

وقد جرت العادة أن نختار طاقة كامنة معدومة عندما يكون شعاع عزم ثانوي الأقطاب \vec{P} معادلاً لاتجاه المقل \vec{E} . أي $\frac{\pi}{2} = \Phi$ ، لتصبح الطاقة الكامنة لثانوي الأقطاب معطية

بالمعلاقة: Potential energy for a dipole

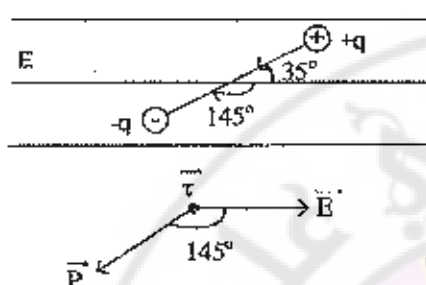
$$U = -PE \cos \Phi = -\vec{P} \cdot \vec{E} \quad (11)$$

نلاحظ من العلاقة الأخيرة أن الطاقة الكامنة لثانوي الأقطاب تكون أصغر مما يمكن $U = -PE$ عندما $\Phi = 0$ أي $\vec{P} \parallel \vec{E}$ ، بينما $U = +PE$ تكون أكبر مما يمكن عندما $\Phi = \pi$ أي \vec{P} يوازي \vec{E} ويعاكسه بالاتجاه، وتكون الطاقة الكامنة معدومة من أجل $\Phi = \frac{\pi}{2}$.

مثال 2 - 7:

ثنائي أقطاب كهربائي قيمته كل من شحنته $Cq = \pm 1,6 \times 10^{-19}$ ، و المسافة بينهما $d = 1,25 \times 10^{-10} \text{ m}$. وضع في حقل كهربائي شدته $5 \times 10^5 \frac{\text{N}}{\text{C}}$ ، والمطلوب

حساب:



- 1 - محصلة القوى المؤثرة على ثنائي الأقطاب
- 2 - قيمة وجهاز عزم ثباني الأقطاب
- 3 - قيمة وجهاز عزم المزدوجة لثباني الأقطاب
- 4 - الطاقة الكامنة لثباني الأقطاب في الوضع المبين

بالشكل المجاني

الحل:

1 - إن ثباني الأقطاب يخضع لقوى متساوية في القيمة ومتواكبتين بالجهة، فتكون محصلة القوى المطبقة عليه معدومة.

2 - قيمة عزم ثباني الأقطاب تعطى بالعلاقة:

$$P = q.d = 1,6 \times 10^{-19} \times 1,25 \times 10^{-10} = 2 \times 10^{-29} \text{ N.m}$$

ووجهته من الشحنة السالبة إلى الشحنة الموجبة ويصنع زاوية 145° باتجاه عقارب الساعة بالنسبة للحقل \vec{E}

3 - قيمة عزم المزدوجة تعطى بالعلاقة:

$$\tau = P.E. \sin \Phi = 2 \times 10^{-29} \times 5 \times 10^5 \times \sin 145^\circ \\ = 5,7 \times 10^{-24} \text{ N.m}$$

ووجهة العزم حسب قاعدة اليد اليمنى تكون عمودية على الورقة ونحو الخارج.

4 - الطاقة الكامنة تحسب من العلاقة:

$$U = -P.E. \cos \Phi = -2 \times 10^{-29} \times 5 \times 10^5 \times \cos 145^\circ \\ = 8,2 \times 10^{-24} \text{ J}$$



مسائل

$$\left(\frac{1}{4\pi\epsilon_0} = 9 \times 10^9 \text{ N.m}^2 / \text{coul}^2, \epsilon_0 = 8.85 \times 10^{-12} \text{ coul}^2 / \text{n.m}^2 \right)$$

- ١- يحمل جسم صغير شحنة قدرها 5×10^{-9} coul - وتنسلط عليه قوة قدرها: 20×10^{-9} n عندما يوضع في نقطة معينة من حقل كهربائي ، والمطلوب:
- a ما هي شدة الحقل الكهربائي في تلك النقطة؟
 - b كم يكون مقدار ومنحى القوة التي تنسلط على الكترون يوضع في تلك النقطة؟
- ٢- كم ينبغي أن تكون شحنة جسم كتلته g 2 لكي يبقى ساكناً في الفضاء عندما يوضع في حقل كهربائي متوجه نحو الأسفل شدته 500 n/coul ؟
- ٣- في جملة إحداثيات متعامدة، وضعت شحنة قدرها 25×10^{-9} coul في مبدأ الإحداثيات، وشحنة قدرها 25×10^{-9} coul - في النقطة (y = 0 , x = 6 m) ، ما هي شدة الحقل في:
- a $y = 0 , x = 3 \text{ m}$
 - b $y = 4 \text{ m} , x = -3 \text{ m}$
- ٤- وضعت في مبدأ الإحداثيات شحنة قدرها 16×10^{-9} coul، ووضعت شحنة أخرى بجهولة المقدار في النقطة $y = 0 , x = 3 \text{ m}$ ووضعت شحنة ثالثة مقدارها 12×10^{-9} coul في النقطة $y = 0 , x = 6 \text{ m}$ ما هو مقدار الشحنة الجھولة إذا كان الحقل الماصل في النقطة $y = 0 , x = 8 \text{ m}$ هو 20.25 n/coul ومحاجها نحو اليمين؟
- ٥- يوجد في جملة إحداثيات متعامدة شحتان نقطيان موجيكان كل منهما قدرها

١٠- $y = 0, x = -0.1 \text{ m}$, $y = 0, x = +0.1 \text{ m}$
وهما مثبتتان في النقطتين 0 ، أوجد مقدار ومنحى شدة الحقل الكهربائي في النقاط الآتية:
- المبدأ.

$$\cdot y = 0, x = 0.2 \text{ m} - \mathbf{b}$$

$$\cdot y = 0.15 \text{ m}, x = 0.1 \text{ m} - \mathbf{c}$$

$$\cdot y = 0.1 \text{ m}, x = 0 - \mathbf{d}$$

٦- نفس المسألة السابقة (٥)، مع فارق أن إحدى الشحتين النقطتين هي موجبة والأخرى سالبة.

٧- كرية صغيرة كتلتها $g = 0.1$ تحمل شحنة قدرها $3 \times 10^{-10} \text{ coul}$ وهي مربوطة بأحد طرفي خيط حريري طوله 5 cm . وقد ربط الطرف الآخر بصفحة ناقلة كبيرة تبلغ شحنتها السطحية $25 \times 10^{-6} \text{ coul/m}^2$ أوجد الزاوية التي يصنعها الخيط مع الشاقول.

٨- شحتان متساويان قيمة كل منهما $4\mu\text{C}$ + إحداثاهما في مبدأ الإحداثيات والثانية على المحور x عند النقطة $x = 8 \text{ cm}$ ، والمطلوب:

- أوجد الحقل الكهربائي عند النقطتين $x = 10 \text{ m}$, $x = 2 \text{ m}$ من المحور x .

- أوجد النقطة P من المحور x ، التي ينعدم فيها الحقل الكهربائي.

٩- شحتان نقطيتان موجيتان متساويان $q_1 = q_2 = 6n\text{C}$ موجودتان على المحور y عند النقطتين $y_1 = +3\text{cm}$ و $y_2 = -3\text{cm}$ ما هي قيمة الحقل الكهربائي وباتجاهه عند النقطة $x = 4 \text{ cm}$ من المحور x .

١٠- تخضع شحنة اختبار قدرها $q_0 = 2n\text{C}$ موجعة عند مبدأ الإحداثيات، إلى قوة قدرها $N = 8 \times 10^{-4}$ باتجاه المحور y ، والمطلوب:

a - ما هي قيمة المُحَقْل الكهربائي عند المبدأ؟

b - وما هي القوة التي تُخضع لها شحنة قدرها $4nC$ - إذاً وُضعت عند المبدأ؟

11 - وزعت شحنة قدرها $0.5\mu C$ بشكل منتظم على حلقة نصف قطرها 3 cm أو جد المُحَقْل الكهربائي على محور الحلقة عند النقطتين التي تبعد مسافة 2 cm ، 1 cm ، 0 cm عن مركز الحلقة.

12 - وُضعت شحنة على المحور x بكثافة خطية قدرها λ من النقطة $a = x$ حتى النقطة $b = x$ ، والمطلوب:

a - أوجد صيغة مركبة المُحَقْل الكهربائي باتجاه المحور y ؟

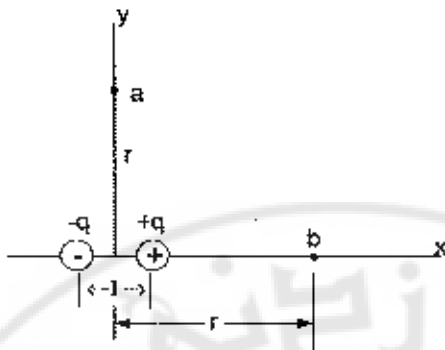
b - أثبتت أنّ الصيغة هذه تصبح مماثلة للعلاقة $E_y = \frac{2kq}{y} \cdot \sin \theta$ عندما $y = L/2$.

13 - ثالثي أقطاب مؤلف من الشحنة q موجودة عند النقطة $a = x$ والشحنة q - عند النقطة $b = x$ من المحور x ، والمطلوب:

a - ما هي جهة المُحَقْل الكهربائي عند نقاط المحور y ؟

b - أوجد صيغة تعطي قيمة المُحَقْل الكهربائي عند نقاط المحور y وأثبتت أنه من أجل نقاط بعيدة يُعطى المُحَقْل الكهربائي على المحور y بالعلاقة $-E_y = kp/y^3$ حيث $p = 2aq$ عزم ثالثي الأقطاب.

14 - يتالف ثالثي أقطاب كهربائي من زوجين من الشحنات الكهربائية لهما نفس المقدار وإشارتهما مختلفتان كما في الشكل، والمطلوب:



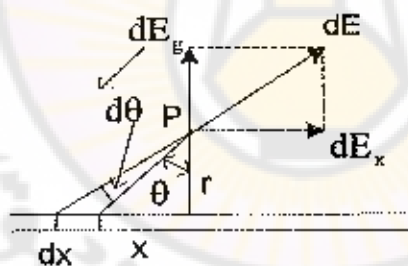
a - برهن على أن شدة المُحِلَّ الذي يولده ثالثي الأقطاب في النقطة a هي موازية إلى محور السينات وتبلغ تقريرياً:

$$E = \frac{1}{4\pi\epsilon_0} \frac{q.l}{r^3} \quad r \gg l \text{ عندما } r \gg l$$

b - برهن على أن شدة المُحِلَّ في b هي أيضاً موازية محور السينات وتبلغ تقريرياً

$$E = \frac{1}{4\pi\epsilon_0} \frac{2q.l}{r^3} \quad r \gg l \text{ عندما } r \gg l$$

15 - شحن سلك مستقيم غير متماٰه في الطول بشحنة موجبة منتظرمة قدرها λ في وحدة الطول، والمطلوب:



a - ما هي الشحنة dq في عنصر منه طوله da في الشكل.

b - ما هي شدة المُحِلَّ dE الذي يولده هذه الشحنة في النقطة P

c - بين بالكمالة أن مقدار شدة المُحِلَّ المُحاصل من كامِل السلك في النقطة P

$$\text{هو: } E = \lambda / 2\pi\epsilon_0 r$$

16- قرص نصف قطره 6 cm يحمل شحنة ذات كثافة سطحية متناظمة قدرها $30\mu\text{C/m}^2$. أوجد المقل الكهربائي على محور القرص عند النقاط 0.1 cm ، 0.02 cm ، 0.03 cm ، 0.05 cm .

17- طبقة كروية نصف قطرها 10 cm تحمل شحنة كلية قدرها $2\mu\text{C}$ موزعة بانتظام على سطحها. أوجد المقل الكهربائي في النقاط التي تبعد المسافات التالية عن مركز الطبقة، 4.0 cm ، 2.0 cm ، 10.01 cm ، 9.99 cm ، 5 cm .

18- احسب النسبة $\frac{\text{c}}{\text{m}}$ لبروتون وأوجد تسارعه ضمن حقل كهربائي منتظم قيمته 100 N/C ، ثم أوجد الزمن اللازم لتسريع بروتون ساكن من الصفر حتى السرعة 0.01 .

19- احسب قيمة واتجاه الحقل الكهربائي اللازم لموازنة كل من: الكترون ، بروتون ، قطرة زيت كتلتها 0.2 mg تحمل شحنة قدرها 10 ، كرة طاولة وزنها 25 g تحمل شحنة قدرها $0.01\mu\text{C}$.

20- يُقذف الكترون سرعته الابتدائية $3 \times 10^6\text{ m/s}$ إلى الأعلى بزاوية تصنع 30° مع الأفق ضمن حقل كهربائي شاقولي متوجّه نحو الأسفل شدته 10^5 N/C ، والمطلوب:

a- ما هي أعلى نقطة يصل إليها الالكترون؟

b- ما هو الزمن اللازم لوصوله إلى تلك النقطة؟

c- ما هي المسافة الأفقية التي يقطعها الالكترون.

21- وضع ثانوي أقطاب عزم 0.5 e.nm ضمن حقل كهربائي منتظم شدته $4 \times 10^4\text{ N/C}$ ما هي قيمة العزم المطبق على ثانوي الأقطاب عندما:

a- يكون موازيًا للحقل الكهربائي.

b- عموديًّا على الحقل الكهربائي.

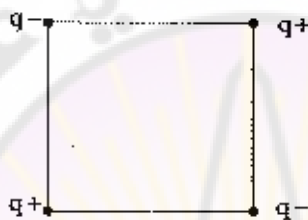
c- يصنع زاوية 30° مع الحقل الكهربائي.

22- وضعت أربع شحنات متساوية بالقيمة المطلقة عند رؤوس مربع طوله L كما في الشكل المجاور. والمطلوب:

a- أوجد قيمة القوة والاتجاهاتها التي تؤثر بها الشحنات الثلاث على الشحنة الموجودة في الزاوية السفلية اليسرى من المربع.

b- أثبت أن الحقل الكهربائي عند منتصف أحد أضلاع المربع متوجه نحو الشحنة

$$\text{السلبية وقيمه تعطى بالعلاقة: } E = k \frac{8q}{L^2} \left(1 - \frac{\sqrt{5}}{25}\right).$$



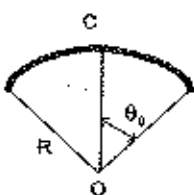
23- أوجد مقدار كل من الشحنتين q_1 و q_2 إذا كان مجموعهما \boxed{q} وتدفع إحداهما الأخرى بقوة قدرها 8 mN إذا وضعا على مسافة 3 m من بعضهما بعضاً.

24- وزعت شحنات بكتافة خطية قدرها λ على أضلاع مربع موجود في المستوى oxy طول ضلعه L ويقع مركزه في مبدأ الإحداثيات، والمطلوب:

a- أوجد الحقل الكهربائي في نقطة تقع على المحور x .

b- قارن نتائجك مع الحقل الناتج من قرص مشحون له القياس نفسه تقريباً ويحمل الشحنة نفسها.

25- خط نصف لاهب يحمل شحنة متناظمة بكافة لواحدة الطول λ وفق المحور x من $x = 0$ وحتى $x = \infty$ أوجد كلاماً من E_x و E_y عند نقطة من المحور y .



- 26- سلك رفيع يحمل شحنة منتظمية بكتافة خطية λ . حين على شكل قوس دائري زاويته المركزية $2\theta_0$ كما في الشكل المعاور أثبت أن الحقل الكهربائي عند مركز التقوس يساوي

$$E = \frac{2k\lambda \sin \theta_0}{R}$$

- 27- كرتان صغيرتان متلاحمتان كتلة كل منها 10 g معلقتان من النقطة نفسها بخيطين طول كل منها 50 m . أوجد الزاوية التي يصنعها أحد الخيطين مع الشاقول إذا كانت شحنة كل منها C .

- 28- حيقط غير ثابت على شكل دائرة تقع في المستوى xy ويقع مركزها عند المبدأ يحمل شحنة غير منتظرية تعطى كثافتها بالعلاقة $\lambda = \lambda_0 \sin \theta$ حيث θ تقامس ابتداءً من الاتجاه الموجب للمحور x . أوجد الحقل الكهربائي عند المركز.



الفصل الثالث

قانون

Gauss's Law



في هذا الفصل، سوف نستخدم فكرة خطوط الحقل الكهربائي لتوصيل إلى علاقة رياضية، تدعى بقانون غوص. ثم نوضح كيفية استخدام هذا القانون في إيجاد الحقل الكهربائي في أمثلة تسمح بدرجة عالية من التمايز مثل الإسطوانة والكرة المشحونة بانتظام. وسنجري أن استخدام قانون غوص في مثل هذه الحالات، لحساب الحقل الكهربائي، أسهل بكثير من حسابه انطلاقاً من قانون كولون. من أجل ذلك، علينا أن نبدأ بتعريف التدفق الكهربائي و قوانينه.

3 - 1 التدفق الكهربائي: Electric Flux

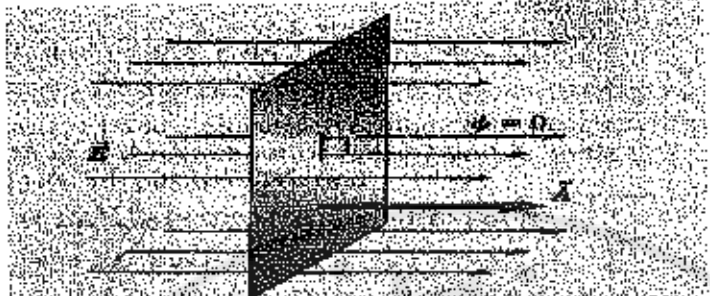
إن تدفق خطوط الحقل الكهربائي هو بالتعريف عدد خطوط هذا الحقل التي تغير سطحاً ما، فإذا كان لدينا حقولاً كهربائياً \vec{E} منتظم القيمة والاتجاه، وسطح A شعاع الواحدة للنظام عليه هو \vec{n} ، نعرف التدفق الكهربائي Φ من خلال السطح A المعادل للحقل الكهربائي E بحداء الحقل بمساحة السطح أي:

$$\Phi_E = E \cdot A \quad (1)$$

يوضح الشكل (3 - a) الحالة الأولى التي يكون فيها السطح معامداً للحقل، أي أن شعاع الحقل \vec{E} يوازي شعاع الواحدة \vec{n} والزاوية بينهما معدومة $(\Phi = 0)$ ، ويقاس التدفق بـ نيوتن متر مربع على كولون $\frac{\text{N} \cdot \text{m}^2}{\text{c}}$. وعندما

يتصبّع شعاع الواحدة \vec{n} زاوية Φ مع شعاع الحقل \vec{E} الشكل (3 - b)

$$\Phi_E = E \cdot A \cdot \cos\Phi \quad (2)$$



(a) Surface orientation to electric field

E and A parallel

angle between N and A is $\phi = 0$

flux $\Phi_E = E \cdot A = EA$

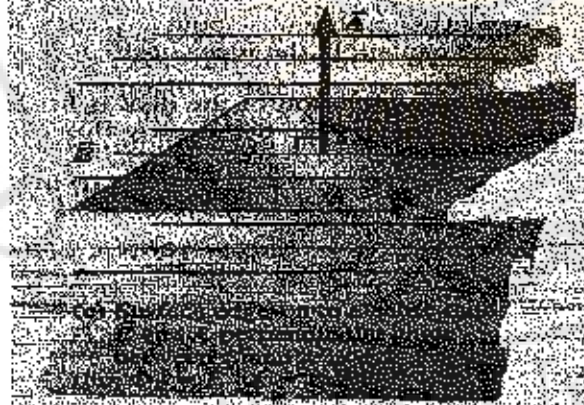


(b) Surface orientation perpendicular to electric field

E and A perpendicular

angle between N and A is 90°

flux $\Phi_E = E \cdot A = EA \cos 90^\circ = 0$



(c) $\Phi_E = E \cdot A \cos 180^\circ = -EA$

وفي الحالة الخاصة: عندما يكون شعاع الواحدة معماداً لشعاع الحقل، كما هو

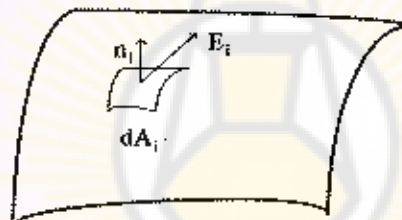
مبين في الشكل (3 - I) ، $\phi = \frac{\pi}{2} \cdot E \cdot n \cdot A$ فإن قيمة التدفق المكون محددة.

ويكون كتابة عبارة التدفق في المقادير I و 2 بعلاقة واستدلة على الشكل:

$$\Phi_E = \vec{E} \cdot \vec{n} \cdot A \quad (3)$$

3-2 تعميم التدفق الكهربائي : General definition of electric flux

نستطيع تعميم تعريف التدفق الكهربائي، إلى حالة السطح الممتد، حيث يتغير على هذا السطح الحقل الكهربائي قيمة وجهة، وذلك بتقسيم السطح إلى عدد كبير من العناصر السطحية الصغيرة، فإذا كانت هذه العناصر صغيرة للدرجة كافية، يمكن عددها مستوى، وبذلك نحمل تغيرات الحقل الكهربائي عليها، فإذا كان \vec{n} هو شعاع الواحدة المعمد للذلك السطح العنصري، وكانت dA_i مساحته كما هو مبين في الشكل (3 - 2).



شكل (3 - 2)

عندما يكون تدفق الحقل الكهربائي من خلال هذا السطح العنصري مساوياً:

$$d\Phi_E = \vec{E} \cdot \vec{n}_i \cdot dA_i \quad (4)$$

ويكون قيمة التدفق الكهربائي على كامل السطح مساوياً:

$$\Phi_E = \int \vec{E} \cdot \vec{n}_i \cdot dA_i = \int E \cos \theta \cdot dA_i$$

في معظم الأحيان، نشم بتدفق الحقل الكهربائي من خلال سطح مغلق، وهو سطح يقسم الفضاء إلى مجالين أحدهما داخل السطح والثاني خارج السطح، ونعرف

شعاع الواحدة للنظام على السطح المغلق في كل نقطة من نقاط السطح. فعند النقطة التي يكون فيها المقل متوجهًا نحو خارج السطح. يكون الحداء \vec{E} موجباً، أما عند النقطة التي يكون فيها المقل متوجهًا نحو داخل السطح يكون الحداء \vec{E} سالباً. ويكون التدفق الكلي \oint موجباً أو سالباً حسب جهة المقل الكهربائي.

مثال (1-3):

قرص دائري نصف قطره 10 cm شعاع الواحدة للنظام على سطح القرص، وضع القرص في حقل كهربائي شدته $\frac{N}{c} \times 10^3 \times 2$ ، بحيث يصنع شعاع المقل زاوية قدرها θ مع الناظم على السطح والمطلوب:

- احسب قيمة التدفق الكهربائي من خلال القرص.
- ما هي قيمة التدفق عندما تدور القرص ويصبح المقل عمودياً على الناظم \vec{E} .
- ماذا تصبح قيمة التدفق عندما يكون المقل موازياً للناظم $\vec{E} // \vec{n}$.

الحل:

$$a - \Phi_E = E \cdot A \cdot \cos \theta = 2 \times 10^3 \times \pi \times (0.1)^2 \times \cos 30 = 54 \text{ N.m}^2/\text{c}$$

$$\cos \theta = 0 \quad \text{والتالي} \quad \theta = \frac{\pi}{2} \quad \text{لأن} \quad \vec{n} \perp \vec{E}$$

$$b - \Phi_E = 0$$

$$c - \Phi_E = E \cdot A = 2 \times 10^3 \times \pi \times (0.1)^2 = 63 \frac{\text{N.m}^2}{\text{c}} \quad \cos \theta = 1$$

مثال (2-3):

شحنة نقطية موجبة قيمتها $q = 3\mu\text{C}$ ، وضعت في مركز كرة نصف قطرها $R = 0.2\text{ m}$ ، أوجد تدفق الحقل الكهربائي الناتج عن الشحنة النقطية، من خلال سطح الكرة.

الحل:

إن المُحَقْل الكهربائي \vec{E} يكون ناظمياً على سطح الكرة، جهته نحو الخارج وقيمة

تساوي:

$$E = k \cdot \frac{q}{r^2} = 9 \times 10^9 \times \frac{3 \times 10^{-6}}{(0,2)^2} = 6,75 \times 10^5 \text{ N/c}$$

وبما أن $\vec{E} \parallel \vec{n}$ فإن قيمة التدفق تعطى بالعلاقة:

$$\Phi_E = E \cdot A = 6,75 \times 10^5 \times 4\pi(0,2)^2 = 3,4 \times 10^5 \frac{\text{N} \cdot \text{m}^2}{\text{c}}$$

3 - قانون غوص Gauss's Law

إن قانون غوص، هو صيغة رياضية تستعمل لإيجاد المُحَقْل المولدة عن شحنة كهربائية، وتستند هذه الصيغة على فكرة خطوط المُحَقْل الكهربائي. ويمكن بواسطة هذا القانون دراسة المُحَقْل في الحالات التي لا تشمل على تناظر كروي وفي الحالات المعقدة. ينص قانون غوص على أن التدفق الكلي عبر سطح مغلق يساوي الشحنة الكلية التي يحصرها هذا السطح مقسوماً على ϵ_0 ، حيث ϵ_0 هي "سماحة الوسط أو الفضاء الحر المعرفة سابقاً".

$$\epsilon_0 = 8,8 \times 10^{-12} \text{ C}^2 / \text{N} \cdot \text{m}^2$$

$$\Phi_E = \oint \vec{E} \cdot \vec{n} \cdot dA = \oint E \cdot \cos \theta \cdot dA = \frac{Q_{\text{enc}}}{\epsilon_0} \quad (6)$$

نسمى السطح المغلق الذي يحيط بالشحنة الكلية Q_{enc} سطح غوص، وهو سطح وهي اختياره بشكل يناسب المسألة ويعkin حساب سطحه بسهولة. سوف نستخدم قانون غوص، من أجل حساب قيمة المُحَقْل الكهربائي E ، عندما يكون للمسألة تناظر واضح، بشكل يُعرف منه الجاه المُحَقْل E في كل مكان وكذلك قيمة المُحَقْل ثابتة على سطح بسيط.

يمكن البرهان على قانون غوص، وبشكل مبسط، اعتماداً على المثال (2 - 3) المذكور سابقاً، وجدنا في هذا المثال أن التدفق الناتج عن شحنة نقطية q من خلال سطح كروي نصف قطره R مساوياً:

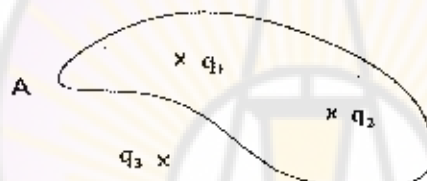
$$\Phi_E = E \cdot A = k \cdot \frac{q}{R^2} \cdot 4\pi R^2 = 4\pi k q = \frac{q}{\epsilon_0} \quad (7)$$

تدل هذه العلاقة (7)، أن قيمة التدفق (عدد خطوط المقلل التي تمر سطح الكرة)، لا تتعلق بصف قطر الكرة، ولا يمكن الشحنة داخل السطح الكروي، ولا يشكل السطح الحيط بالشحنة. بل تتعلق فقط بالشحنة الكهربائية q .

أي أن العلاقة 7 محققة مهما كان شكل السطح المغلق الحيط بالشحنة q وبالتالي

يكون التدفق من خلال سطح مغلق خارج شحنة نقطية قدرها q مساوياً $\frac{q}{\epsilon_0}$.

نستطيع تعويض هذه النتيجة على جمل تجوي أكثر من شحنة نقطية واحدة. يبين الشكل (3 - 3) سطح A يحيط بشحنتين نقطيتين q_1 و q_2 وشحنة نقطية q_3 تقع خارج السطح.



الشكل (3 - 3)

بما أن المقلل الكهربائي عند أي نقطة من نقاط السطح يساوي المجموع الشعاعي للحقول الثلاثة الناتجة من الشحنات q_1 , q_2 , q_3 . فيكون التدفق الكلي $E \cdot n \cdot dA$ من خلال السطح A مساوياً لمجموع التدفقات الناتجة عن كل شحنة منفردة. إن التدفق الناتج عن الشحنة q_3 من خلال السطح A معادلاً لأن جميع خطوط المقلل الصادرة عنها والتي تدخل من نقطة عن السطح A تخرج من نقطة أخرى. وبكون التدفق الناتج عن الشحنة q_1 مساوياً $4\pi k q_1$ والتدفق الناتج عن q_2 مساوياً $4\pi k q_2$ والتدفق الكلاسي من خلال السطح يساوي $4\pi k (q_1 + q_2)$.

وقد يكون هذا التدفق موجباً أو سالباً أو معدوماً حسب قيمة كل من q_1 و q_2 وإشارة كل منها .

وبصورة عامة، في حالة جملة من الشحنات يكون التدفق الكلي من خلال أي سطح مغلق مساوياً $4\pi k$ مضروباً بالشحنة الصافية الموجودة ضمن هذا السطح أو قيمة الشحنة الكلية التي يحصرها هذا السطح مقسوماً على ϵ_0 .

$$\Phi_E = \oint \vec{E} \cdot \vec{n} \, dA = 4\pi k Q_{\text{enc}} = \frac{Q_{\text{enc}}}{\epsilon_0}$$

يمكننا استنتاج قانون غوص أيضاً من قانون كولون بصورة رياضية، مستخدمين تعريف الزاوية المحسنة دون الحاجة إلى خطوط الحقل، ولكن نكتفي بالبرهان السابق البسيط .

3 - 4 تطبيقات على قانون غوص :Application of Gauss's Law

إنّ قانون غوص يقدم لنا طريقة سهلة جداً لحساب المقول الكهربائية، وذلك سون اللجوء إلى طريقة الجمجم الشعاعية التي تتطلب معرفة توزع الشحنات الكهربائية والتي تقودنا غالباً إلى تكاملات معقدة . وهذا القانون يسمح بحساب الحقل الناتج عن شحنات كهربائية واقعة داخل السطح المغلق المختار ، وذلك لأنّ التدفق الناتج عن شحنات واقعة خارج السطح من خلال السطح المغلق المختار يساوي الصفر.

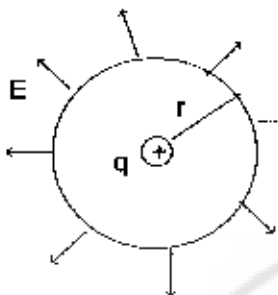
من أجل استخدام قانون غوص، لحساب الحقل الكهربائي الناتج عن شحنات كهربائية في مكان ما، تتبع الخطوات التالية:

a- اختار سطحاً وهياً مغلقاً، يدعى بسطح غوص، مارأً من النقطة المراد حساب الحقل عنها.

b- يجب أن تقع الشحنات الكهربائية داخل سطح غوص.

c- اختيار سطح غوص الوهمي المغلق، شكلاً هندسياً متضاطراً لستتمكن من حساب مساحة سطحه بسهولة عند تطبيق قانون غوص.

مثال (3 - 3) حقل متولد عن شحنة نقطية:



أو حدد الحقل الكهربائي الناشئ عن شحنة نقطية موجبة q في نقطة P تبعد عنها مسافة r باستخدام نظرية غوص.

نرسم أو نتحليل سطحاً كروياً محاطاً بهذه الشحنة، نصف قطره r ومركزه الشحنة q ، ثم نطبق قانون غوص على هذا السطح الوهمي المغلق.

$$\Phi_E = \int \vec{E} \cdot \vec{n} dA = E \oint dA = \frac{Q_{\text{enc}}}{\epsilon_0}$$

وبسبب تناظر الجملة، يكون الحقل الكهربائي E عند أي نقطة من السطح ثابتاً وموجهاً من الداخل إلى الخارج بتصوره عمودية على السطح، ويكون $\vec{E} \parallel \vec{n}$ أي أن $\theta = 0$ ومنه $\cos\theta = 1$ ، أيما وحد dA على سطح الكرة . وبما أن $\oint dA$ هو سطح الكرة الكلوي ويساوي $4\pi r^2$ ، والشحنة الموجودة داخل هذا السطح ما هي إلا q فإن قانون غوص يعطي:

$$\Phi_E = E \cdot 4\pi r^2 = \frac{q}{\epsilon_0}$$

ومنه:

$$E = \frac{1}{4\pi\epsilon_0} \cdot \frac{q}{r^2} = k \cdot \frac{q}{r^2}$$

وهذه هي النتيجة التي حصلنا عليها سابقاً حسب تعريف الحقل وقانون كولون.

مثال (3 - 4) حقل مترولد عن توزع خطى للشحنة: Field of a line charge:

شحنة كهربائية موجبة $+Q$ موزعة بانتظام وبكثافة خطية λ . على سلك لا هماي، أوجد الحقل الكهربائي في نقطة تبعد r عن هذا السلك، باستخدام نظرية غوص.



الشكل (3 - 4)

من أجل ذلك، لنصور سطحاً أسطوانياً ملائماً، يحيط بجزء طوله L من السلك المشحون. ومحوره هو السلك نفسه ونصف قطره r . كما هو مبين بالشكل (3 - 4). إن الحقل الكهربائي \vec{E} معادل لجميع نقاط السطح الجانبي لهذه الأسطوانة وقيمةه واحدة وثابتة في جميع نقاطها، ولكنه مواز لقاعدتي الأسطوانة، ويكون التدفق الكلي للحقل متساوياً

$$\phi_E = \phi_{E_1} + \phi_{E_2}$$

حيث ϕ_{E_1} التدفق من خلال قاعدي الأسطوانة.

ϕ_{E_2} التدفق من خلال السطح الجانبي للإسطوانة.

إن التدفق من خلال قاعدي الأسطوانة معذوماً لأن $\vec{E} \perp \vec{n}$ أي $\theta = \frac{\pi}{2}$ أي

وبالتالي $\cos \theta = 0$ ، ويقى التدفق من خلال سطح الأسطوانة الجانبي. إن الشحنة الكلية ضمن هذا السطح هي $\lambda \cdot L$ ، وباستخدام قانون غوص

$$\phi_E = \oint \vec{E} \cdot \vec{n} dA = E \oint dA = \frac{Q_{\text{من}}}{\epsilon_0} = \frac{\lambda \cdot L}{\epsilon_0}$$

و بما أن السطح الجانبي للإسطوانة يساوي $2\pi r \cdot L$ فنجد:

$$E \cdot 2\pi r \cdot L = \frac{\lambda \cdot L}{\epsilon_0}$$

ومنه نجد الحقل:

$$E = \frac{1}{2\pi\epsilon_0} \cdot \frac{\lambda}{r} = 2k \cdot \frac{\lambda}{r}$$

وهي نفس النتيجة التي وجدناها في المثال (2 - 4) في بحث الحقل الكهربائي.

مثال (3 - 5) حقل متولد عن توزع مستوي غير محدود للشحنة:

Field of infinite plane sheet of charge

احسب شدة الحقل الكهربائي الناتج عن مستوي لا نهائي ناقل ومشحون بشحنة موجبة موزعة بانتظام وبكثافة سطحية قدرها σ وذلك باستخدام قانون غوص.

في هذه الحالة، إن الحقل الكهربائي معتمد للمستوى. لذلك نخسар سطح غاوص على شكل أسطوانة، يكون محورها عمودياً على سطح المستوى، كما هو موضح بالشكل (3 - 5).

وتشترك مع المستوى بمساحة قاعدها A . ويكون التدفق الكلي من سطح

غوص متساوياً:



الشكل (3 - 5)

$$\Phi_E = \phi_{E_1} + \phi_{E_2}$$

حيث Φ_E التدفق من خلال قاعدين الأسطوانة. ϕ_{E_1} التدفق من خلال السطح الخالي للأسطوانة.

في هذه الحالة، لا يوجد تدفق من السطح الجانبي للأسطوانة، لأن المfeld يوازي السطح الجانبي أو $\vec{n} \perp \vec{E}$ فيكون $\cos\theta = 0$ ، ويكون التدفق من خلال كل سطح من سطحي القاعدتين متساوياً $E \cdot A$ والتدفق الكلي يساوي $2E \cdot A$ ، وباستخدام قانون غوص نجد:

$$\Phi_E = 2E \cdot A = \frac{Q_{\text{end}}}{\epsilon_0} = \frac{\sigma \cdot A}{\epsilon_0}$$

ومنه نجد:

$$E = \frac{\sigma}{2\epsilon_0} = 2k\pi\sigma$$

وهذا يتطابق أيضاً ما توصلنا إليه في المثال (2 - 6) في بحث المfeld الكهربائي.

مثال (3 - 6) حfeld متولد من طبقة كروية مشحونة:

Field of charged conducting sphere

كرة نصف قطرها R ومركزها O ، مشحونة بشحنة كهربائية موجبة (q) موزعة على سطحها بالتزامن. أوجد المfeld الكهربائي الناتج عن هذه الشحنة بتطبيق نظرية غوص. تختار سطح غوص على شكل كرة نصف قطرها r ، متزامن مع الطبقة الكروية المشحونة. إن المfeld الكهربائي يعتمد هذا السطح وهو ثابت القيمة في جميع نقاطه بسبب التنازل ولا يتعارض بقيمة r أصغر أو أكبر من R ، ويكون $\vec{n} \parallel \vec{E}$ ، وهذا ثابت.

ثلاث حالات:

- a - الحالة الأولى: النقاط الواقعة خارج الطبقة الكروية $r > R$

$$\phi_E = \oint \vec{E} \cdot \vec{n} dA = k \oint dA = \frac{Q_{\text{end}}}{\epsilon_0}$$

$$E \cdot 4\pi r^2 = \frac{q}{\epsilon_0}$$

ومنه نجد، قيمة المfeld:

$$E = \frac{1}{4\pi\epsilon_0} \cdot \frac{q}{r^2} = k \cdot \frac{q}{r^2}$$

وهذه هي نفس القيمة التي نحصل عليها فيما لو كانت q متمرکزة في مركز الكرة.

bـ- الحالة الثانية: المقل على سطح الكرة $R = r$

نعرض هنا قيمة $R = r$ بالعلاقة الآتية وتكون قيمة المقل تساوي:

$$E = \frac{1}{4\pi\epsilon_0} \cdot \frac{q}{R^2} = k \cdot \frac{q}{R^2}$$

cـ- الحالة الثالثة: المقل ضمن الكرة: $R < r$

من أجل النقاط الواقعه ضمن الطبقه الكرويّه المشحونه، فلا يوجد شحنات ضمن سطح غوص وبالتالي فالتدفق معدوم، وهذا يعني أن المقل الكهربائي معدوم $E = 0$ ، وهذا صحيح حتى لو كانت النقطه واقعه في مركز الكرة.
يوضح الشكل (3 - 6) تغيرات المقل الكهربائي بدلالة r .



الشكل (3 - 6)

مثال (3 - 7) سهل متولد عن كرة مشحونة بانتظام:

Field of uniformly charged sphere

شحنة كهربائية موجبة Q ، موزعة بالنظام وبكثافة حجمية ρ ، على كرة عازلة نصف قطرها R . أوجد قيمة الحقل الكهربائي في نقطة p تبعد مسافة r عن مركزها، وذلك باستخدام نظرية غوص.

إنَّ هذه الحالة مشابهة للمثال السابق (3 - 6). والحقل الكهربائي \vec{E} يكون محمولاً على نصف قطره الكرة مهما كان وضع النقطة p داخل أو خارج الكرة، وهو ثابت القيمة على كل سطح كروي متعرج مع الكرة المشحونة، وذلك بسبب التمازتر. وهذا يميز أيضاً ثلاثة حالات:

-a الحالة الأولى: النقاط الواقعة خارج الكرة $R > r$:

نأخذ سطح غوص على شكل كرة نصف قطرها r ومتعرج مع الكرة المشحونة

$$\phi_E = \oint \vec{E} \cdot d\vec{A} = E \oint dA = \frac{Q_{\text{out}}}{\epsilon_0}$$

إن $\vec{n} \parallel \vec{E}$ ومساحة سطح غوص هي $4\pi r^2$ والشحنة داخل سطح غوص هي Q

$$E \cdot 4\pi r^2 = \frac{Q}{\epsilon_0}$$

$$E = \frac{1}{4\pi\epsilon_0} \cdot \frac{Q}{r^2} = K \cdot \frac{Q}{\epsilon_0}$$

أي أنَّ قيمة الحقل في النقاط الواقعة خارج الكرة: $E = K \cdot \frac{Q}{\epsilon_0 r^2}$ ، أي أنَّ قيمة الحقل في نقطة واقعة خارج التوزع الحجمي الكروي للشحنات، هي نفسها كما لو كانت الشحنة Q متحممة بكماليها في مركز الكرة المشحونة.

-b الحالة الثانية: النقاط الواقعة داخل الكرة $R < r$

بنفس الطريقة، نأخذ سطح غوص على شكل كرة نصف قطرها r ومحصر كرة مع الكرة المشحونة. كما هو مبين بالشكل (3 - 7) ونطبق قانون غوص:

$$\phi_E = \oint \vec{E} \cdot d\vec{A} = E \oint dA = \frac{Q_{\text{out}}}{\epsilon_0}$$

$$P = \frac{Q}{V} = \frac{Q}{\frac{4}{3}\pi R^3}$$

والشحنة Q_{out} تمثل الشحنة الكهربائية ضمن سطح غوص الوهمي والذي حجمه

$$v_{out} = \frac{4}{3}\pi r^3 \quad \text{تكون قيمة هذه الشحنة تساوي:}$$

$$Q_{out} = \rho \cdot v_{out} = \frac{Q}{\frac{4}{3}\pi R^3} \cdot \frac{4}{3}\pi r^3 = Q \cdot \frac{r^3}{R^3}$$

$$\text{نفرض } Q_{out} \text{ بقانون غوص بحد: } E \cdot 4\pi r^2 = \frac{Q}{\epsilon_0} \cdot \frac{r^3}{R^3}$$

$$E = \frac{1}{4\pi\epsilon_0} \cdot \frac{Q \cdot r}{R^3} = k \cdot \frac{Q \cdot r}{R^3} \quad \text{أو}$$

نلاحظ أن قيمة الحقل الكهربائي تتناسب طرداً مع المسافة r . فمن أجل $r = 0$ أي

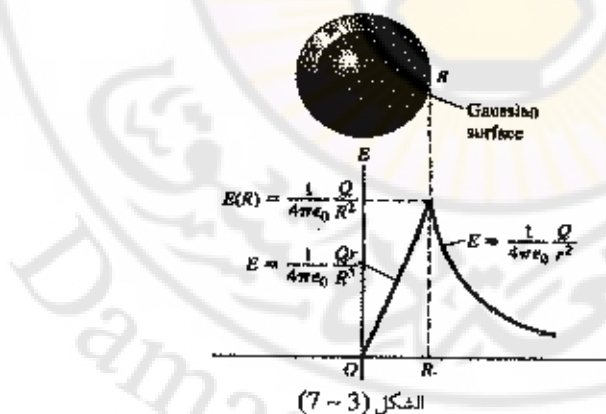
في مركز الكرة، نجد $E = 0$

c- الحالة الثالثة: النقاط الواقعة على سطح الكرة

نعرض بالعلاقة الأخيرة ، نجد قيمة الحقل على سطح الكرة تساوي:

$$E(R) = \frac{1}{4\pi\epsilon_0} \cdot \frac{Q}{R^2} = k \cdot \frac{Q}{R^2}$$

يبين الشكل (3 - 7) تغيرات الحقل الكهربائي بدلالة المسافة r .



الشكل (3 - 7)

بعطى الجدول التالي، قيم المقدار الكهربائية الدائمة عن توزيعات منتظمة للشحنات الكهربائية.

قيمة المقدار الكهربائي	المقدار الكهربائي في النقطة	توزيع الشحنة
$E = \frac{1}{4\pi\epsilon_0} \cdot \frac{q}{r^2}$	بعد r عن q	شحنة نقطية وحيدة q
$E = \frac{1}{4\pi\epsilon_0} \cdot \frac{q}{r^2}$ $E = 0$	$r > R$ خارج الكرة $r < R$ داخل الكرة	شحنة Q موزعة على سطح كروي ناقل نصف قطرها R
$E = \frac{1}{4\pi\epsilon_0} \cdot \frac{\lambda}{r}$	بعد مسافة r عن السلك	شحنة كهربائية موزعة على سلك لا هائي يتوزع حديقى λ
$E = \frac{1}{2\pi\epsilon_0} \cdot \frac{\lambda}{r}$ $E = 0$	$r > R$ خارج الأسطوانة $r < R$ داخل الأسطوانة	شحنة كهربائية موزعة على أسطوانة نافورة لا هماية،نصف قطرها R ، بكثافة حديقية λ
$E = \frac{1}{4\pi\epsilon_0} \cdot \frac{Q}{r^2}$ $E = \frac{1}{4\pi\epsilon_0} \cdot \frac{Q \cdot r}{R^3}$	خارج الكرة $r < R$ داخل الكرة	شحنة كهربائية Q موزعة بالظامان على كرة نصف قطرها R وبكثافة مجمدة p
$E = \frac{\sigma}{2\epsilon_0}$	في أي نقطة	شحنة كهربائية موزعة على مستوى لا هائي وبكثافة سطحية σ



مسائل

- 1- لدينا الحقل الكهربائي المنتظم $\vec{E} = 2\text{kN/C}$. والمطلوب:
أ- ما هو تدفق هذا الحقل من خلال مربع طول ضلعه 10 cm موجود في المستوى xy ?
ب- ما هو تدفق هذا الحقل من المربع نفسه إذا كان الناظم عليه يصنع زاوية 30° مع المحور x ?
- 2- ما هو التدفق الكلي للحقل المنتظم في التصرين (1) من خلال مكعب طول ضلعه 10 cm ووجهه توازي المستويات الإحداثية الديكارتية؟
- 3- شحنة نقطية قدرها $2\mu\text{C}$ موجودة في مركز كرة نصف قطرها 0.5 m. والمطلوب:
أ- أوجد سطح هذه الكرة وقيمة الحقل الكهربائي عند نقاط سطحها وتدفق الحقل الكهربائي من خلال سطحها.
ب- ما هو التدفق من خلال مكعب طول ضلعه 1m يحيط بكرة؟
- 4- أعطى القياس الدقيق للحقل الكهربائي بجوار سطح صندوق أسود إلى تدفق من خلال سطح هذا الصندوق قدره $6.0\text{kNm}^2/\text{C}$. ما هي قيمة الشحنة الكهربائية الموجودة ضمن الصندوق؟
- 5- كرة نصف قطرها R تحمل شحنة موزعة بانتظام بكثافة حجمية قدرها ρ . استخدم نظرية غالوين وأوجد الحقل الكهربائي داخل هذه الكرة وخارجه.
- 6- طبقة أسطوانية رقيقة الجدران نصف قطرها R ، ذات طول لا نهائي وكثافة شحنتها السطحية σ . أوجد قيمة الحقل الكهربائي داخل الأسطوانة وخارجه.
- 7- قطعة معدنية مخاسية وزنها 3 على شكل قطعة نقود وضعت ضمن حقل كهربائي خارجي شدته 1kN/C معامل لسطح وجهيها. أوجد كثافة الشحنات السطحية على كل وجه وما هي الشحنة الكلية على أحد الوجوه إذا كان نصف قطره 91 cm
- 8- طبقة كروية غير ثاقبة نصف قطرها الخارجي 15 cm وتحمل شحنة صافية قدرها $2\mu\text{C}$ موزعة على سطحها، والمطلوب:

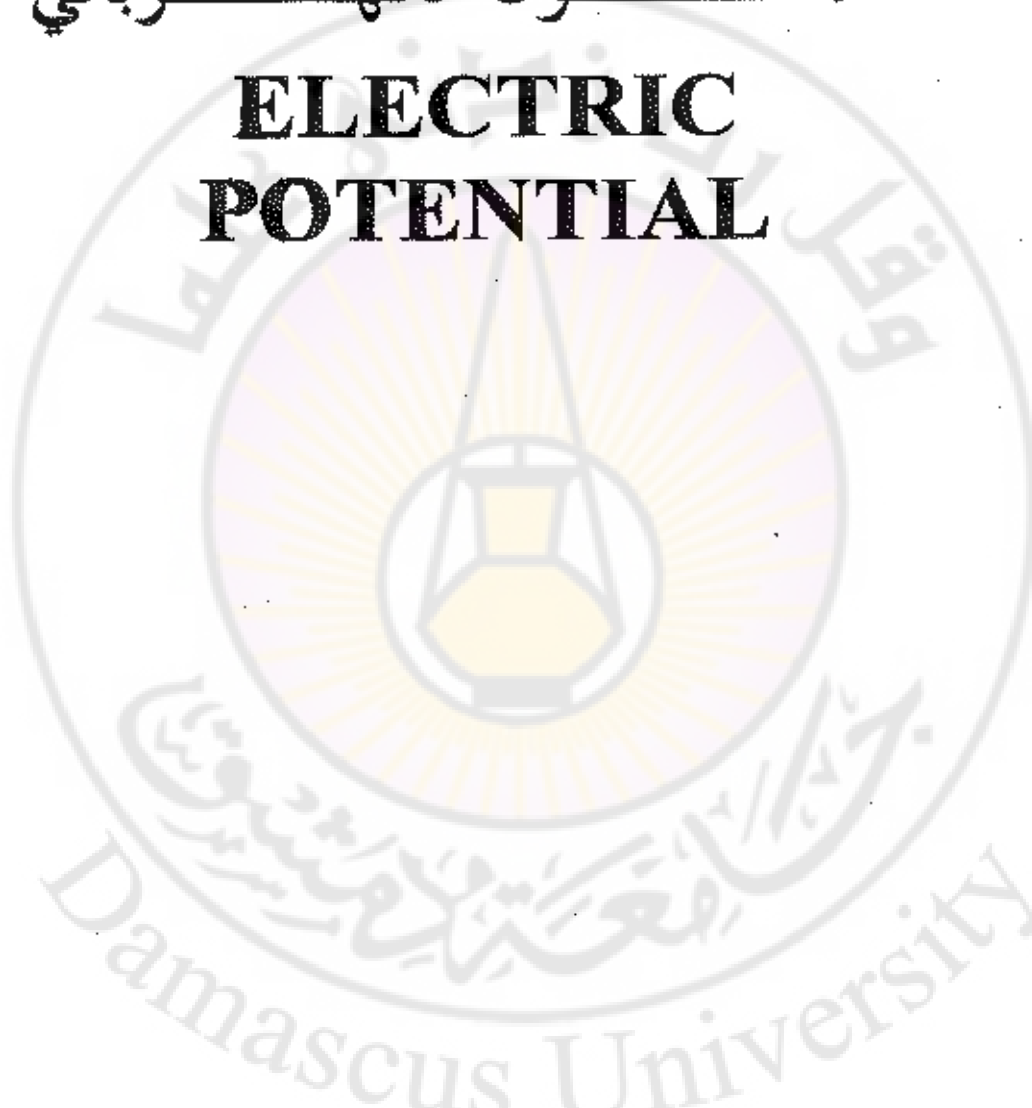
- ٨- ما هي كثافة الشحنات السطحية σ ؟
 أ- ما هي قيمة الحقل خارج الطبقة وداخلها؟
 ب- أزيل جزء من الطبقة تاركاً مكاناً ثقب صغير ما هي قيمة الحقل خارج الطبقة فوق الثقب وداخلها؟
- ٩- كرة عازلة نصف قطرها R تحمل شحنة حجمية بكافحة متناسبة مع البعد عن مركزها أي $\rho = A \cdot r$ حيث A ثابت و $\rho = 0$ من أجل $r > R$ ، المطلوب: a - أوجد الشحنة الكلية لهذه الكرة. b - ثم أوجد الحقل الكهربائي E داخل هذه الكرة وخارجها.
- ١٠- أعد المسألة (١) من أجل كثافة قدرها $\frac{B}{r} = \rho$ في حالة $r \leq R$ و $\rho = 0$ في حالة $r > R$.
- ١١- أسطوانة طويلة لا نهاية نصف قطرها R تحمل شحنة منتظامة كثافتها الحجمية σ أوجد الحقل الكهربائي داخل هذه الأسطوانة وخارجها.
- ١٢- طبقة كروية عازلة نصف قطرها الكبير r_2 والصغير r_1 تحمل شحنة بكافحة منتظامة أوجد الحقل الكهربائي من أجل $r_1 < r < r_2$ ، $r_1 < r < r_2$ ، $r > r_2$.
- ١٣- طبقة أسطوانية طويلة نصف قطرها الداخلي a والخارجي b وتحمل شحنة كثافتها تساوي:

$$\rho = \begin{cases} 0 & r < a \\ \rho_0 & a < r < b \\ 0 & r > b \end{cases}$$

أوجد الحقل الكهربائي في كل مكان

الفصل الرابع
الكمون الكهربائي

**ELECTRIC
POTENTIAL**





يلعب مفهوم العمل (Work)، الطاقة الكامنة (Potential energy) ويمتد المخاض الطاقة (consummation of energy)، دوراً هاماً في دراسة الميكانيك. سترى في هذا الفصل، أننا سوف نعتمد على هذه المفاهيم من أجل فهم وتحليل التفاعلات الكهربائية. وعلاقتها بالطاقة الكامنة . ونصل من خلال ذلك إلى تعريف الكبسون الكهربائي وكيفية حسابه في بعض الأمثلة .

4 - 1 الطاقة الكهربائية الكامنة في حقل كهربائي منتظم:

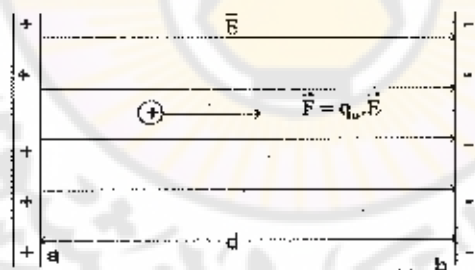
Electric Potential Energy in a uniform Field

إذا وضع جسم مشحون بشحنة كهربائية موجبة q_0 ضمن حقل كهربائي منتظم، فإنه سيتعرض إلى قوة كهربائية تعلق بالعلاقة $\vec{F} = q_0 \cdot \vec{E}$. وهذه القوة ستقوم بعمل، لدى انتقال الشحنة مسافة قدره dL ، قيمته:

$$dW = \vec{F} \cdot d\vec{L} = q_0 \cdot \vec{E} \cdot d\vec{L} \quad (1)$$

ويكون العمل الكلي، من أجل انتقال الشحنة من النقطة a إلى النقطة b، الشكل (4 - 1)، متساوياً:

$$W_{a \rightarrow b} = \int_a^b \vec{F} \cdot d\vec{L} = \int_a^b q_0 \cdot \vec{E} \cdot d\vec{L} \quad (2)$$



الشكل (4 - 1)

بما أن الحقل له قيمة ثابتة، وبفرض أن المسافة من a إلى b تساوي d فإن العمل متساوي:

$$W_{a \rightarrow b} = F \cdot d = q_0 \cdot E \cdot d$$

أما العلاقة بين العمل و الطاقة الكامنة، فهي أن العمل اللازم لنقل جسم من نقطة a إلى نقطة b يساوي تغير الطاقة الكامنة u من a إلى b أي أن:

$$W_{a \rightarrow b} = U_b - U_a = -(U_b - U_a) = -\Delta U \quad (3)$$

وإذا كان العمل غير تابع للطريق المسلوك (المسار: path) من a إلى b فإنه يسمى عملاً محافظاً (conservative) وتكون الطاقة الكامنة، في هذه الحالة، تابعة للموضع. وتسمى القوة أيضاً بالقوة المحافظة.

وبحسب مبدأ الحفاظ الطاقة، ونظرية العمل والطاقة، فإن العمل السابق يمثل تغير الطاقتين الحركيتين الأولى والأخيرة لهذا الجسم، أي أن:

$$W_{a \rightarrow b} = U_b - U_a = k_b - k_a = \Delta k \quad (4)$$

حيث k_a, k_b الطاقة الحركية للجسم عند النقطتين a ، b ، ويمكن كتابة العلاقة الأخيرة على الشكل المألف:

$$k_a + U_a = k_b + U_b \quad (5)$$

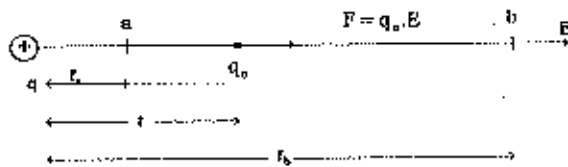
تدل العلاقة الأخيرة على مبدأ الحفاظ الطاقة، أي أن جمجم الطاقة الكامنة والحركية مصان، فعندما تتسارع الشحنة الكهربائية q_1 ضمن المقل \vec{E} ، تزداد طاقتها الحركية وتتناقص طاقتها الكامنة، وهذا يعني أن خطوط المقل تتجه دوماً نحو تناقص الطاقة الكامنة.

4 – 2 الطاقة الكهربائية الكامنة لشحتين نقطتين :

Electric potential energy of two point charges

لتكن لدينا شحنة كهربائية موجبة $+q$ وشحنة احتيارية موجبة $+q_0$ تبعد عنها مسافة r الشكل (4 – 2). فإن القوة الكهربائية المطبقة على $+q$ تعطى، حسب قانون كولون بالعلاقة:

$$F_r = \frac{1}{4\pi\epsilon_0} \cdot \frac{q \cdot q_0}{r^2} \quad (6)$$



الشكل (2-4)

ويكون العمل الذي تقوم به هذه القوة لازاحة الشحنة q_0 من a إلى b هو:

$$W_{a \rightarrow b} = \int_a^b F_r \cdot dr = \int_{r_a}^{r_b} \frac{1}{4\pi \cdot \epsilon_0} \cdot \frac{q \cdot q_0}{r^2} dr \quad (7)$$

وبكاملة العلاقة الأخيرة يجد:

$$W_{a \rightarrow b} = \frac{q \cdot q_0}{4\pi \cdot \epsilon_0} \left(\frac{1}{r_a} - \frac{1}{r_b} \right) \quad (8)$$

نلاحظ أنَّ هذا العمل، يتعلُّق فقط بالنقعة النهائية والبدائية ولا يتعلُّق بالطريق المسلوب بين النقطتين a ، b .

في الحقيقة، إنَّ قيمة العمل المبينة في العلاقة 8 . تبقى ثابتة من أجل كافية المسارات، وإثبات ذلك. نأخذ الحالة العامة التي تنتقل فيها الشحنة q_0 من a إلى b وفق مسارٍ منحنٍ. كما هو مبين بالشكل (4) - (3) فيكون العمل معطى بالعلاقة:

$$W_{a \rightarrow b} = \int_a^b F \cdot \cos \phi \cdot dL = \int_{r_a}^{r_b} \frac{1}{4\pi \cdot \epsilon_0} \cdot \frac{q \cdot q_0}{r^2} \cdot \cos \phi \cdot dL$$

نلاحظ من الشكل أنَّ $dr = dL \cdot \cos \phi$ ، وبالتالي نعود إلى العلاقة 7 ومنها نحصل على نفس العلاقة 8 وعليه فإنَّ العمل يتعلُّق فقط بالبعدين الشعاعيين r و ϕ ولا يتعلُّق بالطريق المسلوب للإنتقال بينهما، لذلك فإنَّ القوة الكهربائية الناتجة من شحنة نقطية هي قوة محافظة.



الشكل (3 - 4)

وهكذا، فإن العلاقة 8 صحيحة من أجل كافية المسارات بين a و b، وقيمة العمل لا تتعلق بالطريق المسلوك، فإذا، عادت الشحنة q_0 إلى نقطة البدء a، وفق أي مسار ما، سيكون العمل الكلي مساوياً للصفر.

مقارنة العلاقات 3 و 8 نجد أن المقدار $\frac{q_0 q_0}{4\pi\epsilon_0 r_0}$ يمثل الطاقة الكامنة U للشحنة

q_0 في النقطة a والمقدار $\frac{q_0 q_0}{4\pi\epsilon_0 r_b}$ يمثل الطاقة الكامنة U للشحنة q_0 في النقطة b.

بناءً على ذلك، نعرف الطاقة الكامنة لشحنة اختبارية q_0 تبعد مسافة r عن شحنة كهربائية Q بالعلاقة التالية:

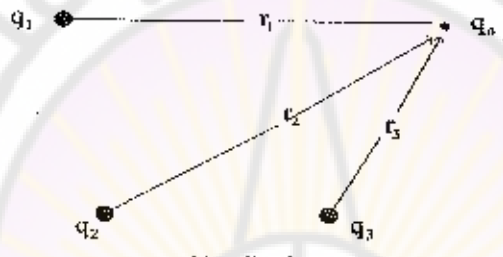
$$U = \frac{1}{4\pi\epsilon_0} \cdot \frac{q_0 q_0}{r} \quad (9)$$

نعتبر أن البعد r في العلاقة (9) موجهاً دوماً، وأن إشارة الطاقة الكامنة تتعلق بإشارتي q_0 و Q فإذا كانتا كلاهما موجهتين أو سالبتين، فإن جدائهما يكون موجهاً وتكون لها مواجهة . وإذا كانت الشحنتان q_0 و Q متعاكستان في الإشارة، فإن جدائهما سلبي و تكون الطاقة الكامنة لها سلبية.

4 - 3 الطاقة الكهربائية الكامنة لعدة شحنات نقطية:

Electric potential energy with several point charges

لنفرض أنَّ حقلًا كهربائيًّا \vec{E} قد تولد من عدد من الشحنات الكهربائية النقطية الثابتة q_1, q_2, q_3, \dots و أنَّ r_1, r_2, r_3 هي أبعاد هذه الشحنات عن شحنة اختبارية q_0 الشكل (4 - 4). فكل شحنة من هذه الشحنات الثابتة تؤثر في الشحنة q_0 ، ويمكننا عند ذلك أن نحسب أعمال كل من هذه القوى التي تحدث من أجل أي انتقال للشحنة الاختبارية q_0 . ولما كان عمل كل قوة يتعلق فقط بال نقطتين النهايتين، فإنَّ العمل الكلي يتعلق كذلك بـ مانع النقطتين فقط.



شكل (4 - 4)

وتكون الطاقة الكامنة للشحنة q_0 في أي نقطة، هي المجموع الجمري لعدد من المحدود كالتالي في المعادلة (9) أي:

$$U = \frac{q_0 \cdot q_0}{4\pi\epsilon_0} \left(\frac{q_1}{r_1} + \frac{q_2}{r_2} + \frac{q_3}{r_3} + \dots \right) = \frac{q_0}{4\pi\epsilon_0} \sum_i \frac{q_i}{r_i} \quad (10)$$

عندما تكون q_0 بعيدة بعدًّا لا هنائياً عن الشحنات q_i فإنَّ $U = 0$ وإذا كانت الشحنات q_i موزعة على خطوط أو على سطوح أو على حجوم وبكثافة خطوية أو سطحية أو حجمية منتظرمة، فيبنيغي أن نبدل المجموع بالتكامل:

$$U = \frac{q_0}{4\pi\epsilon_0} \int \frac{dq}{r} \quad (11)$$

4 - 4 الكمون الكهربائي: Electric potential

ذكرنا سابقاً، عند دراسة الحقل الكهربائي، بأنه من المفيد استخدام الحقل

الكهربائي \vec{E} ، بدلاً من القوة الكهربائية \vec{F} ، والذي يمثل القوة المطبقة على وحدة الشحنة q_0 :

$$\vec{E} = \frac{\vec{F}}{q_0} \quad \text{أو} \quad \vec{F} = q_0 \cdot \vec{E}$$

بنفس الأسلوب ، بدلاً منأخذ الطاقة الكهربائية الكامنة U للشحنة q_0 في نقطلة ما من الحقل ، فإن من الأسهلأخذ نسبة الطاقة الكامنة إلى الشحنة ، أي الطاقة الكامنة في وحدة الشحنة ، وتسمى هذه النسبة بالكمون الكهربائي واختصاراً بالكمون ، وتعطى بالعلاقة:

$$V = \frac{U}{q_0} \quad \text{أو} \quad U = q_0 \cdot V \quad (12)$$

إن الكمون هو مقدار سلمي ، خلافاً لشدة الحقل التي هي مقدار شعاعي ، وواحدة الكمون هي جول / كرلون وتسمى بالفولط ، نسبة للعالم الإيطالي فولطا

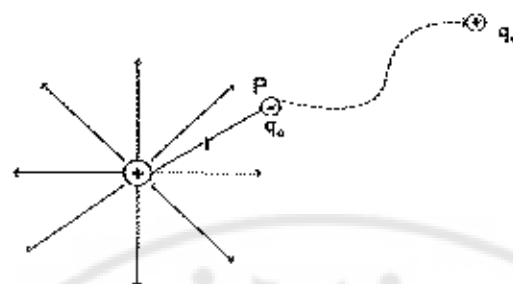
(1745 – 1827 – Alessandro Volta)

$$1 \text{ V} = 1 \text{ volt} = 1 \text{ j / c} = 1 \text{ joule / coulomb}$$

ذكرنا بالعلاقة (9) ، الطاقة الكامنة لشحنة اختبارية q_0 ، فيتضح من ذلك أن الكمون لهذه الشحنة والناتج عن الشحنة q يعطى بالعلاقة:

$$V = \frac{U}{q_0} = \frac{1}{4\pi\epsilon_0 r} \cdot \frac{q}{r} = k \cdot \frac{q}{r} \quad (13)$$

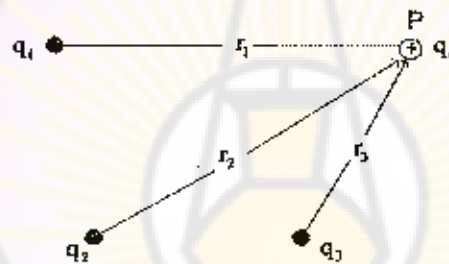
ويكون الكمون الكهربائي موجهاً أو سالباً ، وذلك تبعاً لنوع الشحنة الكهربائية q . فإذا حلينا شحنة اختبارية موجبة q_0 من مسافة بعيدة جداً عن شحنة كهربائية موجبة q ، إلى النقطة P التي تبعد المسافة r عن q (الشكل 4 – 5) فإن العمل المبذول ضد القوة الكهربائية يساوي الزيادة في الطاقة الكامنة المعطاة بالعلاقة (12) ، أي أن الكمون الكهربائي (V) هو العمل المبذول بخلب واحدة الشحنات من اللامادية إلى المسافة r .



الشكل (5 - 4)

وفي حال عدد من الشحنات الكهربائية القطبية المتنفصلة q_3, q_2, q_1 ، فإن الكمون الكهربائي عند الشحنة q_0 الواقعة عند النقطة P ، والتي تبعد المسافات r_1, r_2, r_3 ، عن هذه الشحنات (الشكل 4 - 6) ، يعطى بالعلاقة :

$$V = \frac{1}{4\pi\epsilon_0} \cdot \sum_i \frac{q_i}{r_i} = k \cdot \sum_i \frac{q_i}{r_i} \quad (14)$$



الشكل (6 - 4)

أما عندما يكون لدينا توزيع متصل للشحنات بكتافة خطية على سطح أو بكتافة سطحية على سطح أو بكتافة حجمية فإن الكمون يعطى بالعلاقة :

$$V = \frac{1}{4\pi\epsilon_0} \int \frac{dq}{r} \quad (15)$$

5 - 4 فرق الكمون : Potential difference

نستخدم عادة فرق الكمون بين نقطتين a و b لأن هذا الفرق يحدد التغير الطارئ على الطاقة الكامنة للشحنة عندما تنتقل من نقطة إلى أخرى. فإذا قسمنا العلاقة 3 على الشحنة الاختبارية q_0 نجد :

$$\frac{W_{a \rightarrow b}}{q_0} = -\frac{\Delta U}{q_0} = -\left(\frac{U_b}{q_0} - \frac{U_a}{q_0} \right) = -(V_b - V_a) = V_a - V_b \quad (16)$$

حيث $\frac{U_a}{q_0} = V_a$ يمثل الطاقة الكامنة لواحدة الشحنة عند النقطة a وكذلك V_b ، اعتماداً على العلاقة (16)، بحد أنَّ فرق الكمون $V_b - V_a = V_{ab}$ هو العمل اللازم لتحريك واحدة الشحنات q_0 من النقطة a إلى النقطة b بقوة كهربائية . يمكن أن نحصل أيضاً على علاقة فرق الكمون من العلاقة 7 التالية:

$$W_{a \rightarrow b} = \int_a^b F_r \cdot dr = \int_a^b q_0 \cdot E \cdot dr$$

فإذا قسمنا هذه العلاقة على q_0 وقارنا الناتج مع العلاقة 16 نحصل على:



$$(17)$$

ولما كان الكمون يقدر بالفولط، فإنَّ فرق الكمون يقدر بالفولط أيضاً. وهكذا فلما نظرنا طريقة حساب فرق الكمون بين نقطتين:

- ١ - إذا كانت قيم وموضع جميع الشحنات معروفة، فإنه يمكن أن نحسب قيمة الكمون في a و b باستخدام العلاقات 14 و 15 وأن نطرح إحداهما من الأخرى.
- ٢ - إذا كانت قيمة الحقل E واستقامته معروفتين في جميع النقاط، فإنه يمكن حساب التكامل في العلاقة 17.

ملاحظة ١: إنَّ الكمون الكهربائي، هو مقدار سلبي ويكون إما موجباً أو سالباً، وليس له منحى أو اتجاه كما هو الحال في القوة الكهربائية E و الحقل الكهربائي E ، وهكذا فالكمون المنشئ. في نقطة ما، عن الشحنة الموجبة يكون موجباً والكمون المنشئ عن الشحنة السالبة يكون سالباً.

ملاحظة 2: نلاحظ بأن لدينا واحاتان متكافئتان لشدة الحقل الكهربائي، الأولى من تعريف الحقل وهي N/C نيوتن / كولون ، والثانية من العلاقة 17 وهي فولط / متر

$$1\left(\frac{N}{C}\right) = 1\left(\frac{V}{m}\right) \quad \text{وبالتالي يكون: } \left(\frac{V}{m}\right)$$

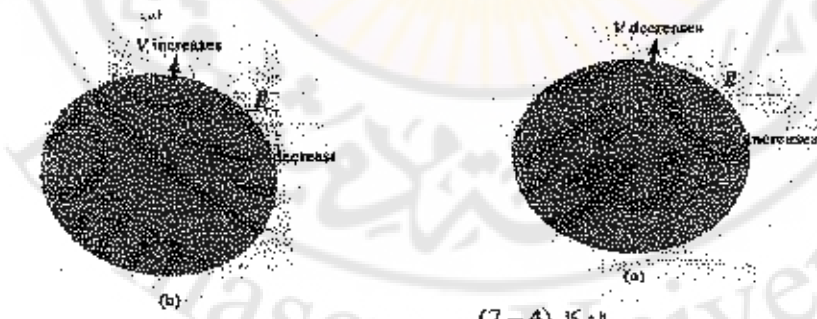
تدل هذه المساواة، أنه إذا كان حقل كهربائي شدته تساوي $B = 10 \frac{N}{C} = 10 \frac{V}{m}$ وجنته باتجاه المحور ox ، فإن الكمون ينافض بعدهار $v = 10$ كل متر باتجاه المحور ox . وهذا ما يؤكد أن جهة الحقل تتجه دوماً نحو تنافض الكمون الكهربائي كما هو مبين بالشكل (4 - 7) .

ملاحظة 3: تعريف الإلكترون فولط، ليكن لدينا شحنة كهربائية قيمتها تساوي شحنة الإلكترون

$q = e = 1,602 \times 10^{-19} C$ ، وضعت بين نقطتين a و b بينهما فرق في الكمون قدره $V_{ab} = 1 V$. فيكون تغير الطاقة الكامنة لهذه الشحنة متساوياً:

$$U_a - U_b = q \cdot V_{ab} = 1,602 \times 10^{-19} C \cdot 1 V = 1,602 \times 10^{-19} J$$

هذه الكمية من الطاقة تدعى بالإلكترون فولط ورمزها eV . إذا، الإلكترون فولط هو كمية من الطاقة التي يكتسبها جسم يحمل شحنة متساوية لشحنة الإلكترون ويتحرك ضمن فرق في الكمون مقداره فولط واحد. $1eV = 1,602 \times 10^{-19} J$



الشكل (4 - 7)

مثال (1 - 4)

يتكون ثالثي نقطاب كهربائي من شحتين كهربائيتين نقطتين، قيمة كل منها $q_1 = +12 \text{ nc}$ و $q_2 = -12 \text{ nc}$ تفصل بينهما مسافة قدرها 10 cm ، والمطلوب:

١- احسب المكون الناشئ عن هذا الثنائي في النقاط a و b و c الموضحة بالشكل

٢- ما هي الطاقة الكامنة لشحنة كهربائية قيمتها $q = 4 \text{ nc}$ إذا وضعت في النقاط a و b و c .

الحل:

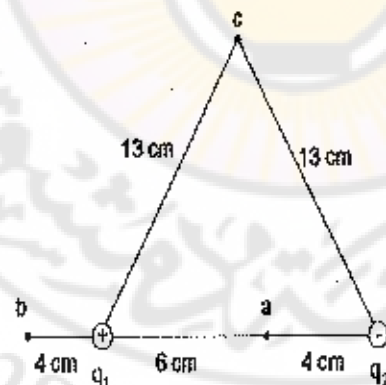
١- نطبق العلاقة

$$V = k \cdot \sum_i \frac{q_i}{r_i}$$

$$V_a = 9 \times 10^{-9} \left(\frac{12 \times 10^{-9}}{6 \times 10^{-2}} - \frac{12 \times 10^{-9}}{4 \times 10^{-2}} \right) = -900 \text{ V}$$

$$V_b = 9 \times 10^{-9} \left(\frac{12 \times 10^{-9}}{4 \times 10^{-2}} - \frac{12 \times 10^{-9}}{14 \times 10^{-2}} \right) = 1930 \text{ V}$$

$$V_c = 9 \times 10^{-9} \left(\frac{12 \times 10^{-9}}{13 \times 10^{-2}} - \frac{12 \times 10^{-9}}{13 \times 10^{-2}} \right) = 0 \text{ V}$$



٢- إن الطاقة الكامنة لأي شحنة كهربائية q تعطى بالعلاقة $U = q \cdot V$

$U_a = q \cdot V_a = 4 \cdot 10^{-9} \cdot (-900) = -3,6 \times 10^{-6} \text{ J}$ ففي النقطة a يجد:

$U_b = q \cdot V_b = 4 \cdot 10^{-9} \cdot 1930 = 7,7 \times 10^{-6} \text{ J}$ وفي النقطة b

$U_c = q \cdot V_c = 0 \text{ J}$ وفي النقطة c

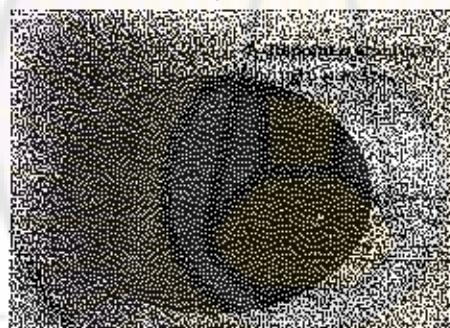
مثال (2 - 4):

أوجد الكمنون الناشئ عن شحنة كهربائية موجبة $q +$ في نقطة a تبعد مسافة قدرها r عن هذه الشحنة، وذلك بطريقة التكامل.

الحل:

$$V_b - V_\infty = \int_0^r E \cdot dr \quad \text{نستخدم العلاقة:}$$

نعتبر النقطة b واقعة على مسافة قدرها r من الشحنة النقطية q ، والنقطة a في اللامادية، بفرض أن الكمنون في اللامادية معروف:



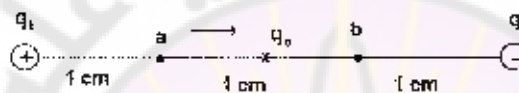
$$V_r - V_\infty = \int_r^\infty E \cdot dr = \int_r^\infty \frac{q}{4\pi \cdot \epsilon_0 \cdot r^2} \cdot dr$$

$$V = 0 = \left[-\frac{q}{4\pi \cdot \epsilon_0 \cdot r} \right]_r^\infty = 0 = \left(-\frac{q}{4\pi \cdot \epsilon_0 \cdot r} \right)$$

$$V = \frac{q}{4\pi \cdot \epsilon_0 \cdot r} \quad \text{ومنه يجد الكمنون}$$

مثال (3 - 4)

شحتان نقطيتان متساويتان بالقيمة المطلقة ومتوازيتان بالإشارة، $q_1 = -3 \text{ nC}$ و $q_2 = 3 \text{ nC}$ ، المسافة بينهما 3 cm . وضع بينهما جسم كثافة $m = 5 \mu\text{g}$ وشحنته $q_0 = 2 \text{ nC}$ في النقطة a التي تبعد مسافة 1 cm عن q_1 ، فإذا علمت أن سرعته الإبتدائية في a معدومة وتحرك وفق خط مستقيم باتجاه الشحنة q_2 تحت تأثير الحقل الكهربائي، فما هي سرعته عند النقطة b التي تبعد مسافة قدرها 2 cm عن q_1 ؟



الحل:

نستخدم علاقة مصوينة الطاقة

$$k_a + U_a = k_b + U_b$$

وفي هذه الحالة: $k_a = 0$ ، $k_b = \frac{1}{2}mv^2$ ، $U_a = q_0V_a$ ، $U_b = q_0V_b$

نعرض:

$$0 + q_0V_a = \frac{1}{2}mv^2 + q_0V_b \Rightarrow V = \sqrt{\frac{2q_0(V_a - V_b)}{m}}$$

$$V_a = k\left(\frac{q_1}{r_1} + \frac{q_2}{r_2}\right) = 9 \times 10^9 \left(\frac{3 \times 10^{-9}}{0,01} - \frac{3 \times 10^{-9}}{0,02}\right) = 1350$$

بنفس الطريقة نجد:

$$V_b = 9 \times 10^9 \left(\frac{3 \times 10^{-9}}{0,02} - \frac{3 \times 10^{-9}}{0,01}\right) = -1350 \text{ V}$$

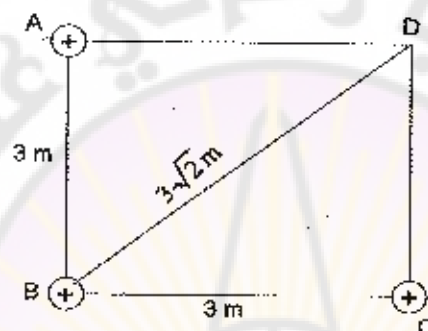
نعرض بعبارة السرعة نجد: $v = 46 \text{ m/S}$

مثال (4 - 4):

مربع ABCD طول ضلعه 3 cm، وضعت ثلاثة شحنة كهربائية نقطية موجبة ومتاوية القيمة كل منها $2 \mu C$ عند الرؤوس A, B, C . والمطلوب:

- ١- أوجد الكمون عند الرأس D للمرربع.
- ٢- ما هو العمل اللازم لجلب شحنة كهربائية موجبة قدرها $2 \mu C$ إلى الرأس D.

الحل:



$$V = k \sum_i \frac{q_i}{r_i} \quad \text{لإيجاد الكمون عند الرأس D، نطبق العلاقة}$$

$$V = 9 \times 10^9 \left(\frac{2 \times 10^{-6}}{3} + \frac{2 \times 10^{-6}}{3} + \frac{2 \times 10^{-6}}{3\sqrt{2}} \right)$$

$$V = 1,62 \times 10^4 V$$

إن العمل اللازم لجلب الشحنة إلى الرأس D يعطى بالعلاقة:

$$W = q \cdot V = 2 \times 10^{-6} \times 1,62 \times 10^4 = 3,24 \times 10^{-2} J$$

٤ - ٦ تطبيقات على حساب الكمون الكهربائي: Calculating Electric Potential

أولاً - كمون ناقل كروي مشحون A charged conducting sphere

ناقل كروي، نصف قطره R ، مشحون بشحنة كمية موجبة q +. أوجد الكمون الكهربائي داخلي وخارج وعلى سطح الناقل الكروي، الحل:

إن شدة الحقل الكهربائي خارج الناقل هي كما لو كانت شحنة الناقل كلسها مجمعة في مركزه، فينبع من ذلك أن الكمون في النقاط الواقعة خارج الناقل يعطى بنفس العبارة التي يعطى بها في حالة شحنة نقطية أي:

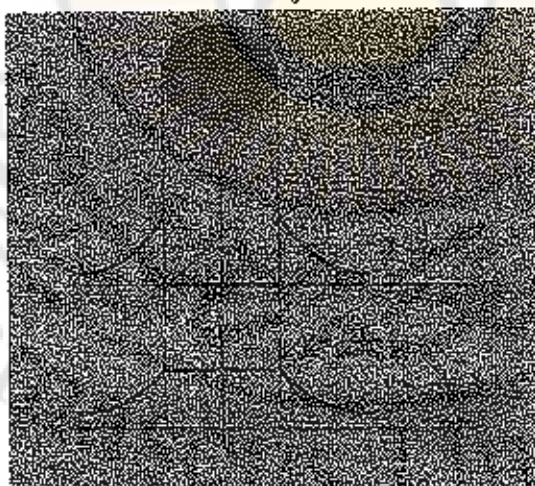
$$V = \frac{1}{4\pi\epsilon_0} \cdot \frac{q}{r}$$

ويكون الكمون الكهربائي على سطح الناقل مساوياً:

$$V_{\text{surface}} = \frac{1}{4\pi\epsilon_0} \cdot \frac{q}{R}$$

أما بالنسبة للنقاط الواقعة داخل الناقل الكروي، فلن نعلم أن الحقل الكهربائي معدوم فيكون، حسب العلاقة 17، فرق الكمون بين أي نقطة داخل الناقل ونقطة تقع على سطح الناقل معدوماً . $V_s - V_i = \int E \cdot dr = 0$ أي أن :

$$V_s = V_i = \frac{1}{4\pi\epsilon_0} \cdot \frac{q}{R}$$

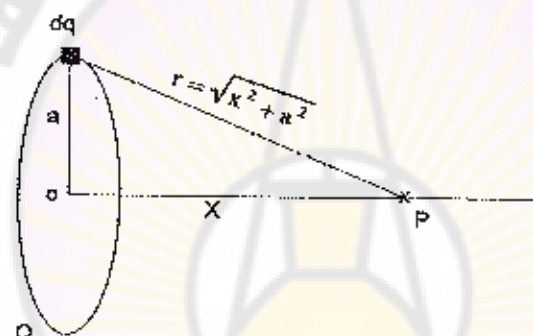


الشكل (4 - 8)

ويوضح الشكل (4 - 8) تغيرات الحقل الكهربائي والكمون بدلالة المسافة x للناقل الكروي المشحون.

ثانياً: كمون حلقة دائرية: A Ring of charge
شحنة كهربائية Q ، موزعة بانتظام على حلقة دائرية نصف قطرها a . أوجد
الكمون في نقطة P تقع على محور الحلقة وتبعد مسافة x عن مركزها .
الحل:

نقسم الحلقة إلى أجزاء صغيرة، يحمل كل منها شحنة عنصرية dq ، فيكون
الكمون في النقطة P . حسب العلاقة 15 مساوياً :



$$V = \frac{1}{4\pi\epsilon_0} \int \frac{dq}{r} = \frac{1}{4\pi\epsilon_0} \int dq = \frac{Q}{4\pi\epsilon_0 r}$$

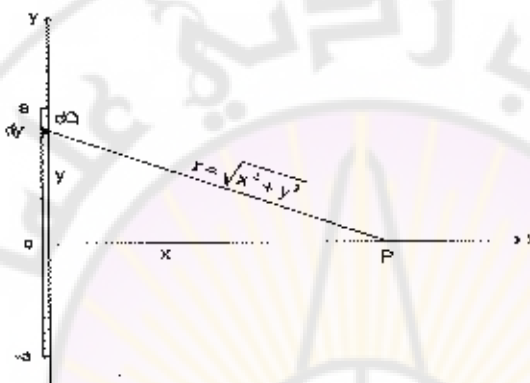
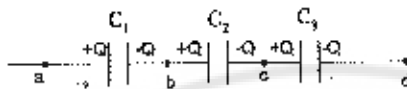
أو يمكن كتابة العلاقة الأخيرة:

$$V = \frac{1}{4\pi\epsilon_0} \cdot \frac{Q}{\sqrt{x^2 + a^2}}$$

ثالثاً: كمون سلك مشحون: A Line of charge
شحنة كهربائية Q موزعة بانتظام على سلك طوله $2a$. أوجد الكمون في نقطة P تقع على محوره وتبعد مسافة x عن مركزه .
الحل:

نقسم القصيب إلى أجزاء صغيرة طول كل منها dy ، الذي يحمل كل منها شحنة

$$\text{عنصرية } dQ = \frac{Q}{2a} dy \text{ فيكون الكمون الناتج عنها مساوياً:}$$



فالكمون الكلي الناتج عن القصيب يكون مساوياً :

$$V = \frac{1}{4\pi \cdot \epsilon_0} \cdot \frac{Q}{2a} \int_{-a}^{a} \frac{dy}{\sqrt{x^2 + y^2}}$$

بالمكاملة نجد:

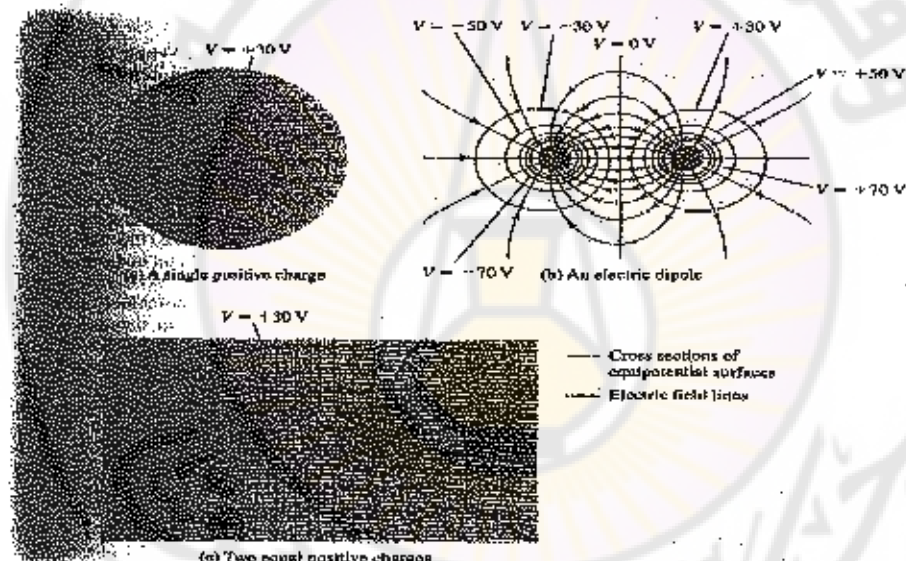
$$V = \frac{1}{4\pi \cdot \epsilon_0} \cdot \frac{Q}{2a} \ln \left(\frac{\sqrt{a^2 + x^2} + a}{\sqrt{a^2 + x^2} - a} \right)$$

7-4 سطوح تساوي الكمون: E-equipotential surfaces

نستطيع أن نمثل، بخطيطاً، توزع الكمون في حقل كهربائي باستخدام سطوح تساوي الكمون . وسطح تساوي الكمون هو الحل الهندسي للنقاط التي يكون كمومها

$V(x, y, z)$ مساوياً إلى مقدار ثابت في جميع نقاط هذا السطح . بناءً على ذلك، يمكننا رسم شبكة من سطوح تساوي الكمون، كل سطح منها يوافق قيمة معينة للكمون، وتنصف سطوح تساوي الكمون بالصفتين التاليتين :

- سطوح تساوي الكمون لا يمكن أن تقاطع، لأن الكمون الكهربائي له قيمة وحيدة في كل نقطة من الفراغ، كما وحدنا سابقاً .
- سطح تساوي الكمون في أي نقطة، يكون متعمداً مع استقامة الحقل الكهربائي \vec{E} .



الشكل (4-9)

إن خطوط الحقل الكهربائي وسطح تساوي الكمون يولدان شبكتين متعمدتين، غالباً ما تكون خطوط الحقل منحنيات، وتكون السطوح المتساوية في الكمون سطوح منحنية . وفي الحالة الخاصة التي يكون فيها الحقل منتظاماً، وخطوط الحقل مستقيمة ومتوازية، تكون السطوح المتساوية في الكمون مستويات متوازية فيما بينها وعمودية على

خطوط القوة. يبين الشكل (4 - 9) سطوح تساوي الكمون وخطوط الحقل ، من أجل توزعات مختلفة للشحنات ؛ a: شحنة كهربائية موجبة، b: ثانوي أقطاب، c: شحنتين موجبتين متساويتين.

4 - 8 تدرج الكمون : Potential Gradient

ذكرنا في الفقرة السابقة (4 - 5)، أنَّ فرق الكمون بين نقطتين، يمثل التغير الطارئ على الطاقة الكامنة لشحنة كهربائية q . عندما تنتقل من النقطة a إلى b، مسافة قدرها dL ، وذلك بالعلاقة (17) :

$$V_a - V_b = \int_a^b \vec{E} \cdot d\vec{L}$$

ويمكن كتابة هذه العلاقة الأخيرة بالشكل التالي :

$$\frac{+}{c_1} \frac{+Q_1}{-Q_1} \quad \frac{+}{c_2} \frac{+Q_2}{-Q_2} \quad \frac{+}{c_3} \frac{+Q_3}{-Q_3} \quad (18)$$

من هذه العلاقة الأخيرة نستنتج أنَّ :

$$-dv = \vec{E} \cdot d\vec{L} = E \cdot dL \cdot \cos \theta \quad (19)$$

وهذا ثالث حالتين؛ الأولى: عندما تكون الإزاحة dL عمودية على اتجاه الحقل الكهربائي

أي $\left(0 - \frac{\pi}{2} \right)$ فيكون $dv = 0$ وبالتالي :

$$V = \text{cte} \quad (20)$$

تمثل هذه المعادلة سطوحًا في الفراغ تسمى سطوح تساوي الكمون، ومتذكراً بهذه السطوح تكون الحقل عمودياً عليها في أيّة نقطة وهذا ما ذكرناه سابقاً.

أما في الحالة الثانية، عندما يكون اتجاه الحقل منطبقاً على الانتقال dL ، أي

$(\theta = 0)$ ، يصبح الكمون العنصري dv متساوياً:

$$-dv = E \cdot dL \quad (21)$$

وتكون القيمة $\frac{dV}{dL}$ عظمى وتتساوي $-E$ أي:

$$E = - \left(\frac{dV}{dL} \right)_{\max} \quad (22)$$

يُدعى المعدل الأعظمي للتغير الكمون عند نقطة ما بـ تدرج الكمون ، فإذا كان الانقال وفق أحد المحاور الإحداثية x , y , او z . فإن العلاقة الأخيرة يمكن كتابتها بأحد الأشكال التالية:

$$E_x = - \frac{\partial V}{\partial x}, \quad E_y = - \frac{\partial V}{\partial y}, \quad E_z = - \frac{\partial V}{\partial z} \quad (23)$$

ويتبين من ذلك الترتيبة المأمة الآتية: في كل نقطة من الحقل الكهربائي . تكون مركبة شدة الحقل الكهربائي في أي مسحى كان، متساوية ومعاكسة لدرج الكمون على ذلك المسحى .

يقدر درج الكمون بالفولت في المتر، في حين أن شدة الحقل الكهربائي تقدر بـ النيوتن في الكولون، وهذا وحدتان متكافئتان . كما وجدنا سابقاً

$$1 \left(\frac{N}{C} \right) = 1 \left(\frac{V}{m} \right)$$

وفي حال الإحداثيات القطبية فإن العلاقات (23) تعطى بالشكل:

$$E_r = - \frac{\partial V}{\partial r} \quad (24)$$

٤ - ٩ تطبيقات على إيجاد الحقل من الكمون:

أولاً - الكمون والحقول لشحنة نقطية: Potential and field a point charge

وجدنا في المثال (٤ - ٢)، أن قيمة الكمون لشحنة نقطية في نقطة تبعد مسافة

r عنها، تعطى بالعلاقة $V = k \cdot \frac{q}{r}$ ، أوجد قيمة شدة الحقل الكهربائي من هذه العلاقة .
الحل:

باستخدام العلاقة ٢٤ نجد:

$$E_r = - \frac{\partial V}{\partial r} = - \frac{\partial}{\partial r} \left(k \cdot \frac{q}{r} \right) = k \cdot \frac{q}{r^2}$$

وهي نفس القيمة التي وجدناها سابقاً.
لانياً - الكمون والحقن حلقة دائريّة مشحونة:

Potential and field of a ring of charge

وجدنا سابقاً، أنَّ الكمون الكهربائي الناتج عن حلقة دائريّة، مشحونة بشحنة كليّة قدرها Q ونصف قطرها a ، في نقطة تبعد x عن مركزها هو

$$V = k \cdot \frac{Q}{\sqrt{x^2 + a^2}}$$

الحل:

إنَّ محصلة الحقل الكهربائي الناتج عن الشحنة Q تقع على ox ، فتكون قيمة الحقل حسب العلاقات (23) هي:

$$E_r = - \frac{\partial V}{\partial r} = k \cdot \frac{Qx}{(x^2 + a^2)^{3/2}}$$

وهي نفس القيمة التي أوجدناها سابقاً.

مسائل

١- تبلغ شحنة جسيم $3 \times 10^{-9} C$ وهو موجود في حقل كهربائي منتظم متوجه نحو اليسار، فعندما يتتحرك الجسيم نحو اليمين مسافة قدرها 5 cm، يكون عمل القوة المطبقة عليه $4.5 \times 10^{-5} N$ وتغير الطاقة الحركية $6 \times 10^{-5} J$.

a- ما هو عمل القوة الكهربائية؟

b- ما هي شدة الحقل الكهربائي؟

٢- توضع شحنة قدرها $5 \times 10^{-9} C$ في حقل كهربائي متوجّه نحو الأعلى شدته $5 \times 10^{-9} N/C$

ما هو عمل القوة الكهربائية عندما تتحرك الشحنة:

a- 45 cm نحو اليمين؟

b- 80 cm نحو الأسفل؟

c- 260 cm في استقامة تولف زاوية "45" نحو الأعلى مع الأفق؟

٣- ثبتت شحتان موجبتان نقطيتان مقدار كل منها q ، على محور السينات في النقطتين

$$y = -a \quad y = +a$$

a- ارسم مخططاً يبين مكان الشحتين.

b- ما هي قيمة الكمون V_0 في نقطة المبدأ؟

c- بين أنَّ الكمون في أي نقطة من محور السينات يساوي:

$$V = \frac{1}{4\pi\epsilon_0} \cdot \frac{2q}{\sqrt{a^2 + x^2}}$$

d- ارسم مخططاً للكمون على محور السينات كتابع لـ x وذلك من أجل القيم التي تتراوح بين $-4a$ و $+4a$.

f- من أجل أي قيمة لـ x يصبح الكمون نصف قيمته في المبدأ؟

٤- نأخذ بالاعتبار نفس توزيع الشحتين الوارد في المسألة السابقة:

- a ارسم خططاً بين تغير الكمون على محور العينات كتابع لـ y وذلك من أجل قيم y التي تتوافق بين $y = +4a$ و $y = -4a$.
- b ادرس الدالة الفيزيائية للمخطط في النقاطين $+a$ و $-a$.
- c في أي نقطة أو أية نقاط من محور السينات يكون الكمون مساوياً لقيمه في نقطة المبدأ؟
- d في أي نقاط من محور العينات يصبح الكمون مساوياً نصف قيمة التي في نقطة المبدأ؟
- 5- وضعت شحنة إيجابية q في النقطة $x = -a$ ، $x = -y$ ووضعت شحنة سالبة مساوية لها وقيمتها $-q$ في النقطة $x = +a$ ، $x = y$ والمطلوب:
- a ارسم خططاً بين موقعى الشحتتين واحسب قيمة الكمون في المبدأ.
- b ما هي عبارة الكسون في نقطة من محور السينات بدلالة x .
- c ارسم محيناً بيانياً للكمون كتابع لـ x في المجال المتد من $x = +4a$ إلى $x = -4a$. واجعل الكمون الموجب إلى الأعلى والكمون السالب إلى الأسفل.
- 6- في جهاز ميليكان لقياس شحنة الالكترون e ، احتج إلى حقل كهربائي شدته $6.34 \times 10^4 \text{ V/m}$ لجعل القطيره ساكنة، فإذا كان البعد بين الصفيحتين المعدنيتين 1.5 cm فما هو فرق الكمون الذي يتبعي إحداهما بينهما؟
- 7- تبلغ قيمة الكمون على بعد ما من شحنة نقطية $V = 600 \text{ n/C}$ وشدة الحقل 200 n/C .
- a ما هو البعد عن الشحنة النقطية؟
- b ما هو مقدار هذه الشحنة؟
- 8- تبلغ قيمة شحتين نقطتين $C = 20 \times 10^{-9} \text{ C}$ و $C = 12 \times 10^{-9} \text{ C}$ ، وتفصل بينهما مسافة قدرها 5 cm . يطلق الكترون من المسكون بين هاتين الشحتين على بعد 1 cm من الشحنة السالبة ويتحرك على المستقيم الواصل بين الشحتين. ما هي سرعته عندما يصبح على بعد 1 cm من الشحنة الموجبة؟

9- يبلغ نصف قطر حلقة مشحونة إيجابياً a وهي موضوعة بحيث أنَّ مستواها عمودي على محور السينات ومركزها في المبدأ.

-a- ارسم مخطط الكمون V في نقاط المحور x كتابع لـ x .

-b- ارسم على نفس مخطط التمحن البياني الذي يمثل مقدار شدة الحقل E .

-c- ما هي علاقة المخطط الثاني هندسياً بالنسبة للأول (ما هي العلاقة بين المخططين).

10- حقل كهربائي منتظم شدته $k N/C$ 2 باتجاه المحور x . وُضعت شحنة قدرها

$Q = 3\mu C$ في مبدأ الإحداثيات ثم تركت بدون سرعة ابتدائية، والمطلوب:

-a- ما هي الطاقة الحرارية لهذه الشحنة عندما تصل إلى النقطة $x = 4 m$? $\Phi_x = 4 m$

-b- ما هو تغير طاقتها الكامنة من $x = 0$ إلى $x = 4 m$?

-c- ما هو فرق الكمون $(0) - V(4)$?

-d- أوجد الكمون (x) إذا كانت $V(0) = 4 kV$.

11- مستوٌ لغازي مشحون بكثافة سطحية $\sigma = 1\mu C/m^2$ في المستوى yz . ما هو فرق الكمون بين النقطتين $x = 20 cm$ و $x = 50 cm$ ما هو العمل المبذول من قبل قوة خارجية لتحريك شحنة $q = 1nC$ من النقطة $x = 20 cm$ إلى النقطة $x = 50 cm$

12- شحنة موجبة قيمتها $2\mu C$ موجودة عند المبدأ، والمطلوب:

-a- ما هو الكمون الكهربائي عند النقطة التي تبعد $4 m$ من المبدأ مفترضاً أنَّ

$$\Phi_{(0)} = 0$$

-b- ما هي الطاقة الكامنة لشحنة قدرها $2\mu C$ موجودة عند $x = 4 m$ ؟

-c- ما هو العمل المبذول لجلب هذه الشحنة من اللامادية ووضعها على بعد $4 m$ من الشحنة التي في المبدأ؟

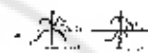
- d - ما هو العامل المبذول لجلب الشحنة الأولى وقدرها $3\mu C$ من اللامركزية ووضعها في المبدأ مع بقاء الشحنة $2\mu C$ في الموضع $x = 4m$
- 13 - وضعت أربع شحنات متساوية قيمة كل منها $2\mu C$ في زاوية مربع طول ضلعه 4 m ، والمطلوب:
- a - أوجد الكمون عند مركز المربع إذا كانت جميع الشحنات موجبة.
 - b - وفي حالة تلات شحنات موجبة والرابعة سالبة.
 - c - وفي الحالة التي تكون فيها شحنتان موجبات وشحتان سالبتان.
- 14 - أوجد الطاقة الكهربائية الساكنة الكامنة للحالات الثلاث المذكورة في السؤال السابق.
- 15 - مثلث متساوي الأضلاع طول ضلعه 3 m وضع شحنتان موجبات قدر كل منها $2\mu C$ عند الرأسين A و B والمطلوب:
- a - فما هو الكمون عند الرأس الثالث C
 - b - ما هو العامل اللازم لجلب شحنة موجبة قدرها $2\mu C$ من اللامركزية ووضعها عند C
 - c - أعد المسألة في حالة شحنة موجبة عند A وأخرى سالبة عند B ولكل منها $3\mu C$.
- 16 - شحنة نقطية موجبة قدرها $3\mu C$ في المبدأ وأخرى سالبة وقدرها $2\mu C$ عند النقطة $x = 6 m$ من المحور x ، والمطلوب:
- a - أوجد الكمون عند $x = 3 m$ من المحور x من المحور x.
 - b - أوجد الحقل الكهربائي عند النقطة $x = 3 m$ من المحور x.
 - c - أوجد الكمون عند النقطة $x = 3.01 m$ احسب $\frac{\Delta V}{\Delta x}$ - وقارن الجواب مع قيمة الحقل الكهربائي عند النقطة $x = 3 m$.

- d - ارسم $(x) V$ كتابع لـ x من أجل هاتين الشحتين.
- 17 - يعطى الكمون الكهربائي في أحد الحالات العلاقة $V(x) = C_1 + C_2 x^2$ حيث C_1 و C_2 ثابتان . أوجد قيمة الحقل الكهربائي والمحاذه في هذا الحال.
- 18 - شحتان موجيان عند نقطتين $a < x < -a$. والمطلوب:
- a - أوجد الكمون الكهربائي $(x) V$ كتابع لـ x من أجل نقاط المجرور x .
 - b - ارسم لهذا التابع.
 - c - ما هو معنى وجود النهاية الصغرى في هذا المنحني.
- 19 - ارسم الكمون $(x) V$ كتابع لـ x لحلقة مشحونة بانتظام موجودة في المستوى yz ، والمطلوب:
- a - حدد موضع نهاية $(x) V$ العظمى؟
 - b - ما هي قيمة E_x عند هذه النقطة؟
- 20 - كرة مشحونة بانتظام نصف قطرها 10^{-15} m وشحنتها الكلية Q . فإذا كان مركز الكرة في مبدأ الإحداثيات أوجد الحقل الكهربائي والكمون عند $r = R$ وعند $r = 0$.
- 21 - وزعت الشحنة 10^{-8} C بانتظام على طبقة كروية نصف قطرها 10 cm ، والمطلوب:
- a - ما هي قيمة الحقل الكهربائي بالقرب من السطحين الداخلي والخارجي لهذه الطبقة؟
 - b - ما هي قيمة الكمون الكهربائي بالقرب من السطحين؟
 - c - وما هي قيمة الكمون الكهربائي عند مركز الطبقة؟
 - d - وما هي قيمة الحقل الكهربائي في هذه النقطة؟
- 22 - يعطى الحقل الكهربائي بالعلاقة $E_x = 2x^3 \text{ kN/C}$. أوجد فرق الكمون بين نقطتين $x = 2 \text{ m}$ و $x = 1 \text{ m}$ من المجرور x .

23- أثبتت أن الكمون عند نقطة تبعد مسافة r عن نباتي نقطتين تعطى بالعلاقة:

$$V = \frac{k a q \cos \theta}{r^2}$$

24- ناقل كروي يحوي نصف قطره الداخلي a ونصف قطره الخارجي b . ووضعت شحنة موجبة $+q$ في مركزه. أوجد الكمون الكهربائي في جميع النقاط مفترضاً أن



25- كرة غير ناقلة نصف قطرها R مشحونة بكتافة p_0 حيث $p = p_0 r/R$ حيث p_0 ثابت. أثبتت أن الشحنة الكلية تساوي $\pi R^3 p_0$. وأن الشحنة ضمن كرة نصف قطرها r هي $q = Q \frac{r^4}{R^4}$ حيث $R > r$. استخدم نظرية غالواص لإيجاد الحقل الكهربائي ثم أوجد الكمون الكهربائي في كل مكان.

الفصل الخامس
الساعة
والعاذر وازل

**CAPACITANCE AND
DIELECTRICS**



نستخدم التابض المهزوز أحياناً لتخزين الطاقة الميكانيكية على شكل طاقة كامنة، بواسطة ضغطه عن موضع توازنه. فهل المكبات لديها القابلية على تخزين الطاقة الكهربائية على شكل طاقة كامنة.

وتحدث أيضاً عن حوض آلة يتسع لكمية من الماء ترداد بازدياد مساحته. فهل يمكننا القول نفسه عن اتساع ناقل لكمية الكهرباء ويسأله المرء أحياناً، إذا قمنا بشحن جسم ما، ذو حجم محدود فإلى أي قيمة يمكن ملؤه بالشحنات؟. وهل يمكن أن نقارن ذلك بالماء الذي يملأ كأساً حتى يصبح حجم الماء مساوياً حجم الكأس. ونقول عندها، إن سعة الكأس مرتبطة بحجمه فقط.

5 - ٤ السعة الكهربائية لناقل Capacitance electric for conductor

يتناصف الكمون الكهربائي V لناقل عزول، مع شحنته الكهربائية Q ، وقد ثبتت التجارب، أنه إذا تغير الشحنة الكهربائية بنسبة ما، فإن الكمون الكهربائي يتغير بنفس النسبة، بحيث تبقى نسبة شحنة الناقل إلى كمونه متساوية إلى مقدار ثابت، وقد سميت هذه النسبة (المقدار الثابت) بـ سعة الناقل ويرمز له بـ C ، والعلاقة المعتبرة عن هذا التناصف هي:

$$C = \frac{Q}{V} \quad (1)$$

حيث Q : الشحنة الكهربائية لناقل

V : الكمون المتولد عن هذه الشحنة

C : سعة الناقل

ونعرف سعة الناقل بأنها كمية الشحنة اللازم وضعها على ناقل لرفع كمونه بمقدار فولت واحد، وتقاس السعة في الجملة الدولية بالفاراد (Farad) ورمزه F. والفاراد هو سعة ناقل إذا شحن بشحنة كهربائية قدرها كيلون واحد كان كمونه متساوياً إلى فول特 واحد ويعد الفاراد واحدة كبيرة جداً، ولتوسيع ذلك، نأخذ ناقل كروي نصف

قطره R ومشحون بشحنة كهربائية Q. فقد وجدنا كمون هذا الناقل يساوي:

$$V = \frac{1}{4\pi\epsilon_0} \cdot \frac{Q}{R} = k \cdot \frac{Q}{R}$$

فإذا عوضنا الكمون بالعلاقة 1 نجد أن:

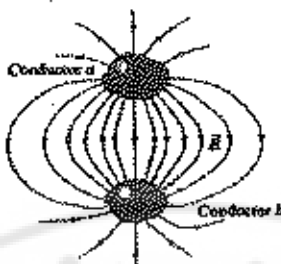
$$C = \frac{R}{k} = \frac{R}{9 \times 10^9} \quad (2)$$

يتضح من العلاقة (2) أن سعة الناقل الكروي لا تتعلق إلا بنصف قطره R. ومن أحل الحصول على ناقل كروي معزول، سنته فاراد واحد، يجب أن يكون نصف قطره مساوياً إلى 9×10^9 m أي أكبر من نصف قطر الأرض بحوالي 1400 مرة. لذلك تستخدم عملياً أجزاء الفاراد مثل الميكروفاراد micro farad $1\mu F = 10^{-6} F$ والبيكوفاراد pico farad $1PF = 10^{-12} F$. والنانوفاراد $1nF = 10^{-9} F$.

5 - السعة والمكثفات:

لا يمكن الحصول على سمات كبيرة باستعمال ناقل وحيد ذي حجم غير كبير، ولكن يمكن بجملة ناقلين صغيرين موضوعين بترتيب معاكس وعلى بعد فاصل صغير، أن تملك سعة كبيرة، تدعى مثل هذه الجملة بالمكثفة (condenser) وهو الاسم القديم لهذه الجمل، ويُفضل عليه الآن استعمال اسم (capacitor) وبقابلة بالعربية المتّسعة، وتعد المكثفة إحدى العناصر الأساسية في الدارات الكهربائية.

المكثفة هي أداة تُستخدم لتخزين الشحنات الكهربائية والطاقة، وتتألف من ناقلين معزولين يفصل بينهما عازل، قد يكون الهواء أو أي مادة عازلة، ويكون الناقلان في المكثفة إما بشكل صفيحتين متساويتين متوازيتين، أو اسطوانتين متساويتين طولاً ولهم مخور مشترائ، أو كرتين متعر كرتين، ويسمي هذان الناقلان باللبرسيين (coatinge).



الشكل (٥ - ١)

يوضح الشكل (٥ - ١)، أحد أشكال المكثفات التي تتألف من ناقلين معزولين a و b .

وتمثل المكثفة في الدارات الإلكترونية $C = \frac{Q}{V_{ab}}$ بالرمز أو .
عندما تشحذ مكثفة (ناقلين متحاوريين)، تتوضّح شحنتان متتساويتان ومتعاكستان على كل من الناقلين، قيمة كل منها Q ، ويولد فرق في الكمون بين البوسيين ، يرمز له بـ V_{ab} ، نعرف النسبة بين الشحنة Q لأحد الناقلين إلى فرق الكمون V_{ab} بين هذين الناقلين بالإتساعية أو سعة المكثفة ويرمز لها بالرمز C ونعطي بالعلاقة:

$$C = \frac{Q}{V_{ab}} \quad (3)$$

ومن الديهي أن الشحنة الكلية للمكثفة تساوي الصفر . ولكن عندما نتكلم عن شحنة المكثفة، فإنه يقصد بها الشحنة الموجودة على أحد الناقلين بصرف النظر عن إشارتها . ومن تعريف سعة المكثفة، نلاحظ أنها تقدر بالكيلون في الفولط أي الفاراد، كما ذكرنا سابقاً . ومعنى ذلك أن سعة مكثفة ما تساوي الفاراد، فيما إذا اتّقل كيلون واحد من أحد الناقلين إلى الآخر بفضل فرق كمون بين الناقلين قدره

$$1F = 1 \text{ Farad} = 1 \frac{C}{V} = 1 \text{ coulomb/volt}$$

فالفاراد ، يمثل سعة مكثفة، إذا شحنت بكمية كهربائية قدرها كيلون واحد، تولد بين لبوسيها فرق في الكمون قدره فولط واحد.

والمكثفات تطبيقات كثيرة في الدارات الكهربائية حيث تستخدم في:

١- تخزين الطاقة في الليزرات النبضية للتعيم.

٢- دارات الراديو للتوليف أي للضبط و (التعيم) أي تصفية التيار المقوم

المأهود من شبكة المدينة، حيث يتم انتقاء تواتر معين وإبعاد تواتر آخر،

فالمكثفة تسعى إلى تمرير التيار ذات الترددات العالية وتکبح التيارات

ذات الترددات المنخفضة، لذلك يسمى بمرشح تمرير الترددات العالية high

- pass filter

٣- زيادة مردود أجهزة نقل الطاقة الكهربائية بالتيار المتناوب، بفضل استعمال

مكثفات كبيرة.

٤- دارات التيار المتناوب، حيث تستخدم المكثفات كالتواضع في المسيرات

لامتصاص الصدمات، فالمكثفات تقوم بامتصاص الزيادة في الفولط،

وتعويض النقص في دارات التقويم الكهربائي للتيار المتناوب.

٥- للتخلص من حصول الشر - الذي يحدث عندما تفتح دارة جلوية على

تمريرية فتحاً مفاجئاً فجهاز الإشعال في كل سيارة يحتوي على مكثفة

لهذا الغرض.

سوف ندرس فيما يلى، المكثفة ذات الصفيحةين المتوازيين المألوفة كثيراً والتي

تسمى بالمكثفة المستوية، ثم المكثفة الكروية والأسطوانية.

٥- ٣ حساب سعة المكثفات في الخلاء:

Calculating capacitance – capacitors in vacuum

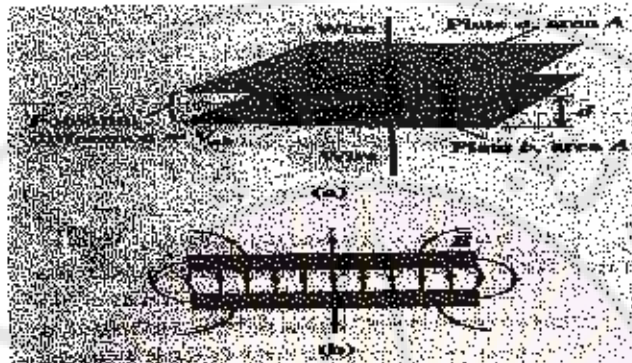
نستطيع حساب سعة المكثفة C إذا علمنا فرق الکمون V بين لبوسيها

وقيمة الشحنة الكهربائية Q للمكثفة. وذلك باستخدام العلاقة ٢. ستة اقنش:

أولاً، الحالة تكون فيها المكثفة في الخلاء أي أنّ الوسط العازل بين لبوسي المكثفة هو الهواء.

A - سعة المكثف المستوية Parallel – Plate capacitor

إن أبسط أنواع المكثفات، تلك المكونة من صفيحتين ثابتتين متوازيتين، مساحة كل منها A وتفصل بينهما مسافة d صغيرة جداً بالنسبة إلى الأبعاد الخطية للصفيحتين، كما هو مبين بالشكل (2 - 5).



الشكل (2 - 5)

وجدنا سابقاً، أن الحقل الكهربائي الناشئ عن مستوى سطح A ، مشحون بشحنة كثافة Q وبكلافة سطحية $\frac{Q}{A}$. يعطي بالعلاقة: $E = \frac{\sigma}{2\epsilon_0}$. من أجل النقاط الواقعة بين الصفيحتين، تكون قيمة الحقل المترولد عن الصفيحة العلوية متساوية إلى $\frac{\sigma}{2\epsilon_0}$ ، ومن أجل الصفيحة السفلية $E_- = \frac{\sigma}{2\epsilon_0}$. وهذا الحالان هما اتجاه واحد من السطح المواجه إلى السالب وعمودي على مستوى الصفيحتين لأن الصفيحتين مختلفتا الشحنة وواعتنان على جانبي النقاط المفترضة.

فتكون قيمة الحقل في كل نقطة بين الصفيحتين، هي حاصل جمع هذين الحقلين:

$$E = E_+ + E_- = \frac{\sigma}{\epsilon_0} = \frac{Q}{\epsilon_0 \cdot A} \quad (4)$$

ولما كان الحقل الكهربائي ثابت ومنتظم بين اللبوسين، أو تدرج الكمون بين اللبوسين منتظاماً، فإن فرق الكمون بين اللبوسين هو:

$$V_a - V_b = \int E \cdot dL = E \cdot d \quad (5)$$

أو يكتب:

$$V_{\text{d}} = E \cdot d = \frac{1}{\epsilon_0} \cdot \frac{Q \cdot d}{A} \quad (6)$$

وبتعريف العلاقة الأخيرة بعبارة السعة المبنية بالعلاقة 3، نجد سعة المكثفة

المستوية:

$$C = \frac{Q}{V_{\text{d}}} = \epsilon_0 \cdot \frac{A}{d} \quad (7)$$

ولما كانت ϵ_0 ، A ، d ثابتة بالنسبة لمكثفة معينة، فإن السعة هي مقدار ثابت لا علاقة له بشحنة المكثفة. من جهة أخرى ، نرى أن السعة تتناسب طرداً مع سطح الليوسين وعكساً مع البعد بينهما. وإذا استعملت الجملة الدولية، قدرت A بالأمتار المربعة و d بالأمتار و $\epsilon_0 = C^2 / N \cdot m^2$ فنقدر السعة بالفاراد:

$$1F = 1 \frac{C^2}{N \cdot m} = 1 \frac{C^2}{J}$$

لحساب على سبيل المثال، سطح الليوس في مكثفة مستوية سعتها 1F، إذا كانت المسافة بين ليوسيها 1 mm وكأن الليوسان في الخلاء:

$$C = \epsilon_0 \cdot \frac{A}{d}$$

$$A = \frac{C \cdot d}{\epsilon_0} = \frac{1 \times 10^{-3}}{8.85 \times 10^{-12}} = 1.13 \times 10^8 m^2$$

وتعادل هذه، مساحة مربع طول ضلعه 10 600 m

مثال (1 - 5) :

مكثفة مستوية في الهواء، تبلغ المسافة بين ليوسيها 5 mm، وسطح كل منها $2m^2$ ، فإذا طبقنا على ليوسيها فرقاً في الكمون قدره 10 kV، فالمطلوب حساب:
- السعة b - الشحنة على كل ليوس c - شدة الحقل الكهربائي الم hasil
بين الليوسين
الخل:

$$C = \epsilon_0 \cdot \frac{A}{d} = 8,85 \times 10^{-12} \times \frac{2}{5 \times 10^{-3}} = 3,54 \times 10^{-9} F \quad -a$$

$$Q = C \cdot V_{ab} = 3,54 \times 10^{-9} \times 10 \times 10^3 = 3,54 \times 10^{-5} C \quad -b$$

$$E = \frac{\sigma}{\epsilon_0} = \frac{Q}{\epsilon_0 \cdot A} = \frac{3,54 \times 10^{-5}}{8,85 \times 10^{-12} \cdot 2} = 20 \times 10^5 \frac{N}{C} \quad -c$$

ويمكن حساب شدة المُحْفَل الكهربائي باعتباره تدرجًا للكمون:

$$E = \frac{V_{ab}}{d} = \frac{10000}{5 \times 10^{-3}} = 20 \times 10^5 \frac{V}{m}$$

مع العلم بأن $\frac{V}{m}$ و $\frac{N}{C}$ هما وحدتان متكافئتان، كما ذكرنا سابقاً.

مثال (2-5) :

مكثفة مستوية، سعتها $PF = 90$ ، شحنت بواسطة بطارية، إلى أن أصبح كموها مساوياً $12V$ ، أوجد عدد الالكترونات التي انتقلت من أحد اللبوسين إلى الآخر.

الحل:

$$Q = C \cdot V = 90 \times 10^{-12} \cdot 12 = 1080 \times 10^{-12} C$$

$$N = \frac{Q}{e} = \frac{1080 \times 10^{-12}}{1,6 \times 10^{-19}} = 675 \times 10^7$$

B - سعة المكثفة الكروية A spherical capacitor

تتألف المكثفة الكروية من ناقلين (لبوسين) كرويين متعددين في المركز، كما يظهر في الشكل (5-3)، نصف قطر الكرة الداخلية r_i والخارجية r_o . يشحن اللبوس الداخلي بشحنة موجبة Q^+ من خلال ثقب صغير موجود في اللبوس الخارجي، وينشأ عن ذلك حقل كهربائي في المنطقة المحدودة بين سطحي الكرتين. إن المُحْفَل الكهربائي بين اللبوسين يماثل للمُحْفَل الكهربائي الناتج عن شحنة نقطية Q موجودة في مركز اللبوسين، ولا تسهم الشحنة الموجودة على اللبوس الخارجي في قيمة المُحْفَل، ويمكننا

البرهان باستخدام نظرية غوص، على أن الحقل الكهربائي معدوم داخل الكرة الداخلية الصغيرة وخارج الكرة الخارجية الكبيرة.

أما قيمة الحقل الكهربائي بين اللبوسين في نقطة تبعد مسافة r عن المركز المشترك للكرتين $r_a < r < r_b$ ، وذلك باستخدام نظرية غوص، هي:

$$E = \frac{1}{4\pi\epsilon_0} \cdot \frac{Q}{r^2} = K \frac{Q}{r^2} \quad (8)$$

وأتجاهه هو اتجاه النظام على سطح الكرة الداخلية أو الخارجية، وإذا رمنا V_a للكمبون على الكرة الداخلية و V_b للكمبون على الكرة الخارجية، يكون فرق الكمبون المخالص بين الكرتين هو:



(3 - 5)

$$V_{ab} = V_a - V_b = \int_{r_a}^{r_b} E \cdot dr = \int_{r_a}^{r_b} \frac{1}{4\pi\epsilon_0} \frac{Q}{r^2} dr \quad (9)$$

ومنه يجد :

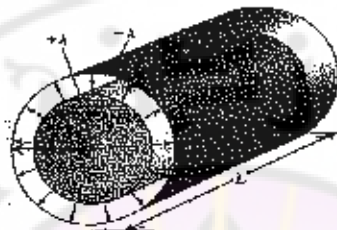
$$V_{ab} = \frac{Q}{4\pi\epsilon_0 r_a} - \frac{Q}{4\pi\epsilon_0 r_b} = \frac{Q}{4\pi\epsilon_0} \frac{r_b - r_a}{r_a r_b}$$

وتكون سعة المكثف الكروية متساوية:

$$C = \frac{Q}{V_{ab}} = 4\pi\epsilon_0 \cdot \frac{r_a r_b}{r_b - r_a} \quad (10)$$

C — سعة المكثف الأسطرالية
A cylindrical capacitor

تتألف المكثفة الأسطوانية من ناقلين (ليوسين) أسطوانات متحدين في المحور، كما يظهر في الشكل (4 - 5). طول كل منها L ، نصف قطر قطر الأسطوانة الداخلية r_i والخارجية r_o ، يشحن الليوس الداخلي بشحنة موجبة $Q +$ فتكون شحنة الليوس
الخارجي $-Q$.



الشكل (4 - 5)

يتولد من شحن هذه المكثفة، حقل كهربائي يكون اتجاهه عمودياً على المحور المشترك للأسطوانتين. وتعطى قيمة الحقل، في نقطة واقعة بين سطحي الليوسين، وعلى بعد r من المحور المشترك، بالعلاقة:

$$E = \frac{\lambda}{2\pi\epsilon_0 L} = \frac{Q}{2\pi\epsilon_0 L} \cdot \frac{1}{r} \quad (11)$$

لأنه يمكن اعتبار الأسطوانة الداخلية كمستقيم يحمل نفس الشحنة Q وموزعة بكثافة خطية متقطمة λ ، أما فرق الكمون بين الليوسين فيعطي بالعلاقة:

$$V_{ab} = V_a - V_b = \int_{r_i}^{r_o} E \cdot dr = \int_{r_i}^{r_o} \frac{Q}{2\pi\epsilon_0 L} \cdot \frac{dr}{r} \quad (12)$$

$$V_{ab} = \frac{Q}{2\pi\epsilon_0 L} \cdot \ln \frac{r_o}{r_i} \quad (13)$$

وبحسب تعريف السعة، يحد سعة المكثفة الأسطوانية مساوية:

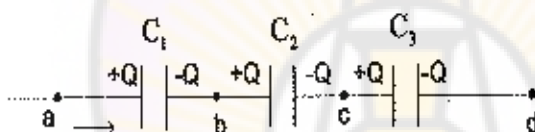
$$C = \frac{Q}{V_{ab}} = \frac{2\pi\epsilon_0 L}{\ln \frac{r_o}{r_i}} \quad (14)$$

5 - 4 وصل المكثفات : connection capacitors

تُصنَّع المكثفات عادة بساعات قياسية، فإذا أردنا وضع مكثفة في دارة كهربائية سعتها مختلفة عن الساعات القياسية المتوفرة لدينا، فإننا نصل بمجموعة من المكثفات معاً بالشكل الذي يعطينا المكثفة ذات السعة المطلوبة، وهناك طريقتان أساسيتان لوصول المكثفات في الدارات الكهربائية هما:

١ - وصل المكثفات على التسلسل أو على التوالي: Capacitors in series

يتم وصل نهاية كل مكثفة مع بداية المكثفة التي تليها، كما يظهر في الشكل (٥) (٥) - فعند تطبيق فرق في الكمون V_{ab} بين المربطين a و b يتشحن البوس الأيسر للمكثفة C_1 بشحنة قدرها $+Q$ + مما يؤدي، بالتأثير، إلى ظهور شحنة سالبة قدرها $-Q$ على البوس الأيمن، وهكذا نتيجة الشحن بالتأثير أو التحرير، سوف تظهر بالوقت نفسه شحنة قدرها $+Q$ + على البوس الأيسر للمكثفة C_2 وشحنة $-Q$ - على بوسيها الأيمن.



الشكل (٥-٥)

وهكذا تتلقى كل مكثفة شحنة مقدارها Q على كل من بوسيها ويكون فرق الكمون بين طرفي كل مكثفة متساوياً:

$$V_{ab} = \frac{Q}{C_1}, V_{bc} = \frac{Q}{C_2}, V_{cd} = \frac{Q}{C_3}$$

و بما أن:

$$V_{ad} = V_{ab} + V_{bc} + V_{cd}$$

فإذا رمنا بـ C_{eq} بالسعة المكافئة *equivalent capacitance* أي المساحة
الوحيدة للمكثفة التي إذا أعطت نفس الشحنة Q كان فرق الكمون بين أطرافها V_{ab}

$$V_{ab} = \frac{Q}{C_{eq}} \quad \text{ويكون:}$$

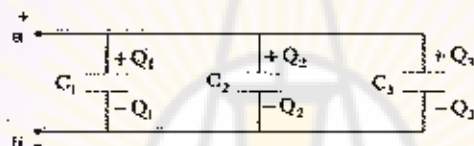
$$\frac{Q}{C_{eq}} = \frac{Q}{C_1} + \frac{Q}{C_2} + \frac{Q}{C_3} \quad \text{ويكون:}$$

ومنه يجد قانون صل المكثفات على التسلسل:

$$\frac{1}{C_{eq}} = \frac{1}{C_1} + \frac{1}{C_2} + \frac{1}{C_3} \quad (16)$$

2 - وصل المكثفات على التفرع أو التوازي: Capacitors in parallel

في هذه الحالة، يتم وصل بداية كافة المكثفات إلى نقطة واحدة ونهاياتها إلى نقطة
واحدة أخرى كما يظهر في الشكل (5 - 6)



الشكل (5 - 6)

عندما نطبق فرق في الكمون قدره V_{ab} على المربطين a، b للمجموعه التوازية يكون
فرق الكمون، عندئذ، لكل مكثفة مساوياً V_{ab} ولكن الشحنات في هذه المكثفات
تكون مختلفة لأن:

$$Q_1 = C_1 \cdot V_{ab}, \quad Q_2 = C_2 \cdot V_{ab}, \quad Q_3 = C_3 \cdot V_{ab}$$

والشحنة الكلية للمجموعه هي:

$$Q = Q_1 + Q_2 + Q_3 \quad (17)$$

فإذا رمنا، أيضاً، بـ C_{eq} بالسعة المكافئة، أي سعة المكثفة الوحيدة التي تكتسب
نفس الشحنة Q عندما يطبق فرق في الكمون V_{ab} ، يكون:

$$Q = C_{eq} \cdot V_{ab}$$

ومنه نجد:

$$C_{eq} \cdot V_{ab} = C_1 \cdot V_{ab} + C_2 \cdot V_{ab} + C_3 \cdot V_{ab}$$

ويكون قانون وصل المكثفات على التفرع هو:

$$C_{eq} = C_1 + C_2 + C_3 \quad (18)$$

5 - السعة المكافئة: Equivalent capacitance

عند وصل عدد من المكثفات، على التسلسل أو التوازي، في دارة كهربائية نجد:

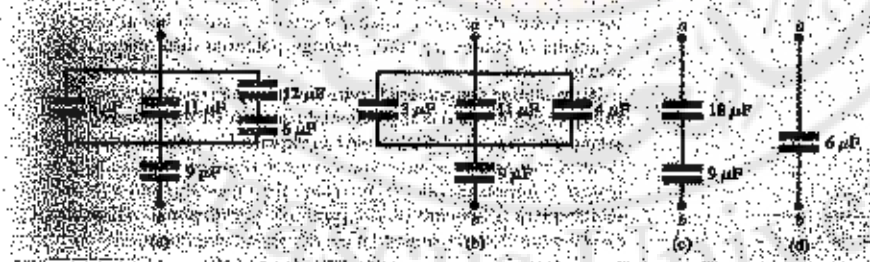
- 1- في المكثفات الموصلة على التسلسل، أن شحنة المكثفة المكافئة تساوي شحنة كل مكثفة من المكثفات الموصلة على التسلسل، أما فرق الکمون للمكثفة المكافئة يساوي مجموع فروق کمون المكثفات الموصلة على التسلسل.
 - 2- في المكثفات الموصلة على التفرع، أن شحنة المكثفة المكافئة تساوي مجموع شحنات المكثفات الموصلة على التفرع بينما فرق الکمون للمكثفة المكافئة يساوي فرق الکمون لكل مكثفة موصلة على التفرع.
- مثال (3 - 5 - 3):

أوجد السعة المكافئة للمكثفات المبينة في الشكل المبين أدناه:

الحل:

إن المكثفين $12 \mu F$, $6 \mu F$ موصلتان على التسلسل، بفرض C' السعة المكافئة،

$$\frac{1}{C'} = \frac{1}{12} + \frac{1}{6} \Rightarrow C' = 4 \mu F \quad \text{نجد:}$$



تصبح هذه المكثفة C' موصولة على التفرع مع المكثفين $4\mu F$, $11\mu F$ فالمكثفة المكافحة لها سعة C'' تساوي:

$$C'' = 3 + 11 + 4 = 18\mu F$$

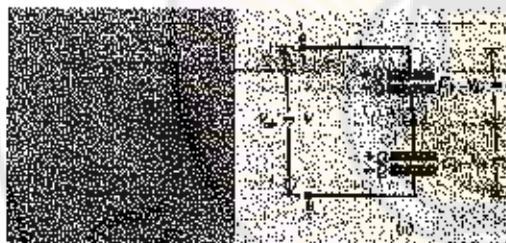
أخيراً، هذه المكثفة \nparallel موصولة على التسلسل مع المكثفة $9\mu F$ فتكون المكثفة المكافحة لها السعة:

$$\frac{1}{C_{eq}} = \frac{1}{18} + \frac{1}{9} \Rightarrow C_{eq} = 6\mu F$$

مثال (5 - 4):

لدينا مكثفان، سعة الأولى $C_1 = 6\mu F$ ، والثانية $C_2 = 3\mu F$ وفرق في الكمون قدره $V_{ab} = 18V$ ، أوجد: السعة المكافحة، شحنة كل مكثفة وفرق الكمون بين طرفي كل مكثفة عندما نصل هاتين المكثفين على التسلسل، ثم على التفرع.

الحل:



أولاً - المكثفان على التسلسل:

المكثفة المكافحة تعطى بالعلاقة:

$$\frac{1}{C_{eq}} = \frac{1}{C_1} + \frac{1}{C_2} = \frac{1}{6} + \frac{1}{3} \Rightarrow C_{eq} = 2\mu F$$

إن شحنة كل مكثفة، في حال الوصول على التسلسل هي نفسها شحنة المكثفة المكافحة:

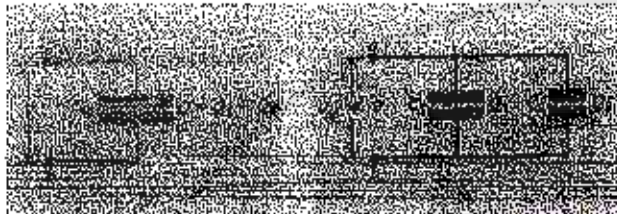
$$Q = Q_1 = Q_2 = Q_{eq} = C_{eq} \cdot V_{ab} = 2 \times 18 = 36\mu C$$

فرق الكمون بين طرفي كل مكثفة يعطى بالعلاقة:

$$V_{\infty} = V_1 = \frac{Q}{C_1} = \frac{36}{6} = 6V$$

$$V_{\infty} = V_2 = \frac{Q}{C_2} = \frac{36}{3} = 12V$$

هذا - المكثفان على التوازي:



المكثفة المكافئة تعطى بالعلاقة:

$$C_{eq} = C_1 + C_2 = 6 + 3 = 9 \mu F$$

فرق الکمون بين طرفي كل مكثفة هو نفسه V_{∞} أي:



أما شحنة كل مكثفة فتعطى بالعلاقة:

$$Q_1 = C_1 \cdot V = 6 \times 18 = 108 \mu C$$

$$Q_2 = C_2 \cdot V = 3 \times 18 = 54 \mu C$$

5 - 6 الطاقة المخزنة في المكثفات Energy storage in capacitors

حين نشحن مكثفة ما، فإننا نبذل عملاً، وهذا العمل يُخزن في المكثفة كطاقة كامنة، ستقوم بحساب هذه الطاقة. إن عملية شحن المكثفة تقوم على نقل الشحنات الموجبة من الليوس ذي الکمون الأخفض (الناقل المشحون بشحنة سالبة) إلى الليوس ذي الکمون الأعلى (الناقل المشحون بشحنة موجبة). لذلك فإن عملية الشحن تتطلب إنفاقاً في الطاقة وبالتالي فإن الطاقة الكامنة للشحنات المنقولة تزداد.

لنفرض أن عملية الشحن لمكثف، بدأت من ليوسين متعديلين، أي ليس فيما أية شحنة، ثم جرى بالتتابع نقل شحنات موجبة صغيرة من أحد الليوسين إلى الليوس

الآخر، وعندما تبلغ هذه العملية المرحلة التي تكون فيها الكمية الكلية للشحنة المنقولة قد بلغت المقدار Q ، يصبح فرق الکمون بين اللبوسين مساوياً:

$$V_{ab} = \frac{Q}{C}$$

لتفرض أن شحنة كهربائية q انتقلت خلال عملية الشحن، فيكون فرق الکمون مساوياً $V = q/C$. فإذا أردنا نقل شحنة عنصرية صغيرة dq من اللبوس الأخفف إلى اللبوس الأعلى، فإننا نقوم بعمل يتحول إلى طاقة كامنة يعطي بالعلاقة:

$$dw = du = V, dq = \frac{q}{C} \cdot dq \quad (19)$$

ويكون العمل الكلي المنول في عملية الشحن، لزيادة شحنة المكثفة q من الصفر إلى Q ، هو الطاقة المختزنة الكامنة في المكثفة:

$$U = W = \int_0^q dw = \frac{1}{C} \int_0^q q \cdot dq = \frac{Q^2}{2C} \quad (20)$$

ولما كان $V_{ab} = \frac{Q}{C}$ ، فإن الطاقة المختزنة يمكن كتابتها بالصيغة التالية:

$$U = \frac{Q^2}{2C} = \frac{1}{2} C \cdot V^2 = \frac{1}{2} Q \cdot V \quad (21)$$

ونقدر الطاقة بالجouل عندما نقدر السعة C بالفاراد والشحنة Q بالكيلولون.

إن صيغ الطاقة المختزنة في العلاقة 21 هي عامة وتصلح لجميع المكتفات، وهذه الطاقة المخزونة في المكثفة قابلة للاستفادة منها بشكل آخر عند تفريغ المكثفة، لذلك نرى أن المكثفة، بخلاف المقاومة، هي مقر لقوة محركة كهربائية ق. م. ك (F. E. M.).

5 - 7 طاقة الحقل الكهربائي: Electric - Field energy

عندما نشحن مكثفة مستوية ، سطح أحده لبوسيها A والمسافة بين اللبوسين l ، فإنه يتولد بينهما حقل كهربائي E ، وتنشأ طاقة مختزنة في المكثفة معطاة بالعلاقة (21)، فإذا رمزنا U لكتافة الطاقة في واحدة الحجم energy density ، فاعتماداً على العلاقة

21 تكون كثافة الطاقة لمكثفة مستوية تساوي:

$$U = \frac{\frac{1}{2} C \cdot V^2}{A \cdot d} \quad (22)$$

ويمكن أن السعة وفرق الكمون لمكثفة مستوية معطى بالعلاقة: $C = \epsilon_0 \cdot A/d$ و $V = E \cdot d$ تكون الطاقة المخزنة بواحدة الحجم في مكثفة مستوية متساوية:

$$U = \frac{1}{2} \epsilon_0 \cdot E^2 \quad (23)$$

وهكذا نستنتج أنّ الحقل الكهربائي الذي تولد خلال عملية الشحن، كان نتيجة العمل المبذول لشحن المكثفة، وهو نفسه العمل أو الطاقة اللازمة لتوليد الحقل الكهربائي.

مثال (5-5):

لشحن مكثفة سعتها $C_1 = 8\mu F$ عن طريق وصلها بمنبع كهربائي فرق كمونه $V_0 = 120V$ ، ثم أبعدنا المتبع الكهربائي والقاطع S مفتوحاً، كما هو مبين بالشكل أدناه.

وصلنا المكثفة الأولى بمكثفة ثانية غير مشحونة، سعتها $C_2 = 4\mu F$ وذلك بإغلاق القاطع S، والمطلوب:

- 1- احسب الشحة Q_0 المولدة في المكثفة C_1 عندما كان القاطع S مفتوحاً.
- 2- ما هي الطاقة المخزنة في المكثفة C_1 والقاطع S مفتوحاً.
- 3- أوجد فرق الكمون الجديد بعد وصل المكثفين عن طريق القاطع S وشحنه كل منهما.
- 4- احسب الطاقة الكلية المخزنة في المكثفين.



الحل:

$$1 - Q_0 = C_1 \cdot V_0 = 8 \times 10^{-6} \times 120 = 960 \times 10^{-6} C = 960 \mu C$$

$$2 - U = \frac{1}{2} Q_0 \cdot V_0 = \frac{1}{2} \times 960 \times 10^{-6} \times 120 = 0,058 J$$

3 - عند وصل المكثفين عن طريق القاطعة، فإن الشحنة Q_0 توزع على المكثفين أي أن:

$$Q_0 = Q_1 + Q_2 , \quad Q_1 = C_1 \cdot V , \quad Q_2 = C_2 \cdot V$$

وتصبح المكثفات موصولتين على التوازي ويكون لهما نفس فرق الكمون:

$$Q_0 = C_1 \cdot V + C_2 \cdot V = V(C_1 + C_2)$$

$$V = \frac{Q_0}{C_1 + C_2} = \frac{960 \times 10^{-6}}{8 \times 10^{-6} + 4 \times 10^{-6}} = 80 V$$

$$Q_1 = C_1 \cdot V = 640 \times 10^{-6} C , \quad Q_2 = C_2 \cdot V = 320 \times 10^{-6} C$$

4- إن الطاقة المحزننة الكلية هي مجموع الطاقتين المحزننن في كل مكثفة:

$$U_{total} = U_1 + U_2 = \frac{1}{2} Q_1 \cdot V + \frac{1}{2} Q_2 \cdot V = \frac{1}{2} Q_0 \cdot V \\ = \frac{1}{2} \times 960 \times 10^{-6} \times 80 = 0,038 J$$

نلاحظ أن قيمة هذه الطاقة المحزننة U_{total} أقل من قيمة الطاقة الابتدائية $= U_{initial}$ ، ويعود ذلك نتيجة تحول الطاقة من شكل آخر، وتحول قسم منها إلى حرارة بفعل مقاومة الأسلاك.

مثال (5 - 6):

شحن التبادل الداخلي، لمكثفة كروية، بشحنة قدرها $+Q$ وأخارجي بشحنة $-Q$ ، أوجد طاقة الكمون الكهربائي المحزننة في المكثفة باستخدام:

- سعة المكثفة المعطاة بالعلاقة 10 a.

- بـ كثافة طاقة الحقل الكهربائي.

الحل:

- إن سعة المكثفة الكروية، تعطي بالعلاقة 10، هي:

$$C = 4\pi\epsilon_0 \cdot \frac{r_a \cdot r_b}{r_b - r_a}$$

فتكون الطاقة المحترنة في المكثفة، حسب العلاقة 21، هي:

$$U = \frac{Q^2}{2C} = \frac{Q^2}{8\pi\epsilon_0} \cdot \frac{r_b - r_a}{r_a \cdot r_b}$$

- إن قيمة الحقل الكهربائي بين لبوس المكثفة هي:

$$E = \frac{1}{4\pi\epsilon_0} \cdot \frac{Q}{r^2}$$

أما قيمة هذا الحقل داخل اللبوس الداخلي وخارج اللبوس الخارجي تكون معدومة، لأنّه إذا طبقنا نظرية غوص على أي سطح كروي نصف قطره $r < r_a$ أو $r > r_b$ فإن الشحنات معدومة. إذاً كثافة الطاقة تكون غير معدومة بين اللبوسين

$r_a < r < r_b$ ، وتساوي:

$$U = \frac{1}{2}\epsilon_0 E^2 = \frac{1}{2}\epsilon_0 \left(\frac{Q}{4\pi\epsilon_0 r^2} \right)^2 = \frac{Q^2}{32\pi^2\epsilon_0 r^4}$$

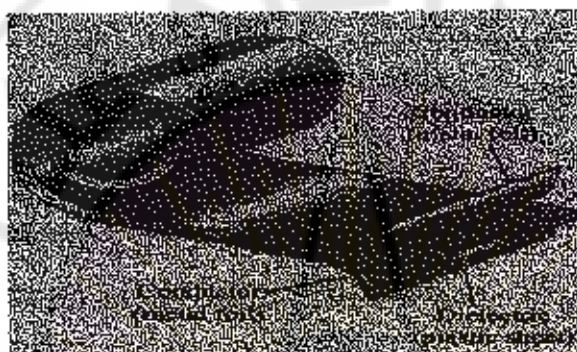
نلاحظ أن كثافة الطاقة، غير ثابتة، وهي تتراقص بسرعة كلما ابتعدنا عن مركز اللبوسين. ولإيجاد الطاقة الكلية، نقسم الحجم بين اللبوسين إلى حجوم عنصرية

$dV = 4\pi r^2 dr$ ، سطح كل منها $4\pi r^2$ وسماكته dr فتكون المكثفة الكلية:

$$\begin{aligned} U &= \int U dV = \int_{r_a}^{r_b} \frac{Q^2}{32\pi^2\epsilon_0 r^4} \cdot 4\pi r^2 dr \\ &= \frac{Q^2}{8\pi\epsilon_0} \int \frac{dr}{r^2} = \frac{Q^2}{8\pi\epsilon_0} \left(-\frac{1}{r_b} + \frac{1}{r_a} \right) = \frac{Q^2}{4\pi\epsilon_0} \cdot \frac{r_b - r_a}{r_a \cdot r_b} \end{aligned}$$

٥ - ٤ العوازل : Dielectrics

إنَّ القسم الأكبر من المكثفات يستخدم بين لبسوسيه مادة غيره عازلة (عازلية)، وال النوع الدارج منها، هو نوع المكثفة المكونة من أوراق معدنية على يلة، ترتفع اللبسوسين ومن شريط ورقى مشرب بالشمع أو شريط من البلاستيك، يوغل المادة العازلة، فعندها تلف هذه المجموعة على نفسها يمكن الحصول على مكثفة سعتها، تبلغ عدة ميكروفاراد في سعيم صغير نسبياً، كما هو مبين بالشكل (5 - 7) .



الشكل (5 - 7)

لدراسة تأثير العازل في المكثفة، ينبغي قياس سعتها أولاً، بوجود خلاء بين لبسوسيها (C_0) ثم بوجود وسط عازل (C). تدعى نسبة هاتين السعتين ثابتة العزل (Dielectric constant) ويرمز إليها κ ، وتعطى بالعلاقة:

$$\kappa = \frac{C}{C_0} \quad (24)$$

وتدعى، هذه الثابتة أيضاً، بالسمانحية النسبية للوسط (Relative permittivity).

التي هي نسبة سماحة الوسط ϵ إلى سماحة الخلاء ϵ_0 وتعطى بالعلاقة:

$$\kappa = \frac{\epsilon}{\epsilon_0} \quad (25)$$

وعليه، يصبح قانون سعة مكثفة مستوية، في حال وجود عازل، بالشكل:

$$C = \epsilon \frac{A}{d} = \kappa \epsilon_0 \frac{A}{d} \quad (26)$$

إن سماحية الهواء فرية جداً من سماحية الخلاء^٦، لذلك يكون تأثير الهواء بين لبوسي المكثفة على سعتها ضعيفاً فيهم في معظم الأغراض. وناتجة العزل عدد بحدة ليس لها واحدة قياس.

إن قيمة ثابتة العزل k تساوي الواحد من أحجل المكثفات التي وسطتها العازل هو الخلاء، والجدول (5 - 1) يعطينا بعض القيم لثابتة العزل من أحجل مواد مختلفة، نلاحظ من هذا الجدول أن قيمة ثابتة العزل هي دوماً أكبر من الواحد. لذلك، نستنتج أن مفعول العازل في المكثفة هو زيادة سعة المكثفة.

يبين التسخاري أن سعة المكثفة ذات الأبعاد المعينة، تزداد عدة مرات عندما تفصل لبوسيها مادة عازلة، عملاً لو كان اللبوسان في الخلاء، ويمكن تفسير سلوك العازل هذا، من الناحية البنوية، على الصورة التالية:

لما بعد مكثفة مستوية، لبوسيها في الخلاء، الشكل (a - 5 - 8)، وقد أعطى لهذين اللبوسين شحنتان متسلقيتان ومنها كستان، مقدار كل منها Q وبكتافة سطحية في فكان فرق الكمون بينهما V ، فإذا أدخلنا، بين اللبوسين، مادة عازلة كالميكا أو الزجاج أو البلاستيك، تماماً الفراغ الواقع الواقع بينهما الشكل (b - 5 - 8)، نلاحظ أن فرق الكمون يتناقص حتى يبلغ قيمة V أصغر من الأولى، وإذا أبعدنا العازل عاد فرق الكمون إلى قيمته الأولى. مما يدل على أن الشحنات الأصلية على اللبوسين لم يطرأ عليها شيء يداخل المادة العازلة.

إذا كانت شدة المقل الكهربائي تساوي E_0 في المنطقة المواقع بين اللبوسين، عندما يكون الخلاء هو العازل بين اللبوسين، فإن قيمة المقل تعطى بالعلاقة:

$$E_0 = \frac{V_0}{d} = \frac{\sigma}{\epsilon_0} \quad (27)$$

فالنقصان الملاحظ في فرق الكمون عند إدخال المادة العازلة، بين اللبوسين يقتضي حدوث نقصان في شدة المقل، وهذا بدوره يقتضي أن يفترض حدوث حدوث نقصان

في الشحنة، ولما كان تضييع الشحنات من الليوسين معدوماً، فإنَّ هذا النقص يمكن أن يكون ناجماً فقط عن ظهور شحنات ذات إشارة معاكسة على وجهي المادة العازلة. أي أنَّ سطح العازل المجاور للليوس الموجب ينبغي أن تولد فيه شحنة ثالثية (متخرضة) سالبة، وأنَّ سطح العازل المجاور للليوس السالب ينبغي أن تظهر فيه شحنة معاكسة (متخرضة) ليجذبها مساوية للأولى في المقدار، كما هو موضح بالشكل (8 - b).

ويكون الحقل، الذي تولده الشحنات المتخرضة بالتأثير على سطحي العازل، معاكساً للحقل الأصلي، وهذا يفسر انخفاض الكثافة بين الليوسين وبالتالي زيادة سعة المكثفة.

فإذا رمزنا بـ E لشدة الحقل والكمون الناتجان بعد وضع العازل، يكون:

$$E = \frac{V}{d} = \frac{\sigma}{8} \quad (28)$$

حيث V هي صافية العازل المذكورة في العلاقة 25، وما دامت التجربة والمشاهدة تدلنا على أنَّ V هي أصغر من σ ، فإنَّ E ستكون أكبر من $\sigma/8$ وهذا ما يفسر أنَّ $k \geq 1$ دوماً. كما هو موضح في الجدول (5 - 1). واستناداً إلى العلاقات 25،

$$E = \frac{E_0}{k} \quad 28 \text{ تحد:}$$

في حالة المكثفة المستوية، يمكن حساب الكثافة السطحية σ ، المبينة في الشكل (8 - b)، للشحنات المتخرضة في المادة العازلة كما يلى، إذا كانت E هي كثافة الشحنات السطحية على لبوسي المكثفة و E_0 كثافة الشحنات السطحية المتخرضة على سطحي العازل، فإنَّ الكثافة السطحية الصافية على كل من لبوسي المكثفة، بوجود العازل، هي $\sigma' = E_0/k$ ، وتكون قيمة الحقل الكهربائي E بدون العازل وقيمة E مع العازل هي:

(30)

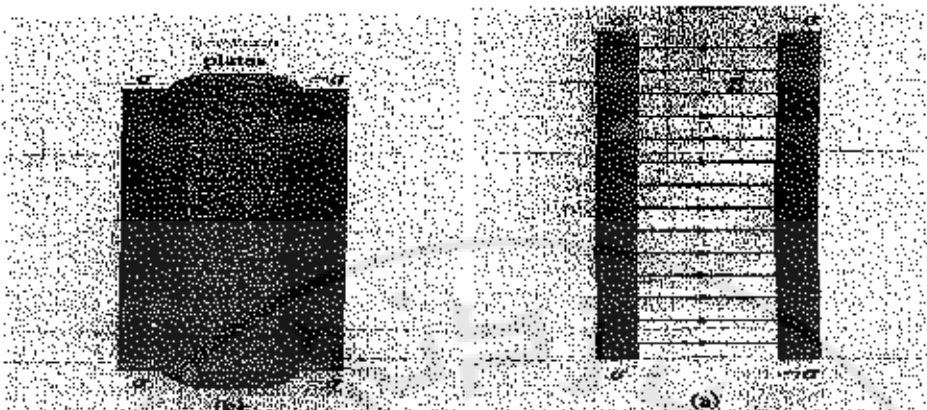
وباستخدام العلاقة (29) تجد كثافة الشحنات السطحية المتخرضة () تعطى

بالعلاقة:

$$\sigma_i = \sigma \left(\frac{k-1}{k} \right) = \sigma \left(1 - \frac{1}{k} \right) \quad (31)$$

المجدول (5-1) قيم ثابتة العزل k في درجة 20 °C

Material	النادرة المعايرة	ثابت العزل k
Vacuum	البلدium	1
Air (1 atom)	الهواء (ضغط جو واحد)	1,00059
Air (100 atom)	الهواء (100 ضغط جوي)	1,0548
Teflon	البفلون	2,1
Polyethylene	البوليإيلين	2,25
Benzene	البيرن	2,28
Mica	ديكما	3 – 6
Plexiglas	البلاكسي غلاس	3,40
Glass	الزجاج	5 – 10
Neoprene	لوربرين	6,70
Germanium	الجرمانيوم	16
Glycerin	الغليسرين	42,5
Water	الماء	80,4



الشكل (5-8)

تبين العلاقة (31)، أنه عندما تكون ثابتة العزل k كبيرة جداً فإن قيمة C تكون قريرة من قيمة C_0 وأنَّ قيم المقلل والكمون تكون صغيرة جداً بالمقارنة مع قيمها في المخلاء.

أما كثافة الطاقة الكهربائية U ، لمكتفة مستوية بوجود عازل، فإنَّها تعطى بالعلاقة:

$$U = \frac{1}{2} k \cdot \epsilon_0 \cdot E^2 = \frac{1}{2} \epsilon_0 \cdot E^2 \quad (32)$$

في المخلاء، يكون $k = 1$ و $\epsilon_0 = \epsilon_0$ ، فنعود بذلك إلى العلاقة 23.

مثال 5 - 7

مكثفة مستوية، المسافة بين لبوسيها تساوي d ، وضعنا شريحة عازلة بين لبوسيها بسمكها قدرها $\frac{3d}{4}$. احسب سعة المكثفة بعد إدخال الشريحة بدلالة سعتها الاصيلية C_0 بدون عازل.

الحل:

ليكن ϵ_0 ، V_0 هما الكمون الكهربائي والمقلل الكهربائي للــمكثفة بدون عازل،

$$E_0 = \frac{V_0}{d} \Rightarrow V_0 = E_0 \cdot d$$

وفرض V و E_0 هما لكون و الحقل للمكثفة بعد إدخال العازل، فإن قيمة الحقل

$$E = E_0 / k$$

أما قيمة الكسون فتساوي:

$$V = \left(\frac{d}{4}\right) + \frac{E_0}{k} \left(\frac{3d}{4}\right) = E_0 \cdot d \left(\frac{1}{4} + \frac{3}{4k}\right) = V_0 \left(\frac{3+k}{4k}\right)$$

وتصبح سعة المكثفة بعد إدخال العازل متساوية:



أي أن السعة ازدادت بعامل قدره $\left(\frac{4k}{3+k}\right)$ ، بينما الكثافة المختفظ بعامل قدره

($\frac{3+k}{4k}$) ، بينما بقيت الشحنة على حالها.

مثال 5 - 8 :

مكثفة مستوية، مساحة كل من لبوسيها 202cm^2 ، تفصلهما طبقة من الهواء سماكتها $0,4\text{ cm}$ ، والمطلوب:

$$1 - \text{حساب سعة المكثفة إذا علمت أن } \varepsilon_0 = 8,85 \times 10^{-12} \frac{\text{C}^2}{\text{m}^2 \cdot \text{N}}$$

2 - وصلت المكثفة بمتيار كهربائي فرق كمونه $V = 500$. أوجد شحنة المكثفة الطاقة المحترنة فيها وشدة الحقل الكهربائي بين البوسين وخارجهما.

3 - وضعنا شريحة عازلة من الميكاء، سماكتها $0,4\text{ cm}$ ، بين البوسين، فما هي الشحنة الإضافية للمكثفة والطاقة الكلية المحترنة فيها، إذا علمت أن قيمة ثابتة العزل للميكاء تساوي 6.

الحل:

$$1 - C_0 = \epsilon_0 \frac{A}{d} = 8,85 \times 10^{-12} \frac{202 \times 10^{-4}}{4 \times 10^{-3}} = 44,7 \times 10^{-12} F$$

$$2 - C_0 = \frac{Q_0}{V} \Rightarrow Q_0 = C_0 \cdot V = 44,7 \times 10^{-12} \cdot 500 = 2,24 \times 10^{-8} C$$

$$U_0 = \frac{1}{2} Q_0 \cdot V = \frac{1}{2} \times 2,24 \times 10^{-8} \times 500 = 5,6 \times 10^{-6} J$$

شدة المُحِقْل بين البوسرين:

$$V = E \cdot d \Rightarrow E = \frac{V}{d} = \frac{500}{4 \times 10^{-3}} = 1,25 \times 10^5 V/m$$

يُنَمَا شدة المُحِقْل خارج البوسرين تكون معدومة .

٣ - وعما أن فرق الكمون V ثابتة، فإن سعة المكثفة مع وجود العازل سوف

ترداد سعة أضعاف لأن $C = k \cdot C_0$ وبالتالي ،

٤ - الشحنة الكلية سوف تكون سعة أضعاف الشحنة الإبتدائية:

$$C = k \cdot C_0 \Rightarrow C = 6 \frac{Q}{V}$$

وبذلك تكون الشحنة الإضافية متساوية خمسة أضعاف الشحنة الإبتدائية، أي أن:

$$5Q_0 = 5 \times 2,24 \times 10^{-8} = 11,2 \times 10^{-8} C \quad \text{الشحنة الإضافية .}$$

وكذلك الطاقة الكلية سوف تساوي ستة أضعاف الطاقة الإبتدائية:

$$U = \frac{1}{2} Q \cdot V = 6 \cdot \frac{Q_0 \cdot V}{2} = 3 \times 5,6 \times 10^{-6} = 33,6 \times 10^{-6} J$$

مثال (٥ - ٥) :

ليكن لدينا مكثفة مستوية. مساحة كل من لبوسيها 2000 cm^2 ، ويعسان عن بعضهما مسافة قدرها 1 cm ، ووصلت المكثفة بمنبع كهربائي حتى أصبح فرق الكمون بين لبوسيها متساوياً ~~متساوياً~~ ، فصلنا المنبع عن المكثفة . ثم أدخلنا بين لبوسيها صفيحة عازلة من البلاستيك سمكها 1 mm ، فوجدنا أن فرق الكمون تناقص إلى 1000 V ، بينما بقيت الشحنة ثابتة على كل من لبوسي المكثفة، والمطلوب حساب:

- 1 - السعة الأصلية C_0 للمكثفة والشحنة Q على كل من ثيوبسيها.
- 2 - سعة المكثفة C بعد إدخال العازل وقيمة ثابتة العزل k .
- 3 - السماحيّة ϵ للعزل والشحنة المترسّبة Q على كلا وجهي العازل.
- 4 - الشدة الأصلية E_0 للحقل بين الثيوبسين والشدة E بعد إدخال العازل.
- 5 - الطاقة الكليّة المختزنة قبل وبعد إدخال العازل.
- 6 - كثافة الطاقة قبل وبعد إدخال العازل.

$$1 - C_0 = \epsilon_0 \frac{A}{d} = 8,85 \times 10^{-12} \frac{0,2}{0,01} = 1,77 \times 10^{-10} F$$

الحل:

$$Q = C_0 \cdot V_0 = 1,77 \times 10^{-10} \times 3000 = 5,31 \times 10^{-7} C$$

$$2 - C = \frac{Q}{V} = \frac{5,31 \times 10^{-7}}{1000} = 5,31 \times 10^{-10} F$$

$$k = \frac{C}{C_0} = \frac{5,31 \times 10^{-10}}{1,77 \times 10^{-10}} = 3$$

أو نحسب k من العلاقة:

$$k = \frac{V_0}{V} = \frac{3000}{1000} = 3$$

نلاحظ أن سعة المكثفة ازدادت ثلاثة أضعاف.

$$3 - \epsilon = k \cdot \epsilon_0 = 3 \times 8,85 \times 10^{-12} = 2,66 \times 10^{-11} \frac{C^2}{N \cdot m^2}$$

بضرب طرفي المعادلة 31 بمساحة الليوس الواحد A نجد:

$$Q_i = Q \left(1 - \frac{1}{k}\right) = 5,31 \times 10^{-7} \left(1 - \frac{1}{3}\right) = 3,54 \times 10^{-7} C$$

$$4 - E_0 = \frac{V_0}{d} = \frac{3000}{0,01} = 3 \times 10^5 V/m$$

$$E = \frac{V}{d} = \frac{1000}{0,01} = 1 \times 10^5 V/m$$

ويمكن حساب E ، أيضاً، من المعادلات:

$$4 - E = \frac{\sigma - \sigma_i}{\epsilon_0} = \frac{Q - Q_i}{\epsilon_0 \cdot A}$$

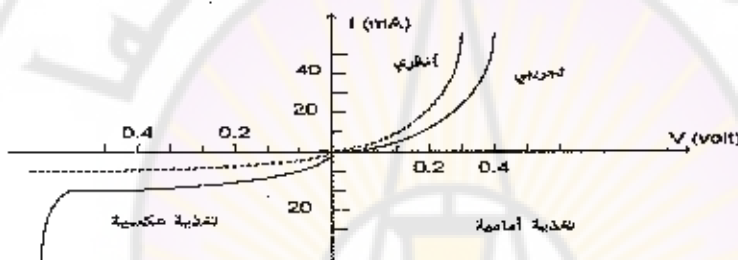
$$= \frac{(5,31 - 3,54) \times 10^{-7}}{8,85 \times 10^{-12} \times 0,2} = 1 \times 10^5 \text{ V/m}$$

$$E = \frac{E_0}{k} = \frac{3 \times 10^3}{3} = 1 \times 10^5 \text{ V/m} \quad \text{أو من}$$

$$5 - U_0 = \frac{1}{2} C_0 \cdot V_0^2 = \frac{1}{2} \times 1,77 \times 10^{-10} \times (3000)^2 = 7,79 \times 10^{-4} \text{ J}$$

$$U = \frac{1}{2} C \cdot V^2 = \frac{1}{2} \times 5,31 \times 10^{-10} \times (1000)^2 = 2,66 \times 10^{-4} \text{ J}$$

نلاحظ أن الطاقة المحترنة النهائية تساوي ثلث الطاقة المحترنة الأصلية.





۲۰۰

مسائل

- 1- تبلغ سعة مكثفة $F = 8.5 \text{ mF}$. ما هي الشحنة التي ينبغي ان ترامها منها حتى يهبط فرق المكون بين لبوسيه عقدار 50 فولط ؟
- 2- ماذا يجب ان تكون مساحة لبوس مكثفة مستوية سعته 1F إذا كانت المسافة بين لبوسيها 90 mm ؟
- 3- مكثفة مستوية سعتها 2nF والمسافة بين لبوسيها 1 mm ، والمطلوب:
 - a- ما هو فرق المكون الأعظمي الذي يمكن تطبيقه قبل أن يتحطم عازلها إذا كان العازل هو الهواء؟
 - b- ما هي أكبر شحنة يمكن تخزينها فيها؟
- 4- كابل محوري يصل بين مدبتين نصف قطره الداخلي 1.0 cm والخارجي 1.1 cm وطوله 10^5 m . ما هي سعة هذا الكابل إذا عاملناه كمكثفة أسطوانية؟
- 5- يتالف عداد غايفر من سلك نصف قطره 0.2 mm وطوله 12 cm يحيط به طبقة أسطوانية ناقلة نصف قطرها 1.5 cm ولها الطول نفسه. أوجد السعة مفترضاً أن العازل هو غاز ثابت عزله $k = 1$ ثم أوحد شحنة واحدة الطول على السلك عندما تطبق على العداد 1.2 kV .
- 6- ما هي سعة ناقل كروي معزول نصف قطره 91.8 cm .
- 7- ما هي سعة الأرض إذا افترضناها ناقلاً كروياً نصف قطره 6400 km .
- 8- احسب سعة مكثفة مستوية سطح لبوسها 1.0 m ومسافة فصلها 1.0 cm .
- 9- ربطت مكثفة سعتها $10\mu\text{F}$ على التسلسل مع مكثفة أخرى سعتها $20\mu\text{F}$ بطارية كثوفها V . ما هي سعة المكثفة المكافئة؟ ما هي الشحنة على مكثفة؟ ما هو فرق المكون غير كل مكثفة؟
- 10- أعد المسألة السابقة من أجل ربط على التفرع بين المكثفين.

- ١١ - أوجد السعة المكافئة لثلاث مكثفات سعائما ٢ ، ٤ ، ٨ ميكروفاراد في حالة وصلتها على التسلسل وفي حالة وصلتها على التفرع.
- ١٢ - شحنت مكثفة سعتها $2\mu F$ عبر فرق في الكمون قدره V ١٢ ثم فصلت البطارية، والمطلوب:
- ما هي الشحنة الموجودة على الليوسين؟
 - عندما وصلت مكثفة ثانية معها على التسلسل هبط الكمون إلى القيمة V ٤ ما هي سعة المكثفة الثانية؟
 - كم مكثفة سعة كل منها يجب ربطها على التوازي لكي تخزن ١ mC من الشحنة بحيث يكون فرق الكمون عبر كل منها مساوياً V ١٠
 - وصلت مكثفة سعتها $1\mu F$ على التوازي مع مكثفة سعتها $2\mu F$ ، ثم وصلت المجموعة على التسلسل مع مكثفة سعتها $6\mu F$. والمطلوب، ما هي سعة المكثفة المكافئة للمكثفات الثلاث ؟
 - وصلت مكثفة سعتها $3\mu F$ على التسلسل مع مكثفة سعتها $6\mu F$ ثم وصلناها على التفرع مع مكثفة سعتها $8\mu F$. ما هي سعة المكثفة المكافئة لهذه المجموعة ؟
 - طبق فرق كمون قدره V ١٠٠ على مكثفة سعتها $3\mu F$ ، والمطلوب:
 - ما هي الطاقة التي اخترن في المكثف؟
 - وما هي الطاقة اللازمة لرفع الكمون من V ١٠٠ إلى V ٢٠٠ بين ليوسي المكثف؟

١٧ - ما هي الطاقة المخزنة في ناقل كروي معزول نصف قطرها ١٠ cm وكمونه ٣ kEV

١٨ - وُضعت شحنة قدرها C ٤ على مكثفة سعتها ٤ F ، والمطلوب:

 - ما هي الطاقة المخزنة في المكثف؟
 - إذا أزيل نصف الشحنة كم من الطاقة يبقى في المكثف؟

19- ثالث مكثفات سعاتها $8 + 8 + 4$ ميكرو فاراد قد وصلت بالتسلاسل عبر خط كهربائي توتره 12 فولط، والمطلوب:

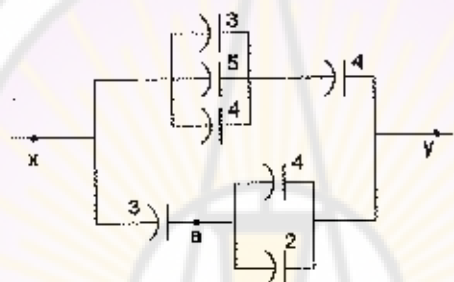
a- ما هي شحنة المكثفة ذات الـ 4 ميكروفاراد؟

b- ما هي الطاقة الكلية للمكثفات الثلاث؟

c- يعاد وصل المكثفات فتوصل على التوازي بعد فصلها عن الخط وتوصل لبوساتها المشحونة إيجابياً مع بعضها، ما هو التوتر عبر المجموعة المتوازية؟

d- ما هي طاقة المجموعة؟

20- إنّ ساعات جميع المكثفات المبينة في الشكل هي بالميكروفاراد، والمطلوب:



a- ما هي السعة المكافحة بين X و Y؟

b- إذا كانت الشحنة في مكثفة الـ 5 ميكروفاراد هي 120 ميكروكولون، فما هو فرق الكمون بين X و Y؟

21- تشحذن مكثفة سعتها 500 ميكروفاراد حتى يبلغ كمومها 120 فولط، ما هي كمية الحرارة التي تنتج من تفريغها كلياً عبر سلاسل؟

22- تربط مكثفتان سعاتها: 1 و 2 ميكروفاراد، على التسلسل على خط تغذية كمومه 1200 فولط، والمطلوب:

أ- أوجد الشحنة في كل مكثفة وفرق الكمون بين لبوسبيها.

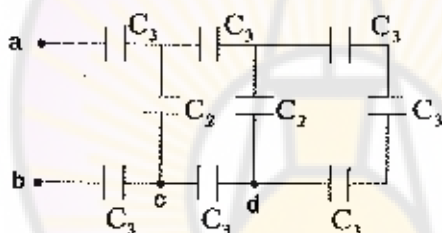
b- تفصل المكثفات المشحونة عن خط التغذية وعن بعضهما بحيث يتصل كل لبوسين من إشارة واحدة. أوجد الشحنة النهائية لكل منها وتوترها.

23- توصل مكثفان سعة الأولى منها $C_1 = 1\mu F$ وسعة الثانية $C_2 = 2\mu F$ على التوازي مع منبع للتيار كمونه 1200 فولط. والمطلوب:

a- أوجد الشحنة المزجوبة على كل من المكثفات وفرق الكمون بين طرفيهما.

b- تفصل المكثفات المشحونة بعددٍ عن المنبع كما تفصلان عن بعضهما، ثم توصلان ببعضهما بحيث تلتقي المرابط ذات الإشارات المتباعدة معاً. أوجد الشحنة النهائية المزجوبة على كل من المكثفات وكذلك فرق الكمون بين لبوسيهما.

24- a- احسب سعة المكثفة للشبكة الواقعة بين a و b في الشكل بفرض أن $C_1 = C_2 = 3 \text{ ميكروفاراد}$ و $C_3 = 2 \text{ ميكروفاراد}$.



b- احسب الشحنة على كل من المكثفات القريبة من a و b بفرض

$$V_{ab} = 900 \text{ volt}$$

c- احسب في هذه الحالة V_{cd} .

25- صفيحتان مستويتان متوازيتان، سطح كل منها 100 cm^2 ، أعطي لها شحنة متقابلتان قيمة كل واحدة 10^{-7} كولون . وملئ الفضاء بينهما بمادة عازلة فبلغت شدة الحقل الكهربائي في العازل $3.3 \times 10^5 \text{ volt/m}$.

a- ما هو عامل العزل K للمادة العازلة؟

b- ما هي الشحنة المترسبة الكلية على أحد وجهي العازل؟

- 26- صفيحتان متساويتان متوازيتان طما شعاعتان متساويتان ومتوازيتان، وعندما يكون الفضاء بينهما مثلي، تكون شدة الحقل الكهربائي بينهما $2 \times 10^5 \text{ volt/m}$ ، وعندما يكون الفضاء مملوءاً بمادة عازلة، تبلغ شدة الحقل $1.2 \times 10^5 \text{ volt/m}$. ما هي كثافة الشحنة المتصدرة على سطح العازل؟
- 27- يوجد فرق كهربائي قدره 100 فولط بين لبسوسي مكثفة متوازية متوازية عازلاها الهواء.
- a- ماذا يصبح فرق الكهرباء إذا كان العازل مادة عاملها العزل 2.5 مع بقاء شحنة اللبوسين على حالها؟
- b- بلغت سعة المكثفة مع وجود الهواء العازل 100 ميكروفاراد، احسب طاقة المكثفة من أجل كل من العازلين.
- c- إذا فرضنا أنه لا يوجد تحاك بين العازل واللبوسين، فما هو العمل اللازم لإبعاد العازل عن اللبوسين؟
- 28- تالف مكثفة من صفيحتين متوازيتين سطح كل منها 25 cm^2 تفصل بينهما مسافة قدرها 0.2 cm ، والعازل الذي يفصل بينهما عامله العزل 5 يوصل اللبوسان بطارية قوتها المحركة 300 فولط.
- a- ما هي سعة المكثفة؟
- b- ما هي الشحنة على كل لبوس؟
- c- ما هي طاقة المكثفة المشحونة؟
- 29- صفيحتان ناقلتان مشحونتان بشعاعتين متعاكستان وتتساوى فيهما قيمة الشحنة في وحدة السطح ويفصل بينهما عازل يحده 5 mm وعامل عزله 3. يبلغ الحقل الناتج في العازل 10^6 volts/m . احسب:
- a- الشحنة المحركة في وحدة السطح على الصفيحتين الناقلتين.
- b- الشحنة المتصدرة في وحدة السطح على سطح العازل.

30- تتألف مكثفة كروية من كرة معدنية داخلية نصف قطرها r_1 محمولة على عازل في مركز كرة معدنية محوفة نصف قطرها الداخلي r_2 . يوجد شحنة قدرها $+Q$ على الكرة الداخلية وشحنة قدرها $-Q$ على الكرة الخارجية.

a- ما هو فرق الكمون V بين الكرتين؟

$$b- \text{برهن على أن السعة تساوي: } C = 4\pi\epsilon_0 \frac{r_1 r_2}{r_2 - r_1}$$

31- تبلغ الشحنة على لبosi مكثفة متوازية في الخلاء: $+Q$ و $-Q$ والبعد بين الليوسين هو x . يفصل اللبوسان عن المطبع الذي كان يشحن المكثفة ويبعدا عن بعضهما بمسافة قصيرة قدرها dx والمطلوب:

a- ما هو التغير dC في سعة المكثفة؟

b- ما هو التغير في طاقتها؟

c- سوّي بين معادلة العمل $F dx$ وبين زيادة الطاقة dW وأوجد قوة التجاذب بين الليوسين؟

c- أوضح السبب الذي يجعل F غير متساوية لـ QE ، حيث E هي شدة الحقل الكهربائي بين الليوسين.

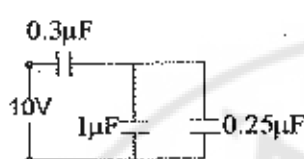
32- شُحنت مكثفة مستوية، سطح لبوسها A ومسافة الفصل فيها d ، إلى فرق في الكمون قدره V ثم فصلت البطارية. أبعد اللبوسان بعد ذلك عن بعضهما بعضاً إلى مسافة تساوي $d/2$ ، والمطلوب:

a- أوجد بدلالة كل من A و d و V السعة الجديدة للمكثفة وفرق الكمون الجديدين والطاقة الجديدة المخزنة.

b- ثم احسب العمل الذي بذل من أجل زيادة مسافة الفصل من d إلى $d/2$.

33- شُحنت مكثفة مستوية سطح لبوسها 2 m^2 ومسافة الفصل فيها 1 mm إلى فرق كمون قدره 100 V .

- a - ما هو المدخل الكهربائي بين البوسين؟
 b - ما هي طاقة واحدة الحجم بين البوسين؟
 c - أوجد سعة هذه المكثفة ثم احسب الطاقة الكلية فيها.

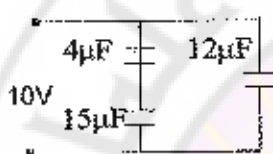


34 - أوجد من أجل الشكل المعاور:

a - السعة المكافئة.

b - الشحنة على كل مكثفة.

c - الطاقة الكلية المختزنة.



35 - أوجد من أجل الشكل المعاور:

a - السعة المكافئة.

b - الشحنة على كل مكثفة.

c - الطاقة الكلية المختزنة.

36 - أثبت أن سعة المكافئة المكافئة لثلاث مكثفات موصولة على التسلسل هي:

$$C = \frac{(C_1 C_2 + C_2 C_3 + C_1 C_3)}{C_1 C_2 C_3}$$

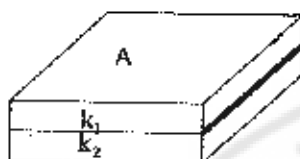
37 - وصلت مكثفة سعتها 20 PF إلى بطارية كعوتها 3 kV ثم فصلت عن البطارية وربطت على التوازي مع مكثفة فارغة سعتها 50 PF، والمطلوب:

a - ما هي الشحنة الجديدة على كل من المكثفين؟

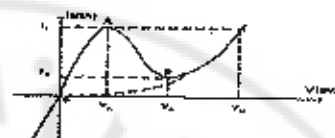
b - ما هي الطاقة الابتدائية المختزنة في المكثفة الأولى والطاقة النهائية المختزنة في كل من المكثفين الأولى والثانية؟

38 - مكثفان سعتاهما 100 و 400 ييكوفاراد شحن كل منهما إلى كعوم قدره 2 kV وفصلنا عن متبع الكعوم، ثم وصلنا على التفرع (الموجب مع الموجب والسلب مع السلب) أوجد فرق الكعوم النهائي بين مريطي كل منهما ثم أوجد الطاقة الضائعة في هذا الوصل.

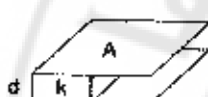
- 39- مكثفة مستوية سعتها C_0 ومسافة فصلها d . وضعت شريحة عازلة ثابتان k_1 و k_2 ومساكن كل منها $\frac{1}{2}d$ بين البوسرين كما في الشكل المجاور.



أثبت أنَّ سعة المكثفة الجديدة تعطى بالعلاقة:



- 40- مكثفة مستوية سطح لبوسها A ومسافة فصلها d شحيت إلى فرق كمون قدره V ثم فصلت عن البطارية. وضعت شريحة عازلة ثابت عر لها $2 = k$ وسمكها d وسطحها $A/2$ بين البوسرين كما في الشكل المجاور، والمطلوب:



a- ما هي قيمة الحقل الكهربائي بين البوسرين

(داخل العازل وخارجيه)؟

- b- أثبت أنَّ $\sigma_2 = \sigma$ حيث σ هي كثافة الشحنات الحرة في مكان العازل و σ_2 كثافة الشحنات الحرة في المكان الذي لا يحوي العازل. أثبت أنَّ السعة الجديدة هي $\frac{3\epsilon_0 A}{2d}$ وأنَّ الكمون الجديد هو $\frac{2}{3}V$.

- 41- مُلئت مكثفة مستوية بعازلين لهما حجمان متساويان أثبت أنَّ المكثفة تزداد

$$\text{بالعامل } \frac{k_1 + k_2}{2}$$

- 42- كرة متشحونة نصف قطرها R وكثافة شحنتها ρ وشحنتها الكلية

$$Q = \frac{4}{2} \pi R^3 \rho$$

- a- أوجد كثافة الطاقة الكهربائية الساكنة عند مسافة r عن المركز من أجل $r > R$

$$r > R$$

b- أوجد الطاقة الموجودة ضمن طبقة كروية حجمها $4\pi r^2 dr$ في الحالتين $r < R$

$$r > R$$

c- احسب الطاقة الكلية لتكامل الصيغة التي حصلت عليها في الطلب السابق

$$u = \frac{3kQ^2}{5R} \quad \text{وأثبت أنها تساوي}$$



المبادئ الثالثة

أصنافه الفوائق والليزر

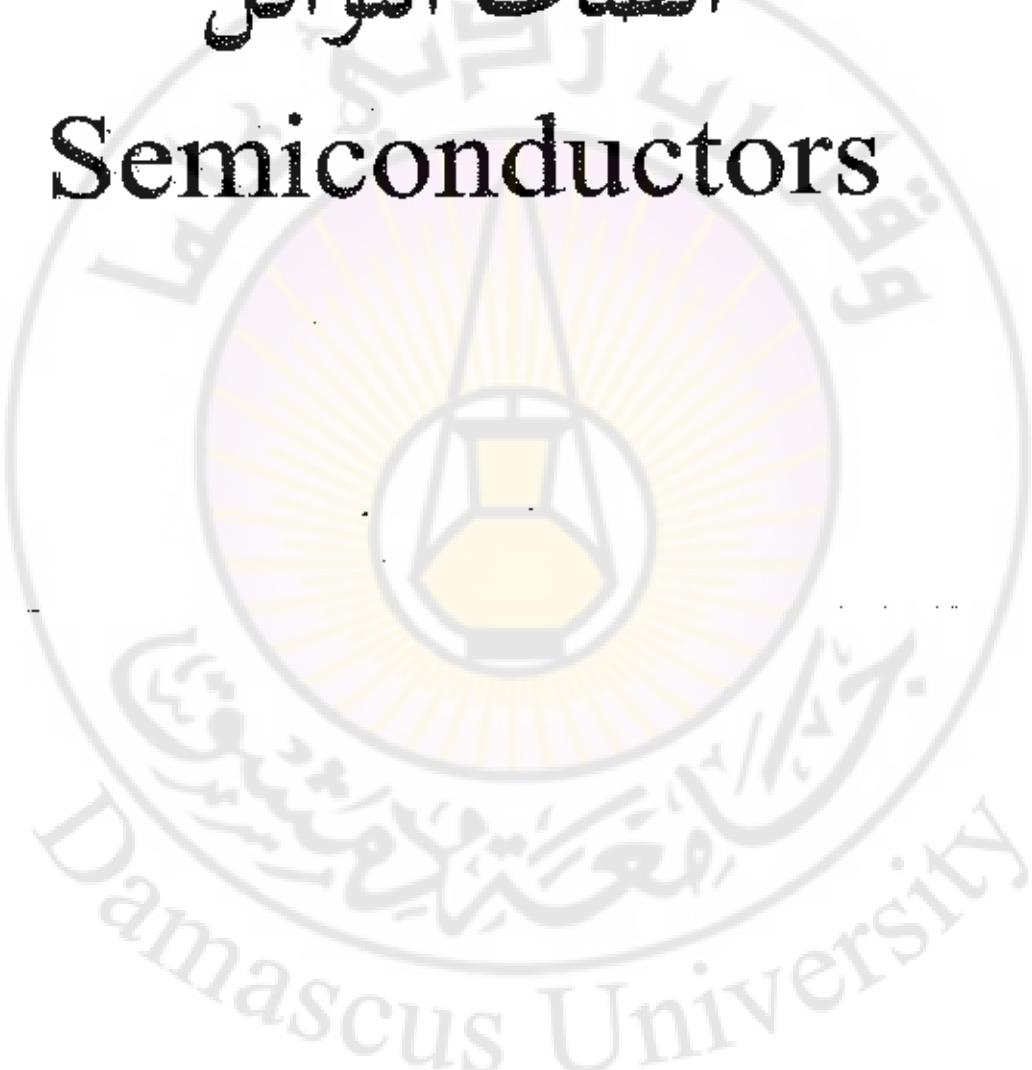
Semiconductors
and Laser



أولاً"

أنصاف النواقل

Semiconductors





تنهيد

يتضمن هذا الفصل عرضاً موجزاً وبسيطاً لبعض المواقع في فيزياء أنصاف النواقل، التي تساعد طلاب الهندسة الكهربائية والميكانيكية على فهم بعض الظواهر الفيزيائية والاستفادة من هذه المعلومات في دراستهم الجامعية والتطبيقات العملية.

توارد المادة في الطبيعة في ثلاثة حالات: الغازية والسائل والصلب، ففي الحالة الغازية يكون البعد بين الجزيئات المتجاورة كبيراً بالنسبة لقطر الجزيء ويكون التأثير المتبادل فيما بينهم ضعيفاً. أما في السائل أو الأجسام الصلبة ف تكون الجزيئات فيها أكثر تقاربًا فيما بينها من تقارب الغاز و يحدث فيما بينها تأثيرات متبادلة تؤدي إلى قوى دافعة فيما بين الجزيئات من رتبة القوى التي تربط الذرات فيما بينها.

إذا بردنا سائل ما، تبريداً بطئاً بحيث تتناقص طاقة الحرارة المترددة تدريجياً، فإنَّ جزيئات السائل تجتمع وتترتب على شكل بلورة منتظمة الصفوف تُعرف باسم الشبكة البلورية، أما إذا بردنا السائل تبريداً سريعاً، فإنَّ الجزيئات تجتمع وتترتب لتشكل حسماً صلباً عدم الشكل البلوري في بيته، ولا تتشكل بلورات منتظمة كما في الحالة الأولى أي عديمة الشكل البلوري (Amorphe). وأبسط مثال على ذلك هو الزجاج.

إنَّ بعض الأجسام الصلبة تبلور على شكل متعدد البلورات (polycrystalline)، إذ يتتألف من العديد من بلورات وحيدة الشكل، وتتميز البلورة الوحيدة الشكل بالانتظام في بيتهما وينتكر حدوثها في كامل البلورة في الجسم البلوري، هذا يطلق على أصغر واحدة منها من عدة أنواع توقف على ترتيب الذرات فيها ونذكر منها:

- 1 - الشبكة المكعبية البسيطة . (SC) Simple Cubic
- 2 - الشبكة المكعبية المركزية Body-centered cubic (BCC) وتعني وجود ذرة في مركز المكعب مثل: (Ba), (Fe), (Li), (Na), (Mo).

3- الشبكة المكعبية مركبة الوجه (FCC) Face-centered cubic وتعي وجود ذرة في مركز كل وجه من وجوه المكعب مثل: (Cu), (Ca), (Al), (Au), (Ag).

4- الشبكات السداسية (hcp) hexagonal close-packed مثل: (Cd), (Be), (Zn), (Mg), (Ce).

١- المعادن والمعوازل وأنصاف الموافق:

Metals, Insulators and Semiconductors

إن الكترونات الجسم الصلب تتوزع على مستويات من الطاقة، وكل سوية ذرية قد تتشتّر إلى N سوية فرعية متقاربة، حيث N عدد الذرات في الجسم الصلب، ولكن بما أن N كبيرة جداً، فإن السويات الفرعية تكون متقاربة من بعضها للغاية، لدرجة أنه يمكن اعتبارها مستمرة وتشكل مجالاً يدعى عصابات الطاقة (Energy band).

إن أكثر حقل البلورة يقع على الكترونات التكافؤ، ولهذا تكون عصابات الطاقة التي تشكلها هذه الإلكترونات أعرض العصابات، وذلك بعكس الإلكترونات الداخلية التي لا تتأثر إلا قليلاً بوجود الذرات المجاورة، وتبقى وبالتالي عصابات طاقتها ضيقة.

تفصل بين عصابات الطاقة المسماة (المقابلة للسويات الذرية) مجالات متنوعة، لا يمكن للإلكترونات أن تدخلها، تدعى بالعصابات الممنوعة (Forbidden bands) أو بفواصل الطاقة (energy gaps). وهكذا فإن طيف الطاقة في الجسم الصلب يتكون من مجموعة من عصابات الطاقة تفصل بينها فواصل طاقة لا يمكن أن تتوارد فيها الإلكترونات، ويشكل هذا المفهوم أحد الخواص الرئيسية للأجسام الصلبة.

تقسم الأجسام الصلبة إلى صفين أساسين: المعادن (الموافق) والمعوازل، فالمعدن هو الجسم الصلب الذي يجري فيه تيار كهربائي، إذا طبق عليه حقل كهربائي، وبالعكس من ذلك، لا يؤدي تطبيق الحقل الكهربائي على العازل إلى مرور تيار كهربائي فيه. ويدققنا التمييز بين هذين الصفين على أساس نظرية عصابات الطاقة، حيث أن بعض العصابات سيكون مملوءاً تماماً، بينما يمكن لبعضها الآخر أن يكون مملاً.

بشكل جزئي فقط، وهذا ما يميز التوابل عن العوازل. فالجسم الصلب يسلك سلوك المعدن فقط إذا كانت بعض عصباته مملوقة جزئياً، وسبب ذلك أن العصابة المملوقة تماماً لا يمكن أن تنقل التيار الكهربائي حتى بوجود حقل كهربائي.

هناك مواد تقع في موقع وسط بين المعادن والعوازل. فإذا كان الفاصل بين عصابة التكافؤ والعصابة التي فوقها مباشرةً صغيراً، كان بإمكان الإلكترونات أن تتهيج حرارياً وتنتقل من العصابة الأولى إلى الثانية؛ وتصبح كلتا العصابتين بهذا الشكل مملوكتين جزئياً فقط، وتساهمان في النقل الكهربائي. هذه المواد هي أنصاف التوابل (semiconductors) . مثال هذه المواد: السيليكون Si، والجرمانيوم Ge اللذان يبلغ فاصل الطاقة في أحدهما حوالي 1.1 ev وفي الثاني 0.7 ev وهي فواصل صغيرة إذا ما قورنت بفاصل الطاقة في الماس الذي يبلغ أكثر من 5 ev، لذلك يعتبر الماس من العوازل الجيدة. وبشكل تقريري، نقول أن سلوك المادة يكون كسلوك نصف التوابل في درجة الحرارة العادية حين يكون فاصل الطاقة أقل من 2 ev.

إن ناقلية أنصاف التوابل صغيرة جداً بالمقارنة مع ناقلية المعادن، لكنها أكبر بعدها مرات من ناقلية العوازل. وهذا ما يبرر تصنيف أنصاف التوابل في صنف ثالث، بالرغم أنها في الواقع، عوازل في درجات الحرارة المنخفضة جداً.

ويمكن القول أن بلورة نصف التوابل، تعتبرها كاملة إذا كانت خالية من العيوب ونقية تماماً إذا كانت خالية من الشوائب، فهي عازلة تماماً في درجة الصفر المطلق. إلا أن وجود العيوب البلورية وبعض التراث الشائبة، الذي لا بد منه، يشوش الدورية الكاملة للكمون البلوري، وهذا يؤدي بدوره إلى وجود سويات طاقة إضافية ضمن فاصل الطاقة بين عصابتي التكافؤ والنقل، بحيث أن تهيج الإلكترونات من عصابة التكافؤ إلى سويات العيوب غير المشغولة. أو في سويات العيوب المشغولة إلى عصابة التوابل يؤدي إلى ظهور عصابات طاقة غير مملوقة تماماً (عصابة التكافؤ أو عصابة التوابل) مما يجعل التقل الكهربائي ممكناً حتى في درجات الحرارة المنخفضة.

2 - ١ البنية البلورية والترابط في أنصاف النوائل

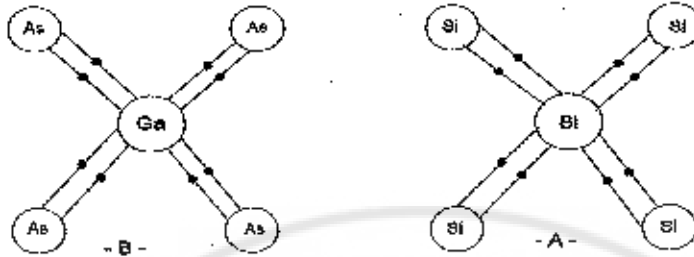
Crystal structure and banding in the SC.

تضم أنصاف النوائل عدداً كبيراً من المواد ذات الخواص الفيزيائية والكيميائية المختلفة جداً وتصنف هذه المواد وفقاً لخواصها ولموقعها في جدول التصنيف الدوري للعناصر، وتعتبر أنصاف نوائل المجموعة IV [اللّاس (C) والسيلكون (Si) والجرمانيوم (Ge) والقصدير (Sn)] الصنف المعروف بشكل أفضل من غيره، وقد درست بشكل مفصل وعلى الأخص Si و Ge.

تبلور العناصر نصف الناقلة كلّها وفق بنية اللّاس، التي تميّز بأنّ لها شبكة مكعبية مركبة الوجه (Fcc)، ذات قاعدة مولافة من ذرتين متّامتتين وبأنّ كلّ ذرة فيها محاطة بأربع ذرات بمحاورة تقع على رؤوس رباعي وجوه منتظم.

إنّ الروابط بين ذرات أنصاف نوائل المجموعة IV هي روابط تكافؤية، بحيث أنها تتّألف من إلكترونين سبعيناً معاً كسان وواقعان تقريباً في منتصف المسافة على الخط الواصل بين ذرتين، ففي الشكل (A - 1 - 3) كلّ واحدة من الروابط الأربع التي تصل ذرة السيلكون بحارتها هي رابطة تكافؤية بالكترونين، حيث تساهم كلّ ذرة من الذرات الخمسة بالكترون واحد في الرابطة.

هناك صنف آخر هام من أنصاف النوائل هو مجموعة المركبات (III-V)، حيث كلّ منها يحتوي على عنصرين أحدهما من المجموعة الثالثة والأخر من المجموعة الخامسة من جدول منديليف للعناصر، وأهم هذه المركبات نصف الناقلة هي: Ga P, Ga As, In As, In Sb, Ga Sb، إلا أنّ الذرتين المشكّلتين لقاعدة الشبكة مختلفتان هنا، ففي المركب Ga As تتألّف قاعدة الشبكة FCC من ذرتين هما Ga و As. وبسبب هذه البنية فإنّ كلّ ذرة تكون محاطة بأربع ذرات من النوع الآخر. وهذه تقع على رؤوس رباعي وجوه منتظم، كما هو مبيّن بالشكل (B - 1 - 3).



الشكل (٣ - ١)

والروابط في هذه المركبات III-V هي أيضاً تكافؤية حيث أنَّ الإلكترونات الشمانية الازمة من أجل الروابط الأربع تؤمنها الذرatan من النوعين المختلفين، فالذرة الثلاثية التكافؤ تساهم بالكترونات الشمانية الثلاثة والذرة الخامسة بالكترونات الخامسة.

٣ - ١ البنية البسطة لعصابات الطاقة Simplified Energy Band Structure

ذكرنا سابقاً، أن نصف الناقل هو الجسم الصلب الذي تكون أعلى عصابة مشغولة فيه، عصابة التكافؤ (valence band)، مملوقة تماماً في الدرجة $T = 0^{\circ}\text{K}$ ، لكن الفاصل المنوع فوق هذه العصابة صغير، بحيث أنَّ الإلكترونات يمكن أن تتهيج حرارياً، في درجة حرارة الغرفة وتنقل من عصابة التكافؤ إلى العصابة المسمومة التي فوقها والمسماة عصابة النقل (conduction band) ، وبشكل عام يكون عدد الإلكترونات المتهيجه في درجة الحرارة العادي، كبيراً عندما يكون فاصل الطاقة E_g ، أقل من 2 eV . وتصنف المادة عديداً كنصف ناقل. أما عندما يكون هذا الفاصل أكبر من 2 eV ، فيكون عدد الإلكترونات المتهيجه مهيناً، وتكون المادة عازلة. حين تتهيج الإلكترونات عبر فاصل الطاقة E_g . يصبح قدر عصابة النقل N_c مشغولاً بال الإلكترونات، كما تصبح قيمة عصابة التكافؤ E_v مشغولة بالثقوب، و كنتيجة لذلك تصبح كلتا العصابتين مملوءتين جزئياً وقدرتين على نقل التيار فيما لو طبق حقل كهربائي . إنَّ ناقلية أنصاف الناقل صغيرة

بالمقارنة مع ناقلة المعادن بسبب كون عدد الإلكترونات والثقوب المشتركة صغيراً، إلا أنها مع ذلك، كافية للأغراض العملية.

إن أبسط بنية لعصابات الطاقة في أنصاف النواقل هي تلك الممثلة على الشكل (3)

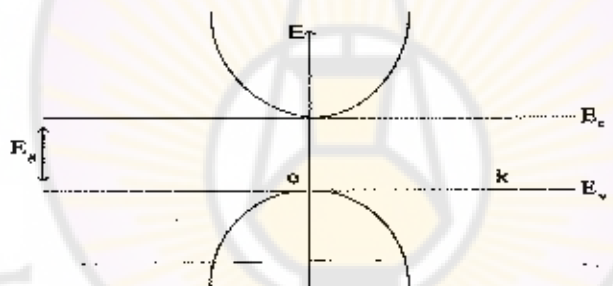
(1) ونعبر عن الطاقة في عصابتين النقل والتكافؤ بالعلاقة:

$$E_0 = E_s + \frac{\hbar^2 \cdot k^2}{2 m_e} \quad (1)$$

$$E_v = -\frac{\hbar^2 \cdot k^2}{2 m_h} \quad (2)$$

حيث، k : الشعاع الموجي،
 m_h ، m_e : الكتلة الفعلية للإلكترون وللنقب.

E_0 : فاصل الطاقة.



شكل (3-2)

لقد اخترت سوية الطاقة صفر هنا، بحيث تطبق على قمة عصابة التكافؤ E_0

واستخدمنا هذا الشكل السوذجي للعصابة، لوصف عصابة النقل E_v . لأننا

مهتمون في مجال الطاقة القريب من قعر هذه العصابة.

نلاحظ في العلاقتين 1 و 2 أن الوسطاء الأساسية لبنية العصابات هما الكتلتان الفعاليتان للإلكترونات والثقوب m_e ، m_h وفاصل الطاقة E_0 . يبين الجدول (1-3)

هذه المقادير من أجل مختلف أنصاف التوافق. لاحظ أن الكتل مختلفاً كثيراً عن كتلة الإلكترون الحر، وهي غالباً أصغر منها بكثير. يتغير عرض فاصل الطاقة في أنصاف التوافق مع درجة الحرارة بسبب التمدد الحراري وتغير ثابتة الشبكة، كما ي يؤدي إلى تغير الجدول (1 - 3) توايت بنية عصيات أنصاف التوافق (في درجة الحرارة العادية)

Group	Crystal	Effective mass , m/m_0		
		ϵ_g, ev	Electrons	Holes
IV	C	5.3		
	Si	1.1	$m_L = 0.97, m_i = 0.19$	0.5 , 0.16
	Ge	0.7	$m_L = 1.6, m_i = 0.08$	0.3 , 0.04
	Sn	0.08		
III - V	GaAs	1.4		0.07
	GaP	2.3		0.12
	GaSb	0.7		0.20
	InAs	0.4		0.03
	InP	1.3		0.07
	InSb	0.2		0.18
II - VI	CdS	2.6		0.21
	CdSe	1.7		0.13
	CdTe	1.5		0.14
	ZnS	3.6		0.40
	ZnSe	2.7		0.10
	ZnTe	2.3		0.10
IV - VI	PbS	0.4		0.25
	PbSe	0.3		0.33
	PbTe	0.3		0.22

بنية العصيات. إلا أن هذا التغير في العادة طفيف، ففي السيليكون Si يتغير Eg من 1.14 ev في الدرجة $T = 0^\circ\text{K}$ إلى 1.17 ev في الدرجة $T = 300^\circ\text{K}$.

ملاحظة: حيث أن m_e , m_h تدلان على الكتل الطولية (Longitudinal) والعرضية (transversal) لسطوح الطاقة المقطع ناقصة. في حال وجود قيمتين لكتلة الثقب تشير هاتان القيمتان إلى الثقب الثقيل والثقب الخفيف.

4 - الانتقالات المباشرة وغير المباشرة في أنصاف التوابل:

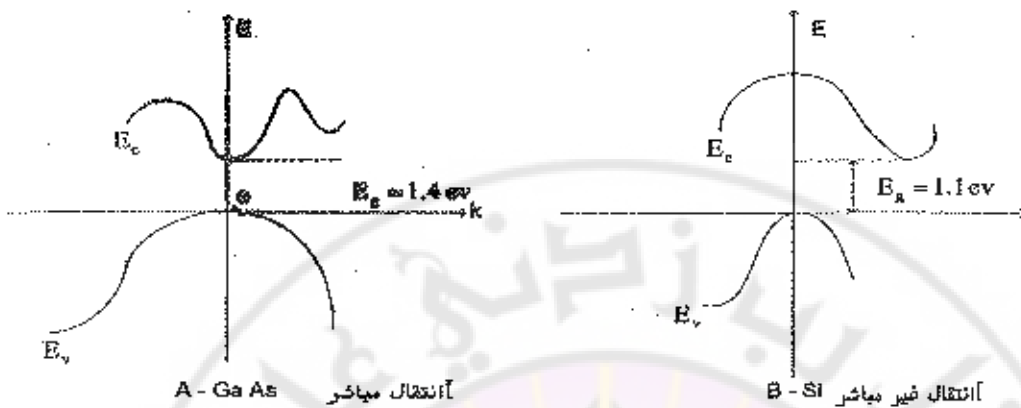
Direct transition and Indirect transition in Semiconductors

يمكن أن نوضح معنى الانتقالات المباشرة وغير المباشرة في أنصاف التوابل من خلال رسم خطوط الطاقة بدلالة الشعاع الموجي (k), E) والذي يصف إنتقال الإلكترونات في عصابة النقل والثقوب في عصابة التكافؤ لنصف تقابل. يوضح الشكل (3 - A - 3 -)، البنية العصامية للسيليكون GaAs، والإنتقال المباشر فيها، ويمثل الشكل (3 - B)، البنية العصامية للـ Si، والإنتقال غير المباشر فيها.

فيما في الحالة الأولى، نلاحظ أن النهاية الصغرى لعصابة النقل E_c والنهاية العظمى لعصابة التكافؤ E_v واقعتين في نفس النقطة من منطقة بريليوين BRILLOUIN zone أي أن هما قيمة واحدة لـ $k = 0$). وبالتالي فإن الإلكترون الذي يحرض من عصابة التكافؤ إلى عصابة النقل، يستطيع أن ينتقل دون أن يؤدي ذلك إلى تغير في قيمة الشعاع الموجي k .

إن إنتقالاً كهذا: ندعوه إنتقالاً مباشراً وأنصاف التوابل التي تتمتع بذلك، تدعى أنصاف تقابل مباشرة. أما في الحالة الثانية (B - 3 - 3)، نلاحظ أن النهاية العظمى لعصابة التكافؤ E_c والنهاية الصغرى لعصابة النقل E_v غير واقعتين في نفس منطقة بريليوين، أي أن النهاية العظمى لـ E_c تقع عند قيمة لـ k مختلف عن القيمة المقابلة للنهاية الصغرى في E_v ، وهكذا فإن الإنتقال من نقطة النهاية العظمى في عصابة التكافؤ إلى نقطة النهاية الصغرى في عصابة النقل يتطلب تغيراً في قيمة الشعاع k . إن إنتقالاً كهذا ندعوه إنتقالاً غير مباشر، وأنصاف التوابل التي تملك مثل هذه الانتقالات تدعى أنصاف التوابل غير المباشرة. وهكذا نرى أنه يوجد نوعان من

عصائب الطاقة لأنصاف النواقل: مباشرة وغير مباشرة .



الشكل (3-3)

وفي نصف الناقل المباشر، يستطيع الإلكترون في عصابة النقل E_c أن يهبط إلى حالة فارغة في عصابة التكافؤ E_v ، ناشراً فرق الطاقة E_g على هيئة فوتون من الضوء، الذي ينضمن تغيراً في ذلك إلى الشبكة البلورية على شكل حرارة بدلأً من فوتون صادر. إنَّ هذا الفرق بين أنصاف النواقل ذات الانتقالات المباشرة وغير المباشرة، مهم جدأً في تحديد الخواص البنوية والإلكترونية لأنصاف النواقل. فمن أجل الأجهزة الهوائية التي تتطلب برجاً ضوئياً، على سبيل المثال، أجهزة الليزر من أنصاف النواقل، لختار أنصاف نواقل الانتقالات مباشرةً من عصابة النقل إلى عصابة التكافؤ أو أنصاف نواقل ذات الانتقالات شاقولية بين مستويات العيب.

إنَّ الفرق في الطاقة بين النهاية الصغرى لعصابة النقل E_c والنهاية العظمى لعصابة التكافؤ E_v ، يدعى بشارة الطاقة E_g ويعطى بالعلاقة:

$$E_g = E_c(\min) - E_v(\max) \quad (3)$$

ولما كانت النهاية الصغرى لعصابة النقل والنهاية العظمى لعصابة التكافؤ تحدثان

عند نقطتين مختلفتين من القطاع في السيليكون، لهذا يقال إن السيليكون ثغرة طاقة صغرى غير مباشرة. لو وقعت النهاية الصغرى لعصابة النقل والنهاية العظمى لعصابة التكافؤ عند نقطة واحدة من القطاع لفيل عن نصف الناقل إنه ذو ثغرة طاقة طاقة صغرى مباشرة نذكر: التمونيد الإنديوم (In sb) و كربونات الرصاص (pb s).

٥ - ١ تركيز حوامل الشحنات في نصف الناقل الذائي:

Carrier concentration in intrinsic semiconductor

يطلق اسم حوامل الشحنات (charge carriers) أو الحوامل (carriers) في أنصاف النواقل، على الإلكترونات (electrons) والثقوب (holes) لأنها هي المسؤولة عن حمل التيار الكهربائي. ولعدد الحوامل الحرة (free carriers) أهمية كبيرة لأنها تحدد الناقلة الكهربائية لنصف الناقل.

إن كل إلكترون يثار حرارياً إلى عصابة النقل، في بلورة نصف ناقل نقي، يولد ثقباً في عصابة التكافؤ، لذلك نتكلم عن توليد أزواج من الإلكترونات والثقوب ($e^- - h^+$). يكون عدد الإلكترونات (n) في هذه الحالة مساوياً بالضرورة عدد الثقوب (p). ويُدعى نصف الناقل الذي يتحقق فيه هذا الشيء بنصف الناقل الذائي. ويعرف بالشرط:

$$n = p \quad \Leftrightarrow \quad \text{Intrinsic Semiconductors} \quad (4)$$

حيث n يمثل كثافة الإلكترونات، و p يمثل كثافة الثقوب.

من أجل حساب تركيز حوامل الشحنات في نصف ناقل ذاتي، ننظر أولاً إلى تابع توزيع فرمي - ديراك (Fermi-Dirac) . F(E) . والمعطى بالعلاقة:

$$F(E) = \frac{1}{1 + \exp\left(\frac{E - E_f}{kT}\right)} \quad (5)$$

حيث، $F(E)$: هو تابع فرمي ويعتبر احتمال اشغال حالة الطاقة E بجزيئ.

E : هي الطاقة المحسوبة بدءاً من أسفل العصابة.

E_f : هي طاقة فرمي وتسمي في أنصاف النوائل بسوية فرمي.

k : ثابت بولتزمان.

إذا كان عدد الإلكترونات المثارة إلى عصابة النقل صغيراً، فإنه يكون

$(E - E_f) \gg kT$ وتصبح قيمةتابع فرمي $<< 1$ ، ويقال عن نصف النايل في هذه الحالة، إنه غير مشكّس أو غير منحل، ويمكن تقرير تابع فرمي إلى العلاقة:

$$F(E) \approx \exp[-(E - E_f)/kT] \quad (6)$$

اما إذا كان عدد الإلكترونات كبيراً بقدر كاف، فإن العبارة $<< 1$ $F(E)$ تصبح غير محققة، والتقرير في العلاقة 6 لا يغدو صالحأ، ويقال عن نصف النايل في هذه الحالة أنه مشكّس أو منحل.

باستخدام تابع فرمي في العلاقة 5 وبعمليات إحصائية رياضية، نحصل على

تركيز حوامل الشحنات للإلكترونات n وللثقوب p بالعلاقاتين:

$$n = N_e \cdot e^{-\frac{(E_f - E_g)}{kT}} = N_e \exp\left[-\frac{(E_f - E_g)}{kT}\right] \quad (7)$$

$$p = N_v \cdot e^{-\frac{E_f}{kT}} = N_v \exp\left(-\frac{E_f}{kT}\right) \quad (8)$$

حيث أن N_e و N_v معطاة بالعلاقات:

$$N_e = 2 \left(\frac{m_e kT}{2\pi\hbar^2} \right)^{\frac{3}{2}} \quad (9)$$

$$N_v = 2 \left(\frac{m_h kT}{2\pi\hbar^2} \right)^{\frac{3}{2}} \quad (10)$$

إذا ضربنا قيمتي n و p المعطاة بالعلاقاتين 7 و 8 بعضهما البعض نحصل على:

$$n \cdot p = 4 \left(\frac{kT}{2\pi\hbar^2} \right)^3 \cdot (m_e m_h)^{\frac{3}{2}} \cdot \exp\left(-\frac{E_g}{kT}\right) \quad (11)$$

تبين العلاقة 11، بأن الجداء n_p لا يتعلق بطاقة فرمي في نصف ناقل ذاتي غير متسلسلي، وله قيمة ثابتة عند درجة حرارة معينة. من أجل نصف ناقل ذاتي يكون لدينا:

$$n \cdot p = n_i \cdot p_i \Rightarrow n \cdot p = n_i^2 = p_i^2 \quad (12)$$

إن قيمة n_i^2 في الدرجة 300° كيلوغرام، في السيليكون، تساوي $2,2 \cdot 10^{18} \text{ cm}^{-3}$ ، محسوبة باستهداكم القيم التالية:

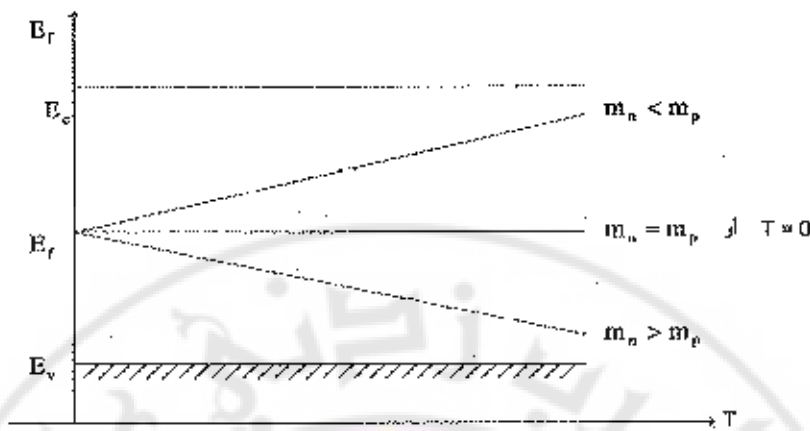
$$m_b = 0,49 \text{ m}_e, \quad m_e = 0,26 \text{ m}_b$$

حيث m_b كتلة الإلكترون الحر، للكتلتين الفعاليتين للإلكترون والثقب. وفي حالة نصف الناقل الثاني، أي $p = n$ ، وبالاعتماد على العلاقات 7، 8، 9، 10 نحصل على موضع سوية فرمي:

$$E_F = \frac{1}{2} E_F + \frac{3}{4} kT \cdot \ln \frac{m_b}{m_e} \quad (13)$$

نلاحظ من العلاقة الأخيرة 13، أن سوية فرمي تابعة للكتلتين الفعاليتين m_b ، m_e ، لحملات الشحنة (ولدرجة حرارة T). فإذا كان $m_b = m_e$ فإن $E_F = \frac{1}{2} E_F$ وتكون سوية فرمي في منتصف ثغرة الطاقة تماماً، وعندما $T = 0$ تجد أيضاً أن سوية فرمي تقع في منتصف الفجوة المحظورة أيضاً.

يبين الشكل (4 - 3) تغيرات E_F مع درجة الحرارة والنسبة بين الكتلتين الفعاليتين. أما إذا كانت $m_b > m_e$ أو $m_b < m_e$ ، فإن الجد الثاني في العلاقة 13 يكون موجباً أو سالباً، وبالتالي فإن سوية فرمي تقع في مكان فوق منتصف ثغرة الطاقة أو أسفل ثغرة الطاقة. كما هو موضح بالشكل (4 - 3).



الشكل (4 - 3)

6 - أنصاف النوافل المشوبة : Doped Semiconductors

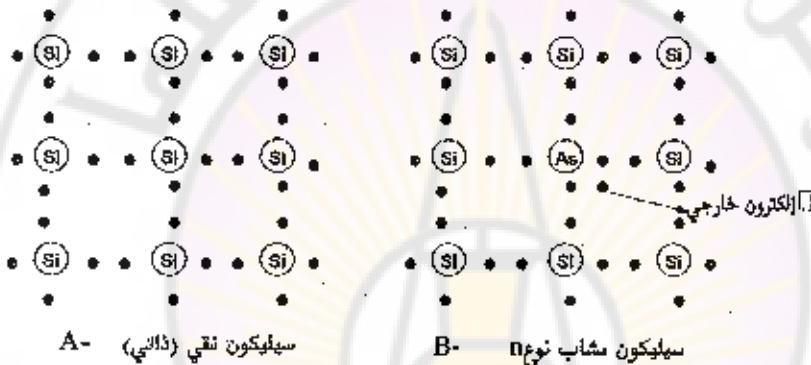
ينصب إهتمامنا في الحالة العامة ، ومن أجمل التطبيقات على الأجهزة الإلكترونية، على أنصاف النوافل غير الذاتية، أي تلك التي يكون تركيز الإلكترونات والثقوب فيها متحكمًا بشوالب أضيفت بصورة اختيارية. تدعى أنصاف النوافل هذه، بأنصاف النوافل المشابة، ويتم الحصول على مثل هذه العينات بواسطة تعليم (doping) نصف ناقل بالشوائب المناسبة.

يعتبر كلاً من السيليكون ($_{14}Si$) و الجرمانيوم ($_{32}Ge$) من أنصاف النوافل النموذجية المستخدمة في الصناعات الإلكترونية. إن كلاً من (Si) و (Ge) يحتوي على أربعة إلكترونات خارجية تستطيع أن تربط الذرات في شبكتها البلورية، وعند إدخال شوائب حساسية التكافؤ كالزرنيخ (As) أو الفوسفور (P)، أو ثلاثة التكافؤ كالغالليوم (Ga) أو البورون (B) على نصف الناقل المذكوري، كلاً Si أو Ge ، يصبح له تميزات أساسية وهامة في الصناعات الإلكترونية. فنقول عندئذ أن نصف الناقل مشوب، وهنا تميز نوعان من أنصاف النوافل المشابة هما: النوع n (type n) والنوع p (type p).

-A - نصف الناقل من النوع n:

لتدخل في بلورة السيليكون ($_{14}Si$) نسبة ضئيلة من ذرات الزرنيخ ($_{33}As$) الذي

تحتوي الذرة الواحدة منها على خمسة إلكترونات خارجية، كما في الشكل - 3 - (B) فيتحرك الإلكترون الخامس، منها حرفة حرة (تقريباً)، تماماً مثلما تتحرك الإلكترونات الحرة في الناقل، ويصبح نصف الناقل المشابه بهذه النسبة الضئيلة من الشوائب، ضعيف الناقلة لوجود هذا العدد القليل من الإلكترونات الخارجية في الزرنيخ. تدعى مثل هذه الشوائب بالمعطيات أو المانحات، لأنها تسهم بإضافة إلكترونات حرفة إلى البلورة، وهكذا فإن الشوائب في نصف الناقل، تسيطر على الناقلة بحيث يمكن أن تحكم بدقة بوضع سوية طاقة الناقلة هذه.



ويسمى نوع البلورة المكونة من (Si) المشوب بالزرنيخ (As). نصف ناقل نوع n (الاختصار لكلمة negative) وذلك بسبب أن الإلكترونات فيه (سالبة الشحنة) هي المسؤولة عن مرور التيار الكهربائي.

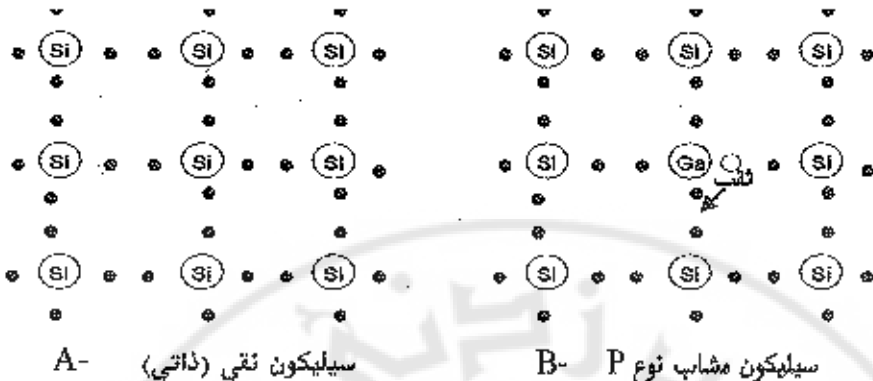
- B - نصف الناقل نوع P:

في هذه الحالة، ندخل في بلورة السيليكون ذرات ثلاثة التكافؤ مثل الغاليلوم (Ga)، الذي تحتوي الذرة الواحدة منها على ثلاثة إلكترونات خارجية، كما هو مبين بالشكل (B - 6 - 3).

نلاحظ في بنية الشبكة البلورية للسيلikon، ثقباً مرتبطاً بذرة الغاليم (Ga) وأنَّ أحد الكترونات السيلikon المعاورة للثقب مباشرةً، يتنتقل إلى هذا الثقب يحمل مكانه، ولكنه بهذا الانتقال يترك وراءه فراغاً (ثقباً)، فينتقل الكترون حر آخر من الكترونات الماء (Si) الخارجية الأربع المجاور لهذا الفراغ (الثقب) ليملأً هذا الثقب (الذي تركه الإلكترون الأول) وتتصبح ذرة الماء (Si) معدلة من جديد بالكتروناتها الأربع. وهكذا تكرر العملية بانتقال الثقوب والتي تعني انتقال الشحنات الموجبة لهذه الثقوب، بحيث أنَّ الثقب الموجب يمثل فراغاً تركه أحد الإلكترونات ذرة الماء (Si).

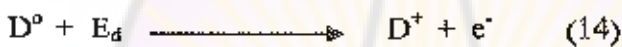
وبانتقال الثقوب يحدث انتقال للشحنات الكهربائية الموجبة في نصف الناقل من المشوب بالغاليم (Ga)، تدعى مثل هذه الشوائب بالآخذات، ويسمى نوع البلورة المولفة من (Si) المشوب بالغاليم، نصف ناقل نوع P (ال اختصاراً لكلمة Positive) وذلك بسبب أنَّ الثقوب فيه (موجة الشحنة) هي المسؤولة عن نموذج التيار الكهربائي. وهكذا، فإنَّ الشوائب في أنصاف الناقل المشوبة، تحدث حالات إضافية من الطاقة بين منطقتي التكافؤ E_b والناقلة E_n ، كما هو مبين في الشكلين (7 - 3) و (7 - 8). فمن أجل نصف ناقل من النوع n، تكون سوية طاقة الشوائب الإضافية (الملاحة) متوضعة قريباً جداً من المنطقة الناقلة E_n وتحتها مباشرةً كما هو موضح بالشكل (7 - 3). إنَّ مقدار الطاقة E_b لتحرير الإلكترون من الذرة الملاحة وتركه طليقاً في عصابة النقل يشكل ما نسميه، اسم طاقة تأين الملاحة أو المعطية.

إنَّ قيمة E_b من أجل مختلف الشوائب خمسية التكافؤ هي في حدود 0.01 ev في (Ge) وفي حدود 0.05 ev في الماء (Si)، ويطلق لاسم سوية الملاحة (E_b) على السوية التي تتواجد فيها الإلكترونات الشوائب الملاحة. (donor level) سوية الملاحة يبين الشكل (7 - 3)، [الكترون مقيداً (- - -) إلى ذرته الملاحة. حيث سوية طاقته تقع تحت طاقة النهاية الصغرى لعصابة النقل بمقدار E_b .]

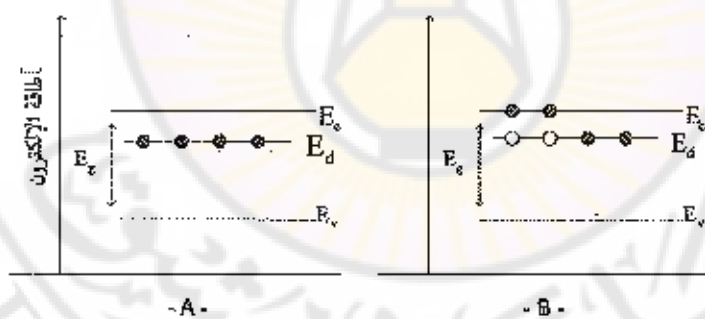


(الشكل 3 - 6)

وبالتالي فإن طاقة تأين للذررة المانحة، سوف يحرض الإلكترون للإنقال إلى سوية عصابة النقل E_A . الشكل (3 - 7 - B). حيث تبقى في ثغرة الطاقة حالة فارغة للمانحة (—) ويمكن أن نلخص العمليه:



حيث D^0 هي الشائبة المانحة العائلة، E_A هي طاقة تأين الإلكترون e^- ، D^+ هي المانحة المتأينة ذات الشحنة الموجبة.



(الشكل 3 - 7)

بالطريقة نفسها، نجد في نصف ناقل من النوع P، إن سوية طاقة الشوائب الآخذة متوضعة قريراً جداً من المنطقة المكافئة E_S وفوقها مباشرة (E_A) وتدعى سوية الآخذة (Acceptor level) . إن قيم E_A ، طاقة تأين الآخذة، من أجل الشوائب ثلاثة التكافؤ في

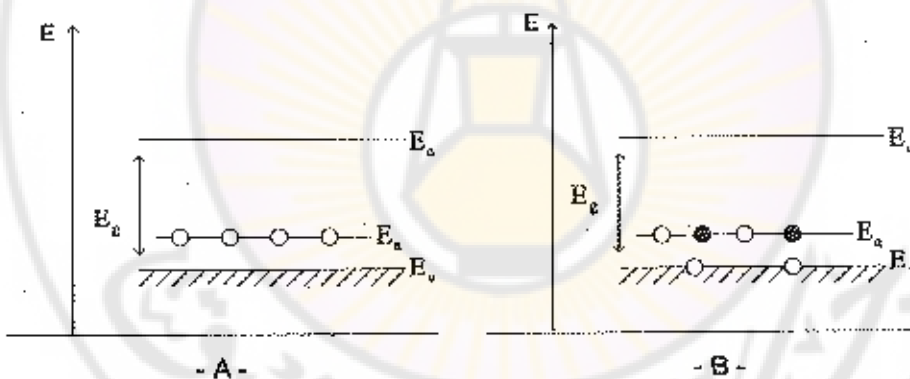
السيلikon تزواج ما بين 0.016 ev و 0.065 ev أما في المجرمانيوم فهي حوالي 0.01 ev

إن إضافة طاقة E_h تحرر الإلكترون من النهاية العظمى لعصابة التكافؤ E_v إلى سوية طاقة الأشعة تاركا خلفه ثقباً حراً، حيث تشخص العملية بالعلاقة التالية:



حيث A° هي الأشعة المعتدلة، A^+ هي الأشعة المشحونة بشحنة سالبة، h^+ هي الثقب و E_h طاقة تأين الأشعة.

يبين الشكل (A - 8 - A)، الثقب (- - 0 -) مقيداً إلى ذرة الأشعة عند طاقة E_h فوق النهاية العظمى لعصابة التكافؤ، حيث أن طاقة الثقب تردد نحو الأسفل على منطقتها الإلكترون، إن إضافة طاقة تأين E_h للأشعة ترفع الثقب (- - 0 -) إلى عصابة التكافؤ E_v كما هو مبين في الشكل (3 - 8 - B).



الشكل (3 - 8)

أو نقول أيضاً، إن إضافة طاقة E_h إلى نصف الناقل P يؤدي إلى نقل الإلكترونات من منطقة التكافؤ E_v إلى سوية الأشعة، وملئ ثقباً، بينما هذه الإلكترونات تختلف وراءها ثقباً موجهاً في منطقة التكافؤ، بحيث أن الإلكترونات أخرى من E_v تنتقل إلى هذه الثقوب من جديد وتتكرر هذه العملية بانتقال الثقوب.

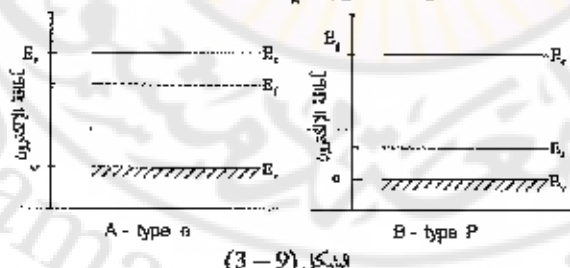
لقد ذكرنا أن سويات طاقة المانحات والأخذرات تقع في فاصل الطاقة، وليس في هذا أي تناقض مع ما سبق ذكره، من أن فاصل الطاقة هو مجال مموج ولا يمكن أن توجد فيه حالا إلكترونية، لأن هذا التأكيد يتعلق بالبلورة الكاملة، بينما سويات طاقة الذرات المانحة والأخذرة تتعلق بحالات ذرات شائبة بعيوب في البلورة.

7 - 1 سوية فرمي في أنصاف الناقل المشوبة:

Fermi level in the Doped Semiconductors

تعطينا المعادلان 7 و 8 تركيز الإلكترونات والثقوب n ، P بدلالة سوية فرمي E_F والوسطاء المختلفة لأنصاف الناقل.

لكن سوية فرمي نفسها تتعلق بدرجة الحرارة وبتركيز حوامل الشحنة، فوضعها يتغير بشدة عند إدخال الشوائب التي تشكل سويات إضافية في المنطقة المحظورة. وهذا طبيعي ما دامت سوية فرمي تعبر توزيع الإلكترونات حسب حالتها الطافية فإذا دخلت الشائبة، في نصف الناقل، بشكل، في ثغرة الطاقة، سويات يمكن أن تتواءد علىها الإلكترونات والثقوب. وقد تبين أن سوية فرمي E_F تكون أقرب إلى عصابة النقل E_c في نصف الناقل من النوع n ، أما في نصف الناقل من النوع P فإن هذه السوية تكون أقرب إلى عصابة التكافؤ، كما هو مبين بالشكل (9 - 3). لقد أخذنا صيغة طاقة الإلكترون، في الشكل، عند النهاية العظمى لعصابة التكافؤ، لذا فإن النهاية الصغرى لعصابة النقل تقع عند طاقة الثغرة المحظورة E_c .



الشكل (3 - 9)

٨ - ١ زمن حياة الحامل في أنصاف التوافق:

عند إثارة أحد حوامل الشحنات إلى عصابة النقل، E ، في نصف ناقل، فإنه سيعود في النهاية للإتحاد ويختفي بعد زمن يدعى زمن الحياة للحامل، وهذا الزمن يتعلق بمسار حركة الحامل، فيما إذا كانت إعادة الإتحاد مباشرة أو غير مباشرة عبر حالة متوسطة (عصيدة). ففي أنصاف التوافق، ذات ثغرات الطاقة المباشرة مثل $GaAs$ ، $InSb$) تكون عملية الإتحاد مباشرة للإلكترون مع التقب لإنتاج فوتون. أما في نصف الناقل ذات ثغرة الطاقة غير المباشرة مثل (Si, Ge) ، فإن عملية إعادة الإتحاد تكون غير مباشرة، (غير عصيدة) وبالتالي فإن إعادة الإتحاد مع ثقب يتم بإصدار فوتون لابقاء المتجهة الموجبة محفوظة. وهذا السبب لتوقع ان تكون أزمنة حياة الحوامل أطول في أنصاف التوافق غير المباشرة منها في المباشرة.

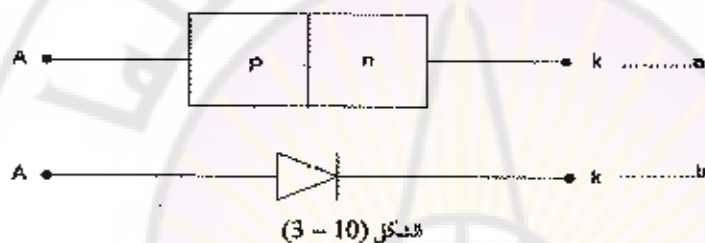
٩ - ١ الوصلة $P - n$ junction The P - n junction

تستخدم الوصلات (المديودات Diodes) والترانزستورات في الدارات الإلكترونية الحالية، حيث صنعت منها دارات صغيرة الأبعاد، ووصلت أبعادها جداً من الصغر بحيث أن دارة مساحتها، استمرت مربع واحد، تحتوي على مئات من الوصلات والترنيستورات والمقاومات وغير ذلك من أجزاءها المكونة للدارة الإلكترونية.

يطلق اسم الوصلة ($n - p$) على عينة نصف ناقلة من بلورة وحيدة جعلت فيها منطقتان، إحداهما من النوع n والأخرى من النوع p ، وهي عبارة عن منطقة بلورية واحدة طعم جانبيها بشكليين مختلفتين، فهي ليست قط مولفة من قطعتين مختلفتين على اتصال فيما بينهما، كما توحى التسمية بذلك، لأنه لا يمكن التوصل إلى الوصلة $n - p$ ، بخواصها المعروفة حالياً، إلا انتلاقاً من بلورة وحيدة بحيث تكون البنية البلورية مستمرة في المنطقتين n و p وفي منطقة الاتصال بينهما، ويتحقق الحصول على استمرار البنية البلورية ابتداء من قطعتين منفصلتين (n) و (p) يحصلان على اتصال فيما بينهما بأي شكل كان. وبين الشكل (a - 10 - 3) رسماً توضيحياً للوصلة

(P - n) ويرمز له بالشكل (b - 10 - 3)، ويسمى القطب المتصل بنصف الناقل من النوع P بالمصعد (Anode - A) ويسمى القطب الآخر المتصل بنصف الناقل من النوع n بالمهبط (cathode - k).

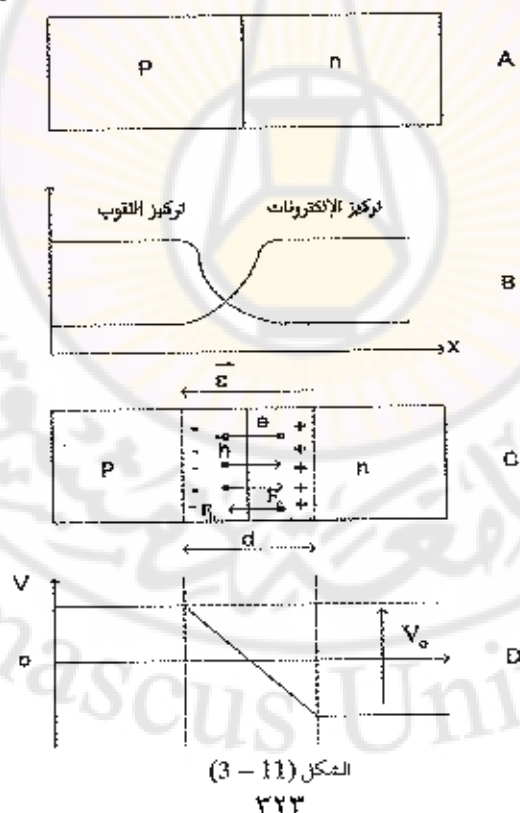
إنَّ أهم الخصائص الكهربائية للوصلة n - P، هو نشوء فرق في الكمون V_0 بين طرفيها وحقل كهربائي داخلي E في منطقة التماس d . فعدد تشكيل الوصلة (P - n)، الشكل (A - 11 - 3)، تبدأ الإلكترونات بالانتشار، عبر الوصلة، من المنطقة n إلى المنطقة P، وبالتالي تنتشر الثقوب من P إلى n، وذلك بسبب



وجود تدرج كبير في التركيز عند الوصلة بالنسبة لكل من الإلكترونات والثقوب، الشكل (B - 11 - 3)، وتمثل الأسهوم المتصلة انتشار الإلكترونات والثقوب، الشكل (3 - C - 11 - 3). وينشأ، بسبب هذا الانتشار للشحنات في منطقة التماس d ، شحنة فراغية متعاكستان بالإشارة من الذرات المتأينة، لذلك تدعى منطقة الشحنة الفراغية أو شحنة الفضاء (space - Charge)، وما أنها شبه حالية من المؤامل الحرة فهي تدعى كذلك منطقة النفاذ (depletion layer). ففي هذه المنطقة تظهر شحنة موجبة في المنطقة n تظهر شحنة سالبة في المنطقة (P) تكونها الإلكترونات التي جاءت إليها. ونتيجة لذلك، ينشأ في منطقة التماس فرق في الكمون (V_0) يسمى حاجز الكمون، الشكل (D - 11 - 3).

إنَّ وجود فرق في الكمون V_0 في منطقة التماس (d)، هو دليل على نشوء حقل كهربائي داخلي فيها E . يتجه من المنطقة (n) إلى المنطقة (P) وينبع استمرار انتشار

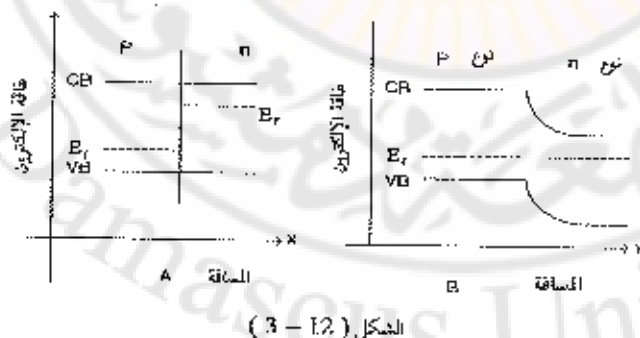
الحوامل ويحافظ على الفضائل الشحنتين الفراغيتين عن بعضهما البعض، ويتحول أيضاً عن هذا المقل، قوة جهتها تعاكس حركة الإلكترونات والثقوب على السواء وتسبب هذه القوة انتقالاً للثقوب من المنطقة (n) إلى المنطقة (P) وانتقالاً للإلكترونات من المنطقة (P) إلى المنطقة (n) يسمى الانتقال الحرفي. وأشار إليه بالشكل (3 - 11 - C) بأنهم منقطة في منطقة التماس، أما خارج منطقة التماس، فلا يتأثر تركيز الحوامل بالوصلة، هل يقيمان ثابتين، ويكون المقل بالذاتي معدوماً بسبب الاعتدال الكهربائي. عند درجة حرارة معينة (T)، تكون الوصلة (n - P) في حالة توازن ديناميكي في كل لحظة، إذ ينتشر ضمن منقطة التماس عدد معين عن الثقوب والإلكترونات في اتجاهين متراكبين وينحرف بتأثير المقل الكهربائي عدد مساوٍ لها من الثقوب والإلكترونات في اتجاهين متراكبين لاتجاه الانتشار.



يمكن الحصول على تيار كهربائي من الوصلة ($P - n$). عند وضعها في دارة كهربائية، إذا تعرضت للضوء (أشعة الشمس مثلاً). لأنَّ الفوتونات الضوئية، ذي الطاقة المناسبة، عندما تسقط على الوصلة، يتم امتصاصها وتولده، مقابل ذلك، أزواجاً من الإلكترونات والثقوب في منطقة الوصلة، حيث يقوم الحقل الكهربائي الداخلي E_r بدفع الثقوب إلى المنطقة P ودفع الإلكترونات إلى المنطقة n . وهكذا يجري تيار في الدارة من n نحو P ، أي أنَّ طاقة الفوتون تحولت في الوصلة إلى طاقة كهربائية، وهذا هو مبدأ عمل الخلايا الشمسية (solars cells) التي تستعمل لتحويل الطاقة الشمسية إلى طاقة كهربائية.

٩ - ١ سوية فرمي في الوصلة $P - n$

يبين الشكل (A - 12 - 3)، موضع سوية فرمي في نصف الناقلين من النوع P والنوع n ، في حالة التماس وقبل بلوغ التوازن. ففي نصف الناقل من النوع P تكون سوية فرمي قريبة من عصابة التكافؤ، بينما تكون هذه السوية قريبة من عصابة التقليل فينصف الناقل من النوع n ، أما في حالة التوازن، كما هو مبين بالشكل (B - 12 - 3) فإنَّ سوية فرمي تصبح على استقامه واحدة، وهذه العملية مكافحة لإنفاس طاقة الإلكترونات في الجانب n من الوصلة.



نلاحظ من الشكلين (B - A - 3) إن الانزياح في الطاقة بين الجانب n والجانب P ، عندما تساوى سوية فرمي، ليس إلا الفرق بين طيفي فرمي على الجانبين. فإذا فرضنا أن $E_F(n)$ طاقة فرمي في الجانب (n) و $E_F(p)$ طاقة فرمي في الجانب P ، فإن انزياح الطاقة ليس إلا $E_F(P) - E_F(n)$ ، وهذا الانزياح للطاقة بين الجانبين يمثل ارتفاع حاجز الكمون V_0 بينهما، وتكون لدينا العلاقة:

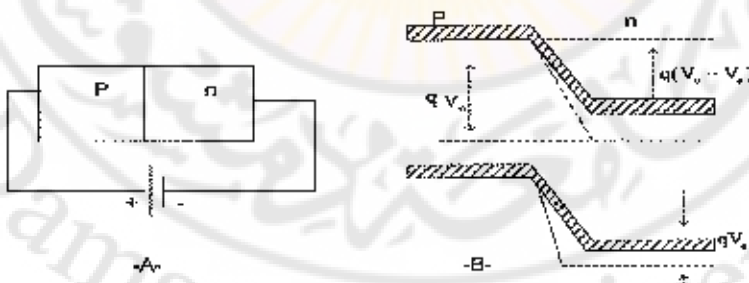
$$qV_0 = E_F(n) - E_F(P) \quad (16)$$

حيث V_0 هو كمون التماس. وتبين العلاقة 16 أن كمون التماس هو الفرق بين طيفي سوية فرمي في الجانبين مقسوماً على شحنة الإلكترون.

2 - 9 - 1 التغذية الأمامية والعكسية للوصلة P - n

Forward bias and Reverse bias of the junction P - n

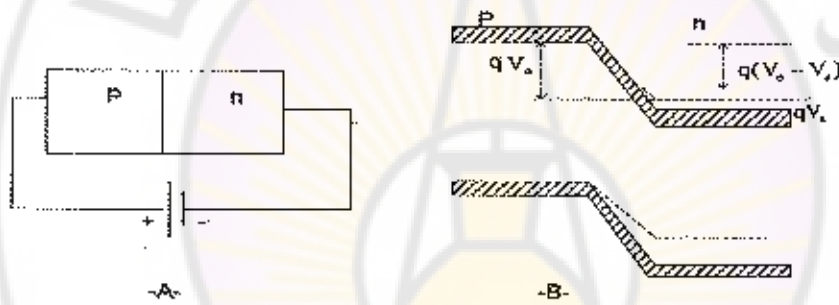
إذا طبقنا فرقاً في الكمون مستمراً (V_a) على طرف الوصلة ($P - n$) بحيث يكون القطب الموجب متصلاً بالطرف (P) والقطب السالب بالطرف (n)، تدعى طريقة الوصل هذه بالتغذية المباشرة أو الأمامية، كما هو مبين بالشكل (A - 13 - 3). فإن الكمون الخارجي V_a يعاكس فرق الكمون الداخلي للوصلة V_0 ، ويصبح فرق الكمون بين طرف الوصلة n و P يساوي $(V_a - V_0)$ وينقص ارتفاع حاجز الطاقة إلى المقدمة $(V_0 - V_a)$ ، كما هو مبين بالشكل (3 - 13 - B).



شكل (3 - 13 - B)

ما يفسر حريان التيار في الوصلة $(n - P)$ ، فإذا كان الجهد كبيراً ومن رتبة 0.3 V بالنسبة للحمر ماليوم (Ge) ، ومن رتبة 0.6 V بالنسبة لسياليسوم (Si) ، فإنَّ تياراً كهربائياً يمر في الدارة وهي في درجة حرارة الغرفة $T = 300^\circ \text{K}$

أما إذا عكستا وصل الدارة، كما مبين بالشكل (A - 14 - 3)، بحيث يصبح الديود في هذه الحالة، بما تسمى حالة تغذية العكسية أو غير المباشرة، فيصبح فرق الكثافة بين طرفي الوصلة $(V_0 + V_x)$ ويزداد ارتفاع حاجز الطاقة إلى القيمة $q(V_0 + V_x)$ ، كما هو مبين بالشكل (B) مما يفسر التيار الضعيف جداً في هذه الحالة.



الشكل (3 - 14 - 3)

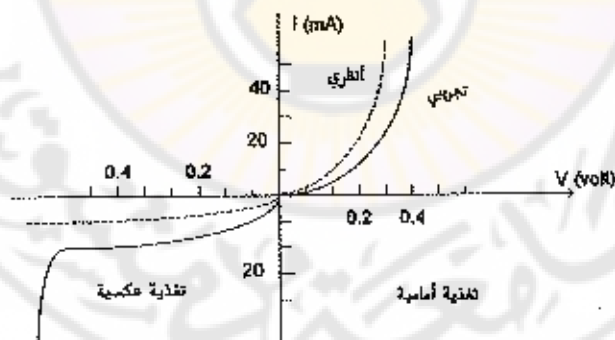
3 - 9 - 1 المنهجي المميز للوصلة $n - P$

إنَّ المنهجي المميز للوصلة $n - P$ ، هو المنهج البياني الذي يمثل تغيرات شدة التيار الكهربائي I الذي يمر بالدائرة، بدلالة فرق الكثافة المطبق (V_x) على الوصلة $(P - n)$ ، وذلك في الحالتين: حالة التغذية الأمامية وحالة التغذية العكسية. ويبين الشكل (3 - 15) المنهجي المميز للديود (الوصل) لـ I بدلالة V_x حسب العلاقة التالية:

$$I = I_s \exp\left(\frac{qV}{kT} - 1\right) \quad (17)$$

حيث، I_s : هو تيار الإشباع في حالة التغذية العكسيّة.
 V : فرق المُعْنَى المطبق بين طرفي الوصلة $P-n$.
 K : ثابت بولتزمان وقيمه $8,617 \times 10^{-5} \text{ ev}^{\circ}\text{K}$.
 T : درجة الحرارة المطلقة.

إنَّ قيم التيار I الموجبة تعني أنَّ التيار يجري عبر الوصلة من الجانب P إلى n ، بينما تعني قيم I السالبة أنَّ التيار يسير بالإتجاه المعاكس، وبالطبع يكون التيار في حالة التغذية الأمامية أكبر كثيراً منه في حالة التغذية العكسيّة. يعني ذلك أنَّ الوصلة $(P-n)$ تقوم بعمل مقوم، فهي تسمح للتيار بسهولة أكبر بكثير بالمرور من P إلى n مما هو الأمر بالنسبة للتيار العكسي. يدعى المقدار I_s ، الذي هو عبارة عن التيار العكسي بتيار الإشباع (Saturation current). إنَّ القيم المألوفة لتيار الإشباع هي $I_s = 10^{-5} \text{ A} \approx 10 \mu\text{A}$ بالنسبة للحرمانيوم ومن رتبة (PA) بالنسبة للسيليكون Si. أما التيار الأمامي فيعتمد بالطبع على التوتر المطبق V وقيمه المألوفة هي 100 mA من أجل توفر قدره 0.2 V.



الشكل (3 - 1.5)

نلاحظ في حالة التغذية العكسيّة، إذاً إزداد التوتر العكسي كثيراً فإنه يحدث تصاعد كهربائي ويزاد عنده التيار العكسي فجأة بسرعة كبيرة وهناك آليتان

لهذا التصدع:

a - التصدع الانهياري (avalanche breakdown) الذي تصبح فيه لبعض الإلكترونات المسرعة بواسطة التوتر العكسي الكبير طاقة كافية لتهيج أزواج (الكترونات - ثقوب) تكون نفسها ذات طاقة عالية تكفي لتوليد أزواج أخرى. وهكذا ...

b - تصدع زينر (Zener breakdown) الناشئ عن كون عرض حاجز الكمون (وليس ارتفاعه) بين جانبي الوصلة يصبح، لدى تطبيق كمون عكسي عالٍ، صغيراً لدرجة أنَّ مرور الإلكترونات يتم عبره بفعل أثر النفق الكوانتي. عند ذلك يزداد التيار بسرعة، تكون آلية زينر هي المسسيطرة في مجال التواترات المنخفضة (حوالى $V = 4$)، أما في مجال التواترات الأعلى ($V = 8$) فإنَّ التصدع الانهياري يكون هو الآلة المسسيطرة.

1 - ديوود زينر : Zener Diode

يستخدم ديوود زينر في تنبيط الجهد حتى قيمة معينة ثابت $I_z = V_z$ يُطلق عليها اسم كمون زينر وذلك خلال مجال واسع من شدة التيار $|I|$ (السالب في حالة التغذية العكssية) المخصوص في المجال التالي: $(I_{z(\min)} \leq I \leq I_{z(\text{mix})})$ ، كما في الشكل (3-16) الذي يبين تحولات شدة التيار I (السالب) في ديوود (Zener) في التغذية العكssية من أجل:

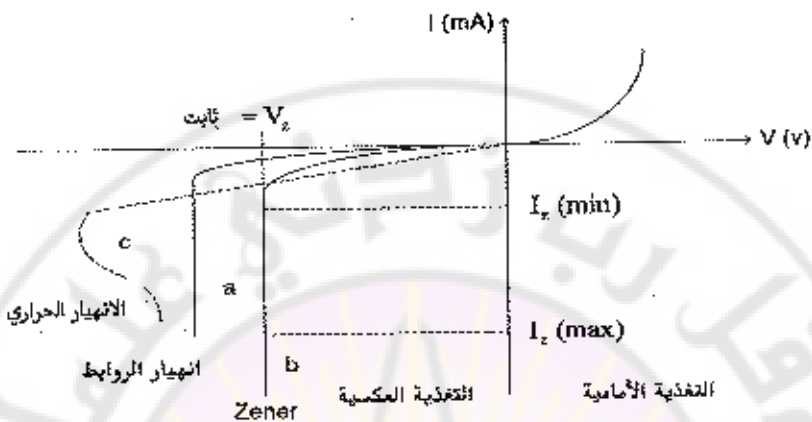
(a) - ظاهرة المدار الروابط حيث تكون منطقه الالتحام (d) في الدiode عريضة.

(b) - ظاهرة (Zener) حيث تكون منطقه الالتحام (d) في الدiode ضيقه.

(c) - ظاهرة الانهيار الحراري في الديوود.

1 - الحالة الأولى a - عرض منطقه الالتحام (d) كبير - نستخدم حالة التغذية العكssية في الديوود، فعندما يزداد فرق الكمون $|V|$ ، (السالب)، بين طرفي الديوود ازيداً كثيراً،

فإن شدة التيار I ، (السالب) تزداد أزيداً كثيراً أيضاً حتى تصل، من أجل جهد معين: $V = V_z$



(الشكل 16 - 3)

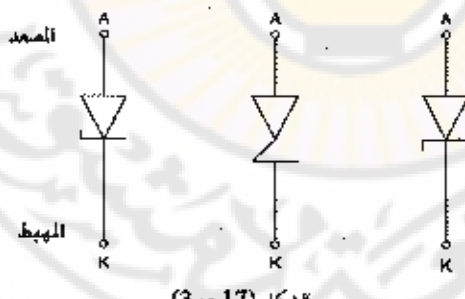
يسعى جهد (Zener)، إلى قيم أكبر بـ: (100) مرة وحتى بـ: (1000) مرة مما هو عليه في الديود العادي. حيث تحصل كل من الثقوب والإلكترونات في منطقة الالتحام العريضة (d)، على طاقة حرارية عالية تكفي، لدى اصطدامها في جواهر بلورة نصف الناقل، أن تفكك روابط جواهرها وينجم عن ذلك تأين في الذرات، وعندها تتحاذب الإلكترونات والذرات المتأينة فتعمّ أو تساهم في مرور تيار كبير في الدارة، وتعرف هذه الظاهرة، باسم ظاهرة انفجار الروابط، الشكل (16 - a - 3).

2- الحالة الثانية b- إذا كان عرض منطقة التحام (d) ضيقاً، وعندما يستخدم التغذية العكssية أيضاً، فإنه بازدياد الجهد (السالب) $|V|$ بين طرفي الديود، فإنَّ التيار العكسي I (السالب)، يزداد بشكل مفاجئ بحيث تتوافر للثقوب والإلكترونات المسافة الكافية في منطقة الالتحام (d) الضيقة، لكي تتسارع (كما في الحالة الأولى)، وبالتالي تكون لها طاقة حرارية كبيرة لتحدث التأين، وإنما تحدث ظاهرة أخرى هي مفعول (Zener)، إذ يحدث حقل كهربائي شديد (E) على طرفي منطقة الالتحام يولد قوة كهربائية ساكنة

تحطيم افتلاع الإلكترونات من ذرات بلورة نصف الناقل، فيزداد وبالتالي، تركيز كلٍّ من الإلكترونات والثقوب مما يؤدي إلى ازدياد كبير في التيار I_z ، وقد تكون قيمة مخصوصة في مجال واقع بين ثابتين: صغرى $I_z(\min)$ وعظمى $I_z(\max)$ ، كما في الشكل (b - 16 - 3) $I_z(\min) \leq I_z \leq I_z(\max)$. الشدة تيار (Zener) $|I_z|$ وذلك من أجل قيمة ثابتة لجهد $|V_z|$ يسمى جهد (Zener) (السالب)، وتستخدم هذه الحالة عملياً، فيما يعرف باسم ثبيت الجهد في ديوود (Zener).

3- الحالة الثالثة C: إن زيادة فرق الكهون المطبق على الديوود في حالة التغذية العكssية على قيمة معينة، يؤدي إلى ازدياد في الطاقة الضالعة فيه على شكل طاقة حرارية، وبالتالي يؤدي إلى تحطم البنية البلورية كلياً في المادة نصف الناقلة، فيتلف الديوود في منطقة الالتحام، فيحصل ازدياد مفاجئ في التيار أولاً ثم نقصان فيه بعد ذلك، وتسمى هذه الظاهرة بالأشجار الحراري، حيث يتلف من أحدهما الديوود، الشكل (c - 16 - 3). وأخيراً يمثل الشكل (17 - 3) رمزاً ثلاثة مستخدمة لتمثيل ديوود (Zener).

ملاحظة: تصنع ديوودات (Zener) بحيث يكون كمون (Zener)، فيها يتراوح بين فولط واحد وهي بضع مئات من الفولطات.



11 -- 1 الثنائي أو الديود النفقي : Tunnel Diode

يتالف الثنائي النفقي من نوعين من أنصاف التواقل المشوبة (n) و (P) متصلين بصلة (d) صغيرة جداً (وهي أصغر مما في الديودات الأخرى بـ: 100 مراة أو حتى بـ 1000 مراة).

ويعتمد هذا الديود في عمله على مفعول النفق، ويتميز هذا الديود أيضاً بأنّ له حاجزاً كمومياً عالياً (V_0) وهو أعلى من حاجز الكمون في الديود العادي بمرتين على أقل تقدير.

- وعندما يطبق على طرفيه جهد يتزايد تدريجياً، فإنّ تياراً ينشأ في دائرته مولداً من ثلاثة أنواع: تيار انتشار الشحنة، والتيار المعاكس الناجم عن الحقل الكهربائي (E)، وأخيراً عن التيار النفقي الذي نحن بصدده، والناتج عن عبور الإلكترونات حاجز الكمون (V_0) المتواجد في منطقة التماس بين المنطقتين (n) و (P) في الديود النفقي، والتي، طبقاً لقوانين الميكانيك الكوانتي، تستطيع عبور هذا الحاجز بالفعل النفقي حتى ولو لم تكن طاقتها مساوية طاقة حاجز ارتفاع الكمون، أو بغير آخر: يمكن لهذه الإلكترونات أن تعبر حاجز الكمون حتى عندما تكون طاقتها أصغر من طاقة حاجز الكمون ولكن يشترط في ذلك أن تتوافر في الجهة الثانية من الحاجز، سوابات طاقة حالية (غير شاغرة) كي تستطيع هذه الإلكترونات الانتقال إليها وأن تشغّلها بعد احتيازها حاجز الكمون. ومع ذلك يمكن إيضاح عملية آلية عمل الديود النفقي كيفياً دون اللجوء إلى الميكانيك الكوانتي، بالاستعانة بفهوم المناطق على النحو التالي:

- ليكن لدينا دiod نفقي مصنوع من مادة الحرمانيوم المشوب، الشكل (18 - 3) ولنفرض أنّ طاقة ارتفاع حاجز الكمون فيه تساوي: $(V_0 = 0,8 \text{ ev})$ ، ولتكن عرض المنطقة المحظورة بين منطقة الناقلة (I) ومنطقة التكافؤ (II) تساوي: $E_g = 0,6 \text{ (ev)}$.

أولاً - لنفرض أنه لا يوجد جهد مطبق بين طرفي الديود النفقي أي: $(V = 0)$ كما في الشكل (a - 18 - 3) فنجد أن عدداً متساوياً من الإلكترونات النفقيه يجتاز منطقة الالتحام (d) وتنتقل في الاتجاهين على السواء من (n) إلى (P) ومن (P) إلى (n)، بحيث يكون التياران متساويان في الاتجاهين، أي تكون مخلصتهما معدومة، فلا يمر أي تيار.

ثانياً - لتطبيق جهداً صغيراً على طرفي الديود النفقي في حالة التغذية الأمامية، ولتكن هذا الجهد متساوياً: $(V = 0,1)$. لما كان ارتفاع حاجز الكمون متساوياً فرضنا: $V_0 = 0,8(\text{ev})$ ، فإنه سينخفض بمقدار $0,1(\text{ev})$ ويصبح متساوياً:

$$V_0 - V = 0,8(\text{ev}) - 0,1(\text{ev}) = 0,7(\text{ev})$$

فيمر تيار نفقي أعظمى من (n) إلى (P)، (بضافة إليه التيار العادي الكبير الناجم عن الحقل الكهربائي (\bar{E}) ، الشكل (b - 18 - 3)، أما ما يتعلق بالانتقال من (P) إلى (n) في الاتجاه المعاكس، فلا يمر أي تيار في هذا الاتجاه (ويكون معدوماً فيه) وذلك لعدم توافر سويات طاقة حالية في المنطقة (E_0) يمكن أن تنتقل إليها الإلكترونات في هذا الاتجاه (من P إلى n).

ثالثاً - عندما يزداد الجهد المطبق على طرفي الديود النفقي أزيداً بطيئاً حتى يصبح متساوياً: $(V = 0,2)$ ، الشكل (c - 18 - 3)، فإن التيار النفقي يتناقص حتى ينعدم، لأن ارتفاع حاجز الكمون ينخفض بمقدار $0,2(\text{ev})$ ويصبح متساوياً:

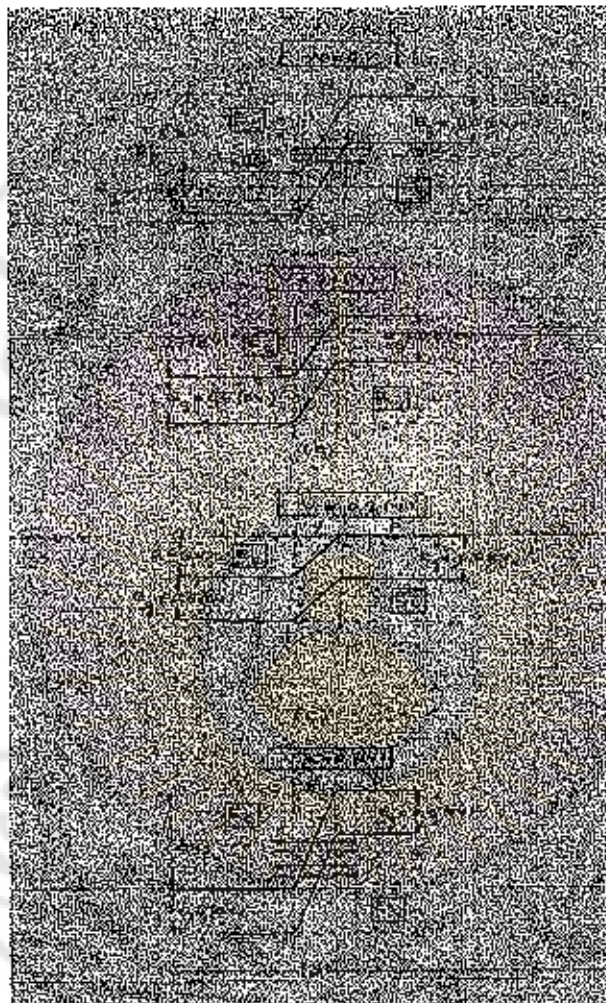
$$V_0 - V = 0,8(\text{ev}) - 0,2(\text{ev}) = 0,6(\text{ev})$$

أي يساوي عرض المنطقة المحظورة: $(E_0 = 0,6(\text{ev}))$ بين المقطفين (E_n) و (E_p) ، وتتصبح مقاومة الديود النفقي متساوية: $(\sigma = \infty)$ في هذه الحالة.

و عندما يزداد فرق الكمون أيضاً ويصبح كبيراً جداً، فإن التيار النفقي يصبح مهملـاً (أي معدوماً) بينما تزداد مخلصة التيارين، التيار الناجم عن انتشار الشحنات، والتيار المعاكس الناجم عن وجود الحقل الكهربائي (\bar{E}) ، كما هو الحال من أجل

ديوه عادي.

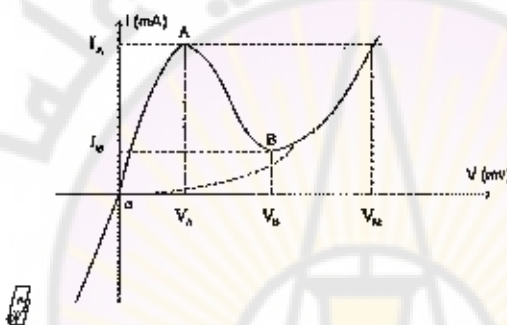
رابعاً - أما في حالة التغذية العكssية، الشكل (٣ - ١٨ - ٣)، فإنَّ التيار النفقي [I]، يزداد بشكل كبير بازدياد فرق الكمون [V] المطبق على طرفي الديود النفقي.



الشكل (٣ - ١٨ - ٣)

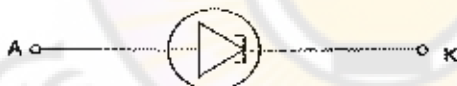
ويعتبر الشكل (١٩ - ٣) تحوالات التيار النفقي (I) بدلالة الجهد المطبق على طرفيه (V) في حالتي التغذية الأحادية والتغذية العكسية للديود النفقي (المنحني المستمر) ومقارنته

مع الديود العادي (المنحني المقطّع). ونلاحظ أن شدة التيار تأخذ القيمة نفسها (I_A) من أجل جهد يساوي $V_{A(\text{قط})}$ ومن أجل جهد $V_{B(\text{قط})}$ يسمى فرق الكمون المباشر، ففي هذا الشكل نبين تحولات التيار النفقي (I) من الصفر حتى (I_A) الموافق للذروة (A) في حالة التغذية الأمامية، ثم يتساقص حتى (I_B) الموافق للنهاية الصغرى (B) وذلك بازدياد الجهد من V_B إلى ($V_B + V_R$) حيث تكون مقاومة الديود النفقي سالبة، ثم يزداد التيار العادي (مع انعدام التيار النفقي عملياً) فيعمل الديود النفقي عمل ديوود عادي في الحال من (V_R) وهي أعلى من (V_B): (فرق الكمون المباشر)



شكل (3 - 19)

والشكل (20 - 3) يبين رمز الديود النفقي.



شكل (3 - 20)

إنَّ من أهم استخدامات الديود النفقي هي التالية:

- 1 - يستخدم في الحال ($V < V_B$), الشكل (19 - 3)، أي من أجل كمونات توافق الحال المتصور بين الذروة (A) للمنحني وبين النهاية الصغرى (B)، تكون مقاومة الديود النفقي سالبة، وفي هذا الحال يستخدم في دارة

الهراز الكهربائية (Oscillator) لتوليد اهتزازات ذات تواترات عالية جداً ومن رتبة الـ: (GHz).

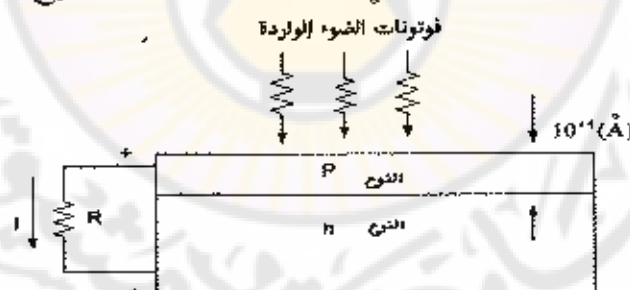
٢ - يستخدم كمفتاح تحويل سريع، لأنَّ الانتقال النفقى خلال حاجز كمونه، إنما يتم خلال زمن قصير جداً هو زمن الاستجابة أو زمن التخليل وهو من رتبة تتراوح بين (s)⁻¹² و (s)⁻⁴.

٣ - يستخدم في كثير من الأجهزة الإلكترونية وفي الحاسوبات الإلكترونية.

12 - ١ الخلية الشمسية Solar cell

تتألف الخلية الشمسية من متصل ثانى (P-n) مصنوع من السيليكون (Si)، فإذا ورد فوتون ضوئي على المنطقة (P) منه، فإنه يتولد زوج مولف من الكترون وثقب وإن الإلكترونات الناجمة عن هذا التحويل من فوتونات الضوء تولد تياراً كهربائياً ملائماً (I) بسري في مقاومة (R) موصولة بالمتصلتين (P) و (n)، كما في الشكل (3 - 21).

فإذا كانت طاقة الفوتون الوارد (E_i) أكبر من طاقة المنطقة المحظورة (E_g) الفاصلة بين المتصلتين: منطقة الناقلة (E_v) ومنطقة التكافؤ (E_c)، حيث تكون (E_c) في السيليكون من رتبة (3 - 21) ev، فإنه لدى اصطدامه بال النوع (P)، فإنه يحرض

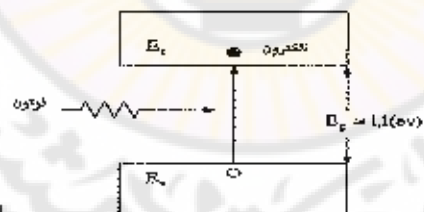


الشكل (3 - 21)

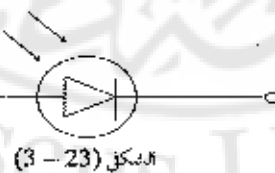
إلكتروناً من منطقة التكافؤ (E_c) إلى منطقة الناقلة (E_v)، كما في الشكل (3 - 22) مولداً بذلك ثقباً في (E_v) التي تصبح غنية بالثقوب من تكرار عملية تحريرض فوتونات الضوء، إلا أنَّ بعضَ من الإلكترونات التي تولدت بالتحريرض المذكور قد يعود ويتحدد

من جديد مع بعض الثقوب مشكلاً بعض الفوتونات ولكن أغلب الإلكترونات الكثيرة تتحرر من المتصل الثنائي فتركه وهي خاضعة لحقل كهربائي (E)، ينشأ في المجال الحصور بين الإلكترونات والثقوب، فيعمل على تسريع تلك الإلكترونات. فيحدث فائض منها في المنطقة (B)، كما يحدث فائض من الثقوب في المنطقة (P)، وتكون النتيجة أن يتولد فرق كمون بينهما، وهو من رتبة $(V) \approx 0,6 \text{ V}$ بالنسبة للسيلكون، فإذا وصلنا هاتين المنطقةتين (P) و (n) بمقاومة عارجية (R)، حصل تيار كهربائي (I) وبالتالي تكون متناسبة مع شدة الضوء الوارد.

هذا وتصنع الخلية الشمسية من مادة السيلكون في أغلب الحالات، بحيث يكون سطح المنطقة (P) أكبر مما يمكن لاستقبال أكبر عدد ممكن من الفوتونات الواردة عليه، وبحيث تكون سماكة المنطقة (P) المعرضة للضوء صغيرة جداً ومن رتبة $(A) \times 10^{-4}$ بحيث أنَّ الإلكترونات الخالصة عن تحرير الفوتونات لها، تصادر عن المتصل الثنائي قبل أن تتحدد من جديد مع بعض الثقوب الخالصة. هذا وعندما تنتقل الإلكترونات في المتصل الثنائي، من المنطقة (P) إلى المنطقة (n)، فإنَّ كمون المنطقة (P) يصبح موجهاً، ويصبح كمون المنطقة (n) سالباً، وهكذا تصبح الخلية الشمسية مصدراً لتحويل الضوء إلى طاقة كهربائية، والشكل (3-23) يمثل رمز الخلية الشمسية.



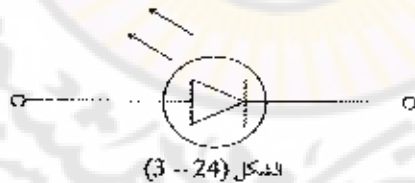
الشكل (3-22)



الشكل (3-23)

13 - ١ الديود المصدر للضوء (LED)

يتتألف الديود المصدر للضوء (LED)، من متصل ثنائي (P - n) يتميز بمحال واسع من التغذية لكي تحدث تركيزاً كبيراً من الالكترونات في المنطقة من النوع (P) من الديود، وتقوباً كثيرة في منطقة من النوع (n) ففي تلك الشروط، يُصدر الديود ضوءاً عندما تتحدد الالكترونات مع الثقوب بحيث أنَّ عمل الديود (LED) يعاكس عمل الفوتون - دiod المثلية الشمسية، بحيث ينتقل الكترون التاقية من المنطقة (E) إلى منطقة التكافؤ (R)، عكس حالة الشكل (22 - 3)، ليملأ الثقب ولتحدد معه مشكلة فوتوناً، وللحصول ذلك لا بد من تطبيق فرق كمون خارجي على طرف الديود ليعادل الطاقة الصادرة على شكل ضوء من الديود، بحيث نصل القطب الموجب من الكمون الخارجي بالمنطقة (P) ونصل القطب السالب من بالمنطقة (n) فيحدث عندئذٍ بين طرفي المتصل الثنائي (P - n) حقل كهربائي تتحرك بوجهه الالكترونات من المنطقة (n) إلى المنطقة (P) وتتحرك الثقوب من المنطقة (P) إلى المنطقة (n) وبذلك تصادم الالكترونات والثقوب مع بعضها وتحدد فتحدث فوتونات الضوء الذي يبرز من الديود (LED) في مجال الضوء الأحمر من الطيف، ويستخدم الديود المصدر للضوء (LED) في الأجهزة الالكترونية وبخاصة في الحاسابات الالكترونية، ويبيّن الشكل التالي (3 - 24) رمزاً للديود المصدر للضوء (LED).



الشكل (3 - 24)

14 - ١ الديود كاشف الجزيئات، ويسمى كاشف الحاجز السطحي: ويتتألف من متصل ثنائي (P - n) يتميز بأنَّ له مجالاً واسعاً في التغذية العكسيّة، بحيث لا يبر فيه أي تيار وهو في حالته الطبيعية، ولكن عندما يمرّ خلاله جزيء ذو طاقة عالية (كالإلكترون مثلاً)، فإنه يُحدث أزواجاً مؤلفة من الالكترونات والثقوب ذات

طاقة أدنى من طاقة الجزيء الولرد، وتكون النتيجة أن مردود هذا الجزيء يؤدي إلى حدوث نبضة (أو إشارة) تدل على مروره ويتناسب ارتفاعها مع طاقته.



ثانياً

الليزر وتطبيقاته

LASER and Applications



مقدمة

فلما تركت اكتشافات علمية أثراها على مجالات وفروع قائمة مثلما ترك اكتشاف أشعة الليزر على فروع العلوم الأساسية، كالكيمياء، والبيولوجيا، والبيولوجيا، وفروع العلوم التطبيقية، كالطب والهندسة، بصفة عامة، وعلى علم البصريات وعلم الفيزياء بصفة خاصة.

الليزر والميزر... ما الفرق بينهما ؟؟

كانت أول محاولة تجريبية للحصول على إشعاع مستimulated (ناتج بعملية الحث الكهرومغناطيسي) هي تلك التي قام بها العلماء تاوتر في الولايات المتحدة وباسوف وبروكورف في روسيا عام ١٩٥٤ حيث تم الحصول على موجات ميكروية مضخمة أو مكثرة باستخدام أشعة في مدى تلك الموجات وأطلق على الموجات أو الإشعاع الناتج اسم الميزر (maser) وهو اختصار للجملة

Microwave Amplification by Stimulated Emission of Radiation
و معناها : تضخيم الموجات الميكروية بالإصدار المحفوظ للإشعاع وفي عام ١٩٦٠ تمكّن العالم الأمريكي ملنكان من الحصول على إشعاع مضخم ناتج بالحث في مدى موجات الضوء وأطلق عليه اسم الليزر :

light amplification by stimulated emission of radiation
و معناها : تضخيم الضوء بالإصدار المحفوظ للإشعاع وقد تم منع كل من تاوتر الامريكي وباسوف وبروكورف (الروسيان) جائزة نوبل في الفيزياء عام ١٩٦٤ نتيجة اكتشافاتهم المتعلقة بأشعتي الميزر والليزر.

ولقد دأب كتاب الخيال العلمي لعشرين من السين، على ذكر استخدام سلاح رهيب يصدر أشعة ذات قوة تدميرية عالية، أطلقوا عليها اسم "أشعة الموت". ولعل أول من استخدمها هو الكاتب الإنجليزي "ويلز" في روايته الشهيرة "حرب التحوم" Star

Wars، إذ دمر بها سكان المريخ مناطق من كوكب الأرض. وهكذا لعب الخيال العلمي دوراً كبيراً في تكوين صورة معينة عن الأشعة القادرة على تدمير أي أهداف، مهما كانت مسافتها، وفتح الخزان المغلقة، وقتل الأفراد. والخيال العلمي لا يقف عند حد. وما نعده خيالاً اليوم قد يصبح حقيقة واقعة في يوم قريب.

وعندما خرج أول ليزر هليوم-نيون للوجود عام ١٩٦٠، بعد بحوث استمرت ست سنوات، في نظرية الإشعاع وتفاعل الموجات الكهرومغناطيسية مع ذرات الموج، سواء منها الغازية أو الصلبة، كان الأمل متقدداً على أن العلم قد توصل أخيراً إلى "أشعة الموت"، القادرة على تدمير الأهداف وقتل الأفراد. ولكن الطبيعة الضخامية للهيلز أوضحت أن هذا المطلب سوف يكون بعيد المنال. ولكن الليزر فتح الطريق أمام افرع المعرفة في مجال الكهربائيات عموماً. وقد تميزت العقود التالية بسرعة تطور نظم الليزر. وظهرت التطبيقات الواسعة في مجال نظم التسليح عموماً، وتوجيه المقدّمات خاصة، وفي الاتصالات والكميات الحيوية.

وتحققت نبوءة الخيال العلمي، إذ بدأ استخدام أشعة الليزر في الحالات العسكرية. وأضيافته أشعة الليزر بالطبع قدرات هائلة إلى نظم التسليح، بما حققه لها من إمكانية قياس مسافة الأهداف بدقة عالية، في حدود الأمتار، خطياً، من سهولة كبيرة في الاستخدام. ويؤثر ذلك بالطبع بدرجة كبيرة على دقة نظم إدارة الحرب، كما استخدمت نظم الليزر في توجيه المقدّمات البالغة الدقة في إصابة الأهداف، مما يعود بالتالي على فاعلية النيران، إذ تحولت المقدّمات من أسلوب الضرب التقليدي إلى التوجيه الدقيق. ولا تنحصر استخدامات الليزر في نظم التسليح على هذين الاستخدامين، ولكنها أكثر الاستخدامات فاعلية وانتشاراً.

الفصل الأول

طبيعة أشعة الليزر وخصائصها



١ - ما هو الليزر؟

الليزر هي كلمة مشتقة من العبارة التالية :

Light Amplification by Stimulated Emission of Radiation
و هذه العبارة هي وصف لعمل جهاز الليزر، حيث يقوم هذا الجهاز بـ**تضخيم الضوء** بنفس الطريقة التي يتكون فيها نهر ضخم كثهر الماء سبي مثلاً من العذيد من الروافد ، حيث يتكون الضوء الاعتيادي من مجموعة من الألوان ذات أطيف مرئية و شبه مرئية ، فيقوم جهاز الليزر بتحويل هذه الأطيف إلى تردد واحد قوي جداً و له نطاقاً مختلفاً عن خليط ترددات الضوء المألوف .

يستخدم الليزر هذه الأيام في كثير من المجالات الطبية والصناعية والعلمية . حيث يستخدم في توجيه المركبات الفضائية و تدمير الصواريخ المعادية والكشف عن الغواصات في أعماق المحيطات ، كما يستخدم في جراحة الدماغ وفي اللحام و تشغيل المعدات الثقيلة ، وفي الاتصالات بين الكواكب .

و فكرة استخدام الليزر في عمليات اللحام ، تقوم على أساس أن الأشعة لالكترونية يمكنها أن تسلط طاقة عالية على مساحة دقيقة جداً، ويستخدم الليزر في عمليات تشغيل و لحام المعادن التي يصعب التعامل معها .

وهناك تطور كبير في مجالات استخدام الليزر ، والمستقبل وحده هو الذي سيقرر مدى عظمة و فائدة هذا النوع من التكنولوجيا .

٢ - اكتشاف أشعة الليزر

كلمة ليزر LASER تعني "تضخيم الضوء بواسطة إثارة موجاته الإشعاعية".
و كان "أينشتين" Einstien أول من تنبأ في عام ١٩١٧م بأن الإلكترونات تستطيع أن تطلق نوعاً خاصاً من الضوء، ولكن ذلك لم يحدث إلا في شهر يوليه من عام ١٩٦٠م، عندما نجح العالم "ثيودور ميمان" Theodore H. Maiman، المهندس بمخابرات

شركة "هيوز" Hughes للبحوث بالولايات المتحدة الأمريكية، في توليد شعاع ضوئي قوي تفاص من ياقوته حمراء تخطي الفضة طرفها، ويسقط عليها ضوء غامر من مصباح أنبوب زجاجي يحيط بها، فتندما يسقط ضوء المصباح على الياقوته يبيح ذراها، وينبعث منها وميض ينتشر إلى طرفها ليصطدم بالفضة التي تعكس كلمرأة، فترتد ذهاباً وإياباً، فتردد قوتها وتزكيزه، وينطلق شعاع لامع من الضوء الأحمر من نوع غير معهود من قبل.

وتذكر بعض المصادر، أن أول جهاز ليزر قد صمم ونُقِد عام ١٩٥٩ بواسطة عالم ليهاني يعيش في الولايات المتحدة، وكان جهاز هليوم-نيون، أي أن المادة الفعالة هي خليط من غاز الهيليوم والنيون في أنبوبة طولها ٤ سم وقطرها ١ سم. وكان العالم الأمريكي "شاولو" قد سبق وأن تَجَزَّأ إمكانية الحصول على أشعة الليزر بالحسابات النظرية.

وليزر "ملمان" الأول بث ضوءاً أحمر فقط، الأمر الذي حد من فائدته. فأحد أسباب بطء استخداماته التطبيقية كان من أسباب الحاجة إلى تطوير أشعة ليزرية متنوعة ترسل ضوءاً بمحاجات وطاقات مختلفة. واليوم، هناك عدد كبير من أنواع أشعة الليزر التي تستخدم مواداً مختلفة لتوليد أشعة ضوئية، لأغراض متخصصة. وأشعة الليزر قد تكون في الطيف المرئي، أو في منطقة الأشعة تحت الحمراء، أو في منطقة الأشعة فوق البنفسجية.

والضوء هو نوع من الإشعاع. والضوء الأبيض الذي نراه، كأشعة الشمس، مكون من ألوان الطيف التي تدرج من الأحمر إلى البرتقالي، فالأخضر، فالأخضر، فالأزرق، فالبنيلي، ثم البنفسجي. وقد تكون العام الإنجليزي "إسحق نيوتن" من الحصول على هذه الألوان عندما مر شعاعاً ضوئياً في مشور زجاجي، فخرج الضوء وقد تفرق إلى هذه الألوان التي تعرف بـ "الطيف المرئي". ويفسر حدوث هذا الطيف بأن الضوء يمكنه

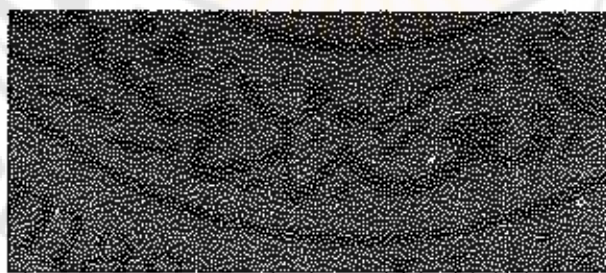
من موجات ضوئية ذات ترددات مختلفة، وهذه الموجات تسير بالسرعة نفسها في الهواء، ولكن سرعتها تختلف عن بعضها عندما تمر في وسط أكثر كثافة من الهواء، فتشتت وتخرج إلى مجموعات طبقاً لتردداتها.

٣ - خصائص شعاع الليزر

جهاز الليزر عبارة عن مصدر للضوء، يعمل على تجميع الإشعاعات الضوئية، التي تولد داخل الجهاز، وتركيزها، وتقويتها، على شكل حزمة ضوئية رفيعة جداً في اتجاه واحد مركز، وهي أشعة كهرومغناطيسية متوازنة coherent ومتراقبة، وتستطيع قطع مسافات طويلة في خط مستقيم. وتميز بأنه يقوى بعضها بعضاً عند الانطلاق. يمتلك شعاع الليزر خصائص تميزه عن أي مصدر من مصادر الإشعاع الكهرومغناطيسي وهذه الخصائص هي:

٤ - أحدادية اللون : Monochromaticity

تعني أن الليزر أحدادي اللون وهذا ما يميزه عن الضوء العادي حيث أن بتحليل الضوء الأبيض الصادر من الشمس أو من مصباح ضوئي فإنه يدل على احتواه على العديد من الأطوال الموجية، كما هو واضح عند تحليل الضوء باستخدام المنشور Prism



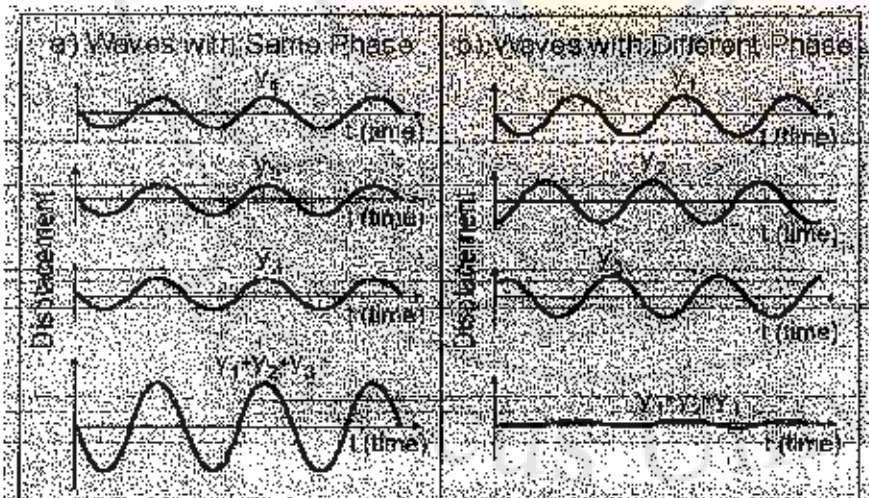
٤- الاتجاهية : Directionality

الضوء الصادر عن الليزر له اتجاه واحد بحيد مهم مقارنة بالضوء الصادر من مصباح كهربائي حيث ان الضوء ينبعث في كافة الاتجاهات وبحيد كبير كما في الشكل التالي.



٣- الترابط : Coherence

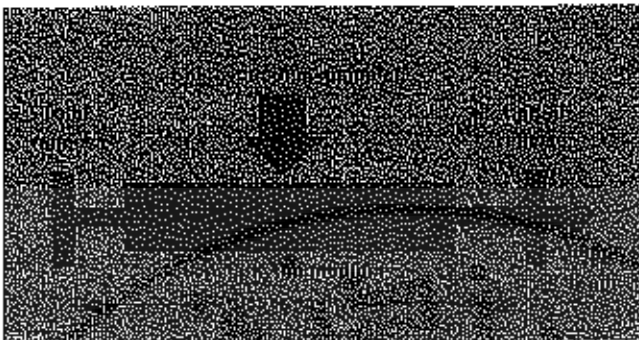
وتعني أن هناك فرق طور ثابت بين الأمواج المترادفة مما يؤدي إلى ظاهرة التداخل. و يوضح الشكل التالي كيف أن ثلاث موجات لها نفس الطور Phase تعطي تداخلاً Constructive بينما تلك التي تختلف في الطور بمقدار عدد فردي من π تداخل هدام وتكون المحصلة هي تلاشي الموجة.



٤- المكونات الأساسية لجهاز الليزر

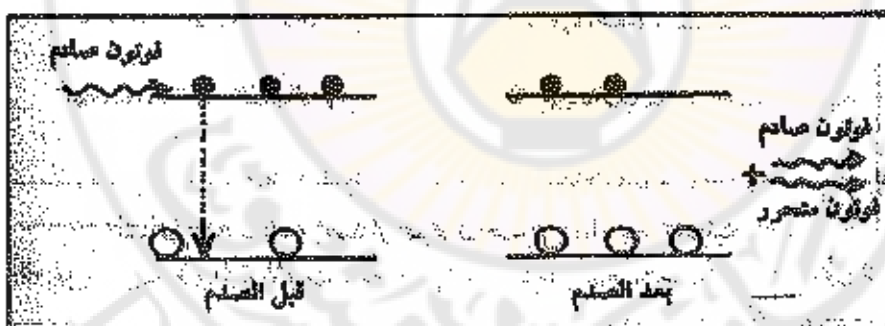
عملية توليد أشعة الليزر تتبع عن تعريض المواد المختلفة لمصادر إثارة وتغذية بخارجية. ويختلف الطول الموجي لأنشعة الليزر الناتجة باختلاف المادة التي تتحجّه، مسح احتفاظها بطبيعتها الأساسية، وخصائصها العامة بوصفها موجة ضوئية، والخصائص العامة للموجات الكهرومغناطيسية. ويكون جهاز الليزر من ثلاثة أجزاء رئيسة هي:

١. مادة الوسط الفعال: وهي التي تتحجّل أشعة الليزر، وقد تكون مادة صلبة، مثل المياقوت الصناعي، الذي يتكون من أكسيد الألومنيوم مضافةً إليه كمية ضئيلة من الكروم، لا تزيد نسبتها عن ٥٠،٠٥ %. وهذه النسبة من الكروم هي المسؤولة عن إنتاج الليزر ، أي أنها المادة الفعالة في هذا النوع من الليزر. وقد تكون مادة الوسط الفعال مادة سائلة، مثل مادة النيوديوم Nodium المذابة في أكسيد كلوريد الصوديوم، أو قد تكون مادة غازية، مثل الهليوم أو النيون، أو ثاني أكسيد الكربون، أو نصف ناقلة مثل زرنيخ الغاليم. والوسط الفعال يقذف بضوء شديد التركيز والترابط، إذا وجهت إليه طاقة مثل تيار كهربائي أو إشعاع ضوئي.
٢. مصدر للطاقة لإثارة ذرات مادة الوسط الفعال، وذلك بعملية الضخ.
٣. المعاوقة الضوئية ، وتكون غالباً في شكل مرآتين.



٥- نظرية توليد أشعة الليزر

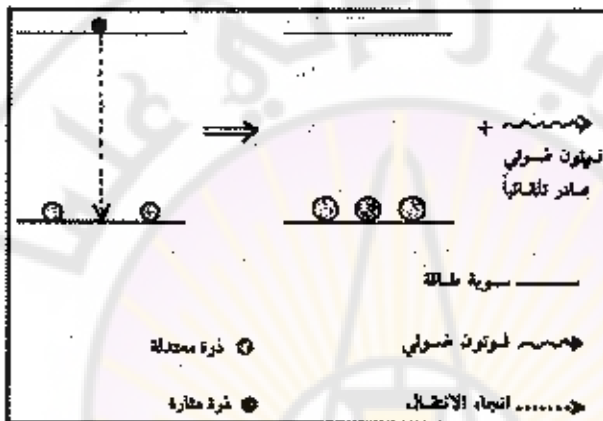
يمكن توضيح نظرية إنتاج أشعة الليزر بسهولة ويسر إذا أخذنا في الاعتبار تركيب الذرة، ومستوي الطاقة E_1 , E_2 الموضعين في الشكل. فلكي تنتقل ذرة من المستوى الأدنى E_1 إلى المستوى الأعلى E_2 فإنها تبتضن قدرًا من الطاقة يساوي الفرق بين هذين المستويين. ولكي تنتقل الذرة من المستوى الأعلى إلى المستوى الأدنى، فإنما تطلق قدرًا من الطاقة يساوي، أيضًا، الفرق بينهما، ويكون ذلك على شكل فوتون photon.



وفي عام ١٩١٧، أوضح "أينشتاين" أن الإصدار يمكن أن يتم بإحدى الطريقتين:

٤. الانهيار التلقائي

و فيه تنتقل الذرة من المستوى الأعلى E_2 إلى المستوى الأدنى E_1 تلقائياً، دون تدخل خارجي. والإصدار التلقائي هو السمة المميزة لجميع المصادر الضوئية المألوفة، كمصابح بخار الصوديوم، أو بخار الزئبق، أو النبضون. وفي كل منها تحدث ملايين الانتقالات التلقائية، نظراً لأن الانتقال التلقائي للذرات يحدث بدون تحكم. ونتيجة لذلك، فإن الضوء الصادر تكون فوتوناته غير مترابطة.



٢. الإصدار المحفوظ *Stimulated Emission*

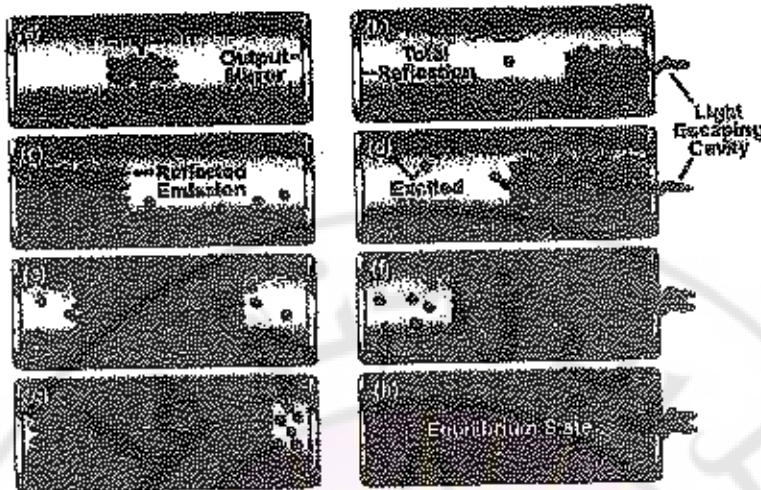
و فيه تنتقل الذرة من المستوى الأعلى E_2 إلى المستوى الأدنى E_1 عندما يهرا فوتون طاقته تعادل الفرق بين مستوى الطاقة. وينتشر الإصدار المحفوظ بانبعاث فوتون جديد، فضلاً عن الفوتون الأصلي. ويكون للفوتون المحفوظ نفس طاقة الفوتون الأصلي، ونفس ترددده، وطوله الموجي، ولذلك يقال إنهما مترابطان. والإصدار المحفوظ هو السمة المميزة لمصادر الليزر، إذ تحدث الانتقالات المحفوظة.

في عام 1917 توقع آينشتاين أنه بالإضافة إلى الإصدار التلقائي السابق هناك نوع آخر من الإصدار هو الإصدار المحفوظ *Stimulated Emission*، فقد يحدث أن الفوتون

الذي يتحرر تلقائياً من ذرة مثارة يمكن أن يصطدم بذرة مثارة أخرى مباشرة فيسبب "حللاً" في حالتها المستقرة ويجعلها قسرياً إلى المعاودة إلى حالتها المستقرة — وذلك قبل أن تمضي فترة زمنية ($s^{10^{-8}}$) — فلا تلبث أن تطلق فوتوناً آخر له نفس طاقة الفوتون الأصلي ونفس طوره وطوله الموجي *Coherent*، وتوالى الفوتونات انتشارها معاً متلازمان في نفس الاتجاه لكي يجتمع ذرات أخرى على إطلاق فوتونات إضافية تتحقق بما على نفس المنوال في نظام متتابع . حيث تتضمن أفواجها المترابطة والمتزمرة حديداً إلى الفوتونات الصادمة مما يؤدي لغزارة أعدادها وصلابة ثباتها وتضخيم طاقتها . ومن هنا أتت كلمة *Laser* . وتعني تضخيم الضوء بالإصدار المثبت للإشعاع .

ولقد وجد أن مقدار التضخيم يتناسب طرداً مع طول المددة الفعالة التي يجتازها هذا الإشعاع، وبقيمة الوصول إلى هذه الحالة يتم استخدام مبدأ يسمى بالحاوبيّة الضوئية (*Optical Resonator*) ، وهي عبارة عن مراتين عاكسيتين للضوء (أحداهما ذات انعكاس كلي والأخرى تعكس جزئياً -99%) وتوضعان متقابلتين والمددة الفعالة بينهما ، فيحدث على كل انعكاسات متعددة مما يسبب زيادة المسير الضوئي وزيادة في الإصدارات المخرضة وتوحيد طاقتها وتواريزها في اتجاه واحد.

يُبين الشكل التالي المراحل المتالية في انتظام حركة الفوتونات . ثم يروزها بشكل أشعة ليزرية من إحدى المراتين الأقل انعكاسية .



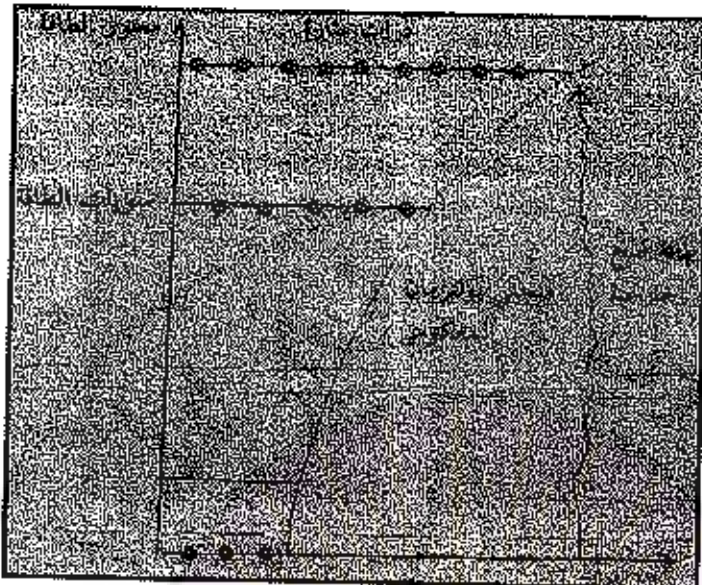
شروح حدوث الاصدار المخوّث (الميزوري):

لكي تتم ظاهرة الاصدار المخوّث لا بد من توافر الشروط التالية :

* أن تثار ذرات المادة لسوبيات أعلى وبأعداد هائلة . ويتم ذلك بتطبيق طاقة إثارة مناسبة عليه عن طريق الضرب، يتحقق ذلك إذاً يمكن قلب توزع بوليمزان، أي إذاً تحقق للذرات ما يسمى بالتوزع الإسکاني المعكوس *Population Inversion*، وأهداف من ذلك كله هو زيادة احتمال حدوث الاصطدام الفوتوني.

* أن توضع المادة الفعالة بين مرآتين كي تتحقق انعكاسات متعددة للشعاع بينهما. وبالتالي يتحقق أكبر عدد ممكن من الإصدارات المخوّثة ذات الفوتونات المترابطة.

* أن تطبق على الجملة طاقة حقل خارجية، كي تحدث إثارة لذرات المادة وشحنها بالطاقة عن طريق الضرب (الضوئي أو الكهربائي).



ويمكن توضيح كيفية إنتاج شعاع الليزر من خلال دراسة ليزر الياقوت على سبيل المثال. فأول جهاز ليزر ياقوت **Ruby Laser** صممه "ميغان" عام ١٩٦٠.

يتكون من قضيب اسطواني من الياقوت ذي اللون الأحمر الوردي، قطره ١ سـم وطوله ٥ سـم، وطرفاه متوازيان ومصقولان حسقاً جيداً، وأحد هما مغطى بطبقة غسل شفافة من الفضة، وثانيهما مغطى بطبقة نصف شفافة من الفضة، أيضاً. والياقوت هو عبارة عن أكسيد الالومنيوم تم استبدال بعض ذرات الألومنيوم فيه ببعض ذرات الكروم. وأسطوانة الياقوت محاطة بأنبوبة تفريغ حلزونية الشكل بما غاز زيون **Xenon**، وعند تشغيلها ينبعث منها ضوء أبيض متوجّع يحتوي على مدى عريض من الترددات.

ويمكن فهم فكرة عمل ليزر الياقوت بالاستعانة بنظام ثلاثي مستويات الطاقة الموضح أعلاه، إذ المستوى E_1 هو المستوى الأرضي، والمستوى E_3 هو مستوى الإثارة، والمستوى

E_2 هو مستوى شبه مستقر، عمره الزمني طويل نسبياً، وقدر بحوالي جزء من مئة ألف من الثانية، وهو يفوق العمر الزمني لمستويات الإثارة العادلة بمقدار مائة ألف مرة.

عندما يضاء الياقوت المشوب بالكروم بالضوء الصادر من أنبوبة زيتون، وعندما تكون قدرة الأنبوة مناسبة، تثار معظم ذرات الكروم الموجودة في المستوى الأرضي E_1 لتنقل إلى منسوب الإثارة E_3 . ويطلق على عملية نقل الطاقة إلى المادة الفعالة في الليزر، والتي يترتب عليها نقل ذرات المادة الفعالة من المستوى الأرضي إلى منسوب الإثارة اسم عملية "الضخ" Pumping.

وعودة ذرات الكروم من منسوب الإشارة E_3 إلى المستوى الأرضي E_1 تتم بطريقتين:

أ. الطريقة الأولى

وفيها تفقد ذرات الكروم المثارة في المستوى E_3 بعض طاقتها إلى بلورة الياقوت، ونتيجة لذلك قبط هذه الذرات إلى المستوى E_2 شبه المستقر. ونظراً لطول عمره الزمني، يزداد فيه عدد ذرات الكروم المثارة حتى يصلح أكبر من عددها في المستوى الأرضي E_1 وهذا هو شرط الحصول على الإصدار المحتوى، أو هو شرط الحصول على أشعة الليزر.

ب. الطريقة الثانية

وفيها تنقل بعض ذرات الكروم تلقائياً من المستوى E_2 إلى المستوى E_1 ويصبح هذا الانتقال أبعاث فوتونات طولها الموجي ٦٩٤٣ ألميتر. وهذه الفوتونات، الصادرة تلقائياً، عندما تمر بذرات الكروم المثارة في المستوى E_2 فإنها تستحوذها على الانتقال من المستوى E_2 إلى المستوى E_1 قبل أن يحين زمان عودتها تلقائياً. ويتولد نتيجة لذلك عدد

من الفوتونات المختوطة، وهذه وغيرها تولد مزيداً من الفوتونات، وهكذا سرعان ما يتولد شلال من الفوتونات يكون لها اتجاه الفوتونات الساقطة نفسه.

والفوتونات التي يكون اتجاه حركتها موازياً، تقريباً، لمحور الاسطوانة تعانى من انعكاسات متعددة عند سطحى المراتين الموجودتين عند ثانوي الاسطوانة، فيزداد تبعاً لذلك طول المسار الذى تقطعه داخل البلورة، مما يتبع لها أن تستحوذ عدداً أكبر من ذرات الكروم المثارة في المستوى E_2 لتنقل إلى المستوى E_1 ، فيتضخم بذلك شلال الفوتونات في اتجاه المحور، وعندما تبلغ شدته جداً معينة، ينفذ جزء منه إلى خارج الجهاز من خلال المرأة نصف الشفافة، وجدير بالذكر أن الفوتونات الصادرة تلقائياً في الاتجاهات الأخرى ستغدو بخلافها خالل السطح الجانبي للإسطوانة.

وليزر البالاقوت ليزر نبضي، أي تبعث أشعة الليزر منه على هيئة نبضات، وتتولد أثناء عملية تشغيل الجهاز كمية كبيرة من الحرارة داخل البلورة، مما يتطلب تبريد لها هواء مسال يمر في غلاف يحيط بأسطوانة البالاقوت.

أمثلة لفكرة الليزر

زخات المطر: يمكن أن نفهم ما تتمتع به أشعة الليزر من تأثير فعال وقدرة عالية إذا قمنا بمقارنته هذا الوضع بطول الأمطار، حيث تسقط قطرات المطر فرادى ليس بينها توقيت زمني واحد، مما يجعل زخات المطر قاتل على الأرض والمباني والمتشاه دون ضرر يذكر. أما إذا افترضنا أن هذه القطرات قد تراصبت مع بعضها، وهيئات في لحظة واحدة فإن الذي سوف يحدث هو أن آلاف الأطنان من الماء سوف تتساقط في نفس الوقت على المباني والمتشاه مما سيتسبّب عنه - بطبيعة الحال - أضرار جسيمة، وما موجات تسونامي الدمرة إلا قطرات من الماء تجمعت في حركة ذات إيقاع مشتركة لتساهم ما يقابلها من حجم، وتملك من يعرض مسارها من بشر.

ضررية الكاراتيه: كيف يستطيع لاعب الكاراتيه المتعرّض لقطب لوح محسّن سميكة بضيّقة واحدة؟ إنّ الذي يحدث هنا أن لاعب الكاراتيه يُركّز طاقته العضلية والفكريّة، ويوجهها، في ضرّبة واحدة خاطفة خلال زمن قصير جدًا، إلى أصغر مساحة ممكّنة من المدفأ، فتضاعف بذلك طاقته عشرات المرات، وتكون كافية لقطب لوح.

٦ - تعداد الذرات في حالة التوازن الحراري Population at thermal equilibrium

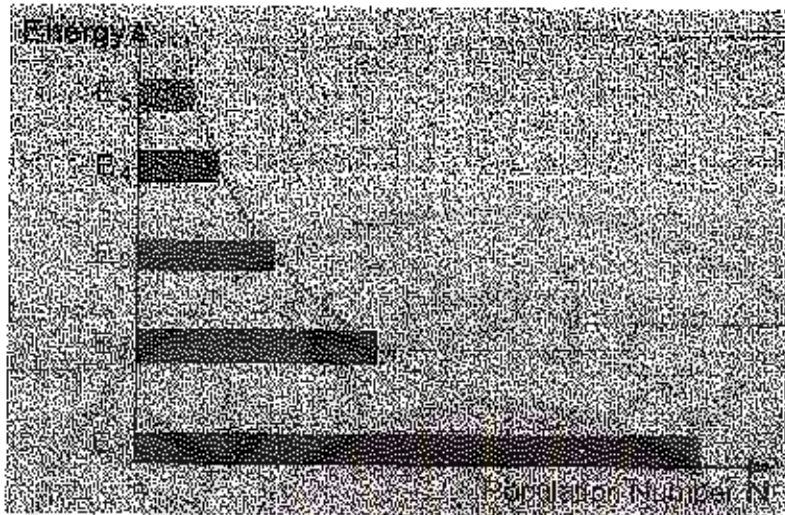
إن العلاقة بين تعداد الذرات في مستويات الطاقة عند التوازن الحراري توصيف معادلة ماكسويل بولتزمان للتوزيع الاحصائي Maxwell-Boltzman Law



حيث N_0 هي تعداد الذرات في مستوى الطاقة السفلي

N_1 هي تعداد الذرات في مستوى الطاقة العلوي

g_0 و g_1 هما الوزن الاحصائي والذان يعبران عن طرق توزيع الذرات المختلفة في مستوى الطاقة السفلي والعلوي على الترتيب.



٧ - معاملات اينشتاين The Einstein Relations

تعرف المعاملات A_{10} & B_{01} & B_{10} معاملات اينشتاين Einstein Coefficients وهي التي تعطينا فكرة جيدة عن احتمالية حدوث انتقال بين مستويات الطاقة. وسنقوم بابحاث العلاقات التي تربط بين هذه المعاملات حيث ان الانتقالات الثلاثة تحصل في المادة بصورة مستمرة وبمعدل ثابت لكل منها عند ثبوت درجة الحرارة أي في حالة الاتزان الحراري. وبمعرفة معامل من المعاملات الثلاثة يمكن حساب المعاملات الأخرى.

سنقوم في هذه المرحلة بدراسة تأثير كل عملية من العمليات الانتقالية الثلاث على معدل تغير تعداد الذرات N_1 في مستوى الطاقة المثار E_1 وذلك في حالة الاتزان الحراري dN_1/dt ، لذا سنفترض بجموعة من الذرات موزعة على مستويين للطاقة E_0 ، E_1

الإصدار التلقائي Spontaneous Emission

كما قد ذكرنا أن عملية الإصدار التلقائي تعتمد على تعداد المستوى E_1 أي كلما ازداد N_1 كلما زادت عملية الإصدار التلقائي، وكذلك يعتمد هذا الانتقال على المعامل A_{10} الذي يعبر على احتمالية حدوث الإصدار التلقائي. يكون معدل التغير في تعداد المستوى E_1 بالنسبة للزمن بالسابل لأنه كلما زاد معدل التغير كلما نقصت N_1 . ويمكن التعبير عن ذلك بالمعادلة التالية:

$$dN_1/dt = - A_{10} N_1 \quad (1)$$

الامتصاص الخيوث Stimulated Absorption

تعتمد عملية الامتصاص على تعداد المستوى E_0 أي كلما ازداد N_0 كلما زادت عملية الامتصاص ، وكذلك يعتمد هذا الانتقال على المعامل B_{01} الذي يعبر على احتمالية حدوث عملية الامتصاص . يكون معدل التغير في تعداد المستوى E_1 بالنسبة للزمن بالمحض لأنه كلما زاد معدل التغير كلما زاد N_1 . وحيث ان عملية الامتصاص تحدث اذا توفر Photon ذو طاقة تساوي فرق الطاقة بين المستويين E_1 و E_0 أي ان

$$hv = (\Delta E) = E_1 - E_0$$

وللتعبير عن مدى تحقق المعادلة السابقة في عملية الامتصاص فإننا نعبر عنها ~~بشكل~~ طاقة

الاشعاع بالدلالة ρ كتابع لتردد Energy density of radiation والي تعطى

احتمال وجود فوتونات عند تردد ν

ويمكن التعبير عن تأثير عملية الامتصاص على تغير تعداد المستوى E_1 بالمعادلة التالية:

$$dN_1/dt = + B_{01} N_0 \rho(v) \quad (2)$$

الإصدار المحفوظ Stimulated Emission

تعتمد عملية الإصدار المحفوظ على تعداد المستوى E_1 أي كلما زادت عملية الإصدار المحفوظ ، وكذلك يعتمد هذا الانتقال على المعامل B_{10} الذي يعبر على احتمالية حدوث عملية الإصدار المحفوظ . يكون معدل التغير في تعداد المستوى E_1 احتسابياً متساوياً لـ $-B_{10} N_1$ ، حيث أن عملية الإصدار المحفوظ تحدث اذا توفر Photon ذو طاقة تساوي فرق الطاقة بين المستويين E_1 و E_0 أي أن

$$hv = (\Delta E) = E_1 - E_0$$

وللتعبير عن مدى تحقق المعادلة السابقة في عملية الإصدار المحفوظ فإننا نعبر عنها بـ كثافة الإشعاع بالدالة ρ كثابع لتردد v Energy density of radiation والتي تعطى احتمال وجود فوتونات عند تردد v

ويمكن التعبير عن تأثير عملية الإصدار المحفوظ على تغير تعداد المستوى E_1 بالمعادلة التالية:

$$dN_1/dt = - B_{10} N_1 \rho(v) \quad (3)$$

تشمل المعادلات الثلاث السابقة المذكرة الحالات المختلفة التي يمكن من خلالها أن يتفاعل الإشعاع الكهرومغناطيسي مع ذرات المادة . وفي حالة الاتزان الحراري عند درجة حرارة T فإن عدد الذرات N_1 في مستوى الطاقة E_1 يكون ثابتاً أي أن

$$N_1 = \text{Constant} \quad \& \quad dN_1/dt = 0$$

لذلك :

$$dN_1/dt = - A_{10} N_1 + B_{01} N_0 \rho(v) - B_{10} N_1 \rho(v) = 0$$

وبالتالي :

$$N_1 (-A_{10} - B_{10} \rho(v)) + B_{01} N_0 \rho(v) = 0$$

$$N_1 (A_{10} + B_{10} \rho(v)) = -B_{01} N_0 \rho(v)$$

نحصل على :

$$(4) \frac{N_1}{N_0} = \frac{B_{01} \rho(v)}{A_{10} + B_{10} \rho(v)}$$

وحيث أن المعادلات الثلاث الأخيرة تم استفادتها تحت شرط الاتزان الحراري

وهذا فإن معادلة ماكسويل بولتزمان متحققة

$$\frac{N_1}{N_0} = \frac{g_1}{g_0} e^{\frac{-hv}{kT}} \quad (5)$$

ويمقارنة المعادلة (4) بالمعادلة (5) نحصل على المعادلة التالية:

$$\frac{g_1}{g_0} e^{\frac{-hv}{kT}} = \frac{B_{01} \rho(v)}{A_{10} + B_{10} \rho(v)} \quad (5*)$$

تكون كثافة الإشعاع عند درجات الحرارة العالية كبيرة وهنا يمكن إهمال تأثير عملية الإصدار التلقائي التي لا تتأثر بتغير درجة الحرارة.

$g_1/g_0 = N_1/N_0$ يكون $KT \gg h\nu$: عندما يكون

لذلك :

$$\frac{g_1}{g_0} = \frac{B_{01}}{B_{10}} \quad (6)$$

من المعادلات السابقة نحصل على :

$$(7) \quad \rho(v) = \frac{A_{10}}{B_{10}} \frac{1}{e^{\frac{hv}{kT}} - 1}$$

تدعى المعادلة (7) معادلة اينشتاين لأشعاع الجسم الأسود

$$(8) \quad \rho(v) = \frac{8\pi h v^3}{c^3} \frac{1}{e^{\frac{hv}{kT}} - 1}$$

نحصل :

$$(9) \quad \frac{A_{10}}{B_{10}} = \frac{8\pi h v^3}{c^3}$$

تدعى المعادلتين (٧) و (٩) بمعادلتي اينشتاين . تسمح لنا المعادلة الثانية بحساب نسبة احتمال الاصدارات التلقائي الى احتمال الاصدار المختوثر من أجل سوية طاقة.

$$\rho(v) = \frac{8\pi h v^3}{c^3} \frac{1}{e^{\frac{hv}{kT}} - 1} \quad \text{من المعادلة (٨)}$$

لتقدير النسبة بين الاصدارات التلقائي والاصدار المختوثر نفترض أن :

$$R = e^{\frac{hv}{kT}} - 1$$

للذلك :

$$\rho(v) = \frac{A_{t0}}{B_{t0}} \frac{1}{R}$$

النسبة بين الاصدارات التلقائي والاصدار المختوثر يمكنها بالشكل :

$$R = \frac{A_{t0}}{B_{t0}} \frac{1}{\rho(v)}$$

مثال : احسب النسبة بين الاصدار التلقائي والاصدار المختوثر لسلك من التنجستين يعمل بمدرسة الحرارة K 2000 أحدها "توترًا" وسطي الاصدار $5 \times 10^{14} \text{ Hz}$.

الحل :

$$R = \exp[(6.6 \times 10^{-34} \times 4 \times 10^{14}) / (1.38 \times 10^{-23} \times 2000)]$$

تم اهمال كثافة الإشعاع

$$R = 1.5 \times 10^5$$

هذا يثبت أن الاصدارات المحتوطة تحت الشرط الطبيعي للتوازن الحراري لا يكون ذو عملية هامة وبالتالي لا يتحقق فعل الليزر.

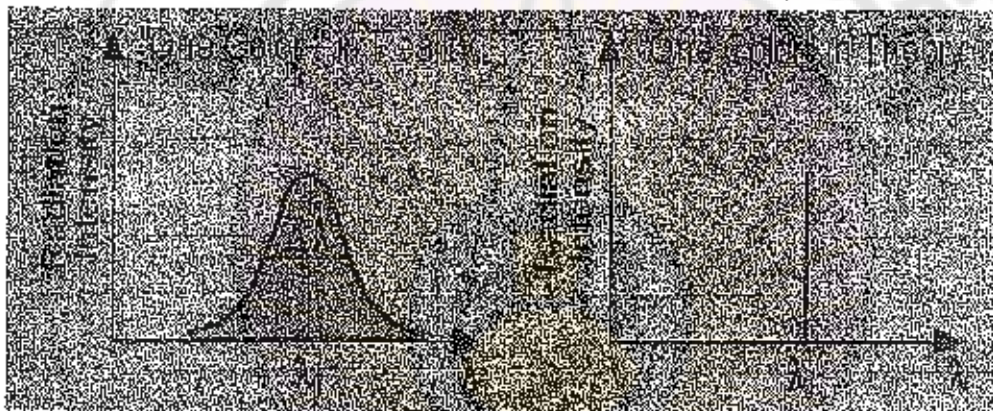
مما سبق نستنتج أن عملية الاصدار المحتوطة تنافس عملية الاصدار الشفالي والامتصاص المحتوطة وحق نصيحة شعاعاً "ضوئياً" بواسطة الاصدار المحتوطة فإنه يجب أن نزيد معدل هذه العملية بالنسبة للعمليتين الاخريتين . وحق يتحقق ذلك فإنه يجب زيادة كثافة الاشعة وتعداد المستوى E_2 وهذا ما يعرف بالانعكاس السكاني Population Inversion .

I - 8 - عرض الخطط الطيفي :

يتولد الليزر داخل المادة عند أطوال موجية محددة تساوي أحد الأطوال الموجية الخطوط الطيف الصادرة من المادة . ولتشييل خطوط الطيف نرسم شدة الاشعة الكهرومغناطيسي الصادر من المادة كتابع للتعدد أو الطول الموجي .

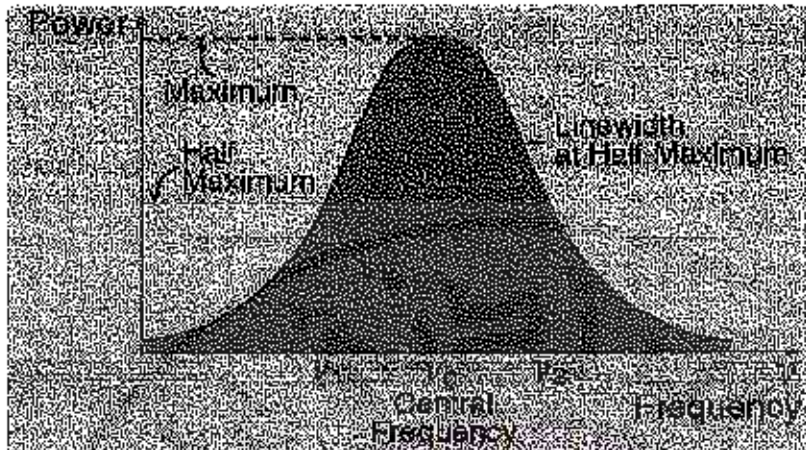
افتراضنا سابقاً أن الطيف الصادر من الذرة المثار يرتكز فقط عند تردد وحيد وهو v_0 والذي يدعى Resonance Frequency ، (توافر التحاوب) . ولكن في الحقيقة فإن عملية الامتصاص والإصدار لا تحدثان عند تردد وحيد فقط ولكن عند حزمة من التردودات التي تشكل اتساعاً في الخطط الطيفي Δv وهذا الاتساع في الخطط الطيفي يعتمد على الكثير من العوامل سنذكرها بالتفصيل فيمايلي .

المقصود بمصطلح أحادي اللون **Monochromatic** : نظريا فإن مصطلح أحادي اللون يعني طولاً "موجياً" محدداً λ_0 ، وعند رسم منحنى التغير في شدة الطيف الصادر للمستويين طاقة مع الطول الموجي يتبع خط يعرف بالخط الطيفي spectral line كما في الشكل الموضح على الجانب الأيمن حيث أن شدة الأشعة عند أطوال موجية مخارج λ_0 تساوي صفراء . والحقيقة ، فعدد تمثيل العلاقة بين شدة الطيف الصادر والطول الموجي نلاحظ أن للخط الطيفي اتساعاً معيناً مقداره $\Delta\lambda$ يعرف بـ width spectral بحيث تكون أعظم قيمة عند λ_0 وتناقص على الأطوال الموجية المجاورة لهوار λ_0 كما في الشكل على الجانب الأيسر من الشكل التوضيحي .



وللتغيير عن شكل واتساع الخط الطيفي يمكن استخدام العديد من الطرق ولكن سنتستخدم الطريقة الأكثر شيوعاً وهي الاتساع عند منتصف القمة أي:

FWHM Full Width at Half Maximum كما في الشكل التالي:



FWHM = Full Width at Half Maximum

لقد سلمنا بأن مستويات الطاقة التي تعاملنا بها حادة تماماً أي أن قيمة الارتباط (الشك) يساوي صفراء $\Delta E = 0$ لكل منها، وهذا يتناقض مع مبدأ هايزنبرغ للشك الذي ينص على وجوب بقاء الذرة المتأارة إلى المستوى E_1 زمناً "لامائياً" حتى يكون الشك في تحديد مستوى العلاقة E_1 يساوي صفراء. وحسب هايزنبرغ :

$$\Delta E \times \Delta t > h$$

$$\Delta E = h \times \Delta v$$

$$\Delta v > 1 / \Delta t$$

مثال عددي :

$$\Delta t = 10^{-8} \text{ [s]} \quad \Rightarrow \quad \Delta v = 10^8 \text{ [Hz]}$$

$$\Delta t = 10^{-4} \text{ [s]} \quad \Rightarrow \quad \Delta v = 10^4 \text{ [Hz]}$$

كلما كانت فترة حياة الانتقالات transition lifetime أكبر كان عرض الخط أضيق line width $\Delta\nu$.

إذا أثيرت ذرة إلى مستوى طاقة ما فسوف تبقى فيه فترة زمنية محددة ثم تعود إلى المستوى الأرضي للطاقة Ground level وتطلق فوتونات.



وللتغلب على هذا التناقض بين مبدأ الشك والعمر المحدود لبقاء الذرة مثارة نفرض أن مستويات الطاقة لها اتساع وأن احتمالية توزيع الذرات أكبر مما يمكن عند التردد ν_0 كما في الشكل الموضح، ولذلك فإن احتمالية الانتقال ν أقل من احتمالية ν_{21} لأن احتمالية توزيع الذرات في منتصف مستوى حزمة الطاقة أكبر مما يمكن.



يُوحد متوسط عمر المستوى τ لمستوى الطاقة كمقاييس للشك في الزمن.

ويمكن تقدير اتساع الخط الطيفي نتيجة الاتساع الطبيعي Natural لمستوى طاقة i بالمعادلة التالية:

$$\Delta v_i = 1/2\pi\tau_i$$

عندما $\Delta v_i = 0$ هذا يقابل حالة أرضية $\tau_i = \infty$

أعلى حالة (المشاركة) لها زمن حياة وسطي بين 10^{-9} - 10^{-6} ثانية.

زمن الحياة life time في الحالة المشاركة هو مقلوب احتمال الاصدار التلقائي spontaneous emission probability (A_{21})

$$\tau = 1/A_{21}$$

في الحالة العامة :

درستنا فيما سبق تأثير العصر المحدود لمستويات الطاقة على اتساع الخطوط الطيفي Natural Broadening، وستقوم بدراسة تأثير ظاهرة دبلر على اتساع الخطوط الطيفي.

كما نعلم أن ظاهرة دبلر هي تغير في التردد المقاس نتيجة الحركة النسبية بين المصدر والمراقب، مثل الصوت الذي نسمعه لدى مرور سيارة سباعية مسرعة بالنسبة لنا، فعندما يتحرك المصدر بإتجاه مراقب ثابت فإن التردد المقاس بواسطته المراقب يزداد

وعندما يبتعد المصادر عن المراقب الثابت يصبح التردد المقصى أقل من تردد المصادر في حالة سكون.

تمدت ظاهرة دبلر للذرات المباعدة للعصف الكهرومغناطيسي حيث إن الذرات في حالة حركة مستمرة أثناء الإصدار الضوئي وهذا فيإن المراقب الذي يقيس تلك الترددات المطياف (Spectrometer) سوف يقيس ترددات مختلفة حسب ما إذا كانت الذرات مقتربة من المطياف أو متعددة عن المطياف. والترددات المقصى تعتمد على السرعة النسبية للذرات بالنسبة للمطياف كما في معادلة دبلر التالية:



Classical Doppler Effect

يمكن التمييز بين مجموعة من الذرات على حسب سرعتها فلو اختلفت مجموعة في سرعتها فإن الترددات الصادرة منها تختلف وبالتالي نستطيع تعيير الترددات نتيجة لاختلاف السرعات.

وحيث أن الترددات الصادرة من الذرة نتيجة للانتقال بين مستوي الطاقة ١ و ٢ سوف يعتمد على سرعة الذرة من خلال معادلة دبلر السابقة.

ويكون مدى الاتساع الناتج عن ظاهرة دبلر



لاحظ أن مدى الاتساع يتاسب طردياً مع التردد الأصلي للطيف الصادر وعليه فإن ظاهرة دبلر تؤثر على الترددات الكبيرة مثل الإصدار الكهرومغناطيسي في مدى اللون الأزرق أو أكثر، أما الترددات في مدى اللون الأحمر أو أقل فإن ظاهرة دبلر لاتلعب دوراً أساسياً في الاتساع.

كما أن الاتساع نتيجة ظاهرة دبلر يزداد بزيادة درجات الحرارة ويقل بقصان كتلة الذرة.

وهناك مسبب آخر لاتساع الخطط الطيفي يتعذر عن التصادمات المرنة بين الذرات الباعثة للأشعة الكهرومغناطيسي بعضها البعض :

Pressure Broadening (Collision Broadening)

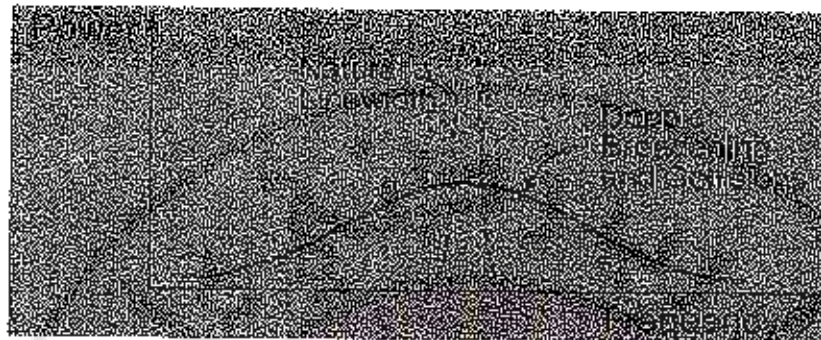
ويسبب التصادم في انفصال المقطار الموجي الصادر من الذرة وهذا الانفصال يدوم لفترة قصيرة جداً 10^{-13} ثانية، مما يسبب احداث فجوات عشوائية في طور المقطار الموجي كما في الشكل، وتكون المحصلة النهائية لهذه التصادمات هو اتساع في مدى الترددات الصادرة من الذرات المتصادمة حول التردد الأصلي $\Delta\nu$.

وهذا يعطي الاتساع نتيجة للتصادمات وقد تم إهمال الاتساع نتيجة العمر المحدود لمستويات الطاقة وذلك لصغر قيمته بالمقارنة بالاتساع الناتج عن التصادمات بين الذرات.

وبالتالي نقول أن : يقسم الاتساع إلى نوعين يعرفان

- ١ - بالاتساع المتجانس Homogenous Broadening مثل الاتساع الناتج عن Life time Broadening & Pressure Broadening

٤- والنوع الثاني يعرف بالاتساع الغير متجانس Non-homogeneous Doppler Broadening. بدل. Broadening



وذلك لأن في ديلر يمكننا التمييز بين مجموعة وأخرى من الذرات حسب سرعتها، أما في **Life time**، **Pressure** فلا يوجد تمييز بين مجموعة من الذرات وأخرى . وفي حالة الاتساع الغير متجانس فإن التكبير لليزر يحدث فقط بواسطة مجموعة محددة من الذرات أما في الاتساع المتجانس فإن كل الذرات تشارك في عملية التكبير لاتساع الليزر.

I - ٩- امتصاص الاشعاع الكهرومغناطيسي :

علمنا مما سبق أن عملية امتصاص فوتون photon absorption بواسطة ذرة فإن حالة الذرة تتغير من ذرة غير مشاركة إلى ذرة مشاركة بعلاقة تساوي طاقة الفوتون الذي اكتسبته. وهذا بالفعل ما يحدث عند النظر إلى الذرة في المادة على حد. ولكن إذا اعتبرنا الحالة الجهرية لوصف عملية الامتصاص macroscopic system فإن "جزءاً" من الشعاع الكهرومغناطيسي الساقط على المادة سوف يستقر وفي الحالة العادي Equilibrium Thermal

الساقط والعلاقة التي تربط شدة الشعاع النافذ مع الشعاع الساقط وسمك المادة هو قانون

Lambert Law

$$I = I_0 \exp(-\alpha x)$$

I_0 : شدة الاشعاع الواردة

α : معامل الامتصاص للمادة ، x ث�انة المادة.

من الشائع استخدام واحات المتر، $[m]$ (10^{-2}) لقياس ثُمانة المادة X

، لذلك تكون واحات معامل الامتصاص (α) هي :

$$[\text{cm}^{-1}] = [1/\text{cm}].$$

ومن هذه المعادلة نستنتج أن كلما ازداد سمك المادة كلما كانت شدة الأشعة النافذة transmitted أقل.

مثال : احسب معامل الامتصاص α للمادة التي ثُحانتها 10 mm السُّي تسرر 50% من الشدة الواردة عليها.

الحل :

$$\alpha = 1/x \times \ln(1/T) = 1/1 \times \ln(1/0.5) = 0.69 \text{ cm}^{-1}$$

I-10- معامل الربح الأصغرى : Small signal gain coefficient

إن ماسق لا ينبع شعاع ليزر لأن الأشعة النافذة أقل من الأشعة الساقطة والمطلوب هو الحصول على شعاع مكثف بعد تفاذ من المادة، وكما نعلم أن كل من عمليتين الإصدار

التلقائي والمحثوث تزيد من شدة الاشعة بينما عملية الامتصاص تقلل من شدة الاشعة النافذة. وللحصول على الليزر يجب أن تكون عملية الإصدار أكبر من عملية الامتصاص حتى نحصل على شعاع ليزر.

وقد درس العالم اينشتاين تأثير تفاعل الاشعاع الكهرومغناطيسي مع المادة من خلال عمليات الانتقال الثلاثة :

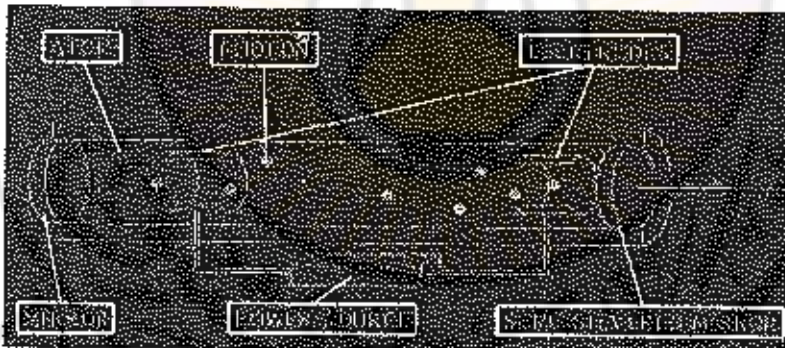
١ - الإصدار التلقائي **Spontaneous Emission**

٢ - الامتصاص المحثوث **Stimulated Absorption**

٣ - الإصدار المحثوث **Stimulated Emission**

وذلك حسب التسلسل التالي : نفترض أن الانتقالات الشعاعية تحدث بين سطعين $E_2 > E_1$ حيث E_2 و E_1 . عندها توافق الإصدار

$$v_{21} = (E_2 - E_1) / h$$



فكرة عمل الليزر

وتوصف حزمة الضوء بالتشعيع I :

$$I_v = C \rho(v)$$

حيث I_v هو التشعيع و C سرعة الضوء بـ (m/sec) و $\rho(v)$ كثافة الطاقة $(J/m^2.sec)$

ان المقدار I_v يشبه التفاعل الذري في السويتين E_1 و E_2 على طول الاتجاه z كما يلي:

$$\Delta I_v = + N_2 z \Delta z x_1 (I_v/C) B_{21} g(v) \times h\nu - N_1 z \Delta z x_1 (I_v/C) \\ + B_{12} g(v) \times h\nu + N_2 z \Delta z x_1 A_{21} g(v) \times h\nu$$

حيث تضم المعادلة السابقة الانتقالات الثلاث سابقة الذكر.

يمكن تجميع المعادلة بالصورة التالية

$$I_v = I_{v0} e^{-\tau v}$$

حيث أن عملية الإصدار الشعاعي تحدث بوجود أو عدم وجود فوتونات ساقطة على المادة أي أنها لا تعتمد على I لهذا فإنها تدخل في المعادلة

نلاحظ أيضاً أن قيمة التغير في تشكل الأشعة بالنسبة لمسافة z تكون قيمة سالبة إذا كانت $N_2 < N_1$ وهذا ما يحدث في الطبيعة وهنا لا نحصل على تكبير، ولذلك إذا أردنا تكبير الأشعة ل الحصول على ليزر فإنه من الضروري أن تكون $N_2 > N_1$ وهذا ما يعرف

بالانعكاس المركباني Population Inversion. نعود إلى المعادلة السابقة
ونستخدم معادلات أينشتين السابقة المذكورة وهما:

$$I = I_0 e^{-\alpha z}$$

$$I = I_0 e^{-\alpha z}$$

وبذلك يتضح أن

$$\frac{I}{I_0} = e^{-\alpha z}$$

$$\frac{I}{I_0} = e^{-\alpha z}$$

وبالتعويض عن B_{21} باستخدام معادلات أينشتين يتبين التالي:

$$\frac{I}{I_0} = e^{-\alpha z}$$

باختصار المعادلة السابقة يتضح أن

$$\frac{I}{I_0} = e^{-\alpha z}$$

الثوابت التالية في المعادلة لها وحدة m^{-1} أو cm^{-1} وهذا تعرف باسم معامل الربح الصغرى Small signal Gain Coefficient وقد سميت كذلك لأننا اعتبرنا أن V

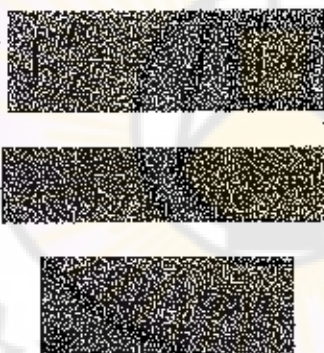
صغيرة بحيث لا تؤثر على N_1 أي أن N_2 ستبقى ثابتة. وال الحال سيكون مختلفاً إذا كانت الشدة كبيرة فإن المعادلة لا تصلح لأن N_2 ستتغير مع الشدة.

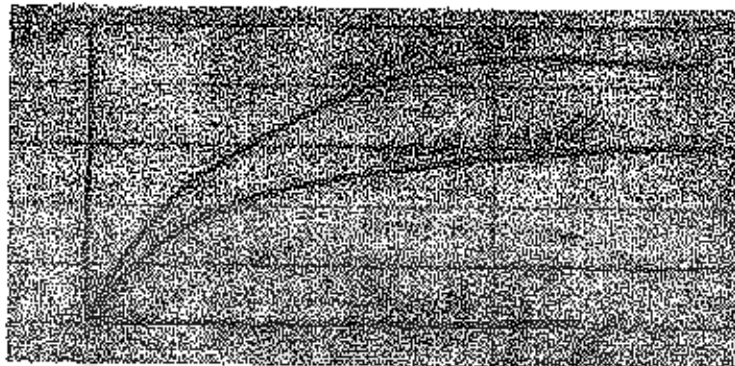


وتأخذ المعادلة الصورة التالية:



بتكميل طرف المعادلة مع العلم بأن dZ يتغير من القيمة 0 إلى 1 وهو أبعاد المادة التي طولها 1



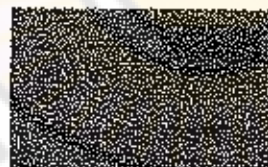


عندما تكون Small signal gain coefficient كبيرةً فإن الشدة تزداد بسرعة
إلى حد الإشعاع Saturation level

لنعود إلى معادلة التكبير التالية



حيث أن وحدة الكثيارات الفيزيائية التالية في المعادلة السابقة



Cross section for stimulated emission هي وحدة مساحة فيها تعرف باسم مساحة مقطع عملية الإصدار المحفوظ الإصدار المحفوظ فكلما زادت مساحة المقطع كلما ازدادت عملية الإصدار المحفوظ.

وهذا يمكن كتابة معادلة التكبير للليزر على النحو التالي:

حيث أن ΔN تعطي مقدار فارق التعداد بين مستويات الطاقة E_1 و E_2 وفي حالة الليزر يجب أن يكون فارق التعداد موجباً.



وبالتالي ان - الربح ومعامل الربح Gain and Gain coefficient تلخص بالشكل :

التابع G يعرف باسم التكبير Gain والتابع γ_0 يعرف بمعامل التكبير وكلتا الدالتين تعتمدان على التردد ولكن التابع G يعتمد على التردد بدالة اسية حيث ان

$$\gamma_0(v) = C g(v)$$

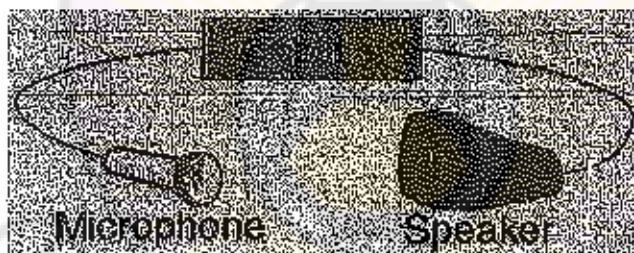
اما التابع G :

I - ١١ - التغذية العكسية الصوتية Optical Feedback

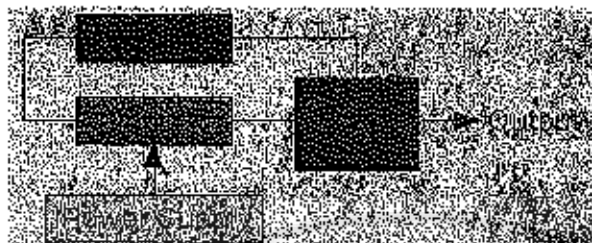
يعمل الليزر مثل أي مذبذب الكتروني، وفكرة المذبذب هو جهاز يسجع ذبذبات بدون وجود مؤثر خارجي، ولشرح ذلك نستخدم مثال جهاز مكبر الصوت والذي يتكون من ميكروفون microphone وسماعة speaker يوصل بينهما جهاز تكبير amplifier كما في الشكل التالي:



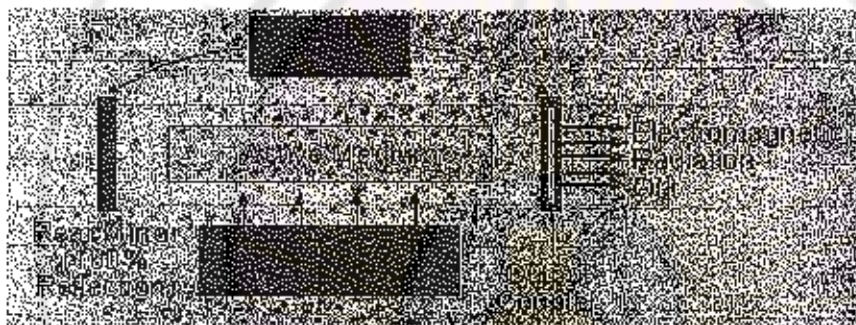
عندما يكون الميكروفون موضوعاً أمام السماعة كدائرة مغلقة فلننا نسمع صفير متصل من السماعة وذلك بدون الحاجة إلى مصدر صوت خارجي.



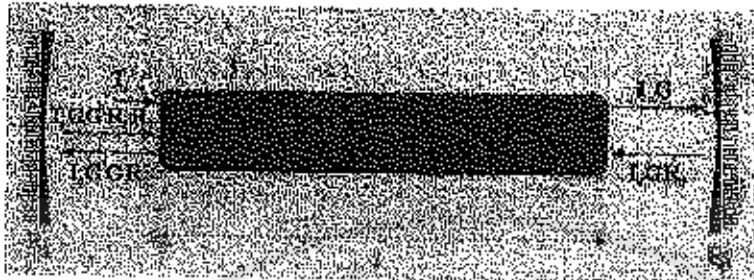
وهذه فكرة التغذية العكسية حيث أن الاشارة الصوتية الداخلية الصادرة من السماعة (noise) تلتقط بواسطة الميكروفون ومن ثم يتم تكبيرها بواسطة المكبر ويعاد بذها من خلال الميكروفون وتتكرر العملية إلى أن يتم تكبير الصوت ويصدر على شكل صفير "متصلة".



وبنفس الفكرة يعمل مذبذب الليزر حيث يتم إعادة جزء من الفوتونات المكبرة بواسطة عملية الإصدار المثبت باستخدام مرآيا ليس تكبيرها، والشكل التالي يوضح فكرة عمل مذبذب الليزر.



عندما تسقط فوتونات ذات شدة I_0 محلل مادة مكبر الليزر G فإنها تكبر بمقدار G وتتصبح شدة الاشعة I_0G وباستخدام مرآة R_2 فإن جزءاً من الاشعة ينعكس بمقدار R_2 وتتصبح شدة الاشعة $R_2 I_0G$ ، تعمل المرأة على إعادة الاشعة للسكر مرة أخرى لتتكبر الاشعة بمقدار G مرة أخرى وخرج $R_2 G I_0G$ لتسقط على المرأة الأخرى R_1 وتكون شدة الاشعة عند انعكاسها $R_2 R_1 G I_0G$. وهذا ما يحدث للأشعة عند دخولها للسكر محلل دورة تكبير واحدة ويكون التكبير المكاسب في المقدار GG والفقد في الاشعة يكون ناجحاً عن $R_2 R_1$



والشرط الاساسي ليصبح المذبذب يعمل كمسكير للإشارة هو أن يكون الناتج النهائي بعد دورة واحدة أكبر من الاشارة الاصلية I_0 أي أن:

$$I_0 G R_2 G R_1 \geq I_0$$

$$G R_2 G R_1 \geq 1 \quad **$$

هذا هو شرط المفراز ليصبح مضميناً أي أن الربح يتحقق العلاقة السابقة :

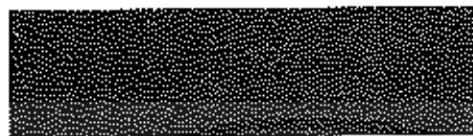
وذكرنا سابقاً أن معادلة الربح :



وبالتعويض في ** نجد :

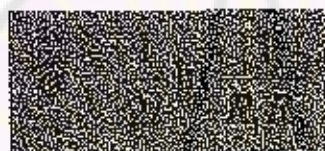


هذه المعادلة تصير بالشكل :

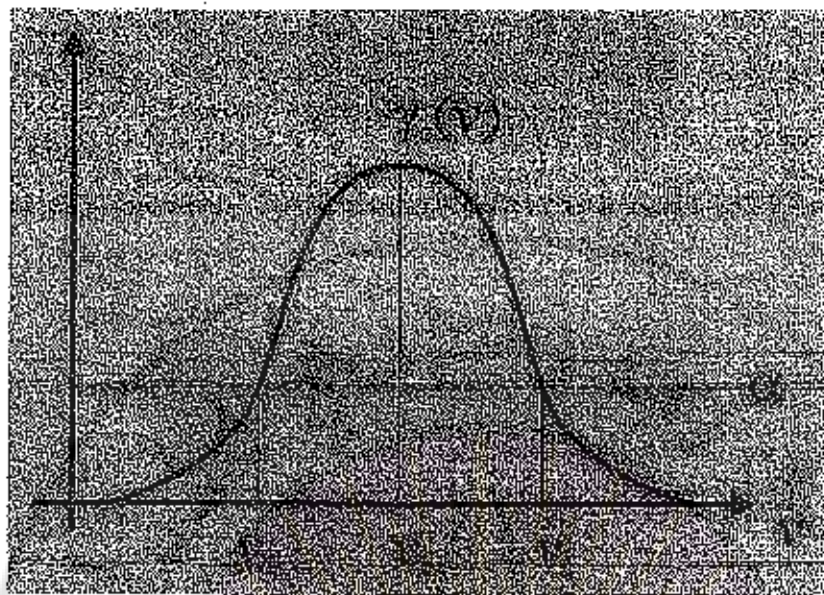


الطرف الأيسر من العلاقة السابقة يمثل $\text{length Gain per unit}$ والطرف الأيمن
يمثل $\text{Losses per unit length}$.

لتفرض أن الرمز G_L يعبر عن مقدار فقد في الاشارة لذا فإن



نلاحظ أن الخسارة losses لا تعتمد على التردد وفي هذه الحالة يمكن تمثيل الخسارة
على منحنى $- \text{Gain}$ كدالة في التردد بخط مستقيم كما في الشكل



لاحظ أنه ليست كل الترددات تحت منحنى Gain يمكن أن تتجه ليزراً ولكن فقط تلك الترددات التي تتحقق الشرط الذي ينص على أن التحصصية يجب أن تكون أكبر من أو تساوي الخسارة وهذا يتحقق في المدى الترددي $v_1 - v_2$. كما موضح في الشكل أعلاه.

من معلوماتنا السابقة عن دالة الـ Gain نرى أنه يمكن التعبير عنها بثابت مضروب في دالة line shape function كما يلي:

$$\gamma_0(v) = C g(v)$$

وحيث أن أكبر قيمة للـ Gain تكون عند التردد v_0

$$\gamma_0(v_0) = C g(v_0)$$

وتقسيم المعادلين السابقتين :



ومن أجل الاتساع المنعans $g(v)$ Homogenous Broadening يعطى
بالشكل :



وبالتعریض (v) و $g(v_0)$ في ***



وهذه المعادلة تعطی الـ Gain عند أي تردد بدلالة الـ Gain عند التردد v_0 .

ستقوم في الخطوات التالية بإيجاد المدى الترددی Δv Gain الذي يتحقق فيه شرط الحصول على الليزر وعلاقته باتساع منعans الـ



حيث أن N عدد صحيح يعبر عن النسبة بين مقدار الخصيلة إلى الخسارة، ويكون مقدار الخسارة **losses** هو :

: $\alpha = \gamma_o(v_i)$

$$\alpha = \gamma_o(v_i) = \frac{1}{N} \gamma_o(v_o)$$

كما هو موضح في الشكل السابق

كلما كانت قيمة N أكبر من الحصيلة أكتر من الخسارة وهذا أفضل لكتافة الليزر وعندما تكون $N=2$ يكون المدى الترددى للليزر مساوياً لاتساع منحنى Δv Gain وعندما تكون الحصيلة ضعف قيمة الخسارة، وعندما تكون $N=1$ تكون الحصيلة تساوي الخسارة ويكون المدى الترددى في هذه الحالة مساوياً للصفر $v=0$.

عندما تكون N أقل من 1 فإن المقدار تحت الجذر يصبح سالباً وهذا ليس له معنى فيزيائي ولا يمكن على الأطلاق الحصول على ليزر في هذه الحالة حيث تصبح الخسارة أكبر من الربح.

Laser Modes - ١٢ - انماط الليزر

علمنا مما سبق أنه للحصول على الليزر تستخدم التقنية العكسية بواسطة المرايا وذلك لتكبير الشعاع الضوئي خلال مروره بالوسط المشع للليزر، لهذه المرايا دور في التأثير على الإشعاع الكهرومغناطيسي داخل المكير حيث يتبع نوعين من الانماط تعرف بالانماط الطولية longitudinal modes والانماط المستعرضة transverse modes.

١- الانماط الطولية

وتتشكل عند توافرات عاصفة داخل المجاوب الليزري والحقيقة لشرط الأمواج المستقرة، باستخدام مداخل فايبرو - بيفرو ، نلاحظ أن حزمة الليزر تتالف من عدد من مdroوجات التوافرات المتقطعة .

إن السبب في تكون هذه الأنباط يعود إلى تكون أمواج (مستقرة) standing wave بين المراتين. وكما نعلم أن الأمواج المستقرة تتكون نتيجة لتدخل موجتين لها نفس التردد وتتشابهان في اتجاهين متعاكسين في المسافة بين المراتين. وكمثال على هذه الأمواج الوتر الموسيقي في الجيتار. وشرط الأمواج المستقرة هو :

$$m = 2L/\lambda$$

L هو طول المخاوب الليزري

m هو عدد الأنماط

λ طول الموجة في مجاوب الليزر

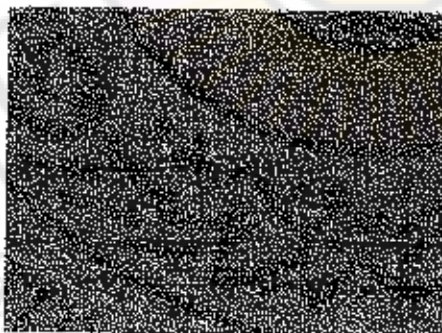
مثال : إن طول مجاوب ليزري هو 25 cm . احسب التواترات والأطوال الموجية الموافقة لـ :

1. $m = 1$
2. $m = 10$
3. $m = 100$
4. $m = 10^6$

ا- حل :

$v = mc/2L$	$\lambda=2L/m$	
$v_1 = 6 \times 10^8 \text{ [Hz]}$ Radio Wave	$\lambda_1 = 2 \cdot \frac{0.25}{1} = 0.5$	1
$v_2 = 6 \times 10^9 \text{ [Hz]}$ Short Wave Communication	$\lambda_{10} = 2 \cdot \frac{0.25}{10} = 0.05$	2
$v_3 = 6 \times 10^{10} \text{ [Hz]}$ Microwaves	$\lambda_{100} = 2 \cdot \frac{0.25}{100} = 5 \cdot 10^{-3}$	3
$v_4 = 6 \times 10^{14} \text{ [Hz]}$ Green Color	$\lambda_{10^6} = 2 \cdot \frac{0.25}{10^7} = 0.5 \cdot 10^{-6}$	4

الفرق بين نقطتين طوليين متتاليتين :

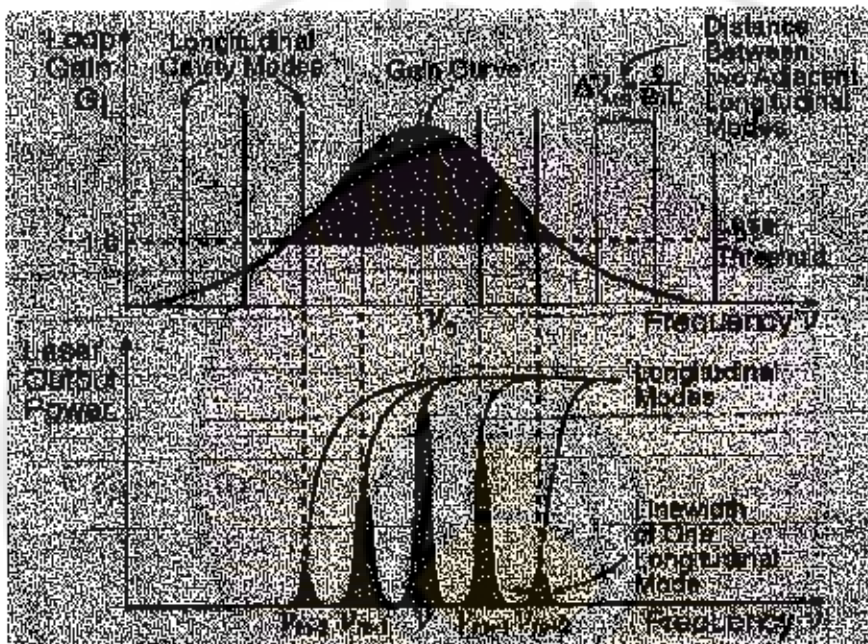


وبالتالي الفرق بين نقطتين طوليين متتاليتين :

$$\Delta v = c/2L$$

وبالتالي المسافة التوافرية بين نقطتين متسحاوريين يعتمد فقط على المسافة الفاصلة بين المراتين.

من أجل $L = 25\text{cm}$ ، الفرق بين توافرین مختلفین هو $6 \times 10^8 \text{sec}^{-1}$



ملاحظات

- تزداد عدد الأكمان تحت منحني الربع كلما زاد طول مكير الليزر L وذلك لأن الفاصل بين الأكمان يقل بزيادة L .

- عدد الأكمان التي يمكن أن تنتفع ليزر تلك التي يتحقق عندها شرط الربع أكبر من أو يساوي الخسارة كما هو واضح في المنطقة الملونة في الشكل أعلاه.

- للحصول على عدد الأشاط التي يمكن أن تكبر تحت معنى الربح نقسم $C/2L$ على المسافة بين نقطتين.

مثال : ان طول بحث لزير **He-Ne** هو 30 cm . وبفرض طول موجة الاصدار هو

6328 [μm] . والمطلوب حساب :

٢ - عدد الأشاط الفطورية عند طول

١ - الفرق بين نقطتين طوليين متاليين

٣ - تواتر الليزر

موجة الاصدار

الحل :

$$1- (\Delta v) = C/(2L) = 3 \times 10^8 [\text{m/s}] / (2 \times 0.3 [\text{m}]) = \\ 0.5 \times 10^9 [\text{Hz}] = 0.5 [\text{GHz}]$$

$$2- \lambda_q = 2L/m$$

$$m = 2L/\lambda_q = 2 \times 0.3 [\text{m}] / 0.6328 \times 10^{-6} [\text{m}] = \\ 0.948 \times 10^6$$

3- بطريقيتين :

$$- v = qx(\Delta v) = (0.948 \times 10^6)(0.5 \times 10^9 [\text{Hz}]) = \\ 4.74 \times 10^{14} [\text{Hz}]$$

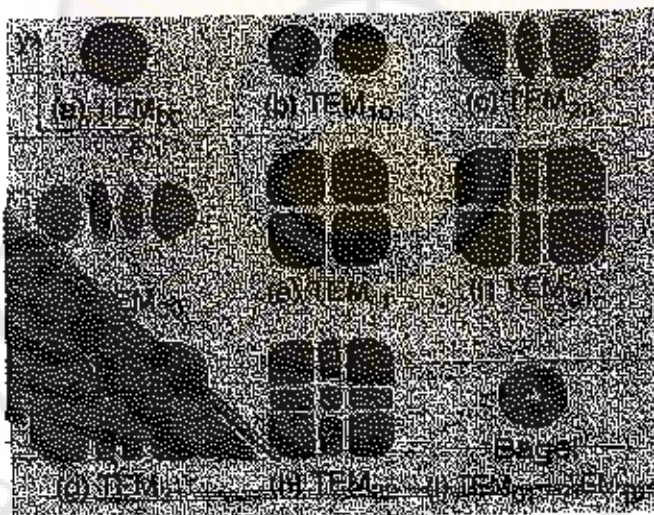
$$- v = c/\lambda = 3 \times 10^8 [\text{m/s}] / 0.6328 \times 10^{-6} [\text{m}] = \\ 4.74 \times 10^{14} [\text{Hz}]$$

2- الأغاط العرضانية :

وتشكل في المقطع العرضاني للحزمة الليزرية، معامدة للمحور الضوئي للليزر.

يدراسة توزيع شدة أشعة الليزر على مساحة المقطع عمودياً على المحور الضوئي للليزر **Optical axis laser** وجد أنها تأخذ أشكال مختلفة تعتمد على دقة موقع المرايا وأي تغير طفيف يؤدي إلى تغير هذه الأشكال والتي تعرف بالأغاط المستعرضة **Transversal Mode**.

باسقاط شعاع ليزر على شاشة بيضاء بعد تكبيره بواسطة عدسة مفرقة يمكن فحص الأغاط المستعرضة لشعاع الليزر. والشكل التالي يوضح مجموعة من هذه الأشكال حيث يبين اللون الأخضر أكبر شدة للليزر والمناطق البيضاء ينعدم فيها الليزر.



يعبر عن كل نمط عرضاني ب TEM_{mn} ، حيث m, n ، أعداد صحيحة. تصف الحزمة وفق المحور Z :

m عدد أصفار الاضاءة (بين اضائتين، (ظلمة)) على طول الخط Y.

n عدد أصفار الاضاءة (بين اضائتين، (ظلمة)) على طول الخط X.

مسألة :

ان طول مجاوب ليزر He-Ne هو cm 55 . وبفرض عرض العصابة هو

[GHz]

والمطلوب حساب : عدد الأنماط الطولية

الفصل الثاني

أنظمة الليزر وتطبيقاتها

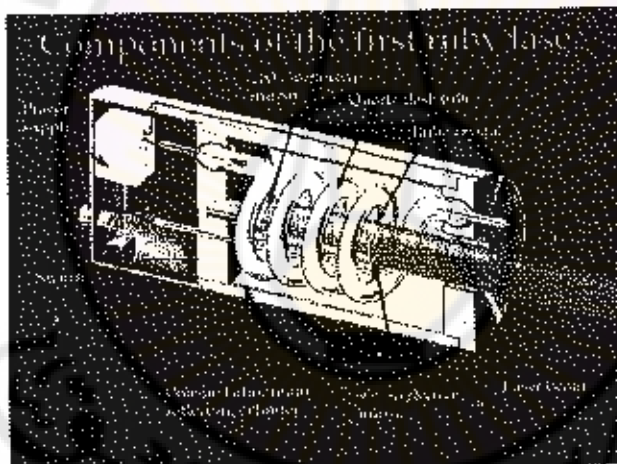
Laser Systems and Applications



فيما سبق درسنا الليزر، فكرة عمل الليزر بشكل عام مع الترکيز على العوامل المؤثرة على الليزر. والآن سوف نخصص دراستنا على انظمة الليزر، حيث تختلف باختلاف المادة **Active medium** ويمكن تقسيم انظمة الليزر الى خمسة اقسام هي على التالى:-

١. ليزر المواد الصلبة

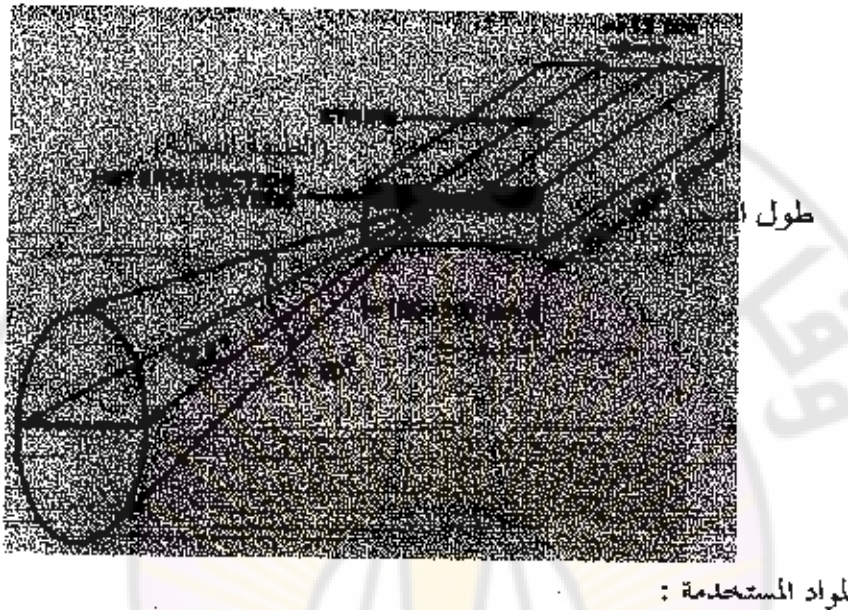
ومنها ليزر البلاج، وليزر المياقوت، ويستخدمان بدرجات كبيرة في الحالات الطبيعية والصناعية. وتتشعّب أجهزة ليزر المواد الصلبة أشعة ليزر بأطوال موجية مختلفة، تراوح بين الأشعة فوق البنفسجية والأشعة تحت الحمراء



٢ . ليزر أنصاف النواقل

وستستخدم فيه مجموعة خاصة رقيقة من أنصاف الموصلات Semiconductors تسمى "الدايود الباعث للضوء" Light Emitted Diode (LED)، وقد عد هذا النوع منفصلاً عن ليزر المواد الصلبة؛ لأنّه يعمل بنظرية مختلفة عنه. ومن ميزاته

انخفاض كلٌّ من الجهد والطاقة الكهربية اللازمة لتشغيله، وصغر الحجم والوزن. ولكن من عيوبه انخفاض طاقة المزير الناتج.



المواد المستخدمة :

أنصاف النواقل من المجموعة II-VI, III-V

و Ge و Si مستبعد (نصف ناقل بفتحة غير مباشرة)

تستخدم المركبات الثنائية GaAs والثلاثية GaAlAs والرباعية GaInPAs

بيان رئيسيان لتنوع المواد: طيف الإصدار، وتوافق ثابت البنية البلورية

ثابت الشبكة Å	طاقة الفتحة المحظورة eV	المركب
5.451	2.45 indirect	AlP
5.6605	2.163 i	AlAs
6.1355	1.58 i	AlSb

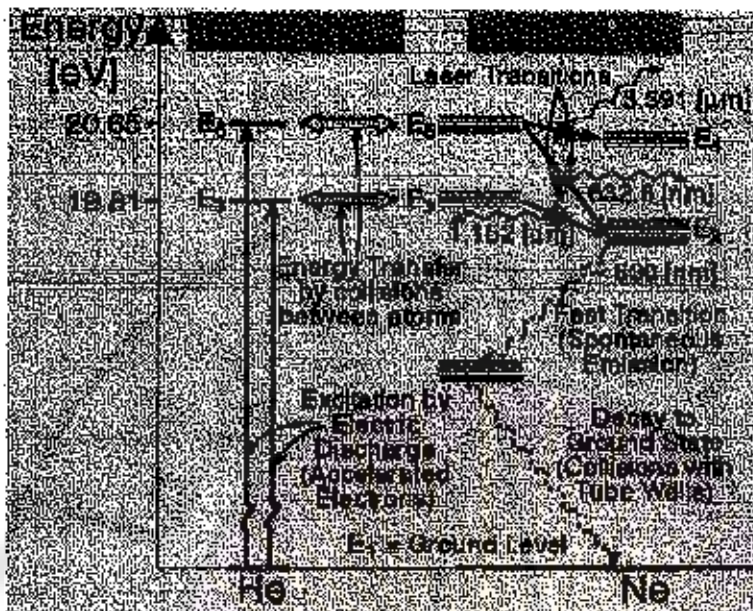
5.451	2.261 i	GaP
5.653	1.424 direct	GaAs
6.096	0.726 d	GaSb
5.869	1.351 d	InP
6.058	0.360 d	InAs
6.479	0.172 d	InSb

٣. الليزر الغازي

وتحت الأشعة الصادرة من أجهزة الليزر الغازي، أفضل بكثير من تلك التي تصدر من أجهزة ليزر المواد الصلبة، وذلك لشيادة عما يملكه ضوئها، سواء على الأرض، أو في الفضاء، وأيضاً، لمداها الكبير وطاقتها العالية. وتستخدم أشعة ليزر الغاز في البحوث العلمية، وفي الأغراض الصناعية

وتتركز الأبحاث على إنتاج نوع جديد من ليزر الهليوم - نيون قادر على إنتاج شعاع ليزر أخضر بدلاً من الأحمر التقليدي، مع زيادة فاعلية أنابيب الليزر وتقليل أسعارها، مما يسمح بمنافسة بعض الأنواع الرئيسية الأخرى. وقد أنتج ليزر هليوم - نيون وهو قادر على توليد ثلاثة خطوط طيفية مختلفة، يمكن اختيار أي منها بواسطة منشور ثلاثي، ولaser الـ هليوم - نيون له استخدام رئيسي في مجال التصوير المحسّن وتشفيير الصور :

$$\lambda_1 = (632.8 \text{ [nm]}), \quad \lambda_2 = 1.152 \text{ [\mu m]}, \quad \lambda_3 = 3.3913 \text{ [\mu m]},$$



Energy Level Diagram of He-Ne Laser

ويحتل ثاني أكسيد الكربون الأهمية التالية للليزر المليوم — نيون، إذ يستخدم على نطاق واسع في الصناعة، وقد توصلت البحوث إلى إنتاج ليزر ثاني أكسيد الكربون له طاقة خرج حوالي ۱۰۰ وات لاستخدامه في الأغراض الطبية، مع توفير ألياف ضوئية تعمل عند الطول الموجي ۱۰۶ ميكرون.

مواصفات He-Ne Lasers

Wavelength:	632.8 [nm]
Output Power:	0.5-50 [mW]

Beam Diameter:	0.5-2.0 [mm]
Beam Divergence:	0.5-3 [mRad]
Coherence Length:	0.1-2 [m]
Power Stability:	5 [%/Hr]
Lifetime:	>20,000 [Hours]

٤. ليزر "الاكترون

وهو ينبع فصيلة الليزر الغازي، واسمها مشتق من المصطلح الانجليزى **Excited Dimer**. وهو نوع وسط بين الليزر الغازي الذى يعمل بالطاقة.

إن أقصى شدة إضاءة تتحملها عين الإنسان دون أن تصاب بأضرار تبلغ حوالى ٥ ميكرو جول على المستيمتر المربع.

إن مسافة الأمان هي أقل مسافة بين العين وجهاز الليزر، بحيث إذا تعرضت العين لنبعه ليزر مباشرة فلا تصاب بأضرار. وتختلف هذه المسافة حسب العوامل الآتية:

١. حالة الجلو.

٢. أجهزة التكبير الضوئية المستخدمة في أجهزة الرؤية.

٣. الانعكاسات الضارة.

٤. درجة تركيز شعاع الليزر.

٥. نوع مادة الليزر

٦. نوع شعاع الليزر، نبضي أو مستمر.

وللوضريح بخطورة الليزر، فإن مقدرات المسافة التي تستخدم البالج لها قدرة أكبر من امتحاواوات، ومن ثم، فإن أقل مسافة للتعرض المباشر لمصدر ليزر اللياج تكون حوالي ١٠٠ متر، بينما مقدرات المسافة التي تستخدم ليزر ثان أكسيد الكربون تصل مسافة الأمان بالنسبة لها إلى حوالي ٢ - ٣ سنتيمترات. أي أنها في الواقع مأمونة تماماً.

الوقاية من أشعة الليزر

يمكن تحقيق الوقاية من أشعة الليزر بثلاث طرق رئيسية وهي:

١. استخدام المرشحات Filters الامتصاصية

وفيها يمكن امتصاص الضوء باستخدام صبغات ملونة، توضع بداخل المواد المكونة للأجهزة البصرية، مثل الزجاج أو البلاستيك، والتي تستحسن أطوالاً موجية معينة. فالبلاستيك جيد في امتصاص أطوال موجات ليزر ثان أكسيد الكربون، بينما يسمح باقي الطيف الكهرومغناطيسي بالمرور خالله. والرشح الملسوون أزرق/ أخضر يمنع الأطوال الموجية للليزرات الباقوت الأحمر من المرور.

ومن عيب هذه المرشحات أنها تتقلل الضوء المرئي فيها، فمرشح الباقوت يقلل كمية الضوء المار فيه بنسبة ٦٢% إلى ٤%. وهذا يعني أن النظر يصبح داكناً، أو أكثر إظلاماً، كلما زادت درجة الوقاية من أشعة الليزر، ويكون لهذا تأثير سلبي أثناء العمل في ظروف الإصابة الضعيفة.

وتعمل المرشحات على تلوين الصورة، وبالتالي نقل درجة التباين contrast بين الهدف المراد رؤيته والخلفية المحيطة به، كما أن بعض المرشحات تتبع إزاحات لونية بسيطة، كأن يجعل اللون الأخضر يميل إلى الأصفر، وأيضاً، ترفع المرشحات الامتصاصية من درجة حرارة العدسات، وقد يسبب ذلك بعض المشكلات عندما تواجه المرشحات بأشعة ليزر ذات قدرة عالية.

٢. استخدام المرشحات الانعكاسية:

وهي تتكون من طبقات رقيقة من مواد خاصة، ذات معاملات انعكاس ضوئي مختلفة، يتم ترسيبها على الزجاج.

٣. استخدام مرشحات "روجيت" Rugate Filters

ويتم فيها وضع خليط من الفلوريدات والأكسيد في طبقات لها أحرف حشنة، أو أحرف متمازجة مع بعضها. وهذه الطبقات لها تغير تدريجي في معاملات الانعكاس الضوئية، مما يزيد من فعاليتها، بحيث تجعل المرشح أفضل لإمداد الضوء، ويعمل بكفاءة أحسن في ظروف الرؤية الضعيفة.

• المفهولات الميكانيكية

• التصوير بالليزر

فالماء الذي يشكل نسبة كبيرة من الجسم يتصف بشدة في المجال فوق البنفسجي البعيد (طول موجي أصغر من 200nm) وفي مجال الإشعاع تحت الأحمر البعيد (أي بدءاً من 1300nm)

وأما الجزيئات العطرية الحلقة (البروتينات والحموض النووي) فتتميز بامتصاص أعظمي في المجال (الواقع بين 240nm و 80nm) ولهذا فإن عمق اختراق ضوء الليزر فوق البنفسجي وتحت الأحمر في النسج ضئيل جداً.

الهموغلوتين يتصف بشدة في مجالات الأزرق والأخضر والأصفر الميلانين وهو الصباغ السائد في البشرة، يتصف الضوء في مجال واسع ينتمي من نسق البنفسجي إلى تحت الأحمر القريب

آليات إقلاع الخلايا

يبحث عن امتصاص الجزيئات الحيوية للفوتونات الضوئية تفاعلات شديدة فيها منها:

١. التفاعل الحراري : وهو من وسائل العلاج الليزرية

عندما تثار جزيئات النسج بحرمة ليزرية تفقد طاقة الإثارة على شكل حرارة تسودي إلى رفع درجة حرارة الجسم موضعياً

عندما يتعرض نسيج معين لزمرة ليزرية مبارأة يشرع الماء فيه بالغليان ويتبخر فيستفحـم النسيج (عند نحو متـي درجة مئوية) ، في حين يتحـرر الدم في المنطقة المجاورة

١-ليزرات المعالجة الحرارية :

* ليزر غاز الكربون $10.6 \mu\text{m}$ بالجراحة ويسهم في نزع بعض النامـات (الزوائد) في الأنف والحنجرة أو الكبد أو المناطق النسائية بفقدان للدم أقل بكثير منه في حالة التداخل الجراحي التقليدي بفضل قدرته التخـيرية، فضلاً عن رقة المنطقة المتـحـرـة.

* ليزر ياغ $1 \mu\text{m}$ ، عـمق احتراق كـبير، وفق عـدة مـلمـترـات. وهو الأداة المفضلـة في قطع جريان الدـم في الأـوعـيـة، إذ أنه يـؤـدي دور المـشـرـطـ، فضـلـاً عـن فعلـه الإـرـقـائـيـ.

ويـتـحـدـمـ هذاـ الـليـزـرـ فيـ إـيقـافـ إـدـعـاءـاتـ الـقرـحةـ الـمـعـدـيـةـ الـمـعـوـيـةـ، وـ فيـ نـزـعـ أـورـامـ الـثـانـيـةـ وـ الشـجـرـةـ الرـغـامـيـةـ الـقـصـيـةـ وـ فيـ تـسـلـيـكـ الـأـوعـيـةـ الـدـمـوـيـةـ الـمـصـابـةـ بـلـوـيـحـاتـ الـقـصـلـبـ الـعـصـيـديـ.

طـرـاقـنـ الـمعـالـجـةـ الـجـدـيـدةـ، وـ الـيـنـ تـعـتمـدـ عـلـىـ الـليـزـرـاتـ فـوـقـ الـبـنـسـجـيـةـ يـيدـوـ أـلـهـاـ وـاعـدـهـ.

* ليـزـرـ الـأـرـغـونـ (ـ الـأـزـرـقـ _ الـأـخـضـرـ) يـقـومـ بـالـتـحـيـرـ وـ بـخـاصـةـ الـأـزـرـقـ الـذـيـ يـتـصـهـ الـهـمـوـغـلـوـبـينـ يـشـدـهـ يـسـتـعـدـ هـذـاـ لـلـليـزـرـ فـيـ الـعـيـنـيـةـ فـيـ إـيقـافـ نـمـوـ الـأـوعـيـةـ فـيـ قـعـدـ الـعـيـنـ الـلـدـيـ الـمـرـضـيـ السـكـرـيـنـ، وـ فـيـ كـبـحـ اـنـصـالـاتـ الـشـبـكـيـةـ

* ولـيـزـرـ الـكـرـبـونـ (ـ الـأـخـرـ)

* الليزر الصباغي الذي يمكن تكييفه وفق مجال عريض من الأطوال الموجية ، معالجة الوعاءومنات (الأورام الوعائية _ تكثيل الأوعية) والستنس *wine stain*. حيث يسمح بعرض المناطق المصابة للطفل الموجي 580nm وهو الطول الموجي المتفق لنهاية امتصاص الهموغلوتين الأحمراء، دون أن يؤثر في المناطق الأخرى المجاورة، على عكس الضوء الأزرق.

٢. التفاعلات الفوتوكيميائية : وهي من وسائل علاج الأورام بالليزر

تعتمد على امتصاص إحدى الركائز المكونة للخلية أو المحسّن الضوئي (الذي يمكن في الجسم ويتثبت على الورم) للضوء بشكل اصطباقي وهذا ما يحملها إلى حالات مثارة، ثم تعود بسرعة كبيرة نحو حالات طاقتها أخفض مع تشكيل نواتج سامة تقتل الخلايا الخبيثة مباشرة أو على مراحل متعددة (المفعول الفوتوديناميكي)

حيث يعرض الورم إلى إشعاع ليزر صباغي (لوضع عشرات الدقائق) يتم اختيار طوله الموجي بحيث يقع ضمن مجال امتصاص HPD دون أن يمتصه الهموغلوتين مما يضمن عمق اختراق أكبر. تنتقل جزيئات HPD إلى حالات مثارة نتيجة لامتصاصها فوتونات الليزر . يختبر إتلاف الخلايا الخبيثة بالأكسجين المجزي المثار الناتج في داخل الورم أساس المعالجة الفوتوديناميكية والتي تستخدم في مراكز عديدة في العالم لمعالجة سرطانات الجلد.

يمكن للمعالجة الفوتوديناميكية أن تكون مفيدة أيضاً في إكمال طرائق العلاج الأخرى في تنظيف مكان الورم بعد العملية لإزالة آخر الخلايا الخبيثة.

٣. الفلورة : وهي من طرائق الكشف عن الأورام بـ الليزر و تقتصرن بالمعالجة الفوتودينميكية، حيث يجري تعريض الورم عملياً بعد حقن الجسم بالـ HPD لأشعاع ليزر صباغي (يمكن تكيف طوله الموجي بحسب القيمة المناسبة)

ويمكن لأشعاع الفلورة إظهار وجود أورام صغيرة في وقت مبكر جداً مقارنة بالطرائق التقليدية.

يمكن الاعتماد على خصائص إصدار الفلورة عند مختلف الأطوال الموجية كذلك لإعطاء الورم صورة ذات تباين شديد. وهذا يتذكر في السنوات الأخيرة نظام يشكل عدة صور لمنطقة الورم، يوافق كل منها لوناً مختلفاً ثم تعالج مختلف الصور بالحاسوب ويجمع فيما بينها للحصول على منظر ثانوي تكون الحدود فيه بين الورم والنسيج السليم واضحة تماماً.

٤. القطع الضوئي : وهو مفعول فوتوكيميائي لاحراري، ويتبع خاصية باستخدام ليزر نبضي للاشعة فوق البنفسجي (الإكساير *Excimer*)، وتفيد هذه المعالجة خاصة في حالة الشرائين التاجية نظراً لأن منابع الليزر التي تؤثر بالمفعول الحراري تمرض توذماً شريانياً، لا يحصل في حالة القطع الليزري *photo-ablation* فوق البنفسجي. وقد جرت معالجة المثاث من المرضى بهذه الطريقة من أمراض الشرائين التاجية.

وهو يستخدم في المعالجة الجذرية لإصابات التصلب العصيدي. ويعتمد في هذه الحالة، كما في حالة الأورام على الدلاللة الطيفية للمناطق المريضة في التعرف عليها. ويسهم الليف الضوئي نفسه حينئذ في حمل الخزنة التشخيصية (التي يصدرها ليزر الأزوت) وحرمة المعالجة (ليزر الإكساير). وشدة الحرمة الأولى أخفض بكثير من شدة الثانية لتجنب الإضرار بالنسيج خلال مرحلة التشخيص.

وأهم الاستخدامات الطبية لأشعة الليزر هي:

١. المجهر الضوئي

في عام ١٩٨٦ حسم العالم الفيزيائي "آرثر أشكن" Arthur Ashkin المجهر الضوئي لمعالجة الحسيمات الصغيرة، إذ يمكن دمج المجهر الضوئي في المجهر التقليدي بإدخال ضوء الليزر إليه. وهكذا يمكن رؤية ومعالجة عينة موضوعة على صفيحة المجهر بمحرك حرمة الليزر، وقد جذب هذا الاستخدام للمجهر الضوئي اهتمام البيولوجيين الذين وجدوا أنه يمكن معالجة البكتيريا الحية بواسطة هذا المجهر، دون إلحاق أي ضرر بها، وكان ذلك مدهشاً لأن شدة حرمة الليزر في بورة المجهر الضوئي تصل إلى نحو ١٠ ملارين وات في المستيمتر المربع.

٢. المنظار الضوئي ذو الألياف البصرية

المنظار الضوئي Endoscope ذو الألياف البصرية عبارة عن أنبوب يسمح للطبيب بأن ينظر في داخل جسم المريض. وهو لم يصبح ذو قيمة عملية إلا بعد تطوير الألياف البصرية التي صممت لنقل الضوء على طولها كله، حتى إذا اخترت. وهذا المنظار من المرونة والصغر بحيث أن الطبيب يستطيع أن يدخل واحداً منها عبر حنجرة المريض لكي ينظر في داخل معدته، أو في الشرج لكي يفحص الأمعاء. ويستخدم الأطباء اليوم هذا المنظار بشكل روتيني لفحص الأعضاء الداخلية.

٣. الجراحة العامة

استخدم مؤسسو حرارة الليزر الحرزم الضوئية بسبب الحرارة الكافية التي توفرها. واليوم، فإن أكثر جراحات الليزر يقوم على هذه الخاصية الحرارية بالدرجة الأولى، لمسا

تتمتع به من صفات انتقائية في تأثيرها، ولسهولة التحكم فيها بدرجة كبيرة. فإذا توافق طول موجة أشعة الليزر بدقة مع حرمة الامتصاص للنسيج الحيوي الذي توجه إليه، فإن هذا النسيج يمتص الأشعة وينتزع عن ذلك تخريبه بالكامل.

وكمثال لذلك فإن أصباغ "الميلانين" Melanin، ذات اللون البني القائم في شبكة العين، تمتص الأشعة الخضراء في ليزر الأرجون، وبالتالي، فإن ليزر الأرجون يخرب مناطق عديدة من الشبكة، دون أن يسبب الضرر بالمناطق الأخرى في العين، والتي تمتص أشعة ذات أطوال موجية أخرى. وهذا فإن هذه الطريقة تستخدم بشكل فعال في معالجة المرض الشبكي السكري Diabetic retinopathy، وهو مرض يؤدي إلى تحلل الأنسجة المصابة، وبعد سبباً لسبة كبيرة من حالات فقد البصر.

وفي ميدان الجراحة، بصفة عامة، يستخدم مشرط خاص من أشعة الليزر بسيط للجراح إحداث قطع في الأنسجة دون نزيف دموي، إذ تقوم تلك الأشعة بإحكام إغلاق الأوعية القابلة للترف عن طريق الكي في الوقت نفسه الذي يتم فيه قطع الأنسجة، أي من أجل إجراء جراحة دون فقد الدم Bloodless Surgery.

وفي مجال علاج انسداد الشرايين، أصبح من الممكن إدخال قساطر دقيقة من فتحة في الجلد إلى داخل الأوردة والشرايين. وتلك القساطر عبارة عن ألياف زجاجية تحمل الأشعة المكثفة إلى مناطق الانسداد لإذابة الجلطات الدموية، وتوسيع بعض الشرايين الضيقة المتصلبة من الداخل، فيعود الدم للسريان الطبيعي فيها. وأصبحت أحلام مؤلفي قصص الخيال العلمي حقيقة، ولم يعد من الضروري، كما ورد في بعض الروايات، إجراء تصغير متاه لغواصة تحمل فريقاً من الأطباء كي تحقن مادة في وريد أحد المرضى لتسري في هذه المادة مع الدم إلى شريان مسدود، فتذيب جلطة فيه.

ويستخدم ليزر ثان أكسيد الكربون الذي يطلق ضوءاً ذا طاقة لافحة، والقادر على قص الأنسجة وسد الأوعية الدموية للإقلال من الترتف. فقد استخدم هذا الليزر في الجراحة، مثلاً، لازالة ثور السرطان، أو لكى الأنسجة السرطانية في القم. ويقوم ليزر ثان أكسيد الكربون بكى ورم غير طبيعي في أنسجة الرحم ناشئ عن مرض نسوي يسمى "التهاب بطانة الرحم". وجدت بالذكر أن ليزر ثان أكسيد الكربون قد استخدم مؤخراً في جراحات الأعصاب، وأمراض النساء والتوليد، وجراحة الأنف والأذن، وجراحات التجميل التكميلية.

ويقوم ليزر الباج بكى ورم خبيث يسد الأمعاء، وسد الأوعية الدموية التي تسبب فريغ المعدة. وفي مرحلة التجارب أسلوب يستخدم أشعة الليزر لتحويل مركب - لا ضرر منه عادة - يسمى "هيموتورفين" إلى مادة قاتلة للسرطان. وينتشر هذا المركب في الأنسجة السرطانية، وعندما يصطدم به الليزر الأحمر، يحدث تفاعل سمي يدمر خلايا السرطان. ويستخدم ليزر "الباج"، من النوع البصري في مجال جراحة العيون، وبالذات حالات الانفصال الشبكي، ويستخدم النوع المستمر "CW" في مناظير الجهاز البصري والمسالك البولية.

٤. علاج العيون

وفكرة استعمال الضوء في علاج العيون سبقت ظهور الليزر. ففي عام ١٩٤٩ قام طبيب الماني باستعمال الشمس في معالجة انفصال الشبكي، وفي إتلاف بعض الأورام في عيون عدد من مرضاه. وفي عام ١٩٦١، بعد سنة واحدة فقط من تركيب "ميمان" أول جهاز ليزر، استعمل العالم الأمريكي "زاريت"، من كلية الطب بجامعة نيويورك، الليزر لعلاج إصابات عينية لدى بعض الحيوانات. وبعد ذلك بستين توالت التجارب على الإنسان، عندما بدأ الطبيب الأمريكي "زوينك" من مؤسسة "بالو التو" للأبحاث الطبية

بكاليفورنيا، في معالجة أمراض الشبكيّة بين مرضىها. وهكذا أصبحت أشعة الليزر وسيلة معتمدة من وسائل إجراء الجراحات العينية الروتينية.

وفي طب العيون، يستخدم الضوء الأزرق للليزر غاز الأرجون لسد ثقب في الشبكيّة، أو لعلاج زرقة العين، المعروفة بالجلوكوما، التي قد تسبب العمى، ويتم ذلك بإحداث ثقب يسمح بخروج السوائل الزائدة. أو قد يستخدم لإنقاذ بصر شخص مصاب بمرض الشبكيّة الناتج عن السكري، بتدمير الأوعية الدموية غير الطبيعية التي يسببها هذا المرض. فمن المعروف أن مرض السكري يؤثّر على شبكيّة العين وشعيراتها الدمويّة الدقيقة فتصبح الشبكيّة قابلة للترف والانفصال عن مهدّها في قاع العين، وتتصبح العين مهدّدة بالعمى. ويطلق شعاع الليزر بدقة، وبجرعات محسوبة في مناطق محددة من الشبكيّة، فإنه يحدث "ما نرعا" من الكي **phatocagulation** الذي يوقف الترثّف، وينبع تشعب الشعيرات الدقيقة غير المرغوب فيها، ويحدث قدرًا من التأليف المحدود، يؤدي إلى لحم الشبكيّة بالمشيمية.

وفي مجال علاج قصر النظر، حيث تتحمّل الأشعة الضوئيّة الساقطة على العين في بؤرة أمام الشبكيّة بعيدًا عنها، مما يؤدي إلى قلة وضوح الرؤية، إلا مع استخدام عدسات خاصة بجمع الأشعة في بؤرة على الشبكيّة، أمّا استخدام أشعة الليزر من أجل تقليل سُكك قرنية العين الشفافة بواسطة إزالة بعض الأنسجة الزائدة من سطحها، فتقلّل قدرة العين على إحداث انكسار في الضوء، وتتحمّل الأشعة الضوئيّة على الشبكيّة، دون الحاجة إلى استخدام النظارة.

٥. علاج الجلد

وفي طب الأمراض الجلديّة، يستخدم ليزر الأرغون لإزالة البقع التي تسبّبها زيادة نمو الأوعية الدمويّة الموجودة في الجلد. ولتنص الوجهات الحمراء (الصبايغية)، التي يطلق عليها

Port wine stain، أيضاً، أشعة ليزر الأرجون الزرقاء أو الخضراء، حسب أطوال موجاتها، فتحرب الأشعة المتصلة مئات الأوعية الدموية الزائدة، والترکزة تحت الطبقة الخارجية للجلد مباشرة، إذ تزيل لوها.

٦. علاج الأسنان

وستستخدم أشعة الليزر في علاج تسوس الأسنان، وذلك عن طريق توجيه الأشعة إلى مكان التسوس لحرقه، ومن ثم منه من القضاء على السن تماماً. وفي هذه الحالة لا يستخدم تخدير موضعي. وكذلك فإن المناطق السوداء في الأسنان - التسوس - هي التي تختص أشعة الليزر. أما المناطق البيضاء - السليمة - فتعكس الأشعة، ومن ثم فإنها لا تتأثر. وتستخدم أشعة الليزر أيضاً في ثقب الأسنان لخشوها، ولتشق أطقم الأسنان الصناعية.

أطوال موجات الليزر المستعملة في طب الأسنان :

نقدم هنا وصفاً مختصرًا للأجهزة الليزر المتوفرة التي لها تطبيقات سنية وسيسمى الليزر طبقاً لواسطه الفعال وطول الموجة ونظام التوصيل ونظام التحرير وامتصاص النسج والتطبيقات السريرية.

ليزر الأرغون: وهو ليزر واسطه الفعال هو غاز الأرغون ويتم نقل الموجة بالياف ضوئية بموجة مستمرة أو بنظام الموجة النابضة بواسطة البوابة وله طولان موجيان مركبيان بالعين البشرية ٤٨٨ نانومتر الأزرق و ٤١٥ نانومتر الأخضر المزيف.

إن الإصدار الليزري بموجة ٤٨٨ نانومتر هو بالضبط الطول الموجي المطلوب لتفعيل مادة الكامفوروكويتون والتي هي البادي الضوئي الأكثر استعمالاً لإحداث التصلب الضوئي (السمائر) للرائج في مواد ترميمات الكومبوزت، وإن استعمال ضوء الأرغون

بدون تماش من أجل هذا المهدف بعطي وقت تصلب أقصر كثيرا بالمقارنة مع الضوء السنى التقليدي إضافة إلى فائدة الحصول على كمية مرکزة من الفوتونات لتأكيد وضمان تصلب مناسب للمادة، وهناك دراسات تشير إلى بعض الزيادة في قوة المراتج المصلب بالليزر بالمقارنة مع ذلك المصلب بالضوء المرئي، ويمكن لليزر الأرغون أن يستعمل أيضا مع المواد السنية الأخرى مثل معجون الطبعات المحرض ضوئيا ومادة هلام التبييض المحرض بالضوء.

يتميز الطول الموجي ٤٥٥ نانومتر من ليزر الأرغون بامتلاكه الأعظمي في الحضاب الأحمر، وبالتالي فإن النسج الحاووية على الهيموغلوبين والهيموسدرلين والميلاتين مستناعل بسرعة مع هذا الليزر وفي الواقع فإنه ليزر جراحي مفيد جدا مع إمكانيات إيقاف نزف نباتة ويستعمل بالقحاص مع النسج.

معالجة أمراض النسج الداعمة الالتهابية الحادة والأفات غزيرة التوعية الدموية مثل الورم الدموي **hemangioma** ستكون مناسبة جدا بليزر الأرغون.

إن كلا الطولين الموجيين لا ينصحان جيدا في النسج السنية الصلبة وذات انتصاص ضعيف جدا في الماء وضعف انتصاصه في المينا والعاج مفيد عندما يستعمل لقطع وتشكيل النسج اللثوية لأنه لن يكون هناك تفاعل وبالتالي لن يحدث أدى لسطح السن علال تلك الإجراءات، كما أن كلا الطولين الموجيين يمكن أيضا أن يستعملا كمساعد في تحرير التخور عندما يسلط ضوء ليزر الأرغون على السن فإن المساطق المصابة بالتسوس تظهر بلون أحمر برتقالي مُسْوَد ويسهلة تصبح قابلة للتمييز عن البين السنية المسليمة المجاورة.

ليزر الديود : ذو وسط فعال صلب، وفي الحقيقة فإنه من ليزرات أشباه النواقل الصلبة والذي يستعمل تركيبا ما من الألنيوم والفالليوم والأرسنيد لتحويل الطاقة

الكهربائية إلى طاقة ضوئية؛ الأطوال الموجية المتوفرة للاستعمال السني تتراوح من ٨٠٠ نانومتر إلى ٩٨٠ نانومتر متوضعة عند بداية طيف تحت الحمراء القريب غير المؤين واللاموري.

إن كل جهاز يطلق طاقة الليزر غير [ألياف ضوئية كموجة مستمرة أو نظام النبض ذو البواية يتم استعماله في العادة بالتماس مع النسج؛ ويحتاج الليف الضوئي إلى أن ينخرق cleaved حيث يتم إعداده قبل الاستعمال البديهي وأحياناً أثناء العمل أو الإجراء لضمان عمل مرضي للليزر، وهناك رؤوس شبه زجاجية متوفرة يمكن أن توضع عند نهاية الليف من أجل تطبيقات محددة. إن معدل الطول الموجي للليزر الديود يضعه في قسم الإشعاع تحت الأحمر اللاموري غير المؤين من الطيف الكهرومغناطيسي.

جميع الأطوال الموجية للليزر الديود تكون عالية الامتصاص كما هو مع الأرغون من قبل النسج حاوية الخطاب pigmented بالرغم من أن الإرقاء لا يكnoon بنفس السرعة تماماً التي مع ليزر الأرغون وهذه الليزروات ضعيفة الامتصاص نسبياً من السينيّة ولذا فإن حرارة النسج اللمبة (المرخوة) يمكن أن تجري بشكل آمن في الحوار القريب (الملاصق) لل تعالج والبناء والملاط.

إن الديود هو ليزر حراري متقارب للنسج المرخوة ويستطيع لقطع وإرقاء الترف (ختير) في اللثة والمخاطية وفي تحريف النسج المرخوة والميراب الشوي sulcular ويجب أخذ الحذر عند استعمال نظام الإصدار المستمر بسبب الارتفاع الحراري السريع في النسج المستهدفة.

الفائدة الرئيسية للليزرات الديود هي أنها واحدة من الأجهزة أو الأدوات الأصغر حجماً وأجهزتها سهلة الحمل ومدمجة (مضغوطة compact) وقابلة للتحريك بسهولة مع وقت إعداد أو قيادة أصغري وهي الليزرات الأقل سعراً المتوفرة حالياً.

ليزر Nd:YAG : ذو وسط فعال صلب من كريستال اليوتريوم ألومنيوم غارنييت معالجاً بالنيوديميوم وينقل عبر ألياف ضوئية بنظام النبض حر التشغيل ويستعمل في الأغلب الأعم بالتماس مع النسج، وهو أول ليزر يصمم بشكل خاص لطب الأسنان وهو الليزر الأكثر انتشاراً أو توفرًا في السوق، ويبلغ طول أمواج التحرير 1064 نانومتر بالقرب من الطيف غير المؤمن اللاموري لتحت الماء وذو امتصاص عالٍ من النسج ذات الخطيب وتقريباً عشرة آلاف مرة أكثر امتصاصاً في الماء من ليزر الأرغون؛ وبالاستفادة من طاقة الفروة العليا للتحرير النبضي حر التشغيل مع وقت طويل نسبياً لتبريد النسج فإن التطبيقات السريرية الشائعة هي في قطع وتحثير النسج الرخوة السنية مع إمكانية إرفاء جيدة، كما يسمح نظام النبض حر التشغيل للمعالجة أيضاً بمعالجة نسج رقيقة جداً أو قابلة للتقصيف (التاذبي) وذلك بإنتهاص التجمّع الحراري في المنطقة المحيطة.

إن طاقة ليزر Nd:YAG تختص إلى حد ما من قبل النسج السنية الصلبة وهناك تفاعل قليل مع بي السن السنية مما يسمح بجراحة النسج الملاصقة للسن بأن تكون آمنة ودقيقة، وهناك عدد كبير من الدراسات المنتشرة لحالات سريرية تظهر تحكم فعال بالأمراض حول السنية باستعمال هذا الليزر لتجريف الميراب اللثوي **debridement** السطحية المتلونة بدون إزالة المينا السنية المخواورة.

تستعمل الألياف هنا عادة بنهائية مكشوفة وبالتماس مع النسج، وخلال الاستعمال فإن نهاية الليف تحتاج لأن تخترق **cleaved** وتتطفّل وإلا فإن ضوء الليزر سيفقد فعاليته بسرعة وعندما يستعمل بدون تماس (النظام المركز أو الموجه **defocused**) فإن هذا الطول الموجي يمكن أن ينفذ عدة مليمترات داخل النسج الرخوة والذي يمكن أن يستعمل بشكل مفيد لإيصال طاقة الليزر إلى السطح الداخلي لأفة تقرحية على سبيل المثال.

ليزر Ho:YAG : ليزر المولبديوم ياغ ذو وسط فعال صلب هو كرستال اليوتريوم الومينيوم غارنييت ممزوجاً مع المولبديوم ويتم إيصاله بالألياف الزجاجية بالتماس مع النسج بنظام النضج حر التشغيل؛ والأطوال المنتجة من هذا الليزر هي ٢١٠٠ نانومتر وأيضاً بالقرب من الطيف الإشعاعي غير المؤين الالامري لتحت الحمراء، امتصاصه في الماء أكثر بعالة مرة من ليزر **Nd:YAG** ويستعمل بشكل أساسى في جراحة النسج الرخوة ويعنى أن النسج الرخوة تحوى كمية كبيرة من الماء فإن هذا الليزر يمكن أن يزيل تلك النسج بسرعة والليف البصري يقدم وصولاً سهلاً مع الدقة والإحكام والاسترجاعية الملموسة.

Tactile feedback

إن هذا الليزر ونظراً لامتصاصه الجيد في الماء ولكونه يتبع على النبضات فإن إزالة واستئصال النسج في منطقة الجراحة يمكن أن يتم بمعدل كاف والأذى الحراري المرافق يمكن تجنبه.

يكون معدل النبض أو كمية النبضات في طاقة الليزر هنا كل ثانية هي أقل بالمقارنة مع ليزر **Nd:YAG** والقطع الناتج يمكن أن يكون بشكل ما ذو حواف مثلثة وسريرياً فإن هذا يمكن فقط أن يتحقق على النسج الأكثر ليفيه ولكن الشفاء الناتج سوطل مقبولاً جداً والليف البصري (الضوئي) والمشابه لما هو في الديود وفي ليزر **Nd:YAG** يحتاج إلى أن يناظف، ويفتح أو يشق بشكل دوري أثناء الجراحة.

إن ليزر المولبديوم ذو ألفة **affinity** ضعيفة للنسج حاوية الخضاب وأكثر من ذلك فإن قابليته لإيقاف التروف تصبح وبالتالي أقل وذلك أيضاً بسبب امتصاصه الضعيفة في الحييوجلوبين والمواد المتلونة المشابهة الأخرى كما أن امتصاصه من بين السن منخفضة جداً مما يسمح بجراحة النسج في الجوار الملائق للسنان أو العاج أو الملاط لأن هم بأمان ويستعمل المولبديوم في الغالب في جراحة المفصل المجهري على المفصل الفكي الصدغي.

ليزر الإريبيوم كروميوم راي ساغ Er,Cr:YSGG (٢٧٩٠ نانو) وهو ليزر ذو وسط فعال من كريستال الليثيوم السكانيديوم الغاليبوم غارنييت الصلب والممزوج (المعامل بـ) كلي من الإريبيوم والكروميوم.

ليزر Er:YAG : (٢٩٤٠ نانو) وهو ذو وسط فعال من كريستال الليثيوم الألومينيوم غارنييت الصلب المعامل بالإريبيوم؛ إن كلا هذين الطولين الموجيين هذا وسابقه يقع قريباً من منطقة حزمة وسط وجوار تحت الحمراء اللاماري وغير المؤمن من الطيف وهذين الليزرين سيناقشنا معاً خصائصهما المتشابهة.

يقدم السوق العالمي أجهزة **Er,YAG** ذات طاقة ليزر متوقعة (ستم توصيلها بواسطة) توجه موجة مجوف من خلال ذراع مفصلي (ذات مفصل) أو في حزمة ألياف ضوئية أما جهاز **Er,Cr:YSGG** فإن طاقته تقدم عبر ليف ضوئي؛ كلا الطولين الموجيين يتم إطلاقهما بنظام البعض حر التشغيل والتتجدد التلقيني في بناء نظام الليف الضوئي يتولد من أن قياس الطول الموجي لا يمكن بسهولة أن ينفل عبر الجزيئات الزجاجية لهذا فإن حزمة الليف الضوئي تكون مكلفة جداً ويمكن أن تُكسر، تكون الألياف هنا مبردة بالهواء وأكبر قطرها مما ذكر في الليزرات الأخرى مما يجعل هذا النظام في التوصيل أقل مرونة بطريقة ما مما هو في الألياف الضوئية لأجهزة ليزر الأرجونون والمديود ولaser **Nd:YAG** ولaser **Ho:YAG**، وتوجد هنا في نهاية الليف قبضة ولهما زجاجية صغيرة القطر ترتكز طاقة الليزر للأسفل من أجل قياس جراحي ملائم وهو تقريباً نصف ممكرون.

يكون هذين الطولين الموجيين نفس الامتصاص الأعلى في الماء من كل الأطوال الموجية السنية وهم أيضاً الجذاب وألفة عالية جداً للهدر وكسي أبيات مع أن الإريبيوم أعلى بـ ٥٢٠% من الإريبيوم كروميوم من هذه الناحية.

apatite تربط طاقة الليزر بين جذور الماءات (هيدروكسى) في بلورات الأباتيت **crystal** والماء المرتبط بالبئن البلورية **crystalline** في السن والتي تتصس طاقة الليزر بسهولة وتفثيل **readily**، ويسب تخر الماء في الأسنان المعدنية (الطبقات الداخلية **mineral substrate**) ممدا حجميا كبيرا وهذا التمدد يجعل المادة السطحية تنفس بعيدا باتجاه جانبي ويقدم نظام النبض حر التشغيل طاقة الذروة لتسهيل التمدد الانفجاري؛ وتشير الدراسات المخربية إلى أن درجة حرارة اللب للسن المعالج يمكن أن تتناقص عمليا بمقدار حمس درجات مئوية خلال المعالجة بالليزر.

تعتبر هذه الليزرات مثالية لإزالة البخر وتحضير السن عندما تستعمل مع الإرذاذ المائي وبالإضافة لذلك فإن بين السن السليمة يمكن أن يحافظ عليها بشكل أفضل بينما المادة المتسوسة تزال (تستأصل **ablated**) ويسمح ازدياد المحتوى المائي للنحوه السنية بأن يتفاعل الليزر تفضيليا مع النسج المريضة.

ويمكن لسطح المينا السليم أن يُكَيِّف **modified** بتعريفه لطاقة الليزر وذلك لزيادة التصاق المواد المرنة. إن الاستطبابات الحالية لاستعمال هذه الليزرات على عينها أن هذه الليزرات لا تستعمل لإزالة الأملغم أو المعادن الأخرى وعلى كلي فستان عدم الفاعل مع المعادن الثمين والبورسلان الملتحم معه تسمح للمارس إزالة التسوسات الخبيطة بهذه الترميمات بدون ضرر.

عكن هذين النوعين من الليزر أن يستأصل بسرعة النسج اللينة بسبب محتواها المائي المرتفع وفي هذا السمع في الإرذاذ المائي يستعمل بشكل عادي لإيقاف تفاعلات النسج الصابحة ويتم استعمال إعدادات طاقة منخفضة وتكون قابلية إيقاف الترف محدودة على أية حال لأن الماء على سطح الدم في الموقع الجراحي سيتم تبخيره وليس هناك نفوذية عميقة لتقسيم الخسارة اللازمة من أجل إنكمش الأوعية السريع.

إن فوائد هذه الليزرات في طب الأسنان الترميمي هي أن الآفات التحريرية في المolar القريب للثة يمكن أن تعالج والنسيج اللبني يمكن أن يعاد تشكيلها (رسم المخناء لها) بنفس الأدوات وأكثر من ذلك فإن إبعاد النسيج لكشف الورعات أمن جداً بهذه الأطوال الموجية بما أن نقل الحرارة يكون أصغرياً أثناء العمل.

ليزر ثالٰي أكسيد الكربون: ليزر ذو وسط فعال غازي ويجب أن يتم نقله عبر موجة موجة معرف كالأنبوب بنظام نبض مستمر أو نبض بالبرواة وطول الموجة 10600 نانومتر (10,6 ميكرون) ما يجعله في نهاية وسط القسم غير المؤدين اللامرأوي تحت الحمراء من الطيف الكهرومغناطيسي.

يتم انتصاصه بشكل ممتاز من الماء تالياً فقط لسلسلة ليزرات الإريبوم وهو مزيل سريع جداً للنسج الرخوة ذو عمق نفوذ ضحل جداً في النسيج وهذا له أهمية عند معالجة الآفات المخاطية كمثال، وبالإضافة لذلك فهو مفيد جداً في قطع النسيج الليفيية الكثيفة، ويتمتع بانتصاص أعظمى في الهيدروكسي أباتيت بين جميع الليزرات المسنية بحوالي ألف مرة أكثر من سلسلة الإريبوم، ونظراً لأن هذا الليزر كان واحداً من أول ما استعمل في الجراحة الطبية العامة فهناك الكثير من المواد المنشورة حول تقييم فعاليته.

إن ليزر ثالٰي أكسيد الكربون لا يمكن أن ينقل في ليف زجاجي وإنما ينقل في موجة موجة معرف مع قبضة ليتم استعماله حيث تنتقل طاقة الليزر عبر موجة أو دليل الموجة وتسلط على الموقع الجراحي بنظام غير تناصي؛ ويشكل فقدان الإحساس الملموس أحد السمات بالنسبة للجراح ولكن استعمال النسيج يمكن أن يكون دقيقاً جداً عند استعمال أسلوب حذر **careful technique**؛ كما يمكن أن تعالج الآفات الكسرى بسهولة باستعمال حركة بسيطة للخلف والأمام وتسير الإجراءات بسرعة بما أنه لا حاجة لللامسة النسيج.

إن تقنية نظام التوصيل الحالي تحد بطريقة ما من تطبيقها على النسج الصلبة ولكن مع تقدم البحث تظهر نتائج مرغوية جداً (مفضلة) لتكيف المسطح وتفوية مبنية السجين لزيادة مقاومة التحرر.

نوقشت هنا الأساسيات العلمية والتأثيرات السريرية للليزرات السننة ومن المهم جدًا للمارس المسني أن يصبح متالقا familiar مع هذه المبادئ وبعدها يختار الليزرات المناسبة للتطبيقات السريرية التي يريد (المطلوبة)، وبالرغم من أن هناك بعض التداخل في مفهوج استجابة النسج فإن كل طول موجي له خواص محددة تستحضر هدفاً علاجياً محدداً.

٧. علاج الجهاز الهضمي

ويمكن استخدام أشعة الليزر في علاج الأمراض التي تصيب المعدة، وخاصة فرحة المعدة، وهي عبارة عن شرايين تترف في داخل المعدة، وذلك عن طريق استخدام المنظار الضوئي "اندوسكوب" Endoscope. وتقوم أشعة الليزر بتبسيخين هماياط الشرايين التي تترف ولحامها، وللميراث الحقيقة للليزر هنا، هي أنه يعطي شعاعاً ضوئياً مركزاً بسهولة داخل الألياف البصرية دون فقد فعلي في الطاقة.

ثانياً: في مجال الاتصالات

يمكن بث المعلومات عن طريق أشعة الليزر بتحويل هذه المعلومات إلى بحضارات كهربية تغير عندها تماماً، ثم يتم توجيهها إلى جهاز الليزر، فيصدر أشعة تحول وتنطبق مع النبضات الكهربية، وتساويها، أيضاً، في الشدة، أي أن المعلومات قد تحولت إلى أشعة ليزر معدلة modulated يمكنها أن تطلق ومضاعفها عبر الألياف البصرية. وعند المستقبل هناك أحجزة استقبال خاصة تحول أشعة الليزر إلى معلومات مرة أخرى، وهكذا يمكن لأنشطة الليزر نقل المعلومات من مكان إلى آخر.

وهناك نوعان من قنوات الاتصال بين طرق الاتصالات الضوئية، أو هما القنوات الموجهة، وهي عبارة عن ألياف بصيرية ينتقل الضوء بداخلها من المرسل إلى المستقبل، والنوع الثاني هو القنوات غير الموجهة، وتكون غير الفضاء، وتأثر بالعوامل الجوية، مثل الأمطار و قطرات الندى والغبار، واختلاف الكثافة بين طبقات الجو، وكذلك درجة التأين في كل طبقة. كما تأثر بالضوضاء الناتجة من الإشعاعات الضوئية الطبيعية والدوامات الهوائية.

وكان للجمع بين الألياف البصرية والليزر أثر عظيم على الاتصالات، فمنذ عام ١٨٨٠ استخدم ألكسندر جراهام بيل شعاع ضوء عادي لنقل صوته عبر الغرفة، وفي اليوم، تستخدم أشعة ليزر لنقل المكالمات التليفونية خلال كابلات الألياف البصرية، عبر القارات. وفي وقت قريب سيتم نقلها عبر الحدود.

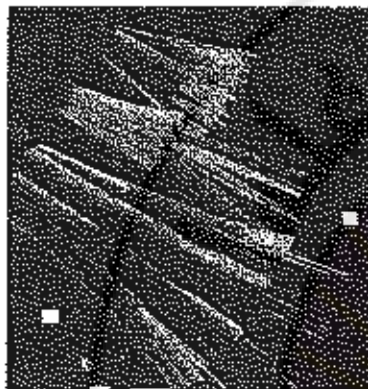
وتوفر الألياف البصرية مزاياً أعظم من كابلات النحاس التي تستخدم عادة لخطوط التليفون. فموجات ومضات الضوء المتاهية القصيرة تعي أنها تستطيع أن تحمل من المعلومات أكثر مما تحمله الإشارات الكهربائية العادية، بأقل تشويه. ويستطيع السلك النحاسي أن يحمل ٤٨ مكالمة تليفونية متزامنة، ولكن أحد الألياف البصرية يستطيع أن يحمل أكثر من ٨٠٠٠ مكالمة.

وهناك تطوران تكنولوجيان رئيسيان جعلا الاتصالات بالألياف البصرية بمكانته. أحدهما هو تطوير ألياف فائقة النقاوة، قادرة على حمل إشارات الضوء على مدى العديد من الكيلومترات. والثاني، هو ابتكار ليزر دقيق، نصف ناقل، يلقط الإشارات الضوئية ويضمّنها ليبقى على مسافة طويلة.

وربما جاء أكثر الدلائل على قوة الألياف البصرية في عالم الاتصالات إثارة في أوائل عام ١٩٨٧م، عندما بدأ اتحاد من ٢٩ شركة أوروبية وأمريكية في مدد أول كابل

للألياف البصرية غير الأقطني. وتبلغ طاقة الكابل ٤٠ ألف مكالمة تليفونية متزامنة، بالمقارنة بستة آلاف مكالمة لأحدث كابل نحاسي كان قد تم مده عام ١٩٨٣م.

سوف توفر كابلات الألياف البصرية، عبر المحيط، أيضاً، قنوات معلومات فائقـة السرعة، لنقل معلومات الكمبيوتر بأمان أكثر مما هو متاح عبر شبكة أقمار الاتصالات.



يوضح المخطط التالي نظام اتصالات ليـفي بـصـري يـحتـوي عـلـى الآتـي

١. دارات تشغيل تقوم بتحويل الإشارة الكهربائية وبيـعـوها إـلـى تـيـار لـتـشـغـيلـ المـتـبعـ الضـوـئـيـ

٢. متـبعـ ضـوـئـيـ يـقـومـ بـايـصـالـ الإـشـارـةـ الضـوـئـيـةـ إـلـىـ الـلـيـفـ الـبـصـريـ

٣. الـلـيـفـ الـبـصـريـ هوـ القـناـةـ الـلـازـمـةـ لـنـقـلـ الإـشـارـاتـ

٤. كـاـشـفـ ضـوـئـيـ يـقـومـ بـتـحـوـيلـ الإـشـارـاتـ الـبـصـرـيـةـ إـلـىـ إـشـارـاتـ كـهـرـ بـائـيـةـ

٥. مستـقـبـلـ يـتـولـيـ تـضـخـيمـ الإـشـارـةـ الـقـادـمـةـ مـنـ الـكـاـشـفـ وـيـرـسـلـهـاـ عـلـىـ الـمـسـتـخـدـمـ

٦. موصلـاتـ وـمـقـارـنـ وـوـصـلـاتـ دـائـمـةـ لـرـيـطـ العـاـصـرـ الـمـعـتـلـفـ لـنـظـامـ الـاتـصـالـاتـ

٧. الـلـيـفـ الـبـصـريـ

إـذـاـ يـتـكـونـ نـظـامـ الـأـلـيـافـ الـضـوـئـيـةـ مـنـ أـجـزـاءـ رـئـيـسـيـةـ هـيـ :

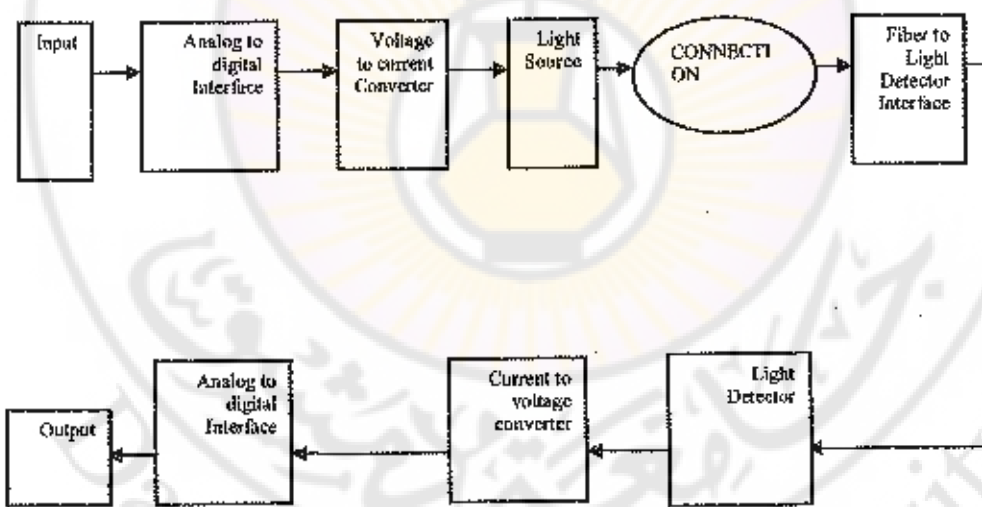
١ - "المـرسـلـ" transmitter (مـصـادرـ الـمـلـعـومـاتـ)

هوـ المـتـبعـ الضـوـئـيـ الذـيـ يـتـولـيـ تـولـيدـ الـمـوجـةـ الـخـالـمـةـ لـلـمـلـعـومـاتـ وـيـسـتـعـملـ هـذـاـ العـرـضـ

نوـعـانـ مـنـ الـمـتـبعـ الضـوـئـيـ هـماـ ثـنـائـيـ الـلـيـزـرـ laser diode (LD) وـالـثـنـائـيـ

الـبـاعـثـ لـلـضـوءـ (LED) Light Emitting Diode (LED) وـيـمـيزـ هـذـهـ الثـنـائـيـاتـ

بصغر حجمها وخفف وزنها وتستهلك كميات صغيرة من القدرة وتتمتع بسهولة التشكيل أي تحويل المعلومات على شعاعاتها وهناك نظام يرجحى يعمل على تحويل المعلومات . يعمل كل من هذين الجهازين بواسطة تيار كهربائي وتكون كمية القدرة التي يشعها الجهاز متناسبة مع هذا التيار وهذا الشكل فإن القدرة البصرية الخارجة من الجهاز تأخذ شكل التيار الداخلي فإذا كان التيار الداخلي موجياً فإن القدرة الخارجة من الثاني تكون موجية وهذا ما يحدث في التشكيل التمايزي وإذا كان التيار الداخلي متقطعاً فإن القدرة الخارجة تكون متقطعة وبنفس الأسلوب وهو ما يحصل في التشكيل الرقبي وتقع ترددات الاتصال عبر الألياف البصرية وترددات الليزر ضمن مجال المترددات البصرية ($10^{12} \text{ GH} \rightarrow 10^{16} \text{ GH}$) وينقسم هذا المجال إلى ثلاثة أقسام الأشعة تحت الحمراء (Visible) ، الضوء المرئي (Infrared) والأشعة فوق البنفسجية (Ultraviolet)



-٢- قناة الاتصال (الليف البصري)

تعرف قناة الاتصال بأنها المسار بين المرسل والمستقبل وفي نظام الاتصالات بالألياف البصرية يعتبر الليف البصري هو القناة، ولكي تكون هذه القناة فعالة فلابد أن يكون التوہين ضعيفاً وزاوية القبول كبيرة حتى يتمكن الضوء من عبور مسافات طويلة دون أن يضعف وأن تجمع أكبر قدر من الضوء ليقتنن بقناة الاتصال خاصة عند الارسال لمسافات طويلة

-٣-المضخم الضوئي :

عند إرسال إشارة لمسافات طويلة قد تحتاج لوضع المضخم من أجل تصحيح الإشارة التي قد تضعف نتيجة للتوہين بعد مسافة معينة .

٤-الموصلات **connector** : تستعمل للربط ما بين الألياف البصرية والباعث أو المرسل وما بين المضخم والليف .

٥-المستقبل **Receiver** : الكاشف الضوئي : الذي يقوى تحويل القدرة البصرية إلى تيار كهربائي ويتاسب التيار الكهربائي الخارج من الكاشف مع القدرة البصرية الساقطة عليه حيث أن تغيرات القدرة تحوي المعلومات المرسلة وبالتالي فيإن التيار الخارج أيضاً يحوي المعلومات وهذا التيار يمثل التيار المستخدم في تشغيل الم整形 وتسمى هذه العملية بـ **Demodulation** ومن أجل هذا الفرض نستخدم ثنيات ضوئية مصنعة من أنصاف النواقل ولها عدة أنواع وتميز بصغر حجمها وقلة وزنها وعمرها الطويل واقتصاديتها ويجب أن تكون حساسة جداً للإشارات البصرية والاستجابة السريعة للتغيرات السريعة للإشارة البصرية .

-٦-مكونات الليف البصري :

الليف هو مادة شفافة للضوء أي تسمح بمرور الضوء في مجال محدد من الطريق الكهروطيسى وفي معظم الحالات يكون من الزجاج فهي عبارة عن ألياف مصنوعة من

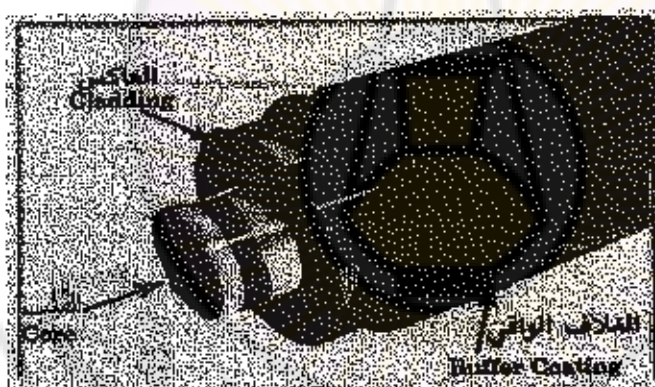
الزجاج النقي طولية ورقيقة لا يتعدي سمك الشعرة يجمع العديد من هذه الألياف في حزم داخل الكبillas البصرية وتستخدم في نقل الإشارات الضوئية إلى مسافات بعيدة ويكون الليف البصري من :

القلب : (core) وهو قلب من الزجاج الفائق النقاء يمثل المسار الذي ينتقل خلاله الضوء

الغلاف (cladding) : "العاكس" وهو المادة الخارجية التي تحيط بالقلب الزجاجي وهي مصنوعة من زجاج مختلف معامل انكساره عن معامل انكسار الزجاج الذي يصنع منه القلب ويعكس الضوء باستمرار ليظل في داخل القلب الزجاجي

٣- الغطاء الواقي (buffer coating)

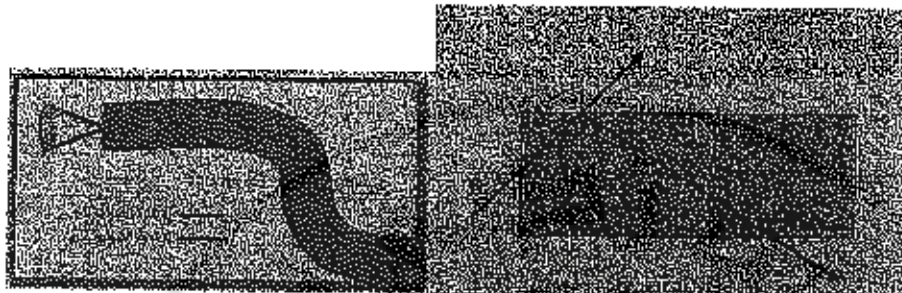
غلاف بلاستيكي يحمي القلب من الصدمة ويحمي الليف من الرطوبة أو التكسر



٣-١- كيف تعمل الألياف البصرية وكيف توصل الضوء :

بنفرض أننا نريد أن نوصل ومضنة ضوئية خلال مسار مستقيم كل ما علينا فعله هو أن نوجه الضوء خلال هذا المسار وحيث أن الضوء يتعقل في خطوط مستقيمة فإنه سوف يصل إلى الطرف الآخر من دون أية مشاكل أما إذا كان المسار له الحناء فإنه يمكن

التغلب على هذه المشكلة بوضع مرآة عند الانحناء لتعكس الضوء إلى داخل المسار مرة أخرى.



وبنفس الطريقة تحل المشاكل لو كان المسار كثير الانحناءات حيث تصف المرآيا على طول المسار لتعكس الضوء باستمرار من جانب إلى آخر ليقى في مساره هذه هي بالضبط فكرة عمل الألياف الضوئية حيث ينتقل الضوء بواسطة الانعكاس المستمر عن الجدار الحادى لقليل الزجاجي (**cladding**) انعكاساً داخلياً كلياً ولأن هذا الجدار لا يختص أى من الضوء الساقط عليه فإن الإشارة الضوئية يمكن أن تساور مسافات طويلة ولكن يحدث أحياناً أن يفقد جزء من الضوء حيث تتحصى الشوائب الموجودة في القلب الزجاجي

بنية الألياف البصرية:

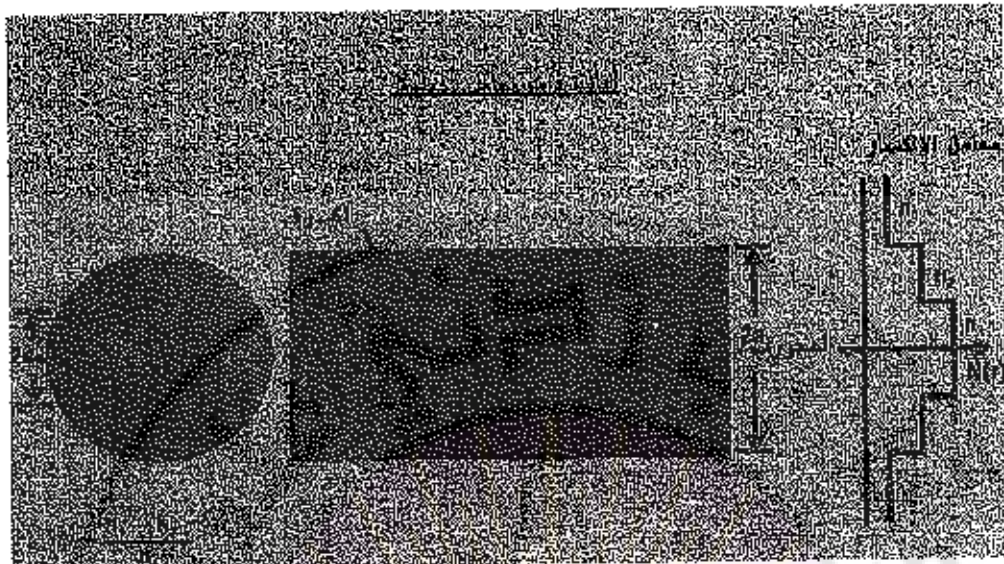
تقسم الألياف البصرية إلى:

١- الليف ذي الدليل الدرجى **Step-Index Fiber(SI)**

٢- الليف ذي الدليل المتدرج **Grade-Index Fiber(Grin)**

أ- الليف ذو الدليل المدرج :

يتتألف الليف ذو الدليل الدرجى من نواة مركبة ذات دليل انكسار n_1 و يتطلب التوجيه الكامل أن تكون زاوية الانكسار 0 مساوية لزاوية الخروجة θ أو أكبر منها



تعطى الزاوية الحرجية لليف SI بالعلاقة التالية $n_2 = n_1(1 - \Delta) \sin \theta_0 = \frac{n_2}{n_1} \sin \theta_0$

يعطى التغير دليل الانكسار الجزئي Δ بالعلاقة التالية :

$$\Delta = \frac{n_1 - n_2}{n_1}$$

إن Δ موجب دائماً وذلك لأن $n_2 < n_1$ يجب أن تكون أكبر من n_2 حتى يكون هناك زاوية حرجية تؤدي إلى الانعكاس الداخلي وبالتالي حصر الضوء داخل لب الليف وقيمتها النموذجية بحدود 0.01 و 0.02 .

يتطلب الإرسال الفعال (إرساء الشعاع لأطول مسافة ممكنة) أن تكون النواة والكساء على ذي الخسارة قدر الإمكان وعند انتشار الضوء ضمن النواة ينتشر بعض الضوء في الكسae بشكل موجة متموجة فإذا كان الكسae غير ماض فلن يفقد هذا الضوء بل سيتشر في الليف ولذلك فإن نواة من الزجاج محاطة بالغواص تحقق المطلوب وهو $n_2 > n_1$ وستقوم بالفعل بتوجيه موجة ضوئية وأي مادة ملتحقة بالنواة من أجل دعمها ستسبب خسائر في الموجة المنتشرة وإن النواة من غير كسام يمكن أن تشنى أو تستخدم

يسهولة مما يسبب خسائر إضافية حيث أن الكساد يجمي التواة من التلوك ويساعد في الحفاظ على سلامتها ويستخدم الكساد للحصول على فقد قليل .

ب - الليف ذو الدليل المتدرج :

يملك الليف ذو الدليل المتدرج مادة نواة ذات دليل انكسار يتغير تبعاً للبعد عن محور الليف حيث يتغير دليل الانكسار تدريجياً داخل الليف حتى يبلغ أقصى قيمة له عند محور الليف ويوصف تغير دليل الانكسار بما يلي :

$$n(r) = n_1 \sqrt{\left[\left(1 - \frac{2r}{a} \right)^\alpha \Delta \right]} : r \leq a$$

$$n(r) = n_1 \sqrt{(1 - 2\Delta)} = n_2 : r > a$$

حيث n_1 : دليل الانكسار على طول محور الليف

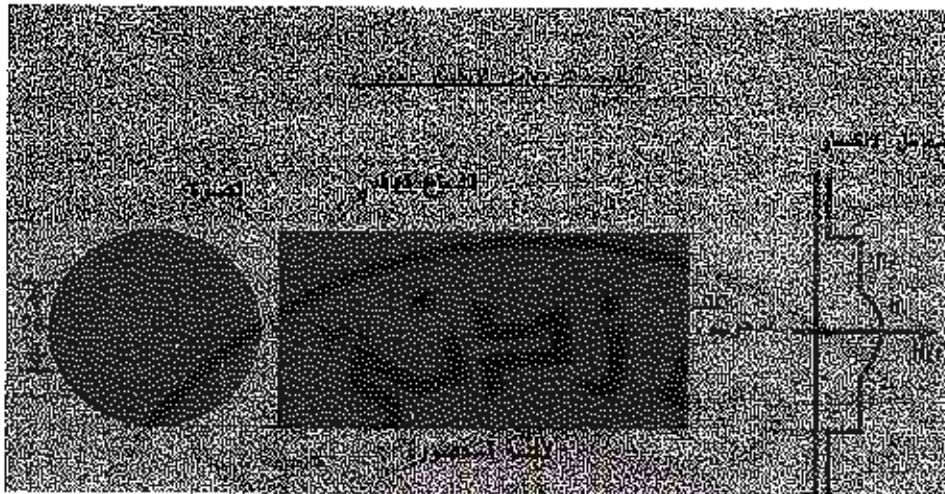
n_2 : دليل الانكسار خارج النواة (دليل انكسار الكساد)

a : نصف قطر النواة

α : عامل يصف تغير المظاهر الجانبي للدليل الانكسار

Δ : عامل يحدد مقياس تغير المظاهر الخارجي

r : متتحول البعد



بحل المعادلة الأخيرة من أجل معامل المقياس Δ ينتج :

$$n_2^2 = n_1^2(1 - 2\Delta)$$

$$n_2^2 = n_1^2 - 2n_1^2\Delta$$

$$\Delta = \frac{(n_1^2 - n_2^2)}{2n_1^2}$$

من أجل الحالة العادية حيث $n_2 \approx n_1$ يؤدي هذا إلى النتيجة التقريرية التالية :

$$\Delta = \frac{n_1 - n_2}{n_1}$$

تنتشر الأشعة الضوئية في الليف بطريقة التذبذب ويسبب دليل الانكسار المتغير أن تتجه الأشعة من جديد وباستمرار نحو الليف ويتبع المحناء الأشعة عند كل درجة صغيرة قانون

$$\text{سنيل } n_1 \sin \theta_1 = n_2 \sin \theta_2$$

ويذلك تحيي الأشعة بعيداً عن العمود عندما تنتشر من دليل انكسار عالي إلى دليل انكسار أصغر وعندما يعبر شعاع محور الليف سيصل بمجموعة من حدود الفصل وفي كل مرة ينتشر إلى منطقة ذات دليل انكسار أصغر يحيي أكثر نحو المحور الأفقي . عند أحد حدود الفصل بعيداً عن المحور تتجاوز زاوية الشعاع الزاوية الحرجة ويسعكس

الشعاع كلياً عائداً نحو محور الليف وينتقل الشعاع الآن من منطقة ذات دليل انكسار متخفض إلى منطقة ذات دليل انكسار أعلى وهكذا يعني نحو العامود إلى أن يعبر محور الليف عند هذه النقطة سكرر العملية وهذه الطريقة ينقطع الليف شعاعاً مسبباً إيهأن يتذبذب ذهاباً وإياباً أثناء انتشاره في الليف وإن الأشعة التي تغير محوراً أفقياً تغيرها بعد انتشارها مسافة قصيرة فقط بعيداً عن المحور وتبعد الأشعة ذات الميل الأكبر عن المحور وقد تطلق بعض الأشعة بشكل عميق لدرجة أنها لن تعود مطلقاً ولن تنسحب بمرحلة كافية لتعرض لانبعاسات الرؤية الحرجية وأن هذه الأشعة سوف لن تلتقط.

نلاحظ أن الأشعة الواقعة ضمن مجال زاوية محمد سوف تنتشر ضمن الليف بتغير α يتغير معامل الانكسار داخل الليف ويغير عن فتحة التفود العددية لهذا النوع من

$$\text{الألياف : } NA = n_1 \sqrt{1 - \left(\frac{r}{a}\right)^2}$$

تشير هذه المعادلة إلى تغير فتحة التفود العددية مع نصف القطر

$$r = 0 \Rightarrow NA = n_1 (2\Delta)^{\frac{1}{2}}$$

$$r = a \Rightarrow NA = 0$$

من هنا نستنتج إن كفاءة الاقتران في الليف المتدرج تبلغ أشدتها عند المحور وتتناقص كلما ابتعدنا عنه على عكس الليف الدرجبي الذي يحافظ بقيمة فتحة التفود العددية واحدة بغض النظر عن نقطة دخول الضوء وهذا السبب تكون كفاءة الاقتران في الليف الدرجبي أكبر من كفاءة الاقتران في الليف المتدرج إذا كان حجم الليف فيما متساوي

ميزات الألياف البصرية :

تتميز الألياف الضوئية بما يليها عديدة جعلتها تتفوق على النظم الأخرى المستخدمة في مجال الاتصالات ومن هذه المميزات ما يلي :

- * إن الميزة الرئيسية للألياف الضوئية هي كفاءتها العالية في نظم الاتصالات عريضة المجال **Broad band** مما يوفر إمكانية نقل كمية معلومات كبيرة جداً بواسطة

ليف ضوئي واحد وهذه المعلومات قد تكون صوراً تلفزيونية أو مكالمات هاتفية أو معلومات للحواسيب أو مزجها¹⁵ منها وللمقارنة نجد أنه من أجل نظام اتصالات بالترددات العالية **frequency (vhf) very high 100 MHz** يعمل عند التردد **100 MHz** يكون عرض المجال المسموح به **10** و من أجل نظام اتصالات ميكروي يعمل عند التردد **6GHz** يكون عرض المجال المسموح به **100 MHz** وهكذا فإن الزيادة في قردد الحامل تقابلها زيادة في عرض المجال المسموح به وبالتالي زيادة في كمية المعلومات المتباولة إن تردد الضوء المستخدم في نظام الاتصالات بالألياف الضوئية يتراوح بين **Hz 10** ومن هنا نجد أن عرض المجال المسموح به كبير وبحد الإشارة إلى أن هناك نظم اتصالات بالألياف الضوئية تعمل بعرض مجال للمعلومات يبلغ **2.5 Gbit/s.** ويتجه التفكير نحو إيجاد نظم اتصالات بعرض مجال يبلغ **10 Gbit/s.** مستقبلاً الأمر الذي يبين بوضوح مدى كفاءة نظم اتصالات بالألياف الضوئية في تلبية متطلبات نظم الاتصالات الحديثة .

- المادة الأساسية لصناعة الألياف الضوئية هي ثاني أوكسيد السيليكون المتوفرة بكثرة وتصنع بعض الألياف الضوئية من البلاستيك الشفاف وهي مادة أخرى متوفرة بسهولة وبالنسبة لتقنيات الإنشاء والتشغيل والصيانة نجد أنه من أجل الخطوط الطويلة تعتبر الكابلات الليفية أقل كلفة للتقليل وأسهل للتتركيب من الكابلات المعدنية فمن أجل ليف ضوئي قطره **125um** وبغلاف بلاستيكي ذي قطر **mm2.5** يصلح وزن الكبل **6kg/km** كما يبلغ التحميل فيه **0.5Db/km** وبالمقارنة مع الكيل المتروري **19/URG 28.4MM** ويزع وزنه **0.1110KG/KM** الأمر الذي يبين بوضوح أفضلية الليف الضوئي من حيث الحجم والوزن ونظراً لهذه الميزة تم استبدال الكابلات التحاسية في كثير من الطائرات والبواخر بالألياف ضوئية .

إمكانيات الألياف البصرية بالمقارنة مع الكواكب المعدنية (الأسلاك) :

١. لأنظمة الكابلات الليفية سعة أكبر بكثير بسبب عرض مجالها الترددي المتساوى في الترددات الضوئية ، بينما تعمل التوافق كمترشح تمرير لترددات الموجة الضوئية مما يحدد عرض المجال الترددي
٢. لأنظمة الكابلات الليفية مناعة من انتقال المكالمات بين الكواكب الذي يسبب التحرير الكهربائي وإن سبب التداخل بالكواكب المعدنية هو التحرير الكهربائي بين التوافق المتوضعة قرب بعضها .
٣. لأنظمة الكابلات الليفية مناعة من التداخل للكلرياء كما أن الليفية لا تشع طاقة ولا تتفاعل بأنظمة الاتصال الأخرى وهذا مفید عسكرياً .
٤. الكابلات الليفية مقاومة أكثر للتغيرات البيئية حيث تعمل بمحال حراري أو سعى
٥. الكابلات الليفية أكثر أمانة بالتركيب والصيانة حيث لا يوجد تيارات كهربائية وجهود كوهما غير ثاقلة . والألياف أصغر وأخف وأسهل بالتعامل وهي أصغر للتحزير وأرخص بالنقل .
٦. الكابلات الليفية أكثر أماناً فلا يمكن التمحض على المستخدم دون معرفته .
٧. الكابلات الليفية تعيّر أكثر من الكواكب المعدنية وذلك بناء على تحمل الليف للتغيرات البيئية .
٨. الكلفة أقل وذلك على المدى البعيد . بالمقابل فإن السبيقة الظاهرة الوحيدة هي الكلفة الابتدائية المرتفعة لتركيب النظام إضافة إلى عدم وجود أنظمة ليافية عاملة لمدة طويلة لتقوم أدائها .
٩. الألياف الضوئية أرفع من الأسلاك العاديه فهي تستطيع حمل المعلومات بشكل أكبر حيث يمكن وضعه ضمن جزء تتضمن عدد كبير من الألياف مما يعطي إمكانية زيادة عدد خطوط الهاتف وعدد قنوات التلفزيون في حل واحد حيث يصل عرض هذا

الحبل إلى 50 نيرا هرتز ، بينما يصل عرض السلك الذي قد يحمل نطاق بث إذاعي إلى ٦ ميجا هرتز .

١٠. تصنف قطر الألياف الضوئية أقل من نصف قطر الأسلاك العادمة بما يجعلها أقل حجمًا من ساقتها مما يشكل أهمية خاصة عند مد الأسلاك تحت الأرض ولهذا السبب نلاحظ أن الألياف الضوئية أخف وزنًا من الأسلاك العادمة

١١. تتميز الألياف الضوئية بقدرها على الحفاظ على الإشارة من الضياع لفترة أطول من الأسلاك العادمة

١٢. تومن الألياف الضوئية وضوح في الإشارة المرسلة من خلال منع تداخل الإشارات بسبب تجاوز الألياف مع بعضها كما تضمن سرية الإشارات بسبب تجاوز الألياف مع عضها كما تضمن سرية الإشارات المرسلة والمستقبلة لعدم تداخلها مع الإشارات الكهرومغناطيسية .

١٣. لا تحرى على مواد قابلة للاشتعال بما يقلل من خطر الحرائق .

١٤. لا تحتاج إلى طاقة كبيرة من المولدات لأن احتمال ضياع الإشارة أثـاء التوصيل قليل .

استخدمت الألياف الضوئية في مجالات واسعة بسبب ميزاتها التي ذكرها سابقاً ، فاستخدمت في مجال الاتصالات والشبكات كما استخدمت في مجال التصوير الطبي بأنواعه ، وغيرها من الصناعات .

ملاحظة:

إن كلفة نقل وتركيب كابل متعدد الألياف ليس أكثر بكثير من كلفة نقل وتركيب كابل وحيد الليف

بالإضافة أنه في الكابل متعدد الألياف يستغل الحيز بشكل أكبر وذلك لأن الألياف تشتريك بأعضاء تقوية عامة وبزيادة عدد الألياف في الكابل تتناقص الكلفة لكل ليف

وفي حالة الاتصالات بواسطة الأقمار الصناعية باستخدام أشعة الليزر فإن هناك
عدة اعتبارات أهمها:

١. الطاقة الكهربائية المحدودة على من القمر الصناعي، وهي لا تزيد على ١٠٠ وات ل نظام
الاتصال بالكامل.
٢. الفراغ المحدود المتاح لوسائل الاتصال.
٣. أهمية الوزن الاقتصادي للمكونات.
٤. كفاءة توليد أشعة الليزر، وللمقصود منها نسبة الطاقة الضوئية لشعاع الليزر المولدة في
جهاز الإرسال إلى طاقة التغذية المستنفدة في تولیده.

ويتحقق استخدام الليزر في مجال الاتصالات العسكرية المزايا الآتية:

١. حفظ درجة الأضمحلال في الإشارة الصوتية.
٢. نقل حجم كبير من المعلومات.
٣. مقاومة عالية للتداخل والشوشرة.
٤. الحماية من التصنت.
٥. قلة الحجم وخفقة الوزن بالنسبة للأجهزة المستخدمة.

ثالثاً: الأقراص البصرية

يتكون القرص البصري Optical Disc من سطح معدني فضي كالمراة، يعكس الضوء في شكل ألوان الطيف، ويغطي بطبقة رقيقة من البلاستيك التقى. والقرص البصري في حجم أسطوانة الموسيقى العادي، وعلى سطحه العديد من الثقوب الدقيقة جداً، يطلق عليها "الحفر". أما المناطق المستوية التي بينها فيطلق عليها "المسطحات". ويطلق أحياناً على القرص البصري اسم "القرص المدمج" : Compact Disc ، قطره ١٢ سم، أو ٤,٧٢ بوصة. وأحدث ما وصلت إليه التكنولوجيا الآن هو نظام الأقراص المدمجة للقراءة فقط CD-ROM: Compact Disc Read Only Memory لتخزين المعلومات واسترجاعها ويتزايد الجمجم بين أشعة الليزر وأجهزة الكمبيوتر في أحوال كثيرة. وأحدث شيء في هذا المجال هو إنتاج نظام لذاكرة الكمبيوتر memory باستخدام فكرة أقراص السمعيات المدمجة التي تستوي بسرعة على سوق تسجيل الموسيقى. وجوهر مشغل القرص السمعي عبارة عن ليزر دقيق، يترجم المعلومات الموجودة على حفر ميكروسكوبية على سطح القرص الفضي إلى موسيقى. وحيث إن الضوء فقط هو الذي يلمس القرص، فإنه لا يتعرض للبلى والتدحرج، كما يحدث في أسطوانات الفينيل. وتضاعف مبيعات أقراص السمعيات ثلاثة مرات كل عام، منذ طرحها في السوق عام ١٩٨٣ م.

وباستخدام أقراص السمعيات، جهاز ذاكرة للكمبيوتر، فإن قرصاً واحداً قطره ١٢ سم، مشابه للقرص المستخدم في تسجيل الموسيقى، يمكن أن يخزن ٥٥٠ ميجابايت، أي مليون وحدة عنصر ثالثية من معلومات الكمبيوتر، أي ما يوازي ١٠٠ ألف صفحة مطبوعة على الآلة الكاتبة.

وأكير عيب لقرص السمعيات، عن استخدامها ذاكرة للكمبيوتر في هذه المرحلة، هو أنه لا يمكن تغيير المعلومات المسجلة عليه. ومع ذلك فإن فكرة تسجيل دائرة معارف كاملة على قرص واحد، لها من الجاذبية ما يدفع العلماء إلى الاستمرار في تطوير هذه التقنية. وفي هذه الأثناء يحاول الباحثون إيجاد طريقة لتغيير المعلومات المسجلة على هذه الأقراص، بما سوف يجعلها أوسع استعمالاً.

وللتعرف على دور أشعة الليزر في عرض المعلومات نأخذ حالة أفلام الفيديو، وفيها يتم عرض المعلومات — فيلم الفيديو — عن طريق توجيه أشعة الليزر من جهاز الفيديو، بشكل عمودي على سطح القرص البصري المسجلة عليه المعلومات، وذلك أثناء دورانه. ويعكس المصطحب الملامع للقرص أشعة الليزر إلى جهاز الفيديو مرة أخرى، إذ يتم التقاطها بواسطة وحدة إلكترونية تقوم بإصدار نبضات كهربائية مختلفة، بمجرد وصول أشعة الليزر إليها.

وحيث إن الحفر والمسطحات فوق سطح القرص البصري تعكس أشعة الليزر بشكل مختلف، فعنده وصولها إلى الوحدة الإلكترونية بجهاز الفيديو تقوم هي، أيضاً، بإصدار نبضات كهربائية مختلفة تماماً، مثل أشعة الليزر التي العكست إليها، ثم يحول جهاز الفيديو هذه النبضات الكهربائية إلى صوت وصورة، أي فيلم فيديو.

ويُعد هذا التطبيق أسرع استخدامات الليزر تطوراً باستخدام أسطوانات للتسجيلات الصوتية أو المرئية، واستخدام أجهزة تشغيل الاسطوانات، أي الجرامافون، الضوئية التي يمكنها استعادة التسجيل من على الاسطوانة بواسطة شعاع ليزر، بدلأً من الإبرة التقليدية، بما تسببه من مشكلات نتيجة تأكل سطح الاسطوانة.

وأكثر أنواع الليزر شيوعاً لهذا الغرض هو ليزر الدايرود، والذي حل محل ليزر المليوم - نيون المستخدم في بعض الأنواع القديمة من أجهزة الأسطوانات الضوئية.

ويستخدم القرص البصري وسيطًا لتخزين المعلومات في الكمبيوتر، وتم الكتابة على القرص بواسطة شعاع ليزر يؤدي إلى تكوين حفر دقيقة على القرص. ومعظم الأقراص البصرية المتوفرة في الأسواق يمكن الكتابة عليها مرة واحدة، ثم يمكن بعد ذلك قراءة ما ثبت كتابته عدة مرات. ويطلق على الأنظمة التي يمكنها عمل ذلك "أكتب مرة واقرأ مرات" Write Once Read Many. WORM

رابعاً: الطباعة

واجتياح تكنولوجيا الليزر لصناعة الطباعة يُعد امتداداً منطقياً للاستخدامات الجاربة. فالكثير من النسخات تستخدم أشعة الليزر التي يتحكم فيها الكمبيوتر لخلق أشكال على أسطوانة حساسة للضوء، تحول بدورها إلى كلمات مطبوعة على الورق. وبالإضافة إلى السرعة الفائقة، يوفر الليزر، أيضاً، وضوحاً أفضل للنسخ. وجودة النوعية هي السبب في تحول وكالات الأنباء والمحلات إلى نسخ صورها بالليزر. وأحياناً تطبع الصحيفة أو الجلة لتوزع على القراء في عدة دول متعددة، في الوقت نفسه، ويتم ذلك باستخدام تقنيات الليزر والكمبيوتر. وفي هذه الحالة تقوم أجهزة المسح التي تعمل بأشعة الليزر بتحويل الكلمات والصور إلى بيانات كمبيوترية يمكن إرسالها من خلال الأقمار الصناعية إلى آلات طابعة في هذه الدول المتعددة خلال ثوانٍ معدودة.

وفي الكثير من المكاتب الآن طابعات بالليزر، تأخذ إنتاج أجهزة الكمبيوتر الشخصي، وتعطي نسخاً مطبوعة بتنوع لم تكن ممكناً من قبل إلا بمعذات الطباعة المختصة فقط.

والفارق الوحيد بين ناسخة الليزر وطابعة الكمبيوتر العاملة بالليزر، هو أن الأخيرة تستخدم الضوء للطباعة المباشرة على الورق، بدلاً من نقلها على اسطوانة تنقلها بدورها إلى الورق.

وأكثر النظم الليزرية المستخدمة في الطباعة هي ليزر الهليوم — الليون، وليزر الهليوم — كادميوم، والعقبة الرئيسية أمام تطوير هذه النظم زيادة فاعلية لمبات الليزر المستخدمة، إذ أنها قصيرة العمر نسبياً، أو تحتاج لتغيير كل حوالي ٥٠٠٠ ساعة تشغيل.

خامساً: الهولوغرافي

في محاولة من العالم الإنجليزي Dennis Gabor لتحسين قوة التكبير في الميكروسكوب الإلكتروني، وتقليل الصورة المكونة فيه، توصل هذا العالم إلى ما يسمى الآن "الهولوغرافي" **Holography**، وتعني "فن التصوير الجسم". وفي هذه التكنولوجيا، يستخدم الليزر خلق أشكال ثلاثة الأبعاد يجعل الصور كما المناظر الطبيعية.

ولتوضيح الفرق بين الصورة العادية والصورة ثلاثة الأبعاد، تخيل أن آلة تصوير عادية التقاطت صورة لرجل يقف أمام سيارة، فإذا نظرت إلى هذه الصورة وحركت رأسك من جهة لأخرى، سينظهر الرجل دائماً وهو يحب نفس الجزء من السيارة، أما إذا

أخذت صورة هولوغرافية للمنظر نفسه، فلو حركت وأمسك من جهة لأخرى، لا تصبح لك أن الرجل يتحرك بالنسبة إلى السيارة، ومن كل زاوية يبدو أن المشهد مختلف.

والهولوغرام **hologram** ببساطة عبارة عن عملية تحويل صورة الجسم المطلوب تسجيل صورته إلى معلومات مشفرة على لوح حساس، بحيث لا تظهر الصورة بالعين الع裸ة إطلاقاً، ولكن يمكن استرجاع الصورة ورؤيتها بمحسنة، إذا تم تعریض الفیلم لضوء أشعة الليزر.

المولوغرام، يتم إسقاط شعاع الليزر على عدسة مفرقة لتخفيض مساحة كثيرة، ثم يسقط شعاع الليزر على بجزئي للشعاع **splitter** للحصول على شعاعين، أحدهما يستعمل لإضاءة الجسم، ويسمى "شعاع الجسم" **Objective beam**، والآخر يسقط مباشرة على اللسوح الحساس، أو الفیلم، ويسمى "الشعاع المرجع" **Reference Beam**. وعند سطح اللوح الحساس، أو الفیلم، يلتقي كلا الشعاعين مرة أخرى، ويتداخلان معاً ليكونا حلقات التداخل، ويتم تسجيل ناتج التداخل على الطبقة الحساسة، إذ تحتوي هذه التداخل المتكونة على الفیلم على كل المعلومات الخاصة بالجسم المراد تصویره. وبعد عملية التحميض والتثبيت التي تجرى للفیلم، نحصل على المولوغرام، وما هو إلا لوح زجاجي شفاف، أو فيلم شفاف، مغطى بطبقة شبه شفافة، أيضاً.

وإذا نظرنا إلى المولوغرام، فلن يمكننا رؤية الجسم نفسه، ولكننا سوف نرى مجموعة من الخطوط والحلقات المضيئة والمظلمة مرتبة عشوائياً. فالصورة في الواقع يتم إخفاوها، أو بمعنى آخر، يمكن تشفيرها.

ومن الضروري أن يكون الشعاع المستخدم في استخلاص الصورة يطابق تماماً شعاع المرجع المستخدم في تصوير الجسم.

دخل الهولوغرام الحياة اليومية في عدد من التطبيقات، فالكثير من آلات الفحص التي تقرأ الشفرة الخطية المطبوعة على علب الأغذية في السوبر ماركت تستخدم الليزر. وإذا كان العميل يدفع ثمن مشترياته ببطاقة ائتمان، فالأغلب أن بطاقة تحتوي على هولوغرام مطبوع على صفحتها، احتياطياً من التزوير، فيتمكن للمزور أن يصنع بطاقة ائتمان بسرعة مذهلة، ولكنه يلاقي صعوبة كبيرة في إنتاج هولوغرام منمنم.

كما يستخدم الهولوغرام في الصناعة، أيضاً، لإجراء اختبارات مفصلة على كل شيء، بدءاً من قطع غيار الآلات، إلى مكبرات الصوت، والخطوة الأولى هي عمل هولوغرام لقطعة الغيار المراد اختبارها، وحينما يركب الهولوغرام على قطعة الغيار الفعلية، فإن التغييرات التي تحدث، تحت ظروف الحرارة والجهد والإدارة العاديّة، تظهر بأدق تفاصيلها.

والتصميم بالهولوغرام سوف يستغني عن الأسلوب الحالي لعمل مخادج لكل سيارة جديدة، والذي يستغرق الكثير من الوقت. وسوف يضع السيارات الجديدة في مرحلة الإنتاج في وقت أسرع؛ لأن المعلومات المخزنة في الكمبيوتر يمكن استخدامها لإعداد عملية الإنتاج بالكمبيوتر.

سادساً: فحص المسطوح

بدأ العلماء في عام ١٩٨٠م، في البحث عن طريقة أفضل لفحص بعض المسطوح الدقيقة، مثل شريط الفيديو، وشذرة الحاسوب chip، حيث إن أداؤها يكون هربلاً إذا كانت غير ملساء، أو أشكالها غير مناسبة. ويقتضي صقل سطوح أشياء كهذه صقلًا متقدماً استخدام أساليب دقيقة لقياس بيئة نسيجها. وبدا أن قياس التداخل الضوئي الذي يعتمد على طبيعة الضوء الموجية هو الأفضل. فالتدخل يتوجه تجاهلاً مثاليًا، ولا يضمن تماساً مع السطح الذي يراد دراسته، فلا يغافله. ويمكن للتدخل — من حيث المبدأ — أن يخلل تصارييس السطح التي تبلغ ارتفاعاً ما بضعة ألميترات

والمبدأ الأساسي في التداخل هو أنه عندما تلتقي موجتان ضوئيتان فإنهما تدخلان، فإذا انطبقت ذروة إحداهما مع قاع الأخرى كان التداخل هداماً. أما إذا تطابقت ذروة الموجتين فإن الموجتين تقوى إحداهما الأخرى. وقد طور الفيزيائي الأمريكي "ميكلسون" تقنيات استخدمت ظاهرة التداخل للقيام بقياسات غاية في الدقة. ويعرف الجهاز الذي صممته باسم "مقياس ميكلسون التدابع". وفي هذا الجهاز تسقط حزمة ليزر على مرآة نصف عاكسة، تجزئ الحزمة إلى حزمتين في مسارات متعامدين، فتنعكس إحدى الحزمتين عن العينة المطلوب قياس سطحها، وتنعكس الأخرى عن المرآء المرجعية. وحين تلتقي الموجتان بعد انعكاسهما، تولد من تداخلهما موجة تكون شدة ضوئها عظيم إذا كانت الموجتان متتفقتين في الطور phase، وتكون شدتها صغيرة إذا كانت الموجتان متعاكستان في الطور. وتغير تنويعات سطح العينة وأبعاده يغير طول المسار الذي تقطعه الحزمة الأولى، فتتغير بذلك العلاقة المكانية بين الحزمتين وشكل الأهداف التي تظهر تصارييس سطح العينة.

وتقوم شركات صناعات الطيران باستخدام تقنية ليزرية متقدمة لفحص الأجزاء المصنوعة من مواد مركبة في الطائرات، مثل الجرافيت والأليوكسي، المستخدمة في حركات الطائرات الحدية، والتي يستغرق فحصها بالطرق التقليدية وقتاً طويلاً، وتكلفة باهظة. والتقنية الجديدة تختصر زمن الفحص بنسبة ٥٩٪، مما يختصر وقت التصنيع عدة أسابيع، كما أن دقة النظام الشاهية ترفع من مستوى التصنيع.

سابعاً: تشغيل المواد

ويستخدم لهذا الغرض ليزر ثانى أكسيد الكربون، أو ليزر الياج، على نطاق واسع في صناعات الإلكترونيات والحواسب والسيارات وهياكل الطائرات، وأكثر الاستخدامات شيوعاً لحام المعادن. ويمكن باستخدام عدسات ضوئية تركيز طاقة أشعة الليزر في نقطنة البؤرة Focus على مساحة ضيقة جداً، فترتفع درجة حرارتها أكثر من مائة ألف درجة مئوية، فتبخر المادة، وهذا يؤدي إلى قطع لحام وحرق الأحجام المعدنية المختلفة، كأجزاء السيارات والطائرات، والمواد الزجاجية والبلاستيك، والخزف. وفي هذه الحالات لا تجد الحرارة وقتاً كافياً لتسرى داخل المادة لتسبب التشوهات أو تلفها. ويستخدم في هذه الأغراض الليزر النبضي الذي يوفر حزماً ذات طاقة عالية من أشعة الليزر.

اللحيم هي طريقة أو عملية دمج أو تثبيت قطعتين مع بعضهما. يتم ذلك عن طريق تسخينهما إلى درجة الانصهار مع استخدام قسوة حافظة أو لا. اللحيم يستخدم في عدة مجالات في الحياة الصناعية، كما في صناعة السفن وصناعة القطارات والسيارات. في السنتين الأخيرتين، طرق اللحيم تم تطويرها عن طريق القوس أو الليزر أو الخزنة الإلكترونية.

لحام الليزر : هي طريقة صهر و دمج عن طريق طاقة حرارية مبتعدة من حزمة مركبة من الليزر. وأيضاً يستطيع أن ينتقل خلال الهواء أو مواد ناقلة. حزمة الليزر تتميز بشدة عالية في القوة تصل إلى ١٠٠٠٠ وات/سم مربع وأيضاً بقلة في الدخل الحراري من ١،٠ جول إلى ١٠ جول. اللحام الليزر يستخدم في تلحيم مستمر (continuous) أو نبضي (المقصود نقطي) (pulse).

أنواع الليزر للحام :

١. ليزر في حالة صلبة. مثل (Nd:YAG) يتميز بقوة عالية في تلحيم النبضي أو بقوة قليلة في تلحيم المستمر.
٢. ليزر الغاز. مثل (CO₂) يتميز بقوة عالية في تلحيم المستمر أو بقوة قليلة في تلحيم النبضي.

تطبيقات اللحام بالحزمة الليزر:

- ١ - في صناعة الذهب
- ٢ - في صناعة البلاستيك
- ٣ - في تطوير اللحام بالقوس
- ٤ - في إصلاح القوالب

كما ذكرنا الليزر يستخدم في عدة مجالات في صناعة الطائرات والسيارات والمسفن والصناعات الخديمة. وأيضاً الليزر يستخدم في تلحيم قطع إلكترونية سواء كبيرة أو صغيرة الحجم. وأيضاً الليزر يستخدم في صناعة أدوات الطبيعة.

الليزر يستهلك كيلو وات في تلحيم نقطة (نبضة) في حجم أقل من مليمتر مثلاً في صناعة إلكترونية مع طاقة عالية و درجة حرارية مرتفعة. الليزر يستطيع أن يلتحم

مسافات صغيرة مثلاً أقل من ٤٠٠٥٠ مليمتر (١٠٠٠،٠٠١ أنش). وأيضاً الليزر له القدرة في تلحيم المواد الممزوجة من دون إزالة العازل كـ: أحجام لسلالك الرصاص الممزوجة بمادة بوليурثان (polyurethane). سوف نتحدث عن بعض التطبيقات التي يستخدم فيها التلحيم بجزءة الليزر.

في صناعة المجوهرات : الليزر يستخدم في صناعة المجوهرات. وأيضاً يستخدم الليزر في إصلاح قطع المجوهرات التي تحوي على فراغات وشققات غير مرئية بالعين المجردة. في الصناعة التقليدية بعد إصلاحها، قيمة المجوهرات تقل بسبب استخدام مادة إضافية لتكميل عملية اللحام ليست من المادة المصنعة منها القطعة وهذا يؤدي إلى تسرّك أنسار التصليح كغير اللون. بينما عند استخدام الليزر يتم استخدام مادة إضافية نفس المادة المصنعة منها القطعة وهذا يؤدي إلى عدم وجود آثار التصليح. وهذا قيمة القطعة ترجع إلى سعرها الأولي.

في إصلاح قوالب الصناعي : صناعة القوالب المستخدمة في صب المعادن مكلفة الشمن. صناعة قالب جديد قد تكون مستحيلة أو غير منطقية أو غير مرغوب بها بسبب السعر أو الوقت. لهذا يستخدم الليزر في إصلاح ضرر بسيط أو صغير للقوالب مثل كسر حدود بسبب الحرارة العالية أو الضغط، وأيضاً عند تضرر دقة مقاسات قالب يتم إصلاحها باستخدام التلحيم بالليزر.

في صناعة البلاستيك : من أهم تطبيقات الليزر استخدامه في تلحيم البلاستيك . البلاستيك الملونة و الشفافة يتم تلحيمهم بدون مواد إضافية من خلال استخدام طريقة التلحيم النظيف . هذه الطريقة تستعمل في تلحيم البلاستيك القاسي أو المرن المستخدم في أدوات الإلكترونيات و السيارات .

و تستخدم أشعة الليزر في تنقيب الموارد ، مهما كانت درجة صلابتها ، مثل المسار ، ويساعد ذلك في استخدامها في صناعة الساعات .

كما يمكن استخدام أشعة الليزر في الصناعات المعادن الثمينة ، إذ يتم تسخين سطح المعادن و خص الشمن حتى يمكن وضع المعادن الأخرى الثمينة ، كالفضة والكريوم ، فوقه .

ثامناً: في أعمال المساحة والخرائط

تستخدم أجهزة الليزر في القياس الدقيق للمسافات والزوايا ، مما يمكن من تحديد الميارات الأرضية ، ورسم المتصاريض ، عن طريق تركيب جهاز رادار ليدار في طائرة لرصد المرتفعات والوديان بدقة عالية .

و تستخدم أشعة الليزر في تحديد استقامة المستويات بدقة ، إذ يتم التأكد من استقامة المباني العالية ، و تحديد أماكن مد خطوط أنابيب الغاز والبترول والماء والصرف الصحي ، و كواكب الاتصالات لمسافات بعيدة ، وفي بناء الجسور و حفر الأنفاق . كما تستخدم أشعة الليزر في قياس أعماق البحار والخيطيات ورسم خرائط للقاع ، حيث إن هذا النوع من الأشعة يمكنه اختراق الماء إلى عمق عددة مئات من الأمتار .

وستستخدم أجهزة الليزر في قياس التحركات - الصغيرة جداً - التي تحدث في القشرة الأرضية أثناء الزلزال، أو عندما يمر بمنطقة نووية تحت الأرض. وفي عام ١٩٧٦ م، أطلقت وكالة الفضاء الأمريكية "ناسا" القمر الصناعي "لاجوس"، الذي يستخدم عدسات تعكس أشعة الليزر بحيث يمكن استخدامها في دراسة تحركات القشرة الأرضية، التي تحدث عادة قبل وقوع الزلزال أو الانهكارات البركانية، وأيضاً، في دراسة ظاهرة تحرك القارات ببطء شديد، بما يعادل عدة سنتيمترات سنوياً.

تاسعاً: في مجال البيئة

يسخدم التحليل الطيفي بواسطة أشعة الليزر لمراقبة تلوث الهواء والماء، وفي فحص تبصيف المواد الكيماوية من المصانع، وكذلك لقياس مستوى الغازات والبكتيريات الدقيقة في عوادم السيارات، ومداخن المصانع، والتي تؤدي إلى تلوث البيئة. ومن أحضر هذه البكتيريات، المزنك، والخارصين، والكادميوم، والرصاص. ومن الغازات المطردة أول أكسيد الكربون، ثاني أكسيد الكربون. وتستخدم بعض أجهزة الرقاقة من الحريق التحليل الطيفي بواسطة أشعة الليزر لمراقبة مستويات الأدخنة القابلة للاشتعال.

وقد قامت مجموعة من الشركات الأوروبية بتطوير نظام ليزري، لرسم خريطة عن

توزيع الأوزون في طبقات الجو العليا، وقياس نسبة كل من ثاني أكسيد الكربون

وأكسيد النيتروجين، وغاز كلوريد الهيدروجين الصادرة من أماكن جمع القمامه.

عاشرأً: في مجال الفضاء

في عمليات استعادة الأقمار الصناعية التالفة بواسطة مكوك الفضاء، تستخدم منصات عاكسة فوق هذه الأقمار لتعكس أشعة الليزر إلى جهاز الكمبيوتر الموجود في المكوك، ليتمكن من تحديد قياسات دقيقة لموقع القمر المطلوب استعادته، ومن ثم يتم توجيه المكوك في الاتجاه الصحيح ليمد ذراعاً آلياً، ويجذب القمر إلى داخل المكوك.

وفي الفضاء، يتم بعض التفاعلات الكيماوية بمساعدة أشعة الليزر في مركبات الفضاء، بطرق مغايرة تماماً للطرق التي تم بها على سطح الأرض، فقد أثبتت البحوث التي ثبتت في الفضاء إمكانية تحديد لحظة التفاعل الكيماوي بين المواد باستخدام شعاع الليزر وكاميرا من نوع فريد، إذ تم تصوير لحظة ميلاد الجزيئات ولحظة التحامها بغيرها، في

ونظراً لأن أشعة الليزر تستطيع أن تكشف طاقة عظيمة تساوي إلى مسافات كبيرة، فقد قام الأميركيون في عام ١٩٦٩ في إطار برنامج "أبوللو" بتجربة لقياس بعد القمر عن الأرض. وفي هذه التجربة وجهت أشعة الليزر من الأرض لقياس بعد القمر بدقة بالغة، على مدى عشر سنوات. وكان الجهاز مكوناً من صندوق عليه مصفوفات تتكون من ١٠٠ مرآة صغيرة، قطر كل منها ٥ سم. ووضع الجهاز بزاوية ميل محددة فوق القمر، لتعكس على مرآياته أشعة الليزر، مرتدة إلى الأرض، لتسجيل بعده عن الأرض بدرجة دقة لا تتجاوز ١٥ سم، بينما متوسط بعده عن يبلغ ٣٨٣،٠٠٠ كم. وقد ظلل الجهاز على سطح القمر طوال هذه السنوات، ليحصل خلافاً علمياً عن نظرية مدد الكون أو اتساعه، إذ تفترض هذه النظرية ابعاد القمر عن الأرض بقدار ٣ سم كل سنة.

حادي عشر: قياس سرعة الريح باستخدام الطائرات المدنية نظاماً لقياس سرعة الريح باستخدام أشعة الليزر أطلق عليه اسم 3 ALEV-*Sextant* أنتجته شركة Avionique. وكان النموذج الأصلي لهذا النظام قد تم تصديقه أصلاً لغاية أنظمة البيانات الجوية أثناء اختبارات الطائرات الجديدة.

ويعمل الجهاز استناداً على مبدأ العالم "دوببلر" Doppler الذي اكتشف ظاهرة اختلاف تردد النبذبات الصادرة أو المعاكسة، حسب السرعة النسبية للمصدر الناشئة عنه، وبين جهاز القياس. ويقوم هذا الجهاز بإصدار حزمة من ضوء الليزر، ثم يقوم النظام الكهربائي باستقبال الأشعة المعاكسة التي تبعثرها ذرات الجو، وتقوم دوائر إلكترونية باستخراج الفرق بين تردد الشعاع الصادر وتردد الأشعة المعاكسة، والتناسب مع سرعة الطائرة بالنسبة إلى سرعة الهواء المحيط الذي تمر فيه هذه اللحظة.

ثاني عشر: الاستخدامات العسكرية للليزر

انطلق الخيال العلمي ليرسم صورة لسلاح، تصوره الإنسان له قوة تدميرية تستطيع الانتقال بسرعة الضوء، وتحترق كل الحواجز والمسافات، بدلاً من القاذف. ومع التطور التكنولوجي أمكن بالفعل الحصول على عديد من أنواع الليزر، والتي تفطّي الطيارات الطيفي من الأشعة فوق البنفسجية حتى الموجات تحت الحمراء، إلا أن المستخدم منها في نظم التسلیح محدود حتى الآن. وقد يرجع ذلك إلى عدم إمكان استخدام معظم أنواع الليزر الأخرى لأسباب تتعلق بمصدر الطاقة المطلوبة، والحجم، والوزن، بالإضافة إلى أهمية قدرة أشعة الليزر نفسها، وإمكانية التحكم فيها، وتعديلها أو تضمينها modulation.

وقد انتشر استخدام الليزر في نظم التسليح المختلفة خلال السنوات الأخيرة انتشاراً خطيراً، وكان له أثر بالغ في زيادة فاعليتها، فأصبحت معدات الليزر تداول من الجندي المشاة، حتى المقاتلات والقاذفات، بل وبدأت تدخل في نظم الحرب ضد المتصارعيناليستية.

وتقع أنواع الليزر المستخدمة حالياً في نظم التسليح في حيز الضوء المرئي والأشعة تحت الحمراء، وإن كان النوع الأول، الذي يقع في حيز الضوء المرئي، غير مستخدم حالياً على نطاق واسع؛ لأنه يقع في نطاق الضوء الأحمر، مما يجعله سهل الاكتشاف. وعلى الناحية الأخرى، فإن الليزر الذي يقع في حيز الأشعة تحت الحمراء حديث الاستخدام في التطبيقات العسكرية، ويمتاز بالعمل في حيز الأشعة تحت الحمراء البعيدة، مما يحقق له قدرة على اختراق الضباب والدخان والأمطار، ويفضل كذلك استخدامه مع نظم الرؤية السلبية بالاستشعار الحراري، نظراً لعمله في نطاق الموجي نفسه، فيمكّنه بالتالي التعامل مع الأهداف نفسها التي ترى بالمنظار الحراري. وتعدد مجالات الاستخدامات العسكرية لأشعة الليزر، ولنخوض أهمها فيما يلي:

أولاً: جهاز رadar الليزر

تعرف أجهزة رادار الليزر باسم "ليدار" LADAR، وهي الخسوف الأولى من عبارة **Laser Detection and Ranging**، وتعني "الكشف وقياس المسافى بواسطة الليزر". وهذا النوع من الرادار يتميز بدقتته العالية في كشف ومتابعة وتعقب الأهداف. وهنا تستخدم أشعة الليزر في الإرسال، بدلاً من الأشعة الرادارية، ويكون جهاز الاستقبال كهروضوئياً بدلاً من المستقبل الإلكتروني التقليدي في الرادار، وقىستخدم

لذلك أنابيب "فيديوكون" Videocon، بدلاً من أنابيب أشعة المهبط Cathode Ray Tube : CRT . مقارنة بين بعض خصائص جهاز الليدرا، الذي يستخدم ليزر البالج، وجهاز الرادار التقليدي.

ويستخدم جهاز الليدرا في قياس المدى من القواعد الأرضية، أو من السفن، أو من الطائرات والمركبات الفضائية. ويستخدم، أيضاً، في الاستشعار عن بعد، إذ تتم دراسة مكونات الغلاف الجوي وقياس بعض المكونات الكيماوية فيه.

ويتكون جهاز رادار الليدرا بوجه عام من:

١. مرسل
٢. أجهزة صوتية للإرسال.
٣. مستقبل، يتكون من أجهزة صوتية لتجمیع الأشعة المتعکسة من الهدف، ثم مرشح Filter ليقلل من تداخل الموجات الصوتية.

وفي نظام الدفاع الجوي البريطاني "ليزر فاير" LASERFIRE الذي يستخدم للتعامل مع الأهداف المنخفضة، يتكون نظام التتبع الآلي من نظام تتبع ليزري للأهداف، ونظام تتبع تلغرافي للصاروخ. ويحقق شعاع الليزر الضيق دقة التتبع، وعدم التأثر بأعمال الإعاقة.

ثانياً: قياس المسافة

وقد أدى تهديد الصواريخ الباليستية الخاملة للمواد الكيماوية والبيولوجية، إلى أن تقسم الولايات المتحدة بالسبر قدماً في مشروع اعتراض هذه الصواريخ، باستخدام نظام إطلاق الأشعة الليزر الحمولة جواً في قتل هذه الصواريخ، وهي في المراحل الأولى من المحموم. فقد وقعت الولايات المتحدة مع مجموعة من الشركات المتخصصة في إنتاج السلاح بقيادة شركة "بوينج" عقداً لتطوير نظام إنتاج وقفز الليزر الكيماوي عالي الطاقة، يستخدم من الطائرة "بوينج 747-٤" لإطلاق قذائف شعاع ليزرية تقسم بقتل الصاروخ المهاجم في المراحل الأولى من انطلاقه، بحيث يتم مهاجمة الصاروخ بالشعاع القاتل للصواريخ الباليستية بعد إصابة الهدف بالليزر والطائرة على ارتفاع ٤٠ ألف قدم. وتقدر قيمة الطلقة الإشعاعية بألف دولار. وكذلك يمكن للطائرة توجيه نظم اعتراض أخرى لمهاجمة الهدف، مثل الصاروخ "باتريوت" Patriot، أو الطائرة المقاتلة التكتيكية F-22، إذ يقوم النظام الليزري، المحمول جواً، باكتشاف الصواريخ الحمولة على وسائل نقل متعددة في أماكن تمركزها في عمق العدو. والليزر الذي تقوم بتطويره الشركة المذكورة

الأمريكي هو من نوعية الليزر الكيماوي Chemical Oxygen Iodine Laser الذي ينتج عدة مئات من الكيلووات لمدة عدة ثوانٍ بكفاءة، بحيث تستطيع الطائرة التي تحمل عدداً كافياً من المفاعلات تدمير العدد المطلوب من الصواريخ الباليستية، ويمكن للطائرة الاستباق مع ٤٠ هدفاً في مدة ٣-٥ ثوان.

ثالثاً: التدريب على الرماية

تستخدم أشعة الليزر في تدريب الأفراد على رمادية الأسلحة الصغيرة، أثناء التدريبات والمناورات. وتقوم هذه الفكرة على استخدام الأفراد، تحت التدريب، بنادق وأسلحة صغيرة، مجهزة بأجهزة ليزر صغيرة، تقوم بإطلاق أشعتها، بدلاً من الذخيرة الفعلية، على خارج الأفراد المطلوب إصابتهم، والتي تزود ملابسهم بأجهزة اكتشاف صغيرة لأشعة الليزر، في مواضع مختلفة، مثل: الصدر، الرأس، البطن، وإذا تم التقاط هذه الأجهزة لشعاع الليزر الصادر من السلاح، فإن ذلك يكون دليلاً على إصابة الفرد، وبصدر الإنذار بذلك، مع إمكانية تسجيل لاحق لأعداد الإصابات.

ويمتاز استخدام ليزر ثاني أكسيد الكربون في هذا المجال بعدم إضرار العين، بخلاف الأنواع الأخرى، مما يسهل استخداماته في عمليات التدريب، ولكنه يحتاج إلى مستشعرات متقدمة لاكتشافه ورصده وقياسه. وجميع هذه المعدات تعمل بالظام البصري بطاقة محدودة (عشرات الميللي حول)، وببيانات ذات أزمنة تتراوح من ١٠ إلى ١٠٠ ثانية، بينما تعمل بنظام الموجة المستمرة إذا استخدمت لإضاعة الأهداف.

رابعاً: الإنذار من أشعة الليزر

ما سبق يتضح الانتشار الواسع لمعدات الليزر في الميدان، والخطورة التي تثلها هذه البنظم، مما يستوجب بالتالي الاتجاه إلى توفير وسائل للإنذار من استخدام العدو مثل هذه المعدات، لإمكان حماولة الخاد الإجراءات المناسبة. وعken مقارنة هذهالنظام بنظام رادارات إضاعة الأهداف، التي يستتبعها بالضرورة تحديد نيران ضد أهداف مثل الرشاشات أو المدفعية المضادة للطائرات، أو الصواريخ أرض/جو، أو جو/أرض.

وفي مواجهة هدید الأسلحة التي تستخدم أشعة الليزر كان البحث عن وسائل مبتكرة للحماية من معدات الليزر وتقليل فاعليتها، إن لم يمكن التغلب عليها، وبالطبع تكون أول خطوة في هذا الاتجاه اكتشاف نظم التسليح بالليزر، ونشأ عن هذا أنواع من معدات الإنذار للإنذار بأن الهدف قد أصبح بشعاع ليزر، وأن ذلك يعني إما أنه جاري تقييم مسافة الهدف بواسطة العدو، أو أن مقلوفاً موجهاً بشعاع الليزر يتجه نحو الهدف.

وللإنذار ضد هدید الصواریخ الموجهة بالليزر قد تم تطوير مستقبلات إنذار ليزرية يمكن حلها على متن الطائرات الحليکوبتر القتالية، والطائرات المروحية، ومركبات القتال المدرعة.

وتتبع شركة "هيوز" الأمريكية نظاماً للكشف والإذار عن أشعة الليزر للاستخدام على مختلف أنواع الطائرات، وبطريقه AN-AVR-2، ويقوم باكتشاف أي هدید ليزري، من أي اتجاه حول الطائرة، ويكون النظام من 4 مستشعرات لأشعة الليزر، تعمل على حيز واسع من الأطوال الموجية لتغطية أكثر من نوع من الليزروں. وتستخدم الألياف البصرية للربط بين المستشعرات ووحدة التحكم لتقليل الفقد وزيادة الحساسية.

وقد عرضت شركة روسية نظاماً يزعم أنه يوفر الحماية للدبابات من الصواریخ الموجهة ضدها ومن قذائف المدفعية الموجهة بالليزر، وقد أطلق على هذا النظام اسم Shtora-1.

كما تنتج شركة "سيلامس" الفرنسية التابعة لمجموعة "ابروسيسال" جهازاً للكشف الليزري، والمسمى Sight Laser Detector SLD 400 لحماية الشخصيات المهمة وأفراد القوات المسلحة. ويستطيع هذا الجهاز الكشف عن أي نوع من المعدات البصرية التي تستخدم في ميدان المعركة، أو المناطق العسكرية الحساسة. وفي التطبيقات العسكرية، يوفر الجهاز القدرة على كشف القنابل المجهزة بطلسكوبات التصويب، وخصوصاً في المناطق المدنية.

وقد تم تصميم نظم الإنذار بحيث تعطى إنذاراً بمجرد وجود شعاع ليزر في مجال رؤيتها، وتعطى اتجاه شعاع الليزر.

ونظم الإنذار المتاحة حالياً تستخدم إحدى الوسائل التالية:

٩. التمييز الطيفي

يُعد شعاع الليزر مصدرأً كهرومغناطيسيّاً ذا تردد، أو طول موجي، يتوقف على نوع المادة المتناثرة للشعاع ذاتها. وبالتالي فإن نظم الإنذار تستخدم مرشحات ضوئية دقيقة، لا تسمح إلا للأشعة ذات الطول الموجي المطلوب بالمرور من خلالها. فإذا كانت قدرة شعاع الليزر المستخدم لإضاءة الأهداف تصل إلى كيلو وات في النبضة، بينما تبلغ شدة إضاءة أشعة الشمس وقت الظهرة حوالي ٢ وات على المستوي المربع، موزعة على النطاق العلوي الذي يمتد من الأشعة فوق البنفسجية وحتى الأشعة تحت الحمراء، فيكون نصيب الطول الموجي - المناظر لأشعة الليزر - لا يزيد على ميكرووات. ومن ثم فإن نظم الإنذار تستطيع، إذا سقط عليها إشعاع من نفس الطول

الموجي المتوقع من مصدر التهديد، أن تستخلص الإنذار دون أن تتأثر بأي إشعاعات خلفية. ويعيب هذه الطريقة أن الطول الموجي المتوقع يجب أن يكون معلوماً مسبقاً، فإذا استخدم العدو مصادر ليزر مختلفة عن نطاق عمل مرشحات جهاز الإنذار فلن يتم الإنذار المطلوب.

٢. التمييز الترمي

لما كانت معظم نظم الليزر الميدانية، المعروفة حالياً، تعمل بالنظام النبضي، فهناك إمكانية خداعها بواسطة مصدر إضاءة نبضي، وبالتالي لا يمكن تحديد المعلومات المطلوبة لتحديد مصدر التهديد، وهي: الطول الموجي الذي يعمل عليه التردد النبضي، وعرض النبضة. وهذه المعلومات ضرورية لتحديد هوية مصدر الليزر.

ومن هذا المنطلق، فقد كان لزاماً استخدام نظام إنذار جديدة قادرة على استطلاع هذه المعلومات. وتقوم نظرية عمل هذه النظم الجديدة على استغلال خاصية شعاع الليزر التي يميزها عن أي إشعاعات كهر ومغناطيسية أخرى، سواء الضوئية أو غيرها، وهي خاصية التقارب. فشعاع الليزر أحادي الطول الموجي، ذو زاوية طور angle محدودة، وبالتالي فإن شعاعين من الليزر، من الطول الموجي نفسه، سيكونان قادرين على التداخل معًا ، وإنما ينتج ما يسمى بـ "هدب التداخل" Interference "Fringes" ، والذي يتكون من حلقات مضيئة ومظلمة على التبادل. ويؤدي هذه الحلقات يمكن تحديد الطول الموجي للأشعة التداخلية، وكذلك زاوية سقوطها. بينما تتدخل أشعة الليزر، فإن أي إشعاعات خلفية، أو ضوضاء، لن تكون قادرة على إنتاج هدب تداخل إطلاقاً بسبب طبيعتها غير التقاربية.

وتقوم بعض النظم الحديثة القائمة على استخدام أنواع متقدمة من أجهزة التداخل التي يمكنها تسجيل هدب التداخل على مصفوفة **Array** مكتشفات، يتوقف نوعها على المطابق الطيفي للتهديد، إذ أن هدب التداخل لن تكون مرئية إلا إذا كان الليزر يعمل في نطاق الأشعة تحت الحمراء. وفي هذه الحالة فإن هدب التداخل ستحتاج إلى مصفوفة مكتشفات حرارية لالتقاطها وتصويرها، تمهدأ لاستنتاج البيانات المطلوبة بواسطة كمبيوتر مبرمج لهذا الغرض، يحفظ في ذاكرته بمكتبة التهديدات المحتملة.

و هناك فكر طموح يهدف إلى استخدام معدات الرؤية التي تعتمد على تكوين صور تليفزيونية، سواء في الطيف المرئي أو بالاستشعار الحراري، وتوقع مصدر أشعة الليزر على شريحة التصوير الإلكتروني لتحديد الاتجاه بدقة كبيرة. وهذا الفكر الجديد يمثل أهمية خاصة للاستخدام في الدبابات، إذ قد يتبع فرصة للاطلاع للتعامل بسائلنiran بسرعة مع مصادر الليزر.

ويمكن أن تعمل نظم الإنذار من الليزر منفصلة، أو أن تكون أحد مدخلات نظام إنذار متعدد، يستقبل المعلومات من مجموعة متنوعة من المستشعرات، إذ يتم معالجتها وترتيب أولويات التهديد لاستخدام وسائل المقاومة. وقد تستخدم وسائل الإنذار من الليزر لتأكيد أي معلومات عن التهديد أو استكمالها.

ويؤكد فكر نظم الإنذار المشترك أن عديداً من نظم الليزر بالإضافة تستخدم مع نظم رادارات الإنذار، أو إدارة النيران، سواء للتتبع، أو لقياس المسافات في بعض حالات الإعاقة الرادارية، أو لتوجيه الصواريخ. ويساعد وجود الإنذار من الليزر النظام المشترك في التقاط التهديد و تحديده.

وتحتفل أساليب مقاومة التهديد الليزري اختلافاً كبيراً، فقد تكون مجرد منسورة سريعة للمعدة، كافية للخروج من دائرة التهديد المباشر. ويظهر ذلك غالباً في الطائرات الخفيفة، وقد يحتاج الموقف إلى اتخاذ إجراءات مقاومة يصعب تنفيذها خلال الزمن المحدود للغاية، والمتيسر من لحظة الإنذار، وحتى وصول المقدوف، مما يزيد العبء على النظام، إذ يحتاج وبالتالي إلى ضرورة توفير قدرة لتحليل التهديد بسرعة بالغة، وتحديد نوعه واتجاهه بدقة مناسبة. وتظهر خطورة هذا الموقف بالنسبة للدبابات، إذ أن الزمن المتيسر من لحظة التقاط الإنذار إلى وصول المقدوف من الأسلحة المضادة للدبابات قد يقل كثيراً عن الوقت المطلوب للمنسورة أو للرد بالثيران، ولا يبقى وبالتالي إلا اتخاذ وسائل مقاومة سلبية سريعة ومناسبة.

وتطور شركة "لو كهيد" الأمريكية نظاماً فضائياً للجيل الثاني من منظومة الأقمار الصناعية للإنذار والتعقب التي تعتمد على أشعة الليزر، المعروفة باسم SPIRS، وسوف تقوم المنظومة بالإلزام عند بداية اكتشاف هجوم صاروخي باليسري على الولايات المتحدة، أو أحد حلفائها، أو على قواها المنشورة. ويقوم النظام بالإلزام والتحذير

في نفس وقت إطلاقها، وتمرر معلومات الإنذار إلى نظام إدارة المعارك والدفاع ضد الصواريخ، وسوف يحمل نظام SPIRS المضاد للإنذار محل برنامج الأقمار الصناعية للدعم الدفاعي، وسوف يبدأ البرنامج بإطلاق خمسة أقمار متزامنة في المرحلة الأولى لنشر النظام.

خامساً: الإعاقبة على أشعة الليزر

وتقوم فكرة الإعاقة على أشعة الليزر، عموماً، على منع وصول شعاع الليزر المعادى إلى المدف، وذلك باستخدام عديد من الأساليب الفنية التي تحول دون استمرار تقدم الشعاع والعكاسه من المدف، وهي تتبه بقدر كبير الإعاقة الإلكترونية السليمة التي تستخدم مع الرادارات. ومن أبسط الأساليب التي تستخدم لمنع وصول شعاع الليزر إلى المدف، استخدام ستائر الدخان المختلفة، وهو أسلوب سهل وسريع الاستخدام، يقوم على إطلاق خراطيش دخان من المعدة ذاتها، في اتجاه مصدر أشعة الليزر المعادية، فيعمل الدخان على امتصاص هذه الأشعة، أو على الأقل، امتصاص أكبر قدر منها، مما يمنع وصول الشعاع إلى المدف. ويراعى أهمية التأكد من فاعلية هذه السواتر المختلفة في امتصاص الأشعة، في الحيز الجهد الذي تعمل حالاته أجهزة الليزر، وتجدر الإشارة هنا إلى قدرة أشعة ليزر ثاني أكسيد الكربون على احتراق ستائر الدخان والضباب، مما يستدعي عدم إمكانية الاعتماد على الدخان المستخدم لمواجهة هذا النوع من الليزر، وضرورة استخدام أنواع أخرى مختلفة من الدخان، ذات قدرة امتصاص أكبر خلال هذا الحيز من الترددات. وهناك أسلوب تشتت أشعة الليزر الذي يعتمد على استخدام ستائر من الأليروسوارات التي تطلق في الجو، وهي عبارة عن حسيمات دقيقة ذات أحجام تناسب مع الطول الموجي لأنشعة الليزر التي تعمل على مقاومته، فتسبب تشتت أشعة الليزر المساقطة عليها قبل وصولها للهدف، فتمنع بالتالي الوصول، بالإضافة إلى ما تسببه من امتصاص جزء من الأشعة المساقطة.

وتحتل فكرة استخدام الأليروسوارات كذلك بسهولة الاستخدام من خراطيش أو دانات، مثل الدخان تماماً، كما قد تنشر من مستودعات في الطائرات. وتحتل كذلك بطول فترة عملها، إذ تبقى في الجو بطبعتها لفترات زمنية قد تطول إلى ٨٠ ثانية.

هذا وتقوم عدة شركات بتطوير نظم تشويش لبزيرية عالية الشدة، لإعاقة الجيل الجديد من الصواريخ، الذي يعمل على الموجة التي طوّلها ٤ - ٥ ميكرون، وهي موجة طويلة نسبياً، وتطلب عملية حماية الطائرات من خطر الصواريخ الحديثة التي تعمل على هذه الموجة عدداً من نظم التشويش البزيرية. فمثلاً تحتاج طائرة النقل الأمريكية C-130 إلى وحدتين من النظام المذكور لحمايتها، كما أن حماية الطائرة المقاتلة F-15 يكون أكثر صعوبة نظراً لصغر حجمها.

الاتجاهات التطوير المستقبلية لتقنيات وتطبيقات الليزر

ومن الدراسة المستفيضة لاتجاهات التطوير المستقبلية لتقنيات وتطبيقات الليزر، فإن الواقع أن الاستخدامات الصناعية هي أكثر الاستخدامات شيوعاً، نتيجة رخصتها ودققتها ومردودة استخدام الوسائل التقليدية. والأهم من هذا إمكانية التحكم فيها باستخدام وسائل التحكم الإلكتروني الآلي، ويسعى التطوير العام نحو زيادة قدرة الليزر، وفي الوقت نفسه تقليل الحجم والوزن، مما يسمح بالاستخدام الأفضل.

وبالنسبة للبزير الديايد، فإن المخرج الذي يمكن التوصل إليه في المعامل هو ٢,٦ وات، بينما لم تحقق الصناعة أكثر من ١٠٠ ميللي وات. وهذه هي مهمة التطوير الصناعي خلال السنوات القادمة.

وأهم مشكلات استخدامات الليزر وأخطرها العمر الافتراضي للمعدات وفاعليتها، فالمعروف أن عمر تشغيل عناصر توليد الليزر، سواء كانت غازية أو صلبة، لا تزيد على ٥٠٠٠ ساعة، والمطلوب زيادة هذا العمر إلى ١٠٠،٠٠٠ ساعة على الأقل، وكذلك نوعيات المرايا المستخدمة في أجهزة الليزر، وبالذات الأنواع عالية القدرة، ومدى قدرة هذه المرايا على تحمل نبضات الليزر القوية.

وتتجه الصناعة إلى إدماج وحدات الليزر الصناعية مع "الروبوت" Robot لاستخدامها في خطوط إنتاج العديد من المنتجات، بحيث يمكن تحريك مصدر شعاع الليزر والتحكم فيه من على بعد.

ولا يقتصر الاستخدام الصناعي على الصناعات التقليدية فقط، ولكن يشمل، أيضاً، الصناعات الإلكترونية، وعلى الأخص منها الصناعات التكنولوجية المتقدمة، كإنتاج أشباه الموصلات والدوارات المتكاملة Integrated Circuits:IC وهنا على التقدم في نظم الليزر التي تعمل في نطاق الأشعة فوق البنفسجية.

ولقد تغيرت الأعوام الأخيرة بظواهر وكتشفات جديدة في مجال الليزر يمكن تلخيصها فيما يلي:

- ١.تمكن لأول مرة تشغيل ليزر يعطي خرج "أشعة أكس" ذو طول موجي يصل إلى ٢٠٠ أنجستروم، وهذا حدث له دلالة على طريق استخدام أشعة الليزر في أسلحة الفضاء.
٢. إنتاج مرسل ليزر على نمط هوائيات "المصفوفة المترادفة phased array" مما يسمح، لأول مرة، بتشكيل شعاع ليزر، والتحكم فيه إلكترونياً، وزيادة قدرة الخرج.

٣. إنتاج أول ليزر متغير التردد يعمل تحت الظروف الجوية العادبة، وبدون تبريد.
٤. وصل المشروع القومي الياباني لإنتاج ليزر ثانٍ أكسيد الكربون الذي تبلغ قدرته ٢٠ كيلووات إلى مراحله النهائية، وقد استغرقت البحوث والتطوير مدة ٨ أعوام كاملة.

٥. إنتاج أنواع جديدة من الليزر تعمل بترددات لم يسبق استخدامها من قبل.

وفيما يلي نعرض أهم اتجاهات التطور المستقبلية لتقنيات وتطبيقات الليزر.

أولاً: في مجال البحوث العلمية

وفي مجال البحوث العلمية والأكادémie، سيتجه الطلب نحو نظم الليزر ذات النبضات القصيرة جداً، وكلما النظم التي يمكن توليفها في نطاق تردد عريض، بحيث يمكن استخدامها في مجال بحوث الكيمياء الحيوية والهندسة الوراثية.

وقد يمكن الحصول على نبضات ليزريّة قصيرة جداً، وأهمية هذا التطوير تكمن في قياس بعض الظواهر الطبيعية السريعة، أو قياس ورصد بعض العمليات الكيماوية التي تحدث داخل الخلية البشرية.

ثانياً: في مجال الكمبيوتر

وكلما التراوigh بين الليزر والكمبيوتر سيكون كمبيوتر بصري يستخدم أشعة الليزر لتخزين المعلومات ومعالجتها. ومثل هذا الكمبيوتر سيكون أسرع ألف مرة من أجهزة الكمبيوتر العاديّة التي بدأت تواجه القيود التي فرضتها عليها سرعة تحرك الإلكترونات.

خلال الدوائر ذات الأسس المسبليكوني. ويعمل العلماء في الولايات المتحدة وأوروبا واليابان على ابتكار نظائر بصرية لكمبيوتر اليوم الإلكتروني.

ثالثاً: في مجال الطب

وفي مجال الطب، استقرت أساليب جراحة الانفصال الشبكي باستخدام ليزر "اللياج". ولكن استخدام الليزر في أغراض طبية أخرى ما زال رهن التجربة والاختبار، ومن ذلك، على سبيل المثال، استخدام بعض أنواع الليزر في علاج الأورام الخبيثة، واستخدام ليزر ثاني أكسيد الكربون في حمام الأوعية الدموية. وتحاج التطبيقات الطبية إلى تطوير الليزر في اتجاه تقليل حجمها، وإمكانية تشغيلها ببطاريات، وزيادة فاعلية مكوناتها.

ومن الاستخدامات ذات الاهتمام البخし حالياً، استخدام ليزر ثانوي العول الموجي، أحدهما يستخدم في الجراحة، والثاني يستخدم في إغلاق الشرايين. وعلى وجه العموم، مما زال تأثير الليزر على الأنسجة البشرية وتفاعلها معًا مادة حساسة للبحث بحث بفتح آفاق جديدة لاستخدام الليزر طيباً.

أما بحالات التطوير المستقبلية فتشمل استخدام ثالث أكسيد الكربون لإذابة الجلطات في الشرايين التاجية وتكسيرها، أو لإزالة الرواسب من محدرات الأوعية الدموية، والتي قد تؤدي إلى الأزمات القلبية وتصلب الشرايين.

ويجري الآن التجارب الطبية لاستخدام أحدث أنواع الليزر، والتي تستخدم الليزر الناتج من بخار الذهب أو التحاس، لعلاج بعض أنواع الأورام الخبيثة. وقد بلغت طاقة الخرج المستخدمة حوالي ١٠ وات.

رابعاً - في مجال الاتصالات،

فيإن الأهداف بعيدة المدى للتطوير تتركز في زيادة مدى الاتصال، وزيادة معدل نقل البيانات باستخدام أنواع جديدة من الألياف البصرية، ومرسلات ليزر تعمل في أطوال موجية تسمح بالانتشار في الألياف بدون فقد يذكر.

دايود diode لتجذير "الياج"، بدلاً من مصدر التغذية الضوئي التقليدي. وعلى وجه التحديد فقد بدأ الإنتاج الكمي للأشباه موصلات تعطي ليزر ذو طول موجي ١,٥٥٠ ميكرون، لأهميته في الاتصالات باستخدام الألياف الضوئية، وهناك اهتمام كبير باستخدام الليزر في الاتصال بالغواصات، إذ ترسل الإشارات والمعلومات بمعدل إرسال سريع عن طريق الأقمار الصناعية، أو من خلال منظومة تحملة بحراً، ويتوفر ذلك إمكانية استمرار الغواصات في الأعمق، والتحرك بسرعتها العادية، وفي الوقت نفسه يمكنها استقبال أوامر القيادة دون الظهور على السطح والتعرض لاحتمال الكشف. ومن المعروف أن مياه البحار والخيطات تسبب اضطراباً وفقداً للأشعة الكهرومغناطيسية، بزدادان بازدياد العمق، ومع ذلك، فإن حيز الأشعة الليزرية يقل داخله هذا فقد عن أي حيز آخر.

خامساً: في مجال الهندسة الوراثية

ويتوقع العلماء أن يكشف المستقبل القريب عن المزيد من التطبيقات المقيدة لتقنية الليزر، مثل استخدامها في مجال الهندسة الوراثية، إذ تساعد في نقل المادة الوراثية في الخلايا، المعروفة باسم "الحمض النووي" DNA: Deoxyribonucleic Acid من محلية إلى أخرى. فإذا وجهت أشعة الليزر إلى الخلية المطلوب نقل إلى

إليها، فإنها تفتح ثقباً دقيقاً جداً في العشاء الخارجي للخلية، ويستمر هذا الثقب كافية للسامح للأـ **DNA** الجديدة بالدخول إلى الخلية. ويمكن استخدام هذه التقنية في التعرف على الجينات التي تسبب السرطان، وفي تطوير الأدوية.

سادساً: الليزر الشمسي

واللizer الشمسي، هو أحد التطبيقات المستقبلية للاستفادة من شدة الضوء العالية في توليد الليزر. وفي هذه الحالة يدخل الضوء الشمسي من أحد طرق بثورة الليزر، فيبحث المترات فيها على إصدار ضوء ذي ترددات معينة. ويتغلب هذا الضوء ذهاباً وإياباً بين مرآتين موضوعتين خارج البلورة. وينفذ بعض الطاقة الضوئية عبر إحدى المرآتين مولداً حزمة الليزر التي تتطلق إلى خارج الجهاز.

سابعاً: الليزر عالي القدرة

ومع الحاجة إلى قدرات أعلى، فقد بدأت نظم الليزر التي تعمل بأسلوب المصفوفات **الملترادمة phased arrays** في الظهور، وهي تعطي قدرة خرج حوالي ٢٠ وات، بدون الحاجة إلى تبريد النظام. وقد وصلت فاعلية هذه النظم إلى معدل أعطال مرة كل ٥٠،٠٠٠ ساعة تشغيل. أما ليزر الياج، فقد ظهرت منه أنواع جديدة ذات طاقة خرج أكبر وتردد ينضي يصل إلى ٢٠ نبضة/ثانية، وهو من أعلى المعدلات المعروفة حالياً.

ويستخدم ثاني أكسيد الكربون في تغذية بعض الأنواع الأخرى من الليزر القادر على إنتاج طول موجي ١,٢٢ مم، أي في نطاق موجات الميكروويف microwaves.

وحيث إن الموجات الميللتمترية قيد البحث حالياً لاستخدامها في التوجيه الراداري الإيجابي للقذائف، فإن هذا الكشف قد يكون فتحاً لآفاق جديدة في هذا المجال.

ومن إنتاج البصريات التراوافية Adaptive optics، وهي المرايا التي يمكن تشكيل سطحها حسب حالة الجو، مما يسمح بانتشار شعاع الليزر الصادر منها بدون تشوه، وبالتالي يمكن تركيزه على الأهداف بكفاءة أعلى.

ثامنة: إنتاج مصادر ليزر تعمل باللحظ الإشعاعي من الثنائيات المشعة

ويتمثل هذا الاتجاه في استبدال ламبات الورامضية Flash Lamps التي تستخدم الأشعة الصادرة منها في إنتاج أشعة الليزر بمصادر أشعة بديلة، وهي الثنائيات Diodes المشعة؛ لأن استخدام ламبات الورامضية في مصادر الليزر يحد من كفاءتها وعمرها الافتراضي، نظراً لذكر حجمها وقلة كفاءتها. أما الثنائيات المشعة فتتوفر كفاءة تشغيل الليزر تعادل عشرة مرات تلك التي يوفرها استخدام ламبات، إضافة إلى خفض وزن مصدر الطاقة ونظام التبريد بدرجة كبيرة.

تاسعاً: إنتاج أشعة ليزر غير ضارة بالعين

أهم ما يحد من استخدامات أجهزة قياس المسافة بالليزر أنها تضر بالعين، ما لم تكن هناك مسافة أمان كافية، وهو ما يمثل عائقاً في استخدامها في التدريب. ولذلك تتجه البحوث نحو إنتاج أشعة ليزر غير ضارة بالعين.

عاشرًا: وسائل وقاية متطورة

يُجرى العديد من البحوث لتطوير وسائل تحقق حماية كافية للأفراد من أخطار أشعة الليزر. وأحد الاحتمالات المستقبلية هو استخدام المواد المصنوعة من البوليمرات Polymers البصرية، التي يمكنها تغيير خصائصها البصرية عند تعرضها للضوء الشديد، وتصبح معتمة تقريبًا عند تعرضها لشعاع الليزر، ثم تعود لحالتها السابقة. وهكذا، فإن هذه المواد يمكنها سحب أشعة الليزر، ولكنها في الوقت نفسه تسمح للضوء العادي بالمرور، من دون تغيير.

حادي عشر: توليد الطاقة النووية

هناك نوع من التفاعلات النووية يعطي قدرًا هائلًا من الطاقة عند حدوثه، وهو الاندماج النووي Fusion. ويتم ذلك باندماج بعض الذرات الخفيفة معاً لتكوين ذرات أقل منها. والمصدر الرئيسي لهذه العلاقة هو غاز الهيدروجين، ويمكن تصور مقدار الطاقة الهائلة التي تنتجه من اندماج الذرات إذا عرفنا أن حرارة الشمس المائلة تنتج من اندماج ذرات الهيدروجين في مركزها.

وهناك بحوث لتحقيق الاندماج النووي بواسطة أشعة الليزر، وقد استخدم الباحثون عشرين مصدراً من مصادر الليزر لتركيز نحو 26 مليون وات على قرص صغير من الزجاج، قطره نصف مليمتر، ويحتوي على خليط من نظائر الهيدروجين، وذلك لسد قدرت بجزء من عشرة ملايين جزء من الثانية.



جدول

بعض أنواع الليزر الشائعة

نوع الإشعاع	الطول الموجي (نانومتر)	المتوسط	نوع الطيف	نوع الليزر
مستمر	٣٢٥	غازي	فوق بنفسجي	هليوم-كادميوم
نبضي	٣٣٧,١	غازي	فوق بنفسجي	نيتروجين
مستمر	٣٥٠,٧	غازي	فوق بنفسجي	كريبيتون
مستمر-نبضي	٣٥١,١	غازي	فوق بنفسجي	أرجون
مستمر	٤٤١,٦	غازي	مرئي	هليوم-كادميوم
مستمر-نبضي	٤٥٧,٩	غازي	مرئي	أرجون
مستمر-نبضي	٤٦١,٩	غازي	مرئي	كريبيتون

مستمر	٤٦٠,٣	غازى	مرئى	زيبون
مستمر	٤٦٧,٥	غازى	مرئى	أرجون-كريبيتون
مستمر	٦٢٤,٨	غازى	مرئى	هليوم-ليون
نبضى	٦٩٤,٣	صلب	مرئى	ياقوت
مستمر	١,٧٥٣	غازى	تحت الحمراء	كريبيتون
مستمر	٠,٩٠٤	صلب	تحت الحمراء	أرسنيد الجاليم
نبضى	ليودينيوم	صلب	تحت الحمراء	نيودينيوم neodymium
مستمر-نبضى	نيودينيوم	صلب	تحت الحمراء	نيودينيوم
مستمر	١,١٥	غازى	تحت الحمراء	هليوم-نيون
مستمر-نبضى	١٠,٦	غازى	تحت الحمراء	ثاني أكسيد الكربون

مستمر - تبضي	١١,٨	غازي	تحت الحمراء	ماء
--------------	------	------	----------------	-----

جدول

مقارنة بين الميدار (يستخدم ليزر الباج) والرادار

الرادار	الميدار	
١٠-٣ سم	١٠,٦ ميكرون	طول الموجة
في حدود الكيلووات	٢-١ ميجاوات	القدرة
في حدود الميكروثانية	٠,١-٠,٠١ ميكروثانية	عرض البصمة
وفقاً لتصنيف الهوائي	بدون فصوص جانبية sidelopes	جسم الإشعاع
٣-٢ درجة	أقل من ١٠,٠٦ درجة	زاوية انفراج الشعاع
في حدود ١٠٠	حتى ٥ م	دقة قياس المدى

مراجع اللغة العربية :

١- اتصالات الألياف البصرية : محمد عبد الرحمن، ١٩٩٦.

- ٢- الليزر وتطبيقاته الصناعية، د. فلاح الأحمدى، د. فائز البيرقدار، ١٩٨٥
- ٣- الدكتور أحمد الحصري والدكتور طاهر تربدار، مسائل محوسبة في الفيزياء، منشورات دار الرسالة، دمشق ١٩٨٣
- ٤- الفيزياء - ٢- د. بسام المغربي - منشورات جامعة دمشق - ١٩٨٨

مراجع المقدمة :

- 1- Semiconductor Optoelectronics, Jasprit Singh, 1995 .
- 2- Semiconductor Physics and Devices, A.Neaman Donald, 2003.
- 3- Laser Engineering, Kelin J.Kuhn, 1998.
- 4- Physics of Optoelectronic Devices-Shun Lien Chuany 1995
- 5- University physics – 11th edition – Young and Freedman- 2002

اللجنة العلمية

أ.د. يسام المغربي

أ.م.د. سهام طرابيشي

أ.م.د. محمد عبد الحفيظ

المدقق اللغوي

أ.د. سراب يازجي

حقوق الطبع والترجمة والنشر محفوظة لمديرية الكتب والمطبوعات